

بيير فلوري

جان بول ماتيو

مسا يوسف اللبشي

الفيزياء

العناصر والنجيب

U@•ã~^Ã..}...!æ^ÁoÃc]...!ã ^}æ^

الضوء S̃ { ã+^

مسا يوسف اللبشي

الكتاب الثاني

مسا يوسف اللبشي

مطبوعات المجلس الأعلى للعلوم

قاسم يوسف الحويدي
جامعة بغداد
الفرقة الثانية
الرياض

جان بول ماتيو
Jean-Paul
Mathieu

بيير فلوري
Pierre Fleury

الفيزياء

العامة والنحريتين

الضوء
Lumière
ترجمة

المهندس وجيه السمان
معيد كلية الهندسة سابقاً
جامعة دمشق

الدكتور طاهر التريدار
معيد كلية العلوم سابقاً
جامعة دمشق

الدكتور توفيق المنجد
رئيس جامعة حلب
سابقاً

مراجعة
المهندس وجيه السمان

الكتاب الثاني

عبدالله يوسف الحويدي

مطبوعات المجلس الأعلى للعلوم

١٣٩٤ - ١٣٩٥ هـ

١٩٧٤ - ١٩٧٥ م

مطبعة جامعة دمشق

هـسـا ابرهـم اـلـلـمـيـi

اطيف الذرات والجزيئات والبلورات

مـتـاح لـلـتـحـمـيـل ضـمـن مـجـمـوعـة كـبـيـرة مـن المـطـبـوعـات مـن صـفـحـة

مـكـتـبـتي الـخـاصـة

عـلى مـوقـع اـرـشـيـف الـانـتـرنـت

الـرابـط

https://archive.org/details/@hassan_ibrahem

الفصل الثالث عشر

مفاهيم عامة

عن أطيف الاصدار والامتصاص^(٢٠١)

١٢ - ١. — النماذج المختلفة لمطيف :

(أ) ان طرائق دراسة الاطيف ، التي تقدم وصفها في الفصل الرابع ، قد اعطت منذ بداية هذا القرن نتائج هامة جداً ، ادى تفسيرها ، بالاشتراك مع تفسير ظواهر التآين (الجزء ٦) والاستعالة (الجزء ٨) الى النظريات الحالية عن المادة وعن الاشعاع ، كما نجم عن ذلك تطبيقات عملية هامة .

(ب) ان اصدار الاشعاع من قبل المواد . وهي في حالة فيزيائية ما ، يحدث عندما تعرض هذه المواد لتهيجات مناسبة كدرجات الحرارة العالية او التفريغ الكهربائي (١٧،٦ - ١٩ الى ١٧ - ٢١) او امتصاص اشعة كهروطيسية أخرى .
هنالك قوانين بسيطة نسبياً ، تنطبق على الاشعاع بالتوهج^{Incandescence} ، حيث تكون الطاقة المشعة ذات أصل حراري محض^{Purely calorific radiation} ، وأما في الحالات الأخرى ، فيقال انه قد حصل تلالؤ^{luminescence} . وأمثلة التلالؤ كثيرة ، وسندكر فيما يلي بعضاً منها .

(١) في شرح صور الاطيف ، يدل الحرفان P و N عما اذا كانت الصورة موجبة (خطوط الاصدار مضيئة على خلفية مظلمة) أو خطوط الامتصاص مظلمة على خلفية مضيئة) او سلبية (نباتات متعاكسة) .

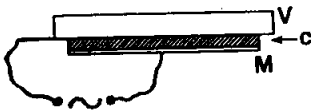
(٢) وفقاً لاستعمال دارج ، تستعمل كلمة « طيف » فيما يلي من هذا الكتاب ، للدلالة على منحني طيفي اصداري او امتصاصي (الفقرة ٥ - ١٧ ب) .

Absorption spectrum Emission spectrum

ان تصادم الدقائق المشحونة المسرعة كالتي يمكن احداثها في تجارب فرانك وهرتز Franck et Hertz (١٧٠٦-١١) يعطي اصدارات ضوئية .
وتصدر بعض الاجسام ضوءاً مرئياً بدرجة تنخفض كثيراً عن الدرجة التي يتطلبها التوهج . فيقال أنه قد حدث تلالؤ حوراي .

٥- نحدث هذه الظاهرة عندما يقذف على سطح حار مسحوق الطباشير او الفلثورين (ولا سيما الملوثة منها) او الماس او الكبارت القلوية ، الخ ...
وبعض الكبارت القلوية - الترابية تصدر الضوء اذا عرضت لحقل كهربائي شديد ، وذلك هو التلالؤ الكهربائي .

٥- يمثل الشكل ١٣ - ١ تبسيطاً لخلية تلالؤية كهربائية . ان البلورات



الشكل ١٣ - ١ - مبسط
خلية تلالؤية كهربائية

الصغيرة من كبريت التوتياء (ZnS)
الحاوي على آثار من Cu و Mn مثلاً)
هي مغلفة بطبقة عازلة وشفافة C .
يطبق عليها توتر متناوب في حدود ١٠٠ فولت ، بين المسرى المعدني M والوجه

السفلي لصفحة الزجاج V التي جعلت ناقلة مع بقائها شفافة . فالبلورات بتأثير حقول كهربائية في حدود ٦١٠ فولت / م ، تصدر ضوءاً يتعلق لونه بالمعدن الغريب .

٥- يحدث ضوء بفعل التلالؤ بالتحاك عندما تسحق بعض الاجسام كالطباشير والسكر ، او عندما تحك ببعضها قطعتان من صحن خزفي او عندما تفصل صفائح الميكا بالتفصيح ، الخ .

يرافق تأكسد الفسفور اصدار ضوء ، وكذلك يرافق كثيراً من التفاعلات البطيئة . ونحدث ظاهرة التلالؤ الكيميائي هذه عند تفسخ بعض الاخشاب الرطبة . ويصبح البحر احياناً متلألئاً من وجود بعض الباكتريات . وبعض

الحيوانات التي تعيش في الهواء هي أيضاً متلازمة مثل الجبابب (الفقرة ١٧-٩) .
 ٥- تجربة تروتز Trautz : يمزج في دورق حجمه ٣٠٠ سم^٣ : ٣٥ سم^٣ من كل من المحلولات الآتية في الماء: بيروغالول بنسبة ١٠٪، والالدهيد المتيلي بنسبة ٣٥٪ وفحمات البوتاسيوم بنسبة ٥٠٪ . ويضاف الى المزيج ٣٠ سم^٣ من الماء الحمض بعبارة ١٠٠ حجم فيرى في الظلمة تلالؤ برتقالي بالرغم من أن درجة الحرارة لا تتجاوز ٥٠ مئوية .

وأخيراً ، ان بعض الاجسام اذا اسقط عليها ضوء وحيد اللون ، اصدرت شعاعات ذات اطوال امواج مختلفة ، وتؤلف في الجملة مجموعة متصلة تمتد على مدى هام من الطيف . فيقال انه قد حدث حينئذ تفلور او تفصفر . وان التمييز بين هذين التعبيرين سيحدد فيما بعد (الفقرة ١٣ - ٧) .

اذا نظرنا الى هذه الظواهر من وجهة النظر الذرية او الجزيئية ، امكننا ارجاع انواع ^{Excitation} التهييج - وربما عملت هذه الانواع معاً احياناً - الى مجموعتين : اصطدام الدقائق (الالكترونات ، الأيونات ، الجزيئات المسرعة كهربائياً او حرارياً : انظر الفقرة ١٣ - ٤) وتأثير الضوء الوارد (الفقرة ١٣ - ٧) .

ج) تصدر الجوامد والسوائل اطيافاً متصلة تمتد ، في حالة التهييج الحراري الى مناطق واسعة من الطيف (٢ ، ٢٠ - ١ و ٤ ، ١ - ٤) وتمتد في حالات غيرها الى مناطق اقل اتساعاً .

ويمكن للغازات والابخرة ان تصدر اضواءً مرئية ، ذوات اطياف متقطعة ، تتفاوت خطوطها في العرض (الفقرة ١٣ - ١١) وتكون في غالب الاحيان مجمعة بشكل ^{band} عصابات أو شرائط . وان تهيج الجوامد والسوائل يمكن أيضاً ان يصدر طيف خطوط ، ذلك لان المادة تكون عندئذ قد تبخرت قبل ان تصدر .

٥- يتولد اصدار ضوء ملون لدى ادخال سلك من البلاتين في اللهب غير المضئ

Emission

لمصباح بنزن Bunsen ويكون السلك بشكل حلقة وقد غمس في محلول ملح معدن قلوي او قلوي ترابي ، ويختلف اللون باختلاف طبيعة المعدن .

(د) كثير من الاجسام (الغازات والابخرة والسوائل والمحاليل والمواد الكهرونافاذة والنواقل) تمتص الضوء الذي تتلقاه ، امتصاصاً ^{Selective Absorption} اصطفائياً . فاذا اعترضنا مسيرة اشعاع ذي طيف متصل بأحد هذه الاجسام ، ظهرت في هذا الطيف (كما سنرى في الفقرة ١٣ - ٥) خطوط او عصابات مظلمة تسمى خطوط او عصابات الامتصاص ولها أطوال أمواج معينة .

يلاحظ ، مثلاً ، في طيف الشمس خطوط امتصاص فراونهوفر Fraunhofer وسنعود الى ذكرها في الفقرة ١٧ - ٣ .

ونذكر انه يوجد ايضاً امتصاص متصل ، له صلة بالناقلية في النظرية الكهربائية المغناطيسية (الفقرة ١ - ٤ و ٧ ، ٩ - ٦) .

(هـ) ان اطياف الخطوط او العصابات (سواء اكانت بالاصدار او بالامتصاص) هي خصائص مميزة للذرات او للجزيئات التي تولدها .

٥- في التجربة الواردة في ج) لا يتعلق لون اللهب بطبيعة الحمض الذي يولد ملحاً مع المعدن : فكل املاح الصوديوم تعطى لهباً اصفر ، وجميع املاح الليثيوم لهباً أحمر ، الخ ... ففي هذه الحالة يكون الطيف مميزاً في الاصل لذرة المعدن ، وان التجربة السابقة هي وسيلة بدائية لتحري هوية المعادن القلوية والقلوية الترابية .

وفي حالات اخرى يقوم الاصدار الضوئي بتمييز الجزيئات . ^{optical Emission}

٥- اذا سخن بخار التيتان بمعزل عن الاكسجين ، اعطى طيف اصدار ناجماً عن ذرات التيتان Ti . واذا ادخل الاكسجين تشكلت جزيئات TiO وتغير الطيف .

٥- ان اللون الأحمر للجزء NO_2 يولد طيف امتصاص مميز (الشكل ١٣-١٠) ليس هو بطيف الآزوت ولا بطيف الأكسجين .

والصحيح هو انه في نطاق الاشعة السينية فقط يصبح طيف مزيج من الذرات ، بوجه التقريب هو نفس طيف العناصر المركبة له . واما في المناطق الطيفية الأخرى ، فان الجزيئات لها اطياف مختلفة تماماً عن اطياف العناصر المركبة لها . ومتى عرفت هذه الاطياف (او على الاقل متى عرفت خطوطها او عاصبتها الاساسية) فمن الممكن بفضل فحص طيفي ، تحديد هوية العناصر الداخلة في مزيج ، وان تحليلاً طيفياً ^{spectral analysis} كهذا يمكن ان يكون حساساً جداً بحيث يمكن كشف وجود مادة بحصة نسبية ضئيلة لا تتجاوز في بعض الحالات ١٠-٧٠ . وهذه الطريقة التي اقتضرت في البدء على التحليل الكيفي قد اصبحت ، لس الحاجة ، كمية بفضل قياس شدة خطوط الاصدار ، الذي يجري بطريقة القياس الطيفي ^{Emission lines} الفيزيائي لشدة الضوء (الفقرة ٥ - ٢٤) .

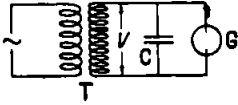
اضف الى ذلك ، حسباً سنرى في هذا الفصل وفي الفصول التالية ، ان الدراسة المتعمقة لطيف جسم معين تعطينا عن بنيته الذرية او الجزيئية ، وعن حالته الفيزيائية معلومات هي في بعض الاحيان قيمة جداً . فبهذه الطريقة امكننا خاصة ان نكتسب مالدنيا من معلومات عن النجوم (انظر الفصل ١٧) .
optical Emission by Excitation or electrical

١٣ - ٢ . — اصدار الضوء من قبل الغازات او الامزجة الكهربائية .

أ) ان القوس الكهربائية الحقيقية (من عدا المساري الجامدة المحماة حتى التوهج والتي تعطي طيفاً متصلاً) تصدر طيفاً ضوءه مميز لبخار المسرين ، واحياناً لغازات الهواء (او غيرها) الممتزجة بهذا البخار . ونذكر ان ^{Frequency} التواتر المطبق على المسرين ينبغي ان يكون عدة عشرات من الفولت ، وان الشدة هي بضعة امبيرات او بضعة عشرات من الامبير (١٦٦-١٦) وللحصول على

أطراف المواد التي لا يمكن ان يصنع منها مسار ناقلة ، يعمل من هذه المواد معجون ويدخل المعجون في تجويف يحفر باتجاه المحور في قضيب من الفهم .

(ب) ثمر شرارة (تحت توتر عالٍ) بسهولة بين المسيرين الناقلين (ويمكن ان يكون احدهما مادة قابلة للتحلل بالكهرباء) تستخدم دوماً الشرارة المكثفة ، اي المولدة بالتفريغ المهتز (١٦٧ - ١٦)



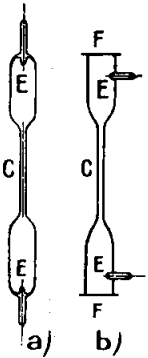
لمكثفة C (الشكل ١٣ - ١ مكرر) فنحصل في آن واحد على طيف مادة المسيرين وعلى طيف الغاز الذي يحيط بها .

الشكل ١٣ - ١ مكرر .
توليد « شرارة مكثفة »

يمكن طريقة التهييج هذه من تحرير طاقة عظيمة في الغاز G

في زمن قصير جداً . فاذا كانت سعة المكثفة $C = 5.10^{-9} F$ وكانت القيمة البدائية للتوتر المتناوب $U_m = 5000 V$ ونبضه $\omega = 10^7 Hz$ فان الشدة العظمى في بداية التفريغ هي $\omega C U_m$ (١٦٧ - ٢٠) اي في حدود ٢٥٠ امبير .

والشرارة الحادثة في الحلاء بين مسيرين البعد بينها كسر من المليمتر ، تستعمل كثيراً كمنبع لشعاعات في ما فوق البنفسجي البعيد .



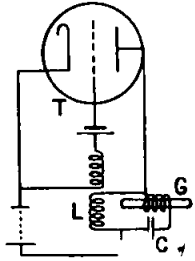
(ج) كثيراً ما يستخدم أيضاً انبوب غسler (الشكل ١٣-٢) الحاوي على الغاز الذي يراد فحص طيفه . وقد لحم في داخل هذا الانبوب مسيران E يجعل بينها ، بواسطة وشيعة تحريض او محولة ، فرق كمون مرتفع جداً (عدة عشرات الالوف من الفولت) حتى يحصل التفريغ التلقائي في حدود الضغط المستعمل (وهو يبلغ ملمتراً واحداً من الزئبق تقريباً) (١٦٧-١٩) . ويكون العمود الاليجائي هو الاشد ضوءاً . كما

الشكل ١٣-٢
أنابيب غسler

يكون لمعان الانبوب شديداً في القسم الشعري C الذي يمكن فحصه عرضانياً

(الشكل ١٣ - ٢ a) او طولانياً من خلال النافذة F (الشكل ١٣ - ٢ b) ويمكن ايضاً تغذية الانبوب بتفريغ مكثف (الشكل ١٣ - ١ مكرر) فيكون التوتر اقل بكثير (في حدود ١٠٠ فولت) في المصابيح ذات الانجرة المعدنية (١٤٤ - ٦) .

يمكن الحصول على التهييج بالحقل الكهربائي ايضاً بطريقة بسيطة ، وذلك بوضع الانبوب الشفاف الحاوي على الغاز G (الشكل



١٣ - ٣) في داخل وشيعة حلزونية تؤلف جزءاً من دائرة مهتزة عالية التواتر LC يغذيها مصباح ثلاثي المساري T (٧ - ٥ ، ٧) فالحقل الكهربائي السريع التغيرات يعطي للأيونات سرعة كافية لتهييج الجزيئات . ويمكن تغيير التهييج بسهولة بتغيير توتر الصفيحة في الجهاز المهتز .

الشكل ١٣ - ٣
تهييج الغاز G بواسطة
حقل كهربائي عالي التواتر

١٣ - ٣ . طيوف الاصدار المختلفة لنفس المادة .

(أ) يمكن للمادة ، حسب ظروف التهييج ، ان تصدر اشعاعات ذوات تركيب طيفي مختلف .

٥ - اذا غدينا انبوب غسار المملوء بالهدروجين بتفريغ مكثف ، رأينا بصورة اساسية طيفاً مؤلفاً من اربعة خطوط في ما فوق البنفسجي يمكن كشفها بالتصوير (الشكل ١٣ - ٤ ، اللوحة ٥) واذا كان توتر التغذية آتياً من ثانوية محولة ومنخفضاً بقدر الامكان ، رأينا عدداً كبيراً من الخطوط ، غير الخطوط السابقة (الشكل ١٣ - ٥ ، اللوحة ٥) .

كذلك ، ان التهييج المعتدل في انبوب تفريغ حاو على الازوت يعطي

طيافاً قد مثل قسم منه في الشكل ١٣-٦ من اللوحة ٥ . وإذا أجرى له تهيسج شديد أعطى الطيف الذي في الشكل ١٣-٧ من اللوحة ٥ .

يبين لنا الشكل ١٣-٨ من اللوحة ٥ الفروق التي تلاحظ في طيف المغنيزيوم حسب شروط التهيسج . ، في تجارب التهيسج بالصدمات الالكترونية يغنى الطيف كلما زادت طاقة الالكترونات (الشكل ١٣-٩) .

ب) تفسر هذه الافعال المعقدة بالكيفية الآتية : ان الافعال المعتدلة (كدرجة الحوارة القليلة الارتفاع ، والحقل الكهربائي القليل الشدة) تهيسج اصدار الاشعاع من قبل الجزيئات ، فاذا زادت شدتها صارت قادرة على تفكيك الجزيئات المتعددة الذرات الى ذراتها وعلى تهيسج هذه الذرات وتأيينها وتهيسج الايونات المتشكلة .

ففي التجارب السابقة كان اغنى الطيوف بالخطوط ، التي يولدها الهيدروجين والآزوت ، هما الناجمان من اصدار جزيئات H_2 و N_2 ، وابسط الطيوف ناجمة من اصدار الذرات H و N . وفي اكثر الاحيان - وليست هذه قاعدة عامة ، كما يدل مثال الهيدروجين - تكون الاطياف الجزيئية مؤلفة من تجمعات كثيفة جداً من الخطوط ، اذا فحصت بتبدد ضعيف بدت كأنها عصابات ضوئية محددة بوضوح من احد طرفيها ومتدرجة نحو الطرف الآخر .

وان الاطياف اللهبية لأملح معدن قلوي تميز ، كما قلنا ، العنصر المعدني الناجم عن تحلل الملح . اما التعقد المتزايد للطيف ، الذي يلاحظ على الشكلين ١٣-٨ و ١٣-٩ فهو ناتج في الوقت نفسه من تهيسج أشد ، للذرات التي تصدر اشعاعات عددها آخذ بالازدياد من التأين ، والأيونات تصدر طيفاً مختلفاً عن طيف الذرة .

ج) يطلق اسم خطوط القوس على الخطوط الناجمة عن اصدار الذرات المعتدلة كهربائياً وخطوط الشرر على الخطوط التي تصدرها الذرات المتأينة .

وهذا التعريف النظري لا ينطبق تماماً على الذي يبدو انه نتج من الشروط التجريبية : فهناك مجرد هيمنة للخطوط العائدة لنوع ما في جهاز الاصدار العائد اليه . أما أطيف اللمب فهي تحوي فقط على جزء من خطوط القوس .

ان البرهان التجريبي للاسناد الذي بيناه قد اعطته ملاحظة الضوء الصادر من حزمة رفيعة من الاشعة الموجبة (٦ ، ١٧ - ٢٣) مؤلفة في الوقت نفسه من ذرات معتدلة ومن ايونات . فالانحراف الكهربائي (٦ ، ١٦ - ٣) الذي يؤثر في الايونات فقط لا يترك سوى خطوط القوس في اصدار الحزمة غير المنحرفة .

ان ارتفاعاً كافياً في درجة الحرارة يحيل طيف القوس الى طيف الشرر . مثلاً : ان خط الشرر $\lambda = 4481 \text{ \AA}$ للمغنيزيوم يوجد في طيف اصدار النجوم البيض التي تبلغ درجة حرارتها ١٠ الاف مئوية ، في حين ان طيف النجوم الصفراء التي هي ادنى منها حرارة كالشمس لا يحوي الا خطوطاً قوسية لهذا العنصر .

١٣ - ٤ . — تفسير التهييج بالصددمات :

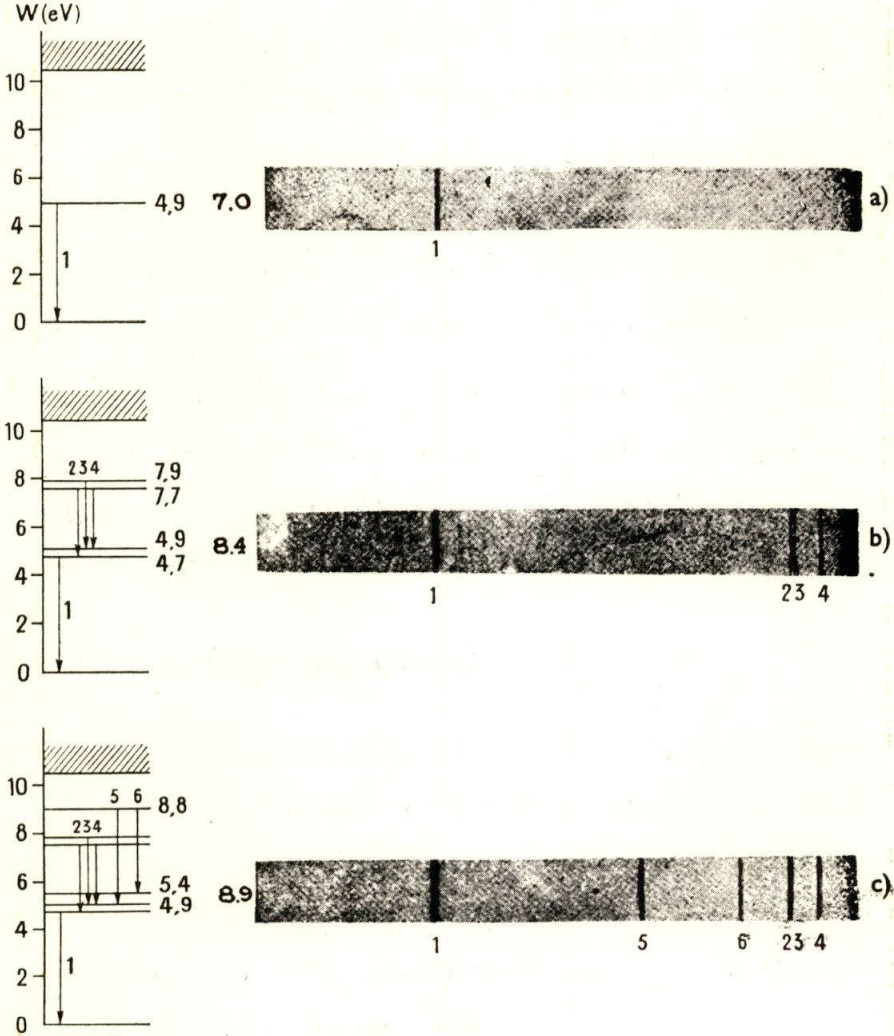
(أ) في كثير من الحالات يمكن تفسير تهيج الذرات او الجزيئات بأنه ناتج من صدمات غير مرنة للجسيمات . وقد درس في (٦ ، ١٧ - ١١) تأثير الصدمات الالكترونية في جزيئات الغاز .

ان الطاقة الذرية التي يكتسبها الكترون شحنته e ، مسرع بفرق كمون قدره V هو : $W_k = eV$. وهذه الطاقة يمكن ان يتخلل عنها الى جزيء وان تسبب اصدار اشعاع تواتره معين بالعلاقة :

$$h\nu = eV$$

باعتبار h ثابتة بلانك Planck (الفقرة ١-٧) .

مثلاً : تدل التجربة على ان بخار الزئبق الوحيد الذرة يصدر اشعاعاً طول



الشكل ١٣-٩، - اطياف اصدار الزيتيق (N) حصل عليها برجم البخار بالكترونات ذات طاقة متزايدة : (a) ٧,٠ الكترون فولت ، (b) ٨,٤ الكترون فولت ، (c) ٨,٩ الكترون فولت . وقد مثل الى جانب كل طيف سويات الطاقة لذرة Hg والتحويلات التي ولدت الخطوط ذات نفس الرقم .

موجته 2537 \AA عندما يكون التوتر V للألكترونات التي تقصفه يساوي $4,9 \text{ V}$ فيكون :

$$w_k = 1,60. 10^{-19} . 4,9 = 7,8.10^{-19} \text{ joules}$$

ومن جهة ثانية :

$$h\nu = \frac{hc}{\lambda} = \frac{6,62.10^{-34} \times 3.10^8}{2537.10^{-10}} = 7,83.10^{-19} \text{ joules}$$

(ب) ان الاثارة بالصدمات تحدث ايضاً عندما يزداد الهياج الحراري برفع درجة الحرارة ولكنه ليس بالامكان عندئذ تحديد طاقة التهييج بنفس الضغط . ان الطاقة الحركية الوسطى لجزيء غازي في الدرجة T كلفن هي (٢ ، ١٠ ، ٤) :

$$W_k = \frac{3}{2} kT = 2,57.10^{-23} T \text{ joules}$$

ولكي يكون الجزيء قادراً على ان يسبب بالصدم اصدار شعاعة مرئية طول موجتها $0,5 \mu$ ينبغي ان تكون طاقته الحركية :

$$W_k = h\nu \simeq 4.10^{-19} \text{ joules}$$

وذلك يقابل درجة حرارة قدرها :

$$T = \frac{4.10^{-9}}{2,57.10^{-23}} = 20.000^\circ \text{K.}$$

ولكن الجزيئات ليس لها جميعاً نفس الطاقة الحركية في درجة حرارة معينة . وان الحساب الذي يأخذ بعين الاعتبار قانون التوزيع الاحصائي للسرعات (٢ ، ١٢ ، ٥) يسمح لنا بتقدير النسبة p للجزيئات التي لها في الدرجة T طاقة حركية قدرها 4×10^{-19} جولاً على الاقل ، فنجد :

5000	2000	1000	500 : T°K
$7.5.10^{-3}$	13.10^{-6}	6.10^{-11}	7.10^{-23} : μ

ففي كتلة من الغاز قدره كيلو مول (6×10^{26} جزيئاً) رفعت الى الدرجة ٥٠٠ كلفن لن يكون اذن في فترة الزمن المنقضية وسطياً بين صدمتين سوى $6 \times 10^{26} \times 7 \times 10^{-22} \approx 400.000$ حزيء يمكنها ان تتلقى طاقة كافية لكي تصدر اشعاعاً مرئياً . وهذا العدد الذي هو في ذاته صغير نسبياً ينقص ايضاً بسبب ان عدداً كثيراً من الصدمات يمكن ان تكون مرة ، بحيث اننا لانحصل في الواقع على اي اصدار ذي قيمة في تلك الدرجة .

في التجارب الشديدة الضغط ، حيث يراد معرفة درجة الحرارة ، يسخن البخار في فرن كهربائي ذي مقاومة (٢٢ ، ٢٠ - ١٤) بعد ان يحدث فيه خلاء . وقد اجريت هذه التجارب حتى قرب الدرجة ٣٠٠٠ كلفن .

١٣ - ٥ . انتاج الطيف الامتصاصي :

(أ) لدراسة أطيف الامتصاص ، يمكن ان يكون منبع الاشعاع المتواصل في النطاق المرئي ، الذروة الايجابية لقوس الفحم او الذروة السلبية لقوس الزركونيوم ، او شريطاً من التنغستين يسخن بفعل جول (١ ، ٦ - ٦) ؛ وفي نطاق ما تحت الاحمر منابع اخرى متوهجة مثل مصباح اوور Auer ، غلوبار (الفقرة ١ ، ٨) ، وفي نطاق ما فوق البنفسجي انبوب التفريغ في الهيدروجين تحت ضغط قدره بضعة مليمترات من الزئبق وتوتر يتراوح بين ٢٠٠٠ و ٣٠٠٠ فولت .

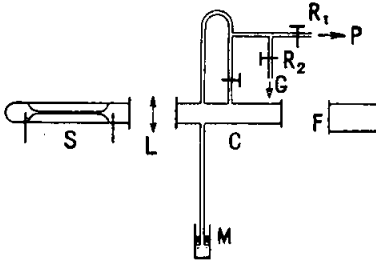
(ب) ان الجوامد والسوائل او المواد المنحلة تعطي غالباً بالدرجة العادية مناطق امتصاص متصلة تمتد على مسافة طويلة من اطوال الامواج . ويمكن

للغازات والابخرة ان تعطي اطياف امتصاص بمائلة ، ولكن تعطي ايضاً اطيافاً مؤلفة من خطوط عديدة .

٥- اذا اتخذنا كمنبع ضوئي مصباحاً ذا شعيرة من التنغستين وشكلنا له خيلاً على شق المطياف ، ثم وضعنا امام هذا الشق حوضاً متوازي الوجهين يحوي على بعض السوائل ، كالمحلولات المائية لكلور الكوبالت او فوق منغنات البوتاسيوم او ملحاً من املاح عنصر النيوديم ، لاحظنا طيفاً من عصابات سوداء .

٥- اذا وضعنا في قعر حوض بعض بريات من النحاس وصبنا فوقها قليلاً من حمض الآزوت المركز ، حدثت ابخرة حمراء مؤلفة من فوق اكسيد الآزوت NO_2 في جو الحوض . ورأينا طيفاً مؤلفاً من عدد كبير من الخطوط (الشكل ١٣ - ١٠ ، اللوحة ٥) .

٥- ان جهاز دراسة طيف امتصاص



الغاز في منطقة ما فوق البنفسجي

الممثل على الشكل ١٣ - ١١ ، يحوي

على مصباح هيدروجيني S ، تعطي

عدسة الكوارتز L خيلاً للقسم الشعري

المنظور من نهايته (اي من ناحية

طرفه) على الشق F لمنظار الطيف .

والحوض المغلق (مثل S) بنوافذ من

الكوارتز ، موصول بقياس الضغط

الشكل ١٢-١١ - جهاز لدراسة

اطياف الامتصاص في منطقة ما فوق

البنفسجي .

الزئبقي M ، الذي يمكن من معرفة ضغط الغاز . والصنبور R_1 لما كان مفتوحاً فهو يمكن من احداث الحلاء بواسطة مضخة P (مزودة بشرك للتكاثف) . وبعد اغلاق R_1 تسمح الفتحة R_2 بادخال الغاز المحتوي في مستودع . ويحصل بواسطة التصوير على اطياف مهمة . مثلاً الغاز NO_2 (راجع اعلاه) ، و SO_2 ،

الذي تحت ضغط يتراوح بين ٥ و ١٠ مم يعطي منطقتين فيها خطوط امتصاص نحو ٠,٢٨ مكرون وتحت ٠,٢٣ مكرون و Cl_2 الذي بالضغط العادي له طيف امتصاص مستمر بين ٠,٢٩ و ٠,٤٠ مكرون ، الخ .

٥- ان عمل مقياس الطيف المسجل في الخلاء في ما تحت الاحمر يكشف عن مناطق امتصاص بخار الماء (نحو ٣ و ٦ مكرون) وبلا ماء الفحم (نحو ٤ مكرون و ١٥ مكرون) الموجودين في الهواء الجوي .

١٣- ٦ . — قانون كيرشوف وقاعدته .

أ) ان قانون كيرشوف (٢ ، ٢٠-٦) يدل في بعض الحالات على العلاقات بين امتصاص الشعاعات وبين اصدارها في نفس المادة . ونذكر بأنه يُنطق كما يلي : يوجد بين اللعان الطاقي في واحدة طول الموجة l_λ^* الذي يختص به جسم ما ، وبين عامل امتصاصه α_λ^* بالنسبة الى نفس الشعاعة (في نفس النقطة وفي نفس المنحى) نسبة لا تتعلق الا بدرجة الحرارة :

$$\frac{l_\lambda^*}{\alpha_\lambda^*} = L_\lambda^* \quad [١٠١٣]$$

L_λ^* هي اللعان الطاقي للجسم الاسود في الدرجة T° . ولا ينطبق هذا القانون الا على الحالات التي يكون فيها اصدار الضوء ذا أصل حراري صرف ، اي اذا كان المسبب هو اما الصدم بدقائق طاقتها المتوسطة هي طاقة الاضطراب الحراري واما الاشعاع المتوازن في حظيرة عازلة للحرارة . يقال ايضاً أن الاشعاع قد ولد في هذه الحالة بالتوهج ، حتى ولو كان لا يصدر اي شعاع مرئي . يستخرج من الصيغة [١٣-١] عدة استنتاجات :

ب) بما ان $\alpha_\lambda^* \leq 1$ و $l_\lambda^* \leq L_\lambda^*$. ففي درجة حرارة معينة ، كلما كان

الجسم ماصاً كان اشعاعه اكثر ، وكان هذا الاشعاع يساوي على الاكثر اشعاع الجسم الاسود . وهكذا فان الغازات التي تمتص في منطقة ما تحت الاحمر او حتى في منطقة المرئي ، تعطي بسهولة اشعاعاً حرارياً .

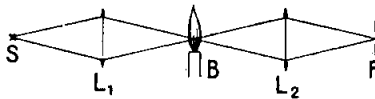
٥- يكتشف بسهولة ، بواسطة مقياس الطيف المسجل ، من اجل ما تحت الاحمر ، الاشعاع الذي يصدره فيما نحو ٤ مكرون ، غـاز الفحم الموجود في الهواء الحار فوق لهب مصباح بنزن .

٥- يبخر قليل من الايود بتسخينه في انبوب اختبار، يدخل في الانبوب حازون من البلاتين المسخن بفعل جول الى ما يقرب من ٦٠٠ - ٧٠٠ مئوية ، فيرى ضوء برتقالي صادر من الايود يرتفع فوق سلك البلاتين .

عكساً لذلك ، ان الغازات التي هي شفافة في المناطق الطيفية السابقة لاتشع عندما تسخن . ان الطاقة الحرارية ليست كافية في درجات الحرارة التي تصل اليها ، لكي تعطي للالكترونات الطاقة الكافية العائدة للامتصاص في نطاق ما فوق البنفسجي .

ج) اذا كان $l_{\lambda}^* \neq 0$ و $\alpha_{\lambda}^* \neq 0$ ، واصدر جسم شعاعاً بالتوهج ، فانه يتصها في نفس الظروف .

هذه النتيجة تتحقق في تجربة انعكاس الخطوط .



الشكل ١٣ - ١٢

تجربة انعكاس الخطوط

٥- تعطى العدسة L_1

(الشكل ١٣ - ١٢) للمنبع الضوئي

S وهو (الفوهة الموجبة لقوس

كهربائية) خيلاً يقع في اللهب

الازرق B لمصباح ميكر Mecker . وتشكل العدسة L_2 لـ B خيلاً على

الشق F لطيف .

وقد روعيت الشروط الهندسية المبينة في منطوق القانون ، فاذا ادخلنا ملحاً

للسوديوم في اللهب B وكانت القوس مطفاة ، رأينا الخطين D مضيئين . وإذا اشعلنا القوس بدا الخطان مظلمين على خلفية مضيئة للطيف المستمر : فهذا بذلك قد انعكسا^(١) .

ان لمعان اللهب^(٢) في الدرجة ١٨٠٠ مئوية من أجل الخطين D هو $I_\lambda = \alpha L_\lambda$ ولمعان رأس القوس المشبه بجسم اسود في الدرجة ٣٥٠٠ مئوية هو L'_λ وينقص الى $L'_\lambda (1 - \alpha_\lambda)$ بمروره في اللهب . والمعان الكلي المنظور هو :

$$\alpha_\lambda L_\lambda + L'_\lambda (1 - \alpha_\lambda) = L'_\lambda - \alpha_\lambda (L'_\lambda - L_\lambda)$$

وما دام الخطان قد انعكسا ، فذلك يعني ان هذه الكمية هي اقل من قيمة L'_λ من أجل الشعاعات المجاورة لـ D في طيف القوس ، اذن فان α_λ ليس معدوماً .

ان التحقيقات الكمية لقانون كيرشوف مرضية من أجل اللهب الملون بشرط ان تقدر درجات الحرارة بالضغط . وقد اجري التحقيق ايضاً من أجل الأبخرة المسخنة في الفرن الكهربائي (١٣ - ٥) .

(١) اذا كان للطيف قوة فصل كافية لفصل الخطين D ، فان الرؤية سهلة ، واذا كان الطيف المستمر غير تام الصفاء فانه يلزم لبخار الصوديوم كثافة اكبر من المعتاد لكي تنجح التجربة . ويمكن اسقاطها على لوحة موضوعة في F (الشكل ١٣-١٢) بعد استخدام شق مضيء كمنبع ، وذلك بأن نعرض وراء L_2 بموشور ذي رؤية مباشرة ، ولكنه ينبغي حينئذ ان نضع في B قطعة من الصوديوم المعدني في بوتقة صغيرة من الحديد ويوضع المصباح B في فانوس تجنباً لافارة اللوحة بواسطة اللهب وانتشار دخان الصوديوم في جو الغرفة .

(٢) نذكر بأنه فيما يتعلق بضوء وحيد اللون معين ، يوجد تناسب بين اللمعانين الطاقين (I_λ أو L_λ^*) وبين اللمعانين الضوئيين (I_λ أو L_λ) راجع الفصل الخامس .

(د) تتألف الأقسام الخارجية من لب الحملاج او القوس الكهربائية من ابخرة اقل حرارة واقل كثافة من الأقسام المركزية . فالضوء الذي تصدره هذه الأقسام يمتص عند اختراقه للغمد الخارجي وتنعكس خطوط الأصدار من تلقاء نفسها . فيظهر خط مظلم في وسطها ، وبين الشكل ١٣-٨ هذه الظاهرة على خط طيف لب المغنيزيوم (انظر ايضاً الشكل ١٤-٣٠) .

لقد قيل (الفقرة ١٣-١) انه يحصل تآلؤ كلما كان الاشعاع ليس ذا اصل حراري صرف . وفي هذه الحالة لا ينطبق قانون كيرشوف ، ويمكن ان لا يكون لمنحني قوى الاصدار اية علاقة مع منحني الجسم الأسود في نفس الدرجة من الحرارة . فيمكن بهذه الصورة ان يكون في الدرجة العادية من الحرارة نهاية عظمى للاصدار مبنية بوضوح في القسم المرئي من الطيف ، في حين ان الجسم الأسود لا يعطي اية شعاعة مرئية في تلك الدرجة من الحرارة . ويمكن دوماً ان نقرر ان ثمة تآلؤاً عندما يكون الاشعاع اشد من اشعاع الجسم الأسود بالنسبة الى نفس طول الموجة ونفس درجة الحرارة .

٥- ان العصاب فوق البنفسجية التي يصدرها لب القوس الفحمية هي اشد لمعاناً من المنطقة المقابلة لها في الطيف المستمر الذي تصدره الذروة الموجبة للقوس ، التي هي مـسع ذلك بدرجة اعلى . ذلك لأنه يوجد في اللهب ظواهر اخرى غير التوهج (٦ ، ١٧ - ١٦) .

(هـ) هنالك قاعدة كيفية لكيرشوف تنطبق حتى على الحالات التي لا يكون الأصدار فيها حرارياً صرفاً . وهي تنطبق كما يلي : عندما يجعل الجسم في ظروف معينة من التهييج ، فانه لا يستطيع ان يصدر سوى الشعاعات التي هو قادر على امتصاصها .

فلهدرجين مثلاً في درجة الحرارة العادية ، هو شفاف في الطيف المرئي ولا يمتص سوى اشعاعات فوق البنفسجية (الفقرة ١٤-٦ د) ولكن الهدروجين

الذي هو في انبوب غسار قيد العمل يصدر خطوطاً مرئية (الفقرة ١٣-٣)
ففي هذه الشروط هو يمتصها ايضاً .

٥- يؤخذ انبوب تفريغ حاوٍ على الهدروجين بضغط ٦ الى ٧ مم من
الزئبق ويهيج بتوتر مرتفع . فاذا نظرنا اليه باتجاه طوله بدا الضوء الصادر منه
ازرق شاحباً ، واذا نظر اليه عرضانياً بدا زهري اللون . وسبب ذلك ان
عمود الغاز الطويل المتتالي ، الذي يخترقه الضوء في الحالة الأولى يمتص بشدة
الخط الأحمر H_{γ} ، في حين ان هذا الامتصاص ضعيف في الحالة الثانية من
النظر .

١٣- ١٧ . - التزهيج الضوئي . الفلورة والفصفرة :

يمكن احداث تهيج الاشعاع بواسطة الحقل الكهربائي لموجة ضوئية .
فتشاهد حينئذ سلسلة من الظواهر تبدو الفروق بينها لدى الدراسة المفصلة .

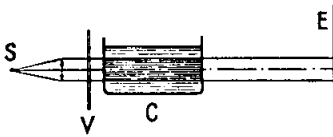
(أ) اذا كانت المادة لا تمتص الموجة الضوئية ، فان قسماً بسيطاً من التدفق
الوارد الذي يخترقها يرتد في مناحٍ مختلفة عن منحنى الانتشار الاصلي . وذلك
هو الانتشار الجزيئي للضوء الذي يدرس في الفصل العاشر . واذا كانت الموجة
الواردة وحيدة اللون أبان التحليل الطيفي للضوء المنتثر ان هذا الضوء يحتوي على
شعاعات لها تواتر الضوء المهيج (الانتثار بدون تغير في التواتر او فعل رايلي)
(الفقرة ١٠ - ٧) وشعاعات ذوات شدة اضعف من ذلك وتواترات تتعلق
بالتركيب الكيميائي للوسط (انتشار مع تغير في التواتر او فعل رامان
Raman) (الفقرة ١٥ - ١) .

(ب) اذا امتصت الموجة الواردة من قبل المادة قبل اعادة اصدار الضوء فان
الحادث هو ظواهر الفلورة والفصفرة ، المجموعة تحت اسم التلاؤل الضوئي ،

وسنرى في الفقرة ١٦-٧ امس التمييز بين التفلور والتفصفر . ولنقل الآن فقط ان التفصفر لا يشاهد الا في الجوامد .

٥- تدخل بعض بلورات الايود في دورق ثم يحدث فيه خلاء جيد بواسطة مضخة ذات شفرات (اجنحة) ويغلق . عندما يضاء البخار اضاءة جانبية بواسطة الشعاع الحضرء لقوس بخار الزئبق ، الذي تمتصه الابخرة ، يرى عند النظر العمودي على منحنى الحزمة الواردة ، ضوء برتقالي . يتألف طيف ضوء التفلور هذا من سلسلة خطوط واذا اريد زيادة في العناية بهذه الدراسة تحتجز الابخرة في انبوب شبيه بأنبوب الشكل ١٠-١٢ .

٥- تظهر خاصة التلألؤ الضوئي في كثير من الاجسام عندما تعرض لاشعاع مصباح بخار الزئبق مصنوع من الكوارتز قد اخترق صفيحة من الزجاج الحاوي على النكل . فهذه الصفيحة توقف تقريباً كامل الضوء المرئي ولكنها تترك المجال لبداية ما فوق البنفسجي ، فالاجسام المتفلورة والمتفصفرة تصدر في هذه الشروط ضوءاً مرئياً له في بعض الاحيان تلوينات جميلة .



الشكل ١٣-١٣ .

تفلور البترول

٥- نرسل حزمة من الاشعة المتوازية تقريباً ، صادرة من قوس كهربائية عادية S ، عبر حوض زجاجي C (الشكل ١٣-١٣) يحتوي على النفط .

ويمكن ان نعترض بين الفانوس والحوض

بصفيحة من الزجاج ذي النكل V . فنرى ان النفط الذي على طريق الاشعة التي تخترق الزجاج يصدر ضوءاً أزرق بنفسجياً . واذا كان الحوض حاوياً على محلول الفلورسئين حصلنا على تفلور اخضر . ويوجد في البيع اوراق مطلية بأنواع ملونة من الطلاء ، شديدة التفلور .

بعض الأجسام المتفلورة او المتفصفرة هي اجسام صافية ، ولكن كثيراً

منها ايضاً هي مزائج من اجسام لو أخذ كل منها بفردة لكان غير متفلور .
وسنعود الى هذا الموضوع في الفقرة ١٦-٧ .

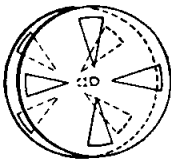
هنالك تمييز بين الفلورة والفصفرة له مغزى " تجريبي بسيط مبني على مدى دوام اصدار الضوء بعد ان يكون الاشعاع المهيج قد وقف . ففي الفحص الاول يبدو ان اصدار الانجزة او السوائل ينقطع متى انقطع عنها الضوء : فهذا هو التفلور .

٥ - ذلك هو شأن بخار الأيود والنفط في تجربة الشكل ١٣ - ١٣ والفاثورين (التي اشتق منها اسم الظاهرة) ومحاليل الفليورسئين وكبريتات الكنين والأسنان والشعر ، الخ ...

خلافاً لذلك ، ان الاصدار يثابر في بعض الجوامد ويدوم في بعض الأحيان ساعات بعد ان يكون الضوء المهيج قد انقطع ، فذلك هو التفصفر .

٥ - ذلك هو شأن الكبارت القلوية والقلوية - الترابية ، وكبريت التوتياء و " دهان بالامان Balamain ، الذي اساسه كبريت الكالسيوم ، الخ .

ان التمييز السابق ، الذي هو واضح جداً في اكثر احيانه ، يتلاشى عندما تعدل شروط التجريب . وان مدة اصدار الجسم المتفلور الذي هو بحالة محلول ، يمكن ان تطول الى حد ان يعتبر متفصفاً ، عندما تزداد لزوجة السائل المذيب .



الشكل ١٣-١٤
كاشف الفصفرة لبكريل

ومن جهة ثانية ، عندما يُسعى في تحديد امد اصدار التفلور يتبين انه بالرغم من قصره فإنه يتفاوت بنسب هامة . وان كاشف التفصفر لبكريل Becquerel يسمح بقياس المدات القصيرة التي تهبط الى ١٠^{-٤} ثا . يتألف هذا الكاشف (الشكل ١٣-١٤) من قرصين قد احدث فيها فتحات متساوية ، ولكنها متناوبة ويدوران معاً حول محورها .

توضع المادة التي يراد درسها ، بشكل طبقة رقيقة الى حد تصبح معه شفافة ، بين القرصين وتضاء من خلال فتحات احدهما . وتراقب من فتحات القرص الآخر . فينقضي زمن قدره $t = \frac{1}{2Nn}$ بين مرور المادة امام فتحة اضاءة وفتحة المراقبة التي تليها . على ان نؤمز بـ n لعدد فتحات القرص و N لتواتر الدوران .

يمكن ملاحظة مدات للاصدار اكبر من 10^{-6} ثا ، بواسطة اضاءة شريحة من نافورة سائلة . تدور بسرعة كبيرة ومراقبة الشريحة التي بعدها . ويمكن أخيراً اثار المادة من خلال خلية كـ K_1 : Kerr (الفقرة ١١-١٦) ومراقبة النور الذي يعاد اصداره من خلال خلية ثانية K_2 ، فالخليتان K_1 و K_2 المغذاتان بنفس التوتر الذي تواتره f ، تفسحان المجال لمرور النور على احسن وجه في فترات تفصل بينها الفاصلة الزمنية $t = \frac{1}{2f}$ فيرى ضوء اذن اذا دام التفلور مدة تساوي على الأقل $t - \tau$ ، على ان يرمز بـ τ الى الزمن الذي يستغرقه الضوء للانتقال من K_1 الى K_2 بواسطة المادة المتفلورة . وقد امكن بهذه الوسيلة قياس ازمدة تقارب 10^{-8} الى 10^{-9} ثانية .

واذا كانت مدة الاصدار قصيرة جداً ، فانه يمكن قياس تناقص الشدة I لضوء التفلور بدلالة الزمن t . فنحصل في غالب الأحيان على قانون أمي .

$$I = I_0 \exp \left(- \frac{t}{\theta} \right) \quad [١٣ ، ٢]$$

وان « ثابتة الزمن » θ هي التي تحدد بدقة الأمد المتوسط للأصدار .

ج) ان التفلور او (التفصفر) يرافقه دوماً امتصاص للضوء المهييج ، لأن هذا الاخير هو الذي يعطي الطاقة التي تصدر بشكل آخر .

هـ - في التجربة التي تبين تفلور البترول ، يلاحظ ان الضوء الذي يصدره

السائل يضعف عندما نبتعد عن وجه الدخول للحوض : ان الشعاعات المهيجة تختفي تدريجياً كلما تقدمت الحزمة الواردة اكثر فاكثر في داخل السائل . واذا استعملنا ضوء القوس مباشرة بدون اعتراض زجاج النكل ، رأينا على الحاجز E الموضوع بعد الحوض ، بقعة صفراء تمثل الضوء المتمم للشعاعات المهيجة التي اختفت .

٥- نعود الى تجربة الشكل ١٣- ١٣ ونملأ الحوض بمحلول حمضي لكبريتات الكينين فيعطينا فلورة زرقاء ، واذا وضعنا امام الزجاج V حوضاً يحوي على نفس المحلول رأينا فلورة الحوض تزول .

٥- نسطط طيف القوس على شاشة وننقل على طول الطيف مكعباً مميكاً من الزجاج الحاوي على اكسيد الأورانيوم ، فلا يولد ظلاً ويبدو عديم اللون كالزجاج العادي في الأحمر والبرتقالي والأصفر . ويصدر في البنفسجي ضوءاً اخضر يعطي علامات التفلور ويحدث في الوقت نفسه ظلاً اسود على الشاشة . نؤكد على كون قانون كيرشوف غير قابل للتطبيق على هذه الظاهرات .

د (ان التركيب الطيفي لضوء التفلور او التفصفر هو شيء مميز للمادة وليست هنالك علاقة بسيطة بين طول الموجة λ_0 للضوء المهيج وبين اطوال الموجات λ_0 لشعاعات العصابة المصدرة .

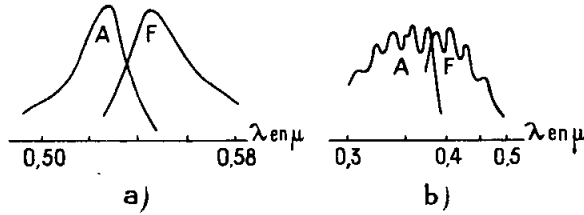
ينتج من قانون وضعه ستوكس Stokes ان اطوال الموجات λ ينبغي ان تكون جميعها اكبر من λ_0 والواقع ان الامر هو كذلك في كثير من الأحوال .

٥- في التجربة الشكل ١٣ - ١٣ يصدر البترول ضوءاً ازرق بنفسجياً ، بينما كان الضوء المهيج النافذ من الزجاج النكلي يعود الى بداية ما فوق البنفسجي كذلك ، ان الكسارت القلوية والقلوية الترابية والفلثورين ، الخ ... تصدر

ضوءاً مرئياً عندما يتهيج بالضوء فوق البنفسجي ، وتستخدم هذه الخاصة أحياناً في دراسة ما فوق البنفسجي .

٥ - تصدر نفس اللوحة ضوءاً أخضر بتأثير الأشعة السينية التي أطوال امواجها هي اقصر من امواج الأخضر . تستخدم هذه الخاصة في تطبيقات الأشعة السينية .

ان قانون ستوكس هو في الواقع غير صحيح أحياناً : ان طيف التفلور يحتوي غالباً على شعاعات ذات طول موجة λ اصغر من طول الموجة λ_0 للضوء المهيج . غير ان القيمة العظمى للامتصاص بالنسبة الى الشعاعات التي تهيج التفلور او التفصفر لها دوماً طول موجة اصغر من طول موجة ذروة الاصدار ، وهذا ما تبينه امثلة الشكل ١٣-١٥ .



الشكل ١٣-١٥ . - امثلة لمفعولات قانون ستوكس
 (a) الفلثورسئين في الماء (b) الانتراسين في الديوكسان
 = A طيف الامتصاص = F طيف التفلور

واخيراً ، ان القياسات الفوتومترية التي أجريت على الضوء الممتص والمصور تبين انه في ظروف الملاحظة المعطاة ، كانت شدة التفلور متناسبة مع شدة الشعاعة المهيجة . ويطلق اسم مردود التفلور على النسبة بين الطاقة التي يعاد اصدارها والطاقة الممتصة .

هـ (يمكن لبعض الغازات والابخرة الوحيدة الذرة ان يكون لها تفلور خاص ، يكون فيه للضوء الممتص وللضوء المصدر نفس التواتر .

٥ - في التجربة السابقة على بخار الصوديوم) وينبغي ان يكون هذه المرة نقياً جداً للسبب الذي سنراه في الفقرة ١٤-٦ د). يضاء بضوء الصوديوم الانبوب المرفوع الى درجة من الحرارة في حدود ١١٠ - ١٢٠ مئوية . ويكون ضغط البخار من رقبة ١ مم من الزئبق . فتلاحظ آثار الحزمة صفراء ضعيفة : فهي تصدر الحطين D .

والذي يميز في هذه الحالة الفلورة عن انتشار رايبلي هو شدتها التي هي اعظم بكثير . فلو استبدلنا بمنبع الصوديوم منبعاً للضوء الالبيض لرأينا عملياً الحطين D وحدهما . فهذا التفلور الخاص يسمى التجاوب الضوئي لانه يذكرنا بظاهرة التجاوب (الطنين) للاهتزازات الميكانيكية (٣ ، ٤ - ٤) .

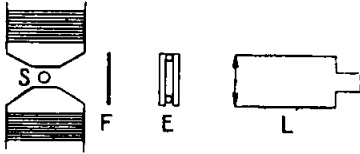
واذا استعنا بتوكيدية فيها خلايا كر (الفقرة ١٣ - ٧ ب) امكننا ان نبين ان التجاوب الضوئي يختفي تدريجياً ، مثل كل التفلورات . والازمنة θ هي في حدود ١٠^{-٨} ثانية .

١٣ - ٨ - تحليل الخطوط الطيفية .

هناك بعض الاسباب اذا اثرت في منبع للشعاعات او في جسم تمتص ، يمكنها ان تعدل تعديلاً خفيفاً جداً اطوال الموجة المصدرة او الممتصة .

أ) اذا أخضع غاز لحقل تحريض مغناطيسي شديد ، استبدل بكل خط من خطوطه الطيفية عدة خطوط : وهذا ما يسمى بفعل زيمان Zeeman . وسنرى فيما بعد ان تغير طول موجة الخطوط ضعيف جداً على الدوام - اذ يبلغ جزءاً من الانغستروم - بحيث انه لا يمكن ملاحظته في مطياف ذي موشور . ولتبينه بواسطة مغناطيس كهربائي عادي ، يعطي تحريضاً في حدود ١ فيبر/م^٢ ، لا بد من جهاز طيفي ذي قوة فصل عالية .

٥- يتألف المنبع S (الشكل ١٣ - ١٦) من مصباح لبخار الكاديوم (من

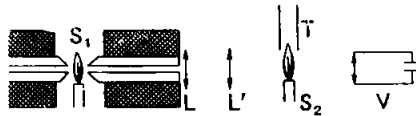


الشكل ١٣ - ١٦
ملاحظة فعل زيمان

النوع الذي في الشكل ١٤ - ١٢ ،
وقد رفعت عنه الجبابة الزجاجية
لتخفف حجمه (يجعل هذا المنبع في
الفصل الهوائي لمغناطيس كهربائي
صغير قادر على ان يعطي حقل تحريض
قدره: ٥٥٠ فيبر/م^٢ . فالضوء الصادر

عمودياً على خطوط الحقل ، والذي لا يمكن المرشحة F ان يمر منه سوى الشعاع
الحرار ٦٤٣٨ انغستروم ، يسقط على معيار تداخلي تجاري E لفابري وبيرو
Fabry - Perot (٤ ، ١٣ - ٥) سمكه قرابة ٥ مم . وتلاحظ الحلقات
المتشكلة في اللانهاية بواسطة النظارة L . إن إحداث الحقل يقسم كل حلقة إلى
ثلاث ، وإذا نظر إلى المنبع في استقامة خطوط الحقل عبر القطعتين القطبيتين
المتقويتين (راجع الشكل ١٢ - ٢٩) تضاعفت كل حلقة .

بالاستعانة بظاهرة انعكاس الخطوط (الفقرة ١٣ - ٦) يمكن توضيح
وجود فعل زيمان من الوجهة الكيفية بدون مطياف (كوتون Cotton) .

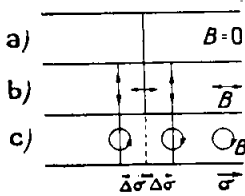


الشكل ١٣ - ١٧ . تبيان فعل زيمان بدون مطياف

٥- يكون اللهب S₁ لمصباح بنزن بالاصوديوم (الشكل ١٣ - ١٧)
ولكي يصدر خطين رفيعين ينبغي ان يكون قليل التحميل بالاصوديوم (ويمكن
الوصول الى هذه النتيجة بأن نحرق سلفاً قطعة من الصوديوم في قاعة التجربة ،
او أيضاً بأن ندخل في اللهب سلكاً من البلاتين يحمل كرية من الزجاج المصهور
قطرها جزء من الملمتر) . يجعل المنبع S₁ بين قطبي مغناطيس كهربائي قطعتاه

القطبيتان مثقوبتان بحيث تمكنان من الرؤية في اتجاه خطوط الحقل . وتسقط العدسة L' خيال العدسة L المضاء اضاءة منتظمة بواسطة S_1 على اللهب S_2 لمصباح كحولي اغنى بالصوديوم من S_1 ، وفوق S_2 انبوب زجاجي (زجاج مصباح) يجعل اللهب يرتفع بانتظام . يحكم المنظار V على S_2 فيبين ان حوافي هذا اللهب تبرز مظلمة فوق سطح خيال L (الشكل ١٣-١٨ اللوحة ٥) ذلك لأن غمد بخار الصوديوم البارد الذي يحيط بـ S_2 يمتص الخطين D . وعندما يسج المغناطيس الكهربائي (يكفي حقل شدة تحريضه ٥٠٠ فيبر / م^٢) تختفي الحافة السوداء : لأن لهب S_1 يصدر عندئذ شعاعات ذات تواتر معدل قليلاً لا يعود لهب S_2 يمتصها .

ب) ان بعض الخطوط الطيفية (الخط H_α ، الخط الاصفر ٥٧٩٠ \AA للزئبق) تبين كما يبين الخط الاحمر للكاديوم ابسط انواع التحليل بفعل زيمان المعروف تحت اسم **الثلاثية النظامية** . ان الاشعاع الصادر عمودياً على خطوط التحريض (الشكل ١٣-١٩ b) يتألف من ثلاثة خطوط : احدهما له نفس العدد الموجي الذي للخط الصادر في غياب الحقل (الشكل ١٣-١٩ a) والاخران يفترقان عنه بالمقدار $\pm \Delta\sigma$. وهذه الخطوط الثلاثة مستقطبة استقطاباً مستقيماً كما يلاحظ لدى اعتراض فلم مقطب امام المنظار في تجربة الشكل ١٣-١٦ . وان اهتزازة الخط الاوسط موازية لـ B (ويسمى بالمر كبة π للثلاثية) واهتزازتا الخطين الآخرين هما عموديتان على B (ويسميان بالمر كبتين σ) ويتألف الاشعاع



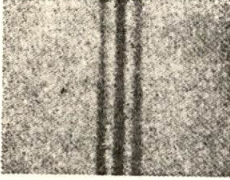
الشكل ١٣-١٩
ثلاثية زيمان النظامية

الصادر في منحنى خطوط التحريض من الخطين σ لغياب الخط π (الشكل ١٣-١٩ c) . وهذان الخطان هما مستقطبان دورانياً وصاحب التواتر الأعلى بينهما له جهة التيار الذي يولد التحريض

(راجع الشكل ١٢-٣٢)^(١).

يرتبط الابتعاد $\Delta \sigma$ بالتحريض B بالعلاقة :

$$\Delta \sigma = \frac{e B}{4 \pi m_0 c} = 0,467 B \text{ cm}^{-1} \quad [٣, ١٣]$$



الشكل ١٣-٢٠

فعل زيمان في الخط $(N)H_{\alpha}$
في حقل تحريض شدته
٣١٥ فبر/م^٢

(حيث B مقدرة بالفبر/م^٢) وتمثل c سرعة الضوء
و e شحنة الالكترون و m_0 كتلته (الفقرة ١٤-١٠)
والفرق $\Delta \lambda$ الذي يقابله لا يتجاوز في النطاق المرئي
بضعة اعشار الانغشتروم من اجل اشد قيم التحريض
المطبقة .

D_1

D_2

يبين لنا الشكل ١٣-٢٠ تحليل

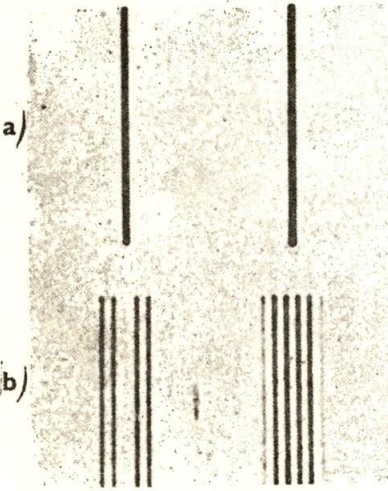
الخط H .

ان مجموع شدات مركبات زيمان
يساوي شدة الخط غير المحلل .

يكون التحليل الملحوظ في اكثر
الاحيان اكثر تعقيداً مما في المثال السابق
وتبين لنا الصورة ١٣-٢١ مثلاً، تأثير
حقل مغناطيسي في الخطين الاصفرين
للصوديوم ، منظوراً اليهما في استقامة
خطوط الحقل . فالخط D_1 يعطي

a)

b)



الشكل ١٣-٢١ - فعل زيمان في خطي

الصوديوم (q, N) بدون حقل (b) بحقل.

أربع مركبات والخط D_2 ستاً . وفي
الحالات المشابهة لهذه يقال ان فعل

زيمان شاذ (ولو ان هذه الحالات كانت أكثر وقوعاً) .

(١) نلاحظ ان فعل زيمان يهيء لنا وسيلة مختلفة عن الوسائل المدروسة في الفصل
السابع من اجل توليد الضوء المستقطب : فالفعل هنا لا يقع على الحزمة الضوئية وانما
يقع على المنبع .

تلاحظ الظاهرة بواسطة توكيبة الشكل ١٣ - ١٦ بعد ان يستبدل بمصباح الزئبق مصباح الصوديوم .

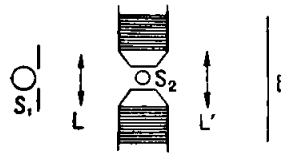
على انه لدى ازدياد شدة الحقل المغناطيسي يشاهد اختفاء تدريجي لبعض المركبات وعندما يصبح الحقل على قدر كاف من الشدة تندمج بعض الخطوط في بعضها (عدة وحدات من الفير/م^٢) ولا تبقى سوى الثلاثية النظامية ، وهذا هو فعل باشن - باك Paechen - Back :

(ج) ينطبق فعل زيمان على خطوط الامتصاص أيضاً .

٥ - هنالك نوع آخر لتجربة الشكل ١٣ - ١٧ يقوم على وضع اللهب الماص S_2 (الشكل ١٣ - ٢٢) في الحقل المغناطيسي ، وينبغي ان يكون محتواه من الصوديوم قليلاً . يشكل في هذا اللهب خيال مصغر لمصباح ذي بخار الصوديوم S_1 موضوع خارج الحقل وتسقط النتيجة على لوحة E . فعندما يهيج المغناطيس الكهربائي تزيد الامتئارة على اللوحة لأن الشعاعات التي يصدرها S_1 لا تعود متممة من قبل S_2 .



الشكل ١٣ - ٢٣ . جهاز
لدراسة فعل شتارك



الشكل ١٣ - ٢٢ . فعل
زيمان على خطوط الامتصاص

سيعطى تفسير لهذه الظواهر في الفقرتين ١٤ - ١٠ و ١٢ : وسنرى الاهمية النظرية الكبرى لفعل زيمان .

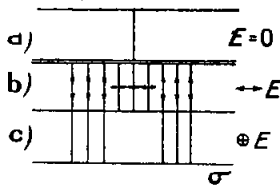
(د) ان تأثير الحقل الكهربائي الراكذ في منبعع للشعاعات يجرّ هو ايضاً تحليل الخطوط الطيفية ، ويسمى ذلك بفعل شتارك Stark . ويمكن دراسته بالكيفية الآتية : ان المهبط C لأنبوب تفريغ (الشكل ١٣ - ٢٣) ، الذي احدثت فيه

عدة ثقب عرضها ١ مم يسمح بمرور الاشعة الموجبة (١٧،٦ - ٢٣) . تعرض هذه الاشعة لحقل كهربائي مولد بين C وبين مسرى مساعد E . والبعد CE صغير (في حدود ١ مم) بحيث لا يستطيع التفريغ ان يحصل في ضغط غاز الانبوب (قانون باشن الجزء ٦ ، الفقرة ١٧ - ١٨) . وهكذا امكن اخضاع الايونات الموجبة الى حقول تبلغ ١٠ فولت/م ، فالاشعاع الصادر والخارج من النافذة F يدرس بواسطة مطياف ذي قوة فصل كبيرة . وقد اكتشف الفعل على الهيدروجين حيث تباعد الخطوط هو كبير خاصة .

ان تحليل الخطوط الطيفية بفعل ستارك هو اكثر تعقيداً منه بفعل زيمان ، وستدرس نظرية هذا الفعل في الفقرة ١٤ - ١٥ .

يلاحظ مثلاً انه في خط من مجموعة بالمر Balmer العائدة للهيدروجين (الفقرة ١٤ - ١) قد استبدل بالخط الاصلي مجموع مركبات (الشكل ١٣ - ٢٤ اللوحة ٥) وعددها يكون اكبر بقدر ما يكون تواتر الخط اعظم .

وهذه المركبات متساوية الابعاد في سلم التواتر . وعندما ينظر اليها في



الشكل ١٣ - ٢٥ . التحلل المبسط لخط طيفي بفعل ستارك

استقامة عمودية على الحقل (الشكل ١٣ - ٢٥ b)

تكون مستقيمة استقطاباً مستقيماً ، بعضها يهتز عمودياً على الحقل وبعضها الآخر يهتز موازياً له . واذا نظر اليها في استقامة الحقل لا يعود يرى سوى هذه الاخيرة ولا تكون مستقيمة . (الشكل ١٣ - ٢٥ c) .

واذا استعين بحقول كهربائية في حدود

١٠ فولت/م امكن ان يبلغ انفصال المركبات عدة وحدات انغستروم ، فهو اذن اكبر بكثير مما يشاهد في ظاهرة زيمان .

١٣ - ٩ . — انتقال الخطوط الطيفية :

إذا كان المنبع الضوئي S والشخص الناظر اليه O يتبعدان عن بعضهما وكانت v_r تمثل المركبة في الاستقامة SO لسرعة الابتعاد و c سرعة الضوء ، فان التواتر الملحوظ ν' يختلف عن التواتر ν للمنبع . وهذه الظاهرة المسماة بفعل دوبلر - فيزو Doppler-Fizeau تبدو لأول وهلة كأنها تعميم على الضوء لظاهرة دوبلر الملحوظة في الصوت (٧٣ - ١٧) فإذا ابتعد الشخص الملاحظ عن المنبع ، فان الصيغة [٢٩٤٧] من الجزء ٣ تعطي :

$$\frac{\nu'}{\nu} = \frac{c - v_r}{c} = 1 - \frac{v_r}{c} \quad [٤١٣]$$

فإذا كان المنبع هو الذي يتبعد ، تعطينا الصيغة [٢٧ - ٧] من الجزء ٣ :

$$\frac{\nu'}{\nu} = \frac{c}{c + v_r} \simeq 1 - \frac{v_r}{c} \quad [٥١٣]$$

(والسرعة الشعاعية v_r هي دوماً أصغر من c في الضوء) وسنرى في الفصل ١٨-٦ ان الصيغتين المتألفتين [٤١٣] و [٥١٣] ينبغي ان تستنتجا في الضوء من محاكمة نسبية وانها لا تؤلفان الا حساباً تقريبياً اولياً . واذا كتبنا $\sigma = \frac{\nu}{c} = \frac{1}{\lambda}$ و $\sigma' = \frac{\nu'}{c} = \frac{1}{\lambda'}$ تعطينا الصيغتان المتقدمتان :

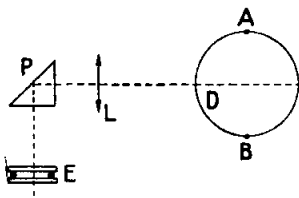
$$\frac{\sigma' - \sigma}{\sigma} = \frac{\Delta\sigma}{\sigma} = \frac{v_r}{c}$$

$$\frac{\Delta\lambda}{\lambda} = - \frac{\Delta\sigma}{\sigma} = - \frac{v_r}{c}$$

و

فإذا كانت $\lambda = 6000 \text{ \AA}$ و $v_r = 50 \text{ m/s}$ ، فان $\Delta\lambda = - 10^{-3} \text{ \AA}$.

٥ - تجربة فابري . - بضاء قرص من الورق الابيض D (قطره ١٦ مم) بضوء وحيد اللون كثير الصفاء (الشعاعه الخضراء لمصباح بخار الزئبق بضغط خفيف ، وهو غير ممثل في (الشكل ١٣ - ٢٦) فاذا نظر الى القرص في استقامة



قليلة الميل على مستوي D ، بدا القرص كقطع ناقص كثير التسطح . والضوء المنتثر في هذه الاستقامة مرسل من الموشور P ذي الانعكاس الكلي على مقياس التداخل لبيرو وفابري (٤ ، ١٣ ، ٥) وبعد ان يجعل البعد بين

صفحتي هذا المقياس ٦٥ مم ويدور القرص بسرعة كبيرة (٢٠٠ دورة في الثانية) ، يدار P قليلاً بحيث يمكن استخدام اما الضوء المنثور من قبل المنطقة A من D (التي تقترب من الجهاز) او الذي تنثره B (التي تبتعد عنه) فيلاحظ انتقال في الحلقات المنظورة بمحدود سدس هذب يقابله انتقال نسبي لطول الموجة في حدود 10×10^{-7} .

يظهر فعل دوبلر بشكل أحسن من ذلك ايضاً في الدراسات الطيفية الفلكية (الفقرة ١٧ - ٩) وهناك احياناً سبب آخر لانتقال ضعيف للخطوط الطيفية (فعل اينشتاين ، الفقرة (١٧ - ١٨) .

١٣ - ١٠ . - اسباب عرض الخطوط :

هذه الاسباب عديدة . احدها يطرأ على الذرات نفسها باعتبارها الشخصي وذلك هو العرض الطبيعي وسبب آخر يرتبط بتوزع سرعات الانتقال (الانزياح) في جملة ذرات حتى ولو كان بلا تأثير متبادل ، مثلاً هو الأمر في الغاز الكامل : وهو فعل دوبلر - فيزو . وهناك اخيراً اسباب اخرى ناجمة من الافعال المتبادلة للذرات : الاصطدامات وافعال الحقل .

(١) **العرض الطبيعي.** في النظرية الكلاسيكية التي تنظر الى الذرات كأنها هي هزازات او طنانات ، يجر تخامد الاهتزازات شيئاً من العرض على الخطوط الممتصة او المصدرة .

وفيما يتعلق بخطوط الامتصاص ، قد رأينا (الفقرة ٩ - ١٢) ان نصف العرض يساوي العامل h لحد التخامد المتناسب مع السرعة في معادلة الحركة . وبالنسبة الى خطوط الاصدار ، تؤدي النظرية الكلاسيكية الى النتيجة عينها .

ان الهزازة الكلاسيكية هي ، في الواقع متخامدة لأنها تضيع الطاقة الميكانيكية المتحولة الى طاقة اشعاعية. لتقدير قوة التخامد F التي تنتج من ذلك ، وبما ان الطاقة التي تضيع هكذا خلال دورة هي صغيرة جداً ، فلنكتب بأن عمل هذه القوة خلال دورة يساوي تضييع الطاقة بالاشعاع :

$$\int_0^T F ds = \int_0^T p dt$$

يفرض p الاستطاعة المشعة الانية المعطاة بالعلاقة $(\frac{d^2s}{dt^2})^2$ ، وهي متناسبة مع مربع التسارع . فينتج من ذلك ان القوة F هي متناسبة مع السرعة ، لانه يمكن كتابة الصيغة السابقة :

$$\int F \frac{ds}{dt} dt = \int p dt$$

ومنه :

$$F \frac{ds}{dt} = p = A \left(\frac{d^2s}{dt^2} \right)^2$$

مع :

$$A = \frac{q^2}{6 \pi \epsilon_0 c^3}$$

ومن جهة ثانية لدينا المطابقة الانية من اجل هزازة شبه جيبية :

$$\left(\frac{d^2s}{dt^2} \right)^2 = \omega_0^4 s^2 = \left(\frac{d^3s}{dt^3} \right) \left(\frac{ds}{dt} \right)$$

ومنه :

$$F = A \frac{d^2 s}{dt^2} = A \omega_0^2 \frac{ds}{dt}$$

فعامل القوة المخمدة يكون إذن :

$$mk' = \frac{q^2 \omega_0^2}{6 \pi \epsilon_0 c^3}$$

ونصف العرض هو k'' بالنبض ، اي بطول الموجة ؛ ومنه بما أن $\lambda = 2 \pi c / \omega$

$$\frac{\Delta \lambda}{2} = \frac{2 \pi e k''}{\omega_0^2} = \frac{\lambda_0^2 k''}{2 \pi e} \quad [٥،١٣]$$

أو :

$$\frac{\Delta \lambda}{\lambda_0^2} = \frac{k''}{\pi c} \quad [٦،١٣]$$

بلاحظ (٤،٣-٤) ان $\frac{k'}{2\pi}$ يمثل مقلوب الزمن الذي تنقص السعة في نهايتهالى $\frac{1}{e}$ من قيمتها الاصلية ($e =$ اساس اللوغاريتم الطبيعي) ، فإذا قبلنا أنهذا الزمن يميز مدة قطار الامواج ، فطوله يكون $L = \frac{c}{k''}$ ، والعلاقة [٦،١٣]

تعود الى العلاقة [٢٢،٤] .

ومن اجل الالكترون ، تعطي الصيغة [٦،١٣] :

$$\Delta \lambda = 1,1 \cdot 10^{-14} \text{m} \quad (1,10 \cdot 10^{-4} \text{\AA})$$

وهي قيمة أخفض بكثير مما يمكن قياسه بالطرق العادية . ان شكل منحنى الشدة

المسمى المنظر الجانبي للنقط هو ممثل بالشكل ١٣ - ٢٧ .

يعطي ميكانيك الكم عن العرض الطبيعي تفسيراً مخالفاً سيدرس في

الفقرة ١٤-٧ .

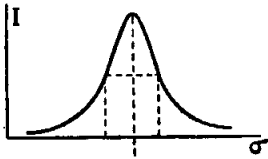
(ب) فعل دوبلر - فيزو . قد درس في الفقرة ١٣ - ٩ .

ان الذرات والجزيئات لها سرعات متجهة في جميع الاتجاهات ، وقيمها موزعة حول قيمة وسطى (٢ ، الفقرة ١٢ ، ٥) :

$$\bar{u} = 0,92 \sqrt{\frac{3RT}{M}}$$

ونحصل على قيمة تقريبية لعرض خط من الخطوط اذا قبلنا بأن الذرات تبعد عن الملاحظ او تقترب منه بالسرعة الوحيدة \bar{u} ، وفي هذه الفرضية يصبح العرض ، وفقاً لـ [٥ ، ١٣] .

$$\Delta \lambda = 2 \lambda \frac{\bar{u}}{c}$$



الشكل ١٣-٢٧ - المنظر الجانبي للخط الطيفي : العرض الخاص .

من اجل الخطين D للصوديوم ، في الدرجة $T = 500^\circ K$ يبلغ العرض المحسوب $0,02 \text{ \AA}$ اي انه أكبر بـ ٢٠٠ مرة من العرض «الطبيعي» وهيئة المنحنى هي كما في الشكل ١٣-٢٧ .

(ج) الافعال المتبادلة للذرات . من السهل

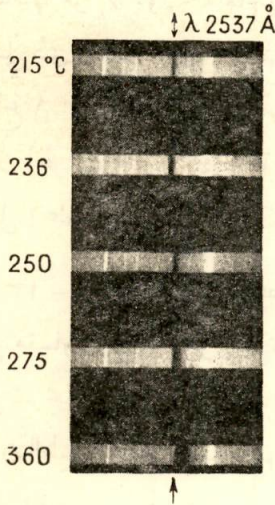
ادراك ميكانيكية التخماد الطارىء على الاصدار بالصدمات المتبادلة للذرات : ان كل صدمة تغير طور الهزاة وسعتها وتقطع قطار الامواج الذي تصدره الهزاة ، وان الامد المتوسط لقطار الامواج يساوي اذن الفاصل الزمني الذي ينقضي وسطياً بين صدمتين ، اي الى المدة τ للمسير الحر المتوسط (١١ ، ٢ - ٤) ومن العلاقة بين طول قطارات الامواج وعرض الخط ، يرى ان هذا العرض سيكون في حدود $\frac{1}{\tau}$ مقدراً بالتواتر ، وهذا يحقق صحة الحساب .

ان التخماد بالصدمات يتغير مع ضغط الغاز ، مثل المسير الحر المتوسط ،

فاذا كان الضغط في حدود المليمتر من الزئبق ، فان زيادة العرض الناجمة عن ذلك صغيرة ازاء الزيادة التي يحدثها فعل دوبلر .
في الدرجة والضغط العاديين يكون للفعلين قدران متقاربان في منطقة الضوء المرئي .

يبين الشكل ١٣ - ٢٨ تأثير ضغط البخار المشبع للزئبق في عرض الخط ٢٥٣٧ انغستروم في حالة الامتصاص .

٥- يمكن بيان تأثير الضغط في زيادة عرض خطوط الطيف بالتجربة الآتية:
بضوء مقياس التداخل لميكلسن، المنظم لاعطاء حلقات تساوي الميل (١٣٤، ٣-٣) بالشعاع الخضراء لمصباح بخار الزئبق بضغط متوسط . ومق بلمع المصباح نظام عمله الطبيعي يزداد فرق المسير ، بتنقيل المرآة المتحركة حتى تتشوش الحلقات بنتيجة عرض الخط (الفقرة ٤ - ١٦) . ثم يطفأ المصباح ويترك يبرد ثم يعاد اشعاله ، فيلاحظ خلال اللحظات الاولى حلقات ذات تباين جيد لان ضغط بخار الزئبق لا يزال بعد اضعف منه لدى العمل النظامي .



الشكل ١٣ - ٢٨

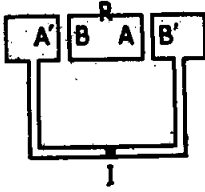
تزايد عرض خط التجاوب للزئبق (P)

ان الحقول الكهربائية التي يولدها جوار الايونات او الجزيئات القطبية ، يحدث زيادة في العرض بفعل ستارك . تحدث زيادة في العرض لا تحليل ، لان الحقول غير متجانسة وتتغير باستمرار . وتقدر هذه الزيادة بنفس حدود كبر الزيادات الناجمة عن فعل دوبلر وعن الصدمات .

تجارب

١٣ - أ. تبلغ قيمتا الكمونين الأولين لأتارة الليثيوم والصوديوم ، بالترتيب : ١٥٨٤ و ٢١٠ فولت . فبأي درجتي حرارة تبلغ الطاقة الحركية الوسطية الانتقالية للذرات هاتين القيمتين ؟

١٣ - ب. يمثل R في الشكل ، وعاء بالدرجة T



وجهه A أسود ، ووجهه B مصنوع من مادة عامل امتصاصها هو α_λ . ووجهه أمام إشعاع B ميزان حرارة تفاضلي ذي ضغط الهواء ، بوجهه A' الأسود وإلى إشعاع A الوجه B' الذي هو من نفس نوع B ، وكان

ميزان الحرارة هذا في حالة توازن قبل تعريضه لـ R ، فماذا تصبح وضعية الدليل I عندما يوضع R في المكان الممثل بالشكل ؟

١٣ - ج. يشبه لب عريض متجانس ، يصدر بالتوهج شعاعة وحيدة اللون بحجم متساوي درجة الحرارة ، محدود بمستوي yoz ويمتد جداً باستقامة Ox . وكل شريحة منه ثغنها dx تصدر وتمتص الاشعاع في نفس الوقت . بين ان المعان الطيفي الطافي لهذا اللهب يتجه نحو نهاية محددة عندما يزداد ثغنه x الى ما لا نهاية .

١٣ - د. يؤخذ منبع يصدر شعاعة طول موجتها $\lambda = 500 \text{ nm}$ ويوضع في حقل تحريض $B = 2 \text{ T}$ ؛ فيطراً على ضوئه المفحوص في استقامة موازية للحقل تضاعف بسبب فعل زيمان البسيط . ينير هذا الضوء اشارة ناظمية جملة مولدة للحلقات نيوتن ، تكون عدستها ومستوى الزجاج فيها متمايين اولاً ثم يباعدها بينهما تدريجياً . فمن اجل اي تباعد ادنى e تكون الحلقات قد اختفت ؟

١٣ - ٥ يبلغ نواتر جهاز اصدار الرادار القيمة $\nu = 6.10^8 \text{ Hz}$ و نواتر الحفقات بين الاشارات الملتقطة مباشرة وبين الاشارات المنعكسة على طائرة قادمة بالسرعة ν ، هو $\Delta\nu = 400 \text{ Hz}$ ، عين ν .

١٣ - و تهيج ذرات من الهيدروجين بواسطة تفريغ كهربائي في غاز مخجل فتنتشر في فضاء خال وفق مسار مستقيم Ox ، بالسرعة ν . وعند قياس طول الموجة لاحدى الشعاعات المصدرة يحصل على القيمة $\lambda_1 = 4855,45 \text{ \AA}$ في استقامة الانتشار و $\lambda_2 = 4861,33 \text{ \AA}$ في استقامة عمودية عليه . احسب ν .

١٣ - ز يُتلقى على فرجة مقياس الطيف ضوء طول موجته λ_0 ، ينتج مثلما قلنا في التمرين السابق ١٣ - و ، وهو منتج من قبل منطقة ضيقة من الحزمة الذرية . فواصلها محدودة ما بين x و $x + dx$. فاذا ابقينا dx ثابتاً ونقلنا المستقبل تنقيلاً موازياً ل Ox ، نلاحظ تناقصاً في الشدة I ، وفقاً للقانون

$$I = I_0 \exp (-2Kx) \text{ مع } 2K = 138 \text{ m}^{-1}$$

احسب العمر المتوسط τ لذرة الهيدروجين H في حالة التهيج (وهو الزمن الذي ينقص في نهايته العدد N للذرات المثيجة الى النسبة $1/e$ من قيمته الاصلية) استنتج من ذلك λ_0 العرض الطبيعي ، للخط الطيفي المبحوث (الفقرة ١٣ - ١٠) .

متاح للتحميل ضمن مجموعة كبيرة من المطبوعات من صفحة

مكتبتي الخاصة

على موقع ارشيف الانترنت

الرابط

https://archive.org/details/@hassan_ibrahem

الفصل الرابع عشر

الاطياف الذرية

رأينا في الفصل ١٣ أن الاطياف الذرية تقع على الدوام تقريباً في المنطقة المرئية وما فوق البنفسجي (ويمكن احياناً ان تحوي خطوطاً تقع في منطقة تحت الاحمر) وسنرى علاوة على ذلك في هذا الفصل ، اطياف الاشعة السينية التي هي مميزة ولا تتعلق كثيراً بالتركيب الكيماوي الذي تدخل فيه الذرات . ان تفسير هذه الاطياف ، مع تفسير الخواص الفيزيائية والكيماوية للعناصر ، يؤدي الى اراءنا الحالية عن بنية الذرات . كما سنرى في الجزء ٨ .

١٤ - ١ . — اطياف ذرة الهيدروجين والذرات أو الايونات المشابهة

للهدروجين .

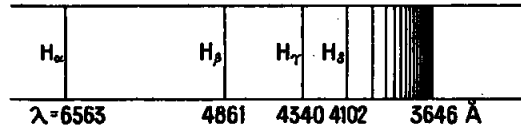
ان ذرة الهيدروجين التي هي اخف الذرات ، لها ايضاً ابسط البنيات . ولم يُر لها سوى كمن تآين واحد (٦ ، ١٧ - ٣) قيمته هي ١٣,٥٤ فولت . فهذه الذرة لا تحوي اذن الا على الكترون واحد . وان طيف اصدارها ، الذي يسهل الوصول اليه بالتفريغ بتوتر عالٍ في الغاز الخفيف الضغط (الفقرة ١٣ - ٣) الذي يحلل الجزيء H_2 ، ثم يهيج الذرات ، هو ابسط طيوف الخطوط . اذ أنه يتألف في القسم المرئي من اربعة خطوط (الجدول ٤ - ١) من السهل ملاحظتها ، وفي منطقة ما فوق البنفسجي من سلسلة خطوط اخرى آخذة بالتدريج في التقارب من بعضها بعضاً وفي الضعف ايضاً (الشكل ١٣ - ٤ ، اللوحة ٥) . ويلاحظ امتصاص هذه الخطوط نفسها في الطيف المرئي للشمس ، حيث تكون

جزءاً من خطوط فراونهوفر (الفقرة ١٧ - ٦) وكذلك في طيف بعض النجوم . ويبيد مجموع هذه الخطوط انتظاماً ملحوظاً ، على انه لم يتسن الا في عام ١٨٨٥ لبالمر Balmer ان يجد صيغة قادرة على ان تمثل اطوال امواج الخطوط التي كانت معروفة حينئذ ، وقد خضعت لها امواج الخطوط التي اكتشفت فيما بعد ، ويمكن ان تكتب صيغة بالمر كما يلي :

$$\sigma = \frac{1}{\lambda} = R \left(\frac{1}{2^2} - \frac{1}{n^2} \right) \quad [١٤ ، ١]$$

حيث R هي ثابتة تسمى اليوم ثابتة وايدبرغ Raydberg ، و n عدد صحيح يمكن عندما تعطى له القيم المتتابة : ٣ ، ٤ ، ٥ ، ... من تمثيل جميع الخطوط الملحوظة بترتيب اطوال امواجها المتناقصة ، ابتداءً من الخط الاحمر . $\lambda = 6563 \text{ \AA}$

وعندما تزداد n الى ما لا نهاية تتناهي σ الى $R/4$ ، وتسمى هذه القيمة بحد سلسلة الخطوط العائد الى الصيغة [١٤ - ١] المسماة بسلسلة بالمر . وان خطوطها تتراص على بعضها تدريجياً مقربة من الحد النهائي (الشكل ١٤ - ١) .

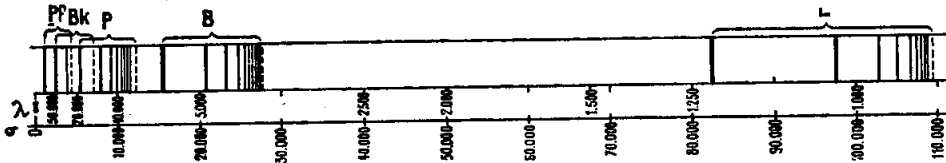


الشكل ١٤ - ١ . - صورة مبسطة لسلسلة بالمر .

واذا كانت $R = 109677.7 \text{ cm}^{-1}$ فان الفرق النسبي بين الاعداد المحسوبة والقيم التجريبية للخطوط المعروفة الآن والتي تقارب الثلاثين لا يتجاوز ١٠-٥ . والجدول الآتي يمكن من اجراء المقارنة بالنسبة الى الخطوط الاولى .

الجدول ١٤ - ١
الخطوط الأولى لسلسلة بالمر

n	:	٣	٤	٥	٦	٧	٨	...
λ المنظورة:	٠,٧	٦٥٦٣,٠٥٢	٤٨٦١,٥٢	٤٣٤٠,٦٤	٤١٠١,٩٠	٣٩٧٠,٢٤	٣٨٨٩,٢١	...
λ المحسوبة:	٠,٤	٦٥٦٣,٠٤	٤٨٦١,٤٩	٤٣٤٠,٦٦	٤١٠١,٩٠	٣٩٧٠,٢٥	٣٨٨٩,٢١	...



الشكل ١٤ - ٢. مبسط للطيف الكامل لذرة الهيدروجين ($L =$ سلسلة لايمان
B : سلسلة بالمر ، P : سلسلة باشن . Bk : سلسلة براكيت ، Pf : سلسلة بفوند .

تبين التجربة في طيف الهيدروجين عن وجود سلسلات أخرى من الخطوط
يمكن تمثيل أعدادها الموجية بصيغ مماثلة لـ [١,١٤] واحداها (وهي سلسلة
لايمان Lyman) تقع كلها في ما فوق البنفسجي وتبدأ بـ $\lambda = 1216 \text{ \AA}$ ،
والسلاسل الأخرى توجد في ما تحت الأحمر الأدنى منه والاقصى . وبين
الشكل ١٤ - ٢ مبسطاً لكامل طيف الهيدروجين ولتختلف السلاسل التي يتألف
منها . لكل سلسلة نهاية ممثلة بالخط المنقط . ومن الممكن تعديل الصيغة [١,١٤]
بحيث أنها لا تمثل عدد امواج الخطوط في كل سلسلة فحسب ، بل تمثل أيضاً
المكان الترتيبي لمتختلف السلاسل ، وبالنتيجة خطوط مجمل الطيف . ويمكن في
الواقع ان نكتب :

$$\sigma = R \left(\frac{1}{n_0^2} - \frac{1}{n^2} \right) \quad [٢,١٤]$$

باعتبار n_0 عدداً صحيحاً ، ثابتاً بالنسبة الى سلسلة معينة ويتغير من سلسلة الى اخرى . فمثلاً في سلسلة لايمان $n_0 = 1$ وفي سلسلة بالمر $n_0 = 2$ وفي السلاسل التي تتوالى في ما نحت الاحمر ... $n_0 = 3, 4, 5$ ونهاية كل سلسلة لها عدد موجي :

$$\alpha_{\infty} = \frac{R}{n_0^2}$$

(ب) ان طيف الدوتيريوم D (نظير الهيدروجين وعدده الكتلي ٢) لا يختلف عن الهيدروجين الا بانتقال خفيف للخط نحو الامواج القصيرة (الشكل ١٤-٣ ، اللوحة ٥) ^(١) ويمكن تمثيله بالصيغة [٢،١٤] مع اعطاء R قيمة اكبر بقليل من قيمتها الاولى :

$$(R = 109\,707,42 \text{ cm}^{-1})$$

ان طيف الشرر للهليوم، الذي حسبنا قبل في (الفقرة ١٣-٣) تصدره الذرة المتأينة He^+ ، يتألف من خطوط اعدادها الموجية يمكن ان نحسب بصيغ مماثلة لـ [٢،١٤] مع ثابتة R اكبر بأربع مرات تقريباً من قيمتها في الهيدروجين . وهناك سلاسل فيها $n = 2, 3, 4$ ، وهي تمتد بين ١٠٠٠ و ١٠٠٠٠ انغستروم تقريباً . ويصدر الليتيوم المضاعف التآين Li^{++} طيفاً شبيهاً بالسابق ، مع ثابتة R اكبر بتسع مرات تقريباً من ثابتة رايدبرغ .

لهذه الايونات صفة مشتركة مع ذرة الهيدروجين ، وهي أنها لم تعد تملك سوى الكترون واحد . والذرة المعتدلة للهليوم لها الكترونان وليتيوم ثلاثة . ويطلق عامة اسم الذرة او الايون المشابهة للهيدروجين على جلة النواة الذرية والكترون واحد . وان الصيغة التي تمثل سلاسل ايون كهذا تكتب على وجه التقريب :

$$\sigma = RZ^2 \left[\frac{1}{n_0^2} - \frac{1}{n^2} \right] \quad [٣،١٤]$$

(١) ان الدوتيريوم قد اكتشف بفضل طيفه الاصداري عام ١٩٣١ .

والعدد الصحيح Z المسمى بالعدد الذري (الفقرة ١ - ٧) للعنصر المبعوث ،
يمثل عدد الالكترونات التي تحويها الذرة المعتدلة او شحنة النواة ، معبراً عنها
بالواحدات الالكترونية . $Z=1$ للهيدروجين والدوتيريوم و $Z=2$ لـ He^+
و $Z=3$ لـ Li^{++} .

١٤ - ٢ . طيف ذرة الصوديوم :

(أ) يمكن الحصول على طيف الاصدار للذرات القلوية كما يلي :

٥- تؤخذ فحمتا القوس وتثقبان في اتجاه المحور بثقب صغير توضع فيه قطعة
من المعدن . وتفجر القوس بين هاتين الفحمتين القائمتين ، على ان يكون المصدر
هو الاسفل . تبلغ شدة التيار ٢ - ٣ أمبير ، وبشكل بواسطة عدسة من
الكوارتز ، خيال للهب القوس على شق مسجل الطيف يكون موشوره من
الكوارتز ، وطول هذا الشق قصير بالقدر المناسب . يستعان بلوحات تصوير
حساسة على جميع الاضواء ، ويكون زمن التعريض في حدود بضع ثوان من
اجل اطول الشعاعات موجات ومن ٥ الى ١٠ مرات اكبر من ذلك من اجل
الخطوط فوق البنفسجية .

واذا لم يتيسر سوى مطياف موشوره من الزجاج تظل التجربة مهمة بالرغم
من انها تكون اقل كالأولى .

وبالرغم من ان الليتيوم هو ابسط المعادن القلوية ، فان طيف الصوديوم
اسهل دراسة مع بعض التفصيل بواسطة المطيافات العادية . ويبين لنا الشكلان
١٤-٤ و ١٤-٥ (في اللاوحة ٦) قسماً من طيف امتصاص فوق البنفسجي لبخار
الصوديوم ، في درجة حرارة لا تصدر فيها هذه الابخرة اشعاعاً مرئياً او فوق
البنفسجي . ونذكر بأن هذا الطيف يحوي على الخطين D (الفقرة ١٣ - ٦)

ويشمل أيضاً الخطوط ٢٣٠٢ و ٢٨٥٣ و ٢٦٨٠ انغستروم من طيف الاصدار .

(ب) ان طيف الصوديوم هو اذن اكثر تعقيداً من طيف الهيدروجين . ومجمل بالكيفية الآتية : يلاحظ أولاً ان خطوط الامتصاص تؤلف سلسلة منتظمة (الشكل ١٤ - ٦) . ونجد بأن اعدادها الموجبة ممثلة تماماً بالصيغة :

$$\sigma = R' \left[\frac{1}{(1,64)^2} - \frac{1}{(n-p)^2} \right]$$

حيث R' هي ثابتة قريبة جداً من ثابتة رايدبرغ ، و n عدد صحيح يمكن ان يأخذ القيم ٣ ، ٤ ، ... وهذه الصيغة يمكن ان تكتب ايضاً على الشكل الآتي :

$$\sigma = R' \left[\frac{1}{(3-s)^2} - \frac{1}{(n-p)^2} \right] \quad [٤،١٤]$$

حيث p تساوي ٠,٨٨ و s تساوي ١,٣٦ وبالرغم من ان الصيغة [٤،١٤] تذكر بالصيغة [٢،١٤] العائدة الى المذروجين ، فانها اقل بساطة منها . والسلسلة السابقة تسمى السلسلة الرئيسية ، والخط D هو اول السلسلة في حالة الصوديوم .

توى خطوط السلسلة الرئيسية في طيف الاصدار . فاذا اخرجت منه ، بقي في هذا الطيف خطوط يمكن تصنيفها في صنفين حسب شكلها : اولاهما مغبشة (غير تامة الوضوح) (الخطوط d على الشكل ١٤ - ٥) وثانيها واضحة (الخطوط s على الشكل ١٤ - ٥) وتؤلف خطوط النوع الاول سلسلة تسمى المنتثرة يمكن تمثيلها بالصيغة :

$$\sigma = R' \left[\frac{1}{(3-p)^2} - \frac{1}{(n-d)^2} \right] \quad [٥،١٤] \quad \text{حيث } (n=3,4,5 \dots)$$

تؤلف الخطوط الواضحة كذلك سلسلة نوسم بالصيغة وتبين التجربة ان

نهايتها هي نفس نهاية السلسلة المنتثرة : فالحد الثابت في الصيغة التي تمثل السلسلة الضيقة هو أيضاً نفس الحد الذي في [١٤-٥] ، ويكون معنا بالنتيجة من أجل هذه السلسلة :

$$[٦،١٤] \quad \sigma = R' \left[\frac{1}{(3-p)^2} - \frac{1}{(n-s)^2} \right] \quad \text{حيث } (n=4,5,\dots)$$

تبين التجربة ان s هي الثابتة التي تدخل في الصيغة [١٤،٤] .
يوجد أيضاً سلاسل أخرى ، احداها التي في منطقة تحت الاحمر (السلسلة الاساسية) يعبر عنها بالصيغة :

$$[٧،١٤] \quad \sigma = R' \left[\frac{1}{(3-d)^2} - \frac{1}{(n-f)^2} \right] \quad \text{حيث } (n=4,5,6,\dots)$$

وحيث d هي ثابتة الصيغة [١٤-٥] و f ثابتة جديدة صغيرة جداً^(١) .
يمثل الشكل ١٤-٧ مبسطاً للسلاسل الرئيسية ، المنتثرة والضيقة والاساسية للصوديوم^(٢) .

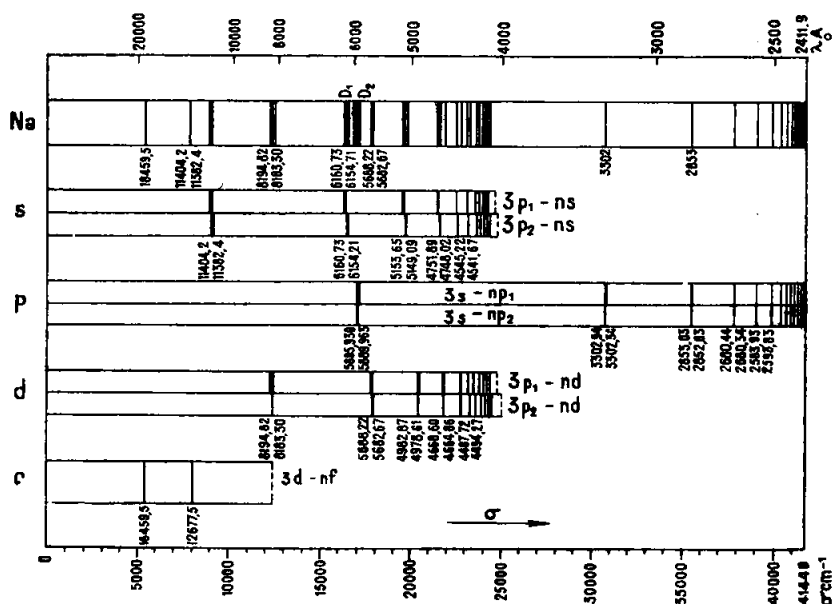
ج) يعطينا ما تقدم فكرة عن المسير الذي اتبعه المشتغلون بالاطياف من أجل حل رموز اطياف الخطوط للعناصر . وان طريقة توليد الطيف ومقارنة اطياف الاصدار والامتصاص وشكل الخطوط ليست المعيار الوحيدة التي تمكن من معرفة نسب الخطوط . ان بنيتها (الفقرة ١٤-١١) والتعديلات التي

(١) قد يبدو انه من البسط ان نكتب في الصيغة [١٤-٤] : $1164 = 2 -$
٩٣٦ ، وان ننقص بمقدار وحدة قيم n في [١٤،٦] أو أن نكتب $1164 = 1 +$
١١٦٤ . وان تأخذ ثابتين p و d ننضافان الى الاعداد n . وسنرى في الفقرة ١٤-٨ تبريراً لطريقة الكتابة السابقة .

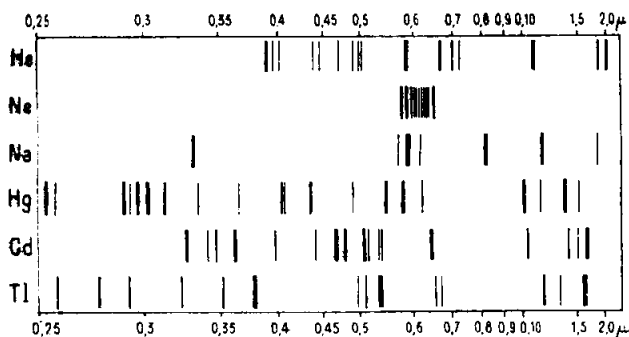
(٢) ان الاحرف s, p, d, f في الصيغ [١٤،٤] الى [١٤،٧] هي على الترتيب الاحرف الاولى من اوصاف السلاسل (Sharp = s) اي ضيق او حاد في اللغة الانكليزية .

٤٩ [١٤-٢] طيف ذرة الصوديوم

تطراً عليها عندما يخضع المنبع لتأثير حقل كهربائي (الفقرة ١٣ - ٨ د) وخاصة الى حقل مغناطيسي (الفقرة ١٣ - ٨ أ) نعطينا ايضاحات قيمة من اجل تصنيفها



الشكل ١٤-١ : مبسط طيف الصوديوم . Na = الطيف الكامل ، s = السلسلة الضيقة ، p = السلسلة الرئيسية ، d = السلسلة المنتثرة ، f = السلسلة الامامية .



الشكل ١٤ - ٩ : الخطوط الرئيسية لاصدار الغازات والابغرة الهبة باستعمالها ،

وهذا العمل هو احياناً شاق جداً ولم ينته حتى الآن : ان طيف الحديد مثلاً ، الذي يستخدم معياراً في علم الاطياف يحتوي على ٤٠٠٠ الى ٥٠٠٠ خط . والشكل ١٤ - ٨ (اللوحة ٦) يبين الطيف المرئي وفوق البنفسجي للزئبق وهو منبعع مستخدم عملياً (١٤ - ٦) والشكل ١٤ - ٩ هو مبسط للخطوط الرئيسية للغازات او للأبخرة المهمة باستعمالها التقنية .

١٤ - ٣ . — الحدود الطيفية . مبدأ التركيب .

أ (لقد سبقت الإشارة إلى أن جملة خطوط الاصدار لذرة الهيدروجين يمكن أن تمثل بالصيغة الوحيدة :

$$\sigma = R \left(\frac{1}{n_0^2} - \frac{1}{n^2} \right) \quad [١٢،١٤]$$

حيث n و n_0 هما عددان صحيحان

كذلك ان الصيغ [٤،١٤] إلى [٧،١٤] المتعلقة بخطوط العناصر القلوية يمكن أن تكتب تحت الشكل العام :

$$\sigma = R' \left[\frac{1}{(n_0 - a)^2} - \frac{1}{(n - a')^2} \right] \quad [٨،١٤]$$

حيث n و n_0 هما عددان صحيحان و a و a' عددان مختلفان من سلسلة طيفية إلى أخرى ، وكذلك ايضاً من عنصر إلى آخر .

استنتج ريتز Ritz ، الذي يعود إليه الفضل في التعميمات السابقة ، الاستنتاج الذي ينجم عنها مباشرة والذي هو معروف باسم مبدأ التركيب : إن العدد الموجي لحظ طيفي تصدره ذرة من نوع معين يمكن أن يمثل بالفرق بين حدين طيفيين يميزين لهذه الذرة ولهما شكل جبري واحد :

$$\sigma_{n_0, n} = T_{n_0} - T_n \quad [٩،١٤]$$

لا يوجد للهيدروجين سوى نموذج واحد من الحدود الطيفية :

$$T_n = \frac{\mathcal{R}}{n^2} \quad [١٠,١٤]$$

ان الخطوط الطيفية هي نتيجة التجربة (معطيات التجربة) وأما الحدود فنستنتج منها .

ينتج التبسيط من أنه إذا كان هنالك t حدّاً ، وكان يمكن تركيب كل حد مع جميع الحدود الأخرى ، فان عدد الخطوط الممكن هو :

$$(t-1) + (t-2) + \dots + 2 + 1 = \frac{(t-1)t}{2}$$

يمكن بـ ٢٠ حدّاً تصنيف قرابة ٢٠٠ خط . وان المقارنة بين مختلف اعداد الأمواج في أزواج الخطوط الملحوظة يوصلنا إلى الحدود . فلدينا مثلاً :

$$\begin{aligned} \sigma_{1,4} - \sigma_{2,4} &= (T_4 - T_1) - (T_4 - T_2) = T_2 - T_1 \\ \sigma_{1,5} - \sigma_{2,5} &= (T_5 - T_1) - (T_5 - T_2) = T_2 - T_1 \end{aligned} \quad \text{وكذلك :}$$

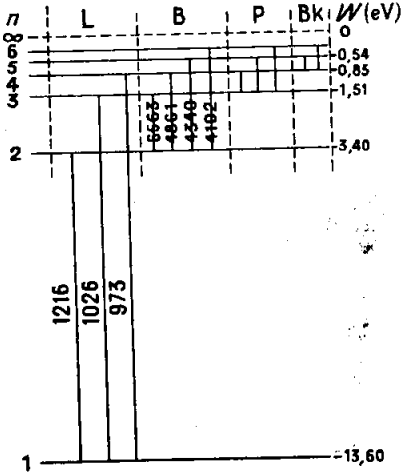
يبين الشكل ١٤ - ١٠ حدود ذرة الهيدروجين .

إن مبدأ التركيب من نتائجه أيضاً أن الفرق بين الأعداد الموجية لخطين من سلسلة معينة يساوي العدد الموجي لخط من سلسلة أخرى ، إن لدينا في الواقع :

$$\sigma_{n_0,n} - \sigma_{n_0,n'} = (T_n - T_{n_0}) - (T_{n'} - T_{n_0}) = T_n - T_{n'} = \sigma_{nn'}. \quad [١١,١٤]$$

ب) يوجد للمعادن القلوية أنواع من الحدود بقدر ما للثابتين a و a' من قيم في [١٤، ٨] ؛ فيكتب الحد الطيفي إذن :

$$T_{n,a} = \frac{\mathcal{R}'}{(n-a)^2}$$



الشكل ١٤ - ١٠
مبسّط الحدود الطيفية للهيدروجين
والانتقالات المقابلة (نفس رموز السلاسل
التي في ١٤ - ٢) .

وقد رأينا أنه في أهم سلاسل خطوط
الصوديوم - وهذه النتيجة تنطبق على
غيره من القلوبات - يمكن أن تأخذ a أربع
قيم مختلفة ممثلة بالأحرف f, d, p, s .

فهناك إذن أربعة أنواع للحدود T تكتب غالباً بشكل مختصر nT وهي :

$$nF = \frac{R'}{(n-f)^2}, \quad nD = \frac{R'}{(n-d)^2}, \quad nP = \frac{R'}{(n-p)^2}, \quad nS = \frac{R'}{(n-s)^2}$$

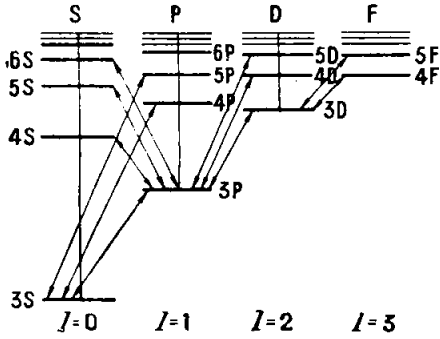
إذن فسلاسل الخطوط التي تعطيها الصيغ $[4, 14]$ إلى $[7, 14]$ يمكن
أن تكتب :

$$3P - nS \quad (n = 3, 4, \dots \text{حيث}) \quad 3S - nP \quad [12, 14]$$

$$3D - nF \quad (n = 3, 4, \dots \text{حيث}) \quad 3P - nD$$

تبين الصيغ $[12, 14]$ أن الفروق بين أي حدين كانا ، لا تعطي بالضرورة
تواترات الخطوط الملحوظة فعلاً ، ولكن أن تركيبات ريتز هي محددة بأزواج
الحروف المتجاورة من نفس الخط .

يبين لنا الشكل ١٤-١١ الحدود الطيفية لذرة الصوديوم : وهي تؤلف أربعة
أعمدة F, D, P, S وأن الفروق الممثلة بخطوط مائة والعائدة إلى الخطوط
الملحوظة لا تصل ، حسب أجرى القول فيه ، إلا سوياً عائدة إلى أعمدة متجاورة .



الشكل ١١ - مبسط للحدود الطيفية للصوديوم وبدون البنية ذات الثنائيات

يبين لنا هذا المثال قاعدة

للاصطفاء . ويطلق هذا الاسم على القواعد التجريبية التي تحدد التركيبات الممكنة . إن جميع الخطوط الطيفية هي تركيبات من حدين ولكن كل تركيبة من حدين لا تقابل بالضرورة خطأ ملحوظاً .

لا يوجد في طيف ذرة

المدروجين قاعدة للاصطفاء . والقاعدة المتقدمة العائدة إلى المعادن القلوية قد يتفق أن تكون خطأً إذا كانت الذرة في شروط استثنائية من التهييج ، مثلاً عند خضوعها إلى حقل كهربائي شديد جداً .

١٤ - ٤ . — نظرية بور في الأطياف الذرية .

أ (وفقاً لما بيناه في الفقرة ١ - ٥ ب ، ان بنية الأطياف الذرية لا يمكن تفسيرها بصورة الشحنات الكهربائية المتحركة في امتزاز أو دوران ، نشع كأنها ثنائيات الأقطاب لهرتز . لتصور في الواقع ذرة هيدروجين ، وهي لا تملك سوى الكترون واحد ، ولنفرض هذا الالكترون في حركة دورية حول نواة الذرة . إن تفاصيل هذه الحركة ستدرس في الفقرة ١٤ - ٧ ، وعلى كل حال يمكن تفريقها بسلسلة فورييه (٣ ، ٣ - ٤) وتبين نظرية الاصدار أنه ينبغي أن نجد في الاشعاع شعاعات لها تواترات مركبات الحركات ، أي تواتر أسامي وأمثاله الصحيحة . ولكن سلاسل خطوط الهيدروجين ، كغيرها من سلاسل الذرات الأخرى ، لا تؤلف أبداً سلسلة من المدرجات .

إن الانتاج نفسه لطيف خطوط ذي تواترات معينة تماماً يثير مشاكل أخرى . إن الالكترون عندما يشع يفقد من طاقته باستمرار ، على حساب طاقته الميكانيكية ، فلما كان نصف قطر مداره يتناقص وتواتره يزداد باستمرار، فإنه ينبغي أن تكون الحالة كذلك بالنسبة إلى الشعاعات المصدرة ، أي أن الطيف ينبغي أن يكون متصلاً ابتداءً من تواتر أدنى .

أضف إلى ذلك أن الذرة لا تعود مستقرة : فعلاوة على أن التسارع الذي سبق لنا اعتباره ينتهي بسقوط الالكترون على النواة ، ان قوانين الميكانيك الكلاسي تقضي بأن الاصطدامات المحتملة للذرات ينبغي أن تدخل الاضطراب على الحركات الالكترونية بحيث لا يمكن تصور وجود تواترات ثابتة .

(ب) تخلى بور (عام ١٩١٣) عن فكرة التماثل بين تواترات الشعاعات وتواترات حركات الالكترونات . إن التجارب على تهيج الاصدار في الذرات بالصددمات الالكترونية (١٧ ، ٦ - ١١) تبين أن الذرات تمتص الطاقة التي تفقد للإشعاع ، ويكون الامتصاص بكميات متقطعة . وان الفعل الكهرضوئي (١٦ ، ٦ - ٢٢ و ٢ ، ٤ - ١٢) يؤدي حتى إلى القبول بأن الطاقة التي ينقلها إشعاع كهروضوئي تواتره ν هي محوية فيه بشكل كيات عنصرية او فوتونات ، قدرها $h\nu$ ، حيث h هي ثابت بلانك Planck التي تمكن دراسة الفعل الكهرضوئي من تعيينها : $h = 6,5 \times 10^{-34}$ جول - ثانية .

فإذا قربنا جملة الوقائع هذه من الصيغة [١٤ ، ٢] التي تعطي تواترات الخطوط ، رأينا أن طاقة الفوتون العائد إلى خط معين هي :

$$h\nu = hc \sigma = hc \mathcal{R} \left(\frac{1}{n_0^2} - \frac{1}{n^2} \right) \quad [13, 14]$$

وان الحدود الطيفية [١٤ ، ١٠] مرتبطة بسويات طاقة للذرة :

$$W_n = -hc T_n = -\frac{hcR}{n^2} \quad [١٤،١٤]$$

(مستفسر الاشارة - في الفقرة ١٤-٥) .

اعتبر بور ان حالات الذرة التي لها طاقات معطاة بالصيغة [١٤،١٤] هي حالات مستقرة ، اي انه ليس فيها طاقة مشعة ، وان الحركات فيها تتفق مع مبدأ انحفاظ الطاقة الميكانيكية ؛ وقبل ايضاً بأن طاقة الذرة لا يمكن ان تتغير الا بالانتقال من حالة مستقرة n الى حالة مستقرة اخرى n' وان الطاقة المستخدمة (المبذولة) تساوي $|W_{n'} - W_n|$. فنجد هكذا الصيغ التي هي من نوع البلر ونتخلص من الصعوبات المذكورة في أ) . ولكن وجود الحالات المستقرة هو موضوع مخالفة لمبادئ الميكانيك الكلاسي .

ج) ينتج مما تقدم ان ميكانيك داخل الذرة ينبغي ان يختلف عن الميكانيك الذي يصلح على مقياسنا والمركز على التجربة الدارجة . وقد وضعت مبادئ هذا الميكانيك الجديد فيما بعد ، وسندرسها في الجزء ٨ . اما الآن فسنتصر ، منما جرى تاريخياً ، على قبول موضوعات بور ، ولكن كما فعل هو نفسه ، مع السعي في ان نجد كيف ينبغي ان يجري ربط الميكانيك الذري بالميكانيك الكلاسي .

ان نجاح النظرية الحركية يدل على ان قوانين هذه النظرية تنطبق ايضاً على الحركات الانتقالية للجزيئات (٢ ، الفصل ١٠) وان الفروق بين نظرية الكم والنظرية الكلاسيكية تعود الى ان قيمة حبيبات الطاقة (الكمات) ليست لامتناهية في الصغر . وهذه الفروق تصغر كلما ازداد عدد هذه الكمات . فهذه الملاحظة قد تعطينا دليلاً مرشداً حتى ولو كان عدد الكمات صغيراً . وهكذا فنحن مساقون الى القبول بأن الميكانيك الذري مهما كان ، فانه ينبغي ان يعطي نفس النتائج التي يعطيها الميكانيك الكلاسيكي عندما تكون الكتل وابعاد المسارات كبيرة كبراً

كافياً . وهذا المنطوق الذي فيه بعض الغموض يؤلف مبدأ التقابل ، وسنرى الفائدة التي يمكن ان نالها منه عند البحث في ذرة الهدروجين .

١٤ - ٥ . — تطبيقات نظرية بور على ذرات اشباه الهيدروجين .

(أ) فلننظر من وجهة نظر الميكانيك الكلاسي في شروط توازن الالكترتون وهو يرسم مداراً حول نواة ذرة الهدروجين . ان المسألة شبيهة بمسألة حركة القمر حول الارض (١ ، ١٦ - ٤) او حركة كوكب سيار حول الشمس ، مع استبدال قوة الثقالة هنا بقوة كولون بين شحنتين عنصريتين $\pm e$ بعيدتين عن بعضهما بمقدار r ، وتعتبر هذه القوة سلبية في حالة التجاذب :

$$F = - \frac{e^2}{4 \pi \epsilon_0 r^2} = - \frac{A}{r^2} \quad [١٥،١٤]$$

فلنقبل قبل كل شيء بأن كتلة الالكترتون ، التي هي اصغر من كتلة نواة الهدروجين بـ ١٨٣٦ مرة، يمكن ان تعتبر مهمة ازاء هذه الاخيرة ، بحيث ان دوران الالكترتون يحدث حول النواة التي تعتبر هي مركز عطالة الكتلتين (الجزء ١ ، ٩ - ٩) . ان المحرك الذي يرسمه متحرك تحت تأثير قوة جاذبية مركزية تتغير عكساً مع مربع البعد r ، هو في الجملة قطع ناقص يشغل مركز الجذب احد محرقه . فلنشبه القطع الناقص الذي يرسمه الالكترتون بدائرة نصف قطرها r مركزة على النواة . ولتكن m_0 كتلة الالكترتون و f تواتر دورانه . ان التوازن بين القوة النابذة والقوة F يعطي العلاقة :

$$\frac{A}{r^2} = 4 \pi^2 f^2 m_0 r \quad [١٦،١٤]$$

والطاقة الحركية للالكترتون ، الذي مرعته $v = 2 \pi f r$ ، هي :

$$W_k = \frac{m_0 v^2}{2} = \frac{4 \pi^2 f^2 m_0 r^2}{2} = \frac{A}{2r} \quad [١٧،١٤]$$

وطاقته الكامنة الناشئة من الكهربائية الراكدة عبارتها :

$$W_p = \int_0^r \left(- \frac{A}{r^2} \right) dr = - \frac{A}{r} \quad [١٨،١٤]$$

فإذا قبلنا (٥-٢،٦) ان هذه الطاقة معدومة عندما يكون الالكترون بعيداً جداً عن النواة. يفتيح من هذا الاتفاق ان W_p سلبية . فالطاقة الميكانيكية الكلية للذرة هي بالنتيجة :

$$W = W_p + W_k = - \frac{A}{2r} = - \frac{e^2}{8\pi\epsilon_0 r} \quad [١٩،١٤]$$

هذه هي عبارة الطاقة لاحدى حالات بور الاستقرارية في ابطس تمثيل كلاسي (الحركة المستقرة للالكترون على محرك مستدير)^(١) .

فلنعمد الآن الى مقابلة النتائج السابقة مع نتائج الكشف الطيفي . فاذا اخذنا بعين الاعتبار [١٦،١٤] امكننا ان نستنتج [١٩،١٤] ، بعد حذف r :

$$\frac{W^3}{f^2} = - \frac{m_0 e^4}{32 \epsilon_0^2} \quad [٢٠،١٤]$$

ومن جهة اخرى ، قد رأينا ان طاقة السوية التي ترتيبها n ، لها العبارة الآتية :

$$W_n = - \frac{hc R}{n^2} \quad [١٤،١٤]$$

إذا فالفرق بين سويتين الطاقة n و $n+1$ ، يضعف كلما كبرت n .

(١) نؤكد على كون ان ثبات W لا يتحقق الا اذا اهلنا تضييعات الطاقة بالاشعاع، وهذا غير معقول في الكهربائية التحريكية الكلاسيكية ، ما دام الالكترون مسرعاً .

وعلى هذا فان سويات الطاقة تكون اشد تراساً كلما كبرت n . فتقترب عندئذ من الشروط الكلاسية حيث تستطيع الطاقة ان تتغير تغيراً متصلاً . واذا قارنا بين العبارتين [١٤،١٤] و [١٩،١٤] رأينا ان سويات الطاقة التي رتبها n مرتفعة تقابلها مدارات الكترونية ذات نصف قطر كبير . فالميكانيك الكلاسي ينطبق حينئذ بصورة تقريبية . وان الانتقال من منسوب n الى المنسوب (او السوية) $n+1$ يرافقه امتصاص التواتر ν المعطى بالعلاقة :

$$\nu = R c \left(\frac{1}{n^2} - \frac{1}{(n+1)^2} \right)$$

واذا كانت n كبيرة ازاء الواحد :

$$\nu = R c \frac{2 n + 1}{n^2 (n + 1)^2} \simeq \frac{2 R c}{n^3}$$

وبالنتيجة :

$$W_n = - \frac{h c R}{n^2} \approx h R c \left(\frac{\nu}{2 R c} \right)^{2/3}$$

او :

$$\frac{W_n^3}{\nu^2} = - R \frac{h^3 c}{4} \quad [21,14]$$

ليس بالامكان على العموم ، تمثيل او تشبيه التواترات الضوئية ν الممتصة او المصدرة ، بالتواترات الميكانيكية f للحركات الدورية للالكترون المشع ، ولكن هذه التواترات هي متطابقة في النظرية الكهرطيسية للاشعاع (١٠،٤٨ - ٤) . ويؤدي مبدأ التقابل الى مطابقة الصيغتين [٢٠،١٤] و [٢١،١٤] ، وذلك يعطي لثابتة رايدبرغ القيمة :

$$R = \frac{m_0 e^4}{8 \pi \epsilon_0^2 h^3 c} \quad [22,14]$$

والأقدار الداخلة في الطرف الثاني معلومة : فيعطي الحساب $R = 1,0973 \cdot 10^5$ والقيمة المستنتجة من القياسات على سلسلة بالمر هي $R = 1,09677 \cdot 10^5$ (الفقرة ١٤ - ١) ، فهذا التوافق يبين أن الأفكار الأساسية لبور ومبدأ التقابل يسمحان بتناول مشاكل الميكانيك الذري .

يمكن عندئذ أن يعطى لمبدأ التقابل منطوق أعم وهو : ان التطورات أو السياقات الأساسية في ميكانيك الكم هي تحولات يحصل فيها عبور متقطع من حالة استقرارية إلى حالة استقرارية أخرى تتميز كل منها بجملة من القيم المعينة لبعض الأقدار الفيزيائية (كالطاقة وكمية الحركة ، . . .) بينما لا يكون لدينا في الميكانيك الكلاسيكي سوى جملة واحدة من الأقدار السابقة ، تصف الحركات . ولكن عندما يحدث خلال تحول الاختلاف الأقدار المميزة للحالة النهائية إلا اختلافاً نسبياً قليلاً عنها في الحالة الأولية ، فإن قوانين ميكانيك الكم تقترب من قوانين الميكانيك الكلاسيكي .

ج (نحصل على انصاف أقطار المدارات الدائرية لألكترون ذرة الهيدروجين من العلاقتين :

$$W = -\frac{A}{2r} = -\frac{e^2}{4\pi\epsilon_0} \frac{1}{2r} \quad [١٩،١٤]$$

و

$$W = -\frac{hc}{n^2} R \quad [١٤،١٤]$$

أو ، إذا أخذنا [٢٢،١٤] بعين الاعتبار :

$$W = -\frac{m_0 e^4}{8\epsilon_0^2 h^2} \frac{1}{n^2} \quad [٢٣،١٤]$$

ومنه :

$$r = \frac{\epsilon_0 h^2 n^2}{\pi m_0 e^2} = 0,528 \cdot 10^{-10} n^2 m \quad [٢٤,١٤]$$

إذا فنصف قطر المدار الأصغر هو $0,528 \text{ \AA}$

إن عبارة العزم الحركي للألكترون على مداره هي : [١-١٢٤١]

$$G = J \omega = m_0 r^2 \omega \quad [١٤,٢٥]$$

بفرض $J = m_0 r^2 \omega$ عزم عطالته . على أن العلاقة [١٦,١٤] يمكن أن تكتب :

$$r^2 \omega^2 \frac{e^2}{4 \pi \epsilon_0 m_0}$$

وبأخذ [٢٤,١٤] بعين الاعتبار يكون

$$G^2 = m_0^2 r^3 \omega^2 r = \frac{n^2 h^2}{4 \pi^2}$$

ومنه

$$G = n \frac{h}{2\pi} \quad [٢٦,١٤]$$

فنعود إذن إلى نفس النتيجة ، في الحالة المدروسة ، إذا قبلنا بأنه على المحارك المستقرة الثابتة تعطى طاقة الالكترون بـ [٢٣,١٤] أو عزمه الحركي بـ [٢٦,١٤] .

(د) يمكن تحسين التوافق أيضاً بين قيمة ثابتة رايدبرغ المحسوبة بالعلاقة [٢١,١٤] وبين القيمة المقبسة ، إذا جعلنا عبارة معادلات الحركة حسب الميكانيك الكلاسي اكثر دقة . ان التجربة لا تعطي تماماً نفس القيمة لثابتة رايدبرغ عندما تنتقل من ذرة شبيه للهيدروجين الى شبيه آخر . فنجد مثلاً للهيدروجين H والهليوم H_e القيمتين :

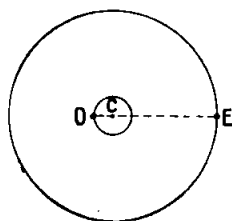
$$\frac{1}{4} R_{H_e} = 109\,722 \quad R_H = 109\,677$$

ولا تنطبق اية واحدة من هاتين القيمتين تماماً مع القيمة النظرية المعطاة بالصيغة [٢٢،١٤] .

$$\mathcal{R} = 109\,737\text{ cm}^{-1}$$

تنجم هذه الفروق عن كتلة النوى . فمن اجل ايجاد الصيغة [٢٢،١٤] كنا قد افترضنا ان النواة ساكنة . ويعني ذلك اعتبار ان كتلتها غير متناهية في حين انه من المعلوم [٢٠،١٢] ان مركز الكتلة للجمة معزولة هو الذي يبقى ثابتاً في الحركة الدورانية للجمة وهذه النقطة C (الشكل ١٤-١٢) تقع على البعد $OC = r_1$ من النواة التي كتلتها M وعلى البعد $CE = r_2$ من الالكترون الذي كتلته m_0 فيكون :

$$r_1 M = r_2 m_0 = (r_1 + r_2) \mu = r \mu$$



الشكل ١٤ - ١٢ :
مركز الكتلة G لجمة O و E

حيث $\mu = \frac{m_0 M}{m_0 + M}$ تمثل الكتلة المختزلة (٣-٤،٢) للنواة ، وان العزم الحركي الكلي حول C

$$G = (M r_1^2 + m_0 r_2^2) \omega = \mu r^2 \omega$$

ينحفظ أثناء الحركة . فعلى هذه القيمة L ، لا على القيمة التي تعطيها الصيغة [٢٥،١٤] ينبغي تطبيق الشرط [٢٦،١٤] . لو أجرينا حساباً معاكساً للحساب الذي أجري في ج (لوجدنا أن طاقة السوية n عابرتها هي

$$W_n = - \frac{\mu e^4}{8 \epsilon_0^2 \hbar^2 n^2}$$

بدلاً من التي في الصيغة [٢٣ ، ١٤] حيث الكتلة المختزلة μ نحل محل الكتلة m_0 للالكترون فيكون إذن

$$\frac{\mathcal{R}_{He}}{\mathcal{R}_H} = \frac{\mu_{He}}{\mu_H} = \frac{1 + \frac{m_0}{M_{He}}}{1 + \frac{m_0}{M_H}} \quad [٢٧،١٤]$$

إن التقدير بطياف الكتل (١٧،٦ - ٨ و ٢٣) يعطينا النسبة $\frac{M_{He}}{M_H}$ بدقة .

نستخرج من الصيغة المتقدمة القيمة التي هي الآن أكثر احتمالاً للنسبة $\frac{m_0}{M_H}$ أي $\frac{1}{1836}$

ولما كانت النسبة $\frac{e}{M_H}$ معروفة من التحلل الكهربائي (١٨،٦ - ٦) فإننا نستنتج من ذلك النسبة $\frac{e}{m_0}$ لشحنة الإلكترون على كتلته :

$$\frac{e}{m_0} = 1.7594.10^{11} \frac{C}{kg}$$

بارنياب (خطأ) نسبي لا يتجاوز ١٠ - ٤ .

١٤-٦ . — التحولات الطاقية العائرة الى خطوط الاصدار والامتصاص .

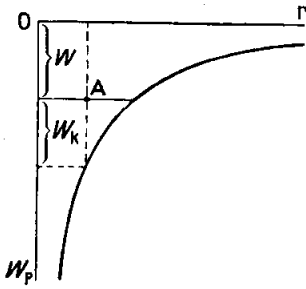
أ (يمكننا أن نبين على الشكل المبسط للحدود الطيفية لذرة الهيدروجين (الشكل ١٤ - ١٠) سويات الطاقة العائدة إليها ، ونرمز كلاً منها اما بقيمة W_n أو بالعدد n الذي يدخل في العبارة [١٤، ١٤] والذي يسمى بالعدد الكمي (الكوانتي) . فبالاتفاق مع الاصطلاحات التي أجريت في الفقرة ١٤ - ٥ أ فإن مبدأ الطاقة ($W = 0$ ، $n = \infty$) يؤخذ عندما يكون الإلكترون في حالة السكون ومفصلاً عن النواة انفصلاً غير متناه . إذن فحالات الذرة المستقرة تقابلها طاقات سلبية . وان القيمة الموجبة لـ W تدل على أن النواة والإلكترون لهما بالنسبة إلى بعضهما طاقة حركية . وان اخفض سوية للطاقة (على المخطط) الذرة المستقرة ($n = 1$) يسمى السوية الأساسية ، وهو يقابل اكبر قيمة مطلقة للطاقة . واما سويات الأعداد الكمية التي هي اكبر من الواحد ، فهي السويات المهيجة .

إذا اعتبرنا جملة من ذرات الهيدروجين موجودة بحالة توازن حراري ، في درجة معينة T ، فإن العددين N و N' للذرات التي تكون بالترتيب في الحالتين

n و n' يخضعان لتوزيع بولتزمان Boltzmann (١٣٠٢ - ٥) أي :

$$\frac{N'}{N} = \frac{\exp(-W_{n'}/kT)}{\exp(-W_n/kT)} = \exp\left(-\frac{W_{n'} - W_n}{kT}\right) \quad [٢٨٠١٤]$$

حيث k هي ثابتة بولتزمان . ففي الدرجة العادية ($T = 300^\circ \text{K}$) ، يكون kT في حدود 4×10^{-21} جولاً ، أي 0.025 إلكترون فولت . إن فرق الطاقتين اللتين تفصلان السوية الأساسية عن أول سوية مبهجة ($n = 2$) هو $W_2 - W_1 = 10,15 \text{ e.V.}$. فنرى من الوجهة العملية أن جميع ذرات الهيدروجين هي في هذه الدرجات في الحالة الأساسية .



الشكل ١٤ - ١٣ . الطاقة الكامنة للألكترون بدلالة بعده عن نواة الهيدروجين

ب) يمثل منحنى الشكل (١٤ - ١٣) بدلالة البعد r للألكترون عن النواة ، الطاقة الكامنة W_p للجملة . وينتج من [١٨٠١٤] أن هذا المنحنى هو فرع من قطع زائد متساوي الساقين . لتكن A نقطة تمثل حالة للذرة طاقتها الكلية W و r نصف قطر مدار الإلكترون ، فالبعد A عن المنحنى W_p ، محسوباً بصورة موازية لمحور الترتيب يمثل الطاقة الحركية W_k للألكترون . ولما

كانت هذه الطاقة موجبة بالضرورة ، فإننا نرى أن النقطة التي تمثل حالة الذرة تقع بين المنحنى وبين محور الترتيب : ويبقى الإلكترون في « بئر الكمون » الذي يحيط بالنواة . وان جميع قيم r ، عندما تكون قيم W موجبة ، يمكن أن يصل إليها الإلكترون ، لأن المنحنى مقارب لمحور الفواصل .

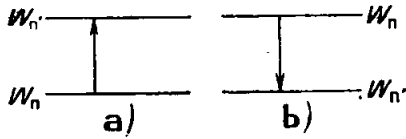
ج) ان الانتقال من منسوب للطاقة عدده الكمي n إلى منسوب (سوية)

عدده الكمي n' ، وقد سمينا ذلك تحولاً ، يرافقه امتصاص أو اصدار لشعاع تواترها :

$$\nu_{nn'} = \frac{|W_{n'} - W_n|}{h} \quad [29, 14]$$

فيحدث امتصاص فيما إذا اكتسبت الذرة طاقة ، أي إذا كان $n' > n$ ، وخاصة إذا انتقلت الطاقة من السوية الأساسية إلى سوية مهيجة . والطاقة الممتصة يمكن أن تكون بشكل حراري (الاضطراب الحراري ، تجارب فرانك وهرتز) أو بشكل اشعاعي . ويحصل اصدار إذا خسرت الذرة الطاقة بشكل اشعاعي ، أي إذا كان $n' < n$.

يمثل الخط الطيفي على مخطط الشكل ١٤ - ١٣ بقطعة مستقيمة شاقولية



الشكل ١٤ - ١٤ . التحولات الألكترونية
(a) امتصاص الطاقة
(b) اصدار الطاقة

تصل السويتين n و n' . وطول

هذه القطعة متناسب مع التواتر $\nu_{nn'}$

(أو مع العدد الموجي $\sigma_{nn'}$) للخط .

وإذا كان ثمة ضرورة ، يميز بين

الاصدار والامتصاص بسهم محمول

على القطعة العائدة له (الشكل

١٤ - ١٤ و b) .

تقابل النهاية في كل السلاسل تحول الالكترتون بين منسوب الابتداء الذي

يتعلق بالسلسلة وبين منسوب الوصول $n = \infty$ ، الذي تصبح فيه الذرة متأينة .

وخاصة ان البعد بين المنسوب الاساسي $n = 1$ والمنسوب $n = \infty$ يمثل طاقة

التأين W_i للذرة في حالتها الطبيعية . فيمكن إذن استنتاج هذه الطاقة من

نهاية سلاسل الامتصاص ، في نفس الوقت الذي يمكن فيه التجارب المباشرة من

قياسها (٦ ، ١٧ - ٣) : وان التوافق مرض بالنسبة إلى المندرجين مع نهاية

سلسلة ليان ، وبالنسبة إلى القلوئيات مع حد السلسلة الرئيسية كما تبين ، ذلك
الاعواقم الآتية :

الذرة	التواتر الحدي ν_i (هرتز)	W_i المحسوبة (eV)	W_i المقاسة (eV)
Na	1.0×10^{15}	٥,١٧	٥,٨٣
K	1.0×10^{15}	٤,٣٤	٤,١
Cs	1.0×10^{15}	٣,٨٨	٣,٩

إذا تلقت الذرة ، التي هي في سوية ما n للطاقة ، كمية من الطاقة أعلى من W_n ، أي أعلى من الطاقة اللازمة لتأيينها ، فإن الإلكترون يكتسب الطاقة الزائدة بشكل حركي $\frac{m_0 v^2}{2}$. ولما كانت السرعة v للإلكترون الحر يمكن أن تأخذ أية قيمة كانت ، فإن الأمر كذلك بالنسبة إلى الطاقة الممتصة فوق القيمة W_n : إن القيم الموجبة للطاقة ليست مكتمة . فيتوقع إذن - وذلك ما تؤيده التجربة - وجود طيف امتصاص متصل بالنسبة إلى التواترات التي هي أعلى من التواترات الحدية لكل سلسلة . فهناك فعل كهروضوئي على ذرات الغاز (راجع ٦ ، ١٦ - ٢١) . في مقابل ذلك ، إن الإلكترون الحر الذي له سرعة v متجهة نحو أيون H^+ يمكن أن يتلقفه هذا الأيون وأن ينتهي بسوية طاقة n . فنقصان الطاقة الذي ينجم من هذا التلقف يمكن أن يوجد في اصدار إشعاع يحقق تواتره العلاقة :

$$h\nu = \frac{1}{2} m_0 v^2 - W_n = W_k - W_n$$

ولما كانت جميع قيم W_k ممكنة وقيم W_n مكتمة ، فإنه ينتج من ذلك أن طيف الاصدار العائد إلى التلقف هو طيف اصدار متصل يمتد إلى ما بعد حد السلسلة التي تنتهي بالسوية W_n .

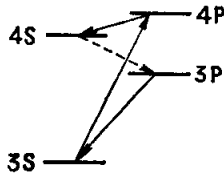
(د) وفقاً لما رأيناه في أ) تكون أكثرية ذرات الغاز في الحالة الأساسية في درجة الحرارة العادية . إذن فطيف امتصاص ذرة الهيدروجين يتألف فقط من خطوط سلسلة ليمان ومن الطيف المتصل ذي التواتر الأعلى . وهكذا نفهم لماذا كانت طيوف الامتصاص عامة أبسط من طيوف الاصدار : لأنها تقابل السلاسل البادئة من الحالة الأساسية . وان امتصاص خطوط سلسلة بالمر مثلاً ، لا يمكن أن يحصل بشكل محسوس إلا إذا كان عدد الذرات في الحالة الاولى المهيجة $(n = 2)$ كبيراً . وتلك ليست حالة الامور في الدرجة العادية ، ولكن امتصاص خطوط بالمر يصادف في أطياف بعض النجوم ، حيث درجة الحرارة مرتفعة جداً (الشكل ١٧ - X من اللوحة ٨) . وقد رأينا (الفقرة ١٣-٥٦) انه يلاحظ ذلك أيضاً في انبوب تفريغ (حيث لا تكون الذرات في توازن حراري) . إذا أُريد بمعونة الطاقة الاشعاعية (الفقرة ١٣ - ٧) تهيج ذرات موجودة في الحالة الأساسية ، فإنه ينبغي أن يكون للشعاع المهيجة تواتر يساوي على الأقل التواتر العائد الى اضعف تحول يبدأ من اخفض سوية . فبالنسبة الى ذرة الهيدروجين هو التحول $W_2 - W_1$ ، الذي تواتره هو تواتر اول خط من سلسلة ليمان $(\lambda = 1216 \text{ \AA})$. ولكن القاعدة السابقة عامة ، فبالنسبة الى ذرة الصوديوم مثلاً يكون الانتقال المذكور بين السويتين 3S و 3P في الشكل ١٤ - ١٠ .

٥ - يمكن عمل التجربة بوضع قطعة من الصوديوم في انبوب اختبار من البيروكس واحداث الحلاء فيه . فعند تسخين الانبوب تتولد البخرة الصوديوم غير المرئية في الضوء الابيض ، ولكنها سوداء في ضوء الحطين D .

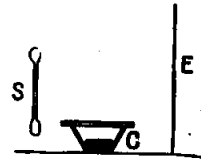
٥ - هناك تجربة مماثلة تعمل ببخار الزئبق . ان اشعاع مصباح بخار الزئبق بضغط منخفض (في حدود 10^{-2} مم من الزئبق ، والذي غلافه من الكوارتز والمهيج بتوتر يبلغ بضعة آلاف من الفولت ، يتألف جوهرياً من الاشعاع

2537\AA الناجم من تحول $P-S$. وهذا المنبع S (الشكل ١٤ - ١٥) يولد الضوء في طبقة من مادة متفلورة منشورة على لوحة من الزجاج E . فاذا نزع الغطاء عن البوتقة C الحاوية على الزئبق والموضوعة بين S و E ، شوهدت انجرة الزئبق ترتفع وهي تسقط ظلًا على اللوحة ، لأنها تمتص الضوء الصادر من المصباح .

ان الذرات التي رفعت بالامتصاص الى سوية طاقة عالية (W_2 او $3P$ في المثالين المذكورين اعلاه) يمكن ان تعود الى الحالة الاساسية مع اصدار الشعاع المنتمية . وهكذا تفسر ظاهرة التجاوب الضوئي المدروسة في الفقرة ١٣-٧ . ان العودة الى الحالة الاصلية باصدار الاشعاع لا يمكن ان تحدث الا اذا كانت الذرات قليلة العدد - اي اذا كان للبخار ضغط منخفض (اقل من 10^{-3} مم من الزئبق) - لكي لا تنتقل طاقة التهييج بالصدمة الى ذرة عادية وتتحول الى طاقة حرارية قبل ان تكون اعادة الاصدار قد سنع لها الوقت الكافي لتحصل . ان مزيج البخار مع غاز غريب يزيد غالباً زيادة كبيرة عدد هذه الصدمات المزيله للنشاط (أو الصدمات من النوع الثاني) وهكذا ففي تجربة الشكل ١٤-١٥ ، يقوم اختلاط بخار الزئبق مع الهواء (او بخار الصوديوم مع غاز الاستصباح) بابطال اصدار خطوط التجاوب بدون ان يمنع امتصاصها .



الشكل ١٤-١٦ . تحول الامتصاص $3S \rightarrow 4P$ للصوديوم وتحولات الاصدار المتعاقبة .



الشكل ١٤-١٥ . امتصاص شعاع فوق البنفسجية للزئبق، من قبل بخار الزئبق .

ان ظواهر التهييج بالاشعاع هي في اغلب الاحيان اقل بساطة ، فيمكن مثلاً ان نجعل بخار الصوديوم يمتص الخط الثاني من السلسلة الرئيسية ($\lambda = 3303\text{\AA}$) وذلك يقابل التحول $3S \rightarrow 4P$ (الشكل ١٤-١٦) . فنشاهد ان الاشعاع الذي يعاود اصداره

ليس وحيد اللون : بل هو يحوي الشعاع الليبجة - وتلك ظاهرة تجاوب ضوئي - ولتكنه يحوي أيضاً الخطين D ، فيؤلف ذلك تفلوراً يخضع لقاعدة ستوكس (الفقرة ١٣-٧) .
يعني ذلك ان العودة الى الحالة الاصلية يمكن ان تحدث ايضاً بواسطة السوية 3P . ولما كان التحول 3P - 4P عظوراً ، فانه يمكن مثلاً ان يحصل مرور بالسوية 4S ، لان الانتقالات 4S-3P و 4S-4P تعود الى اصدار شعاعات تحت الاحمر .

ان الخطوط التي كالحط 2537 \AA للزئبق او الخطين D للصوديوم ، التي يمكن ان يسبب امتصاصها اعادة اصدار وحيد اللون بنفس طول الموجة ، يرجوع الذرة الى حالتها الاساسية ، تدعى خطوط التجاوب .

١٤-٧ . الملاحظات العامة بين الاصدار والامتصاص في نظرية الكم .

صبغة برونك :

(أ) لتتصور جملة من الذرات (او من الجزيئات) في حالة توازن حراري في اشعاع حظيرة عازلة للحرارة (كطيمة) (٢ ، ٢٠ - ٤) فهذا الاشعاع ذو الطيف المتصل (٢ ، ٢٠ - ٧) يتميز بكثافته الطاقةية النسوية الى واحدة التواتر u (التي تعرف مثلاً عرفنا u_λ في ٢ ، ٢٠ - ٤) . هنالك عدة ظاهرات ضوئية تؤخذ بعين الاعتبار :
١ - امتصاص الذرات في السوية W_n للشعاع ذات التواتر ν ، وذلك برفعها الى السوية المبهجة (او المنشطة) $W_{n'}$.

$$W_{n'} - W_n = h\nu$$

ومن الطبيعي ان نقبل بأن نسبة الذرات التي تقوم بالتحول $W_n \rightarrow W_{n'}$ في وحدة الزمن متناسبة مع u_ν ، ولكنها لا تتعلق بعدد الذرات المنتصة في وحدة الزمن ، اذا كان قانون بير Beer قابلاً للتطبيق (١٦ - ٣) . ففي خلال المدة dt تكون الذرات التي عددها :

$$dN = AN u_\nu dt \quad [30, 14]$$

ستنقل من السوية n الى السوية n' . يرمز N الى عدد الذرات الموجودة في السوية W_n . والمثل A يسمى احتمال الامتصاص .

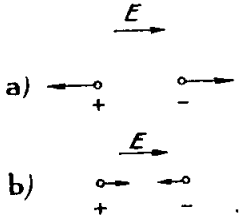
٢ - ان الذرات (وعددها N') التي هي في سوية الطاقة العليا $W_{n'}$ يمكن ان

تبط الى السوية W_n مع اصدار كم اشعاع $h\nu$. وهذا المبطوط في النشاط يمكن ان يكون تلقائياً ، يعني انه يخضع لقانون من قوانين الصدفة . فالعدد dN_1' من الذرات التي يصيبها هذا التحول هو :

$$dN_1' = B_1 N' dt \quad [٣١،١٤]$$

باعتبار B_1 احتمال الاصدار التلقائي لو الطوعي .

٣ . - يمكن احداث زوال النشاط بفضل وجود الاشعاع ، ويمكن تبرير هذا المفهوم بملاحظة انه ، وفقاً للكهرطيسية الكلاسية (الفقرة ١-٦ ب) ان اهزازه التوافقية المهيجة يمكنها ايضاً ، حسب طورها ، ان تتنازل عن طاقتها او ان تأخذ طاقتها من حقل الاشعاع الذي له نفس التواتر (الشكل ١٤-١٧) . واذا نقلنا الامكانية المتقدمة الى نظرية الكم ، حسب مبدأ التقابل ، فانها يعبر عنها باصدار الكم $h\nu$ كما وبامتصاصه . وان العدد dN_2' من الذرات N' التي تنتقل الى الحالة الدنيا بهذه الوسيلة في الزمن dt ، يمكن ان يكتب :



$$dN_2' = B_2 N' U_\nu dt \quad [٣٢،١٤]$$

الشكل ١٤-١٧-١٧ ثنائي

الاقطاب المبتز (a) يتص

الطاقة (b) ينجر الطاقة الى

الحقل الكهربائي .

حيث B_2 هي احتمال الاصدار . فلنقبل بأنه يساوي الاحتمال A للامتصاص . فالتوازن بين الاصدار والامتصاص يترجم بالمعادلة :

$$A u_\nu = A N' u_\nu + B_1 N'$$

ومنه :

$$u_\nu = \frac{B_1}{A} \frac{1}{\frac{N}{N'} - 1}$$

تعطى النسبة بين العددين N و N' بالصيغة [٢٨،١٤] :

$$\frac{N'}{N} = \exp \left(\frac{h\nu}{kT} \right) = \exp \left(\frac{hc}{k\lambda T} \right)$$

ونستخرج منها عبارة u :

$$u_v = \frac{B_1}{A} \left[\exp \left(\frac{hc}{k\lambda T} - 1 \right) \right]^{-1} \quad [٣٣،١٤]$$

ويمكن من جهة اخرى الحصول على عبارة u_v ابتداء من الصيغ [١٦،٢٠] مكرر
[٢٢،٢٠] و [٢٣،٢٠] من الجزء ٢ ، اي بعد ملاحظة ان

$$u_v dv = -u_v d\lambda$$

وان

$$\lambda v = c \quad \text{لأن} \quad v d\lambda + \lambda dv = 0$$

$$u_v = \frac{\lambda^2}{c} u_\lambda = \frac{4\pi}{c} \cdot 2 hc^2 \lambda^{-5} \left[\exp \left(\frac{hc}{k\lambda T} - 1 \right) \right]^{-1} \quad [٣٤،١٤]$$

$$= \frac{8\pi h}{\lambda^3} \left[\exp \left(\frac{hc}{k\lambda T} - 1 \right) \right]^{-1}$$

ان الصيغتين [٣٣،١٤] و [٣٤،١٤] هما متطابقتان ، ومعنى ذلك ان المحاكمة السابقة
تمكن من الحصول على قانون بلانك الذي يعبر تعبيراً صحيحاً عن توزيع كثافة الاشعاع
المتساوي الحرارة (٢٠،٢-٤) بشرط ان :

$$\frac{B_1}{A} = \frac{8\pi h}{\lambda^3}$$

فنستخرج حينئذ من [٣١،١٤] ومن [٣٢،١٤] العلاقة

$$\frac{dN'_2}{dN'_1} = \frac{A}{B_1} u_v = \frac{\lambda^3}{8\pi h} u_v$$

ان λ و u_v هما ضعيفتان في نطاق الضوء ، والنسبة السابقة لا تتجاوز ١٠-٤ : فالاصدار
المعرض مهمل امام الاصدار الطوعي .

وأما في نطاق التواترات الراديوية ، فالأمر بالعكس حيث تكون λ و u_v اكبر
بكثير وعندئذ فان الاصدار الطوعي هو المهمل امام الاصدار المتعرض .

ب) لقد رأينا في الفقرة ٤-١٦ ان طول قطارات الامواج الضوئية مرتبط بعرض
الخطوط الطيفية . فلا يمكن اذن ان نقبل بأن التحولات الكمية (الكوانتية) التي يرافقها
اشعاع ، تحدث طوعياً ، لانه لا توجد حينئذ خطوط طيفية دقيقة .

ان نتيجة التجارب على تناقص الاصدار من قبل الذرات المبهجة (الفقرة ١٣-٥٧) لا تفسر في نظرية الكم كما تفسر في النظرية الكلاسيكية (الفقرة ١٣-١٠) ففي تجارب التجاوب الضوئي نصل بسرعة الى الحالة النظامية التي يكون فيها عدد الذرات التي في الحالة المتهيجة ثابتاً ، لان الذرات المتهيجة بالامتصاص خلال فترة معينة من الزمن يساوي عددها عدد الذرات التي يزول نشاطها باصدار شعاعة التجاوب . واذا وقفنا الاستنارة عااد التوازن الحراري لان الاصدار الطوعي ينقص بسرعة عدد الذرات المتهيجة ولان الامتصاص مهمل لان خط التجاوب له شدة ضعيفة جداً في الاشعاع الحراري. ان الاصدار الطوعي ، وفقاً لـ [٣١، ١٤] ناجم عن الصدفة وتعطي الكاملة :

$$N' = N_0' \exp (- B_1 t) = N_0' \exp \left(- \frac{t}{\theta} \right)$$

والثابت θ ، التي هي مقلوب المثل B_1 هي مدة العمر المتوسط في الحالة المبهجة . ان سرعة اصدار الطاقة من قبل الذرات هي

$$\frac{dW}{dt} = (W_{n'} - W_n) \frac{dN'}{dt} = h \nu B_1 N_0' \exp (- B_1 t) \quad [٣٥، ١٤]$$

والتناقص الاسي للاشعاع الصادر بعد التهييج لا يفسر اذن بتخامد الاهتزازات الجيبية. فاذا قارنا بين العلاقتين [٦٠، ١٣] و [٣٥، ١٤] رأينا انه يوجد بين العمر المتوسط وعامل التخامد العلاقة :

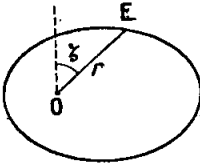
$$B_1 = \frac{1}{\theta} = \frac{k'}{2\pi} \quad [٣٦، ١٤]$$

اذاً B_1 يرتبط فقط بعرض خط الاصدار الطيفي .

١٤-٨ . الميكانيك الذري والاقدار الكممة . مبدأ الارتياب .

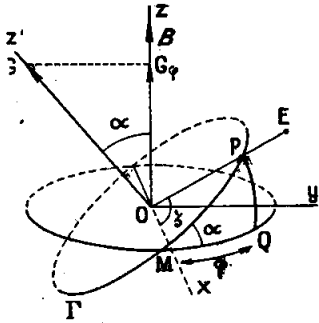
(أ) لقد ممكننا اعتبار المدار الدائري ، فيما تقدم ، من تحديد موقع الكترون الذرات الشبيهة بالهدروجين ، بالنسبة الى النواة ، بواسطة نصف القطر r للدائرة ، علي ان توجه هذه الدائرة هو علي غير تحديد في الفضاء . الا انه ، وفقاً لما ذكرناه

في الفقرة ١٤ - ٥ ، في الميكانيك الكلاسي . ان محرك الالكترون حول النواة هو على العموم قطع ناقص تشغل O احد محرفيه ، وان الدائرة ليست سوى حالة خاصة منه . لذلك فان حاجة الى إحداثيين لتحديد حركة الالكترون E في مستوي القطع الناقص : وهما الزاوية ϕ (للشكل ١٤ - ١٨) التي يصنعها الشعاع الحامل OE مع متجه ثابت اختياري يمر من O ، والطول $r = OE$.



الشكل ١٤ - ١٨
إحداثيا الالكترون E :
 r و ϕ في مستوي .

ان مستوي القطع الناقص لا يتعين بمجرد معرفة وجود قوة مركزية بين O و E ، اي اذا كان الفراغ متشابه المناحي تماماً حول الذرة . لكن تشابه المناحي هذا يزول اذا أصبحت الذرة مثلاً تحت تأثير حقل تخريضي مغناطيسي B ، ذي منحنى معين مؤثر في حركة الالكترون (٦ ، ١٤ - ٣) ، فينبغي حينئذ ان يؤخذ بعين الاعتبار توجيه المحرك بالنسبة الى منحنى B . وذلك يُدخل إحداثياً جديداً لتحديد موقع E .



الشكل ١٤ - ١٩
إحداثيات الالكترون في الفراغ

فلنتخذ استقامة موازية للشعاع B محوراً Oz للزاوية الثلاثية للاحداثيات (الشكل ١٤ - ١٩) ولنرسم كرة نصف قطرها يساوي الواحد ، حول نواة الذرة الموضوعة في O . ان مستوي محرك الالكترون E يقطع هذه الكرة بالدائرة العظمى Γ والمستوي الاستوائي (العمود على Oz) وفقاً لـ OM و OP هو نصف قطر E الموجه نحو الالكترون . ان

الزاوية التي تحدد موضعية الالكترون يمكن ان نحسب ابتداء من OM ، ولتكن

$\widehat{MOP} = \alpha$. وأخيراً فلتكن Q نقطة التقاطع بين خط الاستواء وخط الزوال المار من P .

إن توجيه المحرك يتحدد بالزاوية $\alpha = \widehat{PMQ}$ التي هي أيضاً الزاوية التي يؤلفها مع Oz النظام Oz' على مستوى المحرك .

لما كان منحيا المحورين Ox و Oz' يظلان في أثناء الحركة ثابتين في الفضاء ، فإن العزم الحركي $(2 - 13, 2)$ للالكترونات بالنسبة الى هذين المحورين يظل ثابتاً . ونذكر بأن مقدار العزم الحركي G العائد الى Oz يبلغ مقداره :

$$G = m_0 r^2 \frac{d\alpha}{dt} \quad [38, 14]$$

وأنه يمكن تمثيله بشعاع محوري محمول على Oz' . فلتتخذ محوراً للسينات المنحى OM ومحوراً للعينات العمود على Ox في المستوي الناظم على Oz . ان وضعية الالكترونات ، بدلاً من ان تتعين بالاحداثيات r, α, φ يمكن ان تتعين بالاحداثيات القطبية r, θ, φ في الثلاثية $Oxyz$. ويرى في الشكل ١٤ - ١٩ ان الزاوية $\widehat{MOQ} = \varphi$ هي مرتسم الزاوية α على المستوي الاستوائي . ان العزم الحركي G_φ للالكترونات بالنسبة الى المحور الثابت Oz هو مرتسم G على Oz .

ان للطلقة W والعزم الحركي يمرتسمه G_φ هي ثوابت الحركة .

(ب) ان نظرية بور ، التي شرحت في الفقرة ١٤ - ٤ بشكلها البدائي ، قد عمت على الحركات التي سقناها والتي هي اشد تعقيداً ، وذلك بفضل تعميم شروط كالتي في [٢٦, ١٤] على العزمين G و G_φ . ولم يمكن اجراء هذا التعميم بدون ادخال فرضيات اضافية . ثم ان النظرية تجمع في مبدئها نفسه ، الميكانيك الكلاسيكي مع شروط (تكميم) هي غريبة عنه ، فتؤلف جملة لا يُرضى عنها كثيراً ولن نتعرض لشرحها . ويوجد الآن ميكانيك الكم جيد التلائم مع

المشاكل الذرية يؤلف كلاً مترابطاً وسنرى مبادئه في الجزء ٨ ، ولكننا لن نعطي هنا سوى بعض نتائجها التي تمكننا من تفسير الوقائع الطيفية .

ان ميكانيك الكم يسمح لنا بتنبؤ صحيح ببعض الاقدار التي تدخل في الحركة ويسمح فقط بتنبؤات احصائية فيما يتعلق بالاقدار الاخرى . وهذا ناجم عن مبدأ الارتياب الذي هو أساس في ميكانيك الكم ، الذي ، لدى تعميمه لنتيجة تفرضها بعض التجارب ، يؤكد بأنه من المستحيل ان نثبت في آن واحد وبقين كامل ، قيمة احدى احداثيات موقع جسيم وقيمة المركبة المقابلة لسرعته . او بعبارة أدق : اذا كانت Δx تمثل الارتياب الذي عرفت به الاحداثية x لألكترون كتلته m_0 و Δv_x الارتياب الذي يصيب مركبة سرعته وفقاً لمحور السينات ، فان جداء هذين الارتيابين محدد بالشرط :

$$\Delta x \cdot \Delta v_x \geq \frac{h}{2\pi m_0} \quad [38, 14]$$

وهذه الصيغة [٣٨ ، ١٤] تسمى : علاقة الارتياب^(١) . ونتيجتها ان تمثيل الحركات الالكترونية بمحرك خطية ، يكون لكمية الحركة عليها قيمة محددة في كل نقطة ، امر مستحيل من حيث الدقة والضبط .

هـ) لندرس بعد ذلك حركة الكترون ذرة الهيدروجين . ان عبارة الطاقة الكامنة وعبارة الطاقة الحركية تعطيان في ميكانيك الكم ، كما هما في الميكانيك الكلاسي ، بالصيغتين [١٨ ، ١٤] و [١٧ ، ١٤] . سوى ان معادلات الحركة لا تعين موقع الالكترون في نقطة احداثياتها r و θ و φ ، ولها تعين احتمال وجوده في عنصر من الحجم يحيط بهذه النقطة ، فقط . تبين المعادلات عن وجود حالات استقرارية ينبغي ان لايتعلق فيها الاحتمال المتقدم بالزمن . ونجد عندئذ انه في كل حالة من تلك الحالات تكون الطاقة الكلية W ثابتة ولها قيمة معينة تماماً . وان مجموع هذه القيم يؤلف تسلسلاً منقطعاً ، يعطي هنا بالصيغة :

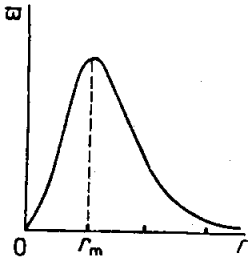
(١) انظر الفقرة ١٩ - ٥ .

$$W_n = - \frac{m_0 e^4}{8 \varepsilon_0^2 h^2} \frac{1}{n^2} \quad [٢٣، ١٤]$$

وهي تتعلق بالعدد n المسمى بالعدد الكمي الرئيسي . ويمكن ان يأخذ جميع القيم الصحيحة ابتداءً من الواحد . وان قيم الطاقة هذه التي نحصل عليها بدون فرضية خاصة هي بالفعل نفس القيم التي تعطيها نظرية بور (الفقرة ١٤-٥ ج) . ان طوية العزم الحركي G للالكترون بالنسبة الى النواة ، هي في الحالات الاستقرارية قدر محدد تماماً كالطاقة . ويتبين ان G يمكن أن تأخذ سلسلة متقطعة من القيم معطاة بالصيغة :

$$G = \sqrt{l(l+1)} \cdot \frac{h}{2\pi} \quad [٣٩، ١٤]$$

حيث ترمز l إلى عدد صحيح هو العدد الكمي السمي (او الحركي) الذي يمكن أن يأخذ ، في كل حالة مستقرة درجتها n ، قيمة فقط : $0, 1, \dots, n-1$. وكل قيمة للطاقة (أي l) يقابلها هكذا عدة حالات مختلفة من الحركة للالكترون تتميز بقيمة G : فهناك انحلال (٣ ، ٥ - ٥) وخلافاً للأقدار المتقدمة ، ان موقع الالكترون وسرعته ليسا معلومين الا بتوابع توزيع ، وذلك بنتيجة علاقات الارتياب .



يمكن أن نحسب في كل حالة مستقرة ، الاحتمال ω لمصادفة الالكترون في ذرة شبه الهروجين بين كرتين نصفاً قطريهما r و $r + dr$ (بفرض معلوماً وصغيراً جداً) ، متمركزتين على النواة . ان ω يمر بسلسلة من النهايات العظمى كما يبين ذلك الشكلان

١٤-٢٠ و ١٤-٢١ .

الشكل ١٤-٢٠ الاحتمال ω

لوجود الالكترون على البعد

r من فواة الذرة $H(n=1)$

د) فلنعتبر بصورة خاصة ، الحالة الاساسية لذرة الهروجين المقابلة لأخفض سوية للطاقة في الصيغة

[٢٣، ١٤] فيكون لدينا $n=1$ ، ومنه $l=0$ و $G=0$ ولما كان العزم الحركي للإلكترون معدوماً بالنسبة الى النواة ، فان السرعة لا يمكن ان تكون [لا شعاعية ، ولتكن v_r . ففي العبارة العامة للطاقة :

$$W = W_k + W_p = \frac{m_0 v_r^2}{2} - \frac{e^2}{4 \pi \epsilon_0 r} \quad [٤٠٠١٤]$$

ليست r و v_2 قدرين محددين في آن واحد ، ولكن قيمتهما الوسيطيتين \bar{r} و \bar{v}_r لا يمكن طبعاً ان تكونا اصغر (بالترتيب) من قيمتي الارتيايين Δr على الموقع و Δv_r على السرعة . وهذان الارتيايان هما مرتبطان بالصيغة [٣٨، ١٤] [اذن يوجد بين \bar{v}_r و \bar{r} العلاقة :

$$\bar{r} \cdot \bar{v}_r = \frac{h}{2 \pi m_0}$$

نستخرج من هذه العلاقة الأخيرة قيمة (v_r^2) التي نضعها في العلاقة [٤٠، ١٤]

$$W = \frac{h^2}{8 \pi m_0 \bar{r}^2} - \frac{e^2}{4 \pi \epsilon_0 \bar{r}}$$

و W هي القيمة الصغرى العائدة الى الحالة الاساسية من اجل القيمة \bar{r}_m لـ \bar{r} التي تعدم المشتق ، أي :

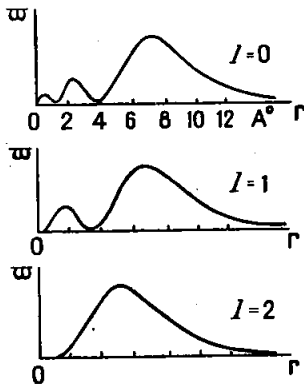
$$\bar{r}_m = \frac{\epsilon_0 h^2}{\pi m_0 e^2}$$

وهكذا نجد قيمة القطر لأصغر مدارات بور ، المعطى بالعلاقة [٢٤، ١٤] والقيمة [٢٣، ١٤] لـ W من اجل $n=1$. وبالرغم من هذا التشابه ، فان تمثيلي الحركة في الميكانيك الكلاسي وفي ميكانيك الكم هما مختلفان جداً . ان الاحتمال \bar{w} قد مثل في الحالة الاساسية بمنحني الشكل ٢٠، ١٤ . وهو يبرهنه عظمى من اجل $r = r_m$ ولكنه يحتفظ بقيمة منتية وان كانت صغيرة جداً ، وذلك من جهة في جوار النواة ، ومن جهة أخرى على بعد اكبر بكثير من r_m . وهذه النتيجة الأخيرة غير مقبولة في الميكانيك الكلاسيكي : ان الطاقة الحركية لا يمكن

ان تكون سلبية وان الالكترون لا يمكنه أن يبتعد عن النواة بعداً يفوق البعد الذي تصبح فيه طاقته الكامنة أكبر من طاقته الكلية ، أي حسب (١٠٤٩٤)
 $r > 2r_m$. ومن جهة ثانية ان r_m لا يمثل أبداً نصف قطر محرك دائري حتى ولو كان هذا المحرك معيناً تعييناً غير تام ، لأن السرعة في الحركة الدورانية تكون مماسية ، في حين أننا رأينا أنها شعاعية ، إذا فالحرك شعاعي أيضاً . لتفسير نتائج النظرية ينبغي ان نتذكر الصفة الاحصائية التي لعدد كبير من القوانين الذرية (٢ ، ٩ - ٨) . ان منحنى الشكل ١٤ - ٢٠ هو نفسه صالح من أجل جميع المناحي المحيطة بـ ٠ : ان توزيع الالكترون له في المتوسط تناظر كروي ، ويعني ذلك أننا اذا اعتبرنا عدداً كبيراً من ذرات الهيدروجين في الحالة الأساسية ، فإن مناحي الحركة الشعاعية للالكترونات ستكون متوزعة على الصدفة ولا يكون في المجمل أي منحنى مفضل .

هـ) لقد ذكرنا في أ) أن ذرة شبه الهيدروجين التي تتحرك في حقل قوى مركزية ، تحتفظ عزماً الحركي G بمنحنى وقيمة ثابتتين أثناء الحركة . ويمكن البرهان في ميكانيك الكم (الجزء ٨) على أن G ليس لها في جميع الأحوال كل مستلزمات النتيجة . وسنكتفي بالبرهان على ذلك هنا بتطبيق لمبدأ الارتياب .
 إن متحول الموقع ، المشارك لـ G هو زاوية الدوران حول منحنى G . وان جداء الارتيابات على هذه الزاوية بالارتيابات التي على G يخضع لعلاقة شبيهة بـ [٣٨ ، ١٤] فينتج من ذلك انه لا يمكن على العموم أن يعرف بالضبط وفي آن واحد طولية G ومتناها . لأنه لو كان الأمر ممكناً لأمكن معرفة منحنى محور الدوران بالضبط ، ولما كانت كمية الحركة في هذا المنحنى معدومة ، فانها تصبح معروفة بالضبط . الا ان الارتياب على موقع الدققة في المنحنى المذكور ليس على العموم غير متناه ، إذا فالعلاقة [٣٨ ، ١٤] لا يمكن أن تتحقق .

مثال ذلك ان العزم الحركي في الحالة الاساسية لذرات أشباه الهيدروجين



الشكل ١٤ - ٢١

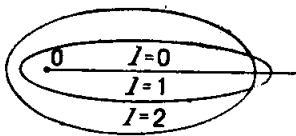
الاحتمال $|\psi|^2$ للعشور على الالكترون
على بعد r من نواة الذرة
($r = 3$) H

معدوم وفقاً لـ [١٤-٣٩] وذلك بحدد العزم
تماماً. الا انه بنتيجة التناظر الكروي لتابع
الموقع في الشكل ١٤ - ٢٠، تكون زاوية
الموقع غير معينة ابداً.

يوجد في الفقرة ١٤ - ٩ أمثلة أخرى
للمحاكمة المتقدمة.

(و) في الحالات المستقرة المنحلة التي تقابل
مختلف القيم الممكنة لـ l من أجل قيمة واحدة
لـ n ، ان التوزيع الشعاعي لاحتمال الوجود $|\psi|^2$
للالكترون حول النواة ليس واحداً. والشكل
١٤ - ٢١ يمثلها من أجل $n=3$. ويمكن إيجاد

تقابل (غير دقيق) بين هذه التوزيعات من جهة وبين المحارك الالكترونية
لنظرية البداية، وهي قطوع ناقصة يزداد انتفاخها كلما كبرت l (الشكل
١٤ - ٢٢)، ولكنه يلاحظ انه في النظرية القديمة كان العدد الكمي المشترك



الشكل ١٤ - ٢٢

المحارك الاهليلجية العائدة الى

حالة الشكل ١٤ - ٢١

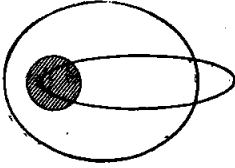
لـ G وفقاً لـ [١٤-٢٦] بتغير من الواحد
الى n بينما انه في النظرية المضبوطة بتغير من
الصفر الى $n-1$ وفقاً لـ [١٤-٣٩]. وهكذا
فان النظرية القديمة كانت تقصي المحارك المستقيمة
المتجهة نحو النواة، والتي هي مع ذلك واجبة كما
رأينا في (د)، وتعتبر بعكس ذلك محارك دائرية
(الفقرة ١٤ - ٥) تتعلق بـ $\sqrt{l(l+1)} = n$ والتي ليس لها معادل في
ميكانيك الكم.

٢٤-٩ . - تفسير طيف العناصر القلوية .

من المعلوم ان ذرات المعادن القلوية تفقد ألكتروناً بسهولة ونحدث في المحاليل المائية ايونات وحيدة المكافئة . ولما كان قانون كولون يدل على ان الطاقة الكامنة للالكترون تكون اكبر بالقيمة المطلقة كلما كان الالكترون اقرب الى النواة ، فانه يقال ان الالكترونات الشديدة الصلة بالنواة تؤلف الطبقات العميقة للذرة ، والطبقة السطحية هي الحاوية ، في حالة القلويات على الالكترون المسمى الكترون التكافؤ .

ينظر الى السلاسل الطيفية للمعادن القلوية على أنها ناجمة من انتقالات الكترون التكافؤ ، الذي يسمى أيضاً لهذا السبب بـ **الالكترون الضوئي** . وخلافاً لما يحدث في ذرات أشباه الهيدروجين ، لا ينتقل هذا الالكترون في حقل قوة مركزية وحيدة . والالكترونات الاخرى للذرة ، التي تقع في الطبقات العميقة تؤلف مع النواة جملة تسمى أحياناً قلب الذرة وهو لا يمكن تشبيهه بشحنة نقطية ويولد الحقل الذي ينتقل فيه الالكترون الضوئي . وهذا الحقل لا يخضع لقانون كولون الا بشكل تقريبي على بعد كبير كبراً كافياً ، حيث انه ناجم عن الشحنة e التي هي الفرق بين الشحنة Ze + للنواة والشحنة $(Z-1)e$ - للالكترونات القلب (ويقال حينئذ أن الالكترونات القلب تحدث فعل حاجز) فينتج من ذلك أن مختلف حالات الالكترون العائدة الى مختلف قيم العدد الكمي المبركي l ، من أجل قيمة معينة للعدد الكمي الرئيسي n ، ليس لها نفس الطاقة : لم تعد هذه الحالات منحلة كما هي الحال في ذرات أشباه الهيدروجين . والواقع ان الشكل ١٤ - ٢١ يرينا أنه لدى ازدياد قيمة l : فان احتمالات وجود الالكترون بالقرب من النواة تتناقص ويقترب الحقل الذي يخضع له من حقل كولوني . ففي الصورة المبركية يترجم ذلك بالتمثيل الآتي .

(الشكل ١٤ - ٢٣) بحيث مثل القلب بدائرة مخططة (مظلمة) متمركزة على النواة ، والمحرك الاصلية تدخل فيه دخولاً متزايداً كلما كبر التباعد المركزي ، أي كلما كان عزمها الحركي أضعف كما يلي :



الشكل ٢٣ - ١٤ قلب
الذرة. وحرك [إلكترون
ضوئي

يقابل كل زوج من العددين n و l إذا سوية للطاقة ، ويمكن أن تكتب الحدود الطيفية [١١، ١٤] :

$$T = \frac{R'}{n - \delta(l)}$$

والحد التصحيحي $\delta(l)$ الذي يمثل ابتعاد الحد T عن حد طيفي من أشباه الهيدروجين ينبغي، دوماً أن يطرح من n كما تعدل دراسة الطاقة الكمينة للإلكترون . فوفقاً لما قلنا ، يتناقص $\delta(l)$ عندما تزداد l . ونذكر أيضاً أنه إذا كانت l معينة ، فإن $\delta(l)$ يكون كلما كان العدد $Z - 1$ لالكترونات القلب أكبر ، أي كلما كان المعدن القلوي أثقل . تؤدي هذه الاعتبارات الى اجادة انتخاب الاعداد التجريبية التي توجد في خارج الحدود الاولى للصيغ [١٤، ١٤] الى [٧، ١٤] ؛ وهذه الحدود تمثل الحدود الطيفية الأخفض من كل سلسلة . والجدول ١٤ - ٢ يعطي الاعداد التجريبية $n - s$ ، $n - p$ ، ... المسجلة أحياناً بالأعداد الكمية الفعلية ، والاعداد الصحيحة n والتصحيحات $\delta(l)$.

ان أخفض حد طيفي لكل سلسلة من كل معدن قلوي لا يقابل اثنى القيمة $n = 1$ ، وإنما القيمة المعطاة في هذا الجدول . مثلاً ان الصيغ [١٣، ١٤] العائدة الى الصوديوم تبين ان حدود الصوديوم تبدأ في $n = 3$. ويقابل الحدود nS ، nP ، nD ، aF إذاً على الترتيب القيم ١، ٢، ٣، ... من العدد الكمي المداري l .

الجدول ١٤ - ٢ الاعداد الكمية الفعلية للذرات القلوية													
المعدن	Z	n	n - s	$\delta(0)$	n	n - p	$\delta(1)$	n	n - d	$\delta(2)$	n	n - f	$\delta(3)$
Li	٣	١,٥٩	٢	٠,٤١	٢	١,٩٦	٠,٠٤	٣	٣,٠	٠	٤	٤,٠	٠
Na	١١	١,٦٤	٣	١,٣٦	٣	٢,١٢	٠,٨٨	٤	٢,٩٩	٠,٠١	٥	٤,٠	٠
K	١٩	١,٧٧	٤	٢,٢٣	٤	٢,٢٣	١,٧٣	٥	٢,٨٥	٠,١٥	٦	٣,٩٩	٠,٠١
Rb	٣٧	١,٨٠	٥	٣,٢٠	٥	٢,٢٨	٢,٧٢	٦	٢,٧٧	٠,٢٣	٧	٣,٩٩	٠,٠١
Cs	٥٥	١,٨٧	٦	٤,١٣	٦	٢,٣٣	٣,٦٧	٧	٢,٥٥	٠,٤٥	٨	٣,٩٨	٠,٠٢

ان قاعدة الاصطفاء التي في الفقرة ١٤-٣ ج يعبر عنها اذن بالشرط :

$$\Delta l = \pm 1 \quad [٤١,١٤]$$

ان العدد الكمي المداري لا يمكن أن يتغير الا بمقدار الواحد .

وان فرق المظهر بين خطوط السلاسل الضيقة والمنتشرة (الشكل ١٤-٥) هو ناجم عن فعل شتارك (الفقرة ١٣ - ١٠ ج) والخطوط الاولى ناجمة عن تحولات بين مستويات أعمق للذرة هي بالنتيجة أقل تأثراً بالمؤثرات الخارجية .

١٤ - ١٠ - التكيم في الفراغ .

أ) يطلق هذا الاسم على قواعد التكيم المتعلقة بآخر ثابتة من ثوابت الحركة في الميكانيك الكلاسيكي ، وهي العزم الحركي G_z حول المنحى المفضل فيزيائياً والمتخذ محوراً لـ Oz . وهذا المنحى هو مثلاً ، منحى حقل قوى قادرة على التأثير في الالكترون .

هنالك حالة مهمة وهي التي يكون فيها Oz هو منحى حقل تحريض

مغناطيسي ، وسبب ذلك هو أنه في الدقيقة المشحونة يحرك وجود عزم حركي وجود عزم مغناطيسي له معه علاقات بسيطة . فمن المعروف مثلاً (١٤،٦-١١) أن الإلكترون اذا كان في حالة حركة على مدار دائري نصف قطره r بسرعة زاوية منتظمة ω ، فان له العزم الحركي :

$$\vec{G} = m_0 r^2 \omega$$

والعزم المغناطيسي المداري^(١)

$$\vec{\mathcal{M}} = \frac{er^2 \omega}{2} = - \frac{eG}{2m_0} \quad [٤٢،١٤]$$

$\vec{\mathcal{M}}$ متجهة محورية مثل \vec{G} وموازية لها . ولكنها تعاكسها في الجهة لأن الشحنة e سالبة .

ان طاقة العزم $\vec{\mathcal{M}}$ في حقل للتحرير \vec{B} هي (١٤،٦-١٩)

$$W = - \vec{\mathcal{M}} \cdot \vec{B} = \frac{eGB}{2m_0} \cos \alpha \quad [٤٣،١٤]$$

حيث α هي الزاوية التي يؤلفها منحنى $\vec{\mathcal{M}}$ مع منحنى \vec{B} ، أو أيضاً المنحنى المعاكس لـ G مع منحنى B . وان الانقطاع الذي يعتري قيم α هو الذي يعبر عن التكميم في الفراغ . ويعطي ميكانيك الكم من أجل الحالات المستقرة لذرة الهدروجين العبارة

(١) كنا قد اعتبرنا في الجزء ٦ ، الفقرة ١٤-١١ ، العزم المغناطيسي الكولوني Z ، المرتبط بالعزم الأميري الذي نستخدمه هنا ، بالعلاقة $\mathcal{M} = \mu_0 Z$ وسنرمز الى هذا العزم الاخير بـ \mathcal{M} لا بـ m مثلاً فعلنا في الجزء ٦ ، تجنباً لكل التباس مع الكتلة m_0 للإلكترون .

$$G_z = m \frac{h}{2\pi} \quad [٤٤، ١٤]$$

حيث m هو عدد صحيح وهو العدد الكمي المغناطيسي الذي لا يمكن أن يأخذ الا $2l+1$ قيمة أي: $-l, -l+1, \dots, 0, \dots, l+1, l$. والعزم الحركي G_z ليس له طويلة فحسب بل أن له منحنى معيّن تماماً. ولكن تابع وجود الالكترتون هو دوراني حول المحور Oz ، إذن فالزاوية φ غير معينة بالكلية. وذلك مطابق لمبدأ الارتياب.

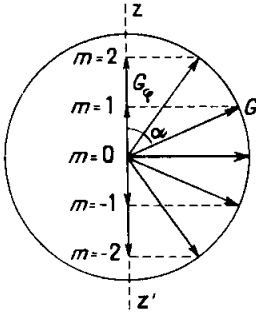
تمثل G_z في الميكانيك الكلاسي مرتسم G على Oz ، ويمكن أن تتخذ α أية قيمة كانت، وتدل المقارنة بين الصيغتين [٣٩، ١٤] و [٤٤، ١٤] ان α في ميكانيك الكم لا يمكن أن تتخذ من القيم الا ما كان معطى بالعلاقة.

$$\cos \alpha = \frac{G_z}{G} = \frac{m}{\sqrt{l(l+1)}} \quad [٤٥، ١٤]$$

فهذه الزاوية لا يمكن اذن ان تكون معدومة لأن القيمة العظمى لـ m هي $l < \sqrt{l(l+1)}$. وهذه هي ايضاً نتيجة من نتائج مبدأ الارتياب: فاذا كان العزم الحركي الكلي في الواقع يمكن أن يكون مساوياً لمركبته في منحنى ما (هو هنا Oz) فانه يكون معروفاً تماماً بالقيمة وبالمنحنى، وذلك مخالف لعلاقات الارتياب^(١) (الفقرة ١٤-٧ هـ).

يبين الشكل ١٤-٢٤ العلاقات بين G و G_z من أجل $l=2$ ، $l(l+1)=6$. وكلما ازدادت القيم التي يأخذها العدد l ، فإن $\sqrt{l(l+1)}$ يصبح

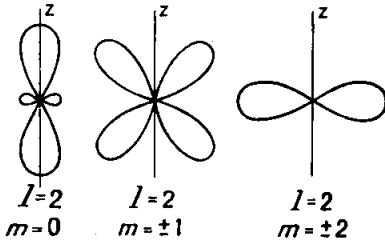
(١) خلافاً لذلك، أن كون طويلة G واحدى مركباتها G_z هما معروفتان تماماً. لا يتعارض مع مبدأ الارتياب، لأن المعرفة الكاملة لـ G تعطيها مثلاً معرفة طويلة واثنين من مركباتها، وأما الثالثة فيمكن أن تحسب بالعلاقة $G^2 = G_x^2 + G_y^2 + G_z^2$.



أشد قرباً من l ، وتصبح قيم α أكثر تعدداً ،
ووفقاً لمبدأ التقابل يصبح التمثيل البياني للشكل
١٤-١٩ تقريباً جيداً .

على أن هذه الصور ذات الدقة البالغة
لا تعطينا مع ذلك الا فكرة تقريبية عن نتائج
ميكانيك الكم . ان الشكل ١٤ - ٢٥ يمثل

احتمال وجود الالكترون بدلالة الزاوية α ،
من أجل $l = 2$ ، ويرى أنه من أجل $m = 0$ مثلاً
الشكل ١٤-٢٤ - التكيم في
الفضاء للعزم الحركي G .



الشكل ١٤-٢٥ - احتمالات وجود
الالكترون بدلالة الزاوية α

يظل الالكترون خصوصاً في جوار
المحور Oz ويعود ذلك فعلاً الى عزم
حركي عمودي تقريباً على هذا المحور .

ب) ان البرهان المباشر على
التكيم الفراغي لحالات الطاقة
نعطينا اياه تجارب غرلاخ وسترن
Stern و Gerlach (١٩٢٦-١٢) .

وبستخرج برهان غير مباشر من دراسة التحللات التي يحدثها حقل مغناطيسي
او حقل كهربائي على الخطوط الطيفية التي تصدر بالانتقال بين حالتين : فعل
زيمان (١٣ - ٨) وفعل ستارك (١٣ - ٥٨) .

١٤ - ١١ - تفسير فعل زيمان وفعل ستارك :

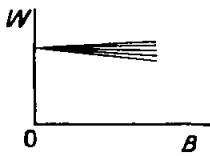
أ) يعطينا التكيم في الفراغ بسهولة تفسير فعل زيمان النظامي . نستخرج
من الصيغتين [١٤ ، ٤٤] و [١٤ ، ٣٩]

$$G \cos \alpha = G \varphi = \frac{mh}{2\pi}$$

فلندخل هذه القيمة في العبارة [٣٧، ١٤] لطاقة الالكتران في حقل مغناطيسي فينتج :

$$W_m = \frac{eh}{4\pi m_0} m B \quad [٤٦، ١٤]$$

ولما كان العدد m يمكن أن يتخذ $2l + 1$ قيمة مميزة عن بعضها ، فان الامر هو كذلك أيضاً في شأن الطاقة W_m . وهذه تنضاف الى الطاقة الخاصة بكل سوية ، لذلك فإن كل سوية وبالنتيجة كل حد طيفي ينقسم بتأثير الحقل المغناطيسي الى $2l + 1$ سويات ، لا تختلف طاقتها الا قليلاً ويزداد تباعدها عن بعضها مع B (الشكل ١٤-٢٦) .



وعندما يكون الحقل معدوماً ، تكون طاقات تحت - السويات متساوية ، فهي منحلة . راجع الفقرة ١٤ - ٨ ج) .

واذا كانت $l = 0$ ، لا تنقسم السوية ، واما من أجل $l = 1$ فهناك ثلاث سويات تحتية ($m = -1, 0, +1$) تحت السويات الزيمانية ومن أجل $l = 2$ توجد خمس سويات تحتية ($m = -2, -1, 0, 1, 2$) . وكل هذه السويات التحتية متساوية الابعاد ، وبعدها هو حسب [٤٦، ١٤] :

$$\Delta W_m = \frac{eBh}{4\pi m_0} = 9,24 \cdot 10^{-28} B \text{ joules} \quad [٤٧، ١٤]$$

اذن فالخط الذي تواتره ν والذي يقابل انتقالاً قدره $W' - W$ في حالة الحلو من الحقل المغناطيسي ، يمكن ان يتحلل الى خطوط تواتراتها معطاة بالعلاقة العامة [٢٩، ١٤] ، أي :

$$h\nu = (W' + m' \Delta W_m) - (W + m \Delta W_m) = h\nu_0 + (m' - m) \Delta W_m$$

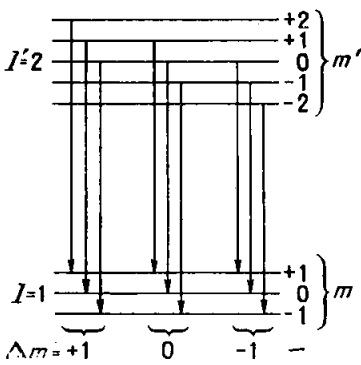
وإذا لاحظنا أن تواتر تقعر لارمور Larmor (١٤، ١١) هو

$$f_p = \frac{\omega_p}{2\pi} = \frac{eB}{4\pi m_0}$$

رأينا أن العلاقة المتقدمة يمكن أن تكتب :

$$h\nu = h\nu_0 + (m' - m) hf_p \quad [٤٧، ١٤ مكرر]$$

فهذه الصيغة تمكن من توقع ثلاثية زيمان التي تلاحظ إذا كان الخط الأصلي يقابل الانتقال من $l = 0$ إلى $l = 1$ ، لأنه يكون عندئذ m قيمة واحدة و m' ثلاث قيم . إلا أن هذه ليست الحالة الشائعة دوماً ، ما دام الخط $H\alpha$ مثلاً ، ناجماً عن الانتقال من $l = 3$ إلى $l = 2$.



الشكل ١٤ - ٢٧ - انتقالات
الثلاثية النظامية لزيمان

ولكني نفسر لماذا لا نحصل في جميع الاحوال الا على ثلاثة خطوط فقط ، يكفي بأن نقبل بأن $m' - m$ لا يمكن ان تأخذ الا القيم : صفر و $1+$ و $1-$ فنرى عندئذ على الشكل ١٤ - ٢٧ مثلاً ، أنه يوجد تسعة انتقالات ممكنة ، ولكن بنتيجة تساوي الابعاد بين تحت السويات في كل سوية ، فان لهذه الانتقالات نفس القيم ثلاثاً ثلاثاً .

يمكن الصيغة [٤٧، ١٤] من حساب تباعد خطوط الثلاثية النظامية :

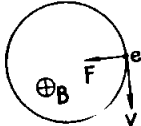
$$\Delta \sigma = \frac{\Delta W_m}{hc} = 0,467 B \text{ cm}^{-1}$$

حيث B هي مقدرة بالمغبر/م^٢ .

(ب) ان قاعدة الاصطفاء او الاختيار

$$\Delta m = 0, \pm 1 \quad [٤٨٠١٤]$$

يوشي بها مبدأ التبادل (الفقرة ١٤-٥) الذي يمكن في الوقت ذاته من فهم الاستقطاب الذي يلاحظ في الخطوط . فلننظر اذن كيف كان الميكانيك الكلاسي يسمي في تفسير فعل زيمان . ان الالكترتون الذي يرسم مداراً تحت تأثير حقل قوى مركزي ، والذي يصدر شعاعاً وحيدة اللون تواترها يساوي تواتر دورانه ، له حركة يمكن اعتبارها ناجمة عن ثلاث مركبات توافقية لها نفس التواتر : تنتقي احداها في منحى حقل التحريض المغناطيسي B والاخران في منحنين عموديين وفي مستوى P ناظمي على B . وهاتان الاخيرتان تعطيان بتحصيلهما اهتزازاً اهليلجياً يمكن اعتباره أيضاً ناتجاً من اهتزازين دائريتين متعاكستين (الشكل ١٢-١٢) . ولما كانت B محور دوران و P مستوى تناظر (٦ ، ٨-٩) فان التحليل السابق مطابق لتناظر الحقل المغناطيسي .



الشكل ١٤-٢٨
قوة لورنتز

ان الحقل المغناطيسي لا يؤثر في مركبة الحركة الموازية له، وذلك وفقاً لشكل قانون لورنتز (٦ ، ١٢-٣) . واما على المركبات الدائرية العمودية على B ، فان قانون لورنتز هو $F = B e \omega r$ (الشكل ١٤-٢٨) وهي نابذة او جاذبة حسب جهة الحركة على الدائرة . ومعادلة الحركة في حال عدم وجود الحقل هي :

$$4 \pi^2 f^2 m_0 r = k r$$

حيث k هو عامل ترجيع (اعادة) ، تصبح عند وجود الحقل :

$$4 \pi^2 f'^2 m_0 r = k r \pm 2 \pi f' B e r,$$

ومنه

$$f' - f \simeq \pm \frac{B e}{4 \pi m_0} \quad \text{او} \quad f'^2 - f^2 = \pm \frac{B e f'}{2 \pi m_0}$$

وذلك هو بالضبط تواتر لارمور . فنرى ان F هي جاذبة ، اذ $f' - f$ موجب من اجل المركبة الدائرية التي هي من نفس جهة التيار المغنط . فلها اذن تواتر متزايد . فلنلاحظ عندئذ الاشعاع المصدر في استقامة B ؛ ان المركبة المستقيمة الموازية لـ B لاتشع في هذه الاستقامة (الفقرة ١٣-٨) ولا يلاحظ خط له تواتر اصلي v وانما خيطان يعودان الى المركبتين الدائريتين ، وتواترهما $v \pm \frac{B e}{4 \pi m_0}$ ، وهما مستقطبتان دائرياً ، لننظر الآن في استقامة عمودية على الحقل ، ان اشعاع المركبة الموازية لـ B يظهر

ويتمثل : اذ يلاحظ خط تواتره v يهتز موازياً لـ B ، ثم ان المركبات الدائرية ترى من حرفها فتعطي خطوطاً مستقطبة استقطاباً مستقيماً عمودياً على B . وهكذا نجد جميع النتائج التجريبية التي يلخصها الشكل المبسط ١٣-١٩ .

يلعب مفعول زيمان دوراً هاماً في تصنيف الخطوط الطيفية ، لأن الخطوط المنتمية الى نفس المجموعة يطرأ عليها تحولات متشابهة في الحقل المغناطيسي (قاعدة برستون Preston) .

وقد رأينا (الفقرة ١٢-١٧) ان مفعول زيمان يعطينا تفسيراً للاستقطاب الدوراني المغناطيسي .

ج) ان نظرية فعل شتارك (الفقرة ١٣-٨ د) هي الآتية : مثلاً رأينا في فعل زيمان ، ان طاقة سويات الذرة تتحلل بتأثير الحقل . فاذا كان للذرة عزم كهربائي فان الحقل E يطبق - على العموم - عليه مزدوجة وان الفعل الدوراني يجر حدوث حركة تقعرية للمتجهة \vec{G} حول منحنى الحقل . وينطبق التكسيم في الفراغ هنا كما ينطبق في حالة الحقل المغناطيسي : ولا يمكن ان تأخذ \vec{G} الا عدداً من التوجيهات بالنسبة الى \vec{E} . وان حساباً شبيهاً بحساب الفقرة ١٤-١٠ أ بين ان طاقة سوية ما تنضاف اليها طاقة الذرة في الحقل E ، وان كل خط طيفي ناجم عن انتقال بين سويتين ينفصل الى عدة خطوط يتعلق عددها بتحلل سويات الذهاب والوصول .

لو كانت للذرة عزم ثنائية دائم p_0 (٦ ، ٤ - ١٢) وذلك لا يحدث إلا في الحالات المهيضة ، فإن الطاقة في الحقل E هي $p_0 E$ - (٦ ، ٥ - ١٠) ويكون تحلل السويات متناسباً مع E ؛ وهذا هو فعل شتارك الخطي . ولكن يمكن للذرة أيضاً ان تكتسب عزم ثنائية يحرضه الحقل ، لانها قابلة للاستقطاب (٦ ، ٤ - ١٢) فتكون طاقتها عندئذ تساوي $\frac{\alpha E^2}{2}$ ، حيث تمثل α الاستقطاب في الحالة التي هي فيها (٦ ، ٥ - ١٠) ويكون انفصال السويات متناسباً مع E^2 وهذا هو فعل شتارك التربيعي (الفقرة ١٣-٨ د) .

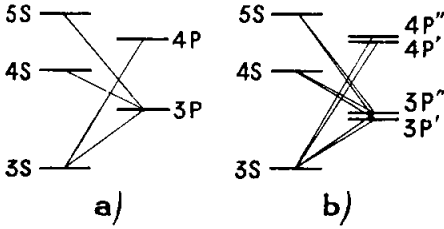
وفقاً لما رأينا في الفقرة ١٣-٨ ، ان التحللات بفعل شتارك هي أكثر تعقيداً من تلك التي تحصل بفعل زيمان . وليست واحدة بالنسبة لخطوط نفس السلسلة ولا تستعمل ابدأ في تحليل الأطياف الذرية .

١٤ - ١٢ . — البنية ذات المتعدرات لخطوط العناصر القلوية :

(أ) كنا لدى دراسة الطيف القوسي للقلويات قد أجرينا محاكمتنا عليها كما لو ان خطوط كل سلسلة كان لها تواتر وحيد . في حين ان جميع هذه الخطوط اذا فحصت بجهاز كبير التبديد له قدرة فصل كافية تكشف انها تتألف من مركبتين فهي ثنائيات .

ان هذا الأمر معروف تماماً في الخطين الأصفرين D_1 و D_2 من السلسلة الرئيسية للصوديوم ، وطولا موجتيهما هما بالترتيب ٥٨٩٠ و ٥٨٩٦ انغشتروم . وبكفي لفصلهما من بعضها مرور الضوء من موشور من الفلنت سمكه ١ سم . ويرينا الشكل ١٤ - ٢٩ من اللوحة ٧ البنية المؤلفة من ثنائيات للسلسلة الضيقة والسلسلة المنتثرة للبتواسيوم ، التي ترى بسهولة في مطياف متعدد المواشير ومصباح تفريغ عادي ، وان الابتعاد (مقدراً بالاعداد الموجية) لكل ثنائية من المجموعة الاساسية يتناهي الى الصفر كلما اقتربنا من نهاية هذه المجموعة . واما تباعد مركبات الخطوط المتماثلة فيزداد بسرعة مع العدد الذري للمعدن القلوي ، كما يبين الشكل ١٤ - ٣٠ في اللوحة ٧ العائدة الى الخطوط الاولى من المجموعة الرئيسية . ينتقل التباعد من القيمة ٣٣٤ سم^{-١} في الليتيوم الى ٥٥٤٠ سم^{-١} في السيزيوم .

٥ - يشاهد هذا الانفصال بسهولة عندما تفحص بالمطياف المصابيح التجارية ذات التفريغ في Na ، K ، Cs . ويشاهد أيضاً ان كل خط من المجموعة الضيقة هو ثنائية فاصلتها تساوي فاصلة الخط الأول من المجموعة الرئيسية .



الشكل ١٤-٣١ بنيات الحدود الطيفية للصوديوم
a بدون ثنائيات b بثنائيات

ب) تتصنف هذه الأمور
إذا قبلنا بأن الحدود الطيفية
أو سويات الطاقة ... F, D, P
هي مضاعفة وان فاصلتها
تتناقص عندما يزداد العدد
الكمي n . أما السويات
S فتظل بسيطة .

ضمن هذه الفرضيات ، ينبغي للشكل المبسط ١٤-١١ العائد لسويات
عنصر قلوي ان يعدل بالكيفية التي يبينها الشكل ١٤-٣١ . فلنرمز بـ nP'
و nP'' الى السويتين الناتجتين من ازدواج السوية nP . فبين مركبتي خط من
المجموعة الرئيسية التي سبق تمثيلها (الفقرة ١٤ - ٣) بـ $3S - nP$ (الشكل
١٤ - ٣١ a) يكون التباعد :

$$\Delta \sigma = (3S - nP'') - (3S - nP') = nP' - nP''$$

ويتناقص متناهيًا الى الصفر في اثناء تزايد n (الشكل ١٤ - ٣١ b) اذن
مركبتنا خط من المجموعة الضيقة $3P - nS$ لهما ، بخلاف ذلك تباعد ثابت :

$$\Delta \sigma = (3P' - nS) - (3P'' - nS) = 3P' - 3P''$$

ان الحطين D للصوديوم يقابلان على الترتيب الانتقالين $3S - 3P'$ و $3S - 3P''$
الذين في الشكل ١٤ - ٣١ b .

ج) ان الوقائع التي درست في الفقرات السابقة يمكن ان تمثل باعطاء حدود
طاقة الذرة ثلاثة اعداد كمية m, l, n كان يمكن ربطها بالدرجات الثلاث لحرية
الالكترون . ان البنية المزواجية (أو الثنائية) للخطوط الطيفية تقتضي ادخال
عدد كمي جديد لتمييز كل من السويات المتضاعفة .

تؤدي دراسة فعل زيمان الشاذ الى نفس الاستنتاج ويمكن من تحديد أصل العدد الكمي الجديد بدقة .

٥ - بين الشكل ١٣ - ١٩ نتيجة تأثير حقل مغناطيسي في الثنائية الصفراء للصوديوم عند الملاحظة (المراقبة) العرضانية . فلا يعطي أي واحد من الخطين الثلاثية الطبيعية (الفقرة ١٣-٨) بل يعطي الخط D_1 أربع مركبات والخط D_2 ستاً .

١٤ - ١٣ . اسبن الالكترتون . ترقيم الحدود الطيفية للعناصر القلوية

أ) بين تفسير فعل زيمان بواسطة التكميم في الفراغ ان الخطين D للصوديوم يتميزان بالعزم الحركي الكلي لحالات الذرة التي تحصل بينها الانتقالات التي تولدها . على انه طالما اعتبرنا ان هذا العزم هو ناجم عن حركة الكترتون نقطي (اي عزم حركي مداري) فاننا لن نجد تمييزاً كهذا . لذلك ينبغي ان ندخل عزماً حركياً جديداً .

لهذا السبب وضع اولنبيك وغودسميث Uhlenbeck - Goudsmit الفرضية التي تلاءمت نتائجها مع الوقائع ، وهي ان للالكترتون بالاضافة الى درجات الحرية الثلاث التي له ، درجة حرية دورانية حول نفسه . وهذه الخاصة تسمى اسبن Spin . فينتج منها وجود عزم حركي اسبيني .

يرتبط بهذا العزم الحركي عزم مغناطيسي ، لأن الالكترتون الدائر هو شحنة كهربائية في حالة دوران . غير ان العلاقة [١٤ ، ٣٦] بين العزوم الحركية والمغناطيسية المدارية لا يجوز لصحتها في حالة عزم الاسبن ، وسنرى انها بالفعل غير صحيحة .

ينتج من فرضية الاسبن ان جميع الحالات الالكترونية للذرة لها عزم حركي . وان الحالات S ($l=0$) التي يكون فيها العزم الحركي المداري

معدوماً ، لها عزم حركي ناجم عن الاسبن وحده : وهذا ماثققة التجربة (انظر تجارب شتون Stern وغرلاخ Gerlach في الفقرة ١٤-١٣ د) . وفي الحالات الأخرى P ، D ، ... ($l = 1, 2, \dots$) يكون للالكترون عزم حركي مداري G_l وهو يعادل حينئذ الى تيار مغلق (٦ ، ١٤ - ٣) يخلق حقلاً مغناطيسياً موازياً لـ G_l . يخضع العزم المغناطيسي الاسبيني في هذا الحقل الى مزدوجة ، كالعزم المغناطيسي المداري في حقل مغناطيسي خارجي (الفقرة ١٤-٩) وهذا هو الفعل المتبادل (او التزاوج) بين الاسبن والمدار . ويفسر تضاعف الحدود الطيفية للقويات بالتسليم بأن طاقة التفاعل اسبن - مدار يمكن ان تتخذ قيمتين مختلفتين لكل قيمة من G_l لا تكون معدومة (قيمتين تقابلان اتجاهين متعاكسين للاسبن) فلنسلم بأن قواعد الفقرة ١٤ - ٩ هي صالحة هنا : ان مركبة العزم الحركي للاسبن في منحى العزم المداري هي مضاعف صحيح لـ $\frac{h}{2\pi}$ ولكي يمكن لهذه المركبة أن تأخذ قيمتين مختلفان عن الواحد ، فان هاتين القيمتين لا يمكن ان تكونا سوى $\pm \frac{1}{2} \frac{h}{2\pi}$ (الشكل ١٤ - ٣٢) .

ان العدد الكمي الأسبن $S^{(1)}$ يساوي اذن $\frac{1}{2}$.

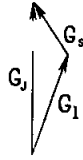
ومثلاً هي الحال فيما يتعلق بالعزم الحركي المداري (الفقرة ١٤ - ٩) ينتج من مبدأ الارتياب ان طوية العزم الحركي للأسبن ليست $S = \frac{1}{2} \frac{h}{2\pi}$ وانما هي (الشكل ١٤ - ٣٢ ب) :

$$G_s = \sqrt{s(s+1)} \frac{h}{2\pi} = \frac{1}{2} \sqrt{3} \frac{h}{2\pi} \quad [٤٩، ١٤]$$

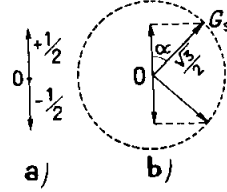
ينتج من القانون الاسامي للتحريك في حالة الدوران (١ - ١٢ ، ١) ان العزم

(١) هذا الرمز شائع . وينبغي ألا يخلط بينه وبين الرمز الذي يشير الى الحالات

$l = 0$.



الشكل ١٤-٣٣- تركيب العزم
الحركي المداري والعزم الحركي الاسبيني



الشكل ١٤-٣٢- أسبن الالكترتون

الحركي الكلي للالكترتون ينبغي ان يظل ثابتاً في القيمة وفي المنحى ، اذا لم يؤثر فيه أي مؤثر خارجي . وهذا العزم الكلي G_j هو حاصلة العزم الحركي المداري G_l والعزم الحركي الاسبيني G_s (الشكل ١٤-٣٣) .

ويقودنا ذلك الى ان نفحص كيف ينبغي ان نجري جمع المتجهات المكعبة . ان طولية G_l ، حسب (١٤-٣٣) هي أحد أضعاف $\frac{h}{2\pi}$ ، و G_s هي كذلك أيضاً حسب (١٤ ، ٤٩) فلنقبل بان G_j هي كذلك أيضاً ، فعندئذ يمكن للحاصلة G_j أن تتخذ جميع القيم المكعبة منذ القيمة المقابلة للحالة التي تكون فيها المتجهات التي يراد تحصيلها (أي تركيبها) متوازية ($G_j = G_l + G_s$) الى الحالة التي تكون فيها متوازية ومتعاكسة ويكون $G_j = G_l - G_s$.

ب) ان كل حالة من حالات الذرة القلوية لا تتميز بالعدد n و l فحسب ، بل تتميز أيضاً بالعدد الكمي $s = l \pm j$ الذي ينبغي ان يكون موجباً ويمثل (بوحدات من $\frac{h}{2\pi}$) العزم الحركي الكلي للالكترتون الضوئي ؛ يسمى j بالعدد الكمي الداخلي .

يبين الجدول ١٤ - ٣ الحدود الطيفية المختلفة الممكنة (او ، ما يفيد الشيء ذاته) مختلف سوياات الطاقة للقلويات :

الجدول ١٤ - ٣ الحدود الطيفية والاعداد الكمية للقلويات			
الحد	l	j	ترقيم الحدود
S	٠	$\frac{1}{2}$	$^2S_{1/2}$
P	١	$2/1$	$^2P_{1/2}$
		$2/3$	$^2P_{3/2}$
D	٢	$2/3$	$^2D_{3/2}$
		$2/5$	$^2D_{5/2}$

يبين العمود الاخير من هذا الجدول ترقيم الحدود الطيفية. ويتميز كل واحد منها بحرف S ، P ، D ، الذي تقابله قيمة ل : ٠ ، ١ ، ٢ ، ... وفي الاسفل والى يمين هذا الحرف تسجل قيمة z ، وفي الاعلى والى اليسار قيمة $2s + 1$. ويوضع الى الامام العدد الكمي الكلي . وان الرمز الذي نحصل عليه هكذا هو من الشكل :

$$n^{2s+1} T_j \quad [١٩، ١٤ مكرر]$$

حيث ينبغي ان يبدل بـ T : S P D F G ...

من أجل : $l = 0 \ 1 \ 2 \ 3 \ 4 \ \dots$

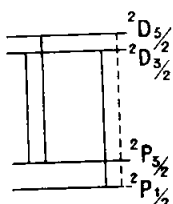
وهكذا فإن الخطين D_1 و D_2 للصوديوم يتجان من فروق الحدين الآتين:

$$\begin{aligned} D_1 & \quad 3 \ ^2S_{1/2} - 3 \ ^2P_{1/2} \\ D_2 & \quad 3 \ ^2S_{1/2} - 3 \ ^2P_{3/2} \end{aligned}$$

وقد نخطر على البال انه من الابطس ان تعطى قيمة s لا قيمة $2s + 1$.

[١٤-١٣] أسبن الالكترتون . ترقيم الحدود الطيفية للعناصر القلوية ٩٥

ولكن هذه الاخيرة المسماة بالتعددية تبين فوراً أن فعل الاسبن هو أن يعطي $2s+1$ حداً ينتمي اليها الحد الذي نعتبره . على انه ينبغي الانتباه الى ان الحدود ، وان كانت دوماً بسيطة ، فانها يدخل فيها العدد الدال على التعددية . (ج) ينتج مما تقدم ان الحدين P و D ، لما كانا مضاعفين ، فانه ينبغي ان يكون بالامكان وجود اربعة انتقالات تعطي تواترات مختلفة : بين سوية P وسوية D (الشكل ١٤ - ٣٤) . على أن التجربة تبين ان خطوط المجموعة



المنتشرة الناجمة عن مثل هذه الانتقالات (الفقرة ١٤-٣) لها ثلاث مركبات لا اربع^(١) ، ويتوصل الى التوفيق بين النظرية وبين التجربة بالقبول بأن العدد الكمي j يخضع لقاعدة الاصطفاء

الشكل ١٤-٣٤

الانتقالات بين

الحدين P و D

$$\Delta j = 0 \text{ أو } +1 \text{ أو } -1 \quad [١٤، ٥٠]$$

ويكون جدول الانتقالات المسموح بها عندئذ هو الآتي :

$j = \frac{1}{2}$	$s = \frac{1}{2}$	$l = 0$
\downarrow		
$\frac{1}{2}$ $\frac{3}{2}$	$\frac{1}{2}$	1
\swarrow \downarrow \searrow		
$\frac{3}{2}$ $\frac{5}{2}$	$\frac{1}{2}$	2
\swarrow \downarrow \searrow		
$\frac{5}{2}$ $\frac{7}{2}$	$\frac{1}{2}$	3

(١) ان الانتقالات التي تؤدي من السوية $P_{3/2}$ الى السوية $D_{3/2}$ او الى السوية $D_{5/2}$ في الشكل ١٤-٣٤ لها طاقات متقاربة جداً . لهذا السبب تبدو المجموعة l مؤلفة من ثنائيات على الشكل ١٤ - ٢٩ .

لنبحث الان كيف يمكن لغرضية أسبن الالكترتون ان تفسر فعل زيمان غير النظامي (الفقرة ١٣-٨ ب) . ان تجربة شترن وغرلاخ (الجزء ١٤،٦-١٢) اذا اجريت على نعثات ذرية من الفضة او من المعادن القلوية ، تمكن من قياس العزم المغناطيسي لهذه الذرات في الحالة الاساسية . فيحصل على القيمة $\frac{eh}{4\pi m_0}$. ولما كانت الحالة الاساسية حالة S فان العزم المغناطيسي يعود فقط الى اسبن الالكترتون . ولما كانت قيمة العزم الحركي هي $\frac{1}{2} \frac{h}{2\pi}$ ، فانتا نرى أن النسبة :

$$\frac{\text{العزم المغناطيسي}}{\text{العزم الحركي}} = \frac{e}{m_0} \quad [٥١،١٤]$$

تسمى هذه النسبة بالنسبة المغناطيسية الدورانية واذا نظرنا الى النسبة نفسها في العزوم المدارية وجدنا قيمة تعادل نصف القيمة السابقة أي $\frac{e}{2m_0}$ (راجع الجزء ٦ الفقرة ١٤-١١ ب) .

من هذا الفرق بين عزمي المدار والاسبن يأتي فعل زيمان غير النظامي . ففي حقل مغناطيسي ذي شدة معتدلة يقع تفهقر لارمور على العزم المغناطيسي الكلي ، ويعطي التكسيم في الفراغ $2l+1$ (الفقرة ١٤-١٠) والطاقة الاضافية التي تكتسبها بهذا السبب ذرة ، لا تعود مضاعفاً صحيحاً لنفس الكمية ، مثلاً ندل الصيغة [٤١،١٤] مادام يحدث عندئذ انتقال من العزم الحركي الى العزم المغناطيسي بواسطة مثل ضارب مختلف حسبما يكون العزم عزم اسبن او عزم مدار ، ولان l و s يختلفان من حد طيفي الى آخر ولا تعود طاقة الذرة في حقل مغناطيسي تكتب كما في [٤٢،١٤] $W \pm m \Delta W_m$ ، وانما

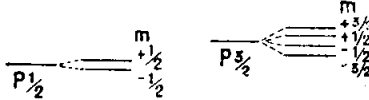
$$W \pm g \Delta W_m \quad [٥٢،١٤]$$

يتعلق العامل g بسوية الطاقة المبحوثة ، وهو عامل لاندé ، وينتج من ذلك ان كل حد طيفي ينقسم الى $2z+1$ مركبة متساوية الابعاد ، ولكن هذا البعد المتساوي يتعلق بـ g . ان تحليل الخط يتعلق أصلاً بقيم g في الحالة الاصلية والحالة النهائية .

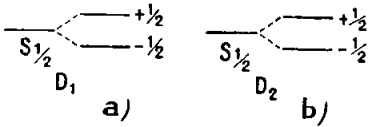
فلنأخذ مثال خطي الصوديوم العائدين للانتقالين $3P \rightarrow 3S$ ، ان السوية S التي تبلغ فيها قيمة $z = \frac{1}{2}$ والتي يرمز اليها بـ $S_{1/2}$ يتضاعف في حقل مغناطيسي وتكون قيمة العامل g هي ٢ مادام العزم الحركي ليس عائداً الا الى الاسبن . وفيما يتعلق بالسويتين P يكون :

$$j_2 = 1 + \frac{1}{2} = \frac{3}{2} \quad \text{و} \quad j_1 = 1 - \frac{1}{2} = \frac{1}{2}$$

تضاعف السوية $P_{1/2}$ ، ولكن العامل g ، وبالنتيجة تباعد السويتين لا يفي له نفس القيمة التي للسوية $S_{1/2}$ ، لأن قسماً من z يأتي من العزم المداري ، فالانتقالات الاربعة التي في



الشكل ١٤ - ٣٥ a الممكنة والموافقة لقواعد الاصطفاء $\Delta j = 0 \pm 1$ لها كلها تواترات مختلفة . فهذا التحلل لزمان يقابل ما يلاحظ بالنسبة الى الخط D_1 .



تعطي السوية $P_{3/2}$: $2j + 1 = 4$ أربع مركبات مغناطيسية (الشكل ١٤ - ٣٥ b) فتباعدها مختلف ايضاً عن تباعد مركبات السوية $S_{1/2}$ بحيث أن الانتقالات الستة الوحيدة التي تتلام مع قواعد الاصطفاء لها هنا تواترات مختلفة. فنحصل على ٦ خطوط ، مثلاً يشاهد بالنسبة الى الخط D_2 . وسيعطى حساب عامل لانده في الفقرة ١٤-١٦ أ .

الشكل ١٤ - ٣٥ - تحلل السويات بواسطة الحقل المغناطيسي ، مولداً الخطين D_1 و D_2 للصوديوم

١٤ - ١٤ . — الذرات ذوات الالكترونات الضوئية المتعددة .

أ) ان ذرة الهليوم ، وهي أبسط الذرات بعد ذرة الهيدروجين ، تحوي على الكترونين ، وان التعقيد يبدأ من طيفها القوسي ، وقد امكن تصنيفه بتمييز نوعين من الخطوط فيه . بعضها وحيد وهي البسائط والاخرى تتألف من ثلاث مركبات شديدة التجاور وهي المثالث او الثلاثيات . فالبسائط من جهة والمثالث من جهة أخرى تؤلف مجموعتين مستقلتين من الخطوط ، بمعنى ان العلاقات التي من النوع [١١، ١٤] لا تقوم الا بين خطوط من نفس المجموعة . وان المخطط المبسط للطاقة الالكترونية للهليوم يتألف اذن من جلتين من السويات مستقلتين عن بعضها ، كما تكون جملتان عائدتان لنوعين مختلفين من الذرات

(الشكل ١٤ - ٣٦) فكل جملة من الخطوط تتألف من عدة خطوط تذكر بخطوط المعادن القلوية (الفقرة ١٤ - ٢) .

(بسائط)				(مثال)			
$1S$	$1P$	$1D$	$1F$	$3S$	$3P$	$3D$	$3F$
3^1S	3^1P	3^1D	4^1F	3^3S	3^3P	3^3D	4^3F
2^1S	2^1P			2^3S	2^3P		

(ب) ان حالات التشابه
المذكورة بين طيف الهيدروجين
وطيف القلويات توجد ايضاً
بين طيف الهليوم وطيف
المعادن القلوية الترابية
(Ba ، Sr ، Ca ، Mg)
الذي يحوي جملة من البسائط
وجملة من المثال .

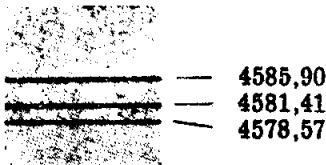
ان المعادن القلوية
الترابية تحوي بالفعل على
الكرونيين ضوئيين .

يبين لنا الشكل ١٤-٣٧
ثلاثية طيف الكالسيوم .

الشكل ١٤ - ٣٦ - سويات الطاقة لذرة الهليوم

نجد كذلك مجموعات

من البسائط ومجموعات من الثلاثيات في طيف المعادن (Hg ، Cd ، Zn) التي
تقارب خواصها في بعض النواحي خواص
المعادن القلوية الترابية .



وبرينا الشكل ١٤ - ٣٨ في اللوحة ٧
ثلاثيات المجموعات المنتثرة والضيقة
للتوتياء .

الشكل ١٤ - ٣٦ - ثلاثية طيف
الكالسيوم (N) تدل الاعداد على
اطوال الموجة بالانغستروم .

٥- يمكن الحصول على الطيف المرئي لهذه المعادن الاخيرة بسهولة بواسطة انابيب التفريغ من ذوات التوتر المنخفض ، الكثيرة الاستعمال .
وان فاصل خطوط الثلاثيات ، مثل فاصل ثنائيات القلوبات ، يزداد بسرعة بتزايد الكتلة الذرية . ويتغير تقريباً كما يتغير مربع الرقم الذري .

٥- تلاحظ الثلاثية الزرقاء للتوتياء ($\lambda = 4811, 4722, 4680\text{\AA}$) . وأما ثلاثية الكادميوم Cd المائلة للاولى فتحتوي على خط أخضر ($\lambda=5068\text{\AA}$) وخطين أزرقين (4800\AA و 4678\AA) وتحوي ثلاثية الزئبق على خط أخضر ($\lambda=5461\text{\AA}$) وخط نيلي ($\lambda=4358\text{\AA}$) وخط بنفسجي ($\lambda=4047\text{\AA}$) .
وتعطي ذرات أخرى متعددات أكثر تعقيداً .

١٤ - ١٥ . — النموذج الشعاعي (المتجهي) للذرة . تفسير طيف الهليوم .

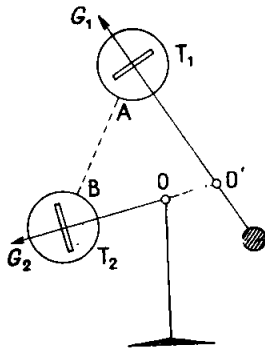
أ) ان دراسة الذرات ذوات الالكترونات الضوئية المتعددة بالطرق المبسطة لميكانيك الكم لا يستغنى عنها في بعض الاحيان ، كما في حالة الهليوم مثلاً . ولكنها تؤدي الى حسابات عسيرة . وهذا ما يعطي أهمية - عند البحث عن سويات الطاقة في هذه الذرات - الى استعمال تمثيل يسمى النموذج الشعاعي (أو المتجهي) للذرة .

تتميز الالكترونات الضوئية بنفس العدد الكمي الرئيسي n ، ولكل منها عزم حركي مداري :

$$G_l = \sqrt{l(l+1)} \frac{h}{2\pi}$$

وعزم حركي أسبيني $G_s = \sqrt{s(s+1)} \frac{h}{2\pi}$ (الفقرة ١٤ - ١٢) . وأغلب الاصدارات والامتصاصات الضوئية المعروفة هي ناجمة عن انتقالات واحد فقط

من هذه الالكترونات ، وذلك وفقاً لما يوحى به مثلاً تشابه طيوف الهليوم مع طيوف القلويات (الفقرة ١٤-١٤ ، ١) . ولكن الالكترونات تؤثر في بعضها بعضاً بقوة كهربائية ومغناطيسية ، تتعلق أقدارها ببنية الذرة . فعندئذ يكون العزم الحركي الكلي الناتج هو الذي يظل ثابتاً أثناء الحركات المستقرة .



الشكل ١٤-٣٩ - الفعل المتبادل بين جيروسكوبين .

٥ - يمكن الحصول على فعل متبادل لجلتين في حالة دوران بواسطة جهازين من أجهزة الجيروسكوب T_1 و T_2 (الشكل ١٤ - ٣٩) تفصل محاورهما في O' وتدور جلتها في جميع الجهات حول النقطة O . وهناك خيط مطاطي AB يصل الجهازين ويخضع كل منها لمزدوجة صغيرة عزمها في O عمودي على مستوى الشكل : تدور الجملة حول منحى حاصلة العزمين المركبين G_1 و G_2 .

ان النموذج المتجهي بحسب العزم الحركي

الكلي باعتبار G_1 و G_2 كمتجهتين تشكل حاصلتهما حسب قواعد تركيب المتجهات مع

إضافة شرط وهو ان هذه الحاصلات ينبغي ان تكون مكتمة كما رأينا في الفقرة ١٤ - ١٢ ، بحيث ان العدد الكمي الذي يدخل في عبارة كل من المتجهتين لا يمكن ان يتغير الا بمقدار وحدة فقط . ان القيم النهائية لحاصل المتجهتين هي التي تقابل الفرق بين المتجهتين المتعاكستين والتي تعود الى مجموع متجهتين متوازيتين ومتحدتين في الجهة .

هنالك طريقتان رئيسيتان لتركيب العزوم الحركية تسميان بالتزويج .

١ - التزويج zz . تتركب المتجهتان G_1 و G_2 العائدتان الى كل إلكترون

فتعطين متجهة G_j طوليتها تساوي $\frac{h}{2\pi} \sqrt{j(j+1)}$ ، حيث يمكن أن نأخذ j كما رأينا في الفقرة ١٤-١٢ ب القيمتين الموجبتين $s \pm l$. والمتجهات G_j العائدة

الى مختلف الالكترونات تتركب في حاصلة :

$$G_J = \sqrt{J(J+1)} \frac{h}{2\pi} \quad [٥٣،١٤]$$

يعود العدد J الى العزم الحركي الكلي لجملة الكترونات الذرة . والشكل ١٤ - ٤٠ يعود الى حالة الالكترونين وطريقة التوزيع المتقدمة نحصل عملياً في قلب الذرة .

٢. - التوزيع LS (أو توزيع روسل سوندرز Russell-Saunders) .
ان المتجهات G_J المرتبطة بمختلف الالكترونات تتركب فتعطي الحاصلة :

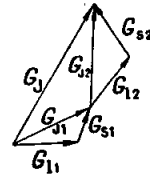
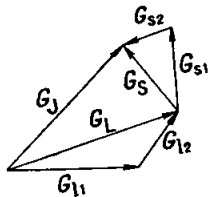
$$G_L = \sqrt{L(L+1)} \frac{h}{2\pi} \quad [٥٤،١٤]$$

وتعطي المتجهات G_S كذلك حاصلة :

$$G_S = \sqrt{S(S+1)} \frac{h}{2\pi} \quad [٥٥،١٤]$$

يشير الحرفان الكبيران L و S بشكل مشابه لـ J ، الى العزم الحركي المداري والى عزم الاسبان الكلي لجملة الالكترونات الذرية ، والحروف الصغيرة j, l, s ، قد خصصت لالكترون وحيد .

وأخيراً ، ان المتجهتين G_S و G_L تتركبان وتعطيان العزم الحركي الكلي G_J (الشكل ١٤ - ٤١) . وتحقق طريقة التوزيع هذه عندما تكون الافعال



الشكل ٤٠ - ١٤ التوزيع LS لالكترونين

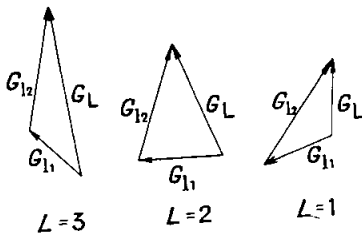
الشكل ٤٠ - ١٤ التوزيع JJ لالكترونين

المتبادلة بين الاسبين والمدار ضعيفة أمام القوى التي تؤثر بها الإلكترونات في بعضها بعضاً : وتلك هي الحال من أجل الإلكترونات الضوئية للذرات الخفيفة كما يبينه لنا ضعف فاصلة المتعددات .

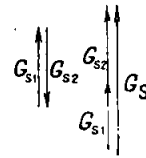
(ب) فلنطبق القواعد السابقة على تفسير طيف ذرة ذات إلكترونين ضوئين مثل المليون أو المعادن القلوية الترابية . ان التوزيع LS هو الذي يصح هنا . وذلك وفق ما يبينه اتفاق النتائج مع التجربة .

نرى في الشكل (١٤ - ٤٢) $G_s = 0$ أو $G_s = \sqrt{3} \frac{h}{2\pi}$ أي $S = 0$ أو $S = 1$ حسبما يكون الاسبينان في الإلكترونين اللذين فيها $S = \frac{1}{2}$ هما متعاكسان أو متسايران^(١) .

عندما يكون $S = 0$ ، تصبح $G_J = G_L$ ، مهما كانت قيمة L ، وبالنتيجة تكون مستويات الطاقة بسيطة كلها . وبيّن لنا الشكل ١٤-٤٣ من جهة ثانية تركيب العزوم الحركية المدارية في حالة افتراض ان $l_1 = 1$ و $l_2 = 2$.



الشكل ١٤-٤٣ - حاصلة العزمين
الحركيين المداريين لذرة ذات إلكترونين

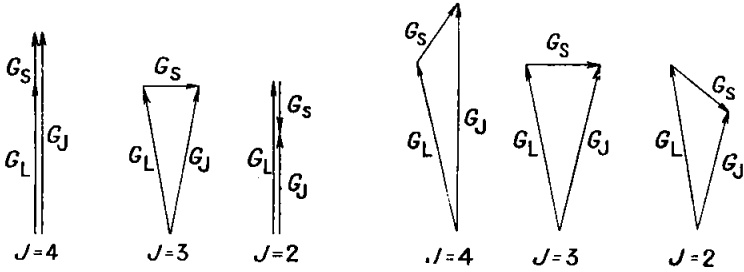


الشكل ١٤-٤٢ - حاصلة العزمين
الحركيين للاسبين في ذرة الكترونيين

(١) ينبغي ألا يخلط بين الحاصلة S للاسبين وبين الترقيم S للحدود التي يكون فيها $L = 0$.

وأخيراً يبين لنا الشكل ١٤-٤٤ تركيب العزوم الحركية الذرية G_S و G_L لاعطاء العزم الحركي الكلي G_J ، في حالة $L=3$ و $S=1$. فهناك ثلاث قيم لـ J ومنها حدوث الثلاثيات .

يكفى غالباً من أجل رسم الحاصلات المتقدمة بخلط $\sqrt{S(S+1)}$ ، $\sqrt{L(L+1)}$ و $\sqrt{J(J+1)}$ بالترتيب مع S و L و J ، ويعطي ذلك المخططات المبسطة المبينة في الشكل [١٥-١٤] .



الشكل ١٤-٤٥ - التوزيع LS
المبسطة لذرة ذات إلكترونين

الشكل ١٤-٤٤ - التوزيع LS
لذرة ذات إلكترونين

يجمع الجدول ١٤-٤ مختلف الحدود الممكنة .

الجدول ١٤ - ٤

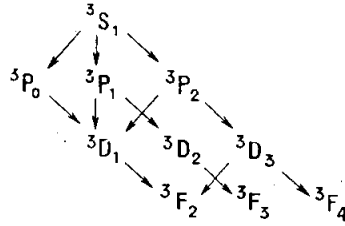
الحدود الطيفية والاعداد الكمية للعناصر القلوية الترابية

ترقيم الحدود	J	التعدد	S	s_2	s_1	الحد	L	l_2	l_1
1S_0	٠	١	٠	٢/١ -	٢/١ /	S	٠	٠	٠
3S_1	١	٣	١	٢/١	٢/١ /				
1P_1	١	١	٠	٢/١ -	٢/١ /				
3P_0	٠	٣	١	٢/١	٢/١ /	P	١	١	٠
3P_1	١	٣	١	٢/١	٢/١ /				
3P_2	٢	٣	١	٢/١	٢/١ /				

فلنقبل بأن قواعد الاصطفاء [١٠، ١٤] التي سبق وضعها من أجل L وتلك التي تنطبق على Z [٥٠، ١٤] هي بالترتيب صالحة من أجل L و J :

$$\Delta L = \pm 1 \quad \text{و} \quad \Delta J = 0 \quad \text{أو} \quad \pm 1$$

ان الانتقالات المسموح بها في جملة البسائط تحصل بين الحدود S و P ; P و D . بشكل مماثل لما رأيناه في العناصر القلوية (الفقرة ١٤ - ٣) . فالانتقالات الجائزة في جملة الثلاثيات هي الآتية :



ثم انه ينبغي ان نقبل قاعدة اصطفاء اضافية : وهي أنه لا يوجد انتقال بين سوية بسيطة وبين سوية ثلاثية ، وكذلك العكس . الا ان هذه القاعدة الثالثة ليست مضبوطة ، بل انها تغطي غالباً في طيف الذرات الثقيلة . فالخطوط التي تلة حينئذ تسمى خطوط الاتحادات المتبادلة .

ج) ان ذرة الهليوم هي في حالتها الطبيعية ذات تمغنت معاكس . اذن فسويتها الاساسية بسيطة $L=0$ و $S=0$ ، وبعض مجموعات البسائط وجميع

مجموعات الثلاثيات (الشكل ١٤-٣٦) تبدأ من سويات متقاربة جداً فيما بينها ولكنها أعلى بكثير (بمقدار ٢٠

الكتران فولت تقريباً) من السوية الاساسية . تفسر هذه الوقائع اذا قبلنا

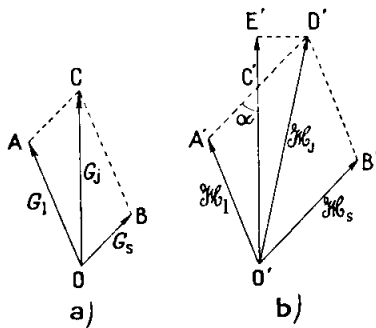
كما في الشكل ١٤ - ٣٦ ان الالكتران الذي تعود اليه الاصدارات والامتصاصات الملحوظة يمكن ان تكون اخفض سوية طاقة له ، سوية سبق لها

ان هيئت مع اسبين مواز (الشكل ١٤-٤٦ c) او معاكس (الشكل ١٤-٤٦ d) لاسبين الالكترون الباقي في السوية الاساسية ، وذلك حسبما يكون لدينا ثلاثيات او بسائط . لكنه اذا ابتدأ من الحالة الاساسية فلا يمكن لاسبيني الالكترونين الا أن يكونا متعاكسين (الشكل ١٤-٦٤ b) . وقد دونت هذه الحالة الاخيرة 1^1S_0 . ان حالة ذرة الهليوم 1^3S_1 الممثلة بالشكل ١٤-٤٦ a لا تصادف في الطبيعة .

ان الدراسة العميقة لأطياف الذرات التي لها عدة الكترونات قد ابانت مرات عديدة عن وجود حدود محظورة من النوع المتقدم ، وسنرى في الجزء ٨ انه يمكن التعبير عن هذه المحظورات بشكل بسيط وعام يعطيها معنى اساسياً في بنية الذرات (مبدأ باولي) .

نلاحظ اخيراً ان الفروق بين سويات البسائط والثلاثيات المقابلة لنفس العددين n و l (٧٨ ، الكترون فولت مثلاً بين السويتين 2^1S و 2^3S للهليوم) هي اكبر بكثير من ان تفسر بالفعل المتبادل المغناطيسي لاسبيني الالكترونين . ولم يمكن اعطاء التفسير الا بميكانيك الكم (الجزء ٨) .

١٤ - ١٦ . تطبيقات اخرى للنموذج المتجهي للذرة .



الشكل ١٤ - ٧ : حساب عامل لانده

أ) ان حساب عامل لانده g (الفقرة ١٤-١٣ د) يمكن عمله بسهولة بفضل النموذج المتجهي للذرة . فلننظر الى حالة الكترون ضوئي واحد قد اعطي تركيب العزمين الحركيين العائدين له في الشكل ١٤-٤٧ a ان تركيب العزمين المغناطيسيين

العائدين له موضع في الشكل ١٤-٤٧ b ، اذا اتخذنا نفس المقياس لتمثيل \mathcal{M}_l و G_l ، فيكون عندئذ $\mathcal{M}_s = 2 G_s$ ما دامت النسبة الجيومغناطيسية أكبر برتين بالنسبة للاسبين منها للمدار . وقد رأينا في الفقرة ١٤-١٠ ان مركبة \mathcal{M} في استقامة G_j هي التي تتدخل في الخواص المغناطيسية للذرة . فلتكن $O'E'$ هذه المركبة فيكون :

$$O'E' = O'C' + C'E' = O'C' + C'D' \cos \alpha$$

وفي المثلث ACO' ، لدينا

$$\cos \alpha = \frac{|O'C'|^2 + |A'C'|^2 - |O'A'|^2}{2|A'C'| \cdot |O'C'|}$$

ومنه اذا لاحظنا ان $A'C' = C'D'$ ، ما دام $O'B' = 2 OB$ ،

$$C'E' = A'C' \left(1 + \frac{|O'C'|^2 + |A'C'|^2 - |O'A'|^2}{2|O'C'|^2} \right)$$

ان النسبة $\frac{O'E'}{A'C'}$ للمركبة الفعالة للعزم المغناطيسي الكلي الى العزم الحركي

الكلي تساوي g ، وفقاً للطويلات المنتخبة للشكل ١٤-٤٧ : ومنه

$$g = 1 + \frac{|O'C'|^2 + |A'C'|^2 - |O'A'|^2}{2|O'C'|^2} = 1 + \frac{G_j^2 + G_s^2 - G_l^2}{2 G_j^2} \quad [٥٦,١٤]$$

$$= 1 + \frac{j(j+1) + s(s+1) - l(l+1)}{2j(j+1)}$$

يمكن للقارىء ان يتحقق من انه في مثال الخطوط D (الفقرة ١٤-١٢)

يكون لدينا بالنسبة للسوية $S_{1/2} : g = 2$ ؛ والسوية $P_{1/2} : g = \frac{2}{3}$ ؛ والسوية

$$P_{3/2} : g = \frac{3}{4}$$

تنطبق الصيغة [٥٦، ١٤] على حالة عدة الكترونات ضوئية بشرط استبدال

$$s, l, j \rightarrow S, L, J$$

(ب) لقد قلنا في (الفقرة ١٣ - ٨ ب) ان فعل زيمان غير الطبيعي يصبح طبيعياً في حقول التحريض ذوات الشدات الكبيرة . ويعود ذلك الى ان تأثير B في M_l وفي M_s يتفوق على التأثيرات المتبادلة لهذين العزمين ، بحيث ان حركة هذين توصف وصفاً احسن بتقعر مستقل لكل واحد منها حول B ، منه بتركيب لاعطاء حاصلة M تدور حول B . فيقال ان التزويج الاسميني المداري قد انفصم (الفقرة ١٤ - ١٣) وعندئذ يكون لـ M_l و M_s كلأ على حدة مرتبتان مكمان على استقامة B ، يمكن ان يتخذتا فيما قدرها بالترتيب $2l+1$ و $2s+1$ ، وتكون عبارة الطاقة المغناطيسية الكلية ،

$$\Delta W_m = \Delta W_{ml} + \Delta W_{ms} = m_l h f_p + 2 m_s h f_p = (m_l + 3 m_s) h f_p$$

والمجموع $m = m_l + 2 m_s$ هو عدد صحيح ، وبالنتيجة ان فاصلة التواترين العائده الى انتقال $\Delta m = 0 \pm 1$ هي مضاعف صحيح للفاصلة $h f_p$ للثلاثية النظامية .

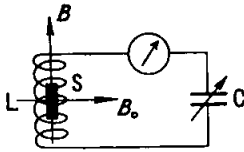
(ج) ان اعتبارات مشابهة لتلك التي عرضت من أجل فعل زيمان تطبق على فعل شتارك : ان الخاصة الاساسية لهذين الفعلين هي ايقاف الانحلال في الفراغ (الفقرة ١٤-١١) للسويات الالكترونية للذرة . وان العزم الحركي \vec{G} يمكن ان يأخذ بالنسبة الى الحقل $2J+1$ توجيهاً تقابل القيم الصحيحة للعدد الكمي المغناطيسي m من $J -$ الى $J +$. فاذا كان ثمة عزم كهربائي او مغناطيسي دائم ، فان هنالك $2J+1$ قيمة مختلفة للطاقة $\vec{E} \cdot \vec{P}$ او $\vec{E} \cdot \vec{B}$.

ان الفرق بين السويات السابقة يقابل تواترات راديوية كهربائية من أجل القيم العادية للحقول المفروضة . فمثلاً تعطي الصيغتان [٤٧، ١٤] و [٥٢، ١٤] من أجل $g = 1$ فارقاً او اختلافاً بين سويتين متتاليتين قدره :

$$\Delta \nu = \frac{e}{4 \pi m_0} B = 1,4.10^{10} B \text{ hertz}$$

أي 1.04×10^{10} هرتز من أجل تحريض قدره ١ فيبر/م^٢ (وهذا يقابل موجة طولها ٢,١ سم) .

ان الانتقالات بين السويات في فعل زيمان او في فعل شتارك يمكن اذن ان تولد ظواهر تجاوب مغناطيسي او كهربائي (الفقرة ٤-١٥) .



الشكل ٤٨-١٤

دراسة التجاوب المغناطيسي

ان الشكل المبسط للتركيبة اللازمة لدراسة

التجاوب المغناطيسي هو الآتي (الشكل ١٤-٤٨)

نخفض المادة S الى الحقل المغناطيسي B ذي التواتر

العالي (ν_0) لدارة مهتزة LC ، وفي الوقت نفسه

لحقل مغناطيسي ساكن B_0 . فاذا أعطي لـ B_0 قيم

متزايدة بالتدريج نستطيع ان نجعل الفارق $\Delta \nu$

مساوياً ν_0 ، ويظهر التجاوب بامتصاص اعظمي في الدارة المهتزة .

(د) ان تعميم الاراء المتقدمة على الذرات التي لها عدد ما من الالكترونات الضوئية

يحصل بدون صعوبة مبدئية . فأما العناصر ذوات الكتل الذرية الصغيرة فانه يتحقق فيها

توزيع رومل - ساندروز وفي هذه الشروط ومع قبول المخطط المبسط الذي في الشكل

١٤-٤٥ ، فإن ،

١ - ان الالكترونات المختلفة التي عزومها الحركية المدارية

هي l_1 ، l_2 ، l_3 مرة من $\frac{h}{2\pi}$ ، تتحد وتعطي حاصلة هي $\frac{h}{2\pi}$

حيث الطويلة L هي عدد صحيح . فنلّا من اجل $l_1=2$ و $l_2=1$

و $l_3=1$ يمكن ان تأخذ L القيم : ٠ ، ١ ، ٢ ، ٣ ، ٤ .

٢ - ان العزوم الاسينية الحركية $\vec{s} = \pm \frac{1}{2} \frac{h}{2\pi}$ تتحد

ايضاً وتعطي حاصلة هي $\frac{h}{2\pi}$ ، واذا كان العدد E للالكترونات

زوجياً ، فإن S تأخذ القيم الصحيحة من الصفر الى E ؛ واذا كان

هذا العدد فردياً اخذت S القيم $\frac{1}{2}$ ، $\frac{3}{2}$ ، $\frac{5}{2}$ ، ... (الشكل

١٤-٤٩) .

الشكل ٤٩-١٤

حاصلة العزوم الحركية

للاسيب ، من اجل ذرة

ذات ه الالكترونات

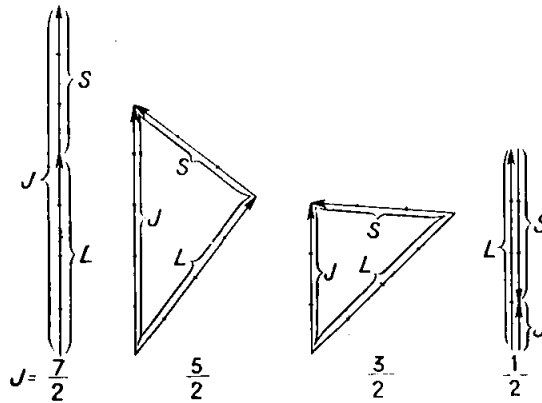
٣ - تتركب المنجهتان S و L وتعطيان منجهة J ،

يمكن ان تأخذ طوليلتها القيم الموجبة الواقعة بين L+S و L-S

والتي تختلف بقدر وحدة (الشكل ١٤ - ٥٠) أي $L + S$ ، $L + S - 1$ ، $L + S - 2$ ، ...
 $|L - S|$ ، وإذا كانت $L > S$ فإن $L - J$ ، $2S + 1$ قيمة (من أجل قيمة معطاة لـ L) .
 وإذا كانت $L < S$ فإن $L - J : 2L + 1$ قيمة (من أجل قيمة معطاة لـ S) . وخاصة من
 أجل $L = 0$ ، $J = S$ ، فإن حدود S هي درجاً بسيطة .

٤. - كل قيمة لـ S تولد مجموعة من الحدود تعدادها يساوي $2S + 1$ ، مثلاً من أجل
 $E = 3$ ، يمكن أن نأخذ S القيم $1/2$ ، $3/2$ التي تعطي حدود ثنائيات ورباعيات .
 وعلى العناصر ذوات الكتل الذرية الكبيرة ينطبق على الاغلب التزويج zz الذي لن
 ندرسه . وتصبح الطيوف نفسها معقدة جداً ، ولم تصنف حتى الآن تصنيفاً كاملاً .
 في كل المجموع السابقة لا يحتاج الامر في اغلب الاحيان الى اعتبار شيء سوى
 الالكترونات السطحية للذرات . ان العزوم الحركية المدارية والاسпинية للالكترونات
 الطبقات العميقة تتفانى في غالب الاحيان بحيث انها لا تسهم في قيم الحالات S ، L ، J .
 فيقال ان هذه الالكترونات تؤلف طبقات كاملة . وسندرس في الجزء ٨ البنية الالكترونية
 لذرات مختلف العناصر .

ان ترقيم الحدود الطيفية يظل هو الترقيم الذي اوضح في الفقرة ١٤-١٢ ب .



الشكل ٥٠ - ١٤ التزويج LS في حالة $L = 4$ و $S = 3$.

١٤-١٧ . — خلاصة قواعد مصطلحات الكشف الطيفي .

يجمع الجدول ١٤ - ٥ رموز الاعداد الكمية الالكترونية وقيمها الممكنة
 وقواعد الاصطفاء .

الجدول ١٤ - ٥ الاعداد الكمية وقواعد الاصطفاء		
$\Delta l = \pm 1$	$n = 1, 2, 3, \dots, n$ $l = 0, 1, \dots, n-1$	العدد الكمي الرئيسي [٢٣، ١٤] - - (المداري أو السمي) [٣٩، ١٤]
$\Delta m = 0, \pm 1$	$m = 0 \pm 1 \pm 2, \dots \pm l$	- - المغناطيسي [٤٤، ١٤]
	$s = \frac{1}{2}$	- - الاسبيني [٤٩، ١٤]
$\Delta j = 0, \pm 1$	$j = l \pm \frac{1}{2} (> 0)$	- - الداخلي [٥٠، ١٤]

إن الالكترونات لدى النظر إليها افرادياً ، تنقسم إلى زمرة s, p, d, f, \dots وذلك حسب قيمة عددها l ($0, 1, 2, 3, \dots$) وإذا أردنا في الوقت نفسه أن نبرز العدد n نكتب ns, np, \dots

وإذا كان لا يوجد حقل كهربائي أو مغناطيسي خارجي ، فان طاقة الالكترون لا تتعلق إلا بالأعداد n, l و j .

إن جملة مختلف الالكترونات العائدة الى نفس القيمة للعدد n تتميز باعداد كمية L, S, J ترتبط قيمها بقيم الأعداد l, s, j للالكترونات بالكيفية المينة في الفقرة ١٤ - ١٥ ، وان قواعد الاصطفاء المتعلقة بها شبيهة بقواعد الجدول ١٤ - ٥ :

$$\Delta L = \pm 1 \quad [٥٧، ١٤]$$

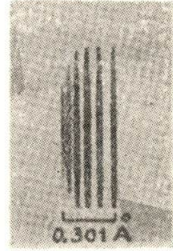
$$\Delta J = 0, \pm 1 \quad [٥٨، ١٤]$$

هذا وإن الحدود الطيفية ، عدا عن قيمتها العددية ، تنقسم إلى

...، F, D, P, S وهذا التصنيف ينطبق مع تصنيف الالكترونات عندما لا يكون هنالك إلا الكترون ضوئي واحد . فاذا كان هنالك عدة الكترونات فان الحدود P, S ، ... ترتبط بقيم L وتنقسم حسب قيم S و J .
إن قيم الحدود الطيفية تعطى بعبارات من الكيفية [١٤ ، ٤٩ مكرر] .

١٤ - ١٨ . البنية الشديدة الدقة للمخطوط الطيفية وخواص النوى المرئية :

أ) عندما تفحص مركبات المتعددات (الفقرة ١٤ - ١١) بأجهزة طيفية ذات قوة فصل عالية ، يُرى في كثير من الأحيان أنها تتألف من عدد من الشعاعات الشديدة التجاور ، وتشغل فاصلاً طيفياً أصغر من 1 \AA . فهذا الانفصال أو التحلل يعبر عن البنية الشديدة الدقة للخط الطيفي . وان الشكلين ١٤ - ٥١ و ٥٢ الشكل ١٤ - ٥١ (اللوحة ٧) يعطياننا مثالين عن ذلك .

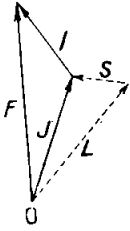


البنية الدقيقة جداً للخط $\text{A} 4382$ لعنصر برازيليوم (الخط الاسود يقابل فاصلة قدرها 0.301 \AA) (N) خواص نواة الذرة : هما كتلتها وعزمها المغناطيسي .
ب) إن دراسة أطيف الكتل (٦ ، ١٧ - ٢٣) تبين أن عدداً كبيراً من العناصر يتألف من عدة أنواع من الذرات لها نفس عدد الالكترونات وانواها نفس الشحنة (فلها إذن نفس الرقم الذري Z) ولكن لها كتلاً مختلفة ، وتسمى هذه الذرات بالنظائر .

إن ظاهرة انجرار النواة تعدل - كما رأينا في الفقرة ١٤ - ٥٥ - قيمة

ثابتة رايدبرغ والصيغة [٢٨ ، ١٤] تظل صالحة للتطبيق على مقارنة الهدروجين مع الدوقيريوم ويمكن تعميمها على حالة نظيرين لعنصر ما . إن قيمتي كتلتيهما لهما فروق نسبية هي دوماً أصغر من فروق D و H ، وإن نسبة ثابتتي رايدبرغ هي إذاً قريبة من الواحد ، فيكون انفصال السويات وكذلك تباعد الخطوط أضعف أيضاً بما هو في الشكل ١٤ - ٣ . فمثلاً إن المركبات الأربع للخط $\text{A } 2537$ للزئبق العائدة إلى النظائر ذوات الكتل ١٩٨ ، ٢٠٠ ، ٢٠٢ ، ٢٠٤ تتباعد فيما بينها بـ 10^{-2} \AA (الشكل ١٤ - ٥٤) .

إن عدد النظائر المعروفة لعنصر من العناصر لا يكفي دوماً لتعليل عدد مركبات البنية الدقيقة جداً لخطوطه . وقد وضعت فرضية تقول إن النواة ، كالألكترون (الفقرة ١٤ - ١٢) ، يمكن أن يكون لها عزم حركي - اسبيني - وبالنتيجة عزم مغناطيسي وهذا العزم الحركي ، إذا لم يكن معدوماً ، فإنه يكون ضعفاً



الشكل ١٤ - ٥٣
العزم الحركي الكلي F لذرة
لها عزم حركي نووي I

صحيحاً لـ $\frac{h}{4\pi}$ أي :

$$G = I \frac{h}{4\pi} \quad [٥٩، ١٤]$$

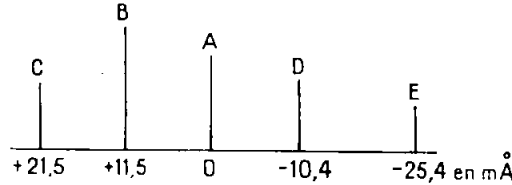
والعزم المغناطيسي العائد له ، قيمته حسب [١٤ ، ٤٥] :

$$\mathcal{M} = \frac{eG}{M} = I \frac{eh}{4\pi M} \quad [٦٠، ١٤]$$

إذا قارنا هذه القيمة بالقيمة التي تنتج من اسبين الالكترتون ، أي $\frac{eh}{4\pi m_0}$ رأينا أن العزم المغناطيسي النووي ، هو (من أجل قيم لـ I تساوي عدة وحدات) في حدود بضعة أجزاء من عشرات الألوف من العزم المغناطيسي الاسبيني للالكترتون .

ومثلاً نركب المتجهين L و S للحصول على العزم الحركي J للذرة عندما لا يؤخذ بعين الاعتبار الاسبين النووي ، فإنه ينبغي الآن تركيب المتجهين J و I للحصول على العزم الحركي الكلي F للذرة . وينبغي تكميم الحاصلة F أي (الفقرة ١٤ ١٢) ان طوليتها يمكن أن تأخذ القيم $J + I$ ، $J + I - 1$ ، ... ، $|J - I|$ ، أي في الجملة $2J + 1$ أو $2I + 1$ قيمة مختلفة حسبما تكون $J < I$ أو $J > I$ (الشكل ١٤ - ٥٣) .

وإذا كان لا يوجد ثمة حقل خارجي ، فإن منحى F يظل ثابتاً في الفضاء



الشكل ١٤ - ٥٤ -

تباعد المركبات الدقيقة جداً للخط $\text{A } 2537 \text{ \AA}$ للزئبق . ان الخط A
 ناجم عن النظير ٢٠٠ والخط B عن النظير ٢٠٢ والخط C عن
 النظائر ١٩٩ و ٢٠١ و ٢٠٤ ، والخط D عن النظيرين ١٩٨
 و ٢٠١ والخط E عن النظيرين ١٩٩ و ٢٠١ .

وان الافعال المتبادلة المغناطيسية بين النواة والالكترونات ، الناجمة عن اسبينها ، تحدث حركة تقهر المتجهين J و I حول F . وسرعة التقهر ، وبالنتيجة طاقة الجملة تتعلق بالتوجيه المتبادل للأشعة . ولكن الكبر النسبي لكتلة النوى بالنسبة إلى كتلة الالكترون يجعل سرعات التقهر ضعيفة وكذلك فروق الطاقة العائدة إليها . إن سويات الطاقة الالكترونية للذرة تنفصل إلى عدد من المركبات المتقاربة جداً ، يساوي عدد القيم المختلفة لـ F . ويحل محل الانتقال بين سويتين الكترونتين ، الذي يعطي خطأ واحداً عدة انتقالات تواترها

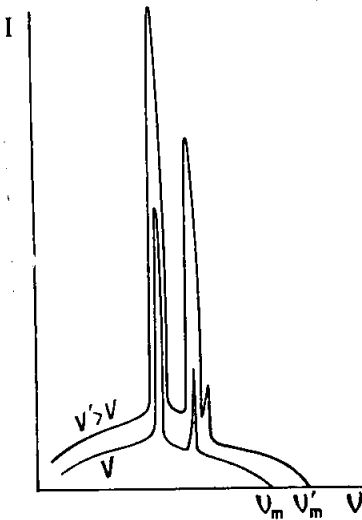
مقاربة جداً تولد البنية الدقيقة جداً الناجمة عن الاسبين . وتوجد عدة قواعد للاصطفاء لن نتعرض لدراستها .

هذه الانتقالات ، كالانتقالات التي مر ذكرها في الفقرة ١٤ - ١٥ ج يمكن أن تدرس مع التواترات الراديوية .

إن بنية الخط 2537 \AA للزئبق (١٤ - ٥٤) تنجم في آن معاً من مفعول كتل النظائر الذي أشرنا إليه آنفاً ومن مفعول اسبين النظائر الفردية . أما النظائر الزوجية فاسبينها معدوم (راجع الشكل ١٤ - ٥٢ ، اللوحة ٧) .

١٤ - ١٩ . طيف الأشعة السينية (الاصدار) :

أ) نحصل على إصدار الاشعة السينية من قبل أحد العناصر باحدى طريقتين



الشكل ١٤ - ٥٥ . الخلفية المستمرة وخطوط الطيف السيني الاصداري

هما ، في مبدئها ، تصادفان في تهيج الطيوف الضوئية . وأكثرهما انتشاراً تقوم على اخضاع المادة الحاوية لذرات العنصر المدروس إلى صدم الالكترونات المسرعة بواسطة فرق كمون مرتفع (٦ ، ١٧ - ٢٢) ويذكر ذلك بتجارب فرانك وهرتز . ويمكن أيضاً تعريض المادة إلى حزمة من الاشعة السينية تنتقى انتقاءً مناسباً ، وهذا يشابه التهيج بالفلورة . وفي هذه الحالة الاخيرة تسمى الاشعة السينية التي تصدر من جديد بالـ « ثانوية » .

نحصل على طيف الاشعة السينية المصدرة ، بواسطة إحدى الطرائق التي سبق

ذكرها في الفقرة ٤ - ١٣ .

ب) مجوي طيف الاصدار على قاع (خلفية) مستمر تردد شدة ابتداءً من التواترات المنخفضة ، ثم تتناقص وتصبح معدومة من اجل تواتر اعظمي محدد تماماً ν_m (الشكل ١٤ - ٥٥) وهذا التواتر يرتبط بالطاقة الحركية العظمى للاكترونات التي تصدم مقابل المهبط ، بالصيغة :

$$h \nu_m = \frac{1}{2} m_0 v^2 \quad [٦١،١٤]$$

حيث h هي ثابتة بلانك . وهذه الطاقة هي نفسها مرتبطة بالتوتر المسرع V بين مقابل المهبط والمهبط :

$$\frac{1}{2} m_0 v^2 = eV \quad [٦٢،١٤]$$

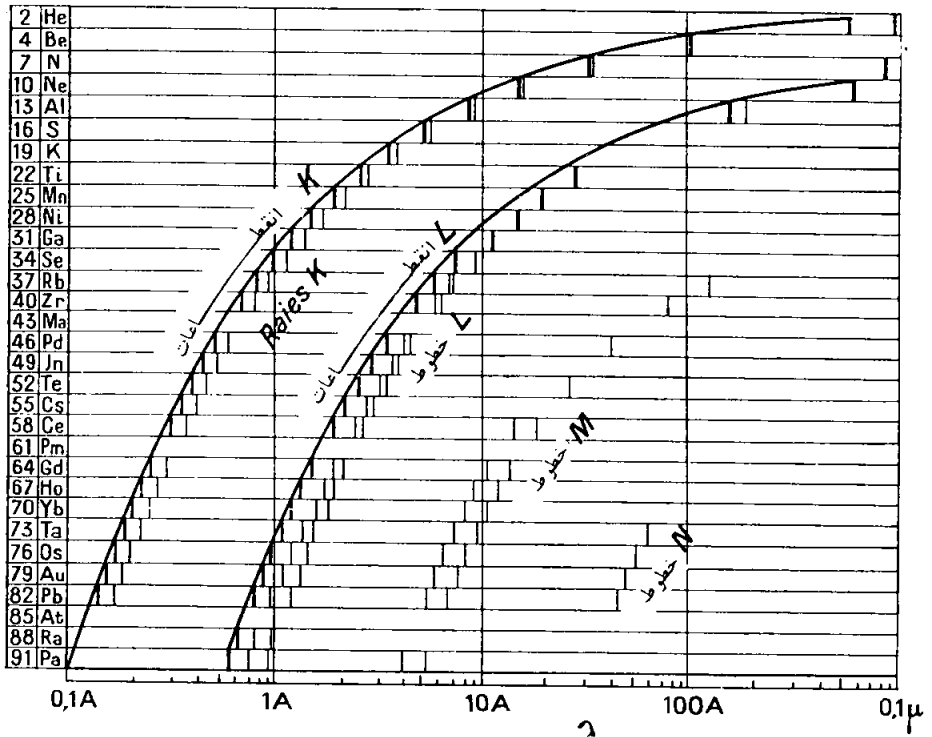
حيث e هي شحنة الالكترون . فاصدار الطيف السيني المتصل هو اذن عكس المفعول الضوئي الالكتروني (٦ ، ١٦ - ٢٠) . وهذا الطيف ناجم عن ان الالكترون يضيع طاقته الحركية على اجزاء ما خلال عدد متحول من الاصطدامات ، وان التسارع السليبي الذي ينتج من هذا الاجام يرافقه اصدار شعاع ذي تواتر متحول (الفقرة ١ - ٦) . ويمكن التحقق بالتجربة من العلاقة $h \nu_m = eV$ التي تنتج من [٦١،١٤] ومن [٦٢،١٤] : يشغل الانبوب المصدر تحت توتر V معين ، وتقاس بواسطة مقياس الطيف ذي التأين (الفقرة ٤ - ١٣) شدة التيار من اجل قيم مختلفة لزاوية الانعكاس ، فيلاحظ تزايد مفاجيء في الشدة من اجل ورود يسمع بحساب λ_m بالصيغة [١٨،٤] ومنه ν_m . ويكون :

$$\nu_m = \frac{1,602.10^{-19}}{6,624.10^{-34}} V = 2,42.10^{14} V$$

اعداد الأمواج لحطين من نفس الجماعة ، يساوي تواتر خط من جماعة أخرى ، فيكون مثلاً :

$$\sigma_{K\gamma} - \sigma_{K\beta} = \sigma_{M\alpha} \dots , \sigma_{K\beta} - \sigma_{K\alpha} = \sigma_{L\alpha}$$

وهذا المبدأ في الجمع والتكيب يقرب الأطياف السينية من الأطياف الضوئية . إلا انه بينما تبدي العناصر تنوعاً كبيراً في اطيافها الضوئية ، فان اطياف الاشعة السينية لها كلها تقريباً شكل واحد . ان الخطوط المماثلة لمختلف الأطياف تنتقل نحو التواترات المرتفعة عندما تزداد الكتلة الذرية للعنصر . وبين لنا الشكل ١٤ - ٥٧ هذا الانتقال ، ونرى أيضاً ان الجماعة K الموجودة وحدها



الشكل ١٤ - ٥٧ . اعداد الموجية للخطوط X لمختلف العناصر . قانون موزلي

في العناصر الخفيفة جداً تغنى بخطوط جديدة . وان الجماعات L ، M ... تظهر عندما تزداد الكتلة الذرية للعنصر .

قاس موزلي العدد الموجي σ للخط K_{α} (وهو اشد الخطوط K) في عدد كبير من العناصر ، وبين انه يمكن التعبير عن σ بالصيغة التقريبية الآتية :

$$\sigma_{K\alpha} = \frac{3}{4} R (Z - 1)^2 \quad [٦٣،١٤]$$

حيث R هي ثابتة رايدبرغ و Z الرقم الذري للعنصر . كذلك ان العدد الموجي لخط شديد من المجموعة L يعطى بالعلاقة التجريبية :

$$\sigma_L = \frac{5}{36} R (Z - 7,4)^2 \quad [٦٤،١٤]$$

ويمكن وضع العلاقة [٦٣،١٤] بالشكل :

$$\sigma_{K\alpha} = R (Z - 1)^2 \left(\frac{1}{1^2} - \frac{1}{2^2} \right) \quad [٦٥،١٤]$$

وهي شبيهة بعلاقة الخط الأول لمجموعة ليمان في عنصر من اشباه الهدروجين
شحنته النووية $Z - 1$ ، كذلك [٦٤،١٤] يمكن ان تكتب :

$$\sigma_L = R (Z - 7,4)^2 \left(\frac{1}{2^2} - \frac{1}{3^2} \right)$$

هذه العلاقات توصلنا الى عبارة عامة للعدد الموجي لخط سيني مميز :

$$\sigma = R (Z - C)^2 \left(\frac{1}{n_0^2} - \frac{1}{n^2} \right) \quad [٥٦،١٤]$$

بذكرنا بعلاقة بالمر .

١٤ - ٢٠ . — أطراف الاشعة السينية (امتصاص) .

أ (عندما تمر حزمة من الاشعة السينية عبر المادة تضعف شدتها ، ويعود بعض هذا الضعف الى الانتثار (الفقرة ١٠ - ١٣) وبعضه الى الفعل الكهروضوئي ، حيث تقوم الاشعة السينية بانتزاع الالكترونات من الذرات . اذا كان الاشعاع الوارد وحيد اللون ، فان التدفق ينقص بعد اختراق لنسبة قدره z ، وفقاً للقانون (الفقرة ١ - ٤) :

$$I = I_0 \exp (- 2 Kz)$$

ولما كان الامتصاص يتعلق بكتلة المادة الممتصة ، فانه يكتب غالباً :

$$I = I_0 \exp \left(- 2 K \frac{m}{\rho} \right)$$

حيث ρ هي الكتلة الحجمية للمادة ؛ $m = \rho z$ تمثل الكتلة في واحدة السطح من الطبقة الممتصة . $\frac{2K}{\rho}$ هو عامل الامتصاص الكتلي . ووفقاً لما قيل اعلاه ، يمكن ان نكتب :

$$\frac{2K}{\rho} = \frac{\sigma}{\rho} + \frac{\theta}{\rho} \quad [٦٧،١٤]$$

حيث σ هي عامل الانتثار (وهو في الغالب صغير)^(١) و θ عامل التحول العائد الى الفعل الكهروضوئي . ولا يتعلق θ بطبيعة الذرات الموجودة في المادة التي تخترقها الاشعة . وقدل التجربة على انه في شعاعة ذات طول موجة معين ، يتغير θ من ذرة الى اخرى مثلاً يتغير Z^4 .

(ب) في جميع العناصر ، يمثل تغير العامل θ مع طول الموجة ، بمنحنى شبيه

(١) لقد كرس الاستعمال الرمز σ ، وينبغي الا يخلط بينه وبين العدد الموجي .

بمنحني الشكل ١٤-٥٦ b . فعندما يزداد طول الموجة ، يزداد عامل الامتصاص بالتدريج وفقاً للقانون التقريبي :

$$\theta = CZ^4\lambda^3 \quad [٦٨،١٤]$$

حيث C هي ثابتة ، ولكن هذا العامل يتصف بعدد من النقائص المفاجئة يطلق عليها اسم : **انقطاعات الامتصاص** ، ويرمز اليها بالاحرف K ، L ، M ، N ، ... حسب ترتيب اطوال الموجة المتزايدة . والانقطاع K وحيد، وهنالك ثلاثة انقطاعات L لها اطوال موجات متقاربة ، الخ ...

يمثل لنا الشكل ١٤ - ٥٨ (اللوحة ٨) الانقطاع K في امتصاص النحاس . وعندما يزداد طول الموجة ، فانه بعد اجتياز كل انقطاع تتغير الثابتة C العائدة الى الصيغة [٦٨،١٤] ولكن في الجملة يزداد θ بسرعة مع λ ، فالاشعة السينية العالية التواتر هي من بين غيرها اقلها امتصاصاً ، لذلك يقال بانها « اقصى » من الاشعة المنخفضة التواتر .

ج (خلافاً للأطياف الضوئية ، ليس لأطياف الاشعة السينية خطوط امتصاص . ان انقطاعات الامتصاص لها اعداد موجية اكبر قليلاً من اعداد خطوط الاصدار المرموز اليها بنفس الأحرف (الشكل ١٤ - ٥٦) . وان قانون موزلي الذي اشرنا اليه بمناسبة خطوط الاصدار وعبرنا عنه بالصيغة [٦٦،١٤] يكون التحقق منه احسن عند تطبيقه على الاعداد الموجية لانقطاعات الامتصاص . وان الجذر التربيعي للاعداد الموجية للانقطاعات المشابهة لمتنوع العناصر هي تابع خطي لرقمها الذري .

١٤ - ٢١ . — نظرية الاصدار والامتصاص لاشعة السينية .

أ (حصل تفسير أطياف الاشعة السينية على يد كوسل Kossel ، بتعميم

نظرية بور العائدة للطيف الضوئي لذرات اشباه الهيدروجين . لكن ينبغي ان تؤخذ بعين الاعتبار الفروق العامة التي يبيدها هذان النوعان من الاطيف . فالاولا تلت تعتمد على طاقات eV اكبر بكثير من الاخر من اجل تهييجها ، وان الطاقات $h\nu$ التي تقابل التواترات المميزة لها هي عالية جداً ، هذا ومن جهة ثانية ، بينما ان الأطياف الضوئية للعناصر المتشابهة كيميائياً كالمعادن القلوية (الفقرة ١٤ - ٢) او القلوية الترابية (الفقرة ١٤ - ١٣) هي متماثلة ، وبالنتيجة ان بنية هذه الأطياف تنبني عن بعض الخواص الدورية عندما تصنف العناصر بترتيب الرقم الذري المتزايد ، فان الاطياف السينية لاعلاقة لها بالخواص الكيميائية ، ويطرأ عليها من عنصر الى الذي يليه في الرقم الذري ، انتقال تدريجي .

تفسر هاتان المعطائتان الاساسيتان اذا قبلنا بأن الاطياف السينية هي أطياف الكترونية لا تعطياها الكترونات التكافؤ وانما الكترونات اشد ارتباطاً من هذه بالذرة ، أي منتمة الى الطبقات العميقة (الفقرة ١٤ - ٩) وهكذا نفهم ان اطياف الاشعة السينية هي قليلة التحسس من دخول الذرات في جزيء او في شبكة بلورية ، لأن الالكترونات التكافؤية هي التي تتعدل طاقتها بالاتحادات الكيميائية او بالقوى الشبكية .

على ان الخطوط السينية لعنصر معدني نقي ، او في حالة اتحاد داخل اكسيد مثلاً ، تبين عن فروق صغيرة في طول الموجة (فيما يتعلق بالجوامد ، راجع الفقرة ١٦ - ٦) .

ان وجود عدد صغير من جماعات الخطوط السينية المميزة يبين ان سويات الطاقة للالكترونات العميقة هي مكتملة . ويرمز اليها بالأحرف K ، L ، M ، ... حسب ترتيب الطاقة المتزايدة (بالقيمة المطلقة) بنفس الاصطلاحات التي وردت في مخطط الشكل ١٤ - ١٠ ، ويقابل سويات الطاقة لذرة H [١٤ ، ١٤] وفقاً لـ [١٤ ، ٦٦] سويات طاقة سينية تعطى بالصيغة :

$$W_x = - \frac{eR ch (Z - C)^2}{n^2} \quad [٦٩,١٤] \quad \text{حيث } (n = 1, 2, 3, \dots)$$

وسنرى في الفقرة ١٤ - ٢٢ انه يوجد تقابل وصلة بين هذا التصنيف للسويات السينية وبين سويات الاطيفاف الضوئية . الا ان العلاقات المتقابلة بين الاصدار والامتصاص هي اقل بساطة في الاطيفاف السينية منها في الاطيفاف الضوئية (الفقرة ١٤ - ٦) .

ب) ان عدم وجود خطوط امتصاص يجبرنا على التسليم بان الالكترون لا يمكن ان ينتقل مباشرة من سوية K مثلاً الى سوية طاقة أعلى : L أو M . ويعزى هذا المنع الى ان عدداً محدوداً من الالكترونات يمكن ان تكون له الطاقة العائدة الى سوية معينة ، وفي التعبير التصويري يقال ان الطبقة L مثلاً هي « مشغولة » بعدد من الالكترونات ، وان الكتروناً قادماً من السوية K الدنيا لا يمكن ان يجد له « مكاناً » ان هذه الفرضية التي تبدو وكأنها موافقة ، هي في اساس مبدأ باولي Pauli الذي يعطي مفتاح البنية الالكترونية للذرات (الفقرة ١٤ - ١٥ من الجزء ٨) .

ان ميكانيكية اصدار خط سيني هي عندئذ الآتية : تقوم الطاقة التي تتلقاها الذرة بتأيين هذه الذرة ، اي انها تنتزع منها الكتروناً ، من الطبقة K مثلاً فيحدث في هذه الطبقة فراغ يمكن ان يشغله الكترون قادم من طبقة ذات طاقة اعلى ، ولتكن L مثلاً . فهذا الانتقال يرافقه اصدار خط عدده الموجي :

$$\sigma_{L,K} = \frac{W_L - W_K}{hc} = eR \left[\frac{(Z - C_L)^2}{n_L^2} - \frac{(Z - C_K)^2}{n_K^2} \right] \quad [٧٠,١٤]$$

اما التأيين فانه يتطلب ، في الحالة المبحوثة ، امتصاص كمية من الطاقة لا تقل عن W_K . اذن فانقطاع الامتصاص K له عدد موجي قدره :

$$\sigma_K = R \frac{(Z - C_K)}{n_K^2} \quad [٧١,١٤]$$

تدل الثوابت C على أن الامور تتم كما لو أن الالكترون كان موجوداً في حقل كولوني شحنته المركزية للنواة هي أصغر من الشحنة الحقيقية Z . وفي صورة الطبقات الالكترونية يكون من المفهوم إذا وقعت الالكترونات بين الالكترون المبحوث وبين النواة ، فشحنتها السلبية تعوض جزئياً الشحنة الموجبة للنواة ، ومن هنا جاء اسم ثابتة الحجز أو ثابتة الحيلولة الذي يطلق على الثوابت C (راجع الفقرة ١٤ - ٨) وكلما كانت الطبقة أبعد عن النواة كانت ثابتة الحيلولة العائدة لها أكبر . ذلك لأن $C_K < C_L < C_M \dots$

ج) إن الميكانيكية التي بينهاها نجر عدداً من النتائج لتحقيقها التجربة :

١ . - إن إصدار الأشعة السينية مرتبط باعادة تنظيم الالكترونات المحيطة بنواة الذرة ، عندما تتأين هذه بحيث ان المجموع يعود الى الاستقرار ، أي يستعيد أو يعود الى طاقة هي أصغر ما يمكن .

إن ذرة الهيدروجين أو ذرة الهليوم اللتين لهما في الحالة الاساسية بالترتيب الكترون أو الكترونان في السوية K (راجع الشكل ١٤ - ٤٦) ليس لهما طيف سيني لأنها متى تأينتا فليس في الذرة الكترون L يمكنه أن يسقط على الطبقة K . ويمكن اعتبار الخط الاول من مجموعة ليمان للهيدروجين كأنه يمثل الخط K من الطيف السيني لهذا العنصر ، بمعنى أن عدده الموجي يحصل عليه من الفرق بين الحدين الطيفيين K و L ، ولكن ميكانيكية إصداره ليست ميكانيكية إصدار خط سيني .

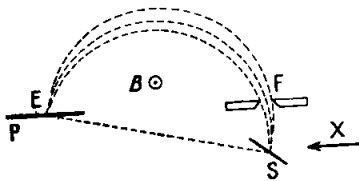
٢ . - يبدو العدد الموجي σ_K كأنه حد لمجموعة خطوط (المجموعة K)

أعدادها الموجية σ_{LK} ، σ_{MK} ، ... هي كلها أصغر من σ_K ، ولكنها لا تنصفره بكثير ، لان التجربة تبين أن الحد الاول من الفرق [١٤ ، ٧٠] - الذي يقابل الانقطاعات L ، M ، ... - هو صغير امام الحد الثاني . وهكذا (الشكل ١٤ - ٥٦) فان اعداد الموجة العائدة لمخطوط الاصدار السينية لجماعة هي قريبة من عدد انقطاع الامتصاص لنفس الجماعة واصغر منه بقليل .

٣ . - عندما تكون الطاقة W التي تلتقاها الذرة اعظم من التي تقابل انقطاعاً امتصاصياً ، مثلاً W_K ، فان الالكترون المنتزع ، فيه طاقة زائدة قدرها $W - W_K$ ، فاذا كانت الطاقة W آتية اذن من حزمة من الاشعة السينية نواترها ν معلوم ، تنقل فوتونات طاقتها $h\nu = W$ ، فانه ينبغي التفكير بأنه ، مثلما يحدث في الفعل الكهرضوئي (١٦٤٦ - ٢١) ، فان الفرق :

$$W_k = W - W_K = h(\nu - \nu_K) \quad [٧٢١١٤]$$

يملكه الالكترون بشكل طاقة حركية . ويمكن بالفعل تبيان محارك الالكترونات الناجمة من التأين بواسطة حجرة ولسن (٦ ، الشكل ١٧ - ١٢) .



الشكل ١٤ - ٥٩ . جهاز دراسة الالكترونات الفوتونية السينية

ولكنه يمكن أيضاً التحقق كميّاً من العلاقة [٧٢ ، ١٤] بواسطة الجهاز الممثل بالشكل ١٤ - ٥٩ . تسقط حزمة من الاشعة السينية على المادة S . وان بعض الالكترونات الصادرة في مختلف المناحي تمر امام شق اثره F يقع فوق S .

ويعطف محركها بواسطة حقل تحريض مغناطيسي منتظم B عمودي على مستوى الشكل فتتوسم دوائر (١٦٤٦ - ٥٤) .

ان الالكترونات التي لها نفس السرعة تتجمع في نقطة E من لوحة تصويرية

P يمر مستويها من $F \cdot$ ان قياس نصف قطر الانحناء $R = \frac{EF}{2}$ يمكن من حساب السرعة بواسطة العلاقة (٦، [٩، ١٦]):

$$u = \frac{ReB}{m_0}$$

ومن ذلك نحسب الطاقة الحركية . وقد وضع مجمل الجهاز في الحلاء ، ويدخل الاشعاع من نافذة من الالمنيوم .

٤. - ان الصيغة [١٤، ٧٠] تبين ان قانون موزلي يتحقق تماماً اذا كانت الثوابت C_L ، C_K ، ... هي نفسها . فيكون لدينا عندئذ من أجل الخط K_α ($n_K = 1, n_L = 2$):

$$\sigma_{LK} = R.0,866 (Z - C)^2$$

الا ان الثوابت C ، بالرغم من انها صغيرة امام Z ، بالنسبة الى العناصر الثقيلة ، ليس لها كلها نفس القيمة .

نفهم من ذلك ان قانون موزلي تخضع له خضوعاً اجود ، انقطاعات الامتصاص المعطاة بـ [١٤، ٧١] والتي تدخل فيها ثابتة حيولة واحدة .

د) يصادف ان بعض الانتقالات الداخلية التي وردت في ب) مثل $L \rightarrow K$ لا تولد اصداراً للاشعة السينية ، ولكن الطاقة $W_L - W_K$ تفيد في طرد الكترون ثان من الذرة ، يلاحظ مثلاً في حجرة ولسن . وهذا ما يسمى بفعل اوجيه Auger ،

١٤ - ٢٢ . — البنية الثنائية لأطياف الوسعة السيفية .

اذا فحص طيف اصدار سيني بجهاز ذي قدرة فصل كافية ، تبين انه مؤلف

من ثنائيات . فلاحظ خطان $K\alpha$ هما : $K\alpha_1$ و $K\alpha_2$ ، الخ ... (الشكل ١٤ - ٦٠ في اللوحة ٨) . وان تفسير هذه البنية الدقيقة مماثل لتفسير الثنائيات الضوئية للعناصر القلوية ، الذي يستعين بأسبين الالكترتون .

ان السويات العميقة لطاقة الذرة تتصنف حسب المبادئ التي شرحت بمناسبة الأطياف الضوئية ، وكل واحد منها يتميز بقيم الاعداد الكمية n ، l ، و j . فالسوية K وهي الاعمق ، يقابلها العدد الكمي الرئيسي $n = 1$ ، ويكون $l = 0$ و $j = \frac{1}{2}$. وفي السوية التالية L : $n = 2$ و $l = 0$ أو 1 ، $j = \frac{1}{2}$ او $\frac{3}{2}$ (راجع الجدول ١٤-٣) فيوجد اذن ٣ سويات تحتية L بمكنة يشار اليها بـ L_I ، L_{II} ، L_{III} في الأطياف السينية ولها التقابل الآتي مع الرموز الضوئية :

الترقيم السيني	n	l	j	الترقيم الضوئي
L_I	2	0	1/2	2 s
L_{II}	2	1	1/2	2 p
L_{III}	2	1	3/2	2 p

يقابل هذه السويات الثلاث ثلاثة انقطاعات امتصاصية تلاحظ فعلاً (الشكل

١٤ - ٦٠) .

نطبق قواعد اصطفاء الطيوف الضوئية نفسها (الفقرة ١٤ - ١٥) :
 $\Delta j = 0$ ، ± 1 ، $\Delta l = \pm 1$. وهكذا يتفسر لماذا لا يوجد مثلاً إلا خطان $K\alpha$ ، لأن الانتقال من السوية L_I الى السوية K محظور بالقاعدة $\Delta l = \pm 1$. وان المجموعة K لاختوائها على الخطوط $K\alpha$ ، $K\beta$ ، $K\gamma$... هي مماثلة للمجموعة الرئيسية الضوئية للمعادن القلوية (الفقرة ١٤ - ٢) .

لا يتطلب إلا قليلاً من المادة (١.٠ الى ١٠ ملغرام) وهو سريع ونوعي مميز ، ويكون غالباً حساساً جداً : فيمكن ان يكشف في مزيج نسبة كتلية اقل من 10^{-8} من العناصر امثال Na ، K ، Fe ، Pb . والشكل ١٤ - ٦٢ (اللوحة ٧) يعطينا مثلاً من التحليل الطيفي بالاصدار . واذا ازداد تمدد البجزة العنصر بالبجزة غريبة ، فان التجربة تدل على ان بعض خطوط الطيف تكون آخر ما يختفي . وتسمى بالخطوط الاخيرة . وهي في العموم خطوط تجاوب (الفقرة ١٤ - ٥٧) .

لقد اكتشفت بواسطة التحليل الطيفي عدة عناصر قبل ان يمكن على حدتها فرزها، وذلك مثل الروبيديوم والسيزيوم والتاليوم والغاليوم والاندسيوم والهلبيوم (في طيف الشمس) والدوتيريوم ... وتستعين الصناعة الكيميائية والمعدنية والجيولوجيا والبيولوجيا والطب بالتحليل الطيفي استعانة كبيرة . وان التحليل الطيفي للضوء الصادر من النجوم هو طريقة دراسة اساسية في فيزياء النجوم . وتستعمل في الجيوفيزياء دراسة طيوف البرق والفجر القطبي والسماء الليلية (الفصل ١٧) .

بدل قانون موزلي (الفقرة ١٤ - ١٩) على تغير منتظم لتواترات الاشعة السينية المصدرة ، مع العدد الذري . وان رؤية خطوط لانتزال مجهولة قد نسبت الى وجود عناصر جديدة امكن فرزها فيما بعد : مثل الهافنيوم والرينيوم . ان طيف امتصاص ايونات العناصر النادرة المحلولة (الشكل ١٦ - ١٢) (اللوحة ٦) ، او الموجودة بالحالة الصلبة ، يتألف من خطوط بعضها ضيق جداً . وقد مكنت دراستها من كشف بعض هذه العناصر (لوتيسيوم) وتستعمل لمتابعة عملية فصل املاحها بالتبلور الجزأ .

ان امتصاص الشعاعات الشمسية من قبل جو الشمس وجو الارض (خطوط فراونهوفر) قد اعطى معلومات عن تركيب هذين الجوين .

وان طيف امتصاص الاشعة السينية من قبل عينة ينبغينا عن تركيبها العنصري . ويمكن كشف آثار تبلغ 10^{-10} الى 10^{-10} غراماً .

ب (التحليل الطيفي الكمي) . ان الشدة I لحط طيفي تتعلق بالعدد N للذرات التي تصدره، وينبغي ان يمكن قياسها من تعيين هذا العدد ، اي بتعير العنصر العائد لها . ولكن هذه الشدة تتعلق كذلك باحتمال الانتقال الذي يقابله (الفقرة ١٤ - ٧) وبنتيجة ذلك - وبشكل معقد - بشروط العمل . تدل التجربة مع ذلك على انه يمكن ان نكتب بصورة تقريبية :

$$I = AN^a \quad [٧٣،١٤]$$

حيث A و a هما ثابتان بالنسبة الى خط معين في شروط تهيج معينة . يجري تعير العنصر X في الغالب بمخلط كميات معينة من العينة الحاوية عليه مع كميات معروفة من عنصر آخر E . وتقاس نسبة الشدة I لحط من X الى الشدة I' لحط E طول موجته مقارب له ، يقابل شروط تهيج بماثلة (مثلاً خطان قوسيان او خطان شرريان) من كل مزيج ، وتعطي الصيغة [٧٣،١٤] :

$$\frac{I}{I'} = \frac{AN^a}{A'N'^a}$$

ومنه

$$\ln \frac{N^a}{N'^a} = \ln \frac{A'}{A} + \ln \frac{I}{I'}$$

فاذا كان E موجوداً بوفرة زائدة بالنسبة الى X فان N'^a هي غالباً ثابتة ويكون :

$$\ln N = \frac{1}{a} \ln \frac{I}{I'} + \text{ثابتة} \quad [٧٤،١٤]$$

ان تعير الايونات بواسطة الفوتومتريّة الطيفية الامتصاصية يجري مثل تعير الذرات (الفقرة ٥ - ٢٥) .

تمارين

ملاحظة . - هنالك حاجة في عدة حسابات الى استعمال القيمة :

$$e/hc = 8,068 \cdot 10^5 \text{ (M.K.S.)}$$

ومنها (M.K.S.) $hc/e = 1,2394 \cdot 10^{-6}$ ، حيث e هي الشحنة العنصرية و h ثابتة بلانك و c سرعة الضوء ، وكذلك ثابتة بولتزمان $k = 1,38 \cdot 10^{-23} \text{ j/dg}$

١٤ - أ ١ . - اذا علمنا ان كمون التأين للليثيوم هو $V_i = 5,390 \text{ V}$ ، فاحسب هذه الاسامي T_0 ، معتبراً نهاية التأين مبدأ للحدود . احسب طول الموجة λ في الحلاء لنهاية السلسلة الاساسية .

٢ . - ان اول كمون للتيسيج ، لدى قياسه بطريقة كهربائية يعطي القيمة $V_1 = 1,85 \text{ V}$. احسب الحد T_1 الذي يقابله . وقارن بين الدقة التي يعين بها هكذا وبين الدقة التي تعطيها طريقة الكشف الدوراني (الاستروبوسكوبية) . اذا علمت ان هذا الحد يمكن ان يتوكل مع T_0 فاحسب طول الموجة λ_1 العائد له .

١٤ - ب عين السويتين n و $n + 1$ (المتجاورتين) لطاقة الذرة H اللتين يمكن بينهما ان تحصل انتقالا بامتصاص امواج هرتزية ذوات اطوال امواج مجاورة ، اما ل ١ سم أو ل ١ م . ولدينا $R = 109\,677 \text{ cm}^{-1}$

١٤ - ج تيسيج ذرات من الهيدروجين في الحالة الاساسية بواسطة صدم الكترونات لها طاقة تساوي $1,25 \text{ eV}$. ما هي الخطوط الطيفية الصادرة بزوال التيسيج ؟ نفس السؤال اذا كانت طاقة الالكترونات 14 eV .

١٤ - د احسب قوة التجاذب F_e بين النواة وبين الالكترون الموجود على المدار الاول لبور في ذرة الهيدروجين وقارن بينها وبين قوة الثقل F_g (الجزء الاول ، الفقرة ١٦ - ١) .

١٤ - ه احسب كمون التأين للخط الذي يقابل الانتقال $n=2 \rightarrow n=1$ في الايون He^+ (تعتبر كتلة الالكترون مهمة امام كتلة النواة) .

١٤ - و احسب الفرق $\Delta \lambda$ بين طولي موجتي الخطين H و D (وهما الخطان الأولان في سلسلة بالمر) ما هو الفرق بين كموني التأين V_D و V_H للذرتين D و H ؟

ثابتة رايدبرغ من اجل النواة الساكنة $R = 109\,737\text{ cm}^{-1}$ والنسبة بين كتلة البروتون و كتلة الالكترون $\frac{m_H}{m_e} = 1836,1$.

١٤ - ز تمتص كتلة من بخار الزئبق بالضغط المنخفض ، في كل ثانية 10^{16} فوتوناً من خط التجاوب الضوئي . ومدة العمر المتوسط θ لذرات الزئبق في الحالة الهايجة ، التي تنتج من ذلك هي 10^{-7} ثانية تقريباً . احسب العدد N للذرات الهايجة .

١٤ - ح تحتوي كتلة من بخار الصوديوم في كليتها على N ذرة . وبنتيجة ارتفاعها الى الدرجة 2000 K ، تصدر الشعاع $\lambda = 589\text{ nm}$ بشدة تقابل $n = 2000$ فوتوناً في الثانية مقابل كل ذرة . ما هي مدة العمر المتوسط θ لذرة الصوديوم في الحالة المتهيجة ؟

١٤ - ط اذا علمنا ان الحالة الاساسية لذرة الليتيوم هي الحالة S ، فبأي رمز ينبغي ان نشير الى الحد المحسوب T_1 الوارد ذكره في التمرين ١٤ - أ ؟

١٤ - ي ان الشعاع $2S \rightarrow 2P$ لليتيوم ($\lambda_1 = 6710 \text{ \AA}$) هي ثنائية تختلف مركبتها بالمقدار $d\lambda_1 = 0,153 \text{ \AA}$. بين لماذا كانت الشعاع $3S \rightarrow 2P$ ذات طول الموجة $\lambda_2 = 8130 \text{ \AA}$ هي ثنائية أيضاً واحسب التضاعف $d\lambda_2$.

١٤ - ك ترسل حزمة رفيعة من الاشعة السينية الوحيدة اللون على كرة كشف كهربائي . ولنع ورقته من الانفراج ينبغي رفعها الى كمون موجب قدره 8 kV ، ما هو طول موجة الاشعاع الوارد ؟

١٤ - ل باستعمال معطيات الجدول ١ - ٢ : احسب بصورة تقريبية التوتر V الذي ينبغي تطبيقه على انبوب للاشعة السينية لكي يظهر الخط K_α ، اذا كان جهاز مقابل المهبط من النحاس او من الموليبدن .

حسن يوسف اللوشي

★ ★ ★

متاح للتحميل ضمن مجموعة كبيرة من المطبوعات من صفحة

مكتبتي الخاصة

على موقع ارشيف الانترنت

الرابط

https://archive.org/details/@hassan_ibrahem

الفصل الخامس عشر

الطيوف الجزيئية

١٥ - ١ . — الخواص العامة للطيوف الجزيئية :

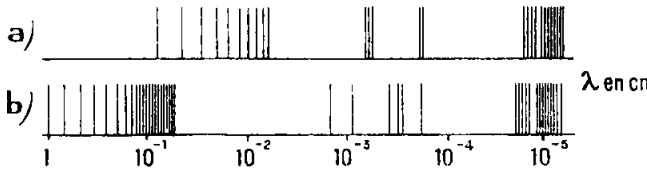
أ) دلت بعض الملاحظات والمشاهدات (الفقرة ١٣ - ١١) على أن إصدار الإشعاع أو امتصاصه من قبل المادة لا ينجم دوماً عن الذرات التي تؤلفها . وإثما له غالباً خواص التجمعات الجزيئية .

إذا كانت المادة في حالة البخار ، فإن الأطياف الجزيئية تكون على العموم مؤلفة من خطوط كالأطياف الذرية . ولكنها أكثر عدداً ومجموعة في أغلب الأحيان في عصابات (الشكل ١٣ - ٦) . وفي بعض الأحيان تظهر طيوف متصلة . فإذا غدينا مثلاً مباشرة بتوتر في حدود كيلو فولت ، أنبوب تفريغ حاوٍ على الهيدروجين ، بضغط بضعة مليمترات من الزئبق ، حصلنا ، علاوة على طيف الخطوط المتعددة الذي في الشكل (١٣ - ٥) ، على طيف متصل يستمر من $\text{\AA} 4000$ إلى $\text{\AA} 2400$ ، وهو يستخدم كمنبع للإشعاع فوق البنفسجي . تدل التجربة على أن جميع الأجسام تقريباً ، البسيطة منها والمركبة من جزيئات نحوي على أكثر من ذرتين ، لها طيف امتصاص مميز لها ، يقع في ثلاث مناطق طيفية : ما فوق البنفسجي أو المرئي ، وما تحت الأحمر الأدنى أو المتوسط^(١) وما تحت الأحمر الأقصى أو ما فوق المرئي .

(١) هو ما تحت الأحمر الذي تسمح به المطيافات ذوات المواشير ، ويتراوح ما بين

1μ و 30μ تقريباً .

وهذا صحيح أيضاً فيما يتعلق بالجزيئات الثنائية الذرة القطبية (٦ ، ٤ - ١٢) أما الجزيئات الثنائية الذرة المتجانسة الأقطاب (H_2 ، N_2 ، ...) فإنها تشذ لأسباب سنراها فيما بعد . إن أطيف الجزيئات هي إذن أكثر تعقيداً بكثير من طيوف الذرات وبين لنا الشكل (١٥ - ١) ، طيفين امتصاصيين مبسطين لمحض كلور الماء HCl وكلور المثيل CH_3Cl .



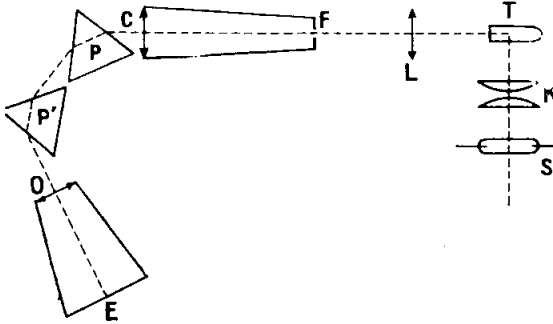
الشكل ١٥ - ١ . مبسط لطيفين امتصاصيين : HCl (a) ، CH_3Cl (b)

ب) وكما رأينا في أطيف الذرات ، أن طيوف الاصدار هي أكمل من طيوف الامتصاص : إن التفريغ الكهربائي في الغازات عديمة اللون والموجودة تحت ضغط منخفض يعطي أضواءً ملونة تتعلق طيفها بطبيعة الجزيء . فمثلاً إن الشكل (١٣ - ٦) يرينا طيف الاصدار لجزيء الآزوت في المرئي . وهو منطقة يكون فيها الغاز شفافاً بالدرجة العادية .

ج) إن الجزيئات ، كالذرات ، تعطي أطيفاً تفلور هي أيضاً أكثر تعقيداً من الأطيف الذرية .

د) وأخيراً ، يوجد نوع من الأطيف الجزيئية ليس له معادل في الأطيف الذرية ، وهو : طيوف الانتثار أو طيوف رامان (Raman ١٩٢٨) . فإذا حللنا بواسطة مسجل الطيف (الشكل ١٥ - ٢) الضوء المنثر جانباً (الفقرة ١٠ - ٧) من قبل غاز أو سائل أو جامد مضاء بواسطة حزمة ضوئية وحيدة اللون مرئية أو من فوق البنفسجي ، عدها الموجي σ_i ، وجدنا أنه يحوي ، علاوة على الشعاع σ_i (خط رايلي) على شعاعات أعدادها الموجية

$\sigma_i + \sigma_2$ ، $\sigma_i + \sigma_1$ ، و $\sigma_i - \sigma_1$ ، $\sigma_i - \sigma_2$ الخ ... تؤلف خطوط رامان . فإذا غيرنا التواتر σ_i أعطت نفس المادة الناتجة خطوطاً أخرى ، ولكن الفروق σ_1 ، σ_2 ، ...



بين أعدادها الموجية وبين العدد الموجي للخط المهيج تبقى على حالها . وهذه الأعداد هي مميزة للطبيعة الكيميائية وللحالة الفيزيائية للمادة المدروسة .

الشكل ١٥ - ٢ . - جهاز لدراسة طيف رامان :

S = منبع ، K = مكثف ، T = أنبوب يحتوي على المائع المدروس ، تشكل العدسة L خيال القسم المضاء من T على الشق F لمطياف ذي مواشير O . P = جسمية تصويرية ، E = اللوحة الحساسة .

يختلف فعل رامان عن التفلور بالصفات الآتية :

١ . - إن الشعاع المهيجة يمكن أن تكون أية شعاع كانت ، بينما ينبغي في حالة التفلور أن تكون من طيف الامتصاص . ٢ . - بينما نرى أن الاعداد الموجية في شعاعات التفلور هي مميزة للجزيء الذي يصدرها ، فإن المميز في حالة الانتثار هو الفروق σ_1 ، σ_2 ، ... وتسمى غالباً : أعداد رامان الموجية أو (تواترات رامان) .

بوضع الشكل ١٥ - ٣ (اللوحة ٨) المفاهيم السابقة وبيّن أننا نجد نفس طيف الامتصاص لرابع كلور الفحم المهيج بشعاعتين مختلفتين لقوس الزئبق (واليتين تكون هذه المادة شفافة بالنسبة إليها) .

إن شدة خطوط رامان هي في حدود من الكبير أصغر بكثير من خطوط رايلي . وتتطلب رؤية طيف رامان إنارة شديدة للمادة كما تتطلب مطيافاً مضيقاً

جداً . إن شدة الخطوط $\sigma_1 + \sigma_i + \dots$ (المسماة بالخطوط الموجبة) هي عملياً
أضعف من شدة الخطوط $\sigma_1 - \sigma_i , \dots$ (الخطوط السلبية) وذلك مثلما يبينه
لنا الشكل (١٥ - ٣) .

هـ (سنرى أن امتصاص الشعاعات أو إصدارها من قبل الجزيئات يتفسر
كما في حالة الذرات ، بتغير لطاقتها ΔW ، يرتبط بالتواتر ν بالصيغة :

$$\nu = \frac{\Delta W}{h}$$

حيث h هي ثابتة بلانك . ولكن الطاقة W يمكن أن تتعلق هنا لا بالحالات
الالكترونية فحسب ، بل بمجركات الاهتزاز للذرات المولفة للجزيء وبدورانها .
وإننا بعد أن نقوم بدراسة موجزة لمختلف الطيوف سنبين كيف أمكن أن
تنسب الشعاعات المركبة لها ، الى مختلف أنواع اهتزازات الطاقة الممكنة
أو إلى تركيباتها .

١٥ - ٢ . طيوف الجزيئات الثنائية الذرة :

إن أبسط الطيوف الجزيئية هي طيوف الجزيئات الثنائية الذرة ، ولذلك
فسنبداً بدراستها . فنفحص بالتدريج المناطق الطيفية المختلفة التي ميزناها في
الفقرة ١٥ - ١ .

(١) المنطقة الهوتزية العليا ومنطقة ماتحت الأحمر الأقصى : إن الغازات
والأبخرة المولفة من جزيئات غير متجانسة الأقطاب ، والمكونة من ذرتين
مختلفتين تعطي في هذه المناطق طيف امتصاص بسيط ، يتألف من خطوط
أعدادها الموجية متساوية الأبعاد تقريباً ، أي :

$$\sigma = J\sigma_0 \quad [1010]$$

حيث σ_0 ترمز إلى مقدار مميز للجزيء ، و J عدد صحيح .

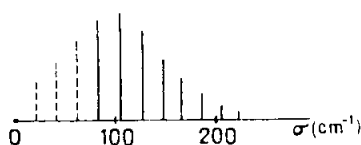
يعطينا الجدول (١٥ - ١) خطوط الامتصاص التي شوهدت لـ HCl :

الجدول ١٥ - ١									
طيف امتصاص HCl في منطقة تحت الأحمر الأقصى									
λ بـ μ :	٤٨٠	٢٤١	١٦٠	١٢٠	٩٦	٨٠,٤٥	٦٨,٩٥		
σ بـ cm^{-1} :	٢٠,٨	٤١,٦	٦٢,٥	٨٣,٠٣	١٠٤,١٠	١٢٤,٣٠	١٤٥,٠٣		
$\Delta\sigma$ بـ cm^{-1} :	٢٠,٨	٢٠,٩	٢٠,٤٧	٢١,١٠	٢٠,٢٠	٢٠,٧٣	٢٠,٤٨		
λ بـ μ :	٦٠,٤	٥٣,٨	٤٨,٤٩	٤٤,١٥					
σ بـ cm^{-1} :	١٦٥,٥١	١٨٥,٣٦	٢٠٦,٣٨	٢٢٦,٥٠					
$\Delta\sigma$ بـ cm^{-1} :	٢٠,٣٥	٢٠,٥٢	٢٠,١٢						

إن الابتعاد $\Delta\sigma$ بين الخطوط المتتالية هي ثابتة تقريباً ويمثل الطيف بالصيغة :

$$\sigma = 20,68 J \quad [٢٠,١٥]$$

تتغير J من ١ الى ١١ في الجدول السابق ويعطينا الشكل (١٥ - ٤) مبسطاً للطيف المشاهد .



الشكل ١٥ - ٤ .

سنرى فيما بعد (الفقرة ١٥ - ٦ ب)

مبسط لطيف ما تحت الأحمر

أنه يمكن تفسير تغيرات $\Delta\sigma$.

الأقصى لـ HCl (أخذ ارتفاع

الخطوط متناسباً مع شدة كل خط)

لوحظ قسم من الطيف عينه (J بين

١٧ و ٣٣) في حالة الاصدار في اللهب .

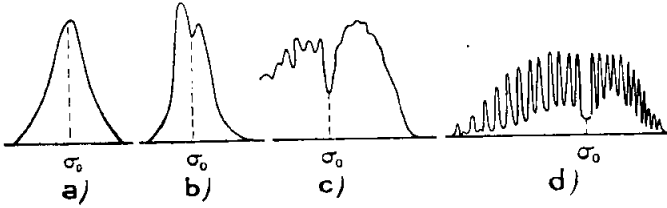
وفي حمض ابود الماء HI لوحظت الخطوط الامتصاصية الثلاثة الأولى

($J = 1, 2, 3$) بأطوال أمواج قدرها ٠,٧٨ ، ٠,٣٩ ، و ٠,٢٦ مم أي :

$$\sigma = 12,8 J$$

إن الكشف الطيفي للمنطقة فوق المهرتية يتعلق بالامتصاص فقط ، لأن أطياf الاصدار في هذه المنطقة من الطيف يغطيها تماماً الاشعاع الحراري (الفقرة ١٤ - ٧) .

(ب) منطقة ما تحت الاحمر الأدنى : إن طيف الامتصاص هنا هو أشد تعقيداً من الذي قبله . يبين الشكل (١٥ - ٥) التقدم الذي تحقق في دراسة



الشكل ١٥ - ٥ . - قسم من طيف ما تحت الأحمر لغاز HCl كما يرى في مطاييف تزداد قوة الفصل فيها من a لـ d . وهذه كلها أطياf مواشير . (يقرأ σ_0 بدلا من σ)

طيف HCl الغازي ، في جوار الطول الموجي ٣٥٥ ميكروناً ، مع تزايد قدرة

الفصل في أجهزة الطيف . إن عصابة

الامتصاص التي في الشكل ١٥ - ٥ a

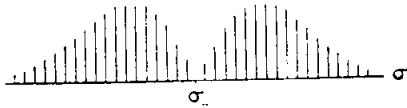
تظهر مضاعفة في (b) ثم يلوح في كل

جزء منها (c) بنية مركبة تتحلل

في (d) . فتتألف العصابة في النهاية

من سلسلتين من الخطوط (الشكل

١٥ - ٥ مكرر) متساوية الأبعاد



الشكل ١٥ - ٥ مكرر

بنية عصابة الامتصاص الواردة في

الشكل ١٥ - ٥ d (إن ارتفاع

الخطوط متناسب مع شدة الخطوط

الطيفية (الطيف النظامي)

تقريباً في الأعداد الموجية ومتوزعة توزيعاً متناظراً حول الشعاع σ_v التي لا يقابلها أي خط . إذن فجملة خطوط العصابة قابلة للتحميل في تقريب أولي بـ :

$$\sigma = \sigma_v \pm m \sigma_0 \quad [٣٠١٥]$$

حيث m عدد صحيح غير معدوم وحيث σ_0 له تقريباً نفس القيم التي في الصيغة [٢٠١٥] .

معنا في البحوث : $\sigma_v = 2886 \text{ cm}^{-1}$ ($\lambda_v = 3,46 \mu$) و :

$$\sigma = 2886 \pm 20,58 m \quad [٤٠١٥]$$

ج (الانتشار : يبين لنا الشكل ١٥-٦ (اللوحة ٨) طيف رامان لـ HCl . وهو يتألف من منطقتين . ففي جوار الخط المهيّج يتألف الطيف المنخفض التواتر من مجموعتي خطوط موجبة وسالبة $\sigma_i \pm \sigma_m$ أعدادها الموجية الرامانية هي أمثال صحيحة لنفس الكمية :

$$\sigma = 41,5 m \quad [٥٠١٥]$$

وبالقرب من العدد الموجي $\sigma_0 = 2886 \text{ cm}^{-1}$ نجد طيفاً عالي التواتر يتألف من خط محاط تناظرياً بخطوط متساوية الأبعاد يفصل بينها نفس الفاصل الذي يفصل بين الخطوط [٥٠١٥] وفقاً للصيغة :

$$\sigma_m = 2886 \pm 41,5 m \quad [٦٠١٥]$$

يلاحظ إذن أن خط رامان الرئيسي له عدد موجي مميز يساوي σ_v هو الذي في الصيغة [٣٠١٥] وان تباعد الخطوط المحيطة به والتي تحيط بالخط المهيّج هو تقريباً ضعف تباعد خطوط امتصاص ما تحت الأحمر في [٢٠١٥] و [٣٠١٥] .
د (في القسم المرئي وفي ما فوق البنفسجي . إن طيف امتصاص HCl في ما فوق البنفسجي لما كان غير معروف بتفاصيل كافية ، فإننا نتخذ مثلاً طيف إصدار السيانوجين CN .

٥-١- ترى بسهولة الأقسام الزرقاء والبنفسجية من هذا الطيف بفضل تشكيل خيال لهب قوس كهربائية على شق مطياف ، على أن تكون هذه القوس حاصلة بين مسريين من الفحم . يتضمن الطيف عدة مناطق مضيئة يتميز فيها عدة عصائب تتدرج نحو أطوال الأمواج القصيرة ولها من ناحية الأمواج الطويلة حروف واضحة يسمى كل حرف منها رأس العصابة أو حرفها . ومن السهل التسديد على هذه الحروف في أطوال الأمواج ٢١٦ و ١٩٧ و ١٨١ و ١٦٨ و ٣١٥٣ Å في منطقة البنفسجي . ويوجد عصائب بمائلة لها في منطقة ما فوق البنفسجي (الشكل ١٥ - ٧ a في اللوحة ٩) . يؤلف الكل جملة مصائب .

٢- إذا زيدت قدرة الفصل في المطياف يلاحظ أن كل عصابة من العصائب السابقة تتحلل إلى خطوط (الشكل ١٥ - ٧ b ، c ، d) .

وإن تراكم الخطوط في جوار رأس العصابة يذكر لأول وهلة بتراكم خطوط الطيف الذري نحو نهاية السلسلة (الشكل ١٤ - ١) ولكن الأعداد الموجية للخطوط تخضع لصيغة تختلف عن صيغة الخطوط الذرية ، أي :

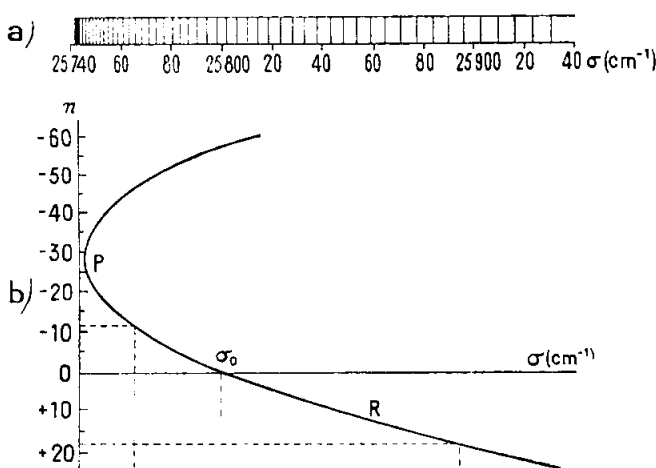
$$\sigma = \sigma_0 \pm 2Bn + Cn^2 \quad [٧،١٥]$$

تحتوي هذه الصيغة التي أوجدها ديلاندر Deslandres على ثلاث ثوابت : σ_0 و B و C ، وعلى عدد ترتيبى n صحيح وموجب . فعندما يزداد n بقدر وحدة تزداد σ بالمقدار $2B + C + 2Cn$ ، بحيث أن فروق الأعداد الموجية تؤلف متوالية عددية .

فلنقل خطوط العصابة التي يقع حرفها عند ٣٨٨٣ Å على رسم مبسط تكون فواصله متناسبة مع الأعداد الموجية (الشكل ١٥ - ٨ a) وترتيباته متناسبة مع قيم n (الشكل ١٥ - ٨ b) فإن الصيغة [٧-١٥] تمثل قطعاً

مكافئاً (قطع فورترا Fortrat) يقابل رأس العصابة ذروة القطع ، لأن تراكب الخطوط ناجم عن المرور بنهاية عظمى لـ σ بدلالة n . وعندما تكون $n = 0$ ، يكون $\sigma = \sigma_0$ (ولكن هذا الخط غير موجود) .

يقابل القيم الموجية لـ n ، ما يسمى بالفروع R من القطع المكافئ ، ويقابل القيم السلبية الفروع P .



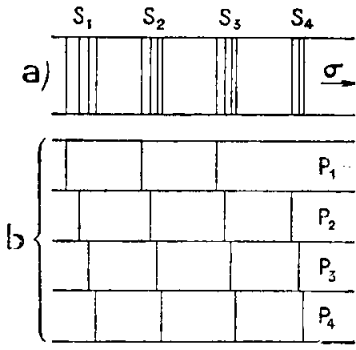
الشكل ١٥ - ٨ .

a) مخطط عصابات امتصاص CN التي حرفها $\text{A}^\circ 3883$ ، b) قطع فورترا المكافئ .

٣ . - يميز كلا من عصابات الشكل ١٥ - ٧ - a بالعدد الموجي σ_0 الذي تقدم تعيينه ، وننقل هذه القيم على مخطط مبسط ، فواصله متناسبة مع الأعداد الموجية (الشكل ١٥ - ٩ a) فنرى في أوضاع العصابات بعض الانتظام .

فهي أولاً تتجمع في تعاقبات S_1 ، S_2 ، S_3 ، ... ، وإن ما يرى في التجربة الميئة في أول الفقرة ١٥ - ٢ د هو عصابات لنفس التعاقب ، وقد بينت في القسم العلوي من الشكل ١٥ - ٧ a .

هذا وإذا نظرنا إلى المنظومة P_1 (الشكل ١٥ - ٩ ، b) التي تتألف من



الشكل ١٥ - ٩ .

المتواليات والسلاسل في جملة

العصائب البنفسجية لـ CN

عصائب أطوال أمواجها هي أكبر

شيء في التعاقبات S_1 ، S_2 و S_3 ،

فإننا يمكن أن نجد منظومات P_2 ،

P_3 ، P_4 (الشكل ١٥ - ٩ ، b)

مؤلفة من عصائب أخرى كلها متشابهة

فيما بينها مع P_1 ، بمعنى أنه إذا طبقنا

جميع عصائب تعاقب واحد على

بعضها ، انطبقت أيضاً عصائب

التعاقبات الأخرى . ثم إنه في جميع

المنظومات P_1 ، P_2 ، ... يكون الفرق بين العدد الموجي σ_0 لعصاية والعدد

الموجي للعصاية التي تليها قليل التغير ، بحيث أن الأعداد الموجية σ_0 لعصائب

نفس المنظومة يمكن أن تمثل بالصيغة :

$$\sigma_0 = \sigma_v - (a''v'' - b''v''^2) \quad [٨،١٥]$$

حيث σ_v و a'' و b'' هي ثوابت موجبة ($b'' \ll a''$) و v'' عدد صحيح يمكن

أن يأخذ القيم ٠ ، ١ ، ٢ ، ... وإذا كانت b'' معدومة فإننا نرى أن عصائب

السلسلة تكون متساوية الأبعاد بمقدار a'' . وإذا كانت v'' تساوي الصفر

$\sigma_0 = \sigma_v$ العدد الموجي للعصاية المأخوذة كنقطة ابتداء للسلسلة ، فإن σ_v تتغير

من سلسلة إلى أخرى وان المنظومات P_1 ، P_2 ، ... الممتلة بصيغة من نوع

[٨،١٥] تسمى المتواليات v'' .

وأخيراً فلنعتبر الأعداد الموجية σ_v للعصائب الأصلية لكل من المتواليات

v'' ، فإننا نجد أنها قابلة للتمثيل بالصيغة :

$$\sigma_{v'} = \sigma_{00} + (a'v' - b'v'^2) \quad [٩,١٥]$$

حيث a' و b' هما ثابتان جديدتان موجبتان ($b' \ll a'$) و v' عدد صحيح يأخذ القيم ١، ٢، ... وهو عدد العصاة التي اتخذت مبداءً. وان الأعداد الموجية σ_a تؤلف إذن متوالية جديدة تسمى المتوالية v' .

وإذا وفقنا بين الصيغتين [٨،١٥] و [٩،١٥] حصلنا على الأعداد الموجية لختلف العصائب التي تؤلف جملة العصائب المبحوثة، بواسطة الصيغة :

$$\sigma_0 = \sigma_{00} + (a'v' - b'v'^2) - (a''v'' - b''v''^2) \quad [١٠,١٥]$$

وفي حالة جملة العصائب البنفسجية للسيانوجين نعطي ل σ_{00} العدد الموجي ٢٥٧٩٨ للعصاة الأكبر شدة، وتكتب الصيغة [١٠،١٥] حينئذ :

$$\sigma_0 = 25\,798 + (2\,149,9 v' - 20,2 v'^2) - (2\,055,6 v'' - 13,2 v''^2) \quad [١١,١٥]$$

وقد بينا على طيف الشكل ١٥ - ٧ a التعاقبات والمتواليات v'' .
يمكن كذلك اعداد جدول ذي مدخلين (الجدول ١٥ - ٢) حيث نجد قيم σ_0 عند تقاطع الخطوط التي تعطي قيم v' والاعمدة التي تبين قيم v'' . ويعود

الجدول ١٥ - ٢						
تصنيف العصائب في جملة البنفسجي للسيانوجين						
v' / v''	٠	١	٢	٣	٤	٥
٠	٢٥٧٩٨	٢٣٧٥٥	٢١٧٤٠			
١	٢٧٩٢١	٢٥٨٧٩	٢٣٨٦٣	٢١٨٧٣		
٢	٣٠٠٠٤	٢٧٩٦٢	٢٥٩٤٦	٢٣٩٥٦	٢١٨٧٣	
٣			٢٧٩٨٩	٢٦٠٠٠	٢٤٠٣٧	٢٢١٠١
٤					٢٦٠٤٠	٢٤١٠٤

كل عمود اذن الى متوالية v' وكل خط الى متوالية v'' . واما التعاقبات فتعود الى قيم ثابتة لـ $v' - v''$.

وتوجد جملة اخرى لعصائب السيانونجين تقع في منطقة الأحمر .

ان طيف الاصدار لجزيئات عديدة ثنائية الذرة يتألف من عصائب بمائلة لعصائب السيانونجين ، مثال ذلك الآزوت N_2 (الشكل ١٣ - ٦) . على ان بعض الطيوف تتألف من خطوط موزعة بدون انتظام ظاهر . مثال ذلك طيف الاصدار لجزيء الهيدروجين H_2 (الشكل ١٣ - ٥) وبعضها الآخر طيوف متصلة . مثال ذلك طيف امتصاص بخار الايود I_2 (الشكل ١٥ - ١٠ في اللوحة ٨) .

١٥ - ٣ . سويا ت الطاقة لجزيء ثنائي الذرة .

أ) ان تحليل الاطياف الجزيئية يسمح لنا بان نعتبر لها حدوداً طيفية كما هو الامر في الطيوف الذرية . (الفقرة ١٤ - ٣) ان كل خط له عدد موجي σ يقابل الفرق $T' - T''$ لحدين طيفيين . ويرتبط هذان الحدان ايضاً بسويات الطاقة W بالعلاقة :

$$\sigma = T' - T'' = \frac{W' - W''}{hc} \quad [١٢,١٥]$$

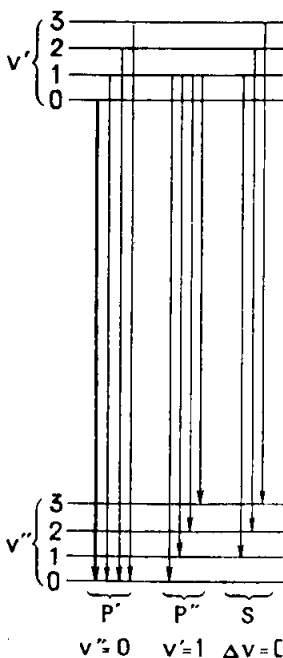
فيما يلي سنرمز بالدليل ' للأقدار العائدة الى السويات العليا للطاقة وبالدليل '' للسويات الدنيا .

ان سويات جملة من العصائب ، كالتى في الجدول ١٥ - ٢ ، يمكن ان تمثل تخطيطياً كما يأتي (الشكل ١٥ - ١١) : ان الانتقال σ_{00} يحدث بين سويتين متباعدتين جداً $v' = 0$ و $v'' = 0$. وكل من هاتين السويتين ترافقه مجموعة

اخرى : $v' = 1, 2, 3, \dots$ و $v'' = 1, 2, 3, \dots$ البعد بينها في حدود 200 cm^{-1} اي $1/100$ من فاصلة السويتين $v' = 0$ الى $v'' = 0$.

والعدد الذي يوجد عند تقاطع الخط v'

والعمود v'' من الجدول ١٥-٢ يقابل الانتقال بين السوية v' والسوية v'' .



ان البنية الخطية لكل عصابة من عصابات الجمة يمكن بدورها ان تمثل بان يربط بكل سوية v' و v'' منظومة من السويات تفصل بينها فواصل في حدود بضعة عشرات من cm^{-1} (راجع الشكل ١٥ - ٢٠) ويمكن اجراء تمثيل مشابه له من اجل عصابات ما تحت الاحمر (الشكلان ١٥ - ١٧ و ١٥ - ٢٢) .

ب (ان الانتقالات التي تولد العصابات المرئية او فوق البنفسجية هي ناجمة عن تغيرات في طاقة الكترونات الذرات . وقد امكن بالفعل تهييج طيف الاصدار لأبخرة الجزيئات المتعددة الذرات في تجارب مماثلة لتجارب فرانك وهرتز (الفقرة ١٣ - ١) على الجزيئات الوحيدة الذرة . فيجد الباحث طاقات طنين (تجاوب) في عين الحدود في جميع الاحوال (من ١ الى ٢٠ الكترون فولت) .

الشكل ١٥-١١ . مخطط سويات الاهتزاز العائد الى الصيغة [١٠، ١٥] وقد بين الانتقال $0-0$ بخط عريض؛ $P' =$ المتوالية v' و $P'' =$ المتوالية v'' هو التعاقب

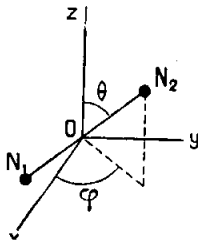
اذن يرتبط بانتقال الكتروني معين σ_{00} ، جملة عصابات في طيف جزيئي ، بينما يقابل ذلك في الطيف الذري خط واحد . فمجموع التواترات σ_{00} يؤلف سلاسل يمكن تمثيلها بصيغ من نوع صيغة رايدبرغ (١٤ - ٢) .

ولكي نفسر البنية العصبانية لكل جملة (الشكل ١٥ - ١٧) والبنية

الخطية لكل عصابة (الشكل ١٥ - ٧) ينبغي ان نأخذ بعين الاعتبار ان البنية الجزيئية المتعددة الذرات لها فرق اساسي عن بنية الذرات ، ففي الاولى تقع الالكترونات في حقل عدة « قلوب » ذرية (الفقرة ١٤ - ٩) لا في حقل واحد كما في هذه الاخيرة . فينتج من ذلك اولاً ان الذرة الحرة لها تناظر كروي وان توجيهها في الفراغ ليس له دخل في خواصها الضوئية ، بينما ان دوران الذرة يمكن ان يكون له تأثير في اطيافها كما سنرى في الفقرة ١٥ - ٤ .

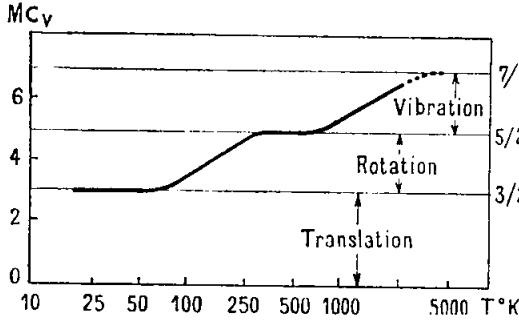
ومن جهة ثانية ، ان التقلبات المتبادلة للقلوب في الجزيء يمكن ان تغير عزمه الثنائي الاقطاب (الفقرة ١ - ٦) واستقطابه (الفقرة ١١ - ٣) اللذين يتعلق بها امتصاص الضوء وانتثاره .

فلندرس طاقة هذه الحركات في جزيء ثنائي الذرة . ما دامت كتلة الذرة هي مركزة عملياً في نواتها N ، فانه يمكن النظر الى هذا الجزيء كأنه مؤلف من كتلتين صغيرتي الابعاد N_1 و N_2 ، يفصل بينهما البعد r . فاذا اعتبر هذا البعد ثابتاً كان للجزيء خمس درجات حرية . مثلاً في الشكل ١٥ - ١٢ تكون هي الاحداثيات x ، y ، z لمركز ثقله والزائبتان θ و φ اللتان تحددان توجيه محور نواتيه . واذا كانت r يمكن ان تتغير (بأن كان الجزيء في حالة اهتزاز) فانه تظهر درجة جديدة من الحرية .



الشكل ١٥ - ١٢
درجات الحرية لجزيء
ثنائي الذرات

من بين هذه الحركات ، يكون الدورانان العائدان لتغير الزائبتين θ و φ دوريين ، وكذلك الأمر فيما يتعلق بتغيرات r إذا كانت الجزيء مستقراً (٢ - ١٠ - ٩) أما الانتقالات فليست دورية . ومن المعلوم أن دراسة تغير الحرارة النوعية للغازات بدلالة درجة الحرارة (٢ ، ١٢ - ١٠) تؤدي الى نتيجة هي أن طاقة الحركات الدورية للجزيئات هي مكممة .



إن الشكل ١٥-١٣

هو إعادة للشكل ١٠-١٣ الوارد في الجزء ٢ ، والعائد الى السعة الحرارية المولية للهيدروجين . فيرى أنه في الدرجة المطلقة ١٠٠ يدور عدد هام من الجزيئات ، والطاقة

الشكل ١٥ - ١٣ . تحول السعة الحرارية المولية للهيدروجين مع درجة حرارته

المتوسطة للهياج الحراري $\frac{3}{2} kT$ تساوي في هذه الدرجة قرابة 2.10^{-21} joule/mol

ويقابلها تواتر $\nu = \frac{W}{h} = \frac{2.10^{-21}}{6.6.10^{-34}} \simeq 3.10^{12}$ Hz ، اي عدد موجي في حدود 100 cm^{-1} او طول موجة يساوي ١٠٠ ميكرون . فيستنتج من ذلك ان الاصدار والامتصاص في ما تحت الاحمر البعيد وما فوق المرئزي (الفقرة ١٥ - ٢) مما مرتبطان بتغيرات طاقة دوران الجزيئات .

وفي الدرجة 1000°K (الشكل ١٥ - ١٣) تهيج الاهتزازات الجزيئية نهجاً ملحوظاً . وتكون الطاقة $\frac{3}{2} kT$ قريبة من 2.10^{-20} joule/mol ويقابل ذلك طول موجة قدره ١٠ ميكرونات . اذن فالامتصاص في ما تحت الاحمر الادنى هو على صلة مع تحولات طاقة اهتزاز الجزيئات .

١٥ - ٤ . طيف الدوران المحض . الامتصاص والانبعاث .

(ا) فلنبحث عن بنية الطيف التي يتوقع حصولها بفرض درجة الحرارة منخفضة انخفاضاً تكون معه طاقة الدوران هي التحولة الوحيدة . يعود ذلك الى القبول بأن الجزيء غير قابل للتشويه .

ان عبارة طاقة الدوران لجسم صلد هي :

$$W = \frac{I \omega_r^2}{2} \quad [١٣،١٥]$$

حيث $\omega_r = 2 \pi f_r$ تدل على السرعة الزاوية و I عزم العطالة حول محور الدوران وهذه الطاقة هي ذات شكل حركي . فاذا ادخلنا العزم الحركي $G = I \omega_r$ ، امكثنا ان نكتب :

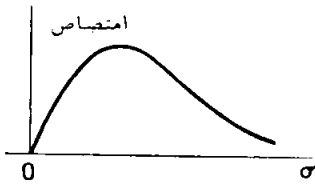
$$W = \frac{G^2}{2I} \quad [١٤،١٥]$$

ان دوران جزيء ثنائي الذرة يحصل حول احد محاور العطالة الرئيسية وهو عمودي على المنحى الذي يصل بين الذرتين ويمر بمركز الثقل .

ب) ان النظرية الكهربائية المغناطيسية الكلاسيكية تمثل طيف الاصدار او الامتصاص بدوران الجزيء ، بالكيفية الآتية : اذا كان للجزيء عزم ثنائي الأقطاب دائم \vec{p}_0 فانه يغير اتجاهه اثناء الدوران ، واذا كان هذا الدوران منتظماً فان مرتسم \vec{p}_0 على منحى معين يطرأ عليه تحولات جيبية (١ - ١٤) نبضها ω يساوي السرعة الزاوية للدوران . فنحصل اذن على ما يعادل ثنائي الأقطاب لهرتز ، ويكون نبض الاشعاع الصادر مساوياً ω_r . وهذه هي ايضاً قيمة النبض الخاص بالامتصاص . فاذا كان $\vec{p}_0 = 0$ (اي كانت الجزيئات متجانسة الأقطاب) فليس هنالك طيف اصدار او امتصاص دوراني ، وذلك موافق لما تبينه التجربة .

ان النظرية الكلاسيكية لا تحدد القيم الممكنة لـ ω_r ، وذلك يؤدي الى توقع طيف دوراني متصل ، خلافاً لما يشاهد . ففي درجة معينة ، يكون لسرعة الدوران ، التي تعدلها الاصطدامات الجزيئية ، توزيع احصائي بين الجزيئات ،

مثل سرعة الانتقال (٢ ، ١٢ - ٥) . فاذا قبلنا بان هذا التوزيع يتبع قانون



بولتزمان Boltzmann ، وجدنا ان شدة الطيف المتصل للدوران ينبغي ان تمر بنهاية عظمى من اجل تواثرهما ، كما يدل الشكل ١٥ - ١٤ .

الشكل ١٥ - ١٤ . توزيع الشدة في طيف الدوران الجزيء ثنائي الذرات وفقاً للنظرية الكلاسيكية

تؤدي قوانين ميكانيك الكم الى اعطاء طاقة الدوران تتابعاً من القيم المعينة . ففي النظرية البدائية كان يقبل ان العزم الحركي للجزيء يخضع لشرط شبه بالشرط [٢٦،١٤] العائد لذرة الهدروجين ، اي :

$$2 \pi G = Jh \quad [١٥،١٥]$$

حيث J هي عدد صحيح ، ومن ذلك اذا ادخلنا في [١٤،١٥] القيمة التي تنتج لـ G :

$$W = \frac{J^2 h^2}{8 \pi^2 I} \quad [١٦،١٥]$$

وسنرى في الجزء ٨ ان ميكانيك الكم الدقيق يؤدي ، بنتيجة مبدأ الارتياب الى ان يستبدل بالصيغة السابقة الصيغة :

$$W = J (J + 1) \frac{h^2}{8 \pi^2 I} \quad [١٧،١٥]$$

وقد مثلت سوياث طاقة الدوران للذرة الثنائية الذرات في الشكل

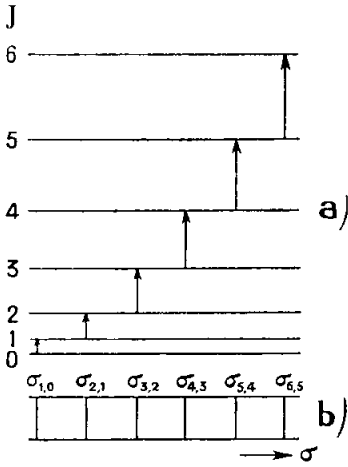
١٥ - ١٥ ، a .

يعطي ميكانيك الكم للاصدار او الامتصاص التلقائي للاشعاع قاعدة الاصطفاء الآتية :

$$\Delta I = \pm 1 \quad [١٨١١٥]$$

ويؤدي ذلك الى العبارة الآتية للتواترات المصدرة او الممتصة :

$$\nu_r = \frac{\Delta W}{h} = [J(J+1) - (J-1)J] \frac{h}{8\pi^2 I} = J \frac{h}{4\pi^2 I} \quad [١٩١١٥]$$



الشكل ١٥ - ١٥ . مستويات الطاقة الدورانية لجزيء ثنائي الذرات ، ومخطط مبسط للطيف العائد اليه

ان طيف الامتصاص او الاصدار الناجم عن دوران جزيء ثنائي الذرات يتألف اذن من خطوط متساوية الابعاد وتلك هي تقريبا نتيجة التجربة . وهو يمثل مع التبسيط في الشكل ١٥-١٥ b وقد بينت على الشكل ١٥-١٥ a انتقالات الامتصاص العائدة لها . ان شدات الخطوط تتحول مع قيمة J كما يبين الشكل ١٥ - ٠٤ وان المنحنى الذي يصل بين نهاية القطع الممثلة للخطوط له هيئة ممثلة بالشكل ١٥ - ٠٤ .

ثم ان ميكانيك الكم يبين ، كما تبين النظرية الكلاسيكية ، ان الجزيئات التي لها عزم ثنائي الاقطاب كهربائي دائم ، هي وحدها التي لها طيف في ما تحت الاحمر دوراني محض ، وذلك مطابق للتجربة .

ما دام الاشعاع يرافق في ميكانيك الكم الانتقال من حالة دوران مستقرة الى حالة أخرى ، فلا يوجد بالضرورة علاقة بسيطة بين تواتر هذه الدورانات وبين تواتر الاشعاع . ولكن مبدأ التقابل يسمح بالوصول إلى العلاقة التي تؤدي إليها الكهربائية الديناميكية الكلاسيكية . فوفقاً لـ [١٥ ، ١٤] تكون السرعة

الزاوية $\omega_r = \frac{G}{I} = \frac{dW}{dG}$ ، بينما ان نبض الاشعاع المصدر تبلغ قيمته في النظرية الكمية $\omega_r = 2\pi\nu = 2\pi \frac{\Delta W}{h}$. فاذا أردنا التسوية بين عبارتي ω_r هاتين ، فانه ينبغي أن نفرض $\Delta G = \frac{h}{2\pi}$ ، ويعود ذلك إلى مفاضلة العبارة [١٥، ١٥] مع الشرط [١٨، ١٥] .

ج) في الكهردينامية الكلاسية يفسر طيف الانتشار المرتبط بالدوران بالشكل الآتي : إن العزم \vec{p} الذي يحرضه في الجزيء الحقل \vec{E} للموجة المهيئة عبارته :

$$\vec{p} = \alpha \vec{E}$$

حيث ترمز α إلى استقطابية الجزيء ، فإذا دار الجزيء أخذ محوره عدة اتجاهات مختلفة بالنسبة إلى \vec{E} . فبموجب نظرية زيلبرشتاين Silberstein (الفقرة ١١-٣) تتغير الاستقطابية: وتكون عظمى عندما يكون المحور الجزيئي موازياً لـ \vec{E} ، وصغرى عندما يصبح عمودياً عليه . فينتج من ذلك تكييف لـ α وبنتيجة ذلك لـ p . ولكن عندما يدور الجزيء بمقدار ١٨٠° تستعيد الاستقطابية نفس القيمة ، بالرغم من أن الذرات تكون عندئذ قد تبادلت أمكنتها فأت اهليلج الجسم للاستقطابية (الفقرة ١١ - ١) يكون قد دار حتى حل طرف منه محل الطرف الآخر . ينتج من ذلك أن نبض α قيمته $2\omega_r$ تساوي ضعف السرعة الزاوية للدوران . فنكتب إذن :

$$\alpha = \alpha_m \cos 2\omega_r t \quad \text{ويكون لدينا : [٢٠، ١٥]}$$

$$p_m = \alpha_m E_m \cos 2\omega_r t \sin \omega_i t = \frac{\alpha_m E_m}{2} [\sin (\omega_i + 2\omega_r) t + \sin (\omega_i - 2\omega_r) t]$$

إن تواترات طيف رامان للدوران المحض هي إذن $\nu_i \pm 2f_r$. ولما كانت

الجزيئات كلها ، القطبية منها وغير القطبية قابلة للاستقطاب ، فان طيف رامان الدوراني موجود في جميع الأحوال . وان الشكل ١٥ - ١٦ من اللوحة ٩ يبينه لنا في حالة الجزيء O_2 المتجانس الأقطاب ، الذي ليس له في ما تحت الأحمر طيف امتصاص فاجم عن الدوران .

إن ميكانيك الكم يعطي من أجل إصدار الإشعاع الثنائي الأقطاب المحرض بموجة مهبجة في جزيء يدور ، قاعدة الاصطفاء الآتية :

$$\Delta J = \pm 2 \quad [٢١،١٥]$$

ومنه عبارة التواترات المنتثرة وفقاً لـ [١٥ ، ١٧] :

$$\begin{aligned} \nu &= \nu_i \pm \frac{\Delta W}{h} = \nu_i \pm [J(J+1) - (J-2)(J-1)] \frac{h}{8\pi^2 I} = \\ &= \nu_i \pm \frac{3h}{8\pi^2 I} \pm 2J \frac{h}{4\pi^2 I} \end{aligned}$$

إن الخطوط الأولى التي تقع إلى جانبي الخط المهيّج تكون تواتراتها $\nu_i \pm \frac{3h}{8\pi^2 I}$ ، والتي تليها تبعد بمقدار $\frac{2Jh}{4\pi^2 I}$ أي بقدر ضعف مسافة خطوط طيف الامتصاص ، وهذا هو تماماً ما تعبر عنه الصيغة التجريبية [١٥ ، ١٥] .

د) إن دراسة طيف الدوران المحض في الامتصاص أو في الانتثار يمكن من حساب عزم عطالة الجزيء الثنائي الذرات . ففاصلة تواتري خطي الامتصاص المتتابعين هي وفقاً لـ [١٥ ، ١٩] :

$$\Delta \nu = \frac{h}{4\pi^2 I}$$

وقد وجد من أجل HCl . مثلاً :

$$\Delta \sigma = \frac{h}{4\pi^2 I_C} = 21 \text{ cm}^{-1}$$

ومنه :

$$I = \frac{6,62 \cdot 10^{-32}}{4 \times 9,86 \times 21 \times 3.10^8} = 2,61 \cdot 10^{-47} \text{ kg.m}^2$$

ولدينا :

$$I = \mu r_0^2$$

حيث r_0 هو البعد المتوسط للذرتين H و Cl ، و μ الكتلة المختزلة للجزيء والمعينة ب :

$$\frac{1}{\mu} = \frac{1}{m_H} + \frac{1}{m_{Cl}}$$

(٣ ، ٤ - ٥ د) . فنستخرج من ذلك ، مع اعتبار أن $m_H = 1,66 \cdot 10^{-27} \text{ kg}$

و $m_{Cl} = 58,9 \cdot 10^{-27} \text{ kg}$

$$r_0^2 = 1,57 \cdot 10^{-10} \text{ m}^2$$

$$r_0 = 1,26 \cdot 10^{-10} \text{ m}$$

ونجد في الجدول ١٥ - ٣ عزوم العطالة وأبعاد الذرات^(١) في بعض الجزيئات الثنائية الذرة ، التي عيّنت بهذه الطريقة .

٥ (إن شدة خطوط طيف الامتصاص متناسبة مع مربع تغيرات العزم الثنائي الأقطاب أثناء الدوران . وهذا التغير يساوي $2p_0$ مادام العزم الدائم p_0 يغير جهته أثناء الدوران بمقدار ١٨٠° . إذن فقياس الشدة يمكن مبدئياً من تعيين p_0 ولكن هذا القياس قليل الدقة لا يمكن الاستعانة به .

(١) نذكر بأن ثمة طريقة أخرى لتعيين الأبعاد الوسطية للذرات في داخل الجزيء ،

تعتمد على انعراج الأشعة السينية أو الالكترونات (الجزء ٨) .

١٥ - ٥. — أطيف الاهتزاز والدوران . الامتصاص والانعكاس :

أ) هنالك اتجاه إلى تشكل جزيء ثابت عندما يُجمع بين الذرات المؤلفة له ، بحضور بعضها بعضاً . إذن فهذه الذرات تتجاذب ، ولما كانت لا تستطيع النفوذ في بعضها بعضاً ، فانها تتدافع عندما يصبح البعد بينها صغيراً جداً .

وبدون أن ندخل هنا في دراسة تشكل الجزيئات ، تلك الدراسة التي سنقوم بها في الجزء ٨ سنميز وجود جزيء ثابت (مستقر) بقيمة دنيا للطاقة الكامنة داخل الجزيئات . تتألف الطاقة الكلية للجزيء أساسياً^(١) من الطاقات - الحركية والكامنة - للالكترونات والنوى .

ليست هذه الطاقات مستقلة عن بعضها بعضاً . وسنفرض فيما يلي أن سوية الطاقة الالكترونية فيها هي في أدنى ما يكون . ولكن هذه القيمة تتغير تغيراً يبنياً مع البعد المتبادل r للنوى (وما دامت النوى مفصولة فصلاً كبيراً فيكون الأمر أمر ذرتين لا أمر جزيء) ولما كانت الالكترونات ، وهي أقل عطالة من النوى ، لها حركات أسرع منها بكثير ، فإنه يمكن اعتبار الطاقة الالكترونية كأنما لها في كل لحظة القيمة العائدة إلى البعد الفعلي للنوى ، فينتج بما تقدم أن كل تغير لـ r يجر تعديلاً لا على الطاقة الكولونية للنواتين فحسب ، وإنما على طاقة الالكترونات أيضاً . إذن فالطاقة الكامنة W_p للنواتين في انتقالها تتألف من مجموع طاقتها الكهربائية الراكدة المتبادلة ومن الطاقة الالكترونية . ولما كان الجزيء ثابتاً فإن W_p تمر بقيمة دنيا من أجل قيمة لـ r قدرها r_0 ، وهي البعد المتوسط لتوازن الذرات في الجزيء وهو الذي صادفناه

(١) سنهمل الطاقة العائدة الى الاسبين والى تفاعلاتها المتبادلة (الفقرة ١٥ - ٨ ج)
والتي هي أضعف بكثير .

في الفقرة ١٥ - ٤ ، لقد أخذ على الشكل ١٥ - ١٧ القيمة الدنيا لـ W_p مبدأً للترتيب ، فإذا كان البعد بين الذرتين يتغير قليلاً ، فإنها يعادان إلى وضع التوازن . وأبسط فرضية يمكن عملها هي أن قوة الاعداء متناسبة مع التباعد :

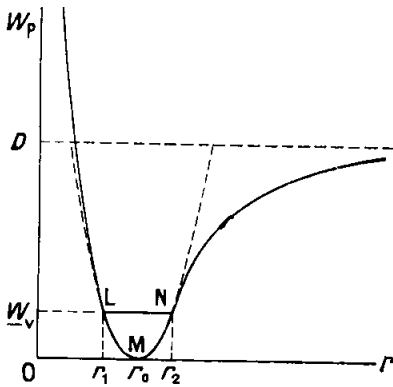
$$F = -k(r - r_0)$$

فحركة الذرات هي حينئذ اهتزاز توافقي (٣ ، ٤ - ٥) ولما كان :

$$F = - \frac{dW_p}{dr} \quad [٢٢ ، ١٠]$$

$$W_p = \frac{1}{2} k (r - r_0)^2$$

فإن منحنى الشكل ١٥ - ١٧ في جوار r_0 يمكن بفضل تقريب أولي



الشكل ١٥ - ١٧ . الطاقة الكامنة
لجلمة ذرتين بدلالة البعد الفاصل بينهما

اعتباره منطبقاً على قطع مكافئ ، ذروته M ، وقد رسم هذا القطع بخطوط منقطة في الشكل . ففي حدود هذا التقريب ، إذا تغير البعد بين الذرتين من r_1 إلى r_2 ، فإن الطاقة الكامنة تتغير وفقاً لـ LMN ، وتبقى الطاقة الكلية ثابتة (١٤،١-٦) ومساوية للتريب W للنقطتين L و N . وإن W_v التي تمثل المقدار الزائد من الطاقة داخل الجزيء ، بالنسبة إلى

النهاية الصغرى التي اعتبرت مبدأً ، فهي طاقة الاهتزاز للجزيء . وعلى نقطة ما من منحنى الطاقة الكامنة ، تمثل الطاقة الحركية بعد هذه النقطة عن السوية LN .

ينتج من [٢٢، ١٥] ان قوة الاعادة تعطى بواسطة ميل المنحني في كل نقطة ، بحيث ان الميل الموجب يدل على تجاذب والميل السالب يدل على تدافع . والمنحني الحقيقي $W_p = f(r)$ ، العائد الى قوى جذب وقوى دفع اكبر ، مما هي عليه في الاهتزاز التوافقي ، يكون شكله كالوارد في الشكل ١٥-١٧ . فعندما يزداد البعد ازدياداً كافياً ، تنعدم القوة الجاذبة ويتجه المنحني نحو محور مقارب افقي ترتيبه D يمثل طاقة انحلال الجزيء ، والمعادلة الآتية التي وضعها مورس Morse تمثل منحني الشكل تمثيلاً مناسباً :

$$W_p = D \left\{ 1 - \exp \left[- \sqrt{\frac{k}{2D}} (r - r_0) \right] \right\}^2 \quad [٢٤، ١٥]$$

فاذا كانت $r = \infty$ تصبح $W_p = D$ ، واذا كانت $r = 0$ تصبح قيمة W_p متناهية ولكن كبيرة جداً . وتمر W_p بنهاية صغرى من اجل $r = r_0$ (انظر الجزء ٨) .

ب) في النظرية الكهرطيسية الكلاسية ، يمكن تشبيه الهزازة التوافقية طبعاً بثنائي الاقطاب لهوتر ، بشرط ان يغير الاهتزاز العزم ثنائي الاقطاب الكهربائي بان ينقل تنقيلاً نسبياً مركزا الشحنتين الكهربائيتين الايجابية والسلبية للجزيء أحدهما الى الآخر ، وبسبب التناظر لا يمكن ان يحدث مثل هذا التنقل في جزيء ثنائي الذرات الا اذا كانت هذه المراكز لا تنطبق على بعضها في وضع توازن الذرات ، اي اذا كان الجزيء قطبياً . وهذا الاستنتاج تحققه التجربة : ان الجزيئات المتجانسة الاقطاب مثل H_2 ، N_2 ، O_2 ، ليس لها طيف اهتزاز ، مثلاً انه ليس لها طيف دوران محض .

ان الاشعاع الكهرطيسي الذي تصدره هزازة توافقية وحيد اللون وتواتره ν_0 يساوي التواتر f للاهتزاز :

$$f = \frac{1}{2\pi} \sqrt{\frac{k}{\mu}} \quad [20, 15]$$

حيث μ هي الكتلة المختزلة (راجع الجزء ٣ ، ٤ ، ٥ - ٢) .

ان تغير البعد $r - r_0$ للذرات بسبب الاهتزاز يجر تغير العزم ثنائي الاقطاب الكهربائي للجزيء ، والذي عبارته :

$$p = p_0 + \frac{\delta p_0}{\delta r} (r - r_0) \quad [26, 15]$$

او من اجل اهتزاز جيبى :

$$p = p_0 + p_1 \sin 2\pi f_v t$$

بفرض $p_1 = \frac{\delta p_0}{\delta r}$. إن المتجهة المهتزة موجهة نحو محور الجزيء . فلنتخذ لـ xoy المستوي الذي يحصل فيه الدوران . فعندئذ يكون إصدار الإشعاع أو امتصاصه ، والذي يتبعه حقله الكهربائي نحو Ox ناجماً (الشكل ١-٢) عن المركبة :

$$p_x = p_1 \sin 2\pi f_v t \cos \varphi = p_1 \sin 2\pi f_v t \cos 2\pi f_r t$$

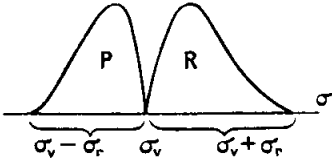
ويمكن كتابة ذلك :

$$p_x = \frac{p_1}{2} [\sin 2\pi (f_v + f_r) t + \sin 2\pi (f_v - f_r) t] \quad [27, 15]$$

(وثمة عبارة شبيهة بها تصلح من أجل p_y)

نرى أن تواتر الاهتزاز المحض ν_v لا يظهر في طيف الامتصاص أو الاصدار . وفي النظرية الكلاسيكية ان تواتر الدوران ν_r لجزيء يمكن أن تكون له قيمة ما . وكل جزيء يصدر أو يمتص زوجاً من التواترات وإن مجموع الجزيئات التي يتألف

منها الغاز ، يصدر أو يمتص جملة من التواترات والشكل ١٤ - ١٨ يمثل شدة الامتصاص المتوقعة . إن هيئة المنحنيين P و R تفسر مثل تفسير الشكل ١٥ - ١٤ .



الشكل ١٥ - ١٨ . توزيع الشدة في عصابة اهتزاز - دوران لجزيء ثنائي الذرات ، وفقاً للنظرية الكلاسيكية

ج) في ميكانيك الكم لا يمكن أن تأخذ طاقة اهتزاز الجزيء الثاني الذرات إلا قيماً متقطعة وإن الحساب

(راجع الجزء ٨) يعطي لعبارات سويات الطاقة لاهتزاز توافقى :

$$W_v = \left(v + \frac{1}{2} \right) hf \quad [١٨، ١٥]$$

حيث عبارة f هي [٢٥ ، ١٥] وحيث v هي عدد صحيح : ٠ ، ١ ، ٢ ، ...

لهذه الصيغة البسيطة عدة نتائج هامة . إن قيم W_v التي تعطيها ترددات خطياً مع v وتمثل على مخطط الشكل ١٥ - ٧ بسويات متساوية الأبعاد . على أن السوية الأساسية $v = 0$ لا تقابل قيمة معدومة لـ W وإنما تقابل $hf \cdot \frac{1}{2}$. وهي فوق الحد الأدنى للطاقة الكامنة . وتمثل قيمتها الطاقة المتبقية . ويعود وجودها إلى أن مبدأ عدم التعيين لا يسمح في آن واحد بتحديد مكان الذرات في مسافات توازنها r_0 وسعرقة أن كمية حركتها (وبالنتيجة طاقتها الحركية) هي معدومة . إن الانتقال من سوية طاقة إلى السوية المجاورة يصاحبه ، وفقاً لصيغة بور ، إصدار أو امتصاص لشعاعة تواترها :

$$\nu = \frac{\Delta W_v}{h} = \left[\left(v + 1 + \frac{1}{2} \right) - \left(v + \frac{1}{2} \right) \right] f = f \quad [١٩، ١٥]$$

فنجذ هكذا النتيجة التي تعطيها النظرية الكلاسيكية للإشعاع .

ان مبدأ التقابل يحتم اذن كقاعدة لا صطفاء الاهتزاز التوافقي أن يكون:

$$\Delta v = \pm 1 \quad [٣٠٠١٥]$$

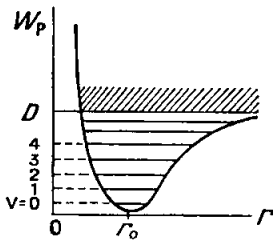
يمكن تبين ان صيغة مورس [٢٤، ١٥] تقابلها العبارة الآتية لسويات طاقة الاهتزاز :

$$W_v = \left(v + \frac{1}{2}\right) h f \left[1 - \left(v + \frac{1}{2}\right) \frac{h f}{4D}\right] \quad [٣١، ١٥]$$

وتؤدي الى عبارة التواترات المصدرة او الممتصة من اجل $\Delta v = 1$

$$v = \frac{\Delta W_v}{h} = f \left[1 - (v + 1) \frac{h f}{2D}\right]$$

تختلف هذه العبارة عن [٢٨، ١٥] بالحد الثاني الذي بين المعترضين . ولما



كانت التجربة تبين ان $h f$ هو دوماً صغير ازاء طاقة التحلل D ، فان لهذا الحد قيمة تصحيحية تزداد اهميتها بازدياد v . وان السويات الاولى للاهتزاز هي تقريباً متساوية الابعاد وان التقريب التوافقي جيد ، ثم تتواص (الشكل

الشكل ١٥ - ١٩ . سوية طاقة

(١٩ - ١٥) .

الاهتزاز الجزيء ثنائي الذرات .

ومنى بلغت المحور المقارب الافقي الذي

ترتيبه هو D ، يمكن لـ W_v ان تأخذ اية قيمة أعلى من D : وعندئذ يكون الامتصاص والاصدار متواصلين ، ولكن الجزيء يكون متحللاً (متفككاً) .

د) يمكن ان تتغير طاقة الدوران وفقاً لـ [١٩، ١٥] بمقدار كمات اصغر بكثير من طاقة الاهتزاز لأن f هي على الاغلب اكبر من f_r بعشرات المرات . فينتج من ذلك ان كل سبب قادر على اهتزازات الجزيء يهيج بصورة

أولى دورانه ، وانه ينبغي الكلام عن طيف الاهتزاز والدوران بدلاً من الكلام عن طيف الاهتزاز .

إذا اعتبرنا تغيرات طاقة الدوران وتغيرات طاقة الاهتزاز مستقلة عن بعضها بعضاً ، فان سويات الطاقة تكون مجرد مجموع السويتين اللتين تعطيهما الصيغتان [٢٨،١٥] و [١٧،١٥] أي :

$$W_v + W_r = \left(v + \frac{1}{2} \right) hf + J(J+1) \frac{h^2}{8\pi^2 I} \quad [٣٢،١٥]$$

وإن التواترات الممتصة ، هي بالاستناد إلى قاعدة الاصطفاء [٣٠،١٥] :

$$\nu = \frac{\Delta W_v + \Delta W_r}{h} = f + B [J'(J'+1) - J''(J''+1)] \quad [٣٣،١٥]$$

ولما كانت سويات الدوران مشغولة (مسكونة) حتى قيم عالية لـ J ، فقد يصادف حصول انتقالات $J'' = J' - 1$ مثلما يمكن أن يكون $J'' = J' + 1$. فبالنسبة إلى $J'' = J' - 1$ تصبح الصيغة [٣٣،١٥] :

$$\nu = f + B [J(J+1) - (J'-1)J'] = f + 2BJ' = f + 2B(J'+1)$$

ومن أجل $J'' = J' - 1$:

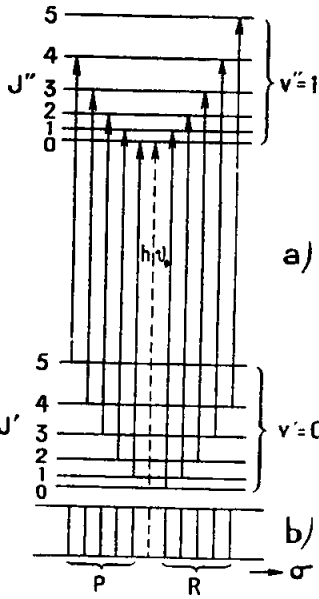
$$\nu = f + B [J'(J'+1) - (J'+1)(J'+2)] = f - 2B(J'+1)$$

وهاتان الصيغتان الاخيرتان يمكن جمعها في صيغة واحدة أي :

$$\nu = \nu_0 \pm 2Bm \quad [٣٤،١٥]$$

حيث m هو عدد صحيح ($J'+1$ أو $J''+1$) ولا يمكن أن يكون صفراً لان J' و J'' لا يمكن ان يكونا سالبين . وهذه الصيغة هي من نفس شكل الصيغة [٤،١٥] ، فالفرع P يقابل الإشارة - والفرع R الإشارة + .

إن قيمة $v_0 = f$ تعين المنطقة الطيفية التي توجد فيها عصابة الاهتزاز



الشكل ١٥ - ٢٠ . مستويات طاقة الاهتزاز والدوران لجزيء ثنائي الذرات ، ومبسطة مخطط الطيف العائد له

والدوران . وإن قيم الحد الثاني ، وهي أصغر بكثير من v_0 ، تعين بنية الدوران لهذه العصابة .

يمثل لنا الشكل ١٥ - ٢٠ المخطط المبسط

لسويات اهتزاز آخذة في التدني ، لجزيء ثنائي

الذرات وبنيتها الدورانية . ويعطينا الشكل

١٥ - ٢٠ توزيع التواترات في طيف الامتصاص

على أساس ان الانتقالات العائدة له مبينة في

الشكل ١٥ - ٢٠ عند شاقول كل خط .

ان شدة خطوط الاهتزاز والدوران تتعلق

بقية r كما يبين طيف الشكل ١٥ - ١٥ مكرر .

وان المنحنى المار من ذروات جميع الخطوط له

الهيئة التي في الشكل ١٥ - ١٤ .

(هـ) ان طيف رامان العالي التواتر ، الذي

يرينا الشكل ١٥ - ٦ مثلاً منه ، يفسر كأنه طيف امتصاص الاهتزاز والدوران

وان اهتزاز جزيء ثنائي الذرات ، بتغيير الابعاد بين الذرات ، يعدل

الاستقطابية α للجزيء (الفقرة ١١ - ٣)^(١) : فيمكن ان نكتب كما

في [١٥ ، ٢٦] :

$$\alpha = \alpha_0 + \frac{\delta \alpha}{\delta r} (r - r_0) \quad [٣٥ ، ١٥]$$

(١) في حدود التواترات الضوئية التي تستعمل لتجريب فعل رامان ، يكون استقطاب

الجزيء الكهرونيأ محضاً (الفقرة ٩ - ١١) . ولكن وفقاً لما رأينا في بداية هذه الفقرة ،

تتعلق حالة الالكترونات باحداثيات النوى .

ومنه ، من اجل اهتزاز توافقي :

$$\alpha = \alpha_0 + \alpha_1 \sin 2 \pi f t$$

اذاً فالعزم الذي يحرضه في الجزيء حقل الموجة الواردة ذات التواتر ν_i له
العبارة الآتية :

$$p = \alpha E = \alpha_0 E \sin 2 \pi \nu_i t + \alpha_1 E \sin 2 \pi \nu_i t \sin 2 \pi f t$$

فاذا كان الجزيء يدور في المستوى xoy فان المركبة p_x التي لا تحوي على
تواتر الدوران ، تتحول مع ذلك وفقاً لتواتر الاهتزاز كما يدل على ذلك الحد
الثاني من الصيغة [٣٥،١٥] الذي يمكن ان يكتب :

$$\alpha_1 \frac{E}{2} [\cos 2 (\nu_i - f) t - \cos 2 \pi (\nu_i + f) t]$$

تبين هذه العبارة ان التواتر المحض للاهتزاز f يظهر في طيف الانتثار ،
بينما يغيب في طيف الامتصاص ، مثلما شاهدنا . اما المركبتان p_x و p_y فهما
تحويران على حدود تواتر هي ضعف تواتر الدوران f_r لأسباب رأيناها في الفقرة
١٥ - ٤ ، ج : مثلاً :

$$p_y = \alpha_1 E \sin 2 \pi \nu_i t \sin 2 \pi f t + \sin 4 \pi f_r t \quad [٣٦،١٥]$$

$$= \frac{\alpha_1 E}{2} [\sin 2 \pi (\nu_i - f \pm 2 f_r) t - \sin 2 \pi (\nu_i + f \pm 2 \pi f_r) t]$$

تبين هذه الصيغة ان كل خط من خطوط رامان ذي الاهتزاز $\nu_i \pm f$ هو
محاط بخطوط اهتزاز ودوران تؤلف فرعين $\nu_i + f + 2 f_r$ و $\nu_i + f - 2 f_r$.
وهذا ما تعبر عنه الصيغة التجريبية [٣٦،١٥] وما يبينه الشكل ١٥ - ٦ .

في مقابل ما رأينا ، ان ميكانيك الكم يعطي من اجل طيف رامان للاهتزاز
والدوران قواعد الاصطفاء الآتية :



الشكل ١٥-٢١. المقارنة بين
طيفي الاهتزاز والدوران :
(a) في حالة الامتصاص
(b) في حالة الانتثار

ان مخططي الشكل ١٥ - ٢١ و b
يمكنان من المقارنة بين بنيتي اطيف الاهتزاز
والدوران في حالتي الامتصاص والانتثار .

١٥ - ٦ . تعقد اطيف الامتصاص والدوران. التوافقية . افعال

المبادلة بين الاهتزاز والدوران .

(أ) ان اطيف الاهتزاز والدوران ليست لها بنية في درجة البساطة التي تسمح
بتفسيرها فرضية الاهتزازات التوافقية . تبين التجربة مثلاً ان طيف امتصاص HCl
يجري ، علاوة عن عصابة الـ 2886 cm^{-1} عصابات أخرى في 5668 cm^{-1} و 8347 cm^{-1}
و 10923 cm^{-1} .

تفسر هذه الامور بقبول ان الاهتزازات هي غير توافقية . ويشمل هذا التعبير
على فكرتين مميزتين : ففي ثنائي الاقطاب الذي يهتز توافقياً ، تكون القوة المعيدة
متناسبة مع انتقال الذرات ، وعلاوة على ذلك ان هذه الانتقالات متناسبة مع انتقالات
الشحنات الكهربائية . فيمكن ان يكون عدم التوافق اذن ميكانيكياً في الحالة التي لا
يوجد فيها تناسب بين القوة والانتقال أو كهربائياً اذا كانت تحولات العزم الثنائي الاقطاب
غير متناسبة مع الانتقالات الذرية .

وقد رأينا في الجزء ٣ ، ٤ ، ٨ ان اللاتوافقية الميكانيكية تجر على الحركة الدورية
وجود مدروجات $2v_0$ ، $3v_0$ ، ... للتواتر الاسامي v_0 .

ومن جهة ثانية تجر اللاتوافقية الكهربائية وجود حدود من درجة اعلى من الحد
الاول في النشر [٢٦،١٥] ويؤدي ذلك ايضاً الى وجود مدروجات لـ v_0 في عبارة p .
يبرهن في نظرية الكم انه اذا اخذت لا توافقية هزاة بعين الاعتبار ، فان الصيغة
[٢٨،١٥] التي تعطي سويات الطاقة يستبدل بها الآتية :

$$W_v = hf \left(v + \frac{1}{2} \right) - x hf \left(v + \frac{1}{2} \right)^2 \quad [٣٩، ١٥]$$

حيث x هي ثابتة الاتوافقية للاهتزازة ، ويستنتج من الصيغة السابقة التباعد بين سويقي الاهتزاز :

$$W_1 - W_0 = hf (1 - 2x)$$

$$W_2 - W_0 = hf (1 - 3x) \quad \dots \text{ الخ}$$

وهكذا فلم تعد السويات متسارية الابعاد ، بل هي تتراص كلما زادت v ولا سيما اذا كانت قيمة x اكبر من ذلك (راجع الشكل ١٥ - ٢١) .

ب) لدى كتابتنا لعبارتي طاقتي الاهتزاز والدوران منفصلتين في الصيغة [٣٢، ١٥] نكون قد سلمنا بأن نوعي الحركة هذين لا يؤثران في بعضهما بعضاً . لكن لما كانت الصلة بين الذرات ليست صلدة ، ما دام الجزيء يمكن ان يهتز ، فان القوة النابذة التي يولدها الدوران تفرج بين الذرات . ويزداد عظم العطالة I مع سرعة الدوران . ثم ان الاهتزاز يولد تغيراً ثابتاً لعزم العطالة . ويمكن ان تؤخذ هذه الوقائع بعين الاعتبار لتصحيح الصيغ النظرية ، ونصل بهذه الوسيلة الى تحسين الاتفاق بين هذه الصيغ وبين نتائج التجارب (راجع الفقرة ١٥ - ٢٠) .

١٥ - ٧ . نتائج دراسة أطيف الاهتزاز الدوراني :

تقع أطيف الاهتزاز والدوران في مناطق من طيف تحت الاحمر هي الآن أسهل مناً من مناطق أطيف الدوران المحض .

وإن قياس (فاصلة) مسافة خطوط الدوران بواسطة [٣٣، ١٥] و [١٩، ١٥] يمكن من حساب عزم العطالة I والبعد r_0 للجزيء ثنائي الذرات .

وتلعب المدروجات دوراً هاماً في أطيف الامتصاص ، حيث ترى بسهولة وعند الاقتضاء بواسطة زيادة ثخن المادة التي يجتازها الضوء ، لان شدتها أضعف من شدة العصابات الاساسية التي تواترها ν_0 . وهي بالعكس قلما تظهر في أطيف

الانتثار ، حيث شدة الخطوط الاساسية هي أضعف بكثير من شدة الخط المنتثر بدون تغيير في التواتر .

يمكن قياس تواتر الاهتزاز المحض لعصابة أساسية ولمدروجاتها ، بواسطة العلاقة [١٥ ، ٣٩] من حساب ثابتة اللاتوافقية x والتواتر f للاهتزاز المفروض انه توافقي . وتعطي هذه القيمة الاخيرة بمعونة [١٥ ، ٢٥] المثل k لقوة الاعادة .

مثلاً نحسب ل HCl ابتداءً من الاعداد الموجية للعصابة الاساسية

$$2886 \text{ cm}^{-1} \text{ ومدروجها } 5668 \text{ cm}^{-1} :$$

$$\frac{xf}{c} = 52 \text{ cm}^{-1} \quad \frac{f}{c} = 2989 \text{ cm}^{-1}$$

$$k = 4\pi^2 f^2 \mu = 5.06.10^5 \text{ dynes/cm.}$$

الجدول ١٥ - ٣							
الاقدار المميزة لبعض الجزيئات الثنائية الذرات							
Cl ₂	O ₂	N ₂	H ₂	HI	HBr	HCl	الجزئي
٥٥٦	١٥٥٥	٢٣٢٩	٤١٦٠	٢٢٣٣	٢٥٥٨	٢٨٨٦	σ_0 ب cm ⁻¹
٥٦٥	١٥٧٩	٢٣٥٩	٤٤٠٥	٢٣٢٣	٢٦٥٠	٢٩٨٩	f/c ب cm ⁻¹
٣,٣٢	١١,٧	٢٢,٨	٥,٦٨	٣,١٤	٥,٠٦	٥,٠٦	$k \times 10^{-5}$ ب دينه / سم
١,٩٩	١,٢١	١,١٠	٠,٧٥	١,٦٠	١,٤١	١,٢٧	r_0 ب Å
١١٤	١٩,٢	١٣,٨	٠,٤٧	٤,٢٥	٣,٣	٢,٦١	$I_0 \times 10^{40}$ ب سم ^٢
٠	٠	٠	٠	١,٦	٣,٠	٣,٤	$p_0 \times 10^{30}$ ب C.m
٥,٠	١,٨	١,٩	٠,٨	٦,٠	٤,٠	٢,٩	$\alpha \times 10^{40}$ ب F·m ²
٢,٤٧	٥,٠٨	٩,٧٦	٤,٤٧	٣,٠٥	٣,٧٥	٤,٤٣	D_0 ب الكترون فولت

نرى أن تواتر الاهتزاز ، الذي يفرض أنه توافقي ، يبتعد كثيراً عن التواتر الاسامي .

وإن حساب تقارب مستويات الاهتزاز ، ابتداءً من اللاتوافقية الملحوظة ، يمكن من جهة ثانية من الحصول على قيمة طاقة التحلل D_0 ^(١) .

يجمع لنا الجدول ١٥ - ٣ بعض قيم ثوابت الجزيئات الثنائية الذرات ، المعينة ابتداءً من أطراف الاهتزاز والدوران .

١٥ - ٨ . — أطراف الـ لـكـنـرونية للجزيئات الثنائية الذرات :

(أ) إن طيف الامتصاص في ما فوق البنفسجي يقابل غالباً امتصاص طاقة أكبر من طاقة التحلل D للجزيء في حالته الأساسية . فلدينا مثلاً في حالة الجزيء Br_2 : $\frac{D}{hc} = 16000 \text{ cm}^{-1}$ ، أي $\lambda = 6300 \text{ \AA}$ ، في حين أننا نعرف وجود عصابات امتصاص في منطقة الأخضر . فنتيجة التفسير الذي أعطي في الفقرة ١٥ - ٥ د . كان ينبغي أن نتوقع أن يكون الطيف المبصر متصلاً . فإذا به يتألف من خطوط ، فلا يمكن إذن أن تعزى إليه الطاقة المتقدمة .

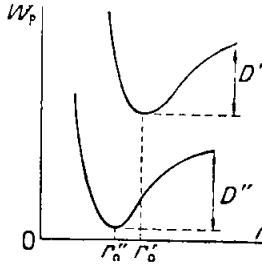
ويمكن أيضاً التساؤل لماذا لا تمتد أطراف الاهتزاز والدوران حتى القيم العائدة إلى طاقة التحلل D ؟ يعود ذلك إلى أن قواعد اصطفاء الاهتزاز لا تسمح لـ Δv إلا بقيم فيها عدد صغير من الوحدات . فإذا كان البعد بين السويتين في حدود 1000 cm^{-1} فإنه ينبغي بلوغ منطقة الضوء المرئي ذات الـ 15000 cm^{-1} ،

(١) إن الطاقة D_0 لم تحسب ابتداءً من الحد الأدنى w_p كالطاقة D على الشكل ١٥ - ١٩ ، وإنما ابتداءً من السوية $v = 0$ التي تختلف عن الحد الأدنى بقيمة الطاقة المتبقية (الفقرة ١٥ - ٥ ج) .

أن التهييجات المسلطة على نفس الجزيء تجعله يقوم بـ ٥ إلى ١٥ انتقالاً متتابعاً، وذلك بعيد الاحتمال جداً .

ب) في هذه الشروط ينبغي ان تُعزى الطيف المبصرة الى مظاهر الكترونية مختلفة ، وذلك بطريقة مشابهة لما يحدث للذرات . ولكن هذه الفروق تجر تغيرات في القوى التي تثبت الذرات في تجمعها ، وبالنتيجة في مسافات التوازن ، اي في عزوم العطالة .

نفهم من هنا انه في مختلف الحالات الالكترونية للجزيء لا يكون لسويات الاهتزاز والدوران نفس القيمة .



الشكل ١٥-٢٢ . الطاقة الكامنة لجزيء ثنائي الذرات : المنحني الأدنى : في الحالة الاساسية ، المنحني الأعلى : في الحالة المهيجة

وفي حالة جزيء ثنائي الذرات ، يمثل منحني الطاقة الكامنة في الحالة الاساسية وفي حالة الكترونية مهيجة بالمخططين الواردن في الشكل ١٥ - ٢٢ مثلاً . وقد رقت جميع الاقدار G العائدة الى الحالة العليا G' وجميع الاقدار العائدة الى الحالة الدنيا G'' .

ولما كان لدينا عدة احوال الكترونية متميزة ، فاننا لا نستطيع ان نعتبر الطاقة العائدة الى الحد الأدنى لـ W_p في كل منها ، مثلاً ، هو الحال في ١٥ - ١٥ أ . لتكن هذه القيمة في حالة معينة ، فالطاقة الكلية للجزيء هي ، في تقريب اولي :

$$W = W_e + W_v + W_r \quad [٤٠،١٥]$$

حيث ترمز W_v و W_r بالترتيب إلى طاقتي الاهتزاز والدوران العائدين الى الحالة الحاضرة للجزيء . وفي حالة التقريب التي تؤدي الى الصيغة [٣٢،١٥] يكون لدينا :

$$W = W_e + \left(v + \frac{1}{2}\right) hf + J(J+1) \frac{h^2}{8\pi^2 I}$$

يرافق الانتقال من حالة الى حالة تغير في الطاقة :

$$\Delta W = \Delta W_e + h \left[\left(v' + \frac{1}{2}\right) f' - \left(v'' + \frac{1}{2}\right) f'' \right] \quad [٤١، ١٥]$$

$$+ \frac{h^2}{8\pi^2} \left[\frac{J'(J'+1)}{I'} - \frac{J''(J''+1)}{I''} \right]$$

للحصول على الشعاات المصدرة فعلاً او الممتصة ، من بين جميع الشعاات التي تعطىها الصيغة $\nu = \frac{\Delta W}{h}$ ، ينبغي تعيين قواعد الاصطفاء .

ج (قواعد الاصطفاء للحالات الالكترونية . يجري تصنيف الحالات الالكترونية لجزيء ثنائي الذرات وفق مبادئ شبيهة بمبادئ الحالات الذرية . ولما كانت تواترات الاهتزاز هنا اصغر بكثير من تواترات حركات الالكترونات فانه يمكن ان نقبل في تقريب اولي ، ان هذه الأخيرة موضوعة في الحقل الكهربائي الثابت للنوى المستقرة . وليس لهذا الحقل التناظر الكروي كما في حالة الذرات وانما له تناظر اسطواني حول المحور الذي يصل بين نواتي الجزيء وان حالة الالكترونات في جزيء كهذا لها ، بنتيجة ذلك ، شبه بحالة الكترونات الذرات المؤلفة له ، في حقل كهربائي منتظم قوي . (الفقرة ١٤ - ١٠) والذي ينبغي اخذه بعين الاعتبار هو مركبات العزم الحركي المداري والعزم الحركي الاسبيني على منحنى المحور الجزيئي ، لانها تعود الى ثوابت الحركة في الميكانيك الكلاسيكي وهذه الثوابت هي الكممة .

يكون الحقل الكهربائي المحوري على العموم شديداً بالقدر الكافي الذي يسمح بفهم التزاوج الاسبيني - المداري للالكترونات لدى اعتبارها كلاً على حدة . وينبغي النظر افرادياً الى العزوم الحركية المدارية والعزوم الحركية الاسبينية (راجع الفقرة ١٤ - ١٦ ب) .

إن العزم الحركي المداري للالكترتون بالنسبة إلى محور الجزيء يميز بعدد كمي $\lambda = 0, 1, 2, \dots$ يقابل العدد l لالكترتون ذري (الفقرة ١٤ - ٨ ج) ويشار إلى الحالات المختلفة للالكترتون من أجل مختلف قيم λ بالأحرف اليونانية المماثلة للأحرف (s, p, d) التي ترمز إلى حالات الالكترتون الذري من أجل مختلف قيم l, m :

$$\lambda : 0 \quad 1 \quad 2 \quad 3 \quad \dots$$

$$\text{الحالة} : \sigma \quad \pi \quad \delta \quad \varphi \quad \dots$$

وبنفس الكيفية إن المركبة G' للعزم الحركي المداري الكلي G للالكترونات على المحور الجزيئي هي المكعبة ؛ ولذلك لا يمكن لها أن تأخذ سوى القيم :

$$G' = \lambda \frac{h}{2\pi} \quad [٤٢,١٥]$$

حيث يأخذ العدد الكمي λ القيم $0, 1, 2, \dots$ ويرمز للحالات الالكترونية الاجمالية العائدة لها بالأحرف اليونانية الكبيرة (مثل S, P, D, \dots بالنسبة إلى الحالات الذرية . الفقرة ١٤ - ١٣) .

$$\lambda : 0 \quad 1 \quad 2 \quad 3 \quad \dots$$

$$\text{الحالة} : \Sigma \quad \Pi \quad \Delta \quad \Phi \quad \dots$$

لكل الكترتون ، علاوة على العزم الحركي المداري ، عزم حركي اسبيني يساوي $\frac{1}{2} \frac{h}{2\pi}$ ويمثل بمتجهة \vec{s}_i ، والحاصلة \vec{S} لجميع هذه المتجهات لها طويلة S هي مضاعف صحيح وصغير لـ $\frac{h}{4\pi}$ ، لأن أكثر الكترونات الجزيء لا تسهم في S (الفقرة ١٤ - ١٦ د) .

ومثلما هو الامر في الذرات (الفقرة ١٤ - ١٣) يخلق العزم المداري للالكترونات في الجزيء حقلاً مغناطيسياً منحاه الوسطي هو منحنى محور الجزيء .
وأما العزم المغناطيسي المرتبط بالاسبين فيتقعر حول منحنى هذا الحقل المغناطيسي ولا يمكن أن يأخذ بالنسبة إلى المحور C إلا عدداً معيناً من الاتجاهات المحددة .
إن مركبات S على المحور C هي مضاعفات صحيحة لـ $\frac{h}{4\pi}$ أي : $\Sigma \frac{h}{4\pi}$ ، حيث يمكن أن تأخذ Σ ، القيم S ، $S-1$ ، \dots ، $-(S-1)$ ، $-S$. وعددها $2S+1$ ^(١) . وهذا التوجيه لا يحدث إلا إذا كان الحقل المغناطيسي الذي يسببه موجوداً ، أي إذا لم يكن Λ معدوماً . وفيما عدا هذه الحالة تميز مركبة العزم الحركي الالكترونوني في اتجاه المحور C بالعدد :

$$\Omega = \Lambda + \Sigma \quad [٤٣١٥]$$

لكل حالة من حالات الطاقة الالكترونونية المقابلة لقيمة من Λ ولقيمة من S معينة ، يمكن أن تأخذ Σ ، وبالنسبة لـ $2S+1$ قيمة : فيوجد $2S+1$ سوية تحتية للطاقة . و $2S+1$ هو تعدد الحالة المفروضة .

ومثلما رمز إلى الحالات الذرية ، يشار إلى الحالات الجزيئية بالحرف المربوط بقيمة Λ ، مسبقاً بصورة أسية بالعدد الدال على التعدد ومتبوعاً بشكل دليل سفلي بالعدد الدال على قيمة Ω . مثلاً إذا كان $\Lambda = 1$ و $S = \frac{1}{2}$ و $\Sigma = \pm \frac{1}{2}$ و $\Omega = \frac{3}{2}$ و $\frac{1}{2}$ و $2S+1 = 2$ فإن السويتين التحتيتين يكون رمزا هما : $\Pi_{3/2}$ و $\Pi_{1/2}$.

وإذا كان $\Lambda = 0$ ، فإن مركبة S في استقامة المحور الجزيئي ليست

(١) ينبغي تجنب المزج بين الرمز Σ المعين هنا وبين الرمز الذي يمثل الحالات التي

يكون فيها $\Lambda = 0$.

مكممة ، كما سبق القول ، ولكن يبين مع ذلك التعدد $2S + 1$ لتلك الحالة Σ المذكورة .

إن قواعد الاصطفاء التي تحكم الانتقالات بين السويات الالكترونية للجزيئات الثنائية الذرة هي الآتية :

$$\Delta \Lambda = 0, \pm 1 \quad [٤٤,١٥]$$

وهذه القاعدة تذكر بقاعدة الانتقالات بين السويات الالكترونية لذرة موضوعة في حقل كهربائي أو مغناطيسي (الفقرة ١٤-١١) .
ثم إن لدينا :

$$\Delta \Sigma = 0 \quad [٤٥,١٥]$$

أو ، وفقاً لـ [٤٣,١٥] :

$$\Delta \Omega = 0, \pm 1 \quad [٤٦,١٥]$$

إن أغلب الجزيئات الثنائية الذرات تحتوي على عدد زوجي من الالكترونات و $\Lambda = 0$ ، وعلاوة على ذلك - وهذا أمر كثير الوقوع - إذا كانت جميع الاسبينات متوازية، $S = 0$. فالحالة الاساسية لأغلب الجزيئات الثنائية الذرات هي إذن Σ^+ .

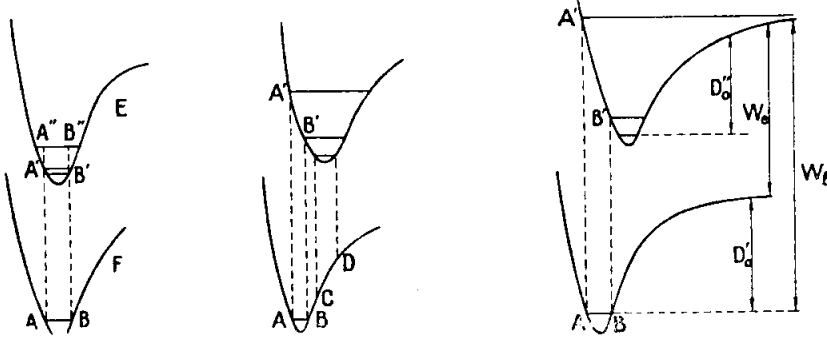
ان جملة عصابات مادة CN الممثلة على الشكل ١٥-٧ هي ناجمة عن انتقال بين حالتين $(\Delta \Lambda = 0)$.

د) قواعد الاصطفاء لحالات الاهتزاز . ان عصابات جملة من العصابات ليست مغطاة بقاعدة اصطفاء هي في بساطة الاطيفات تحت الحمراء $\Delta v = \pm 1$.
ثم ان هذه القواعد تتغير كثيراً من جزيء الى آخر .

ان تفسير هذه الامور المعقدة قد بني على فرضية اعتمدها فرانك وكوندن

Franck et Condon . فلنسلم بأن الانتقال الإلكتروني الذي يرافق إصدار كم أو امتصاصه ، يحدث في زمن قصير الى حد ان الذرات - التي هي اشد عطالة منه - تحافظ على مواقعها وسرعاتها : ان المسافات بين النوى وان الطاقة الحركية للاهتزاز تظل على حالها فوراً قبل الانتقال وبعده .

فلنفكر في امتصاص جزيء ثنائي الذرات . ان الأمر الاسامي هو ان نلاحظ انه في درجة الحرارة العادية يكون اغلب الجزيئات في اخفض مستوى للاهتزاز AB ($v'' = 0$) من الحالة الإلكترونية الأساسية F (الشكل ١٥ - ٢٣)

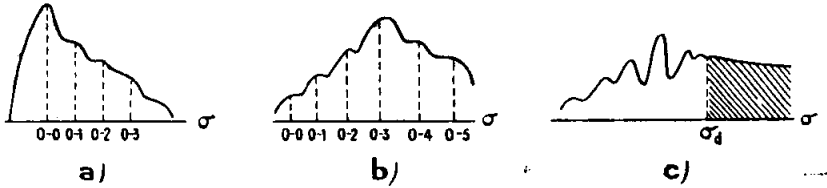


الشكل ١٥ - ٢٣ . الانتقالات الإلكترونية في الجزيئات الثنائية الذرات

وان سرعة الاهتزاز بسبب انعدامها في A و B فان الاحتمال الاكبر للعثور على الذرات هو في جوار القيم العظمى والصغرى التي يمكن ان تأخذها r .

فاذا كان بعد التوازن للذرات هو على حاله تقريباً في الحالة الإلكترونية المهيجة E وفي الحالة الأساسية (الشكل ١٥ - ٢٣) ، فان الشروط الناجمة عن فرضية فرانك وكوندن محققة من اجل انتقال يؤدي الى سوية اهتزاز منخفضة جداً للحالة E ، يحصل عليها بالتقاطع A' او B' للخطوط الرأسية الذاهبة من A و B مع المنحني E ، وان الوصول الى سوية اهتزاز عليا مثل $A''B''$ يؤدي بالجزيء الى ان تكون له طاقة اهتزازية حركية مهمة . (تقاس بـ $A'A''$ او

، راجع الشكل ١٥ - ١٩) بينما تكون هذه الطاقة ضعيفة في الحالة F ؛ فانتقال مثل هذا هو اذن قليل الاحتمال جداً . يكون لطيف الامتصاص الهيئة التي يبينها لنا الشكل المبسط الوارد في ١٥ - ٢٤ ، فالعصابة المقابلة للانتقال



الشكل ١٥-٢٤. البنية المبسطة لاطيف المقابلة لمختلف حالات الشكل ١٥-١٨

حيث $v''=0 \rightarrow v'=0$ هي الأقوى والتي تليها $v'=1$ أو 2 أو 3... لها شدة تناقص بالتدريج . وان صورة الشكل ١٥ - ٢٥ في اللوحة ٨ ، العائدة الى طيف امتصاص جزيء اكسيد الفحم CO تعطينا مثلاً عن هذه الحالة .

إذا كان البعد r_0 أكبر في الحالة الالكترونية المهيجة (الشكل ١٥-٢٣) فاننا نرى ان السويتين A' و B' للحالة العليا والذين يكون احتمال الانتقال فيها هو الأكبر ، لهما عددان v أعلى منها في الحالة الاولى . فالعصابة الأكثر شدة ليست العصابة $0 \rightarrow 0$ وان طيف الامتصاص يشبه طيف الشكل ١٥-٢٤ .

في الحالة الممثلة على الشكل ١٥ - ٢٣ ، يؤدي الانتقال الباديء من B الى سوية اهتزازية B' للحالة الالكترونية المهيجة ، ولكن الذي يبدأ من A يؤدي الى سوية A' أعلى من طاقة التحلل D'' : وعندئذ فان طاقة الذرات لا تكون مكتملة . يتألف الطيف في هذه الحالة من جملة عصابات ، اقواها تقابل الانتقال BB' ، ومن طيف متصل له نهاية عظمى للشدة في جوار التواتر σ_d المرافق للانتقال AA' (الشكل ١٥ - ٢٤) .

ففي الايود I_2 مثلاً يمثل طيف الامتصاص بصورة الشكل ١٥ - ١٠ وبنية المبسطة بالشكل ١٥ - ٢٤ .

فاذا عرفنا التواتر الحدي ν لطيف العصاب امكننا ان نحسب طاقة التحلل D' . والذرات التي تنتج من تحلل الجزيء في الحالة الالكترونية المبهجة E هي نفسها في حالة ليست بمجالها الاساسية . ان طاقة تهيج الذرات على الشكل هي W_e ، فاذا عرفت الحالة التي توجد فيها هذه الذرات بالتحلل وسوياتها الطاقية ، امكن حساب W_e . والطاقة $W_l = h\nu_l$ العائدة الى نهاية طيف العصاب ممثلة على نفس الشكل ، فيرى ان :

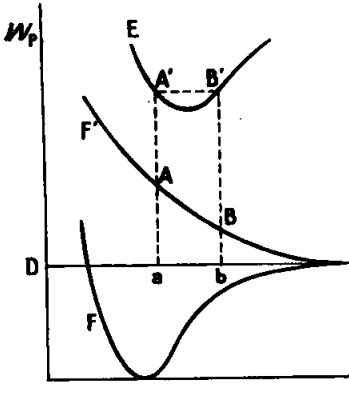
$$D'_0 = W_l - W_e \quad [٤٧،١٥]$$

ففي حالة الايود مثلاً يكون $\lambda_l = 4990 \text{ \AA}$ ، ومنه $W_l = 2,472 \text{ eV}$ ، فيتحلل الجزيء ويعطي ذرة في الحالة الاساسية $^3P_{3/2}$ والذرة الأخرى في الحالة المبهجة $^2P_{1/2}$ ، وطاقتها التهيجية هي $W_e = 0,937 \text{ eV}$. ومنه $D'_0 = 2,472 - 0,937 = 1,535 \text{ eV}$ اي $35\,300 \text{ kcal/kmole}$. وان تعيين D'_0 بالطريقة الكيماوية يعطي $34\,500 \text{ kcal/kmole}$.

٥) ان قواعد الاصطفاء العائدة الى الانتقالات الالكترونية في الطيوف الاصدارية الالكترونية هي نفس القواعد في الامتصاص . وان قواعد الاصطفاء المتعلقة بالاهتزازات يمكن ان تكون مختلفة في الامتصاص والاصدار نتيجة شرط فرانك وكوندن . وان توزيع الجزيئات بين مختلف سويات الاهتزاز للحالة الالكترونية المبهجة هو في الواقع تابع للشروط التجريبية . فلنحسب مثلاً في حالة الشكل ١٥ - ٢٥ . اذا كانت الجزيئات المتهيجة هي بصورة رئيسية في حالة الاهتزاز الاسامي $v' = 0$ ، وذلك ما يحدث اذا كان التهيج ضعيفاً والضغط قوياً ، بحيث ان تبادلات الطاقة الاهتزازية تكون عديدة ، فان اهم الانتقالات تعيد الجزيء الى السوية المارة بـ C او بـ D على الشكل ١٥ - ٢٣ ، العائد الى قيمة عالية لـ Δv . اما اذا كان التهيج على العكس ناجماً عن امتصاص الاشعاع والضغط ضعيف ، فان الرجوع يمكن ان يحدث ابتداءً من سويات

اهتزاز اعلى ، يبلغها لدى الامتصاص وتكون قواعد الاصطفاء مختلفة عنها في الحالة السابقة (راجع الفقرة ١٥ - ٩) .

لطيف الاصدار المتصل لجزيء الهيدروجين (الفقرة ١٥ - ١) المنشأ الآتي : ان



الشكل ١٥-٢٦. منشأ الطيف المتصل للجزيء H_2

الحالة المهيجة E (الشكل ١٥ - ٢٦) هي حالة Σ^3 تعددها يساوي ٣ ، حيث الكترونا الجزيء H_2 لهما اسبينان متوازيان فيما بينهما . وهناك حالة اساسية F' رمزها Σ^3 فيها اسبينات الالكترونين متوازيان ايضا ولكنها غير مستقرين ، لأن تشكل الجزيء H_2 مرتبط بكون اسبيني الالكترونين متعاكسين (انظر الجزء ٨) والحالة الاساسية المستقرة F هي Σ^1 .

ويحصل الرجوع الى الحالة E ابتداء من السوية $A'B'$ مثلا ، نحو الحالة F' ، في A او في B . ولكن الجزيء يتحلل فوراً وتأخذ الذرات طاقة حركية تقاس بالبعد

Aa او Bb الذي يفصل ترتيب نقطة وصول المحاور المقارب D الى المنحني F . هذه الطاقة ليست مكتملة بحيث ان الطيف يكون متصلاً .

(قواعد الاصطفاء لحالات الدوران . ان البنية الدورانية للعصائب الالكترونية (الفقرة ١٥ - ٢٢) هي اشد تعقداً من بنية عصائب الاهتزاز الدوراني (الفقرة ١٥ - ٢ ج) ويعود ذلك اصلاً الى ان الحالة الالكترونية للجزيء لما كانت لا تتغير في هذه الحالة الاخيرة ، فان عزم العطالة المتوسط يظل على ما هو عليه في الحالتين اللتين يحصل بينهما الانتقال ، بينما انه في الحالة الاولى يمكن ان يكون العزم مختلفاً اختلافاً بينياً . فلنفرض في الصيغة [٤١ ، ١٥] :

$$\Delta W_e + h \left[\left(v' + \frac{1}{2} \right) f' - \left(v'' + \frac{1}{2} \right) f'' \right] = h\nu_0$$

فتعطينا علاقة بور :

$$\nu = \nu_0 + B'J' (J' + 1) - B''J'' (J'' + 1) \quad [٤٨،١٥]$$

وهذه الصيغة هي اقل بساطة من الصيغة [٣٣،١٥] العائدة الى طيوف الاهتزاز والدوران . ولتقبل بأن قواعد الاصطفاء العائدة الى J هي هنا ايضاً :

$$J'' - J' = \pm 1 \quad [١٨،١٥]$$

فمن اجل $J'' = J' + 1$ تعطي الصيغة [٤٨،١٥] :

$$\begin{aligned} \nu &= \nu_0 + [B'J' - B''(J' + 2)] (J' + 1) = \\ &= \nu_0 + (B' - B'') J' - 2 B'' (J' + 1) \end{aligned}$$

ومن اجل $J'' = J' - 1$

$$\begin{aligned} \nu &= \nu_0 + [B' (J'' + 2) - B''J''] (J'' + 1) = \\ &= \nu_0 + [(B' - B'') J'' - 2 B'] (J'' + 1) \end{aligned}$$

وهاتان الحالتان يمكن ان تلخصا في صيغة واحدة :

$$\nu = \nu_0 \pm 2 Bn + Cn^2 \quad [٤٩،١٥]$$

بافتراض $2B = B' + B''$ و $C = B' - B''$ ، والعدد الصحيح n ، الذي يساوي اما $J' + 1$ او $J'' + 1$ يمكن ان يأخذ جميع القيم الموجبة ما عدا الصفر . وهكذا نلاقي صيغة ديبلاندر [٧،١٥] التي هي كما رأينا ، تمثل تماماً البنية الدورانية لعصائب ال CN ، وكذلك غيره من الجزيئات الثنائية الذرة . وهذا يبرر قواعد الاصطفاء [١٨ ، ١٥] . على أنه من أجل بعض الجزيئات لا تكفي الصيغة [٤٩ ، ١٥] لتمثيل كل خطوط العصابة ، بل ينبغي ان يضاف الى قواعد الاصطفاء $J'' - J' = \pm 1$ القاعدة الاضافية الآتية :

$$J'' - J' = 0$$

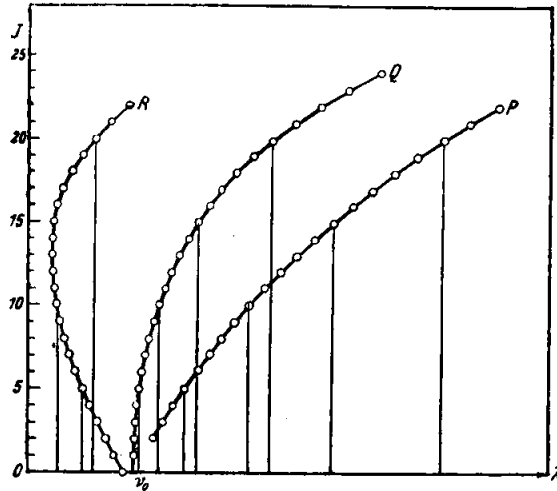
فتصبح الصيغة [٤٨،١٥] :

$$\nu = \nu_0 + (B' - B'') J' (J' + 1)$$

أي :

$$\nu = \nu_0 + Cn + Cn^2 \quad [٥٠،١٥]$$

بأن نكتب $n = J' = J''$ ونعطي للثابتة C نفس الدلالة التي لها في [٤٩،١٥] . فالمعادلة [٥٠،١٥] تمثل نقطاً من قطع مكافئ متميز عن [٤٩،١٥] وهو الفرع Q (الشكل ١٥ - ٢٧) .

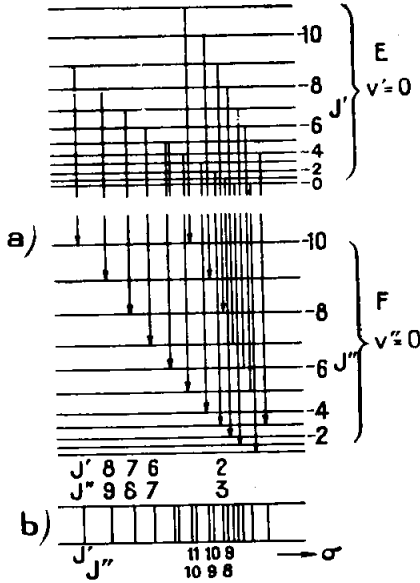


الشكل ١٥ - ٢٧ . قطوع فورترا المكافئة ، لعصابة الكترونية في جزئي ثنائي الذرات ، والطيف العائد لها .

وقد تبين ان الفرق بين قواعد الاصطفاء من اجل J مرتبط بقواعد الاصطفاء [٤٩،١٥] العائدة الى العدد الالكتروني Λ فاذا كان $\Delta\Lambda = 0$ فان الفرع Q يكون دوماً ضعيفاً ولو كان هنالك انتقال بين الحالتين الالكترونييتين Σ فان

شدته معدومة : وذلك حال الجزيء CN والجزيئات المماثلة له . واذا كان $\Delta J = \pm 1$ فان الفروع P ، Q ، R تبدو بشدات متقاربة .

يبين الشكل ١٥ - ٢٨ بصورة مبسطة سويات الدوران لسوية الاهتزاز



الشكل ١٥ - ٢٨ . سويات الطاقة لحالتين
الكثرونيتين لجزيء ثنائي الذرة ، ومبسطة
الطيف العائد الى ذلك

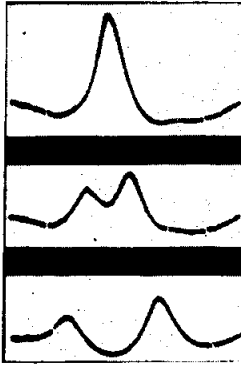
الاساسية $v'' = 0$ للحالة الالكترونية
الاساسية ولسوية الاهتزاز $v' = 0$ للحالة
الالكترونية المهيجة . وقد مثلت
الانتقالات التي تعطي بنية الدوران
لعصابة اصدار مثل 3883 \AA لـ CN.
وان مقارنة هذا الشكل بالشكل
١٥ - ٢٢ تبين كيف ان الفرق في
الفاصلة بين سويتي الدوران J' و J''
في الحالتين الالكترونيتين يجر توزعاً
لخطوط الدوران مختلفاً في عصابة
الكثرونية عنه في عصابة اهتزاز
دوراني . وقد قبل بأن $\Delta J = \pm 1$
والخطوط الممثلة على ١٥ - ٢٨ b
تعود الى جملة الفرعين P و R . وقد
افترض ان بُعد توازن الذرات في
الحالة المهيجة هو اكبر منه في الحالة الاساسية ، بحيث ان $B' < B''$ وان رأس
العصابة يقع في ناحية التواترات العالية .

١٥ - ٩ . الانتقالات الالكترونية الضعيفة الطاقه .

يوجد للجزيئات ، كما يوجد للذرات ، انتقالات الكترونية بين سويات ذرات

طاقات متقاربة جداً .

أ) يحدث فعل زيمان وفعل شتارك في الأطياف الجزيئية ، مثلما يحدثان في الأطياف الذرية (الفقرة ١٤ - ١١) ويمكن في الواقع ان يوجد عدة توجيهات للعزم الحركي الجزيئي بالنسبة الى منحى الحقل المغناطيسي او الكهربائي ويقابلها طاقات حركية مختلفة .



الشكل ١٥ - ٢٨ مكرر
فعل شتارك لخط دوراني
للجزيء OCS

ان الانتقالات بين السويات ، التي حالتها الحقول هكذا ، تولد في النطاق فوق المهرتزي اطياف امتصاص بالتجاوب المغناطيسي او الكهربائي مثلما رأينا في الفقرة ١٤ - ١٦ ج فيما يتعلق بالذرات ، وان الشكل ١٥ - ٢٨ مكرر يبين فعل شتارك لخط دوراني للجزيء OCS .

خلافًا لما يجري في الأطياف الذرية ، ان فعل شتارك يلعب في دراسة الأطياف الجزيئية دوراً أهم من فعل زيمان .

ب) هنالك انتقال ذو طبيعة خاصة وهو انتقال النشادر NH_3 الذي يولد خط امتصاص طول موجته ١٩٢٥ وسيدرس في الجزء ٨ .

١٥ - ١٠ . — أطياف الجزيئات المتعددة الذرات .

ان اطياف الجزيئات التي تحوي على أكثر من ذرتين ، هي في الجملة ، أكثر تعقيداً من اطياف الجزيئات الثنائية الذرات (التي درسناها وحدها في الفقرات السابقة) لأن حركات الدوران والاهتزاز ، وكذلك الحالات الالكترونية هي أكثر عدداً . ومع ذلك فبالأمكان هنا ايضاً ، ان يميز اطياف الدوران المحض ، والدوران والاهتزاز ، والاطياف الالكترونية .

أ) **أطياف الدوران** . من المعلوم ان الجسم الجامد (١ ، ١١ - ٨) الذي لا يقبل التشويه ، هو مميز من وجهة نظر حركاته الدورانية بثلاثة محاور رئيسية للعطالة عائدة الى مركز ثقله ، ويكون عزم العطالة اعظماً بالنسبة الى احد هذه المحاور وأصغرياً بالنسبة الى محور آخر .

ولا يمكن الا للجزيئات القطبية ان يكون لها طيف دوران محض في الامتصاص . ووفقاً للتناظر الذي ينتج من بنيتها ، يمكن تمييز الحالات الآتية بين الجزيئات .

١ - **الجزيئات الخطية** (وتكون الجزيئات الثنائية الذرات حالة خاصة منها) لها عزم عطالة رئيسيان معدومان . وذلك مثال CO_2 و HCN و NNO ... وأولى هذه الجزيئات لما كانت متمركزة ، فانه لا يمكن ان يكون لها طيف دوران تحت الأحمر . ان سويات طاقة الدوران للجزيئات الخطية لها نفس العبارة [١٦ ، ١٥] التي للجزيئات الثنائية الذرات ، وكذلك ان قواعد الاصطفاء هي نفسها ، في الامتصاص كما في الانتثار ، لكن قياس فاصلة الخطوط الدورانية لا يكفي لتحديد مسافات الذرات لأن عبارة عزم العطالة $I = \sum m_i r_i^2$ ليست هنا بالبساطة التي هي عليها في حالة الجزيء الثنائي الذرات (الفقرة ١٥ - ٥٤) .

٢ - ان الجزيئات ذوات التناظر العالي جداً مثل CH_4 ، CCl_4 ، SF_6 ، تكون عزوم عطالتها الرئيسية الثلاثة متساوية . وان اهليلج العطالة الجسم العائد لها (١ ، ١١ - ٨) يصبح كرة . فهي اذاً مدورات كروية . وهي بسبب التناظر لا يمكن ان يكون لها عزم ثنائي الأقطاب ، ولا بنتيجة ذلك طيف تحت الاحمر دوراني ، ولكن لها طيف رامان .

٣ - الجزيئات التي لها محور تناظر رتبته اعلى من ٢ ، ولكنها ليست

خطية ، لها عزمًا عطالة رئيسيان متساويان . وان اهليج عطالتها المجسم دوراني وتسمى المدورات المتناظرة مثال ذلك NH_3 و CH_3Cl و POCl_3 ، C_2H_6 ، C_6H_6 .

يستبدل بالعبارة [١٤ ، ١٥] لطاقة الدوران العبارة الاتية :

$$W_r = \frac{1}{2} \left(\frac{G_x^2}{I_x} + \frac{G_y^2}{I_y} + \frac{G_z^2}{I_z} \right) \quad [٥١ ، ١٥]$$

حيث ترمز X ، Y و Z الى المحاور الاساسية للعطالة ، واذا اخذنا بعين الاعتبار ان :

$$G^2 = G_x^2 + G_y^2 + G_z^2 \quad \text{وان} \quad I_x = I_y$$

$$2 W_r = \frac{G^2}{I_x} + G_z^2 \left(\frac{1}{I_z} - \frac{1}{I_x} \right) \quad \text{يكون لدينا} :$$

ومثلا رأينا من اجل التكميم في الفراغ (الفقرة ١٤ - ١٠) ومن اجل الطيف الالكتروني للجزيئات الثنائية الذرات (الفقرة ١٥ - ٨ ج) ، فان G لا ينبغي ان يكتم وحده فحسب بل G_z ايضاً . فيكون :

$$G_z = \frac{h}{2\pi} K \quad G^2 = \frac{h^2}{2\pi^2} (J+1) J$$

وقواعد الاصطفاء هي $\Delta J = \pm 1$ ، $\Delta K = 0$.

وهذه القاعدة الاخيرة تفيد بأن العزم الثنائي الاقطاب الدائم لدور متناظر هو موجه وفقاً للمحور الاصلي OZ . لذلك ففاصلة الخطوط تخضع أيضاً الى نفس الصيغة التي تخضع لها الجزيئات الخطية .

٤ - ان الجزيئات التي تكون عزوم عطالتها الرئيسية الثلاثة غير متساوية ، تشمل في الوقت نفسه الجزيئات الحاوية على ذرات عديدة وغيرها بما له صيغة بسيطة مثل H_2O . ولا يمكن ان تعطى سويات الطاقة العائدة لها بأية صيغة بسيطة وان اطيفافها الدورانية معقدة جداً .

ب) اطيفاف الاهتزاز والدوران . اتنا حتى ولو قبلنا بان الذرات

(وعددها N) التي في الجزيء هي مرتبطة باوضاعها التوازنية بواسطة قوى إعادة شبه مرنة ، مثلاً في الفقرة ١٥ - ٥ ، فان الاهتزازات التي يمكن ان تقوم بها ليست بسيطة ، لأنها تؤلف جملة اهتزازات يمكن ان ينظر اليها كأنها ناجمة عن تراكب $3N - 6$ اهتزازات أساسية^(١) تكون فيها الذرات قائمة باهتزازات جيبية ، لها نفس التواتر ، تابعة للقوى المؤثرة بين الذرات . فإذا عرفت القوى ، صار بالإمكان حساب تواترات الاهتزازات الأساسية والعلاقات بين تنقلات الذرات ، أي كل من هذه الاهتزازات .

ثم انه ، من الوجهة العملية سرعان ما يصير هذا الحساب عسيراً متى ازداد N وتجاوز بضع وحدات . ولكن المسألة عادة هي عكس الأولى : ان دراسة الأطياف : تحت الأحمر ورامان تعطي تواترات الاهتزازات الأساسية ، ويسعى في تعيين القوى المؤثرة بين الجزيئات . ان المسألة في الحالة العامة غير قابلة للحل ، لأن الجاهيل - وهي ثوابت إعادة القوى التوافقية - تكون دوماً أكثر عدداً من المعطيات التجريبية التي تبلغ $3N - 6$. ويمكن تقليص عدد الجاهيل باهمال الافعال المتبادلة لبعض الذرات . وثمة عملية تقريب تبين كفايتها في أكثر الاحيان ، وهي المسماة بعملية قوى التكافؤ وتقوم على الاقتصار في اعتبار القوى بين الذرات فقط ، تلك الذرات التي تمثلها صيغة الجزيء مرتبطة كجانباً .

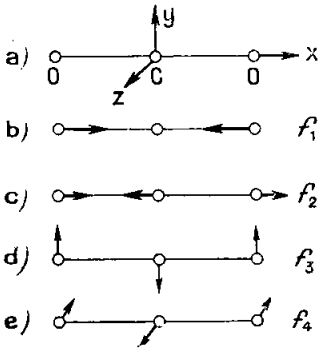
مثلاً : في جزيء كلور الفورميل $\text{H} > \text{C} = \text{O}$ ، لا يؤخذ بعين الاعتبار سوى افعال ذرة الكربون في كل من الذرات H و O و Cl . وان انتقال احدى

(١) هذا العدد ناجم عن انه من اجل تعداد الاهتزازات التي هي حركات دائمة داخل الجزيئات ، ينبغي ان يطرح من درجات حرية الذرات $3N$ ست حركات اجمالية : ٣ انزلاقات و ٣ دورانات ، لأن الدوران حول المحور الجزيئي لما كان لا ينقل الذرات ، فهو لا يمكن ان يعتبر درجة حرية . فعدد الاهتزازات هو حينئذ يساوي $3N - 5$. ومن المعروف في الواقع ان الجزيء الثنائي الذرات له اهتزاز اساسي واحد .

الذرات كـ H مثلاً يسبب على العموم تغير البعد CH وزوايا الصلات $\widehat{\text{HCO}}$ $\widehat{\text{HCCl}}$. فهناك ثلاثة ابعاد وثلاث زوايا يمكن ان تتغير ، فتسبب ادخال ست ثوابت قوة عددها هنا يساوي عدد الاهتزازات الاساسية .

ج) ان مشكلة تعيين الاهتزازات الأساسية سهلة دوماً وتكون في الغالب قابلة للحل اذ كان للجزيء عناصر تناظر . وسبب ذلك هو ان الطاقة الكامنة للاهتزازات لما كانت معينة بواسطة بنية الجزيء ، فانها بالطبع لا تتغير عندما تخضع بنية الجزيء الى عمليات التناظر . ان الطاقة الكامنة تابع من الدرجة الثانية للانتقالات $(r - r_0)$ يعمم الصيغة [٢٣، ١٥] . فيصبح عندئذ بالامكان ، في بعض الاحيان التنبؤ بدون حساب بشكل الاهتزازات الاساسية . وسنكتفي بمثال واحد .

فلننظر الى جزيء بلاماء الكربون CO_2 . ان عدم وجود عزم ثنائي الاقطاب



الشكل ١٥ - ٢٩ . كيفية الاهتزازات الاساسية لجزيء CO_2

يدل على ان الذرات الثلاث ينبغي ان تنتظم على صف واحد وان تكون ذرتا الاكسجين واقعتين على بعدين متساويين من ذرة الكربون . وللجزيء محور دوران ومركز تناظر منطبق على C (الشكل ١٥ - ٢٩ a) . لذلك فان قوى الاعداء CO هي اذن نفسها من اجل الذرتين . فاذا تنقلت احدى ذرتي الاكسجين O_I وفقاً لمنحى الارتباط CO ، فالذرة الأخرى O_{II} تنتقل بنفس المطال في كل لحظة بحيث تبقى الطاقة الكامنة على حالها . ولما كانت هذه على الشكل الآتي :

$$k(x_1 - x_0)^2 + k(x_2 - x_0)^2$$

فترى انه يمكن ان يكون $x_2 - x_0 = x_1 - x_0$ او $x_2 - x_0 = -(x_1 - x_0)$.

وفي الحالة الثانية (الشكل ٢٥ - ٢٩ b) يبقى مركز ثقل الذرتين O دوماً على انطباق مع الذرة C . وهذه بدورها لا تنتقل ، بحيث ان مركز ثقل الجزيء يظل ساكناً ما دامت القوى الداخلية هي وحدها التي تعمل (١٣-٩٤) . ان الشرط $x_2 - x_0 = x_1 - x_0$ يقودنا الى اهتزاز اسامي ثان . وهذه المرة ينتقل مركز عطالة الذرات O وتنتقل الذرة C في الاتجاه المعاكس ، بطل هو بحيث انه في كل لحظة يظل مركز ثقل الجزيء ثابتاً (الشكل ١٥ - ٢٩ ج) فاذا انتقلت احدى ذرات الاكسجين عمودياً على محور الجزيء ، مثلاً على استقامة محور العينات y ، فان الذرة الاخرى تنتقل موازية لها (ان الانتقال في الجهة المعاكسة يجعل الجزيء يدور حول C بدلاً من ان يهتز) تنتقل الذرة ايضاً عمودياً على المحور وفي جهة معاكسة للذرات O بحيث يبقى مركز الثقل ثابتاً (الشكل ١٥ - ٢٩ d) ، فلو اننا اعطينا الى الذرة O_1 الانتقال الثالث المستقل عن الانتقالين السابقين ، في استقامة Oz ، حصلنا على اهتزاز رئيسي (الشكل ١٥ - ٢٩ هـ) وهو لا يختلف عن اهتزاز الشكل ٢٥ - ٢٩ d ، الا بتوجيهه .

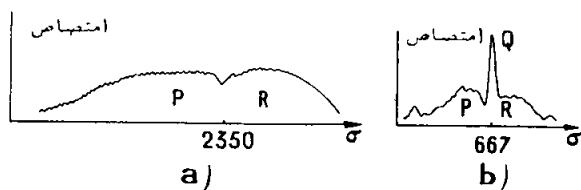
وهكذا حصلنا على نظام $3N - 5 = 9 - 5 = 4$ ، اربع اهتزازات اساسية . ان شروط التناظر تحتم في هذه الحالة ان يكون التواتران الخاصان f_3 و f_4 متساويين : فهناك انحلال (٣ ، ٥ - ٥) . ان الاهتزازات f_1 و f_2 و f_3 (او f_4) تمايز بالنسبة الى عناصر تناظر الجزيء . والاهتزاز f_1 خاصة ، يحافظ على تناظر الجزيء في حالة السكون .

د) عندما يكون للجزيء عناصر تناظر ، يحدث غالباً ان الاهتزازات الاساسية لا تعطي كلها طيف امتصاص او انتشار . ذلك لأنه ينبغي ، وفقاً ل [٢٦ ، ١٥] و [٣٥ ، ١٥] ان يغير الاهتزاز العزم الثنائي الاقطاب الكهربائي p_1 حتى تتولد عصابة امتصاص ، وان يغير الاستقطابية α_1 لكي يولد خط انتشار . يفيدنا جزيء CO_2 ايضاً كمثال . ان الاهتزاز الاسامي f_1 يحفظ مركز

تناظر الجزيء ، وبالنتيجة لا يولد أو ينمي أي عزم ثنائي الأقطاب ، وهو لا يظهر في طيف ما نحت الأحمر ، وليس الأمر كذلك فيما يتعلق بالاهتزازات f_2 و f_3 و f_4 . بل اننا نجد في الواقع عاصبتين أساسيتين في 2363 cm^{-1} و $(\lambda = 4,25 \mu)$ 668 cm^{-1} و $(\lambda = 15 \mu)$.

اما الاهتزازان f_2 و f_3 ، فهما على العكس من ذلك ، لا يحدثان تغيرات في الاستقطابية . ويمكن البرهان على ذلك ، لكن يمكن بطريقة أبسط من هذا ، ان نرى ، بالرجوع الى اعتبارات الفقرة ١١ - ٣ : ان الاستقطابية تتعلق بالابعد المتبادلة للذرات . الا انه في الاهتزاز f_2 لا يتغير بعد الذرات O ، و اذا نقص البعد O_1C فان O_{11}C يزداد بنفس المقدار ، أما في الاهتزاز f_3 ، فان الابعاد بين الذرات لا تتغير الا بكمية من المرتبة الثانية اذا كانت السعة صغيرة . وفي الاهتزاز f_1 ، الأمر على عكس ذلك ، اذ تتغير الابعاد بين الذرات دوماً ، مولدة تغيرات في الاستقطابية . وان طيف الانتثار مجوي في الواقع على عصابة واحدة عند 1340 cm^{-1} .

والأهم من ذلك هو انه يمكن تمييز عاصبتي الامتصاص f_2 و f_3 عن بعضها بواسطة بنيتها الدورانية . ففي الاولى يكون عزم ثنائي الأقطاب المهتز موازياً لمحور الجزيء وتكون بنية العصابة كما هو مبين على الشكل ١٥ - ١٠ ، فلا



الشكل ١٥ - ٣٠ . عاصبتان للاهتزاز الدوراني لـ CO_2 (a) العزم الثنائي الاقطاب الموازي للمحور . (b) العزم الثنائي الاقطاب العمود على المحور

تظهر الا التواترات $\nu_r \pm \nu_v$ للسبب الذي رأيناه في الفقرة ١٥ - ٥ ب . وفي

الاهتزاز f_3 يكون العزم الثنائي الاقطاب الذي يولده الاهتزاز ، عمودياً على محور الجزيء ، فيمكن اذن ان يصادف وجوده موازياً لمحور الدوران ، وفي هذه الحالة لا يكون العزم متصفاً بالدوران ، بحيث ان تواتر الاهتزاز المحض ν ينبغي ان يظهر في الطيف .

وفي الواقع ، ان طيف مانتحت الاحمر لـ CO_2 ، اذا فحص بجهاز له قدرة فصل ضعيفة ، تكون هيئته كما يمثل لنا الشكل ١٥ - ٣٠ b ، وفيما عدا الفرعين P و R ، ان عصابة الـ 667 cm^{-1} لها خط تواتره ν وتسمى الفرع Q .

اضف الى ذلك ان شعاعات طيف رامان ، هي كالأضوء المنتثر بدون تغيير في التواتر (١١ - ٢) ، مستقطبة جزئياً ، وان قياس عامل زوال الاستقطاب m فيها يمكن ان يعطينا ايضاحات عن طبيعة التشويشات الطارئة على الجزيء اثناء الاهتزاز الذي يولد الخط الطيفي المقابل . ان خطوط الشكل ١٥ - ٣ تتميز بعامل زوال الاستقطاب التابع لها .

تكفي الامثلة المتقدمة لأفهامنا ان تحليل اطياف اهتزاز الجزيئات المتعددة الذرات ، يعطي معلومات هامة عن تناظرها .

وان لا توافقية الاهتزاز موجودة في الجزيئات المتعددة الذرات كما هي موجودة في الجزيئات الثنائية الذرات (الفقرة ١ - ٦) ، وبصورة خاصة ، يوجد مدروجات لعصائب اهتزاز الماء في القسم الاحمر من الطيف ، وهي المسببة للون الازرق الذي يظهره الماء اذا كان بعمق كاف .

٥) الاطياف الالكترونية . ان الدراسة التجريبية لاطياف الاصدار للجزيئات المتعددة الذرة غدت صعبة لأن طرائق التهييج تكاد تحلل الجزيء ، وهذا التحلل يمكن ان يحدث بأشكال شتى . ومع ذلك ، فان طرائق التهييج الكهربائية (الفقرة ١٣ - ٢) هي صالحة للتطبيق احياناً . اذا مزجنا في انبوب

تفريغ عالي التواتر أعداداً متساوية تقريباً من جزيئات الهليوم ومن مادة عضوية ، توصلنا الى تهييج طيف الاصدار في هذه المادة الاخيرة بدون ان يصيبها تحليل .

وهناك معطيات كثيرة تعطيها اطيف الامتصاص والفلورة .

اذا كان للجزيء عناصر تناظر ، فبالأمكان الحصول على قواعد اصطفاء من نوع تلك التي اعطانا مثلاً عنها درس الجزيء الثنائي الذرات (الفقرة ١٥ - ٨) ولكن الامكانات هي اكثر بكثير .

ان البنية الاهتزازية لهذه الأطيف هي كذلك اكثر تعقيداً من بنية اطيف الجزيئات الثنائية الذرات ، لأنه في هذه الاخيرة لا يغير الاهتزاز الوحيد تناظر الجزيء ، بينما ان اكثر كميّات اهتزاز الجزيء المتعدد الذرات تعدل هذا التناظر وتخل بقواعد الاصطفاء الالكترونية .

واخيراً ، ان البنية الدورانية صعبة الحل تجريبياً لأن عزم عطالة الجزيئات كبير والخطوط متراصة جداً ، ثم أننا قد رأينا ان طيف الدوران معقد جداً عندما تكون عزوم العطالة الرئيسية مختلفة .

١٥ - ١١ . — أطيف التفلور .

ان تفلور الجزيئات يولد ابسط الاطيف عندما تكون هذه الجزيئات بحالة بخار .

أ (الجزيئات الوحيدة الذرة . لقد سبق ان درسنا (الفقرة ١٤ - ٥٦) تفلور ذرات الابخرة المعدنية مثل Na أو Hg ، بالضغط المنخفض . وكذلك التجارب الضوئي الذي هو حالة خاصة من التفلور . وعندما يزداد ضغط البخار او تزداد كثافته ، او عندما يضاف اليه غاز اجنبي عنه ، يصبح تواتر الاصطدام

بين الجزيئات على درجة من الكبر بحيث تستطيع الجزيئات المهيجة قبل رجوعها الى الحالة الأصلية ان تتنازل عن قسم من الطاقة الى جزيئات غير مهيجة . فالطاقة المتنازل عنها في هذه الصدمات من الدرجة الثانية يمكن ان يكون التنازل عنها بشكل حركي ، ولكنها في بعض الاحيان قد تهيج التفلور . وهكذا فان مزيجاً من بخار الزئبق والتاليوم ، اذا اضيء بالشعاع 2357 \AA التي لا يمتصها الا ذرات الزئبق وحده ، يصدر طيفاً يحوي على خطوط التاليوم . وهذه الظاهرة تسمى الفلورة المحسنة .

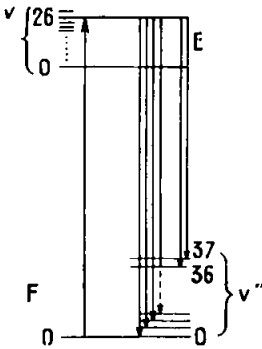
ب) الجزيئات الثنائية الذوات . - يلاحظ طيف التفلور المؤلف من عصابات ، على بخار البروم او الايود (الفقرة ١٣ - ٥٧ د) . فعندما يضاء بخار الايود باشعاع متصل (ضوء الشمس مثلاً) يكون لضوء التفلور لون اصفر مخضر متم للضوء البنفسجي الذي يصدره البخار بالنفوذية .

وفي الواقع ان طيف التفلور ، الذي يتألف من عصابات تحوي على العديد من الخطوط ، هو طيف امتصاص معكوس . ففي هذه الحالة يمكن للجزيئات في السوية الالكترونية الأساسية ان تمر بالامتصاص الى مختلف الحالات الالكترونية المهيجة الممكنة .

ونحصل على نتائج ايسر على التحليل اذا نحن ابتعنا التفلور بواسطة شعاع قريبة جداً من ان تكون وحيدة اللون ، مثل الخط الاخضر لقوس في الزئبق بالضغط المنخفض . ويتألف طيف التفلور من خطوط متساوية الابعاد تقريباً ، واعلاها تواتراً تطبق على الخط المهيج ، وقد امكن تعداد ٣٨ خطاً من هذه الخطوط .

لتفسير هذه الوقائع ، فلنعتبر الشكل المبسط للسويات E لطاقة الجزيء (الشكل ١٥ - ٣١) . ففي الدرجة العادية تكون في الحالة الالكترونية الأساسية F وفي اخفض سوية اهتزاز v_0 . ثم يوصلها امتصاص الشعاع المهيجة

الى سوية الاهتزاز $v' = 26$ (مبدأ فرانك وكوندون ، الشكل ١٥ - ٢٥ a)
العائد الى الحالة الالكترونية المهيجة . وان الرجوع
من هذه السوية الى احدى سويات الحالة الالكترونية
الأساسية الواقعة بين $v'' = 0$ و $v'' = 37$ يرافقه
اصدار طيف التفلور .



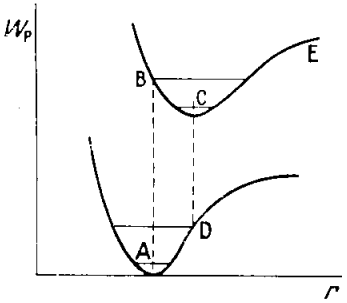
ثم ان العدد الكمي للدوران لما كان لا يمكن
ان يتغير بقدر وحدة ، فان كلاً من الخطوط
السابقة هو ثنائية .

الشكل ١٥ - ٣١ . مبسط
سويات الطاقة لجزيء ثنائي
الذرة : تفسير التفلور

وقد لوحظت ظواهر مماثلة على عدد كبير من
الجزيئات الثنائية الذرات وهي احياناً اشد تعقداً .
ان دور الصدمات من النوع الثاني هو هنا اكبر
منه في حاد الجزيئات الوحيدة الذرة ، لأن طاقة

الاهتزاز لما كانت يمكن ان تتغير بكميات اصغر من الطاقة الالكترونية ،
فان الاحتمال لديها اكبر في ان تتبدد . ولكي يستطيع الجزيء ان يعيد اصدار
شعاعه من نفس التواتر الذي للشعاع التي امتصها ، فانه ينبغي ان يبقى في
السوية العليا خلال زمن في حدود 10^{-10} ثانية ، وهي مدة العمر المتوسط في
الحالة المهيجة (الفقرة ١٤ - ٧) فانه يصيبها في الثانية عدد من الصدمات يساوي $\frac{v}{T}$
حيث ترمز v الى السرعة المتوسطة لجزيئات البخار و l للمسار الحر المتوسط
(٢ ، ١١ - ٤) . ففي درجة الحرارة العادية تكون المسافة الناتجة بين صدمتين
هي في حدود $\frac{10^{-10}}{p}$ ثانية ، حيث يدل p على الضغط مقدراً بالجو . ففي الضغط
العادي يصيب الجزيء اذن عدد من الصدمات قبل ان يعود الى الحالة
الالكترونية الاصلية . وعلى العموم ، يمكن له ان يفقد طاقة الاهتزاز وان

يعود (الشكل ١٥ - ٣٢) من السوية B الى السوية C وان يسقط من هذه على D ثم يعاد الى A بالصدمات . ان وضعية منحنيات الطاقة الكامنة في الحالة الاساسية وفي الحالة المهيجة تعطي على العموم $CD < AB$ ، ومن ذلك ينتج تبرير قانون ستوكس (الفقرة ١٣ - ٥٧) .



على انه اذا كانت طاقة الهياج الحراري كافية لترفع الجزيئات المثيجة الى سويات اهتزاز عالية ، فيمكن ان يكون $CD > AB$ ، ومن ذلك حالات الشذوذ على قانون ستوكس التي هي فعلاً نادرة في درجة الحرارة المنخفضة .

ج (الجزيئات المتعددة الذرات . ان تعقد طيف الامتصاص بسبب وجود عدة أشكال للاهتزاز ، يرافقه تفلور اكثر تعقيداً . غير ان التهييج بالضوء وحيد اللون للبخار الذي هو بضغط منخفض ، يمكن ان يولد ، مثلاً هو الامر في الجزيئات الثنائية الذرات ، طيف تفلور ايسر من طيف الامتصاص . وهكذا فان دراسة التفلور هي وسيلة قيمة لتحري سويات الطاقة للجزيئات المتعددة الذرات .

ان العدد الكبير لسويات الطاقة يزيد اهمية الصدمات من النوع الثاني . فعندما تدرس الجزيئات العطرية كالبنزين خاصة ، يشاهد أن الطيف يظل على حاله مهما كان خط الامتصاص المستخدم لتهييج التفلور . ويفسر ذلك بقبول ان طاقة التهييج تتوزع ، بنتيجة الصدمات بين جميع سويات الحالة المثيجة وان التوزيع الاحصائي للطاقة بين الجزيئات هو نفسه دوماً .

١٥ - ١٢ . — تطبيقات الأطياف الجزيئية .

لكل مركب معين ، كما يذكروا الشكل ١٥ - ١ ، اطياف مميزة للجزيء : طيف امتصاص فوق البنفسجي وتحت الأحمر او فوق المرئى وطيف انتشار رامان واحياناً طيف تفلور .

أ) ان تعيين هوية العناصر بالطرائق الطيفية هي سريعة غالباً وتتطلب قليلاً من المادة ولا تفقد النموذج المفحوص . ويمكن ان تفيد في :

١ . — البحث النوعي عن الشوائب ، وتعلق حساسية الطريقة بطبيعة الطيف المدروس ، وخاصة بطبيعة الجسم الاجنبى .

٢ . — في تعيين الاجسام التي تؤلف بعض المزائج . ان كل مركب يتميز بعصابة امتصاص او اصدار او انتشار تنتقى انتقاءً مناسباً ، وتقيد شدتها في قياس تركيزه بواسطة تدريج مسبق (راجع الفقرة ١٤ - ٢٣ ب) وقد امكن بهذه الوسيلة الوصول ، في الحالات الميسرة الى اجراء تعيين بخطأ قريب من ١ ٪ لمركبات مزيج يتألف من ١٢ جسماً . مثال ذلك : تحليل مزائج الفحوم الهيدروجينية (انواع النفط والزيوت ووقود السيارات) بفعل رامان وبالاتصاص تحت الأحمر .

٣ . — في دراسة تشكّل المركبات لدى التفاعلات الكيميائية ، عندما يمكن الحصول على طيف المزيج المتفاعل في زمن قصير بالنسبة الى مدة التفاعل . مثلاً : دراسة احتراق اكسيد الكربون في الاكسجين ، بالاتصاص تحت الأحمر .

ب) ان الدراسة المفصلة لمختلف الاطياف التي يعطيها نفس الجسم الصافي ، تعطي معلومات هامة عن بنية جزيئاته . وان مثال جزيء CO_2 الذي درس في الفقرة ١٥ - ١٠ يبين السير المتبع في الحالات البسيطة . وفي حالة الجزيئات

المعقدة يسهل تحليل اطيفاف الاهتزاز والاطيفاف الالكترونية لأن بعض عصابات الامتصاص او الانتثار هي ناجمة عن انتقالات مستقرة في فئات من الذرات ولا تتعلق إلا قليلاً بتركيب بقية الجزيء . ان الفئات التي من هذا النوع تدعى حاملات اللون . ويعطي الجدول ١٥-٤ اطوال امواج الامتصاص فوق البنفسجي σ_0 والاعداد الموجية σ_0 للاهتزاز المميز (التي توجد في طيف امتصاص ما تحت الاحمر او طيف رامان) وذلك في عدد من حاملات اللون .

الجدول ١٥ - ٤						
اطوال الموجة						
والاعداد الموجية المميزة لبعض المواد حاملة اللون						
O - H	N - H	N = O	C = O	C \equiv N	C = C	حامل اللون
		٦٦٠٠	٢٨٠٠	١٧٠٠	١٩٠٠	σ_0 بالانغستروم
٣٤٠٠	٣٣٣٠	١٦٤٠	١٧٠٠	٢٢٠٠	١٦٦٠	σ_0 بال cm^{-1}

ان الاعداد المتقدمة هي مع ذلك قابلة للتغير احياناً تغيراً هاماً حسب طبيعة الجزيء الذي يحوي على حامل اللون وحسب الحالة الفيزيائية للجسم .
ج (سنرى في الفصل ١٧ معطيات عن دور بعض الاطيفاف الجزيئية في الطبيعة .

نماذج

١٥ - أ احسب أطوال أمواج الخطوط الثلاثة الأولى للطيف الدوراني لجزيء حمض ايود الماء HI ، مع العلم بأن البعد بين الذرتين هو $r=1,6.10^{-10}m$ وان كتلتيهما هما على الترتيب $m_H = 1836 m_0$ و $m_I = 127 m_H$ ، وان m_0 هي كتلة الالكترتون وتساوي $9,11.10^{-31} Kg$.

١٥ - ب في أية درجة من الحرارة T تكون الطاقة الذرية المتوسطة الانزلاقية W للجزيء H_2 مساوية لطاقته الدورانية في الحالة الهاضجة الأولى ؟
عزم عطالة H_2 هو : $I = 0,48 . 10^{-47} Kg . m^2$

١٥ - ج احسب النسبة بين فرق الطاقة ΔW_v بين سويتي الاهتزاز الاولين ، والفرق W_r بين طاقتي السويتين الاولين لدوران الجزيء HF ، الذي يساوي عزم عطالته :

$$I = 1,35 . 10^{-47} Kg . m^2$$

واصغر عدد موجي للاهتزاز هو $\sigma = 3987 cm^{-1}$.

١٥ - د يوجد للكلور نظيران كتلتاهما الذريتان هما ٣٥ و ٣٧ . والعدد الموجي لاهتزاز الجزيء $^{35}H^{35}H$ هو $\sigma = 2940,8 cm^{-1}$. احسب العدد الموجي للجزيء $^{37}Cl^{37}Cl$ بافتراض الاهتزازات توافقية . احسب الفرق $\sigma' - \sigma$ للعددين الموجيين الخطي الشريط الاهتزازي - الدوراني .

١٥ - هـ تبلغ قيمة أول كمون تهيح الكتروني لجزيء الاكسجين

$$V = 2,6 v$$

احسب السرعة الدنيا v التي ينبغي أن يكون عليها هذا الجزيء لكي يكون اصطدامه بمجدار صلد اصطداماً غير مرن .

ما هي درجة الحرارة T اللازمة لكي تكون الطاقة الوسطى للهياج الحراري قادرة على اثاره الجزيء .

الفصل السادس عشر

أطياف الأجسام

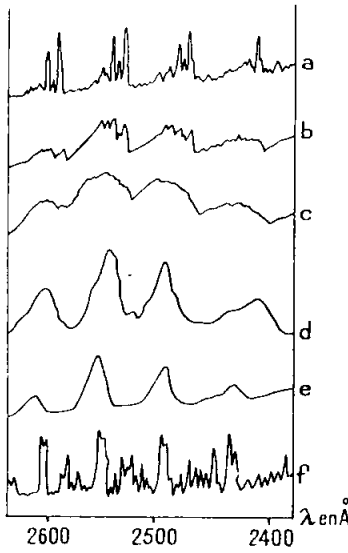
في الحالة المكثفة

١٦ - ١ . — اعتبارات عامة :

لقد كان جل اهتمامنا في الفصلين ١٤ و ١٥ محصوراً بمجالات كان فيها إصدار الضوء وامتصاصه ناجمين عن ذرات أو عن جزيئات تؤثر افرادياً (غازات أو أبخرة تحت ضغط منخفض) . وقد رأينا (الفقرة ١٣ - ١٠) أنه عندما يزداد الضغط ، إما بارتفاع درجة الحرارة مع ثبات الكتلة الحجمية أو بتزايد الكتلة الحجمية مع ثبات درجة الحرارة ، فإن الخطوط الطيفية تتسع .

إن انتقال الأجسام إلى الحالة المكثفة (إلى غازات مضغوطة أو محاليل أو سوائل أو جوامد) يرافقه تغيرات كبيرة في أطيافها الاصدارية والامتصاصية . وبين الشكل ١٦ - ١ المنحنيات الطيفية الفوتومترية العائدة إلى جزء من طيف الامتصاص الالكتروني للبنزين في حالات مختلفة . إن السبب العام لهذه التحولات يكمن في الأفعال المتبادلة لهذه الجزيئات ، ولكن ينبغي مناقشته في مختلف الأحوال حسب طبيعة الوسط وحسب يعتبر الطيف الالكتروني أو طيف الاهتزاز أو طيف الدوران .

إن أهمية فحص طيف الحالة المكثفة لا تقتصر على التمكن من دراسة الأفعال المتبادلة بين الجزيئات فحسب . إن العديد من المركبات العضوية يتحلل بدرجة أخفض من نقطة تبخرها ، حتى ولو كانت تحت ضغط منخفض . والوسيلة الوحيدة لدراسة أطيافها الاقتصادية ، التي تعطي وسائل قيمة لمعرفة هوياتها ، هي أن يشتغل الباحث في المادة السائلة أو الصلبة النقية أو في محلول يُجرى في مذيب شفاف .



١٦-٢. — أطياف السوائل :

الشكل ١٦ - ١. - تسجيلات طيفية فوتومترية لقسم من طيف امتصاص البنزين في حالات تكاثف مختلفة :

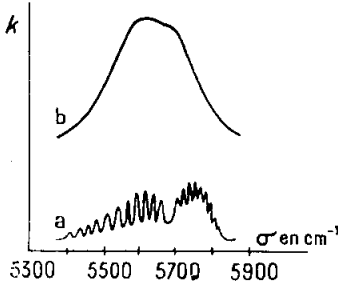
(a) بخار بضغط ٠.١٥ جو ؛ (b) بخار بضغط ٢٣ جو ؛ (c) بخار بضغط ٥٠ جو ؛ (d) محلول في البنزين بنسبة جزء من ألف من الجزيء ؛ (e) سائل ؛ (f) بلوري بـ 14°K .

(أ) إن بنية السوائل ، المميزة برتبة إحصائية فقط ، والتي تؤدي عملها على بعد قليل فقط (٢، ١٤-١) لا تسمح بسهولة بدراسة كمية للتغيرات الطارئة على الأطياف . تنبي التجربة عن فرق محسوس في

سلوك المركبات ، حسبما تكون جزيئاتها قطبية أم لا . لأن الأفعال المتبادلة بين الأقطاب هي أشد أهمية في الحالة الأولى .

إن الحركات الجماعية للجزيء من انتقالات ودورانات ، تتغير دوماً بسبب الانتقال من حالة البخار إلى الحالة السائلة . وينقص المسار الحر المتوسط كثيراً .

وان الدورانات لا يمكن ان تعتبر حرة، وان تغيرات التوجيه في الجزيء توقيظ مزدوجات اعادة من قبل الجزيئات المجاورة



الشكل ١٦ - ٣. تسجيلات طيف امتصاص HCl (a : الغاز ، b) السائل

المحيطة ، فتولد اهتزازات دورات (او تراجع) . وان طيف الدوران المحض ، كما يلاحظ مثلاً في الانتثار في جوار الخط المهيج (الشكل ١٦ - ٢ ، اللوحة ٩) يحل محله طيف سائل له خلفية متصلة (الشكل ١٦ - ٢ b) وفي طيف انتثار الماء - وهو سائل قطبي - نجد هكذا عصائب نحو 500 cm^{-1} ، تقابل اهتزازات الدوران .

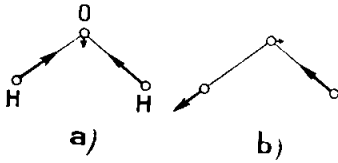
ب) ان الحركات الداخلية للجزيئات والاهتزازات والانتقالات الالكترونية هي اقل تأثراً بالاسالة بكثير ، لأن القوى الداخلية للجزيئات هي على الغالب اكبر بكثير من القوى بين الجزيئات. ان تواترات عصائب الاهتزاز والتواترات الالكترونية تكون تقريباً في نفس المكان في اطيف البخار والسائل. ان الاعداد التالية تعود الى تواترات اهتزازات الجزيئات القطبية وغير القطبية : وان فعل الكثائف هو اهم في الاولى (راجع ايضاً الشكلين ١٦ - ١ و ١٦ - ٣) .

ان تواترات الاهتزازات تنخفض عامة ، لأن التفاعلات الجذبية المتبادلة بين الجزيئات تحدث فعلاً معاكساً لفعل القوى الداخلية للجزيئات. ومن جهة ثانية ، لما كان جوار الجزيء مختلفاً من نقطة الى اخرى ، فان تغير التواتر يتحول ولا يعود التواتر معيناً فتحل عصابة محل الخط . ولكن فقد البنية الدورانية وحلول تواترات مركبة من الاهتزاز والتراجع يمكن ان يؤدي الى تضيق في هذه

العصائب (الشكل ١٦ - ٣) لأن شدات عصائب التراجع هي غالباً ضعيفة في الامتصاص ، الا في الجزيئات الشديدة القطبية .

المركب	HCl	H ₂ O	CO ₂	CH ₄	C ₆ H ₆
σ غاز	٢٨٨٦	٣٦٥٠	١٢٨٥	٣٠١٩	٩٩٢
σ سائل	٢٧٨٥	٣٢٠٠ الى ٣٦٠٠	١٢٨٥	٣٠٠٩	٩٩٢
σ جامد	٢٧٦٨	٣٢٠٠ الى ٣٣٠٠	١٢٨٥		

ج) ان التجمعات الجزيئية المتواترة في المركبات التي جزيئاتها قطبية ، يمكن ان تخرج تعديلات هامة على الاطياف . وان اوضح الأمثلة على ذلك هو



الشكل ١٦-٤. الاهتزازات الاساسية لجزيء الماء H₂O

مثال الصلات بالهدروجين (١٤٤٢-١ d)
فبخار الماء مثلاً له عصابة امتصاص في 3756 cm^{-1} تقابل الاهتزاز الاساسي b ،
وعصابة انتشار في 3650 cm^{-1} تقابل الاهتزاز a (الشكل ١٦ - ٤) . اما في السائل فانه يستبدل بهذه الخطوط عصائب عريضة جداً واعدادها الموجية قد تنخفضت بمقدار عدة مئات من cm^{-1} .

١٦ - ٣ . أطياف المحاليل .

أ) ان مزيج جزيئات مركب مع جزيئات المذيب السائل الشفاف ، يعود ، كما هو في التميع ، الى احاطة جزيئات المذاب احاطة كثيفة . وله على طيف الامتصاص افعال بمثابة لأفعال الاسالة . ولكن يمكن في

الأحيان اختيار مذيب غير قطبي ، بحيث ان طيف المحلول لا يبعد كثيراً عن طيف البخار .

ان الشكل ١٦ - ٥ (اللوحة ١٠) العائد الى فعل الارغون الغازي في بخار الروبيديوم يعطي فكرة عن فعل المذيب غير القطبي .

وان المقارنة بين الشكلين ١٦ - ١ و ١٦ - ١٠ d العائدين للبنزين السائل والبنزين المحلول في البنتان ، تبين انه من اجل جسم مذاب وجسم مذيب غير قطبيين ، يكون فعل الاسالة وفعل الاذابة متجاورين . ان بنية الدوران تغيب وتظل بنية الاهتزاز . ويكون الأمر كذلك في اغلب الفحوم العطرية وبالنسبة الى عدد من مشتقاتها .

في مثل هذه الحالات ، يبقى مظهر الطيف على حاله عندما يغير التركيز تغييراً بعيد الحدود ، ويكون قانون بير Beer عندئذ صالحاً : وعامل الامتصاص K العائد الى طول موجة معينة متناسباً مع التركيز C للمذاب (كتلة الجسم المذاب في واحدة حجم المحلول) ويمكن عندئذ تعريف عامل الامتصاص النوعي :

$$K' = \frac{K}{C}$$

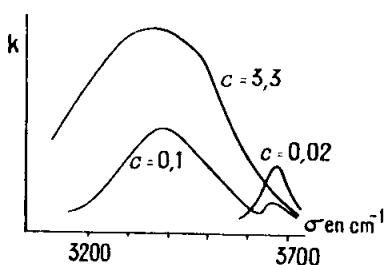
ويكتب قانون الامتصاص :

$$\mathcal{E} = \mathcal{E}_0 \exp. (- 2 K' Cz)$$

ان عمليات التعبير بالامتصاص او بالقياس اللوني ، مؤسسة على هذه العلاقة التي تسمح بتقدير C عندما تعلم K' . إلا أنه اذا أريد تعيين طيف الامتصاص لمادة في مناطق من الطيف تتغير فيها K كثيراً ، فانه من الاصح دوماً تغيير الشخ z بدلاً من التركيز : وان التناسب بين \mathcal{E} و z هو في الواقع محقق دوماً ، في حين ان قانون بير ليس إلا تقريباً على الدوام .

(ب) ان الاجسام ذوات الجزيئات القطبية لا تتبع قانون بير إلا اتباعاً ضعيفاً. ففي المحلولات الممددة تميل جزيئاتها الى التجمع مع جزيئات المذيب التي تقطبها وتجذبها وفقاً لظواهر الكهرباء الراكدة . فينتج من ذلك تغير في العزم الثنائي الاقطاب ، وبالنسبة في شدة الامتصاص . واما في المحاليل المركزة ، فانها تميل الى التجمع فيما بينها كما في السوائل (الفقرة ١٦ - ٢) .

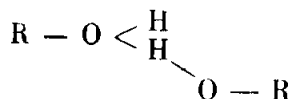
يبين الشكل ١٦ - ٦ ، مثلاً طيف امتصاص (تحت الاحمر في جوار ٣



الشكل ١٦ - ٦ . طيف امتصاص الغول C_2H_5OH المحلول في CCl_4 ، في جوار العدد الموجي 3500 cm^{-1} ، من اجل مختلف القيم للتركيز c مع بقاء جداء c بالثنى المختار ثابتاً

مكرون) للغول الأتيلي المحلول في رابع كلور الكربون CCl_4 ، في كثافات مختلفة . ان جزيئات الغول قوية القطبية وأما جزيئات CCl_4 فليست كذلك . ويوجد في طيف المحاليل الممددة عصابة امتصاص دقيقة عند 3700 cm^{-1} ، توجد في طيف بخار المركبات الحاوية على OH (الفقرة ١٥ - ١٢) والتي تميز اذن الجزيئات C_2H_5OH . وكلما زاد التركيز

تناقصت شدة العصابة المتقدمة ، ويشاهد حول 3400 cm^{-1} ظهور عصابة عريضة وحدها في الغول الصافي ، حيث تتجمع الجزيئات بروابط بالهدروجين وفقاً للمخطط :



ينبغي إذن اجتناب استعمال السوائل ذوات الجزيئات القطبية كمذيبات ، وذلك بسبب الاضطرابات الهامة التي تحدثها في جزيئات المادة المحلولة . فمثلاً

إن محاليل الفينول في الهكزان ، وهو مذيب غير قطبي ، تحتفظ أيضاً بطيف فوق البنفسجي الذي تظهر فيه بقايا بنية اهتزازية ، ولكنها تختفي في طيف المحاليل في الغول ، الذي هو مذيب قطبي .

ج (ثمة حالة هامة هي حالة محلولات المواد الكهربية في الماء ، الذي هو مذيب قطبي ، يفصمها أو يفككها (٦ ، ١٨ - ٦) . إن تغيرات تركيزات المحلولات الكهربية الضعيفة تولد غالباً في طيفها الامتصاصي ، وأحياناً في تلوينها (٦ ، ١٨ - ١١) تغيرات تفسر بأنها انفصامات تزداد مع التمديد أو المذق . خلافاً لذلك ، إن قيمة عامل الامتصاص النوعي لمحاليل المواد الكهربية القوية تبدو في الغالب قليلة التغير مع التركيز ، ويتحقق قانون بير بصورة تقريبية ، أو على الأقل ما دام التركيز لا يتجاوز ١ مول في اللتر . وإذا قبلنا أن امتصاص الايون يختلف عن امتصاص الذرة غير المنفصلة ، يستنتج من ذلك أن درجة الانفصام لا علاقة لها تقريباً بتركيز المواد الكهربية القوية (٦ ، ١٨ - ١١) وإن تغيرات خواصها الضوئية لا تظهر بوضوح إلا من أجل تركيزات إذا تجاوزت تصبح الأفعال المتبادلة بين الايونات مهمة . سندرس حالة المحاليل الصلبة فيما بعد .

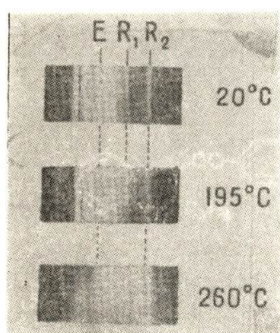
١٦ - ٤ . أطياف البلورات . أطياف الدوران :

أ (في المواد المتبلورة يكون لكل ذرة جوار أكثر انتظاماً منه في السائل (٢ ، ١٣ - ٦) . وذلك صحيح خاصة في درجات الحرارة المنخفضة ، حيث تكون سعة الحركات الناجمة عن الاضطراب الحراري مختصرة . ثم إن عدداً محدوداً من سويات الاهتزاز يكون مشغولاً في الدرجات المنخفضة من الحرارة ، بحيث إن انتقالات الاهتزاز تصبح أقل عدداً . وفي هذه الشروط ، ليس من

النادر أن يلاحظ الانسان أن طيف بلورة له بنية أكثر تفصيلاً من طيف السائل (الشكل ١٦ - ١) .

إن البنية الدورية المنتظمة للبلورات تسمح بتطبيق طرق كمية لدراسة أغلب أطيافها الامتصاصية والانتشارية والتألقية ، ولكن الفرضية القائلة بكهال البنية لا تفسر بعض أطياف الامتصاص والاصدار للجوامد ولا بد ، من أجل تفسيرها ، من اعتبار وجود شوائب تفسر أيضاً بعض خواصها الكهربائية (١٩٦٠-١٥) .

ب) إن الجزئيات على العموم ، أو الايونات المعقدة ، لا تدور بحرية في الجوامد ، ويستبدل بالدوران حركات تراجعية ضعيفة التواتر . وهي صعبة الملاحظة في ما تحت الأحمر لهذا السبب ، ولكنها تلاحظ بسهولة في الانتثار . وبين الشكل ١٦ - ٢ c في حالة البنزين ، أطياف التراجع التي لا تتجاوز تواتراتها 100 cm^{-1} . ويرى الفرق بين هذا الطيف وطيف الدوران المحض (الشكل ١٦ - ٢ a) وكذلك إن البنية المرتبة للبلورة تعطي قيماً محددة لتواترات التراجع ، خلافاً لما يحدث للسائل (الشكل ١٦ - ٢ b) .



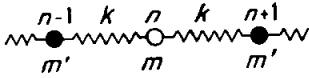
الشكل ١٦ - ٧ . تغيرات طيف انتشار NaNO_3 مع الحرارة (P)

وفي بعض الأحيان ، عندما ترتفع درجة الحرارة تتحول التراجعات إلى دوران ويتعدل طيف الانتثار . وبين لنا الشكل (١٦ - ٧) طيف نترات الصوديوم المائلة في الشكل للكالسيت (الجزء ٢ ، ١٣ - ٤٤) ، وفوق الدرجة ٢٧٥ مئوية تأخذ ايونات NO_3 بالدوران حول محورها الثلاثي . وان خطوط رامان لدى 100 cm^{-1} و 190 cm^{-1} ، الناجمة عن التراجع تختفي في جوار نقطة التحول التي فوقها يصبح طيف البلورة مشابهاً لطيف السائل .

١٦ - ٥ . طيف اهتزاز البلورات :

أ) لقد رأينا (٣ ، ٦ - ١٠) أن الخاصة الدورية في البلورات تسمح بالتعبير عن اهتزازات وسط بلوري مؤلف من ذرات أو من جزيئات متماثلة ، بجمل من الأمواج المرنة ، وقد درسنا نموذجاً لشبكة خطية . ولكن شبكة كهذه مؤلفة من ذرات متماثلة ، ليس لها ، كالجزيء المتجانس الأقطاب (الفقرة ١٥ - ٥ ب) طيف امتصاص ناجم عن الاهتزازات .

سنقوم بتعميم الحساب الذي عملناه ، في ٣ ، ٦ - ١٠ على صف غير محدود



الشكل ١٦ - ٨ . نموذج لشبكة خطية من الذرات كتلتها m تتناوب مع ذرات كتلتها m' .

(الشكل ١٦ - ٨) يتألف من

ذرات كتلتها m تتناوب مع ذرات

كتلتها m' ، وقوى الاعدادة شبه

المرنة ks (حيث s هو الابتعاد عن

وضع التوازن) لها جميعاً نفس العامل

k . فمعادلة حركة الذرة ذات الرقبة n والكتلة m ، هي [٦ ، ٣٥] من الجزء ٣ :

$$m \frac{d^2 s_n}{dt^2} = -k (2s_n - s_{n+1} - s_{n-1}) \quad [٢،١٦]$$

ومعادلة الذرة ذات الكتلة m' والرقبة $n+1$ هي :

$$m' \frac{d^2 s_{n+1}}{dt^2} = -k (2s_{n+1} - s_{n+2} - s_n) \quad [٣،١٦]$$

لمعرفة ما هي الأمواج الطولية التي طول موجتها λ والتي يمكن لها أن تنتشر على طول الصف المتقدم ، فلنبحث للمعادلتين الانيتين [٢ ، ١٦] و [٣ ، ١٦] عن حلول مماثلة لـ [٦ ، ٣٦] في الجزء ٣ ، ولكن بشرط أن تكون السعتان مختلفتين في نوعي الذرتين ، أي :

$$s_n = s_m \sin 2\pi \left(ft - \frac{nd}{\lambda} \right)$$

$$s_{n+1} = s_{m'} \sin 2\pi \left(ft - \frac{(n+1)d}{\lambda} \right) \text{ و}$$

حيث ترمز d الى البعد بين ايونين متجاورين . فاذا اجرينا التبديل في [١٦، ٢] و [١٦، ٣] وصلنا بعد التبسيط وبعد فرض $\omega = 2\pi f$ الى جملة المعادلتين :

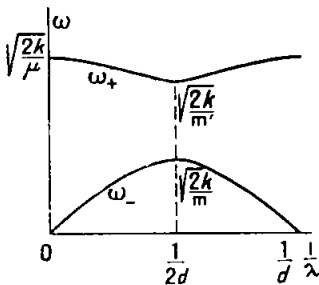
$$\begin{cases} s_m [2k - \omega^2 m] = 2k s_{m'} \cos 2\pi \frac{d}{\lambda} \\ s_{m'} [2k - \omega^2 m'] = 2k s_m \cos 2\pi \frac{d}{\lambda} \end{cases} \quad [١٦، ٤]$$

فاذا ضربنا المعادلتين حداً فحداً ثم قسمنا على $s_m s_{m'}$ ، حصلنا على معادلة التبعيات :

$$\omega^4 - \omega^2 \left(2k \frac{m+m'}{m m'} \right) + \frac{4k^2}{m m'} \sin^2 \frac{\pi d}{\lambda} = 0$$

التي جذراها هما :

$$\begin{aligned} \omega^2 &= k \left[\frac{m+m'}{m m'} \pm \sqrt{\left(\frac{m+m'}{m m'} \right)^2 - \frac{4}{m m'} \sin^2 \frac{\pi d}{\lambda}} \right] \\ &= \frac{k}{m m'} \left[m+m' \pm \sqrt{m^2 + m'^2 + 2m m' \cos \frac{2\pi d}{\lambda}} \right] \end{aligned} \quad [١٦، ٥]$$



الشكل ١٦-٩ . - منحنيان يمثلان حلي المعادلة [١٦، ٥]

فترى ان تواتر الاهتزازات يتغير مع طول الموجة ، مثلما يحدث في الحالة التي تكون فيها الكتلتان متماثلتين . ولكن في هذه المرة يوجد لكل قيمة من λ قيمتان ω ل ω نوزم اليهما ω_+ و ω_- ، تقابلان الاشارتين الموجودتين امام الجذر في [١٦، ٥] . وان المنحنى الذي يمثل التابع

$\omega \left(\frac{1}{\lambda} \right)$ له فرعان (الشكل ١٦ - ٩) حيث يقابل الفرع العلوي الإشارة + .

ان حدود تغيرات ω في الفرعين تقع من اجل $\cos \frac{2\pi d}{\lambda} = \pm 1$.

فن اجل $\lambda = \infty$ تكون قيمة التجيب $+1$ ، ونستخرج من [٥،١٦] :

$$\omega_{+}^2 = 2k \frac{m+m'}{m m'} = \frac{2k}{\mu} , \quad \omega_{-}^2 = 0 \quad [٦،١٦]$$

بفرض : $\frac{1}{\mu} = \frac{1}{m} + \frac{1}{m'}$. ونكون قيمة التجيب -1 من اجل $\lambda = 2d$ ويكون :

$$\omega_{+}^2 = \frac{2k}{m'} \quad \text{و} \quad \omega_{-}^2 = \frac{2k}{m} \quad [٧،١٦]$$

ان منحنيي الشكل ١٦ - ٩ يقابلان الحالة التي يكون فيها $m > m'$ (١) .
ولكي نرى ما هي انواع الحركة العائدة لمختلف التواترات ، فلنحسب نسبة السعات في نوعي الذرات . نستخرج من [٤،١٦] ومن [٥،١٦] :

$$\frac{Sm'}{Sm} = \frac{2k - \omega^2 m'}{2k \cos \frac{\pi d}{\lambda}} = \frac{m - m' \mp \sqrt{m^2 + m'^2 + 2 m m' \cos 2\pi \frac{d}{\lambda}}}{2 m \cos \frac{\pi d}{\lambda}} \quad [٨،١٦]$$

واذا كانت $\lambda = \infty$

$$\left(\frac{Sm}{Sm'} \right)_{+} = -\frac{m'}{m} \quad \text{و} \quad \left(\frac{Sm}{Sm'} \right)_{-} = 1 \quad [٩،١٦]$$

واذا كان $\lambda = 2d$

(١) ان الانتقال من الشكل ١٦ - ٩ الى الشكل ١٦ - ٦ في الجزء ٣ يمكن ان يتم

بفرض $m' = m$. فنصبح المعادلة [٥،١٦] حينئذ $\omega^2 = \frac{2k}{m} \left[1 \pm \sqrt{1 - \sin^2 \frac{\pi d}{\lambda}} \right]$

ويقابل الإشارة + الحل : $\omega = 2 \sqrt{\frac{k}{m}} \sin \frac{\pi}{2} \frac{d}{\lambda}$. وهما متكافئتان مع [٣٧،٦] من

الجزء ٣ ، مع الاخذ بعين الاعتبار كون دور الشبكة الذي كان في الاصل مساوياً لـ $2d$ قد اصبحت d عند تسوية الكتلتين .

$$\left(\frac{Sm}{Sm'}\right)_+^{(1)} = 0^2 \quad \text{و} \quad \left(\frac{Sm}{Sm'}\right)_- = \infty \quad [١٠،١٦]$$

تعود الاشارات الى اشارتي الفرعين لا الى اشارات الجذر في [٨،١٦] .

فاما في الفرع السفلي ω_- ، فان الدقائق تنتقل بنفس السعة وفي نفس الجهة (متفقة في الطور) عندما تكون λ قريبة من مالانهاية . وعند النهاية عندما تصبح $\lambda = \infty$ ، $\omega_- = 0$ تقتصر الحركة على انتقال صف الدقائق . تلك هي النتيجة التي حصلنا عليها من أجل صف من الدقائق المتائلة (٦٣-١٠) وعندما تتناقص λ ، تهتز الدقائق دوماً مع اتفاق في الطور ، ولكن سعة اخفها تنقص وتندعم عند طول الموجة الحدي . يسمى الفرع السفلي بالفروع الصوتي لأن التواترات التي تقابل اطوال الامواج الممكنة هي منخفضة نسبياً في حدود التواترات الصوتية أو فوق الصوتية .

وأما فيما يتعلق بالفرع ω_+ ، فعندما يصبح طول الموجة مالانهاية ، لاينعدم التواتر الذي تعطيه [٦،١٦] . وتبين العلاقة [٩،١٦] ان تقلات الدقائق هي ذات جهات معاكسة ومتناسبة عكساً مع كتلتها . ويمكن تمثيل هذه الحركة كأنها اهتزاز متفق في الطور مع جملة الدقائق ذوات الكتلة m والتي تبقى ابعادها ثابتة بالنسبة إلى جملة الدقائق ذوات الكتلة m' التي تبقى أيضاً متساوية الابعاد وتهتز مع توافق بينها في الطور . وان التواتر الحدي ω_+ الذي تعطيه العلاقة [٦،١٦] هو نفس التواتر الذي لجزيء ثنائي الذرات مؤلف من الكتلتين m و m' وعامل اعادته المروني يساوي $2k$ لأن كل دقيقة في الصف لها جارتان) . وعندما يتناقص طول الموجة ، تتناقص سعة الدقائق

$$\cos \frac{2\pi d}{\lambda} = \cos (\pi - \varepsilon) \simeq 1 + \frac{\varepsilon^2}{2} : [٨،١٦] \text{ نكتب في}$$

$$\cos \frac{\pi d}{\lambda} = \cos \left(\frac{\pi}{2} - \frac{\varepsilon}{2} \right) \simeq \frac{\varepsilon}{2} \quad \text{و} \quad \text{حيث تمثل } \varepsilon \text{ كمية صغيرة جداً نقاربها بعدئذ الى الصفر.}$$

الأثقل وتظل على السكون عندما تبلغ طول الموجة الحدي ، وذلك ما تعبر عنه العلاقة [١٠، ١٦] . يسمى الفرع العلوي بالفروع الضوئي لأن التواترات المرتبطة به هي في حدود اقدار تواترات الامواج تحت الحمراء كما سنرى فيما بعد.

ب) تعمم النتائج المتقدمة على شبكة ثلاثية الابعاد من نوع Na Cl مثلاً (الشكل ٩ - ١٤) لنأخذ بعين الاعتبار امواجاً مرنة مستوية جيبية موازية لوجه P من المكعب ؛ ابتغاء التبسيط . فجميع الذرات من نفس النوع والعائدة الى نفس المستوي الشبكي الموازي لـ P والمهتزة على اتفاق في الطور ، ولكن بفرق طور قدره ϕ بين اهتزازات الذرات العائدة الى مستويين شبكيين متتاليين . اذا قاربت ϕ الصفر فان شبكتي الايونات Na^+ و Cl^- البسيطتين تتصرفان وكأنهما مجموعتان صلدتان قابلتان للانزلاق من جانبي أو جهتي وضع توازنهما . وإن عامل الاعادة k الذي في الصيغة [١٦، ٥] يمكن التعبير عنه بدلالة أحد عوامل مرونة البلورة . ذلك لأن الصف المذكور اعلاه يحوي على $\frac{1}{d}$ ذرة في واحدة الطول ، ثم أنه يوجد من ناحية ثانية $\frac{1}{d^2}$ صفاً متتالاً في واحدة المساحة من السطح S العمود على اوجه المكعب (راجع الجزء ٢ ، الشكل ١٣ - ٤٢) فيكون لدينا اذن :

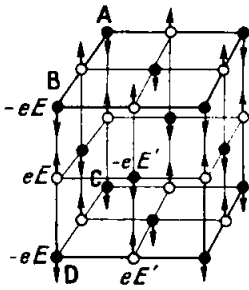
$$k = \frac{d^2}{d} c_{11} = dc_{11}, \quad [٢، ١٦]$$

يرمز c_{11} الى عامل المرونة الذي يربط القوة العمودية على S بالتشويه الحاصل في منحى هذه القوة . ان الاعداد في العمود الرابع من الجدول الآتي

البلورة	c_{11} بال N/m^2	d بال م	ω_p المحسوب	ω_0 القيس
NaCl	$١٢١٠ \times ٤,٩$	$١٠^{-١٠} \times ٢,٨$	$١٣١٠ \times ٣,٣$	$١٣١٠ \times ٣,٢$
KCl	٤,٠	٣,١	٢,٤	٢,٧
KBr	٣,٤	٣,٣	٢,٣	٢,١

تبين ان الصيغة [١١،١٦] تؤدي الى قيم ω هي في حدود كبر نبضات الأمواج تحت الحمراء .

اذا نحن اعتبرنا الآن قطاراً من الامواج المستوية للضوء تحت الأحمر ،



الشكل ١٠ - ١٦

الاهتزازات الضوئية

لبلورة NaCl

ينتشر مع بقائه موازياً لوجه من اوجه المكعب ABCD (الشكل ١٦ - ١٠) المأخوذ من بلورة لـكلور الصوديوم NaCl . فان الحقل الكهربائي \vec{E} لهذه الموجة والذي له نفس القيمة في جميع نقاط مستوي الموجة ، يطبق على كل ايون من الايونات Na^+ و Cl^- من مستوي شبكي ، قوة $\pm eE$ وعلى ايونات المستوي الشبكي المجاور قوة $\pm eE'$ ، حيث E' هي قيمة الحقل في هذا المستوي الاخير . اذن فالأمواج الكهروستاتيكية قادرة على ان تهيج امواجاً

مرنة من الفرع الضوئي ، تهتز فيها الذرات المتجاورة في جهات متعاكسة ، لا امواجاً من النوع الصوتي الذي تهتز فيه ذرتان متجاورتان اهتزازاً على وفاق في الطور . ثم ان طول الموجة λ للاشعاعات تحت الحمراء الذي يرتبط بنبضها بالعلاقة $\lambda = 2\pi \frac{c}{\omega}$ لما كان دوماً اكبر بعشرات الـوف المرات من البعد d ، فانه يمكن اعتبار ان الاهتزاز المرن له تواتر قريب جداً من الذي اعطي بالعلاقة [١٦،٦] .

ان الحقل E للموجة الضوئية يبقى على حاله تقريباً في عدد كبير من المستويات الشبكية العمودية على منحى انتشار الموجة . وان انتقالات الذرات هي على حالها ايضاً على طول هذا المسير ، وكذلك العزم الثنائي الاقطاب الكهربائي الذي يسبب انتقال الشحنتين $+e$ و $-e$ هو نفسه و يقتصر الموجة بالطريقة التي درست في الفقرة ٩ - ٧ .

اما الأمواج المرنة العائدة للفرع الضوئي ، والتي طول موجتها ليس كبيراً
ازاء λ ، فانها تولد عزوماً كهربائية يتغير طورها من نقطة إلى أخرى في
البلورة ، بحيث أن العزم الأوسط لجملة البلورة معدوم ، وان الامواج الضوئية
التي لها نفس التواتر لا تمتص . وهكذا فان طيف الاهتزاز الاساسي لبلورة
ايونية من نوع Na Cl يقتصر على خط نبضه ω_+ . ويرى في العمود الخامس
من الجدول السابق ان تواتر الامتصاص المقيس ω_0 هو قريب من ω_+ .
ثم ان تواترات الاهتزاز تتركب مع تواترات التارجح ، مثلما رأينا
بمناسبة السوائل .

وفي حالة الماس (الجزء ٢ ، الشكل ١٣-٣٥) توجد ذرتان من الكربون
في كل خيطة وتحصل اهتزازات ضوئية ، ولكنها بسبب التناظر لا تولد عزماً
كهربائياً ولا تسبب بنتيجة ذلك امتصاص شعاعات . وهذه الحالة تشابه حالة
الجزيئات الثنائية الذرات المتماثلة الأقطاب .

ج (ان اهتزازات بلورة يمكن أن تولد طيف انتشار رامن ، فيما إذا احدثت
تغيرات في الاستقطابية ، بشكل مماثل لما رأينا بمناسبة الجزيئات (الفقرة
١٥ - ١٠) . وان اعتبارات مماثلة للتي شرحناها في ب) تبين انه اذا كان طول
الموجة للامواج المرنة ليس كبيراً جداً بالمقارنة مع دور الشبكة البلورية ، فان
تغيرات الاستقطابية تكون على غير وفاق في الطور في مختلف مناطق البلورة
وتتفانى افعالها على الموجة الأولية . فلا يرى اذن سوى انتشار التواترات ω_+ ،
مثلما في الامتصاص . وان الشكل ١٦ - ١١ (اللوحة ١٠) يرينا أن طيف
رامان للبلورات يتألف في الواقع من خطوط محدودة تماماً في غالب الأحيان .

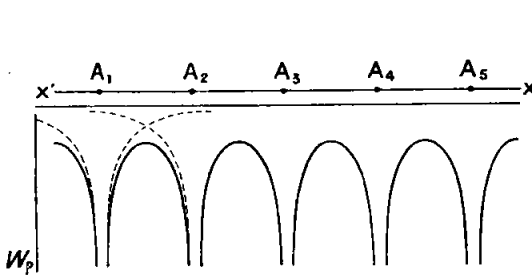
وان بعض الاعتبارات المتعلقة بالتناظر يمكنها ان تمنع انتشار بعض
الاهتزازات ، مثال ذلك : في الاهتزاز الاساسي لـ Na Cl كل ايون لا يمكنه
ان يبتعد عن أحد جيرانه الا بأن يقترب من الآخر ، ومن الواضح انه في

لحظتي طورين متعاكسين تكون الاستقطابية قد عادت الى ماكانت عليه :
لذلك فان النبض ω_p ليس فعالاً في الانتثار .

١٦ - ٦ . الطيف الامتصاصي الالكترونية في البلورات :

(أ) ان عدد عصابات الامتصاص الالكترونية في البلورات وعرضها يتغيران
تغيراً كبيراً ، ابتداءً من الامتصاص المتواصل تقريباً للمعادن في ما تحت
الأحمر والمرئي (الشكل ٩ - ٢٢) حتى امتصاص املاح الأتربة النادرة ، التي
لها عدة عصابات امتصاص دقيقة جداً (ولا سيما في الدرجات المنخفضة من الحرارة)
بحيث يمكن اعتبارها خطوطاً (الشكل ١٦ - ١٢ ، اللوحة ٦) .

يمكن فهم هذه الحالات المتطرفة ، في تقريب اولي ، عندما نأخذ بعين
الاعتبار البنية الالكترونية للذرات التي تؤلف البلورات . ففي المعادن تكون
الكثرونات التكافؤ حرة تقريباً ويكون امتصاص الامواج الكهرومغناطيسية
المرتبطة بالناقلية النوعية متصلاً . وفي املاح الأتربة النادرة تنتج خطوط الطيف
المرئي من انتقالات الالكثرونات التي تنتمي الى الطبقات العميقة للأيونات
المعدنية التي تحميها من الافعال المتبادلة ، الطبقات السطحية (الالكثرونات
المربوطة) .



الشكل ١٦ - ١٣ . الطاقة الكامنة الالكترونية على
طول صف من الذرات المتأينة

واما التفسير الأوسع

فيعتمد على وساطة سويات
الطاقة لالكثرون في
البلورة . ان الطاقة الكامنة
وفق الاستقامة $x'x$ (الشكل

١٦ - ١٣) التي هي منحى
صف من نوى الذرات A_1 ،

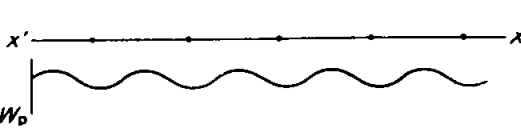
A_2 ، ... في الشبكة ، تكون حالها مثلما يمثل المنحنى W_p .

لقد رأينا في الواقع (الفقرة ١٤ - ٦) ان منحنى الطاقة الكامنة W_p لألكترون في الحقل الكولوني لنواة او لقلب ذري ، يمثل بالقطع الزائد المتساوي الساقين الوارد في الشكل ١٤ - ١٣ ، وذلك مهما كان المنحنى الذي اخذ عليه البعد r ابتداءً من النواة . وقد نقل المنحنى على الشكل ١٦ - ١٣ من اجل النواة A_1 ، واما النواة A_2 فيقابلها منحنى مماثل له . ولكن في حال وجود النواتين ، نحصل على الطاقة الكامنة باجراء عملية الجمع للترتيبين (السليين) للمنحنيين المتقدمين من اجل كل قيمة لـ r ، وذلك يعطي المنحنيات الممثلة بالخط المليء .

ان دراسة طاقة الألكترون بواسطة طرائق الميكانيك الذري (راجع الجزء ٨)

تعطي النتائج الآتية : ان الألكترون مرتبط (الشكل ١٦ - ١٤) بسويات الطاقة التي يمكن اعتبارها كالسويات التي له في الذرة الحرة ، والتي يصيبها الاضطراب من جوارها ، بحيث يحل محل كل سوية من هذه السويات عصابة تزداد ضيقاً بازدياد العمق ، اي ان المنحنى W_p يقترب كثيراً من المنحنى العائد الى ذرة واحدة . ان الانتقالات بين السويات تولد اصدارات او

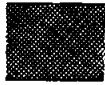
الشكل ١٦ - ١٤ . سويات الطاقة لألكترون مرتبط داخل بلورة



الشكل ١٦ - ١٥ . طاقة الكترون معدني في نقاط مختلفة من خط مواز لصف من الذرات

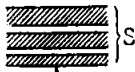
البلورة يملك الألكترون ايضاً طاقة كامنة تتغير في استقامة موازية لـ $x'x$ الذي في الشكل ١٦ - ١٥

ولكنها لا يمر بالنوى الذرية ، وذلك وفقاً لمنحن ذي موجات تختلف في اعماقها ، من نوع التي في الشكل ١٦ - ١٣ . ويمكن تبين أن طاقة هذا الالكترون الذي يكاد يكون حراً ، لم تعد قابلة للتغير باستمرار ولكنها هنا أيضاً تنقسم



الشكل ١٦ - ١٦ .

عصائب الطاقة لألكترون معدني.



الشكل ١٦ - ١٧ .

حد امتصاص الاشعة السينية

الى عصائب ولكنها هذه المرة عصائب عريضة ، يفصل بينها فواصل تختلف اتساعاً . (الشكل ١٦ - ١٦) . ويلاقي هذا التقسيم الى عصائب تأكيداً في بنية طيف الامتصاص المرئي وفوق البنفسجي للمعادن (الفقرة ٩ - ١٩) وكذلك في كون انه في جوار حدود امتصاص الاشعة السينية من قبل المعادن (الفقرة ١٩ - ٢٠) . تظهر تغيرات في شدة الامتصاص ، ذلك لأن الانتقالات التي تحمل الالكترون من سوية عميقة الى سوية سطحية (الشكل ١٦ - ١٧) لا تؤلف تتابعاً متصلاً .

بين الحالتين المتطرفتين السابقتين تقع حالات متوسطة حسب نوع البنية البلورية . فيمكن أن يدرس طيف البلورات الجزيئية (٢ ، ١٣ - ١١) مبتدئاً من طيف الجزيء واعتباره مضطرباً من تأثير الجوار (الشكل ١٦ - ١) . ففي البلورات الايونية البسيطة ، نعلم أن الاجواء الالكترونية التي تحيط بكل ايون هي مفصولة فصلاً تاماً (٢ ، ١٣ - ١١) ولكن ذلك ليس صحيحاً الا في الحالة الأساسية . أما في الحالات المهيجة التي تسبب تغيير العدد الكمي الاساسي فان الاجواء الالكترونية تمتد وتتجاوز على اجواء الايونات المجاورة فينتج من ذلك اضطرابات هامة .

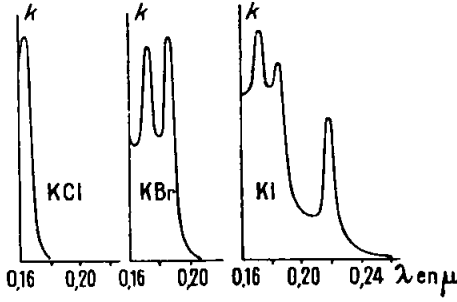
إن أطيف امتصاص بلورات مولدات الاملاح القلوية ، التي يعطينا

الشكل (١٦ - ١٨) ثلاثة أمثلة لها، تتألف من عصابات تقع في مافوق البنفسجي.

فيفيد امتصاص الطاقة في هذه الحالة في انتقال الكترون من الجذر الموجب الى الجذر السالب .

ب) ينضاف الى تغييرات الطاقة الالكترونية للذرات في بلورة من البلورات مثلما يحدث في الجزيء (الفقرة ١٥ - ٨)

تغيرات لطاقة اهتزاز هذه الذرات ، وقد رأينا ان الاهتزازات في جسم



الشكل ١٦ - ١٨ -

اطيف امتصاص بلورات مولدات الاملاح القلوية.

جامد تؤلف طيفاً متصلًا بين حدين معينين (الفقرة ١٦ - ٥) وان اجتماعها الى انتقال الكتروني يحدث اذن عصابات امتصاص . يمكن معالجة هذه المسألة وذلك مثلما فعلنا في الاهتزازات ، بعد اعتبار ان الهياج الالكتروني لذرة ينتشر في البلورة مشكلاً امواج تهيج وان هذه الامواج تتركب مع الأمواج المرنة الناجمة عن الاهتزازات .

هنالك طريقة للنظر معادلة للمتقدمة ، ولكن لها احياناً بعض الفوائد ، تقوم على أن يشرك مع الامواج ، انتشار دقائق وهمية . فيشرك مع امواج التهيج جسيمات الاكسيتون Excitons ، ومع الامواج المرنة فونون Phonons ، والتفاعل المتبادل بين هذين النوعين من الجسيمات يعبر عن تركيبات الامواج المقابلة لها .

ج) ان بعض المركبات في حالة بلورات ايونية ، تحوي على ايونات ذات مغناطيسية مسايرة (٥ ، ١٤ - ١٢) مثال ذلك املاح Cu ، Ni ، Co ، Fe والأتربة النادرة . فاذا وضعت هذه الايونات في حقل مغناطيسي ، ابدت انقساماً

في سويتها الاساسية الى $2J+1$ سوية تحتية لها طاقات مختلفة كما رأينا في الفقرات ١٤-١٦ و ١٥-٩ . ويمكن ان يحدث بين السويات التحتية المتقدمة انتقالات تقع نواتراتها في النطاق الراديوي الكهربائي وتدرس بطرائق الفقرة ١٤-١٦ ج . تسمى هذه الظواهر بـ التجاوب المغناطيسي المسير الالكتروني.

١٦-٧ . النمؤلؤ الفوتوني للجوامد .

(أ) لقد اخننا (الفقرة ١٣ - ٧) الى عدة ظواهر من تلألؤ الجوامد . وسندرس هنا بعض ظواهر التلألؤ الفوتوني . تصادف في الجوامد المتبلورة اصدارات ذوات آماذ مختلفة بعد انتهاء التهييج . ولكن لا يصادف إلا فيها التلألؤ الطويل الأمد (الذي يدوم عدة دقائق او يمتد أحياناً الى عدة ساعات) . فاذا كان التلألؤ الفوتوني الذي يدوم 10^{-8} ثا هو تفلور حتماً وكان الأمد الذي يتجاوز الثانية هو التفصفر ، فان الانسان يتردد في اعطاء خاصة او هوية الى التلألؤ الفوتوني عندما يدوم من 10^{-5} الى 10^{-1} ثانية .

ان دراسة تأثير درجة الحرارة في دوام الاصدار الضوئي هي التي تمكن من تمييز التفلور من التفصفر . ان ثابتة الزمن θ (الفقرة ١٣ - ٧) قليلة الارتباط والتعلق بدرجة الحرارة في الحالة الأولى وشديدة الارتباط في الحالة الثانية .

(ب) يشاهد التفلور في البلورات الجزيئية كالبزين . وان طيف تفلور الجزيئات يطرأ عليه عند الانتقال من حالة البخار الى الحالة السائلة والى الحالة الجامدة تعديلات بمائلة التي تطرأ على أطيااف الامتصاص (الشكل ١٦ - ١٩ ، اللوحة ٩) . ويلاحظ التفلور ايضاً في البلورات الصافية للمركبات الايونية كأملاح الأتربة النادرة أو أملاح الأورانيل UO_2^{+} التي هي متفلورة بحالة محلول او بالحالة الزجاجية ، ومن أجل نترات الاورانيل مثلاً يكون الزمن θ في حدود 10^{-3} ثا ولا يتغير مع درجة الحرارة إلا قليلاً .

(ج) يوجد التفصفر في عدد كبير من الجوامد التي هي غير متألثة فوتونياً في الحالة النقية . وللحصول على جوامد متفصفرة ، يحضر بحالة نقية جسم الاساس ، وهو الكباريت القلوية - الترابية ، وكبريت التوتياء واورتوسيليكات التوتياء المسمى (فيلميت) وتتغستات المغزيوم والكالسيوم ، ثم تدخل فيه كمية معلومة (تكون قليلة دوماً) (10^{-3} الى 10^{-6}) من اجسام اجنبية تسمى منشطات . ففي بعض الاحيان يكون موضوع الاهتمام هو المعدن الداخل في مادة الأساس : فالتلألؤ الفوتوني لكبريت التوتياء « الصافي » يعزى الى ذرات زائدة من التوتياء . ويمكن ايضاً ادخال ذرات منشطة لمعدن قلوي أو قلوي ترابي في بلورات أملاح مولدات الأملاح القلوية التي تفيد كجسم الأساس .

- ٥ - يوجد في الأسواق انواع من الكباريت اذا أنيرت بالضوء الأبيض أو فوق البنفسجي اعطت تلالؤات طويلة الأمد تختلف الوانها حسب تركيبها . هنالك تركيز مثالي مفصل للمنشط ، يختلف باختلاف طبيعته وطبيعة مادة الأساس ، فهو مثلاً يبلغ 10^{-6} للفضة في كبريت التوتياء : ZnS . ومن السهل بيان تأثير درجة الحرارة في التلالؤ الفوتوني للجوامد .

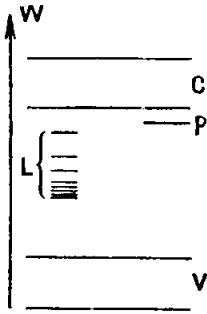
- ٥ - ان كبريت التوتياء المنشط بالنحاس ، والمهيج بالدرجة المحيطة بالتشعيع ، والذي هو متفصفر في هذه الشروط ، لا يعود يصدر ضوءاً بقدر محسوس عندما يغمس في الآزوت السائل . واذا سخن يعود التفصفر الى الظهور .

- ٥ - اذا القينا الكبريت المعدني المشع على لوحة معدنية مسخنة الى $200 - 300$ درجة مئوية ، كان الضوء الصادر أقوى ، ولكن مدته اقصر . وان تأثير الحرارة هذا ، الذي هو مميز للتفصفر يتدخل في نظريتها ، كما سنرى فيما بعد .

٥ - كذلك الأمر فيما يتعلق بتأثير الاشعاعات تحت الحمراء . اذا عرضنا للاشعاع تحت الأحمر كبريتاً مفصفاً سبق له أن شعع ، شوهد غالباً تزايد موقت في الأصدار .

(د) بينما يفسر تغلور البلورات تقريباً كما يفسر تغلور الجزيئات ، (الفقرة ١٥ - ١١) حيث ان الصدمات من النوع الثاني تقوم هنا بدور هام بنتيجة تواترها ، فان نظرية التفصفر البلوري هي اكثر تعقيداً . وتحملنا الظروف على أن نأخذ بعين الاعتبار ، بالإضافة الى سويات الطاقة للبلور الصافي (١٩-١٥)

سويات الطاقة الوسيطة بين سويات عصابة التكافؤ V وسويات عصابة الناقلية C للبلور الصافي (الشكل ١٦ - ٢٠) . تؤدي هذه السويات ادواراً مختلفة في التلألؤ . فبعضها يتألف من سلسلة السويات L للذرات أو مجموعات الذرات المنشطة التي تؤلف مراكز التلألؤ . وبعضها P ، القريب من سوية عصابة الناقلية تسمى الفخاخ الالكترونية . وهي تنجم إما من الشوائب كالسابقة ، واما من عيوب في الشبكة .

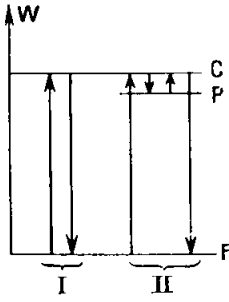


الشكل ١٦-٢٠. سويات الطاقة الوسيطة الناجمة

من المنشطات والفخاخ

ينبغي عندئذ التمييز بين صنفين من الجوامد المتفصرة . فالبلورات التي تنتمي الى الصنف الأول هي في الوقت ذاته ناقله فوتونية (١٩ ، ٦ - ١٧) وذلك مثال كباريت التوتياء والكالسيوم المنشطة بالنحاس او الفضة . ومن المعلوم ان الناقلية الفوتونية تنجم عن مرور الالكترونات المركب منذ عصابة التكافؤ حتى عصابة الناقلية ، تحت تأثير الطاقة الضوئية الممتصة . ومن ثم يمكن ان تسقط حتى السوية الأساسية لمركز تلألؤ ، مصدرة للضوء ، ولكن هذه الظاهرة لا تؤلف إلا التغلور . ولتفسير التفصفر يقبل بأن الالكترونات المنقولة الى عصابة النقل يمكن ان تهبط

الى داخل الفخاخ، وان العودة المباشرة لهذه الفخاخ الى السوية الاساسية لا يمكن ان تحدث مباشرة (ومن هنا نتج اسمها) ولكن الالكترتون يمكن ان يعود من الفخ P الى عصابة الناقلية C بعد دفع ثمن وهو ان يتص كمية ضعيفة من الطاقة وبعد ذلك يهبط الى السوية الاساسية F (الشكل ١٦ - ٢١) . هذه الميكانيكية تفسر في آن واحد طول أمد التفصفر (لأن إقامة الالكترتون في الفخ يمكن ان تكون طويلة الأمد) والفعل المنشط لدرجة الحرارة، الذي يعطي الطاقة اللازمة للعودة الى عصابة النقل . ويفسر فعل الضوء تحت الأحمر بصورة تقريبية كما يفسر فعل الحرارة .



الشكل ١٦ - ٢١ .
الميكانيكية المبسطة للتفلور
(I) وللتفصفر (II)

في الصنف الثاني من البلورات المتفصفرة ، لا يؤخذ الالكترتون المصدر ، في عصابة التكافؤ لمادة الاساس ، وإنما يقوم بانتقالات بين بعض السويات لمرکز لتألؤ .

لا يرافق التفصفر حينئذ ناقلية فوتونية . تلك هي حال مولدات الاملاح القلوية المنشطة بالتاليوم . ان السويات L للشكل ٢٦ - ٢٠ هي سويات الذرة Tl .

والتألؤ الكهربائي (الفقرة ١٣ - ١) يفسر إذا قبلنا بأن الكترونات الناقلية اذا تعرضت لحقل كهربائي ذي شدة كافية تتسارع . ومتى اكتسبت طاقة حركية كافية ، امكنها ان تتنازل عنها الى الكترتون مأخوذ في فخ وان تسمع له بالعودة الى عصابة الناقلية .

٥ () للتألؤ الفوتوني للجوامد تطبيقات عديدة: في الدهان المتألؤ، والمتفصفر، وتغطية اللوحات التصويرية الحساسة على الاشعة فوق البنفسجية والاشعة السينية

والحزم الالكترونية وفي الانارة بالتفلور ، وان التفريغ الكهربائي في انبوب يحوي على بخار الزئبق تحت ضغط منخفض يجعلها تعطي خاصة خط الطنين (التجاوب) فوق البنفسجي (الفقرة ١٤ - ٥٦) . يطلو الوجه الداخلي للانبوب بمسحوق يكون له تفصفر قصير الأمد (سيليكات التوتياء وتنغستات الكادميوم ، الخ ...) وان مزائج مناسبة من هذه المواد تمكن من الحصول على أضواء مرئية ذات تالوين مختلفة وخاصة منها ما يقارب ضوء النهار . وان المردود من حيث الطاقة الضوئية هو في حدود ٢٠ ٪ . من الطاقة الكهربائية الممتصة .



تمارين

١٦ - أ للمحاليل المائية لكبريتات النحاس، من أجل الموجة $\lambda=0,6\mu\text{m}$ ، عامل امتصاص $2K$ له القيم الآتية في مختلف التراكيزات c :

c (كيلو مول / م ^٣) :	٠,١	٠,٣	٠,٥	٠,٦	٠,٧	٠,٨	٠,٩
$2K$ (م ^{-١}) :	١٩	٥٥	٩٠,٥	١٠٩	١٢٦	١٤٥,٥	١٦١

بين أنه يمكن تعريف عامل امتصاص نوعي ، واحسب قيمة $2K'$

١٦ - ب تعدل نظرية على أن الفعل الذي يجريه مذيب على شرائط (عصابات) الامتصاص تحت الحمراء لجزيء منحل فيه ، هو ناتج عن الحقل المؤثر (الفقرة ٩ - ب) ويعبر عنه بالصيغة :

$$\frac{\Delta\sigma}{\sigma} = A \frac{\epsilon_1 - 1}{2\epsilon_1 + 1} \quad [١]$$

حيث σ هي العدد الموجي لعصابة الامتصاص المبحوث من أجل المادة المنحلة وهي في حالة بخار ، و $\Delta\sigma$ تغير σ في المذيب الذي Σ_f هي سماحيته النسبية . و A ثابتة .

من أجل جزيء الحلون (الأستون) $(CH_3)_2 CO$ ، تعطي التجربة الأعداد الآتية :

المذيب	ϵ_2	$10^3 \frac{\Delta\sigma}{\sigma}$
الهكزات $C_6 H_2$:	١,٨٩	٩,٥
الهكزان الدوري $C_6 H_{14}$:	٢,٠٣	١٠,٥
رابع كلور الكربون $C Cl_4$:	٢,٢١	١١,٥

المذيب	ϵ_r	$10^3 \frac{\Delta \sigma}{\sigma}$
الطولوين	C_7H_9 : ٢,٣٢	١٢,٥
كبريت الكربون	CS_2 : ٢,٦٤	١٣
اكسيد الاثيل	$C_4H_{10}O$: ٤,٣٤	١١
الغول الاثيل	C_2H_5O : ٢٤	١٨

ارسم المنحني الذي يمثل الصيغة [١] ، وفسر النتائج .

١٦ - ج اعطت قياسات قرينة انكسار كلور الصوديوم $NaCl$ في منطقة ما تحت الاحمر النتائج التالية :

m	λ (بالمكرون)	
١,٥٠٨	٧,٦٦	١
١,٣٩٤	١٠,٠٢	٢
١,٤٧٤	١٢,٦٩	٣
١,٤٦٠	١٤,١٤	٤
١,٤٤١	١٥,٩١	٥
١,٤١٥	١٧,٩٣	٦
١,٢٧٣	٢٠,٥٧	٧
١,٣٤٠	٢٢,٣٠	٨
١,٢٨٣	٢٤,٨٠	٩

تبين النظرية (الفقرة ١٦ - ٥ - د) ان لكلور الصوديوم طول موجة واحدة خاصة للامتصاص λ_0 في ما تحت الاحمر . حاول أن تمثل القياسات المتقدمة بصيغة تبدها حد (٩ - ٦) من النوع :

$$n^2 = a + \frac{b \lambda^2}{\lambda_0^2 - \lambda^2}$$

واستنتج من ذلك قيمة λ_0 . يعطي القياس المباشر $\lambda_0 = 61,1 \mu$.

١٦ - د تتناقص شدة المعان I لبعض الأجسام الصلبة ، مع الزمن وفقاً للقانون :

$$\left(\text{حيث } A \text{ و } \alpha \text{ هما ثابتان} \right) \frac{I}{A} = - \frac{dn}{dt} = \alpha n^2$$

(ويعني ذلك ان الالكترونات والفخاخ تعود الى الاجتماع بصورة تتناسب مع جداء اعدادها n) .

في اللحظة $t = 0$ ، يحذف المنبع المهيج عندما تكون شدة المعان I_0 .
احسب الزمن τ الذي لاتعود الشدة في نهايته سوى $I_0/2$.

هـسـابـرأبـوـسـفـالـلـمـوـسـي

* * *

متاح للتحميل ضمن مجموعة كبيرة من المطبوعات من صفحة

مكتبتي الخاصة

على موقع ارشيف الانترنت

الرابط

https://archive.org/details/@hassan_ibrahem

هنا يوسف اللواتي

متمات مختلفة

متاح للتحميل ضمن مجموعة كبيرة من المطبوعات من صفحة

مكتبتي الخاصة

على موقع ارشيف الانترنت

الرابط

https://archive.org/details/@hassan_ibrahem

الفصل السابع عشر

الضوء في الجيوفيزياء وفي فيزياء النجوم والكيمياء والبيولوجيا أ. بصريات الجو ، وما تحت البحر

١٧ - ١ . — الانكسار الجوي .

أ (لقد الحنا (١٤ ، ١١) الى أن الاشعة التي تصل إلينا من النجوم ، يصيبها عند اختراقها للجو ، انحراف تزداد قيمته كلما ابتعدت عن السمت ، لأن قرينة انكسار الهواء تختلف قليلاً عن الواحد . كذلك الانكسار أيضاً هو المسبب لافعال السراب والتشويبات الظاهرية للاجزاء المرئية من الشمس والقمر عند الشروق أو عند الغروب . ويعطي الامتصاص (الفقرة ١٧ - ٣) والتبديد الجوي لهذين الكوكبين المظاهر الملونة التي تختلف باختلاف حالة السماء .

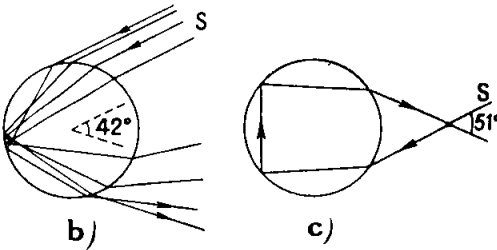
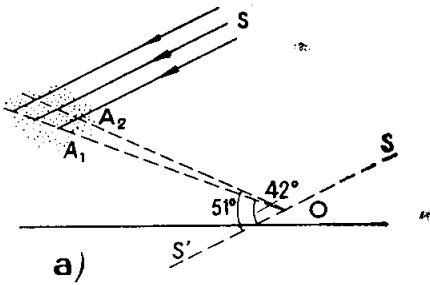
وهناك ظاهرة استثنائية ذات أصل مماثل ، وهي ظاهرة الشعاع الاخضر الذي يلمح كما يلمح لمع البرق مدة قصيرة جداً يختلف مداها ، ذات لون زمردني ، وذلك فور غروب الشمس في جو صاف تماماً . وقد امكن تصويره ، مما يثبت انه ليس ناجماً عن تتابع في التباين (الفقرة ٦ - ٣) .

ب (كثيراً ما تحدث تغيرات محلية في قرينة الهواء بسبب تغيرات في الضغط وفي درجة الحرارة (الاضطرابات الجوية) فينجم عن ذلك انتقالات ظاهرية دائمة وصغيرة جداً في الاجسام النقطية البعيدة (النجوم) حول موقعها

الأوسط ، وكذلك تغير في شدتها الضوئية وحتى في لونها . وهذه الومضات التي ترعج الأرصاد الفلكية ترى خاصة على النجوم البعيدة عن السمات .
(ج) تأتي دراسة دور الجو في الانتشار غير المستقيم للامواج المرئية في الجزء ٧ ، الفقرة ٩ - ١٤ .

١٧ - ١ . - قوس قزح . الرهانة .

(أ) لا يظهر قوس قزح إلا عندما يدير الناظر O (الشكل ١٧ - ١ - a)



الشكل ١٧ - ١ - a) شروط رؤية قوس قزح
(b) المسير في قطرة ماء للأشعة التي تؤلف القوس ذات الـ ٤٢° (c) المسير في قطرة ماء للأشعة التي تؤلف القوس ذات الـ ٥١°

ظهره الى منحى الشمس S، وينظر الى مجموعة من قطرات الماء تنيرها S. ويحدث ذلك بعد المطر ، ويحدث ايضاً عندما يتجه توجيهاً ملائماً بالنسبة الى فافورة ماء أو خرطوم رش.

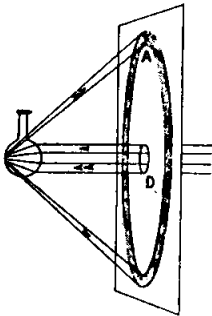
ان القوس A₁ الذي هو على الغالب اكثر قابلية للرؤية يرى كجزء من دائرة يكون مركزها على الامتداد OS' للاستقامة SO، حيث تكون الزاوية A₁OS' قريبة من ٤٢°

درجة . فمنحاه معين تماماً لاموقعه، وهو يتبع انتقالات الناظر وانتقال الشمس . ولا يعود مرئياً عندما يصبح ارتفاع الشمس فوق الأفق اكثر من ٤٢ درجة .

درجة . وتبدو الألوان فيه تقريباً كأنها ناجمة من تراكب عدة أطيايف متزاخة عن بعضها قليلاً ، ويكون البنفسجي أقربها من OS' ، وهي مزوجة بالبياض (الفقرة ٦-٦ ج) وتكون أهميتها النسبية متغيرة من قوس إلى أخرى ، وأحياناً من لحظة إلى أخرى على نفس القوس .

ترى في اغلب الاحيان قوس ثانوية A أقل نوراً وذلك تحت زاوية قريبة من ٥١ درجة ، ويكون ترتيب الألوان فيها معكوساً بالنسبة إلى ترتيبها في القوس الاولى .

ب (٥ -) اذا اسقطنا على دورق كروي مملوء بالماء المصفى جيداً ، حزمة رفيعة وشديدة من الاشعة المتوازية محددة تحديداً مناسباً بواسطة حظار D



الشكل ١٧ - ٢ -

تجربة تقليد لقوس قزح

(الشكل ١٧ - ٢) فانه يمكن أن نرى على حاجز أبيض يحيط بـ D قوساً مدورة A حمرة في الخارج وشبيهة بقوس قزح . وان دراسة الظلال التي تطرحها العقبان التي يعارض بها في نواح مختلفة تدل على أن الاشعة المؤلفة لهذه القوس قد طرأت عليها الانحرافات الميئنة في الشكل ١٧-١ b ، حيث ان الانحراف الاصغر هو $١٣٨^\circ = ١٨٠^\circ - ٤٢^\circ$.

تنتج اقواس قزح الاولى ، كما بين ديكارت Descartes ، من الضوء الذي تعكسه قطرات ماء كثيرة ، فالاشعة المجاورة لتلك التي هي أقل انحرافاً تبقى وحدها عند البروز قريبة من المتوازية ، بحيث تستطيع أن تدخل في العين . وبين الشكل ١٧ - ١ c سير الاشعة الحدية التي تؤلف القوس الثانوية . وان دراسة أكمل من هذه ، لا تأخذ بعين الاعتبار التبدد فحسب ، بل تهتم ايضاً بالتداخلات بين الاشعة المتجاورة وبالا انقراج في حالات القطيرات

الشديدة الصغر ، تسمح بتفسير مختلف المظاهر الملونة التي تلاحظ .

ج (تبدو الشمس كما يبدو القمر احياناً محاطين بهالة حلقة وعندما يريان تحت زاويتين 22° و 46° تكملها أو لاتكملها اقواس مماسية ، وبكلف وأعمدة ضوئية ، وكل هذا الظواهر تتحسن رؤيتها اذا حيت العين من الضياء المباشر للكوكب . ونظرية ذلك ، التي هي شبيهة بنظرية قوس قزح ، تدخل فيها انكسارات وانعكاسات في بلورات الجليد الذي يؤلف بعض السحب (١٥٤ - ٨) .

ينبغي ألا يخطئ بين الحالات وبين التيجان التي هي هالات او حلقات ضعيفة الشعاع الزاوي (قلما يتجاوز 5°) والتي تظهر حول القمر (او الشمس احياناً) عندما تكون السماء مغطاة بالغيوم ، وتنجم عن انعراج الضوء على القطيرات الدقيقة او البلورات الصغيرة التي في السحب (١٥٤ - ٨) .

١٧ - ٣ . — الامتصاص والانتثار الجويان :

١ (ان طبقة الهواء الجوي ، مثل كل وسط ناثر (الفقرة ٥ - ١٢) يحول بين منبع الضوء S وبين جسم A ، تؤثر في استنارة هذا الجسم بعدة اشكال :

١ - ان الحزمة الضوئية الواصلة الى الجسم تنقص بسبب الامتصاص الحقيقي الناجم عن غازات الهواء وفي بعض الاحيان عن الجسيمات والدقائق المختلفة المعلقة في الجو كال دخان والضباب والسحب .

٢ - يجلب الانتثار ، بالإضافة الى ذلك ، امتصاصاً ظاهرياً ، بسبب انه يحرف قسماً من الضوء عن استقامته AS : وان الانتثار الجزيئي من قبل غازات الهواء حاصل دوماً وينخفض لقانون رايلي^(١) (الفقرة ١٠ - ٩) ، واما الانتثار على الدقائق والجسيمات المعلقة فيتغير تغيراً كبيراً حسب عدد هذه الجسيمات

(١) من ذلك استعمال الضوء تحت الاحمر من اجل التصوير عن بعد كبير .

والدقائق حسب كبرها (الفقرة ١٠ - ٦) .

٣ . - وأخيراً ، ان العناصر الناثرة غير الواقعة على المسير SA ، يمكن ان ترد نحو A قسماً من الضوء الذي تتلقاه من S أو من الأجسام التي ينيها S ، أو احياناً من منابع أخرى ، وهذا الضوء المنتثر بسبب اضاءته ايضاً للأجسام الاخرى B المجاورة لـ A ، تعمل على انقاص التباين بين A و B وبالنتيجة على اضعاف قابلية A للرؤية (أي منظورتها) .

ان هذه الافعال المختلفة تتعلق تعلقاً متفاوتاً بطول الموجة ، وأن تغيرات كثافة الجو وتركيبه مع الارتفاع ، وكذلك التغيرات الطارئة على الجسيمات من منطقة إلى أخرى ، كل ذلك يعقد هذه الدراسة .

ب) فأما الطيف المرئي ، فان ما يصيبه من امتصاص يسبب غازات الجو وحدها ، مهمل ازاء الامتصاص الظاهري الناجم عن الانتشار الجزيئي ، سوى ما يتعلق ببخار الماء ، الذي يختلف كثرة أو قلة حسب حالة الرطوبة ودرجة الحرارة ، والذي يمتص بعض الشعاعات الحمراء . ولهذا البخار في منطقة تحت الاحمر عصابات امتصاص عريضة ، تظهر بينها « فتحات » توصيل (في جوار أطوال الامواج ٧٢ و ٨١ و ٩٤ و ١٠٣ و ١٤٠ ميكرونا ، الخ) .

ويوجد من ناحية ثانية ، في اقصى اعالي الجو (أي في حدود ارتفاع ٥٠ كيلو متراً) كمية من الاوزون O_3 تعادل في مجموعها في اتجاه الشاقول ، ثخناً قدره ٣ مم من الغاز بالضغط النظامي . وهذا الأوزون ينتج من الفعل الضوئي الكيماوي (الفقرة ١٧ - ١٤) الاشعاعات ذوات الكم العالي (ما فوق البنفسجي الأقصى) في الاكسجين (والذي يمتص بعد ذلك هذه الشعاعات) .

لطيف O_3 عصابة امتصاص عريضة تسمى عصابة هارتلي Hartley ، تقع ما بين ٢٠٠ و ٣٠٠ ملي مكرون ، وعصابات أخرى أقل شدة منها بكثير ، في الأصفر والأحمر (ومن ذلك ينشأ اللون الأزرق للأوزون إذا كان بشحن كاف

وفي ما تحت الاحمر ايضاً . وقد امكن دراسة طبقة الاوزون الجوي وتحديد موقعها بنتيجة امتصاصها (الذي يزداد كلما كانت الاشعة تجتازها بميل أشد) بالمقارنة مع الامتصاص المحدد في المختبر . وفي جوار طول الموجة $\lambda = 250\mu$ فقط (تحت الضغط النظامي) وهكذا يتفسر لنا تحديد الطيف الشمسي من ناحية اطوال الامواج القصيرة (الفقرة ١٧ - ٦) .

ج (بالرغم من ان الانتثار الجزيئي يولد تالقي «السبب الزرقاء» الفقرة ١٠-٩) فان الامتصاص الذي يقابله ضعيف : في حدود ٣ إلى ٤ ٪ بالكيلو متر وتحت الضغط النظامي في الازرق ، واقل من ١ ٪ في الاحمر . وان الامتصاص الظاهري لضبابية بحرية ، ولو كان ضعيفاً ، واغوى منه امتصاص الضباب او الدخان ، هي كلها اشد فعلاً . وقد ادت دراسة هذه الامتصاصات الى بحوث عديدة نظرية وتجريبية معقدة بسبب تعقد هذه الجسيمات المتعلقة وتطورها مع الزمن ويكون هذا التطور سريعاً في بعض الاحيان . وان النتائج التي لم تتكامل بعد سيكون لها تطبيقات مهمة على قابلية الابصار في الضوء الطبيعي او في حقل جهاز اسقاط الضوء (أي الكشاف) ، وعلى شروط هبوط الطائرات وعلى توصيل الاشارات الضوئية وتحت الحمراء والهرتزية ، الخ ...

د (الضياء الغسقي هو الضوء الصادر عن الشمس والذي يردده الجو البنا عندما تصبح الشمس تحت الافق (حتى ١٨ ° تقريباً) بعد غروبها . وثمة ظاهرة مماثلة تحدث في الصباح . ويزداد أمد الغسق بازدياد العرض الجغرافي ، وهو في الشتاء اكبر منه في الصيف .

ويعزى الضوء البرجي إلى نفس المنشأ ، أي إلى وجود الجسيمات الكونية التي تحيط بالشمس على بعد كبير منها وتأخذ نورها منها . ويرى في الشتاء في الليالي المظلمة فقط ، بلمعان مقارب للمعان المجرة ، ويولف نصف مغزلين

موجهين في الناحية التي تشغلها البروج في السماء ، وقاعدتا هذين المغزلين في اتجاه الشمس وذروتها المشتركة معا كسة للشمس في القبة السماوية .

١٧ - ٤ . — الاشعاعات ذات المنشأ الجوي .

سنتكلم بعد قليل (الفقرات ١٧ - ٦ الى ١٧ - ٩) عن الضوء الذي نتلقاه من النجوم ومن السماء الليلية (الفقرة ١٧ - ١٠) ويأتي بعضه من العالم الخارج عن الارض . غير ان ضياء البرق والفجر القطبي والشهب تتشكل في جونا .

آ (ان البرق الذي سنرى في الجزء ٧ شروط تشكله (الفقرة ١٣ - ٨) يتخذ الواناً مختلفة (ابيض أو وردي أو بنفسجي) ، وقد أمكن في بعض الحالات دراسته في الموشور الجسمي (الفقرة ١٧ - ٨) أو حتى في المطياف ذي الشق (الفقرات ٤ - ٤ الى ٨ - ٤) وأمكن العثور في اطياف البرق على بعض العصاب والخطوط الآزوت والاكسجين والهيدروجين والارغون والجدور NO ، NH ، OH ، الخ .

ب (يصدر الفجر القطبي (٧ ، ١٣ - ١٠) عدة خطوط وعصاب ناجمة عن غازات الهواء ، وخاصة شعاعة خضراء (5577\AA) توجد في اطياف السدائم الغازية والسماء الليلية ، والتي امكن معرفة أنها ناجمة عن انتقال « محظور »^(١) (الفقرة ١٤ - ١٥) لذرة الاكسجين المعتدلة . وقد امكن في بعض الاحيان لفعل دوبلر - فيزو (الفقرة ١٣ - ٩) الواضح جداً ، أن يكشف عن حركات لذرات الهيدروجين تقترب فيها من الارض بسرعات تتجاوز ١٠٠٠ كم/ثا .

(١) هو الانتقال $^1S_0 - ^1D_2$ ، راجع الفقرة ١٤ - ١٣ .

ج) ان الشهب والنيازك ، كبيرها وصغيرها ، تبدو عند دخولها في الجو بسرعتها الكبيرة وكأنها نجوم مسرعة وتكاد تبلغ كواكب القدر الأول (الفقرة ١٧ - ٧) بل وربما غدت أشد ضياءً منها . وان الاشعاع الداخل في إصدارها هو اشعاع المادة الشهابية (Fe ، Si ، Mg ، النخ) التي تبخرت وتنهجت بسبب الكبح المفاجيء الشديد .

١٧ - ٥ . — الضوء في البحر .

أ) عندما تقوم عين السابح (أو جسمية آلة التصوير) بالغطس في البحر أو في بحيرة فإن تشكل الأخيلة لا يبقى كما كان بسبب الفرق بين قرائن الانكسار . وأن أبسط الحالات هي الحالة التي يراقب فيها الانسان من خلال زجاج نافذة مستوي ذي ثخن ضعيف (ملابس الماء) ، فبنتيجة اختراق الكامر الذي يتحقق هكذا ، في استقامة عمودية على النافذة ، تكون الأخيلة قد اقتربت إلى ثلاثة أرباع بعدها الحقيقي (٤ ، ٥ - ١) .

ب) إن نفوذ ضوء النهار داخل الماء تحدده ظواهر الامتصاص والانتثار . ويبدو فعل الانتثار الجزيئي مهماً أمام الامتصاص ، حتى ولو في الماء المقطر حيث يكون لعامل الامتصاص الحقيقي K (الفقرة ٥ - ١١) قيمة دنيا في حدود $0,01 \text{ m}^{-1}$ (من أجل $\lambda = 0,50 \mu$) و يبلغ $0,1 \text{ m}^{-1}$ نحو $0,36 \mu$ و $0,60 \mu$ ويتجاوز $1,1$ نحو $0,75 \mu$ ، ويوجد علاوة على ذلك عصابات امتصاص واضحتان من 600 الى 635 ومن 656 الى $670 \text{ m} \mu$. وان انطفاء الطرف الأحمر للطيف المرئي يفسر اللون الأزرق للماء تحت ثخن كبير .

ج) ان هذا اللون ، الذي ليس له إذن نفس الأصل الذي للون السماء ، يتحول تحولاً مختلف كبراً وصغراً حسب الحالات بتأثير المواد المنحلة أو المعلقة في ماء البحر . وإذا أخذنا بعين الاعتبار الضوء المنتثر ، فان الانارة الوحيدة

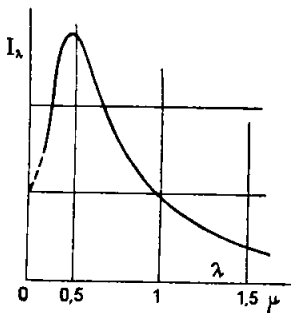
اللون E على مستو أفقي تتناقص تبعاً للعمق x وفقاً للقانون الأمي التقريبي :

$$E \simeq E_0 \exp (-\gamma x) \quad [١١٧]$$

يختلف العامل γ كثيراً حسبما يكون البحر كثير التعكير أو قليله ،
وتهبط E الى $E_0/100$ من أجل $\lambda = 0,5 \mu$ ولقيم من x في حدود ٢٠٠ م في ماء
البحر المرشح ويمكن ان تهبط إلى أقل من ١٠ م في جوار الشواطئ .

ب . قياسات الشدة الضوئية وقياسات الشدة الطيفية الفلكية

إن الدور الاسامي الذي تقوم به البصريات في الفلك لا يقتصر على استعمال
النظارات الفلكية والراصدات فحسب (٢١،٤ - أ) من أجل رصد الكواكب
وحرركاتها الظاهرة ، ولا على استعمال الطرق التداخلية أحياناً من أجل تقدير
القطر الظاهري لبعض النجوم أو التباعد الزاوي للكواكب المزدوجة (٤، ١٦ -
٢) وسنرى أي معلومات أساسية تقدم الدراسة الكيفية والكمية للضوء الذي
نتلقاه من الشمس ومن غيرها من « الأجرام السماوية » .



الشكل ١٧ - ٣ . منحني التوزيع
الطيفي للاشعاع الشمسي، ان قدرة
الفصل هنا غير كافية لظهور
خطوط فراونوفر

١٧ - ٦ . ضوء الشمس .

أ) إن الاشعاع الذي يصل البنا من
الشمس عبر الجو في اثناء الصحو ، يشبه بصورة
تقريبية اشعاع الجسم الاسود (٢٠،٢ - ٧)
في الدرجة $5600^\circ K$ (الشكل ١٧ - ٣)
ولكنه ، مثل ضياء النجوم الأخرى ،
يقف منه قسم ما فوق البنفسجي (حوالي
 2900\AA) بسبب امتصاص الاوزون له .

ويختزل كثيراً من ناحية ما تحت الأحمر بسبب امتصاص بخار الماء له (الفقرة ١٧ - ٣) وبين لنا الشكل ١٧ - ٤ (من اللوحة ١٠) التوسع المتزايد لما فوق البنفسجي في طيف الشمس عندما يزداد الارتفاع فوق سطح البحر .

ان الاستنارة الطاقة الكلية التي تتلقاها لوحة عمودية على اشعة الشمس هي في حدود ١ كيلووات / م^٢ (٢٤٠،٢ - ٦) ، واذا اخذنا بعين الاعتبار امتصاص الجو ، فان هذه الاستنارة تكون خارج الجو في حدوده ١٠٣٥ كيلووات / م^٢ (أي ٢ حريرة / دقيقة / م^٢) ويكون تركيبها الطيفي قريباً من تركيب اشعاع جسم اسود مسخن في حدود ٦٥٠٠ درجة كلفن .

تعود تقلبات ضوء الشمس بصورة رئيسية الى تقلبات الامتصاص الجوي ، ومع ذلك فان اصدار الشمس يتغير بعض التغير ، وخاصة عند ظهور او عند اختفاء المناطق الواسعة التي هي اقل اضاءة من سائر الشمس (بعشر مرات مثلاً) والتي تسمى بالكلف الشمسي .

ب) ان هذا الضوء ذا الطيف المتصل ، يصدر من طبقة سطحية ^(١) من الشمس تسمى كوة الضوء يحيط بها غلاف غازي ضعيف الضغط جداً (كوة اللون) وهذه الكوة الاخيرة تنبئ عن وجودها بصورة خاصة بامتصاصها لبعض الشعاعات ، ولذلك يبدو في الطيف الشمسي لدى فحصه بواسطة جهاز ذي قدرة فصل كافية ، خطوط مظلمة تسمى خطوط كوة اللون . وثمة خطوط اخرى تسمى ارضية هي ناجمة عن الامتصاص الحاصل من قبل غازات جو الارض .

ان جملة هذه الخطوط التي اشير إلى أهمها بحروف ابجدية (الشكل ١٧ - ٥

(١) هذه الطبقة التي تبلغ بضع مئات من الكيلو مترات هي غازية مثل جملة جسم الشمس بسبب درجة الحرارة المرتفعة ، وهي مضغوطة بسبب الجاذبية الشمسية القوية (بحيث يبلغ ضغطها ١٠/١ جو تقريباً) .

من اللوحة ٢ والجدول ١٧ - ١) تؤلف ما يسمى بطيف فراونهوفر . Fraunhofer

الجدول ١٧ - ١									
الخطوط الرئيسية لطيف فراونهوفر									
$\lambda(A^\circ)$	المنشا	الزمر	$\lambda(A^\circ)$	المنشا	الزمر	$\lambda(\text{\AA})$	المنشا	الزمر	
٥ ٢٦٩	Fe	E ₂	٣ ٨٢٠	Fe	L	٢ ٩٤٨	Fe	.U	
٥ ٨٩٠	Na	D ₂	٣ ٩٣٤	Ca	K	٢ ٩٩٤	Fe	t	
٥ ٨٩٦	Na	D ₁	٣ ٩٦٨	Ca	H	٣ ٠٢١	Fe	T	
٦ ٥٦٣	H	C	٤ ١٠٢	H	h	٣ ٠٤٧	Fe	s	
٦ ٨٧٠	O	B	٤ ٢٢٧	Ca	g	٣ ١٠٠	Fe	S	
٧ ٥٩٤	O	A	٤ ٣٠٨	Fe,Ca	G	٣ ١٨٠	Ca	R	
٧ ٦٢١			٤ ٣٤٠	H	G'	٣ ٢٨٧	Fe	Q	
٨ ٨٢٨			٤ ٨٦١	H	F	٣ ٣٦١	Ti	P	
٨ ٩٩٠			Y	٥ ١٦٧	Fe,Mg	b ₄	٣ ٤٤١	Fe	O
				٥ ١٧٣	Mg	b ₂	٣ ٥٨١	Fe	N
			٥ ١٨٤	Mg	b ₁	٣ ٧٢٨	Fe	M	

٥- - تلاحظ بسهولة الخطوط الرئيسية لطيف فراونهوفر بواسطة مطياف من نوع عادي دارج ، ذي مؤشر يبلغ طول حرفه بضعة سنتيمترات أو بواسطة مطياف جيب (الفقرة ٤ - ٦ أ) موجه نحو الشمس عندما يشكل خيال الشمس على شقه الرفيع .

ملاحظة . - إن الشعاعات التي تمتصها كرة اللون تصدرها هذه الكرة أيضاً ، حيث أن شروطها هي شروط انقلاب الخطوط ، (الفقرة ١٣ - ٦) فتبدو هذه الخطوط عندئذ مضيئة على قاع أسود إذا رصد حرف الشمس أثناء الكسوف الكلي ، في أثناء الوقت الحاطف الذي يغطي فيه القمر كرة الضوء

بدون أن يغطي كرة اللون ، ويمكن بهذه الطريقة تمييز الخطوط العائدة إلى كرة اللون من الخطوط الأرضية (انظر أيضاً الفقرة ١٧ - ٩ ب) .

إن الضوء الذي تصدره كرة اللون على حافة الشمس ، هو عدا أوقات الكسوف ، يغطيه ضوء كرة الضوء الذي ينثره جونا كما تغطيه عناصر الأجهزة البصرية التي في طريقه . وقد أعطى الفلكي ليو Lyot اهتماماً خاصاً في الجهاز الذي اخترعه لتصوير الطبقة التاجية من الشمس Coronographe ، للتخلص من هذا الضوء الطفيلي تخلصاً وافياً . فإذا استعمل هذا الجهاز في مرصد مبني على مكان مرتفع جداً ، حيث يتخلص الانسان من الانتثار الجوي ، غدا بالامكان أن يدرس ، خارج أوقات الكسوف ، لا طبقة اللون فحسب ، بل التاج الشمسي الذي يبدو ذا ضياء ضعيف حول الشمس ويمتد إلى مسافات تبلغ أحياناً عدة أضعاف من نصف قطرها . ويتألف هذا التاج من دقائق وجسيمات مغلخلة جداً تنثر ضوء الشمس .

إن المسجل الطيفي للشمس Spectrohéliographe هو ضرب من موحد اللون (٤ - ١) يشكل على شقه خيال حقيقي S للشمس . وبوجد وراء شق الخروج لوحة تصويرية E ، وهناك آلية تقوم بتنقيل S و E (بدون تغيير طول الموجة النافذة λ) بحيث يحصل بالتتابع على اللوحة الحساسة على صور متراصة لعصابات متجاورة من سطح الشمس . ويؤلف المجموع خيالاً اجمالياً للشمس ، بالضوء الوحيد اللون الذي يختار اختياراً . إن هذه الأجهزة تعطي عن بنية كرة اللون معلومات قيمة .

ونذكر أخيراً أن موشحات الاستقطاب التي صنعها الفلكي ليو (الفقرة ٤ - ٢) تصلح بشكل خاص لدراسة سطح الشمس بالضوء الوحيد اللون .
ج (ان دراسة خطوط كرة اللون تظهر مفعول دوبلر - فيزو (الفقرة ١٧ - ٩) وكذلك مفعول زيمان (الفقرة ١٣ - ٨) وهما لا وجود لهما في

الخطوط الأرضية . وان التحريض المغناطيسي الذي ينتج هذا المفعول الأخير هو في حدود 5.10^{-3} Wb/m^2 على مجموع ككرة اللون (ويعادل ٢٥٠ ضعفاً من شدة الحقل الأرضي في باريس) ويمكن أن تبلغ 0.3 Wb/m^2 في الكلف . وهذا الكلف من جهة أخرى هو مكان الاصدار الرئيسي للأمواج الهرتزية القصيرة من قبل الشمس (٩٤٨-١٤) .

وقد أمكن اظهار فرق صغير (وهو انتقال قدره 0.008 \AA نحو أطوال الامواج الكبيرة) بين أطوال امواج الاشعاعات المصدرة في مركز قرص الشمس وبين الاشعاعات التي تصدرها على الأرض نفس العناصر . ويعود هذا الفرق ، حسب النظرية النسبية الى وجود حقل ثقالة على الشمس ، أشد بكثير من حقل الثقالة الأرضي (الفقرة ١٨ - ١٧) .

(د) ان الكواكب السيارة وتوابعها ، ترسل لنا ، بالإضافة إلى اشعاعها الحراري الخاص ، المتوطدة خاصة في ما تحت الأحمر ، قسماً صغيراً من ضوء الشمس الذي تتلقاه . وان دراسة خطوط الامتصاص في طيف هذا الضوء تعرفنا على جو الكوكب السيار .

ان عامل الانعكاس الانتثاري (الذي يسمى أحياناً البيدو Albedo ومعناه البياض) يتغير مع طول الموجة ومع مناحي السقوط والرؤية . ويمكن أن يتغير من نقطة إلى أخرى . ففي القمر مثلاً ، تقارب قيمته ٠.١ ، وهو في الأزرق اصغر قليلاً منه في الأحمر (١٧٤، ١٣-ب) .

وفياً عدا ليالي البدر ، فان القسم من سطح القمر الموجه نحو الأرض ، والذي لاتثيره الشمس مباشرة ، يرى أحياناً رؤية ضعيفة بفضل ما يسمى بالضوء الرمادي او الاشهب ، والذي هو أيضاً من ضياء الشمس ولكنه طراً عليه انعكاسان متتابعان ، أولاً على الأرض ، ثم على القمر .

وان طيف المذنبات ، الذي يختلف كثيراً عن طيف السيارات ، يحتوي على خطوط وعصائب مضئة تعزى إلى مفعولات التفلور .

١٧ - ٠٦ - قياس سرعة ضياء النجوم^(١)

(آ) ان الكواكب التي لها قطر ظاهري ملحوظ ، أما بالعين المجردة وأما في المناظير (وهي السيارات) يمكن أن تميز فوتومترياً بلمعانها (الفقرة ٢ - ٥) ولكن هذا المفهوم لا يمكن تطبيقه على النجوم التي نراها دوماً كنقاط .

كانت النجوم تصنف قديماً تصنيفاً حسيّاً تجريبياً . فالتى تبدو لنا اشدها اضاءة كانت تسمى بذوات القدر الاول والتي هي اضعف اثاراً منها بقليل ، من القدر الثاني وهكذا . وخصص القدر السادس للنجوم التي لاتكاد ترى بالعين المجردة . وقد تبين ان هذا التصنيف يقابل تصنيفاً لغريتمياً في السطوع النجمي . ونذكر بأن هذه التسمية تطلق (١٧٤٤ - ١٠) على الاستنارة e التي يحدثها ضوء الكوكب ، بعد اجتيازه للجو (في وقت صاح) وتلقيه على حاجز عمودي على اشعته ، أو من قبل بؤبؤ العين الناضرة الى الكوكب .

إذا زاد القدر خمس وحدات ، نقص سطوع الكوكب تقريباً بنسبة ١٠٠ مرة ، فيقابل ذلك من أجل زيادة القدر واحدة فقط نقصاناً في السطوع قدره $2,51 = 10^{0.4}$ ، وقد استبدل المفهوم التجريبي الحسي للقدر بمفهوم أشد ضبطاً وهو العِظَم : لنفرض أن e و e_0 هما السطوعان النجميان لكوكبين m و m_0 هما عظماهما ، فنفرض اصطلاحاً :

$$\frac{m - m_0}{5} = \frac{\lg(e/e_0)}{\lg(1/100)} = -\frac{1}{2} \lg \frac{e}{e_0}$$

بنتيجة ذلك تركز قياسات شدة أضواء النجوم على العلاقة الآتية المسماة

(١) ان المعلومات الأولى عن فيزياء النجوم توجد في الجزء ٢ ، الفقرة ٢٠ - ١٥

بعلاقة بوغسون Pogson :

$$m - m_0 = -2,5 \log (e/e_0) \quad [٢٠١٧]$$

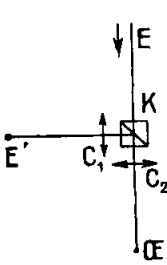
تدل العلاقة [٢٠١٧] على ان الأعظام يمكن أن تكون كسرية ، كما يمكن أن تكون سلبية (انظر ما يلي) .
يتتقي اصطلاحاً عظم للمقارنة^(١) ، بحيث يمكن الربط على أحسن صورة بين هذا السلم وبين السلم التجريبي « الأقدار » .

ب (تسمى الأعظام ابصارية ، أو تصويرية أو كهروضوئية حسباً تجري المقارنة بين قيم السطوع بواسطة العين أو بواسطة مستقبلات فيزيائية ، وتختلف قيم العظم في النجم الواحد كلما زاد اختلاف التركيب الطيفي لضوئه عن التركيب الطيفي للنجم العياري . وان الفرق بين العظم التصويري والعظم الابصاري^(٢) للكوكب يسمى دليل اللون ، وهو ينبؤنا عن الدرجة اللونية للكوكب . ذلك لأن العظم الابصاري للكوكب يتعلق أصلاً بالشدة الضوئية له في جوار الشعاع $530 \text{ m } \mu$ (وهي الشدة التي تبلغ فيها حساسية العين حدها الاقصى في الرؤية الليلية) والعظم التصويري بشدة الشعاع $425 \text{ m } \mu$ (التي تكون فيها اللوحات التصويرية في أقصى احساسها لدى استعمال جسمية تصوير زجاجية ، وهذه اللوحات ليست من النوع الحساس على الضوء الاحمر ولا على سلم الالوان الكامل) ان درجات الحرارة اللونية الآخذة بالارتفاع تقابلها نسب من الشعاعات البنفسجية آخذة بالازدياد بالمقارنة مع نسب الشعاعات الخضراء ، وبنتيجة ذلك أعظام تصويرية آخذة في الضعف بالنسبة الى الأعظام الابصارية (أدلة لونية سلبية) .

(١) يؤدي هذا الانتقاء الى اعطاء القيمة $m = 1,1$ الى كوكب الدبران .

(٢) تستعمل أيضاً الأعظام المسماة بالابصارية الضوئية ، ويحصل عليها بواسطة لوحات حساسة على الالوان ما عدا الاحمر ، ومرشحات تجعل الحساسية الطيفية قريبة من حساسية العين .

فلنقتصر على الأعظام الابصارية . ان قياسها يجري مثلاً بواسطة مقياس



الشكل ١٧-٦ .

مثال عن مقياس الضوء

النجمي مبسط

شدة الضوء بدون لوحة ناثرة (الفقرة ٥ - ٧ ج)

يتلقى فيها الوجه القطري لمكعب لومر K (الشكل

١٧-٦) من جهة ، ضوء النجم المدروس E (بعد

اختراقه لنظارة أو راصدة يكون تجسيمها وعامل

نفوذيتها معروفين) ومن جهة ثانية من « كوكب

اصطناعي » E' هو ثقب صغير جداً يضاء اضاءة

مناسبة ويجعل في محرق عدسة C1 تعطي حزمة متوازية .

ان الاضواء التي نفذ من K أو تنعكس عليه ،

تؤلف بعد اختراقها للعدسة المجمعة C2 اخيلة تختلط

في نقطة واحدة من بؤبؤ الناظر OE ، وهناك جهاز تدرج ذو قرن ماصة أو

ذو استقطاب (غير ممثل في الشكل) يمكن من تحقيق التوازن الفونومتري .

يعبر المنبع العياري E' بواسطة كوكب ذي عظم معروف . ولكن

القياسات الضوئية النجمية هي عادة قليلة الدقة (الخطأ في m يفوق ٠.١)

لأن العين لما كانت تتلقى ضياءً قليلاً ، تكون في ظروف الرؤية الليلية (،

١٧-١٢) ولأن المقارنات تكون غالباً مختلفة الألوان ولأن صفاء الجو يتغير

مع الاحوال الجوية ومع الارتفاع السمعي للنجوم المدروسة .

ج) لدى استعمال صيغة بوغنن نجد مثلاً ٢٠١ لعظم النجم القطبي

و - ١٠٦ لعظم الشعري التي هي الكوكب الذي يبدو اكثر كواكب السماء

ضياءً . وان اقوى الآلات الفلكية مضافاً اليها اشد المستقبلات حساسية ،

تمكن من كشف نجوم يتجاوز عظمها التصويري : ٢١ .

لبس ثم ما يمنع من تطبيق الصيغة [٢٠١٧] على اجرام اخرى غير

النجوم ، فنجد مثلاً $m \simeq -4$ للزهرة عندما تكون في احسن منظورتها ،

و - ١٢ للبدر و - ٢٧ للشمس . وهذه القيم الاخيرة التي لاتعود إلى منابع نقطية ، تستنتج من قياس الاستنارات التي يولدها الجرم المدروس ومن التقدير بالوكس (وهو امر صعب جداً) للسطوع النجمي لنجم ذي عظم معروف . وقد وجد فابري Fabry : $1 \times 10^{-5,28} e_0$ من أجل $m_0 = 1$ ، ويحمل ذلك ان نكتب لدى استعمال صيغة بوغسون :

$$m - 1 = -2,5 (\log e + 5,28)$$

أو :

$$m = -12,2 - 2,5 \log e \quad [٣,١٧]$$

حيث e هي بالوكس .

ملحوظة . - اذا عرفنا السطوع النجمي e لكوكب وبعده r عن الارض ، أمكن أن نستنتج من ذلك شدته الضوئية الظاهرية (من خلال الجو) $I = r^2 e$ بوحدات مترابطة (كانديلا ، متر ، لو كس) وهكذا نجد من أجل الشمس 3×10^{27} كانديلا ، كما نجد أكثر من ذلك بألف مرة في بعض النجوم .

يطلق الفلكيون اسم **العظم المطلق** لكوكب (رمزه M حيث m هي « العظم الظاهري ») على العظم الذي يحوزه الكوكب فيما لو انه لم يكن واقعاً على بعده الحقيقي r ، وإنما على البعد الاصطلاحي $r' = 10$ بارسك^(١) . فإذا قدرت r أيضاً بالبارسك ، تعطينا صيغة بوغسون :

(١) يطلق اسم الاختلاف الظاهري السنوي لنجم على القيمة العظمى p للزوايا التي يرى ضمنها من هذا النجم نصف القطر R لمدار الارض حول الشمس بعد افتراضه دائرياً . والبارسك هو بعد النجم الذي يبلغ فيه p ثانية قوسية ويعادل هذا البعد 3×10^{16} م (اي ٣٠ . ٠٠ الف مليار كيلو متر) :

$$M - m = -2,5 \log (10/r)^2$$

ومنه :

$$M = m + 5 \log r - 5 \quad [٤١٧]$$

د) هنالك عدد كبير من النجوم المتحولة : وهي في أغلب الاحيان نجوم بسيطة يتغير سطوعها تغيراً متفاوت في الانتظام . ويمكن ان يكون هذا التحول دورياً ، مثال ذلك فئة نجوم قيفاوس التي يطرأ عليها انتفاخات ونبضات متتالية (انظر الفقرة ١٧ - ٩ ج) ، ولكنه قد يصادف ايضاً أن الجسم الذي يتغير سطوعه هو نجم مزدوج ، بحيث أن مر كبتيه تدوران حول بعضها في مدار يمر مستويه بالارض ، فهذه النجوم يكشف أحدها الآخر . (مثال ذلك : الغول) .

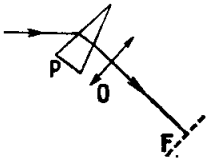
والنوبا (أو النجم الجديد) هو نجم تزداد نورانيته فجأة ، بادئة في الغالب من قيمة ظاهرة ضعيفة جداً ، وتكون مدة هذا الانفجار في الاغلب قصيرة جداً بحيث أن النورانية التي تصبح في البداية كبيرة جداً ، تنقص وتختفي بعد بضعة أسابيع . وأن بعض هذه النجوم التي بدت نورانيتها عظيمة الى حد هائل (سوبر نوبا) تخلف وراءها سديماً غازياً (انظر الفقرة ١٧ - ٨ د) .

١٧ - ٨ . الدراسة الطيفية للنجوم .

أ) للقيام بالدراسة الطيفية لضوء النجم ، يمكن ان يشكل له بواسطة نظارة فلكية أو راصدة خيال حقيقي على فرجة مطياف ، فيكون الطيف عندئذ خطي الشكل لأن خيال الكوكب لا يضيء إلا نقطة واحدة من فرجة المطياف . ومن المفيد ، لتحسين طريقة دراسة الطيف ، زيادة عرضه لكي يصبح شكله كشكل الطيف التجبري . وبفضل عدسة اسطوانية يمكن مختلف الاخيلة

النقطية الوحيدة اللون الى خطوط (المستقيمان المحرقبان : ١٠ ، ٤ - ٣) ويمكن أيضاً جعل فرجة المطياف موازية للحركة الظاهرة للكوكب وترك خياله ينتقل على طول الفرجة .

لما كانت الحزمة الرفيعة القادمة من الكوكب متوازية سلفاً ، فانه يستغنى عن المجمع أحياناً ويستقبل ضوء النجم مباشرة على



الشكل ١٧-٧ . الموشور الجسمي

موشور P (الشكل ١٧-٧) موضوع أمام جسمية O ، ويراقب الطيف في المستوى المحرق في F أو يصور . وينبغي أن تكون الابعاد العرضانية لـ P مساوية على الاقل لأبعاد O ، التي تكون أحياناً أكبر بكثير من أبعاد جسمية المطياف العادي ؛ لذلك فالموشور الجسمي كبير الكلفة وتبقى زاويته الثنائية في أكثر

الأحيان صغيرة نسبياً ، لذلك فهو قليل التبديد ولكنه يعطي في آن واحد أطيفاً صغيرة لجميع النجوم التي يمكن تصويرها لو لم يكن الموشور موجوداً ، وهذه الاطيف هي أكثر اثارة بكثير منها في حالة استعمال مطياف ذي فرجة .

ب) لأغلب النجوم ، مثل الشمس ، طيف متصل تتخلله خطوط امتصاص ولبعضها ايضاً (او ليس لها إلا) خطوط اصدار (الشكل ١٧ - ٨ ، اللوحة ١٠) ، وان فحص هذه الاطيف (الفصل ١٤) يعلمنا عن الحالة الطاقة للذرات المصدرة او الممتصة : وهكذا امكن ترتيب النجوم حسب حالات نهيجها ودرجات حرارتها المتناقصة ، في اصناف^(١) يرمز اليها بحروف اختيرت اعتباطاً

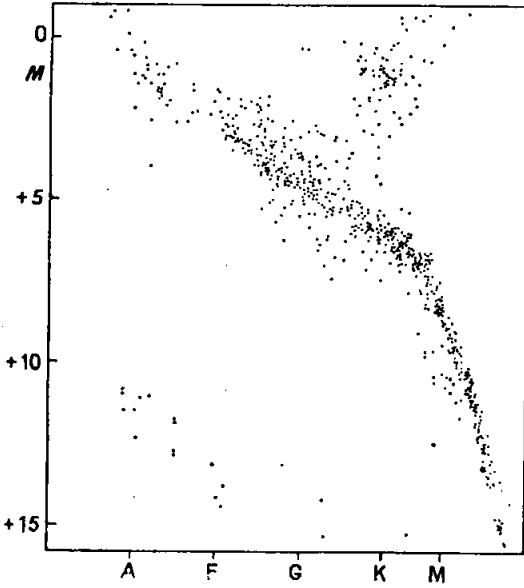
(١) هنالك عدة تصانيف ، اشهرها (وهي متقاربة) : تصنيفات مرصدي هارفرد ويركز التي تعتمد على وجود مختلف الخطوط وعلى اهميتها النسبية ، والتصنيف المسمى بتصنيف ياب وشالونج وباريه ويعتمد على توزيع الطاقة في الطيف المتصل .

وبين الجدول ١٧ - ٢ هذه الاصناف (ما عدا صنفين Q و R خصص الاول للنوفا ، والثاني P للسدائم الغازية ، انظر الفقرة ١٧ - ٥٨) ومع كل صنف منها اشد خطوطه تميزاً (ويمكن أن تخص هذه الخطوط اصنافاً اخرى ولكن شدتها عندئذ تكون أقل) ونستنتج حدود قيم درجات الحرارة إما من دراسة الطيف المتصل او من الفرق بين العظم الابصاري والعظم الكهرضوئي . وتنتمي الشمس الى الصنف G .

الجدول ١٧ - ٢			
التصنيف النجمي لمرصد بيركيز			
الرمز	الخطوط المميزة	درجات الحرارة (°K)	المظهر اللوني
W (وولف رايت)	اصدار: He, He ⁺ , H; O, C او N مآينة		
O	امتصاص He ⁺		
B	He —	١٢٠٠٠ الى ٢٥٠٠٠	شديدة البياض
A	Ca ⁺ , H —	٨٠٠٠ الى ١٢٠٠٠	
F	H — معادن	٦٠٠٠ الى ٨٠٠٠	اكثر اصفراراً
G	— معادن عديدة	٤٠٠٠ الى ٦٠٠٠	
K	— —	٣٥٠٠ الى ٥٠٠٠	محمرة
M	— عصاب TiO	٢٦٠٠ الى ٣٠٠٠	
S	— — Z ₂ O		
C	— — CN, C ₂		

ج) ان دراسة ادق من هذه تبين انه يوجد في كل صنف طيفي فروق تتعلق بالمرتبة المطلقة للنجوم ويمكن تمييز الاقزام بينها من العملاقة ومما هو اكبر من العملاقة ، وذلك بترتيب النورانية المتزايدة (التالى) ، فيمكن بهذه الوسيلة تمثيل الكواكب في مخطط ذي بعدين ويسمى مخطط رسل -

هرتزبرنغ Russell - Hertzsprung ^(١) (الشكل ١٧ - ٩) وأن أضعف النجوم



الشكل ١٧ - ٩ . مخطط رسل - هرتزبرنغ

من كل صنف تؤلف
تتابعاً رئيسياً تتناقص فيه
الشدة الضوئية بانتظام من
الصنف 0 الى الصنف
M . فالعلاقة تقع في
الفرع الايمن من المخطط ،
وما فوق العلاقة منها في
عصابة واقعة في الأعلى .
ان النجوم بالعلاقة
والاقزام لا تدل على
القيم النسبية للشدات
الضوئية فحسب ، بل
انه قد أمكن أيضاً

ايجاد القيم النسبية لحجوم النجوم . ففي المنطقة السفلية اليسرى للمخطط تقع
كواكب ذوات خواص غريبة جداً ، وهي « الأقزام البيض » ذوات النورانية
الضعيفة جداً والكثافة العالية جداً ^(٢) .

أما طيف النوا (النجم الجديد) فيحوي بعد ظهوره على خطوط مضيئة
وعريضة جداً (H ، He ، Ca ، ...) ثم يقترب من أطيايف نجوم الصنف W

(١) ينبغي تعديل هذا المخطط فيما يتعلق بمجموعات النجوم المسماة بالمجموعات
الكروية : راجع مؤلفاً في الفيزياء الفلكية .

(٢) ان الكتلة الحجمية للأقزام البيض تبلغ عشرات الوف المرات من الكتلة الحجمية
للماء (راجع الجزء ٨) .

أو من السدم الغازية .

(د) ان السدم ، التي هي قابلة للرؤية في الأجهزة الفلكية ذات التجسيم الكافي ، تبدو كبقع قليلة الضياء ، وهي تنتمي إلى مجموعتين من الاجرام مختلفتين عن بعضها اختلافاً جذرياً : فالسدم المجوية التي تنتمي الى نظامنا النجمي وتتألف من سحب غازية أو من جسيمات دقيقة صلبة تحيط في غالب الأحيان بكوكب . والسدم الخارجية ، وهي أكثر عدداً من الأولى وابتعد عنا منها . وهذه الاخيرة هي مجموعات نجمية شبيهة بمجرتنا ، وتكون غالباً لولبية الشكل ، وهي تتألف من مليارات النجوم وتمتد على مسافات عشرات الالوف من الاعوام الضوئية .

ان ضياء السدم المجرية يأتي دوماً من الكواكب المجاورة التي هي غالباً ما تكون مغموسة داخل السديم ؛ وإذا كانت هذه الكواكب ليست على درجة كافية من الحرارة لتهييج غازات السديم ، فان السديم يعكس ضوء هذه الكواكب ويعطي طيفاً متصلاً شبيهاً بالطيف النجمي فيسمى السديم عندئذ « سديماً ذا انعكاس » (١) .

عندما تكون هذه النجوم حارة جداً ، يقوم اشعاعها فوق البنفسجي بتأيين غازات السدم أو تهيج قفلورها ، ويظهر في طيف السديم عدة خطوط اصدار (الشكل ١٧ - ١٠ ، اللوحة ٨) ناجمة عن H و He و C و N و O ، الخ . واكثر هذه الخطوط لا يمكن استحصالتها تجريبياً أو انه لم يمكن استحصالتها إلا مؤخراً . وهي خطوط ممنوعة عادة (الفقرة ١٤ - ١٥) ولكن اصدارها يتيسر بفضل الضغط الشديد الانخفاض (ان كثافة المادة في هذه السدم هي في حدود

(١) يوجد ايضا سدم « معتمة » تمتص ضياء النجوم الواقعة ابعد منها عنا على نفس الاستقامة ، وقد يصادف انها لا تختلف عن السدم العاكسة إلا لخلوها من النجوم التي نضيء هذه الاخيرة .

١٠-٢٠ غ/مم^٣) ويوجد بينها الخطان الاحمران $6300^{\circ}A$ و $6363^{\circ}A$ ، والخط الاخضر $5577^{\circ}A$ ، التي كانت تعزى قديماً إلى عنصر افتراضي (نيبوليوم ، وهو مجهول على سطح الارض) يعرف اليوم انها ناجمة عن الاكسجين المعتدل . وفي بعض هذه السدم يكون الغاز على طبقات كروية تحيط بالنجم المهيج الحار جداً ، ويبدو المجموع كقرص صغير مضيء ، وتسمى لهذا السبب « بالسدم السيارة » .

للسدم الخارجية عن المجرة طيف ناجم عن طيوف نجومها ، ومن بين الخطوط التي ترى فيها يأتي في الاهمية الخطان H و K للكلسيوم المتأين ، ولفحصها اهمية بسبب السرعات الشعاعية التي يبينها هذان الخطان (انظر الفقرة ١٧ - ٩) .

وان المنابع الساوية العديدة للامواج الهرتزية ، والتي تسمى بالمنابع الراديوية (٨ ، ١٣ - ٩ ب) التي اكتشفت مؤخراً ، يبدو في اغلب الاحيان انها سدوم .

١٧ - ٩ . — السرعات الشعاعية

أ (ان الدراسة الطيفية لضوء مختلف النجوم لا يعطينا معلومات هامة عن بنيتها الكيميائية وحالتها الفيزيائية فحسب ، وانما هي تنبئنا ايضاً عن السرعة v التي يتغير بها بعدها عن الارض : ذلك لأن فعل دوبلر - فيزو يغير اطوال الأمواج الظاهرة ، بالمقارنة مع الحالة التي تكون فيها v معدومة ، بالمقدار :

$$\Delta \lambda = - \lambda v/c \quad [٥٠١٧]$$

حيث c هي سرعة الضوء و v تعتبر موجبة عندما يكون ثمة تقارب نسبي . وان انتقال الارض على مدارها يغير v تغيراً دورياً (وخاصة في حالة

النجوم غير الشمس ، التي هي قريبة من مستوى الحسوف والكسوف (تغييراً من السهل اخذه بعين الاعتبار .

(ب) ان الاضواء الصادرة عن حافتي الشمس ، في نهايتي قطر من اقطارها (ينتقى بتوجيه مناسب) يظهر عليها بالنسبة إلى الضوء الناجم عن مركز قرص الشمس ، فرق في طول الموجة يقابل مرعة قدرها $v = \pm 2,0 \text{ Km/s}$ (الشكل ١٧ - ١١ اللوحة ١٠) فينتج من ذلك أن الشمس تدور حول نفسها بمقدار دورة تقريباً في ٢٤ يوماً في منطقتها الاستوائية^(١) . وفي جوار محور الدوران (أي في قطبي الشمس) نجد انها تدور دورة واحدة في ٣٢ يوماً تقريباً . ويؤكد هذا الدوران تنقل الكلف الشمسي . أما الخطوط الأرضية (الفقرة ١٧ - ٦ ب) فلا تتأثر طبعاً بفعل دوبلر .

امكن أيضاً بفضل مفعول دوبلر ، دراسة دوران الكواكب السيارة حول نفسها وكذلك دوران حلقات زحل .

(ج) ان السرعات الشعاعية للنجوم هي في حدود بضعة كيلو مترات في الثانية او عشرات الكيلو مترات في الثانية . وفي حالة النجوم المزدوجة ، وجد ان الطيفين الحاصلين لهما يفترقان دورياً عندما يقترب احد النجمين منا ويتبعد الآخر وبالعكس . واذا كان احد الكوكبين غير مرئي ، فان طيف الكوكب الآخر يظهر وحده متحركاً بحركة ذهاب واياب . وان الكواكب التي تبدو هكذا كأنها مزدوجة تسمى « طيفية » ، بعكس التي يمكن فصل مركبتها بالملاحظة المباشرة او بقياس الشدة الضوئية (الفقرة ١٧ - ٧ د) . وان نبضات بعض النجوم المتغيرة ، مثل الطائفة القيفاوية تظهر آثارها ايضاً بتغيرات دوبلرية لطيفها .

(١) بسبب دوران الارض ، يصبح الدوران الظاهري للشمس : دورة في كل ٢٧ يوماً .

(د) لقد أمكن أيضاً تبيان حركات دورانية في السدم^(١) . وعلاوة على ذلك فانه بينما نرى أن للسدم المجرية ، كالتجموع ، سرعات شعاعية موجبة تارة وسالبة تارة أخرى ، فان سرعات المجرات الخارجية التي هي في حدود مئات الكيلومترات في الثانية تنتج في اكثر الحالات (تسع حالات من عشر) من حركة ابتعاد تدريجي ، وذلك ما دفع القس لوميتر Lemaitre الى وضع نظرية ينتج منها ان الكون هو في حالة توسع مستمر^(٢) .

١٧ - ١٠ . — ضياء السماء الليلية .

يظل في السماء بعض الضوء ولو لم يكن القمر بازغاً ، وذلك بعد انتهاء الغسق وخارج المنطقة التي يمكن ان يشغلها الضوء البرجمي (الفقرة ١٧ - ٣ د) ، يظل في السماء بعض اللعان ويكون في حدود ١٠-٨ كاندېلا / مم^٢ اذا لم يكن ثمة غيوم ، فهو إذن يساوي ١٠٠ مرة من الحد الأدنى للعان القابل للابصار ، وأن الاستتارة التي تنتج منه على الارض هي في حدود ٣.٠٠٠.٠٠٠ لو كس .

٥- اذا وضعنا في ظلمة الليل جسماً معتماً وجعلنا السماء خلفية له ، فان محيطه يصبح قابلاً للرؤية بالتباين بالنسبة الى عين متعوده على الظلمة . وأما طيف هذا الضوء ، وهو صعب التسجيل ، حتى ولو بواسطة مطياف كبير الفتحة ، فان فيه ، بالاضافة الى الخلفية المتصلة ، عدداً كبيراً من الخطوط المضيئة من بينها الخط الاخضر 5577 \AA الذي يوجد في الفجر القطبي (الفقرة ٧ - ٤) وفي السدم الغازية ، والخط المزدوج الاصفر للصوديوم ، الخ . وهي ناجمة أولاً ومباشرة من

(١) سجل لبعض السدم اللولبية دورة مدتها مائة الف سنة ، وينتج من ذلك في مناطقها البعيدة عن المحور سرعات تبلغ مئات الكيلومترات في الثانية .

(٢) هنالك تفسير آخر يعتمد على افتراض حدوث تضبيع في طاقة الفوتونات على

طول المسير .

النجوم المرئية وغير المرئية وثانياً من الانقثار الذي يحدثه الفضاء الذي بين النجوم ومن جو الارض نفسه ومن اصدار حاصل في الجو بنتيجة التهيجات الالكترونية أو الضوئية النهارية ، الناجمة عن الشمس (الفقرة ١٧ - ٤ ب) .

ج . الضوء في الكيمياء وفي البيوفيزياء

١٧ - ١١ . — الضياء والحياة .

الحياة ممكنة في حال فقدان حس البصر ، ولكنها لا تكون كما نعرفها اذا لم يكن هنالك إشعاع ، ولا سيما بدون الطاقة التي تأتينا من الشمس . وان تحول هذه الطاقة الى حرارة يمكن من المحافظة على درجة الحرارة على سطح الأرض (٢٤،٢ - ٦) كما يمكن من حصول الغيوم ، وكذلك بواسطة التفاعلات الكيميائية ، من تغذية جميع النباتات تقريباً ، وبالنتيجة من تغذية الحيوانات. ولن نعطي عن هذا الموضوع الواسع سوى ايضاحات موجزة .

وقبل ان نتكلم عن التفاعلات التي يسببها الضوء ، نذكر ان بعض التفاعلات الاخرى ، هي بعكس ذلك (كالتأكسد) يرافقها اصدار اشعاعات (الفقرة ١٣ - ١) وهذا التلألؤ الكيميائي هو المسبب للأنوار الخضراء التي تصدرها الحشرات المضيئة كاليراعة (وليس فيها تحت الاحمر ولا فوق البنفسجي) وهي اناث بعض الحشرات وليس لها أجنحة والجناح والقطرب وبعض البرزويات التي تجعل البحر متفصراً^(١) .

(١) ليس لهذا التعبير هنا نفس المعنى الذي له في الفقرة ١٣ - ٧ .

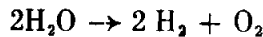
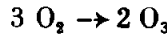
١٧ - ١٢ . الكيمياء الضوئية . التخليق الضوئي

(أ) إن تأثير لوحات التصوير من الاشعة (١٨ ، ٤ - ١) وتشكل الأوزون من الاكسجين بتأثير الشعاعات فوق البنفسجية (الفقرة ١٧ - ٣ب) هي امثلة للافعال الضوئية الكيماوية . ويمكن تصنيف هذه الافعال في زمريتين : ففي الاولى منها يقتصر دور الضوء على دفع عجلة التفاعل الكيماوي الذي يرافقه تحرير طاقة أعظم بكثير من طاقة الشعاعة الساقطة . وقد يتفق ان يقف التفاعل في عين الوقت الذي تقف فيه الانارة .

٥- هذا ما يحدث عندما نعرض الى افارة ضعيفة مزيجاً من حجمين متساويين من الكلور ومن الهيدروجين الجافين . فيتحول المزيج تدريجياً الى حمض كلور الماء ، مع انتشار حرارة .

ويصادف أحياناً ان التفاعل المنبعث يستمر من تلقاء نفسه بشكل انفجاري (مثال ذلك المزيج السابق إذا عرض الى ضوء قوي غني بالاشعة فوق البنفسجية كضياء الشمس مثلاً) .

(ب) في الزمرة الثانية ، تمتص التفاعلات الحادثة (ولو في مرحلتها الاولى على الاقل) طاقة تأخذها من الاشعاع . مثال ذلك :



يطلق اسم المردود الضوئي الكهربائي لتفاعل كهذا ، على النسبة بين الطاقة الحرة W_f (٨ ، ٢ - ٨ ج) التي تكتسبها الجلمة الكيميائية والطاقة الاشعاعية الكلية الممتصة W_a ، والفرق $W_a - W_f$ يتحول الى حرارة .

على انه اذا كان التحول الاصلي الطاريء على ذرة أو على جملة من الذرات

بتأثير ضياء وحيد اللون تواتره ν يقابله زيادة قدرها W في الطاقة الحرة ، فان هذا التحول لا يكون ممكناً إلا إذا كان كل كم $h\nu = hc/\lambda$ (حيث h هي ثابتة بلانك و c سرعة الضوء) اكبر من W ، ويعطينا ذلك من أجل طول الموجة الشرط :

$$\lambda \leq \frac{hc}{W} \quad [٦١١٧]$$

وهكذا يتفسر لنا لماذا كانت الشعاعات ذات الاطوال الموجية القصيرة تقوم بدور خاص في الكيمياء العضوية .

فحصل على W بأن نقسم على عدد افوكادرو $6.10^{26} \approx \mathcal{N}$ (٩٤٢ - ٣) الطاقة العائدة لتحول جزئ كيلوغراممي .

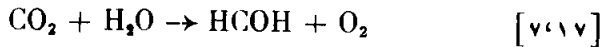
ولكن ثمة صعوبة تظهر غالباً ، ناجمة عن ان التفاعل الاجمالي الملحوظ يمكن ان ينتج من تحول اولي ، مجول في الغالب (تنطبق عليه الاعتبارات السابقة فقط) ومن تحولات لاحقة ناشرة للطاقة . فمثلاً : لدى تشكل حمض كلور الماء ، يمكن أن يكون التحول الأصلي تحملاً للجزيئات H_2 (او Cl_2) الى ذرتين ؛ ويمكن التفكير ايضاً في بعض الحالات في تشطير ضوئي (الفقرة ١٤ - ٦ ج) للغازات الموجودة .

ج (ثمة تفاعل ضوئي كياوي هام جداً : هو التخليق الضوئي او تمثيل النباتات الخضراء لعنصر الكربون الذي تستمده من غاز الكربون في الهواء ، فتحيله داخلها إلى غلوكوز او نشاء او سيلولوز ، الخ ... وهذا التفاعل ينظم حياة النباتات ، وبالنتيجة حياة الحيوانات التي تتغذى منها^(١) وقد ممكن ايضاً من تكوين احتياطات من الفحم والنفط .

(١) تبذل المساعي الآن في تطوير التنمية السريعة لبعض الطحالب المائية (كلوريل)

كغذاء مساعد .

وبالرغم من أن قسماً من الفحم المثبت يتحول الى CO_2 بقتفس النباتات ، وان نسبة هذا الغاز في الجو من جهة أخرى هي ضعيفة جداً (نصف بالآلاف حجماً ، أي ما يعادل غراماً واحداً في المتر المكعب) فان تثبيت الفحم يبلغ في نباتات العلف حتى ٥ أطنان من الكربون في الهكتار الواحد سنوياً . واذا اعتبرنا مساحات متساوية في البر والبحر ، فيبدو ان أهميته في البحر هي أكبر منها في اليابسة . وقد قدر من أجل كامل الكرة الأرضية ان التثبيت السنوي للكربون يبلغ ١٧٥ ملياراً من الاطنان من الكربون^(١) . وهذا التمثل يرافقه انتشار الأوكسجين ، وان أبسط صيغة للتخليق الضوئي هي صيغة تشكل الألهيد المتيلي :



يعقبها « بلمرة » يتشكل منها الغلوكوز $C_6H_{12}O_6$ أو غيره من هـدوات الكربون . ولكن لم يكن البرهان على تشكل الالهيد هذا وقد عدل عن هذه الفكرة اليوم .

لم تتضح إلا في السنوات العشرين الاخيرة معلوماتنا عن الدور الذي تقوم به أنواع اليخضور^(٢) في عمليات التخليق الضوئي . وهي مواد معقدة محتواة في الاقسام الخضراء من النباتات ، ووجودها داخل الخلايا الحية لازم من أجل حصول التفاعلات التي ندرسها الآن^(٣) . ويحوي طيفها على عصابات امتصاص

(١) مع كل ذلك ، ان ما يستخدم من الاشعاع الشمسي الذي تتلقاه الارض لايزيد على جزء صغير ربما لا يتجاوز ١ من ١٠ آلاف .

(٢) يعرف قرابة عشرة انواع مختلفة من اليخضور اكثرها انتشاراً هما اللذان صيغتهما : $C_{55}H_{70}O_6N_4Mg$ و $C_{55}H_{72}O_5N_4Mg$.

(٣) هنالك انواع اخري من التخليق الضوئي تسببها بكتريات خضراء او ارجوانية وهي تحوي جميعها على نفس المادة الخضراء (المسماة باليخضور البكتيري) ويغطي لونها =

قوية في الاحمر وعلى غيرها في الازرق والبنفسجي (الشكل ١٧ - ١٢) وان منتصف الطيف المرئي اقل امتصاصاً ، ومن ذلك نجم اللون الاخضر للاصباغ المحملة باليخضور .



الشكل ١٧ - ١٢ . عامل الامتصاص بدلالة طول الموجة لمادة اليخضور المحلول في الخلون

٥- تؤخذ اوراق السبانخ وتجفف في فرن التجفيف ثم تسحق مع الكحول أو مع الخلون ويوشع السائل الأخضر ويفحص بالمطياف . فيرى طيف امتصاص مزيج اليخضور (وغيره من اصباغ الاوراق) .

ان الاكتشافات الأخيرة هي على صلة وثيقة باستعمال نظائر الكربون أو الاكسجين مثل ^{14}C ، و ^{18}O التي تتصف بالنشاط الاشعاعي . ويمكن ذلك من تعيين منتجات التفاعل الذي تبقى فيه ^{14}C . ويبدو اليوم ان التخليق الضوئي يحدث في طورين اساسيين . فالطور الاول وحده يقتضي وجود الضوء ، ويحصل فيه تركيب للطاقة بواسطة اليخضور $^{(2)}$ مع تثبيت الهيدروجين الموجود في ماء النباتات او اطلاق الاكسجين الناجم عن هذا الماء (لاعن CO_2) . وفي الواقع أننا إذا جعلنا بعض الطحالب من نوع كلوريلاً مثلاً ، تمتص بخضور CO_2 كمية من الماء حاوية على ^{18}O ، فان التمثل اليخضوري يحصل (بالضوء) ويحرر في بضع ثوان الاكسجين الحاوي على النظير ^{18}O .

= في البكتريات الارجوانية صبغة اخرى ، وهذه البكتريات قادرة بتأثير الضوء على تثبيت الكربون من CO_2 ، في نفس الوقت الذي تؤكسد فيه مركباً كبريتياً مثل H_2S او مرجعاً مناسباً (غير الماء) .

(١) سنتكلم في الجزء ٨ عن هذه الاستعمالات للعناصر المشعة المسماة بـ «المعلمة»

(٢) لقد أمكن تقدير عدد الكميات في الشعاعات الفاعلة اللازمة لتثبيت ذرة الكربون

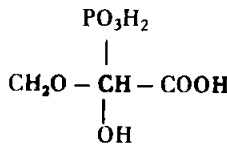
تثبيتاً نهائياً (وهذا العدد هو اربعة لواحد) $\text{PO}_3 \text{H}_2$

أما إذا بخلاف ذلك لم يكن الماء حاوياً على هذا النظير وكان غاز الفحم محبوساً ، فان الأكسجين المنطلق لا يحتوي عليه .

وأما الطور الثاني ، فيمكن أن يحدث حتى في الظلام . وهو في الواقع ناشئ للطاقة . ويقوم على ارجاع لـ CO_2 من قبل اليخضور المنشط (أو من قبل وسيط ناقل للهيدروجين) مع تثبيت الكربون على بعض مكونات الخلايا النباتية . وقد أمكن التحقق من هوية أحد نواتج هذا التفاعل بصورة أكيدة (باستعمال CO_2 الحاوي لـ ^{14}C أو ^{13}C) ألا وهو الحمض الفسفو حلوييني^(١) . فيتشكل في بضع ثوان ابتداءً من اللحظة التي جعل فيها النسيج اليخضوري (بعد تعريضه للضوء) في حضور CO_2 ، وبعد أقل من دقيقة من ذلك يكون النظير المشع قد انطلق في عدة مواد كيميائية مختلفة : حموض ، مواد سكرية ، بروتينية ، دسمة ... ومن البديهي ان هذا الطور الثاني اذا حدث بعزل عن الضوء فانه يقف متى استنزفت الاجسام الوسيطة كلاً من الطاقة والهيدروجين المثبت خلال دورة الانارة .

١٧ - ١٣ . - اوفعال البيولوجية الأخرى للشعاعات

ان الافعال التي سنتكلم عنها تعين غالباً ، ولو في تقريب أولي ، أما بالجداء $k.E*t$ أو بالجداء $k.Q.t$ ، حيث $E*$ هي الاستنارة الطاقةية للسطح (الذي مساحته S) الذي يجري عليه ، و $Q = E*S$ الاستطاعة التي يتلقاها و t مدة التعرض للشعاعة و k عامل الفعالة (المردود) من اجل استعمال معين) وهو يتغير مع طول الموجة وحسب الأحوال (انظر مايلي) ، وتسمى كل من هاتين الكميتين : جرعة التشعع .



(٣) الصيغة هي :

(أ) - ٥ - إذا عرضنا لطيف مصباح بخار الزئبق في الكوارتز مستتباً للعفن رأينا بعد بضع ساعات أن نموه ، الذي هو طبيعي في القسم المرئي من الطيف ، يكون متوقفاً تماماً في منطقة ما فوق البنفسجي ابتداءً من ٣١٠ ملي مكرون تقريباً ، ويكون المفعول الاعظم (مع تساوي الجرعات الطاقةية) في ٢٦٠ ملي مكرون .

أمكن بيان ان الحيات اذا عرضت لجرعات متهاودة من الاشعاع فوق البنفسجي فانها لامتوت ولكنها تصبح غير قادرة على التوالد ، وذلك على الغالب بنتيجة تحول فوتو كيميائي للبروتينات النووية التي في الخلايا . يستفاد من هذا الفعل لتعقيم الماء وبعض الاغذية .

(ب) إذا تعرض الانسان والحيوانات العليا للأشعة فوق البنفسجية حصل لهم التهاب في الجلد (ضربة الشمس والحامى) وقد يصاب بالتهاب النسيج المنضم^(١) . يبدأ فعل الضوء من ٣٣٠ ملي مكرون وير منحي الفعالية الحامية بنهاية عظمى قرب ٣٠٠ ملي مكرون وبنهاية ثانية عند ٢٥٠ . وان طبقة الاوزون في اعالي الجو (الفقرة ١٧ - ٣ ب) تقوم بدور وقاية بامتصاصها لما فوق البنفسجي الشمسي .

غير ان الاشعة فوق البنفسجية اذا عبرت تعبيراً مناسباً كان لها أفعال علاجية في مداواة بعض الآفات الجلدية ، وخاصة في الكساح . فبعد ان تخترق الجلد ، تقوم الشعاعات التي تقع أطوال أمواجهما بين ٣٢٠ و ٢٨٠ ملي مكرون (وبحسن التخلص بواسطة مرشحة من الشعاعات التي هي أقصر منها) بتحويل الستيروول التي توجد في النسيج السطحية الى فيتامين D المضاد للكساح .

(١) ان الاحتياطات التي ينبغي اتخاذها لدى استعمال منابع الضوء فوق البنفسجي قد ذكرت في الجزء ٤ (الفقرة ١ - ٥٦) .

وهذا الفعل الفوتوكيماوي يمكن أن يحصل خارج المخلوقات الحية ، وهو يستعمل في صنع الاغذية الحاوية على الفيتامين .

ان الجرعات الحامية للاشعاع فوق البنفسجي ، التي تفيد ايضاً في قياس الفعل المضاد للكساح تقدر اصطلاحاً بالجداء $kE \cdot t$ الذي تقدم اعتباره . والوحدة المعتبرة تسمى فنسن Finsen تقابل طاقة في السنتيمتر المربع قدرها ٠.٠٦ ملي جول ، (أي مثلاً استطاعة قدرها ١٠ مكرو وات تؤثر خلال دقيقة واحدة) اذا كان طول الموجة ٢٩٧ مايكرو . او الى طاقة طول موجتها مختلف عن ذلك نحدث مفعولاً معادلاً .

ج (من المعلوم ان اشعاع الشمس يصل حتى قرب ٢٩٠ مايكرو مكرون (الفقرة ١٧ - ٦) ومن هنا نجم الفعل الضار أو المفيد ، حسب الاحوال ، « للحمى الشمسي » والذي له تأثير محسوس خاصة في أعالي الجبال .

وان الشعاعات المرئية أو تحت الحمراء ، التي أصلها من الشمس أو من غيرها ، ليس لها ربما سوى تأثير حراري صرف يتدخل حتى عمق معين ، تقريباً مثلما تفعل الحرارة النافذة في حالة الاشعاعات النافذة (تحت الاحمر الأدنى) ، فاذا كانت الجرعة معتدلة ، كان هذا الفعل مفيداً « التئام الندوب » أما إذا كانت المنبوع عظيم الشدة (كالافران العالية الحرارة) فانه يصبح خطيراً .

د (ان الاشعاعات السينية واشعاعات غاما ، قد يكون لها على المادة الحية آثار ضارة (كالحروق أو توليد السرطان) ويزداد خطرها لأنها لا تظهر إلا بعد أمد يمتد من بضعة أيام إلى عدة شهور . تقدر جرعات هذه الاشعاعات بالجداء kPt الذي سبق ذكره اعلاه بالرونغن ، وتقابل هذه الوحدة ، حسب التعريف ، الطاقة التي تطلق في ٠.٠٠١٢٩٣ غراماً من الهواء ايونات تنقل وحدة كهربائية راكدة سعة كمية الكهرباء من كلا الاشارتين

(الفرانكلن ، الجزء ٤ ، الفقرة ١ - ٧) .

ان الاشعاعات الطبيعية تعرض جسم الانسان الى تشعع دائم قيمته في حدود بضعة ملي رونتغن في كل ساعة عمل ، خلال ٤٠ ساعة في الاسبوع ، تبقى أيضاً بلا ضرر .

ان بعض الأعضاء (كالعينين ومنخ العظام والطحال) هي حساسة بصورة خاصة على الاشعاع . إلا أنه يطبق بصورة استثنائية جرعات تبلغ عدة من الرونتغن مركزة في نواح معينة من الجسم حسب اللزوم ، من أجل الفحص الشعاعي أو لمعالجة بعض الاورام . ويبدو أنه يمكن المضي حتى ٢٥ رونتغن على مجمل الجسم بشرط أن يترك للجسم امكان تعويض الأضرار الحاصلة ، باستراحة طويلة كافية .

ولا بد من استعمال اجهزة قياس الجرعات في مصالح المعالجة بالاشعة وكذلك في مصالح الفيزياء النووية (راجع الجزء ٨) .

١٧ - ١٤ . — صادي وتغنية الانارة

(أ) إن فن الانارة ، الذي كان في البداية تجريبياً وحسباً فقط ، قد اخذ يتصف بالصبغة العلمية تدريجياً . وهو اليوم يعتمد على المفردات والوحدات والطرائق الفوتومترية (الفصل ٥) .

هذا ويجهد فن الانارة ، بفضل استعمال منابع ضوئية حسنة الانتقاء والتوزيع ، مع اضافة سطوح عاكسة أو نائرة مناسبة إليها ، في أن يحقق بادنى

(١) ان طهي بعض الاحسام ، او تخفيف بعض السطوح بالاشعاع تحت الاحمر يعتمد على هذا النفوذ الى عمق كبير .

كلفة ممكنة انسب الاستنارات والتباينات التي توافق نشاط الانسان وراحته .
ان استعمال ضوء النهار ، الذي هو في غالب الاحيان وافر ، بل اكثر
من الوافر ، فيه من المشاكل اقل مما في الاثارة الاصطناعية التي سنكتفي هنا
بدراستها وحدها .

(ب) لقد سبق ان اعطينا معلومات عن بعض منابع الضوء في الجزء ٤
(الفقرة ١ - ٦) ويضم الجدول ١٧ - ٣ معلومات اخرى .

<p>الجدول ١٧ - ٣</p> <p>المميزات المقارنة لثلاث منابع الضوءية</p> <p>(حدود القيم)</p>			
المنبع	اللمعات كانديلا / م ^٢ (نيت)	درجة الحرارة اللونية (K)	المردود لومن بالوات المستهلك
الشعلة	٤١٠		
مصباح اوير (بضغط منخفض او عال)	٥ الى ٨ × ١٠		٢ الى ١٠
المصباح ذو الشعيرة الفحمية (في الحلاء)	٥ × ١٠		
ذو شعيرة التنغستين	٦ × ١٠	٢٥٠٠	٨ الى ١٠
القوس الفحمية العادية	٧ × ١٠	٣٠٠٠	١١ الى ٢٠
ذات الفخوم الشديدة	٨ × ١٠	٣٨٠٠	٦ الى ١٠
قوس الزئبق	٩ × ١٠		٢٠
بضغط متوسط	٧ × ١٠		٥٠
بضغط عال	٨ × ١٠		٦٥
مصباح بخار الصوديوم	٤ × ١٠		٥٥
مصباح التفريغ ذو الغلاف المتفلور	٥ الى ٧ × ١٠		٥٠ الى ٨٠
الشمس من خلال الجو وفي وقت صا	٩ × ١٠	٥٦٠٠	

يكاد يكون الاعتماد اليوم على التنوير الكهربائي وحده بسبب سهولته ورخصه . وان الاقواس الفحمية (١٧٠٦ - ١٦) التي تتطلب صيانة كثيرة لم تعد تستعمل سوى في اجهزة الاسقاط وفي المنارات (١٨٤٤ - ١٣) حيث يكون للمعانها الكبير فائدة قيمة .

وقد استبدل بمصباح التوهج ذي الشعيرة الفحمية والذي في داخله خلاه ، المصابيح التي شعيرتها من التنغستين وهي عند تساوي الاستطاعة اطول وادق لأن المقاومة النوعية للتنغستين اضعف بكثير من المقاومة النوعية للفحم الكاثب (الغرافيت) وكان داخل هذه المصابيح خلاه في اول الامر ثم جعل فيها جو من الآزوت ثم من الارغون او الكريبتون . وهكذا أمكن مع المحافظة لها على عمر مقبول ^(١) هو في حدود الف ساعة من العمل النظامي مثلاً ، رفع حرارة الشعيرة الى درجة أعلى (لأن الغاز الذي يحيط بالشعيرة يؤخر تبخرها) وهذا يجعل لون الضوء الصادر قريباً من لون ضوء النهار (راجع الفقرة ٦-٥) ويحسن الفعالية الضوئية (المردود) (٢٠٠٢ - ٧ و ٢٠ - ٨) .

ج (نذكر بأن هذه الاخيرة هي نسبة التدفق الضوئي المصدر على الاستطاعة الكلية المشعة . ولكن المستفيد من الضوء يدفع ثمن الاستطاعة الكهربائية المستهلكة (مع الاخذ بعين الاعتبار لتضييعات الحرارة في المصباح واحياناً في المقاومات او المحولات الموضوعة معه على التسلسل) ولذلك ينبغي ان ينسب الى هذه الاستطاعة المردود المبين في العمود الاخير من الجدول ١٧ - ٣ ،

(١) ان الشعيرة الحارة تتبخر شيئاً فشيئاً ، فتزداد بذلك مقاومتها الكهربائية ، ثم تنقطع نتيجة زيادة عملية في الجو ، وهذا الاثكال يتسارع اذا خضع المصباح لفرق يكون اعلى بكثير من التوتر الذي اعد لاجله . وقبل الانقطاع بمدة متفاوتة حسب الاحوال يقوم المعدن المتبخر الذي نوضع على الجدار الداخلي للحبابة الزجاجية بتكوين طبقة ممتصة تنقص التدفق الضوئي .

ويكون هذا المردود اكبر أيضاً في المصابيح ذوات الجو الغازي فيما لو لم تكن حباباتها بسبب الحمل الحراري للغازات اسخن بكثير من حبابات مصابيح الحلاء .
الكفاءة

وليس المردود هو وحده ما ينبغي اخذه بعين الاعتبار لدى تقدير سعر كلفة النور ، لأن هذه الكلفة تتعلق أيضاً بكلفة الطاقة الكهربائية المستهلكة وبسعر شراء اجهزة الانارة وبمدة عمرها . ان ضوء مصابيح انجزة الصوديوم أو الزئبق (١٤٤ - ١٥٦ و ١٦٠ ، ١٧٠ - ١٧٠) الذي هو اقتصادي جداً ليس قابلاً للاستعمال إلا عندما يكون تركيبه الطيفي ، الذي يمنع من اعطاء تعبير صحيح عن الالوان ليس منه محذور كبير . فتستعمل مثلاً في انارة الطرق .

ينتشر الآن استعمال مصابيح التفريغ (١٧٠٦ - ٢١) ذات الغشاء المتفلور (١٦ - ٧٠) وان تركيبها في أمكنتها ينبغي أن ينال عناية كبيرة لتجنب كل خفقان مرئي بسبب الازعاج .

(د) إذا وجد في حقل الرؤية مناطق ذات لمعان أو شدة عالين ، نجم عن ذلك افعال الغشاوة وانبهار النظر أو على الاقل تقلص البؤبؤ (١٧٠٤ - ٨) وذلك امور يحسن اجتنابها . ومن المعلوم أن ثمة صعوبة في القيادة الليلية للسيارات عند تقابلها مع بعضها .

ان لمعان كثير من المنابع الضوئية ، وخاصة من بين الحارة جداً منها ، يتجاوز الحد الأعظم الذي يعتبر مسموحاً به ، وهو في حدود ٦١٠ نيت . ويتغلب على هذه المشكلة باستعمال سطوح نائرة أو عاكسة معتمدة يكون دورها بالاضافة إلى ذلك ، هو توجيه الضوء لتوزيعه على اكمل وجه على السطوح التي يراد تنويرها ، وعند الاقتضاء لايقاف الاشعاعات الضارة (فوق البنفسجي) وحماية الاجهزة الضوئية من تقلبات الطقس ، وأحياناً لتساهم في تزيين الامكنة .

وتستعمل لهذه الغاية مرايا (هي في أغلب الاحيان معدنية) وأغلفة في غالب الاحيان غير كروية ، من الزجاج غير الشفاف أو الشفاف ولكن المخطط بخطوط واخاديد والمهم هو ان تبقى هذه الاجهزة نظيفة من الغبار والاساخ .
تسمى الانارة غير مباشرة عندما لا يصل من المنبع الى عين الناظر أي شعاع بدون أن يطرأ عليه انعكاس ناثر ، على السقف الابيض مثلاً . وهكذا يمكن توليد استنارة منتظمة تماماً (مع تخفيف في الظلال الى حد يصبح أحياناً مزعجاً) ويسبب ذلك تضييعاً هاماً في الضوء .

أما مسقطات الضوء ، التي هي بعكس ذلك ذات اثاره موجهة جداً ، فانها تستخدم في التفتيش عن اهداف (للجيش والبحرية والطيران) أو لبيان اتجاه (المنارات) أو اكتشاف عقبات (السيارات) ويكثر استخدامها في اظهار الابنية الاثريه والنصب أو الزخارف النافرة .

هـ) لدى وضع تصميم للانارة يمكن تكوين فكرة مقربة عن التدفق الضوئي اللازم بتكوين جداء الاستنارة المرغوبة بمساحة السطح الذي يراد انارته ، مع الاخذ بعين الاعتبار ، بقدر الامكان ، لتضييعات الضوء بالانعكاس أو النفوذ .
وان الاستنارة الدنيا اللازمة تختلف حسب نوع المكان ، حسبما يكون مكان مرور غير خطر (بضعة لوكسات) الى قاعة مطالعة (٣٠ الى ٥٠ لوكس) الى الامكنة التي تجري فيها أعمال دقيقة وتحتاج (الى ١٠٠ لوكس أو اكثر) .

إن اختيار طبيعة المنابع الضوئية التي ستستعمل وعددها واستطاعتها وامكنتها واجهزتها المساعدة يطرح مسائل مختلفة حسبما يكون المكان مكتباً أو واجهة مخزن أو معملًا أو رصيف ميناء أو شارعاً أو طريقاً... ومن الحكمة من أجل محاولة حل هذه المسائل أن يستعين الانسان بنخبير وهو مهندس الانارة.

تمارين

١٧ - أ يبلغ نصف قطر الشمس R : ١٠٩ مثلاً من نصف قطر الأرض ، وتدور حول نفسها بدور يبلغ ٢٧ يوماً . بشكل على فرجة كاشف الطيف ذي التبدد النظامي ، خيال للشمس قطره $0,5 \text{ mm}$ ، موجه بحيث أن محور الدوران يرتسم في مستوي الفرجة (الشق) وعمودياً عليها . ماهو شكل خطي الامتصاص D للصوديوم الناتجين من الشمس ، مع العلم بأن خطي الصوديوم D ($\lambda = 5890 \text{ \AA}$ و $\lambda = 5896 \text{ \AA}$) تفصل بينها مسافة قدرها $\Delta s = 2,97 \text{ m m}$ ؟ يهمل مفعول دوبلر العرضاني .

١٧ - ب اذا قبلنا بأن العين ترى حتى النجوم التي عظمها $m = 6$ ، وأن بؤبؤها يبلغ قطره $d = 7 \text{ mm}$ ، فكم ينبغي أن يكون القطر D لجسمية نظارة تمكن من رؤية النجوم التي عظمها $M = 16$ ؟

١٧ - ج ١ . - كيف تصبح الصيغة [١٨ ، ١٢] التي تعطي قرينة الاهتزازين الدائريتين اللتين تفتشران في وسط خاضع لتأثير حقل مغناطيسي ، إذا كان هذا الوسط يتألف من غاز متأين بكامله .

٢ . - إن الاشعاع المستقطب استقطاباً مستقيماً ، الذي طول موجته λ_0 ، والصادر عن مجرة راديوية ، يخترق منطقة طولها L ، مؤلفة من الغاز المتأين الموجود بين النجوم ، والذي يحوي على N الكتروناً في المتر المكعب ، وحيث يوجد حقل تحريض مغناطيسي B يوازي خط التسديد . ماهي الزاوية α لدوران الاهتزازة ؟

معطيات : $\lambda_0 = 10 \text{ cm}$ ، $N = 10^8 \text{ m}^{-3}$ ، $L = 10^{16} \text{ m}$ ، $B = 10^{-9} \text{ teslas}$

١٧ - د ان اشعاعات الهدروجين الذري ، التي يصدرها سديم الجوزاء (أو الجبار) لاتسمح بالحصول على اهداب تداخل مرتبتها p أعلى من 10^4 .
 ماذا يمكن أن نستنتج بشأن درجة الحرارة T لهذا المنبع ؟

١٧ - ه يتألف مقياس لشدة الضوء من عدسة لالونية Ob مجهزة في مستويها المحرقي بمصوب Oe أصغر من بؤبؤ العين ومركز على محرق Ob .
 يبلغ القطر الظاهري لهذا المصوب ، لدى رؤيته من المركز البصري لـ Op :
 $\alpha = 1^\circ 7' 42''$. ويضاء نصف Ob بمنبع ضوئي بعيد S ، والنصف الثاني مغطى بسطح ناثر موجه على 45° يتلقى من خلال قرنة ماصة معيرة C ، ضوء منبع مساعد ثابت S_0 . والمجرب الملاحظ ، وعينه في Oe يلاحظ رقعتي Ob ويعملها على نفس المعان L بواسطة تنقيط القرنة .

يوجه بالتتابع محور Ob نحو منطقة S_1 من السماء الليلية لمعانها L_1 ، خالية من النجوم التي يمكن رؤيتها بالعين المجردة ، ثم نحو نجم المقارنة S ، يكون سطوعه E ، بينما لا يزال صدر السماء على لمعانه L ولا يرى اي نجم آخر في حقل الجهاز .

ولتكن R النسبة بين لمعاني الرقعتين في Ob لدى التوازنين الفوتومترين ، في الحالة الثانية وفي الحالة الاولى .

١ . - احسب النسبة E/L بدلالة R ،

٢ . - اذا علمنا أن S_1 يبلغ عظمه $m_1 = 2,12$ وان $R = 10,9$ فاحسب L ، مع قبول أن عظم منبع بعيد يولد استنارة قدرها لو كس واحد هو - ١٤,٣ .

الفصل الثامن عشر

معارف أولية في مبدأ النسبية ونتائجها

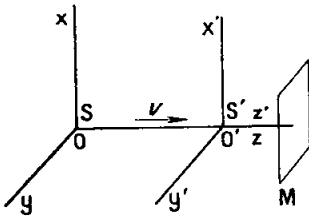
لقد أشرنا في نهاية الفصل الثاني إلى المبدأ الذي سلم به أينشتين لتفسير تجربة ميكلسون ومورلي : وهو أن سرعة الضوء ذات قيمة واحدة في جميع جمل المقارنة المتحركة حركات نسبية منتظمة : فهي مقدار لا متغير. وهذا المبدأ هو الأساس في نظرية النسبية ، التي وُجد أن نتائجها لا تتعارض أبداً مع التجربة . وسنبين فيما يلي عناصر هذه النظرية .

أ - النسبية الخاصة

١٨ - ١ . — علم الحركة الكلاسيكي ونحويل غاليلي .

لندكر أولاً قوانين علم الحركة الكلاسيكي .

لنعتبر جملتي محاور إحداثيات متعامدة S و S' (الشكل ١٨ - ١) تتحرك



الشكل ١٨ - ١ . — جملتا S و S' بحالة حركة نسبية بالسرعة v

إحداهما بالنسبة إلى الأخرى بسرعة انتقال

منتظمة v . ولنفترض أن المحورين Oz و $O'z'$

في الجملتين متطابقان وموازيان للسرعة v ،

وأن المحورين Ox و $O'x'$ متوازيان وكذلك

المحوران Oy و $O'y'$ ، وهي افتراضات

لا تُخل أبداً بعمومية النتائج. لنحسب الزمن

بدءاً من اللحظة التي تكون فيها النقطتان

الاصليتان O و O' متطابقتين . والمراقب المرتبط بالجملة S يستعمل الاحداثيات x, y, z و t لتحديد موضع نقطة P بدلالة الزمن ، بينما يستعمل المراقب بالجملة S' الاحداثيات x', y', z' و t' . ويتم الانتقال من إحدى الجملتين الى الاخرى بواسطة المعادلات التالية :

$$\left. \begin{aligned} t' &= t \\ x' &= x \\ y' &= y \\ z' &= z - vt \end{aligned} \right\} [١٠١٨]$$

وتعتبر المعادلة الاولى عن أن الزمن يقاس بالطريقة نفسها في كلتا الجملتين : وهذا هو الزمن المطلق .

وتؤلف المعادلات [١٠١٨] ما يسمى في علم الحركة بزموة تحويلات غاليلي . وتسمى الجملتان S و S' جملتي المقارنة لغاليلي . وتتعدل السرعة عندما ننتقل من جملة الى الاخرى : فاذا كانت نقطة تتحرك في الجملة S' بالسرعة u' (التي نفترض أنها موازية الى $O'z'$) ، أي أن $\frac{dz'}{dt} = u'$ ، فالمعادلة الاخيرة في [١٠١٨] تعطي :

$$\frac{dz'}{dt} = \frac{dz}{dt} - v [٢٠١٨]$$

حيث $\frac{dz}{dt}$ تساوي السرعة u ، سرعة النقطة في الجملة S ؛ ونحصل إذن على قانون تركيب السرعة (الجزء الأول ، ٩ - ٨) .

$$u' = u - v [٣٠١٨]$$

أما التسارعات فهي ، على العكس ، لاتتغير في تحويل غاليلي . وبالفعل ينتج من [٢٠١٨] :

$$\frac{dz'}{dt^2} = \frac{d^2z}{dt^2} \quad [٤١٨]$$

لأن v ثابتة . ومن المسلم به أن الكتلة m لا تتوقف على جملة المقارنة ؛ كذلك فإن معادلات الديناميك المبنية على العلاقة الأساسية $F = ma$ (حيث a هو التسارع الذي تكتسبه نقطة كتلتها m تحت تأثير قوة F) لا يطرأ عليها أي تغيير .

ومن جهة أخرى ، فإن مربع المسافة بين نقطتين P_1 و P_2 يساوي :

في الجملة S :

$$(x^2 - x_1)^2 + (y_2 - y_1)^2 + (z_2 - z_1)^2$$

وفي الجملة S' :

$$(x_2' - x_1')^2 + (y_2' - y_1')^2 + (z_2' - z_1')^2$$

وهاتان العبارتان متساويتان وفقاً لتحويل غاليلي ، وهو ما نعتبر عنه بالعلاقين :

$$d^2 = x^2 + y^2 + z^2 = x'^2 + y'^2 + z'^2 \quad [٥١٨]$$

(في اللحظة $t = t'$)

فالمسافة d هي اذن أيضاً مقدار لا متغير .

ولكن هناك في الميكانيك النيوتني لا متغيرات اخرى غير السابقة .

١٨ - ٢ . مبدأ النسبية الخاصة

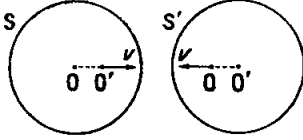
أ (لقد كان الهدف من تجارب ميكلسون ومورلي (الفقرة ٢ - ١٢) بيان حركة انتقال الأرض بالنسبة للأثير غير المادي ، أي في الخلاصة حركة انتقال مطلقة .

إن النتيجة السلبية لهذه التجارب والتجارب الأخرى في التحريك الكهربائي (الالكتروديناميك) التي أجريت كي تكشف كذلك أثراً من المرتبة الثانية (الفقرة ٢ - ١٢) ، تسمح بنعيم النتيجة المستخلصة من تجارب في الميكانيك وتدل على أنه لما كان التمييز بين السكون والحركة المطلقة لانتقال مستقيم ومنتظم لم يمكن تحقيقه بأية تجربة حتى اليوم ، فإنه لا يمكن أن ينسب إلى تلك النتيجة أي معنى فيزيائي . وينسب مبدأ النسبية الخاصة (أينشتين ، ١٩٠٥) قيمة عامة إلى هذا الاخفاق ، ويمكن أن يُنص عليه كما يلي : إن القوانين الطبيعية هي نفسها بالنسبة إلى مراقبين مرتبطين بمجلتي مقارنة ، تتحرك إحداها حركة انتقالية مستقيمة ومنتظمة بالنسبة إلى الأخرى . لذلك فليس من الممكن بإجراء تجارب في داخل إحدى الجملتين وبخاصة إذا كانت التجارب ضوئية ، ليس من الممكن الحكم فيما إذا كانت هذه الجملة في حالة السكون أو أن مجموع أجزائها تتحرك حركة منتظمة مستقيمة . ولا يمكن أن نكشف حركة إحدى الجملتين بالنسبة للأخرى إلا بتجارب تدخل فيها جملتان كما في الزينغ (الفقرة ٢ - ٣) أو في فعل دوپلر (الفقرة ١٣ - ٩) .

ب) إن مبدأ النسبية الخاصة يؤدي إلى نتائج لا تتفق مع الميكانيك الكلاسيكي ويستدعي تعديل الافكار الخاصة بقياس المكان والزمان والمقبولة في هذا الميكانيك .

لتوضيح ذلك ، نعتبر نسبة واحدٍ من القوانين الطبيعية الذي تكشف مباشرة بتجربة ميكلسون ومورلي : إن الضوء (أو بوجه عام كل موجة كهرومغناطيسية) ينتشر في الخلاء بنفس الكيفية بالنسبة لمراقبين يتحرك بعضهم بالنسبة إلى البعض الآخر حركات مستقيمة ومنتظمة . فالعدد الذي يقيس سرعته لا يتوقف على منحى الاشعة الضوئية أو على سرعة الانتقال . ولنفتراض دائماً أن محاور الاحداثيات في الجملتين S و S' مرتبة كما في الشكل ١٨-٢ . فاذا انطلقت

في اللحظة التي تكون فيها نقطتا الاصل O و O' متطابقتين ، إشارة ضوئية بدءاً من هذه النقطة الأصلية المشتركة ، فإن انتشار



الشكل ١٨-٢ . انتشار موجة في الجملتين S و S'

الموجة يتم بالكيفية نفسها بالنسبة الى المراقبين في الجملتين . وبعد ثانية واحدة ، تكون الموجة بالنسبة للمراقبين في S كرة مركزها O ونصف قطرها c ، ولكن نقطة الاصل O' تكون قد انتقلت بالمقدار v ، أما بالنسبة

للمراقبين في S' ، فإن الموجة تكون أيضاً كرة نصف قطرها c ، ولكن مركزها هو نقطة الاصل O' في الجملة S' ؛ وتنقل نقطة الاصل O في الجملة S بالنسبة لهؤلاء المراقبين بالمقدار v - (في الاتجاه السالب) .

وهاتان الطريقتان في الرؤية متناقضتان ، ولكن تعريف الموجة الضوئية ، وهي المحل الهندسي للنقط التي يصل اليها الضوء في نفس اللحظة ، يُدخل قياسات المسافات والفاصلة الزمنية . ولا يمكن تفسير التناقض الذي بيناه إلا بطريقة واحدة : وهي أن المراقبين في الجملتين S و S' لا يقيسون الزمن والاطوال على وجه واحد .

١٨ - ٣ . التزامن وقياس الزمن .

(أ) إن كل التجارب الفيزيائية التي تتضمن قياساً ما تؤول في الحقيقة الى ملاحظة انطباقات في الزمن وفي المكان بين دليل أو إبرة وبين تدريج أو علامة ، ففي لحظة معينة يعطي جهاز كجهاز القياس هذا مثل تلك الدلالة . وهذه الحوادث ، أو الانطباقات المطلقة في الزمن وفي المكان ، تكون هي نفسها بالنسبة لكل المراقبين . ويتميز كل منها بأربع إحداثيات ، ثلاثة إحداثيات

مكانية وإحداثي زماني . ولكن طبيعة سلام المقارنة وتدريجانها يمكن أن تختلف من مراقب إلى آخر .

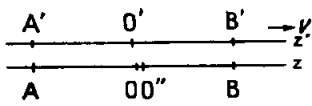
أما في الميكانيك الكلاسيكي فهناك بين دوري المكان والزمان عدم تناظر أساسي . فالمسافة بين حادثتين لانهداث في وقت واحد تتغير تبعاً لحركة المراقبين (الجزء الاول ، ١ - ١٠) . وبالعكس فإن المسافة في الزمان - أي المدة الفاصلة بين حادثتين تقعان في مكانين مختلفين لا تتوقف على حركة المراقبين : ففكرة التزامن لها صفة الإطلاق .

ولكن إذا حاولنا أن نعطي معنى "تجريبياً وحسياً" لفكرتي الزمان المطلق والتزامن بين حادثتين تقعان في مكانين مختلفين ، فإنا نجد أن هاتين الفكرتين المسلم بهما في الميكانيك النيوتني لا تقابلان أي تجربة يمكن تحقيقها . وهذا يعود إلى أن إمكان الانتقالات الآنية للأفعال من مكان إلى آخر ، وهو ما يلزم لكي يمكن لحادثة تقع في مكان ما أن تدوي في الوقت نفسه في مكان آخر ، هو أمر ليس له وجود فيزيائي : والجسم الصلب ذو الكتلة الحجمية اللامتناهية في صغرها أو الذي يكون عامل مرونته (عامل ينغ) لامتناهياً في الكبر هو وحده الذي يمكنه أن ينقل اضطراباً صالحاً لأن يكون إشارة ، بسرعة لامتناهية في الكبر (الجزء الثالث ، ٦ - ٢) ، ولكن لا وجود لمثل هذا الجسم .

ب) إن أمرع ماعرفناه من النواقل الصالحة لنقل إشارة ما هو الموجة الكهرومغناطيسية . وهذه حقيقة تجريبية كحقيقة ثبات سرعة الضوء كيفما كانت منحى انتشاره واتجاهه وعدم توقفها على حالة حركة من يقيسونها . ويمكننا أن نبني على ماسبق تعريفاً للترزامن بين حادثتين تقعان في نقطتين مختلفتين A' و B' في الجملة S' . لنصور ، من أجل ذلك ، أنه يرافق الحادثتين صدور إشارة

ضوئية ؛ فنقول إن هاتين الاشارتين تنتشران متزامنتين فيما إذا كانتا تظلان معاً إلى النقطة O' منتصف $A'B'$. وهذا التعريف الذي يدخل تطابقاً مطلقاً ، هو تعريف صحيح بالنسبة لكل المراقبين المحتكمين .

لنفرض الآن أن النقطتين A' و B' هما واقعتان على المحور $O'z'$ في الجملة S' (الشكل ١٨ - ٣) وأن أولى الاشارتين الضوئيتين تنطلق بدءاً من A'



الشكل ١٨ - ٣ . تعريف
تزامن حادثتين

عندما تكون هذه النقطة منطبقة على النقطة A من المحور Oz في الجملة S ، وإن الإشارة الثانية تنطلق من B' عندما تكون هذه النقطة مواجهة للنقطة B . ولما كانت سرعة الضوء ليست لامتناهية ، فإن O

منتصف $A'B'$ لن تكون مواجهة لـ O منتصف BA عندما تصل الاشارتان إليها ، بل تكون مواجهة لنقطة أخرى مثل O'' . فالحادثتان : انطباقان مطلقان ، بين A و A' من جهة وبين B و B' من جهة أخرى هما متزامنتان بالنسبة للمراقبين في الجملة S .

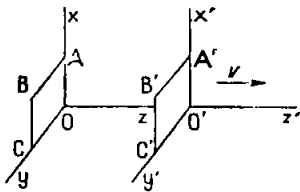
فالتزامن ليس له إذن المعنى نفسه من أجل مراقبين يتحرك أحدهما بالنسبة للآخر حركة نسبية : وها هو ذا مثال آخر .

لنتصور أن جملة المقارنة S' (الشكل ١٨ - ١) المتحركة بالنسبة إلى الجملة S بالسرعة v المتجهة وفق Oz ، تحمل مرآة M موازية للمستوي $x'O'y'$ وأنه تصدر في اللحظة t_1 حين تكون النقطتان O و O' متطابقتين ، إشارة ضوئية تعود إلى O' في لحظة t_2 بعد أن تكون قد انعكست على المرآة M . إن المراقب المرتبط بالجملة S' والعارف بأن سرعة الضوء واحدة في الاتجاهين ، ليقول إن الإشارة تنعكس على M في اللحظة $\frac{t_2 - t_1}{2}$. ولكن ، بالنسبة إلى مراقب مرتبط بالنقطة O ، تكون سرعة الضوء واحدة أيضاً في

الانجاءين ، وتكون المراة في الذهاب فقط متقدمة أمام الضوء بينما في العودة تكون O' هي المتقدمة أمامه . فالضوء بالنسبة اليه يستغرق للوصول الى M وقتاً أطول مما يستغرق في عودته ، بحيث أن اللحظة التي يتم فيها انعكاس الإشارة لا يمكن أن تكون مساوية متوسط لحظتي الانطلاق والعودة . وهنا أيضاً ، لا تكون الحادثتان المتزامنتان في الجملة S' (الانعكاس ودلالة مقياسية) متزامنتين في الجملة S .

(ج) إن نسبية فكرة التزامن تستدعي تقديراً مختلفاً للأطوال التي توازي السرعة النسبية من قبل المراقبين في الجملتين S و S' . وفي الحقيقة ، نجد في تجربة الشكل ١٨ - ٣ أنه بينما يقدّر المراقبون في الجملة S' أن النقطتين A' و B' هما على بعد واحد من O' ، فإن المراقبين في الجملة S يحكمون بأن انطباق B على B' يحدث بعد انطباق A على A' . فالطول $A'B'$ يبدو لهم أقصر من AB . وبالمقابل يبدو الطول AB أقصر من $A'B'$ بالنسبة للمراقبين في الجملة S' .

أما الأطوال العمودية على السرعة النسبية فلا تتعدل بالحركة . وبالفعل ، لنستعد مخطط الشكل ١٨ - ١ ، ولنسلم بأن الأطوال وفق Ox و Oy يطرأ عليها تقلص في الحركة . لنعتبر إذ ذاك إطارين $OABC$ و $O'A'B'C'$



الشكل ١٨ - ٤ . - تغير الطول في الانتقال

(الشكل ١٨ - ٤) متساويين عندما تكون جملتا الاحداثيات S و S' في حالة السكون النسبي .

وعندما تكتسب الجملتان السرعة النسبية v وفق المحور Oz ، يرى المراقب O الاطوار $O'A'B'C'$ ملتصقاً بالحركة ويقع داخل $OABC$

ومحدث عكس ذلك بالنسبة للمراقب O' ، فالإطار OABC هو الذي يصبح الأصغر ويقع داخل $O'A'B'C'$. فهاتان المشاهدتان الكيفيتان متناقضتان وبالتالي مستحيلتان .

١٨ - ٤ . — حركة النسبية . تحويل لورنتز

(١) لنعد إلى تجربة ميكلسون ومورلي (الفقرة ٢ - ١٢) ، ولندرس كيف يفسرها مراقبان ، أحدهما O' عند I التي تنتقل مع مقياس التداخل (الشكل ٢ - ١٢) ، والآخر O ، يتحرك الجهاز بالنسبة إليه بالسرعة v الموازية إلى IM_2 ، مسلمين بأن سرعة الضوء واحدة بالنسبة إلى كل منها . فمن أجل المراقب O' ، تعود إليه الإشارة الضوئية في نفس اللحظة بعد أن تكون قد قطعت المسارين IM_1I و IM_2I اللذين يعرف المراقب أنهما متساويان ويساويان l .

أما المراقب O فيعرف أن O' يتلقى في وقت واحد الإشارتين المنعكستين على M_2 و M_1 ، لأن الأمر يتعلق هنا بتطابق مطلق . وبالنسبة إليه ، يعطى الزمان t_1 و t_2 اللذان يستغرقهما الضوء للعودة إلى I بالصيغتين [١٠،٢] و [٩،٢] .

$$t_1 = \frac{2l}{c} \frac{1}{\sqrt{1-\beta^2}} \quad [٦،١٨]$$

$$t_2 = \frac{2l}{c} \frac{1}{1-\beta^2} \quad [٧،١٨]$$

$$\beta = \frac{v}{c} \quad \text{حيث:}$$

فاذا كان ينبغي لتفسير النتيجة السلبية للتجربة وضع $t_1 = t_2$ ، فلا يمكن

أن يتم ذلك الا بالتسليم بأن المسافتين IM_1 و IM_2 ليستا متساويتين . لنرمز لهاتين المسافتين بالحرفين l_1 و l_2 فيكون :

$$\frac{l_1}{\sqrt{1-\beta^2}} = \frac{l_2}{1-\beta^2}$$

ومنه :

$$l_2 = l_1 \sqrt{1-\beta^2} \quad [٨١٨]$$

فالطول l_2 الموازي للسرعة هو إذن أقصر من الطول l_1 العمودي عليها ، وهذا هو ما وجدناه سابقاً بصورة كيفية في الفقرة ١٨ - ٣ ج .

في الشكل ١٨ - ١ ، يسند المراقب O للنقطة P في الجملة S' الاحداثي $z - vt$ ، حيث يدل t على الزمن الذي تستغرقه O' في قطع المسافة OO' مقيساً من قبل المراقب . أما المراقب O' فيسمى z' إحداثي P الموازي الى v . وقيمة هذا الاحداثي بالنسبة للمراقب O ، كما رأينا منذ قليل ، تساوي $z' \sqrt{1-\beta^2}$.
ومنه :

$$z' \sqrt{1-\beta^2} = z - vt$$

$$z' = \frac{z - vt}{\sqrt{1-\beta^2}} \quad [٩١٨]$$

ب (يتم التحويل الذي يطرأ على المتحول الزمن لدى الانتقال من الجملة S الى الجملة S' بالطريقة التالية : إذا كانت v سرعة O' مقيسة في المكان S مع الزمن t ، فان سرعة O مقيسة في المكان S' مع الزمن t' تساوي بالضرورة $-v$. أما المسافة من P الى المستوى xOy فتساوي $z' + vt'$ بالنسبة الى المراقب O' ، وتساوي z بالنسبة للمراقب O . ويتضح بما تقدم ، أن الطول الاخير ذو قيمة $z' \sqrt{1-\beta^2}$ بالنسبة الى O' ، ومنه ينتج :

$$z \sqrt{1 - \beta^2} = z' + vt'$$

$$z = \frac{z' + vt'}{\sqrt{1 - \beta^2}}$$

فاذا وضعنا في هذه العبارة القيمة z' المعطاة بالعلاقة [٩، ١٨] ، فاننا نجد :

$$t' = \frac{t - z\beta/c}{\sqrt{1 - \beta^2}} \quad [١٠، ١٨]$$

وخلاصة القول انه اذا سلمنا بعدم تغير سرعة الضوء في جملتي المقارنة اللتين تتحرك إحداها بالنسبة للآخرى حركة مستقيمة ومنتظمة ، وسلمنا كذلك بأنه ليست هناك أي حادثة يتم انتقالها في المكان بسرعة أكبر من سرعة الضوء، فاننا نحصل على معادلات التحويل التالية من أجل احداثيات المكان والزمان .

$$\left. \begin{aligned} x' &= x \\ y' &= y \\ z' &= \frac{z - vt}{\sqrt{1 - \beta^2}} = \alpha (z - vt) \\ t' &= \frac{t - \frac{\beta}{c} z}{\sqrt{1 - \beta^2}} = \alpha \left(t - \frac{\beta}{c} z \right) \end{aligned} \right\} \quad [١١، ١٨]$$

وذلك بوضع $\alpha = \frac{1}{\sqrt{1 - \beta^2}}$. وبجمل هذه المعادلات بالنسبة للمتحولات غير المفتوحة ، نجد :

$$\left. \begin{aligned} x &= x' \\ y &= y' \\ z &= \frac{z' + vt'}{\sqrt{1 - \beta^2}} = \alpha (z' + vt') \\ t &= \frac{t' + \frac{\beta}{c} z'}{\sqrt{1 - \beta^2}} = \alpha \left(t' + \frac{\beta}{c} z' \right) \end{aligned} \right\} \quad [١٢، ١٨]$$

وتؤلف المعادلات [١١، ١٨] و [١٢، ١٨] زمرة التحويلات الحركية للورنتز .

(ج) من المفهوم الآن أن الموجة الضوئية الواحدة (الشكل ١٨ - ٢) يمكن أن تتخذ شكل كرتين غير مشتركين بالمركز ، وذلك بالنسبة إلى مراقبين هما في حالة حركة نسبية في الفضاء . ونتيجة لعدم التوافق بين قياساتها للطول وللزمن ، فإنها يطلقان الاسم نفسه على مجموعتين مختلفتين من الحوادث .

إن معادلة الموجة الكروية ذات المركز O ونصف القطر $r = ct$ هي التالية بالنسبة للمراقبين في الجملة S :

$$x^2 + y^2 + z^2 - c^2 t^2 = 0$$

إذن ، فاللامتغيران [١١، ١٨] $t = t'$ و [٥، ١٨] .

$$x^2 + y^2 + z^2 = x'^2 + y'^2 + z'^2$$

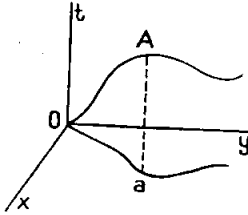
في علم الحركة الكلاسيكي يحل مكانها اللامتغير :

$$x^2 + y^2 + z^2 - c^2 t^2 = x'^2 + y'^2 + z'^2 - c^2 t'^2 \quad [١٣، ١٨]$$

وعلى هذا ، فالاحداثيات الاربعة x ، y ، z ، t الضرورية لتمثيل حادثة ما ، هي إحداثيات لا تقبل الانفصال . وينبغي ألا تعتبر القياسات في المكان منفصلة عن القياسات في الزمان ، بل أن توجد مجموعة المعطيات التجريبية في متصل يسمى الكون أو المكان - الزمان ، وهو ذو أربعة متحولات ، أو كما يقال أيضاً ، ذو أربعة أبعاد .

يمكن إعطاء فكرة عن معنى مكان - زمان ذي ثلاثة أبعاد ، باعتبار نقطة مادية مقيدة تنتقل في مستو xoy (الشكل ١٨ - ٥) . يمكن تمثيل المعطيات التي تميز

حركتها بيانياً ، بأن يؤخذ محور ثالث للاحداثيات Ot عمودي على xOy ، فإذا لقم من كل نقطة من الحرك المستوي ، كالنقطة a



قطعة مستقيمة aa عمودية على المستوي xOy ومتناسبة مع الزمن الذي ينقضي منذ مرور المتحرك بالنقطة O ، فان مجموعة النقاط A تمثل حركة الجسم في مكان - زمان ذي ثلاثة ابعاد .

الشكل ١٨-٥ - الحرك المستوي لمتحرك ما .

يرمز للمتغير $[١٣،١٨]$ بـ s^2 . ويسمى s الفاصلة بين حادثتين . فمربع

فاصلة حادثتين متجاورتين تجاوراً لانهاً يساوي مايلى ، مهما كانت جملة المقارنة لغاليلي المستعملة .

$$ds^2 = dx^2 + dy^2 + dz^2 - c^2 dt^2 \quad [١٤،١٨]$$

ويمثل تاريخ جسم ما بالتكامل $\int ds$ ، الذي يسمى خط العالم .

إن الحركة التلقائية لجسم ما ، في مكان - زمان النسبية الخاصة ، هي حركة مستقيمة ومنتظمة . وهذه على وجه الضبط الحركة التي من أجلها تكون المسافة بين حادثتين من المكان - الزمان أقصر مسافة ، بحيث أنه إذا كانت ds دائماً فاصلة حادثتين متجاورتين تجاوراً لانهاً ، فانه من أجل هاتين الحادثتين تكون المسافة الكلية $\int ds$ ، بالنسبة الى الحركة المستقيمة والمنتظمة التي توحد ما بين الحادثتين ، مسافة صغرى ، أو بعبارة اخرى ، فان هذه المسافة تزداد حالما تبتعد ، بأي طريقة كانت ، عن الحركة المستقيمة والمنتظمة . فالحركة التلقائية لجسم ما تخضع إذن للمعادلة التالية :

$$\delta \left\{ \int ds \right\} = 0 \quad [١٤،١٨ \text{ مكرر}]$$

وهي تعبر عن أن التكامل $\int ds$ أصغري . وهذه المعادلة هي التي تعبر عن مبدأ العطالة في النظرية النسبية الخاصة . وهي تعرف خطأ جيوديزياً في المكان - الزمان .

فمن أجل $ds = 0$ ، يكون لدينا :

$$\frac{dx^2 + dy^2 + dz^2}{dt^2} = c^2$$

وتعرف هذه العلاقة متحركاً يتحرك بسرعة الضوء : فهي تنطبق إذن على الفوتون .

لنبين أخيراً أن العلاقة بين إحداثيات المكان المستعملة في تكوين العلاقة [١٨، ١٣] توافق هندسة إقليدس . لذلك يقال إن المكان - الزمان في النسبية الخاصة إقليدي .

١٨ - ٥ . — النتائج المباشرة لتحويلات لورنتز .

أ) عندما تكون السرعة v ضئيلة بما يكفي لإمكان إهمالها بالنسبة إلى c ، تؤول المعادلات [١٨، ١١] إلى [١٨، ١] : فإذا سلمنا بأن قوانين الحركة للورنتز دقيقة ، فإنه يتبين أن علم الحركة لغاليلي يؤلف تقريباً أولياً منه صالحاً للسرعات النسبية الضئيلة أمام سرعة الضوء . وهذه هي حالة حركات كل الاجسام في سلم مقاييسنا المألوفة .

ب) تقدم الزمن . إن لكل جملة مقارنة زمنها الخاص ، كما أشرنا إلى ذلك من قبل ، ويمكن أن تنسب إلى كل حادثة (الفقرة ١٨ - ٢) احداثيات مكانية وزمانية . نعتبر حادثة هي وضعية نواس ميقانية في نقطة من جملة المقارنة S' . ففي علم الحركة لغاليلي تتوقف المسافة في المكان بين وضعي النواس

بعد خفقتين متعاقبتين على جملة المقارنة : فهي منعدمة في الجملة S' ، وهي تساوي vt في الجملة S ؛ ولكن الفاصلة الزمنية التي تفصل بين الخفقتين واحدة وتساوي $t_2 - t_1 = t'_2 - t'_1$. لنفترض أن هذه الفاصلة تساوي واحدة الزمن . ففي حركيات لورنتز يكون $t'_2 - t'_1 = 1$ أيضاً ، ولكن المعادلة الاخيرة في [١١، ١٨] تعطي :

$$t_2 - t_1 = \frac{1}{\sqrt{1-\beta^2}} \left(t'_2 + \frac{vz'_2}{c^2} - t'_1 - \frac{vz'_1}{c^2} \right)$$

ولما كان $z'_2 = z'_1$ ، إذن :

$$t_2 - t_1 = \frac{1}{\sqrt{1-\beta^2}} (t'_2 - t'_1) \quad [١٥، ١٨]$$

فدور المقياسية المرتبطة بالجملة S' يصبح إذن بالنسبة الى المراقبين المرتبطين بالجملة S :

$$T = \frac{T'}{\sqrt{1-\beta^2}} \quad [١٦، ١٨]$$

ويكون $T > T'$: فهناك اذن تباطؤ في سير المقياسية المتحركة بالنسبة للمراقبين الذين يرونها تنتقل . والسبب نفسه ، تبدو المقياسية المرتبطة بالجملة S بطيئة بالنسبة للمراقبين المرتبطين بالجملة S' . وفي الحقيقة ، تعطي المعادلة الاخيرة في [١١، ١٨] ، من أجل قيمة معطاة لـ $t_2 - t_1$ و $z_2 = z_1$:

$$\begin{aligned} t'_2 - t'_1 &= \frac{1}{\sqrt{1-\beta^2}} \left(t_2 - \frac{vz_2}{c^2} - t_1 + \frac{vz_1}{c^2} \right) = \\ &= \frac{1}{\sqrt{1-\beta^2}} (t_2 - t_1) \quad [١٧، ١٨] \end{aligned}$$

ونلاحظ أنه ليس هناك تناقض بين العلاقتين [١٥، ١٨] و [١٧، ١٨] لأن المقياسية لم تعد مرتبطة بجملة مقارنة واحدة .

ج) نسبة التزامن : إن الحادثتين اللتين تحدثان في الجملة S من نقطتين مختلفتين تفصل بينهما مسافة Δz ، واللتي يحكم عليهما من قبل المراقبين المرتبطين بالجملة S أنها متوافقتان ($\Delta t = 0$) لا تكونان متزامنتين بالنسبة للمراقبين المرتبطين بالجملة S' .

وبالفعل ، يستنتج من المعادلة الاخيرة في [١١، ١٨] ، مع $\Delta t = 0$ ،

$$\Delta t' = - \frac{v/c^2}{\sqrt{1-\beta^2}} \Delta z \quad [١٨، ١٨]$$

فالفاصلة $\Delta t'$ ليست منعدمة .

د) تقلص الاطوال . يمكن للمراقب المرتبط بالجملة S أن يقيس طولاً Δz لقضيب مواز للمحور Oz وفي حالة السكون في هذه الجملة ، وذلك بأن يضع مجزاء هذا القضيب مسطرة مدرجة وأن يقرأ حيث يتطابق طرفاه مع التدريجات . ويمكن للمراقب المرتبط بالجملة S' أن يقوم بالقياس نفسه بواسطة مسطرة مدرجة في حالة السكون في الجملة S' . ولكن لما كانت المسطرة تنتقل على طول القضيب ، فانه ينبغي على هذا المراقب أن يقدر في نفس اللحظة احداثي طرفيه كي يحصل على الفرق بينهما $\Delta z'$. ويستنتج من المعادلة الثالثة في [١٢، ١٨] :

$$\Delta z = \frac{1}{\sqrt{1-\beta^2}} (\Delta z' - v \Delta t')$$

ومن أجل $\Delta t' = 0$.

$$\Delta z = \frac{\Delta z'}{\sqrt{1-\beta^2}} \quad [١٩، ١٨]$$

وهكذا نجد من جديد تقلص لورنتز-فتزجيرلند (الفقرة ٢ - ١٢) وبالرغم من أن هذا التقلص اعتُبر في البداية فرضية مستقلة عن ثبات c . ولكن لا يحدث

شيء من هذا القبيل من أجل الاطوال العمودية على سرعة الانتقال .
وكذلك ، فان طولاً قدره $\Delta z'$ بالنسبة إلى المراقبين S' يكون قياسه
بالنسبة للمراقبين S ، وفقاً للعلاقة الثالثة في [١١،١٨] :

$$\Delta z' = \frac{\Delta z}{\sqrt{1-\beta^2}}$$

إن التقلص ضئيل جداً : فمسطرة طولها متر واحد وعمودية على منحى
حركة الارض ، تقصر عندما تصبح موازية لهذا المنحى ، بمقدار ٠,٠٠٥ .
مكرون (بالنسبة إلى مراقب لا يشارك في حركة الارض) أي بمقدار نسبي
يساوي 10^{-9} .

ملاحظة : ينبغي أن يتغير سلم الازمان بالطريقة نفسها التي يتغير بها سلم
الاطوال (الصيغتان [١٦،١٨] و [١٩،١٨]) وذلك كي يمكن قياس
حركة O بالنسبة الى O' وحركة O' بالنسبة إلى O (حادثان متعاكستان)
الاولى بالعدد v في الجملة S ، والثانية بالعدد v - في الجملة S' .

٨) تركيب السرعة . لنبحث في الجملة S ، عن القيمة u ، قيمة سرعة
متحرك يتحرك ، في الجملة S' ، بسرعة u' موازية الى $O'z'$. فيكون لدينا :

$$u' = \frac{dz'}{dt'}$$

وينتج من المعادلتين الاخيرتين في [١٢،١٨] :

$$\frac{z}{t} = \frac{z' + vt'}{t' + \frac{vz'}{c^2}}$$

وينتج من ذلك بالمفاصلة :

$$\frac{dz}{dt} = \frac{dz' + v dt'}{dt' + \frac{v}{c^2} dz'} = \frac{\frac{dz'}{dt'} + v}{1 + \frac{v}{c^2} \frac{dz'}{dt'}}$$

أو :

$$u = \frac{v + u'}{1 + \frac{vu'}{c^2}} \quad [٢٠،١٨]$$

إن العلاقة [٢٠،١٨] هي قاعدة تركيب السرعة ، التي لها المنحى نفسه ، في حركات لورنتز . وهي تؤول الى [٣،١٨] عندما تكون السرعتان v و u' مهملتين أمام c . ويمكن التحقق من أن u أصغر من c دائماً أو على الاكثر تساويها . فعندما $u' = c$ ، مثلاً ، يكون :

$$u = \frac{v + c}{1 + \frac{v}{c}} = c \quad [٢١،١٨]$$

إذن فسرعة الضوء تبدو بالنسبة للجسم المادي أنها حد لا يمكن تجاوزه .

١٨ - ٦. — التفسير الفسوفي للأثر الضوئية للحركة .

(أ) إن العلاقة [١،١٨] تدل على أن جمع سرعة v مع سرعة الضوء يبقى على السرعة الاخيرة دون تغيير : فالنتيجة السلبية لتجربة ميكلسون نجدها على هذا النحو .

(ب) إن نتيجة تجربة فيزو (الفقرة ٢ - ١١) التي تعبر عنها المعادلة [٨،٢] ، تنتج من قانون تركيب السرعة . فمن أجل مراقب مرتبط بالماء المتحرك ، أي الذي الماء بالنسبة اليه ساكن ، تكون سرعة الضوء مساوية

، أما الجرب الذي يرى الماء المتحرك بالسرعة w في نفس المنحى ،
فسرعة الضوء بالنسبة إليه ، وفقاً للعلاقة [٢١، ١٨] ، تساوي :

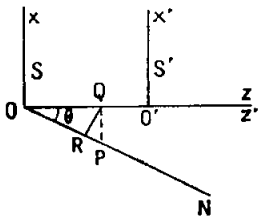
$$u = \frac{w + \frac{c}{N}}{1 + \frac{w}{cN}}$$

أو ، بالمرتبة الاولى :

$$u \simeq \left(w + \frac{c}{N}\right) \left(1 - \frac{w}{cN}\right) \simeq \frac{c}{N} + w \left(1 - \frac{1}{N^2}\right)$$

وهذه هي تماماً النتيجة التجريبية [٨، ٢] ^(١) .

(ج) لنسع إلى التنبؤ في ضوء النظرية النسبية ، عن الزيف (الفقرة ٢-٣)
وعن فعل دُبلر (الفقرة ١٣ - ٩) اللذين تظهر فيها السرعة النسبية v للجملتين
 S و S' . اندرس ، من أجل ذلك ، انتشار موجة ضوئية وحيدة اللون ، في



الشكل ١٨-٦ - حساب
فعل دُبلر

هاتين الجملتين . ولتبسيط الكتابة ، لنفرض
أن الناظم على الموجة ON واقع في المستوي
 xOz الذي أخذ مستوياً للشكل ١٨ - ٦
وأنه يصنع زاوية θ مع المحور Oz .
وباسقاط النقطة P من ON عند Q على
ON عند R ، نحصل على :

$$\overline{OP} = \overline{OR} + \overline{RP} = \overline{OQ} \cos \theta + \overline{QP} \sin \theta$$

(١) لنشر مع ذلك الى ان هذه النتيجة ليست حاسمة أو اساسية بالنسبة الى النظرية
النسبية : وهناك نظريات اخرى كانت تفسرها أيضاً بصورة مرضية .

ومنه تنتج العلاقة التالية بين الاحداثين x و z للنقطة P وبين المسافة $OP = r$:

$$r = z \cos \theta + x \sin \theta$$

وتكون معادلة سعة الموجة (الصيغة [١٣٤٦] من الجزء الثالث) في الجملة S :

$$s = s_m \sin 2\pi\nu \left(t - \frac{r}{c} \right) = s_m \sin 2\pi\nu \left(t - \frac{z \cos \theta + x \sin \theta}{c} \right) \quad [٢٢٤١٨]$$

حيث ν هو التواتر .

ولما كانت هذه العبارة يدخل فيها الزمن والاحداثيات الخاصة بالجملة S ، فانه ينبغي أن تكون لها في الجملة S' الصيغة التالية :

$$s = s_m \sin 2\pi\nu' \left(t' - \frac{z' \cos \theta' + x' \sin \theta'}{c} \right) \quad [٢٣٤١٨]$$

ولكن تحويل لورنتز المطبق على الصيغة [٢٢٤١٨] يعطي :

$$s = s_m \sin 2\pi\nu \left[\frac{1}{\sqrt{1-\beta^2}} \left(t' + \frac{vz'}{c} \right) - \frac{\cos \theta}{c \sqrt{1-\beta^2}} (z' + vt') - \frac{x'}{c} \sin \theta \right] \quad [٢٤٤١٨]$$

وبالمطابقة بين العبارتين [٢٣٤١٨] و [٢٤٤١٨] نجد :

$$\nu' = \frac{\nu}{\sqrt{1-\beta^2}} \left(1 - \frac{v \cos \theta}{c} \right) \quad [٢٥٤١٨]$$

$$\cos \theta' = \frac{\cos \theta - \frac{v}{c}}{1 - \frac{v \cos \theta}{c}} \quad [٢٦٤١٨]$$

وتبين العلاقة [٢٦،١٨] أن المراقبين S' ، المتحركين بالنسبة الى المنبع الواقع في الجملة S ، ينسبون الى الاشعة الضوئية منحى $\theta' \neq \theta$. فاذا كان مراقبون ارضيون يرصدون نجماً سمتة وفق $O'x'$ ($\cos \theta = 0$) ، فان منحى النسديد ينبغي أن يصنع مع $O'x'$ زاوية θ' بحيث يكون :

$$\cos \theta' = \sin \left(\frac{\pi}{2} - \theta' \right) \simeq \frac{\pi}{2} - \theta' \simeq -\frac{v}{c}$$

وهي الصيغة [٤،٢] التي تعطيها التجربة .

(د) إن العلاقة [٢٥،١٨] لا تتطابق ، من أجل $\theta = 0$ ، مع العلاقة [٤،١٣] التي تستنتج فيما لو طبقت على الامواج الضوئية نفس المحاكمة التي تطبق على الامواج الصوتية . ففي الصيغة [٤،١٣] ، يكون لدينا تماماً $v_r = v \cos \theta$ ولكن لا وجود للعامل $\frac{1}{\sqrt{1-\beta^2}}$. ذلك لأن المحاكمة التي تنبع في الصوتيات تعتمد على تحويل غاليلي ، ومن المعروف أن هذا التحويل لا يصح في الضوء . غير أن الصيغة [٢٥،١٨] تؤول الى [٤،١٣] عندما يكون v^2 مهملاً بالنسبة الى c^2 .

وعندما $\cos \theta = 0$ ، تصبح الصيغة [٢٥،١٨] :

$$v' = \frac{v}{\sqrt{1-\beta^2}} \quad [٢٧،١٨]$$

وهذه النتيجة مخالفة لنتيجة علم الحركة الكلاسيكي : ينبغي أن يلاحظ تغير في التواتر في منحى عمودي على السرعة v . وقد تم التحقق في الواقع من الصيغة [٢٧،١٨] ولو كان ذلك بطريقة غير مباشرة : فقد عين إيفز وستلويل Ives et Stilwell تواتري الخط الطيفي H_β الذي تصدره أشعة الهدروجين المسرعة بتأثير فرق كمون مقداره (١٨٠٠٠) فولت ، في منحى الحركة

($\theta = 0$) وفي المنحى المعاكس له ($\theta = \pi$) . وقد تحققنا، وفقاً للصفة [٢٥٠، ١٨] أن النسبة بين التواترين تساوي :

$$\frac{1 - \beta}{1 + \beta}$$

ف هناك إذن بين فعل دُبلّر في الضوء وفي الصوتيات الفروق التالية :

١° التغير في التواتر الضوئي لا يتوقف إلا على الحركة النسبية بين المنبع والمراقب ، بينما في الصوتيات (الجزء الثالث ، ٧ - ١٧) لا يكون هناك تناظر بين الحالة التي ينتقل فيها المنبع والحالة التي ينتقل فيها المراقب .

٢° هناك فعل ضوئي عرضي في حين لا يوجد فعل يمكن ملاحظته في الصوتيات عندما ينتقل المنبع أو المراقب في منحى عمودي على المستقيم الواصل بينهما .

١٨ - ٧ . — ديناميك النسبية .

إن قوانين الديناميك في الميكانيك النيوتني (الجزء الاول ، ٩ - ٨) واحدة في جلتي مقارنة S و S' تتحرك احدهما بالنسبة إلى الأخرى حركة انتقال مستقيمة ومنتظمة . لندرس ماهي نتائج مبدأ النسبية الخاصة (الفقرة ١٨ - ٢) في الديناميك .

أ (الكتلة . إن الميكانيك النيوتني يسلم بفكرة الكتلة المطلقة . لنعتبر إذن كتلة نقطية تتحرك حركة ما في الجملة S ولتكن سرعتها v_0 بالنسبة إلى الجملة S في لحظة معطاة . لنختار جملة المقارنة S' بحيث تكون سرعة الجسم فيها منعدمة في اللحظة المعتبرة : فتكون سرعة S' بالنسبة إلى S إذن ثابتة وتساوي $v = v_0$. لنوجه المحورين Oz و Oz' في الجملتين S و S' بحيث ينطبقان على منحى v_0 . ففي خلال فاصلة من الزمن قصيرة

قصراً كافياً وتعقب اللحظة المعتبرة ، نكون على يقين بأن سرعة الكتلة النقطية في الجملة S' ستكون ضئيلة بالنسبة إلى v_0 بحيث يمكننا التعبير في هذه الجملة عن كمية الحركة (الاندفاع) بالصيغة الكلاسيكية .

$$P = m_0 v_0$$

حيث m_0 هي الكتلة النيوتنية .

ونحصل على العلاقة بين الزمن t مقيساً في جملة المقارنة S وبين الزمن المحلي t_0 للجسم بمفاضلة المعادلة الاخيرة في [١١، ١٨] وهذا يعطى :

$$\frac{dt'}{dt} = \frac{1 - \frac{v}{c^2} \frac{dz}{dt}}{\sqrt{1 - \beta^2}}$$

فاذا كان $\frac{dz}{dt} = v$ ، فان dt' تمثل dt_0 وفقاً لما وجدناه اعلاه ويكون

لدينا :

$$dt_0 = \sqrt{1 - \beta^2} dt \quad [28, 18]$$

وتكون عبارة اندفاع الكتلة النقطية :

$$m_0 \frac{dz}{dt_0} = \frac{m_0}{\sqrt{1 - \beta^2}} \frac{dz}{dt} = m \frac{dz}{dt}$$

حيث m هي الكتلة النسبوية من أجل مراقب في الجملة S يستعمل الزمن t ، وهي تساوي :

$$m = \frac{m_0}{\sqrt{1 - \beta^2}} \quad [29, 18]$$

تزداد m بازدياد السرعة v ، حيث m_0 هي الكتلة السكونية . فمن

أجل $v = c/100$ ، لا يساوي ازدياد الكتلة النسبي $\frac{m - m_0}{m_0}$ اكثر من

10^{-5} ؛ ولكن هذا الازدياد يصبح كبيراً في حالة السرعات التي يمكن ملاحظتها في حالة الالكترونات أو التي يمكن أن نكسبها إياها. فنتائج التجارب (الجزء الرابع ، ١٦ - ٦) تتفق مع النظرية .

ب) الطاقة الحركية . لكي نأخذ بعين الاعتبار تغير الكتلة مع السرعة ، علينا أن نكتب القانون الاسامي في الديناميك ، لا كما يكتب في الميكانيك الكلاسيكي (الجزء الاول ، ٩ - ١٢) ، أي :

$$F = m \frac{dv}{dt}$$

بل كما ينبغي أن يكتب في جملة المقارنة S حيث تتحرك الكتلة :

$$F = \frac{d(mv)}{dt} = \frac{d}{dt} \frac{m_0 v}{\sqrt{1-\beta^2}} = \frac{m_0 \frac{dv}{dt}}{\sqrt{1-\beta^2}} + \frac{m_0 v (1-\beta^2)^{-\frac{1}{2}} \frac{v}{c^2} \frac{dv}{dt}}{1-\beta^2}$$

لنضرب طرفي هذه العلاقة بالسرعة v ، فينتج :

$$Fv = F \frac{dz}{dt} = \frac{m_0 v \frac{dv}{dt}}{(1-\beta^2)^{3/2}}$$

ونلاحظ أن الطرف الثاني يساوي :

$$\frac{d}{dt} \left(\frac{m_0 c^2}{\sqrt{1-\beta^2}} \right)$$

إذن يمكن ان نكتب :

$$F dz = d \left(\frac{m_0 c^2}{\sqrt{1-\beta^2}} \right)$$

أما الحد الاول فيمثل العمل العنصري $d\mathcal{E}$ للقوة F على طول المسار dz .

ويمثل الحد الثاني إذن (الجزء الأول ، ١٠ - ١٦) تغير الطاقة الحركية المقابلة :

$$d\mathcal{E} = dW_k$$

وإذا لاحظنا أن W_k ينبغي أن تتعدم عندما تنعدم v ، فأننا نحصل بالتكامل على :

$$W_k = m_0 c^2 \left(\frac{1}{\sqrt{1-\beta^2}} - 1 \right) \quad [٣٠،١٨]$$

وتؤول هذه العبارة الى عبارة الميكانيك النيوتني عندما تكون السرعة v ضئيلة بما يكفي لكي يمكن نشر العبارة وفق قوى للمقدار $\frac{v^2}{c^2}$ مقتصرين على الحد الاول . وبالفعل فإن :

$$m_0 c^2 \left(1 - \frac{v^2}{c^2} \right)^{-\frac{1}{2}} = m_0 c^2 + m_0 \frac{v^2}{2} + \frac{3}{8} m_0 \frac{v^4}{c^2} + \dots$$

إذن :

$$W_k = \frac{m_0 v^2}{2} \left(1 + \frac{3v^2}{4c^2} + \dots \right) \quad [٣١،١٨]$$

ج) يستنتج من العلاقتين [٢٩،١٨] و [٣٠،١٨] أن :

$$m - m_0 = \frac{m_0}{\sqrt{1-\beta^2}} - m_0 = \frac{W_k}{c^2} \quad [٣٢،١٨]$$

عندما يكتسب جسم طاقة حركية ، فإن كتلته تزداد إذن بمقدار يساوي نسبة هذه الطاقة إلى مربع سرعة الضوء في الحلاء .

وهذا يعني القول بأن لكمية الطاقة الحركية W_k كتلة تساوي $\frac{W_k}{c^2}$. وما دامت السرعة ضئيلة ضالة كافية ، فان الطاقة الحركية تساوي $\frac{mv^2}{2}$ ،

ولكن كلما ازدادت السرعة ، أخذت الحدود المتعاقبة في المنشورة [٣١، ١٨] قيماً أكبر فأكثر : وتزداد الطاقة الحركية بأكثر من ازدياد مربع السرعة ، وتزداد ازدياداً لا نهائياً عندما تقتفي السرعة إلى سرعة الضوء . وهنا أيضاً ، تبدو سرعة الضوء كأنها سرعة حدية لا يمكن أن يصل إليها أي جسم مادي ، وهو أمر سبق أن أشرنا إليه (الفقرة ١٨ - ٥٥) .

١٨-٨ . عطالة العطالة :

(أ) إن الطاقة الحركية W_k هي الفرق بين الطاقة الكلية W والطاقة الداخلية U (الجزء الثاني ، ٥ - ٦) . وقد أدت العلاقة :

$$W_k = W - U = (m - m_0) c^2$$

إلى وضع مايلي :

$$W = m c^2 \quad [٣٣ ، ١٨]$$

$$U = m_0 c^2 \quad [٣٤ ، ١٨]$$

فالنظرية النسبية تحدد القيمة المطلقة لـ U على هذا النحو . وهذه القيمة كبيرة للغاية : فكيلو غرام واحد من المادة يحتوي على طاقة مقدارها 9×10^{16} جولاً ، وهي طاقة تسمح برفع (٣٠ . ٠٠٠) مليون طن إلى ذروة برج إيفل .

إن تغيرات الطاقة الداخلية العائدة إلى تفاعلات كيميائية عادية تعطي تغيرات في الكتلة غير محسوسة . فقد وجد مثلاً (الجزء الثاني ، ٥ - ٨) أن تكوين كيلو مول من الماء بدءاً من عنصره يرافقه نقصان في الكتلة قدره 32×10^{-9} كغ ، وهو مقدار طفيف جداً .

إذن فمبدأ انخفاض الكتلة الكلية في التحولات الكيميائية (لافوازييه)

يبقى صحيحاً في هذه الظروف . ولكن بعض التفاعلات النووية (الجزء الثامن) ترافقها تغيرات في الطاقة الداخلية هي من الكبر بما يكفي لإحداث تغيرات في الكتلة يمكن قياسها .

(ب) إن النسبية لا تعتبر مبدأي انحفاظ الكتلة وانحفاظ الطاقة اللذين كانا يعدّان مبدأين منفصلين إلا مبدأ واحداً . فالطاقة الكلية لكتلة m تعطى بالصيغة [١٨ ، ٣٣] .

إن العلاقة $m = \frac{W}{c^2}$ التي توصلنا إليها بدءاً من الطاقة الحركية لمتحرك ، هي علاقة عامة وتنطبق على كل أشكال الطاقة التي يمكن أن يتحول بعضها إلى البعض الآخر .

يمكن أن نورد على ذلك برهاناً مباشراً وبسيطاً في حالة الطاقة المشعة . لنفرض حيناً مغلفاً (الشكل ١٨ - ٧) يحتوي على جهازين A و B لها كتلتان متساويتان ويمكنهما أن يصدرا وأن يتصا إشعاعاً كهربائياً . في تجربة أولى ، يصدر الجهاز A قطار أمواج ذا أجل قصير ، ويعاني من جراء ذلك ، نتيجة لضغط الإشعاع (الفقرة ١٩ - ١) ، دفعا ينقله إلى الحيز . وفي خلال الزمن الذي تستغرقه الأمواج في الذهاب من A إلى B ،



الشكل ١٨ - ٧ . عطالة الطاقة المشعة

ينتقل الحيز في الاتجاه المعاكس ، ثم يتوقف عندما ينقل إليه الإشعاع ، لدى وصوله إلى B ، دفعا مساوياً للدفع الذي أصابه عند A ، مما يؤدي بالمجموعة إلى السكون . لنبادل الآن بين A و B ، ولنجعل B يصدر قطار أمواج : فننتقل المجموعة مرة أخرى في الاتجاه السابق نفسه بطول معين . إن تكرار هذه العملية ، يحدث إذن انتقالاً دون تغيير نهائي في الحيز ودون فعل خارجي ، وهو ما لا يتفق مع انحفاظ مركز العطالة (الجزء الأول ، ٩ - ١٣) . وبزول التناقض إذا سلمنا بأن إصدار A للطاقة المشعة يرافقه نقصان في الكتلة يكتسبه الجهاز B لدى امتصاصه لهذه الطاقة . إن ضغط الإشعاع في A يقابله دفع مقداره $\frac{W}{c}$ ، وإذا كانت كتلة الحيز الكلية تساوي M ، فإن كمية الحركة التي يكتسبها تساوي $Mv = \frac{W}{c}$. أما المسافة التي يقطعها الحيز فتساوي $d = vt$ ، وذلك خلال

الزمن t الذي يستغرقه الاشعاع في قطع المسافة $l = AB$ ، حيث $t = \frac{l}{c}$ (وذلك باهمال الحدود ذات المراتب العليا . وينتج من ذلك :

$$d = \frac{Wl}{Mc^2} \quad [٣٥،١٨]$$

ولتحقيق انحفاظ مركز العطالة ، لننسب الى الطاقة المنتقلة من A الى B كتلة مقدارها m . فيعبر عن الانحفاظ بالملاقة التالية :

$$Md - ml = 0$$

أو بالتعويض عن d بقيمتها من [٣٥،١٨] :

$$M = \frac{W}{c^2} \quad [٣٦،١٨]$$

ان الكتلة المرتبطة بالطاقة على هذا النحو ضئيلة جداً . فمثلاً ، وجد (الجزء الثاني ، ٢٤ - ٦) أن الاستطاعة الوسطى التي يتلقاها متر مربع من سطح الارض هي من مرتبة ٣٥٠٠٠ كيلووات . ولكي تكون لكمية الطاقة المتلقاة كتلة غرام واحد ، فان ذلك يقتضي زمناً t بحيث أن :

$$10^{-3} = \frac{0,35 \cdot 10^3 t}{9 \cdot 10^{16}}$$

ومنه : $t \simeq 25 \cdot 10^{10} \text{ s}$ أي نحو ٧٦٠٠ سنة .

١٨ - ٩ - نسبة الحقل الكهرطيسي

إن عدم تغير سرعة الضوء بالنسبة لجمال المقارنة التي تتحرك حركات نسبية منتظمة يؤدي إلى نتيجة هي أن معادلات مكسويل ينبغي أن تكون ذات صيغة واحدة في جل الاحداثيات هذه ، فلتر كيف تتحول مركبات حقل كهرطيسي ، وفقاً لمعادلات علم الحركة والديناميك النسبوي . وسوف نرى

فما بعد (الفقرة ١٨ - ١١) أن نتائج هذه الدراسة تمكن من تفسير نتائج تجريبية مختلفة .

في جملة إحداثيات متعامدة S مرسومة في مكان خال يسود فيه حقل كهربائي ، تكون لمعادلات مكسويل العبارات المنشورة التالية :

$$\left. \begin{aligned} \epsilon_0 \frac{\partial E_z}{\partial t} &= \frac{\partial H_y}{\partial x} - \frac{\partial H_x}{\partial y} \\ \epsilon_0 \frac{\partial E_y}{\partial t} &= \frac{\partial H_x}{\partial z} - \frac{\partial H_z}{\partial x} \\ \epsilon_0 \frac{\partial E_x}{\partial t} &= \frac{\partial H_z}{\partial y} - \frac{\partial H_y}{\partial z} \end{aligned} \right\} [٣٧، ١٨]$$

$$\left. \begin{aligned} \mu_0 \frac{\partial H_x}{\partial t} &= \frac{\partial E_z}{\partial y} - \frac{\partial E_y}{\partial z} \\ \mu_0 \frac{\partial H_y}{\partial t} &= \frac{\partial E_x}{\partial z} - \frac{\partial E_z}{\partial x} \\ \mu_0 \frac{\partial H_z}{\partial t} &= \frac{\partial E_y}{\partial x} - \frac{\partial E_x}{\partial y} \end{aligned} \right\} [٣٨، ١٨]$$

$$\frac{\partial E_x}{\partial x} + \frac{\partial E_y}{\partial y} + \frac{\partial E_z}{\partial z} = 0 \quad [٣٩، ١٨]$$

$$\frac{\partial H_x}{\partial x} + \frac{\partial H_y}{\partial y} + \frac{\partial H_z}{\partial z} = 0. \quad [٤٠، ١٨]$$

لنفترض أن الحقل نفسه يشاهد في جملة الإحداثيات الثانية S' في الشكل ١٨ - ١ ، التي تتحرك بالنسبة إلى الجملة الأولى بسرعة v وفق المحور Oz . يتم الانتقال من الإحداثيات x, y, z, t إلى الإحداثيات x', y', z', t' بواسطة تحويل لورنتز .

لكي نقوم بتحويل المعادلتين [٣٧، ١٨] و [٣٨، ١٨] ، نتذكر أن z و t تابعان معا إلى z' و t' . فمثلا ، تعطي المعادلة الأخيرة . في [٣٧، ١٨] :

$$\frac{\partial E_z}{\partial t} = \frac{\partial E_z}{\partial t'} \cdot \frac{\partial t'}{\partial t} + \frac{\partial E_z}{\partial z'} \cdot \frac{\partial z'}{\partial t} = \frac{\partial E_z}{\partial t'} \alpha - \frac{\partial E_z}{\partial z'} \alpha v \quad [٤٠١٨ \text{ مكرر}]$$

$$\frac{\partial H_y}{\partial x} = \frac{\partial H_y}{\partial x'} \quad \frac{\partial H_x}{\partial y} = \frac{\partial H_x}{\partial y'}$$

ومن جهة اخرى :

$$\frac{\partial E_x}{\partial z} = \frac{\partial E_x}{\partial z'} \cdot \frac{\partial z'}{\partial z} + \frac{\partial E_x}{\partial t'} \cdot \frac{\partial t'}{\partial z} = \frac{\partial E_x}{\partial z'} \alpha - \frac{\partial E_x}{\partial t'} \frac{\alpha v}{c^2}$$

$$\frac{\partial E_x}{\partial x} = \frac{\partial E_x}{\partial x'} \quad \frac{\partial E_y}{\partial y} = \frac{\partial E_y}{\partial y'}$$

وهذا يؤدي من أجل المعادلة [٣٩، ١٨] الى التحويل التالي :

$$\frac{\partial E_x}{\partial x'} + \frac{\partial E_y}{\partial y'} + \alpha \frac{\partial E_z}{\partial z'} - \frac{\alpha v}{c^2} \frac{\partial E_z}{\partial t'} = 0$$

وبوضع قيمة $\alpha \frac{\partial E_z}{\partial z'}$ المستخرجة من هذه العلاقة الاخيرة في المعادلة [٤٠، ١٨ مكرر]

نحصل على :

$$\frac{\partial E_x}{\partial t} = \alpha \left(1 - \frac{v^2}{c^2} \right) \frac{\partial E_z}{\partial t'} + v \frac{\partial E_y}{\partial y'} + v \frac{\partial E_x}{\partial x'} = \frac{1}{\alpha} \frac{\partial E_x}{\partial t'} + v \frac{\partial E_y}{\partial y'} + v \frac{\partial E_x}{\partial x'}$$

اذن فالمعادلة الاخيرة في [٣٨، ١٨] تتحول الى ما يلي :

$$\epsilon_0 \frac{\partial E_x}{\partial t'} = a \frac{\partial}{\partial x'} (H_y - \epsilon_0 v E_x) - a \frac{\partial}{\partial y'} (H_x + \epsilon_0 v E_y)$$

وبأخذ العلاقة $c = \frac{1}{\epsilon_0 \mu_0}$ بعين الاعتبار ، تصبح المعادلات [٣٧، ١٨] و

[٣٨، ١٨] كما يلي :

$$\left. \begin{aligned} \epsilon_0 \alpha \frac{\partial}{\partial t'} (E_x - \mu_0 v H_y) &= \frac{\partial H_z}{\partial y'} - \alpha \frac{\partial}{\partial z'} (H_y - \epsilon_0 v E_x) \\ \epsilon_0 \alpha \frac{\partial}{\partial t'} (E_y + \mu_0 v H_x) &= - \frac{\partial H_z}{\partial x'} + \alpha \frac{\partial}{\partial z'} (H_x + \epsilon_0 v E_y) \\ \epsilon_0 \frac{\partial E_z}{\partial t'} &= \alpha \frac{\partial}{\partial x'} (H_y - \epsilon_0 v E_x) - \alpha \frac{\partial}{\partial y'} (H_x + \epsilon_0 v E_y) \end{aligned} \right\} \quad [٤١، ١٨]$$

$$\left. \begin{aligned} -\mu_0 \alpha \frac{\partial}{\partial t'} (H_x + \epsilon_0 v E_y) &= \frac{\partial E_z}{\partial y'} - \alpha \frac{\partial}{\partial z'} (E_y + \mu_0 v H_x) \\ -\mu_0 \alpha \frac{\partial}{\partial t'} (H_x - \epsilon_0 v E_x) &= -\frac{\partial E_z}{\partial x'} + \alpha \frac{\partial}{\partial z'} (E_x - \mu_0 v H_y) \\ -\mu_0 \frac{\partial H_z}{\partial t'} &= \alpha \frac{\partial}{\partial x'} (E_y + \mu_0 v H_x) - \alpha \frac{\partial}{\partial y'} (E_x - \mu_0 v H_y) \end{aligned} \right\} \quad [٤٢، ١٨]$$

إن مبدأ النسبية يستدعي أن تكون لمعادلات مكسويل في جملة الاحداثيات S' نفس الصيغة التي لها في الجملة S ، أي :

$$\epsilon_0 \frac{\partial E'_x}{\partial t'} = \frac{\partial H'_z}{\partial y'} - \frac{\partial H'_y}{\partial z'}, \dots \quad [٤٣، ١٨]$$

$$-\mu_0 \frac{\partial H'_x}{\partial t'} = \frac{\partial E'_z}{\partial y'} - \frac{\partial E'_y}{\partial z'}, \dots \quad [٤٤، ١٨]$$

حيث تدل الحروف ذات الفتحة على الحقول في جملة المقارنة S' . وعليه فهذه الجملة الاخيرة من المعادلات ينبغي أن تكون مكافئة للجملة [٤١، ١٨] و [٤٢، ١٨] . ويمكن التحقق بسهولة من أن الأمر كذلك إذا كان :

$$\left. \begin{aligned} E'_x &= \frac{1}{\sqrt{1-\beta^2}} (E_x - \mu_0 v H_y) \\ E'_y &= \frac{1}{\sqrt{1-\beta^2}} (E_y + \mu_0 v H_x) \\ E'_z &= E_z \end{aligned} \right\} \quad [٤٥، ١٨]$$

$$\left. \begin{aligned} H'_x &= \frac{1}{\sqrt{1-\beta^2}} (H_x + \epsilon_0 v E_y) \\ H'_y &= \frac{1}{\sqrt{1-\beta^2}} (H_y - \epsilon_0 v E_x) \\ H'_z &= H_z \end{aligned} \right\} \quad [٤٦، ١٨]$$

إن الصيغ [٤٥، ١٨] و [٤٦، ١٨] تعين تحويلات المتجهين الكهربائي

والمغناطيسي التي ، إذا اقترنت بتحويلات احداثيات المكان والزمان [١١، ١٨] جعلت معادلات مكسويل ذات صيغة واحدة في جميع جمل المقارنة التي تقوم بحركة انتقال منتظمة .

إذا اعتبرنا انتقالاً للجملة S' بالنسبة للجملة S لا يتم في المنحى الخاص Oz بل في منحى \vec{v} ، فان الصيغتين [٤٥، ١٨] و [٤٦، ١٨] تُعْطيان بسهولة : ونجد من أجل المركبات في منحى الحركة :

$$H_{\parallel} = H'_{\parallel} \quad \text{و} \quad E_{\parallel} = E'_{\parallel}$$

وللحصول على المركبات العمودية على السرعة ، نلاحظ أنه في الصيغ [٤٥، ١٨] ، $v = v_x$ ، بحيث أن $v_z H_x - v_x H_z$ هما المركبتان وفق x و y على الترتيب للجداء المتجه $\vec{v} \wedge \vec{H}$ (الجزء السادس ، ٨ - ١٠) . وينبع ذلك ، أن المتجه E'_{\perp} (ومركباته E'_y و E'_x) يمكن كتابته كما يلي ، مع $B = \mu_0 H$

$$\vec{E}'_{\perp} = \frac{1}{\sqrt{1 - \beta^2}} [\vec{E}_{\perp} + (\vec{v} \wedge \vec{B})_{\perp}] \quad [٤٧، ١٨]$$

وهذه الصيغة عامة كيفما كان منحى v . وبالمثل نستنتج من الصيغ [٤٦، ١٨] :

$$\vec{B}'_{\perp} = \frac{1}{\sqrt{1 - \beta^2}} \left[\vec{B}_{\perp} - \frac{1}{c^2} (\vec{v} \wedge \vec{E})_{\perp} \right] \quad [٤٨، ١٨]$$

١٨ - ١٠ . — عزم تغير الشحنة الكهربائية ،

لنعتبر في جملة الاحداثيات S' حجماً صغيراً ساكناً ، $d\tau' = dx' dy' dz'$ ، يحيط بنقطة M' ، ومشحوناً بشحنة كهربائية $q' = \rho' d\tau'$ ، حيث يدل ρ' على كثافة الشحنة . ان دعوى بواسون تعطي في M' :

$$\text{div } \vec{E}' = \frac{\partial E'_x}{\partial x'} + \frac{\partial E'_y}{\partial y'} + \frac{\partial E'_z}{\partial z'} = - \frac{\rho'}{\epsilon_0} \quad [٤٩، ١٨]$$

حيث يدل E' على الحقل الكهربائي في النقطة M' في اللحظة t' . أما في الجملة S ، فنحن نعرف أن الحقل الكهربائي في النقطة المعتبرة سابقاً ليست له قيمة E' ، بل القيمة E المعطاة في اللحظة t بالعلاقة [٣٧، ١٨]. ولما كان ينبغي تطبيق دعوى بواسون في الجملة S ، فإن كثافة الشحنة في هذه الجملة تختلف عن ρ' ($q = \rho \, dx \, dy \, dz = \rho \, d\tau$).

$$\operatorname{div} \vec{E} = \frac{\partial E_x}{\partial x} + \frac{\partial E_y}{\partial y} + \frac{\partial E_z}{\partial z} = - \frac{\rho}{\epsilon_0} \quad [٥٠، ١٨]$$

فإذا أجرينا على الاحداثيات x', y', z' تحويل لورنتز وعلى مركبات E' التحويل [٤٥، ١٨]، فإننا نجد أن الصيغة [٥٠، ١٨] تصبح:

$$\operatorname{div} \vec{E} = \alpha \frac{\rho'}{\epsilon_0} \quad [٥١، ١٨]$$

ومنه ينتج بالمقارنة مع [٥٠، ١٨]:

$$\rho' = \alpha \rho. \quad [٥٢، ١٨]$$

ومن جهة أخرى، يحدد تحويل لورنتز العلاقة بين الحجمين $d\tau$ (في اللحظة

t) و $d\tau'$ (في اللحظة t') ويكون لدينا، وفقاً للعلاقة [١٢، ١٨].

$$d\tau = \alpha d\tau', \quad dy = dy', \quad dx = dx'$$

ومنه:

$$d\tau = \alpha d\tau' \quad [٥٣، ١٨]$$

وبتركيب هذه العلاقة مع [٥٢، ١٨] نحصل على:

$$q = q' \quad \text{أو} \quad \rho d\tau = \rho' d\tau' \quad [٥٤، ١٨]$$

ويبرهن على أن عدم تغير الشحنة هذا هو أيضاً محقق إذا كانت الشحنة في

حالة الحركة في جملة المقارنة S' .

١٨ - ١١ . - بعض نتائج تحويل لورنتز الالكتروديناميكية

(أ) إن صيغ التحويل في الفقرة السابقة تبين الطابع النسبي للحقل الكهربائي . فمثلاً إذا كان هناك في جملة الاحداثيات S حقل مغناطيسي دون حقل كهربائي ، فإن المراقب المرتبط بالجملة S' يمكنه أن يبين ان هناك إلى جانب الحقل المغناطيسي حقلاً كهربائياً أيضاً ، مركباته E'_x و E'_y ليستا منعدمتين في الحركة النسبية الخاصة التي تؤدي إلى العلاقات [٤٥، ١٨] . وكذلك ، إذا كان يسود في جملة المقارنة S حقل كهربائي ، فإنه يشاهد في الجملة S' إلى جانب الحقل الكهربائي حقل مغناطيسي .

(ب) قوة كولون . لنفترض أنه يسود في الجملة S حقل كهربائي E دون أن يكون هناك حقل مغناطيسي وأن جسيماً شحنته q ينتقل بالسرعة v_z . فمن أجل مراقب في الجملة S' ، يمكن أن تكون قوة كولون المؤثرة في الجسيم متوازنة مع قوة F مركباتها هي :

$$F_z = qE_z \quad , \quad F_y = qE_y \quad , \quad F_x = qE_x$$

ان معادلات التحويل [٤٦، ١٨] تبين وجود حقل مغناطيسي H' في جملة المقارنة S' المختارة كما هو مبين في الفقرة ١٨ - ١٠ ؛ ولكن هذا الحقل لا يؤثر بأي فعل في الجسيم الساكن في الجملة S' . ويستنتج الحقل E' من الحقل E بواسطة المعادلات [٤٥، ١٨] (مع $H = 0$) ، ونظراً لكون الشحنة q غير متغيرة ، فإن لقوة كولون المركبات التالية :

$$qE'_z = qE_z \quad , \quad qE'_y = \frac{qE_y}{\sqrt{1-\beta^2}} \quad , \quad qE'_x = \frac{qE_x}{\sqrt{1-\beta^2}} \quad [٥٥، ١٨]$$

والتوازن الحاصل في الجملة S ينبغي أن يستمر في الجملة S' ، مما يستدعي أن

تتحول مركبات القوة F كما يلي :

$$F'_z = F_z, \quad F'_y = \frac{F_y}{\sqrt{1-\beta^2}}, \quad F'_x = \frac{F_x}{\sqrt{1-\beta^2}} \quad [٥٦, ١٨]$$

وتعطى هذه الصيغ قانون تحويل القوى .

إن نظرية النسبية تمكن من اعطاء تفسير بسيط لبعض الظواهر الكهروطيسية المدروسة في الجزء السادس والتي سندكرها فيما يلي .

ج (قوة لورنتز . لنفترض الآن أن هناك في الجملة S حقلاً مغناطيسياً ثابتاً H ، ينجم عنه حقل تحريض ثابت أيضاً $B = \mu_0 H$. لقد وجدنا منذ قليل أن القوة التي تؤثر في جسيم مشحون في الجملة S' التي يكون فيها الجسيم ساكناً هي قوة كولون . إلا أنه وفقاً لمعادلات التحويل [١٨ ، ٤٥] حيث نجعل $E = 0$ ، تكون مركبات هذه القوة كما يلي :

$$F'_z = qE'_z = 0, \quad F'_y = qE'_y = \frac{qv_z B_x}{\sqrt{1-\beta^2}}, \quad F'_x = qE'_x = \frac{-qv_z B_y}{\sqrt{1-\beta^2}}$$

وفي الجملة S ، تكون مركبات هذه القوة وفقاً لـ [١٨ ، ٥٦] كما يلي :

$$F_x = \sqrt{1-\beta^2} F'_x = -qv_z B_y \quad [٥٧, ١٨]$$

$$F_y = \sqrt{1-\beta^2} F'_y = qv_z B_x, \quad F_z = 0,$$

وهذه هي مركبات قوة لورنتز المغناطيسية (الجزء السادس ، ١٢-٣) .

$$\vec{F} = q (\vec{v} \wedge \vec{B}) \quad [٥٨, ١٨]$$

وذلك في حالة كون $v = v_z$. ولا تظهر قوة لورنتز إلا نتيجة للتحويلات النسبوية للحقل الكهروطيسي .

د (التحريض بالانتقال . يمكننا أن نلاحظ (الجزء السادس ، ١٢-٨)

أن تفسير ظواهر التحريض الناجمة عن الانتقال يختلف حسبما يكون المراقب مرتبطاً بالناقل المنتقل (الجملة S') أو ساكناً (الجملة S) . إن النسبية تفسر تفسيراً مباشراً وجهتي النظر هاتين : فقوة لابلان التي يأتي بها المراقب S تولد بالنسبة للمراقب S' القوة التي يؤثر بها الحقل الكهربائي المحرك E' المعطى بالعلاقة [٥٥، ١٨] . وتكون عبارة القوة المحركة الكهربائية للتحريض المعطاة بقانون فاراداي (الجزء السادس ، ١٠ - ٣) هي نفسها بالنسبة للمراقبين .

(٥) الحقل الكهروطيسي الذي يولده جسم مشحون يتحرك حركة انتقالية منتظمة . لنجعل الشحنة q منطبقة على نقطة الاصل O' في ثلاثي المحاور S' . فمن أجل مراقب مرتبط بالجملة S' ، تكون الشحنة ساكنة وتولد حقلاً كهربائياً مركبته .

$$E'_z = \frac{1}{4\pi\epsilon_0} \frac{qz'}{r'^3} , \quad E'_y = \frac{1}{4\pi\epsilon_0} \frac{qy'}{r'^3} , \quad E'_x = \frac{1}{4\pi\epsilon_0} \frac{qx'}{r'^3} \quad [٥٩، ١٨]$$

ويسود في الجملة S حقل كهروطيسي يمكن الحصول على مركباته الست بتطبيق صيغ التحويل [٥٥، ١٨] على E' وتطبيق تحويل لورنتز على إحداثيات المكان . ومنه ينتج :

$$r' = \sqrt{x'^2 + y'^2 + z'^2} = \sqrt{x^2 + y^2 + \alpha^2 (z - vt)^2}$$

$$E_z = \frac{\alpha}{4\pi\epsilon_0} \frac{q(z - vt)}{r'^3} , \quad E_y = \frac{\alpha}{4\pi\epsilon_0} \frac{qy}{r'^3} , \quad E_x = \frac{\alpha}{4\pi\epsilon_0} \frac{qx}{r'^3}$$

$$H_z = 0 , \quad H_y = - \frac{\alpha v}{4\pi} \frac{qx}{r'^3} , \quad H_x = \frac{\alpha v}{4\pi} \frac{qy}{r'^3}$$

وتتناقص هذه المركبات تناقص $\frac{1}{r^2}$ مع المسافة . ويستنتج من ذلك أن

تدقق متجه بوينتنج Poynting يكون منعهداً على امتداد كركة ذات نصف قطر كبير جداً : فالشحنة التي تتحرك حركة منتظمة لاتشع شيئاً من الطاقة الكهرطيسية (الجزء السابع ، ١٠ - ٤) .

ب . النسبية العامة

١٨ - ١٢ — الحركات المتسارعة

ان مبدأ النسبية الخاصة لا ينطبق الا على حمل مقارنة يتحرك بعضها بالنسبة الى البعض الآخر بحركات منتظمة (حمل المقارنة لغاليلي) . ويمكننا أن نتساءل فيما إذا كان ينبغي ان تبقى قوانين الظواهر الطبيعية على حالها عندما تنتقل من جملة مقارنة الى جملة اخرى تتحرك بالنسبة الى الاولى حركة ما . يبدو ان ما يعترض ذلك على ما يظهر ، هو ان التسارع يظهر بأن له طابعاً مطلقاً ؛ إذ يمكن كشفه بواسطة الآثار التي يولدها (قوى العطالة ، الجزء الاول ، ٩ - ٧ ، ٩ - ٨ ، ٩ - ١١) ، بحيث يمكن الجزم بأن جملة ما تتحرك حركة متسارعة دون استخدام علامات خارجية . فالمسافر في قطار والموجود في حجرة أغلقت نوافذها تماماً لا يمكنه ، بإجراء تجارب ميكانيكية ، معرفة ما اذا كان القطار ساكناً أم أنه يتحرك حركة منتظمة ، ولكنه يستطيع معرفة ما اذا كان القطار قد توقف أم انه يتحرك ، ومعرفة ما اذا ازدادت سرعته أم نقصت ؛ إذ عندما يكتب القطار تسارعاً ما ، فإن الظواهر الميكانيكية تتعدل : فالجسم المتروك دون سرعة لا يسقط عند قدمي المراقب ولا يرسم خطاً مستقيماً الخ .

وكذلك ، يمكن تجربة نواس فوكو (الجزء الاول ، ١٦ - ٨) من إثبات دوران الارض ، أي ان لها تسارعاً بالنسبة لجل المحاور لغاليلي . وجملة القول ،

إننا نكتشف أن جملة مقارنة ، كالارض ، تكون متسارعة بالنسبة الى مجمل غاليلي ، وذلك من ان مبدأ العطالة في هذه الجملة ليس صحيحاً .
يبدو إذن ان فكرة المكان المطلق التي استبعدت في نظرية النسبية الخاصة في حالة الحركات المستقيمة المنتظمة ، تعود الى الظهور عندما تكون هناك حركات متسارعة . فاذا سلمنا مثلاً ، بأن تجربة فوكو تنجح فيما لو كانت الارض وحدها في الكون ، فذلك يدل على ان الارض تدور بالنسبة الى الفضاء .

١٨ - ١٣ . — التلافؤ بين آثار ثقل ثقالة ومركبة متسارعة .

أ (لإعطاء التسارع طابعاً نسبياً ، ينبغي إيجاد قوة قادرة على احداث آثار متماثلة ، بحيث يصبح من المستحيل ، عندما تتحقق هذه الآثار ، القول ما اذا كانت المادة متسارعة أم لا . وعليه فان هذه القوة موجودة : وهي الثقالة .
وفي رأي أينشتين ، اننا لن نرى دوران نواس فوكو ، فيما لو كانت الارض معزولة في الفضاء . واذا كانت التجربة تنجح ، فذلك لأن الارض في حالة دوران بالنسبة للأجسام السماوية ، الشمس والنجوم الثابتة . فهذه الاجسام هي السبب المباشر لقوى العطالة التي تظهر في الاجسام التي تتمتع بتسارع بماسي او قطري .
وقد تصوّر أينشتين تجربتين بسيطتين لبيان تماثل آثار الثقالة والعطالة .

ب (في التجربة الاولى ، يعتبر مجرب حبيس في قفص مصعد مغلق ممام الاغلاق بحيث لا يكون لدى المجرب اي اتصال مع الخارج ؛ والقفص ساكن وواقع في حقل ثقالة الارض الذي يمكن اعتباره منتظماً في مجال القفص . ان المراقب يتحقق من أنه اذا ترك جسماً دوناً سرعة فان هذا الجسم يسقط نحو أرضية القفص بحركة متسارعة بانتظام ، ويعرف ان ذلك ناجم عن جاذبية الارض . ومن الجدير بالملاحظة ان كل الاجسام تكتسب التسارع g (الجزء الاول ، ٨ - ٢) : وهذا ناجم عن ان جاذبية الارض ، شأنها شأن كل قوة

ثقالة تتناسب طردياً مع كتلة الجسم الذي يؤثر فيه ، بحيث أن التسارع الذي يكتسبه هذا الجسم والذي يساوي حاصل قسمة القوة على الكتلة يكون مقداراً ثابتاً . كذلك يمكن للمراقب أن يعلق جسماً بمقياس القوة ومقياس التوتر نابض الجهاز ، مما يمكنه من معرفة قيمة القوة التي تؤثر بها الأرض في الجسم ، أي وزنه : وهذا الوزن يساوي جداء كتلة الجسم بالتسارع g .

لنفترض الآن أن من الممكن إزالة جاذبية الأرض في داخل القفص ، ولكن في الوقت نفسه إكساب هذا القفص تسارعاً متجهاً نحو الأعلى ويساوي g : فلا يرى المراقب حينئذ شيئاً جديداً ، لأنه لم يتغير أي شيء بالنسبة إليه . فهو إذا ترك الآن جسماً دوغماً مرعة فإن هذا الجسم يتوقف عن مشاركة القفص في تسارعه ويبدو ، كما في السابق أنه يسقط نحو أرضية القفص بحركة متسارعة بانتظام ذات تسارع مقداره g ، بينما الحقيقة أن القفص هو الذي يصعد بهذا التسارع . وإذا علق المجرّب جسماً بمقياس القوة ، فإن التوتر النابض يساوي التوتر السابق ، وينجم التوتر الآن من أن النابض يشارك في تسارع القفص ويعمل على نقل هذا التسارع إلى الجسم ، غير أن هذا الجسم يعاكس عطالته ولكي يكتسب التسارع g نحو الأعلى ، ينبغي أن يؤثر النابض عليه بقوة تساوي تماماً جداء كتلته بالمقدار g (الجزء الأول ،

٩ - ١١) .

وهكذا نرى أن حقل الثقالة المنتظم يحدث نفس الآثار الميكانيكية التي يحدثها تسارع ثابت . ومن الطبيعي تعميم الامر ؛ لذلك ، إذا توقف قطار فإن التسارع يحافظ على المنحنى نفسه ولكنه لا يكون ثابت القيمة : فبالنسبة للمجرّب الذي في القطار ، يحدث الامر كما لو أن هناك حقل ثقالة افقياً متجهاً دائماً نحو مقدمة القطار ولكن قيمته متغيرة مع الزمن . ان التسارع على سطح الأرض ليس له منحى ثابت وليست له قيمة ثابتة ؛ وآثاره هي نفسها

فما لو اعتبرت الأرض ساكنة واضيف الى جاذبيتها حقل ثقالة معين متمم ، يحدث القوة التي يعتبرها مراقب ، مرتبط بمحاور غاليلي التي تدور الأرض بالنسبة إليها ، أنها قوة نابذة . فالتكافؤ بين التسارع وحقل الثقالة هو اذن امر حقيقي حتى ولو لم يكن التسارع ثابتاً .

(ج) وفي التجربة الثانية ، يفترض ان قفص المصعد السابق يتحرك في حقل الثقالة الأرضية بحيث يتحرك حركة السقوط الحر المتسارعة بانتظام . ويكون الامر بالنسبة للمجرب حبس القفص كما لو ان حقل الثقالة قد زال : فاذا ترك جسماً دوغماً سرعة فانه يبقى بين يديه كما كان ، لأن هذا الجسم يستمر في مشاركته للجملة كلها في حركة سقوطها ؛ كذلك فان الجسم المعلق بنابض مقياس القوة لا يؤثر بأي شد على هذا النابض ؛ وينعدم وزنه .

وجملة القول ، ان التجريبتين السابقتين تدلان على ان بإمكاننا أن نخلق أو أن نعدم حساباً نريد حقل الثقالة في مكان معين ، شريطة أن ننسب الظواهر الميكانيكية الى محاور تتحرك حركات متسارعة ومختارة اختياراً مناسباً^(١) .

١٨ - ١٤ . مبدأ النسب .

يمكن تصور أن التكافؤ بين آثار التسارع وآثار حقل الثقالة المقابل صحيح لا من أجل الظواهر الميكانيكية فحسب ، بل من أجل كل الظواهر ، ويقودنا هذا في النهاية الى النص على المبدأ التالي الذي سماه أينشتين مبدأً التكافؤ .

إن قوانين الظواهر الطبيعية تبقى على حالها عند الانتقال من جملة مقارنة

(١) لنلاحظ أنه في علم هيئة الأرض ، عندما تدرس تغيرات التسارع الناجم عن الثقالة بدلالة خط العرض (الجزء الاول ، ١٦ - ٦) ، تركب جاذبية الأرض مع القوة النابذة الناجمة عن دورانها ، باعتبار انها تحداث نفس الآثار .

الى جملة أخرى تتحرك اي حركة بالنسبة للجملة الاولى ، شريطة ان يدخل في الجملة الاخيرة حقل ثقالة موزع توزيعاً مناسباً .

(أ) إن الظواهر التي نحدث في القفص بالنسبة للمراقب الذي يسقط معه سقوطاً حراً تخضع لقوانين النسبية الخاصة ويمكن للمراقب أن يصف هذه الظواهر بواسطة المكان - الزمان باستعمال هندسة إقليدس .

ولكن ينبغي ان نلاحظ بأننا لا نستطيع كذلك إزالة حقل ثقالة الارض إلا في حيز صغير ؛ فالحقل قد زال بالنسبة للمراقب في القفص الذي يسقط سقوطاً حراً ولكن الاجسام الواقعة في الجانب المقابل له قطرياً على سطح الارض يكون تسارعها الآن بالنسبة إليه مساوياً ضعف تسارع الثقالة ؛ فنحن لم نستطع إزالة الثقالة في منطقة معينة من الفضاء - فضلاً عن أنها صغيرة جداً - إلا بشرط زيادتها في مكان آخر . وهذا الامر صحيح بصورة عامة تماماً .

(ب) وعليه فان المكان - الزمان الذي يوجد فيه حقل ثقالة ليس إقليدياً .
لنعتبر قرصاً مستوياً دائرياً يدور ، بالنسبة الى مراقب S عائد الى جملة محاور غاليلي ، بسرعة زاوية ثابتة حول محور عمودي على مستويهِ ومحاور مركزه ؛ ليكن هناك على هذا القرص مراقب S' . فهذا المراقب يستطيع أن يعتبر جلته ساكنة ، ويتحقق من وجود قوة مطبقة على الاجسام الواقعة على القرص ، ومتجهة وفق نصف القطر من المركز نحو الخارج ، وأن هذه القوة متناسبة مع الكتلة : إن هذه القوة هي القوة النابذة (الجزء الاول ، ١١-٣) بالنسبة لهذا المراقب ، ولكنه اذا افترض أن جلته ساكنة ، فانه يعزو هذه القوة الى وجود حقل ثقالة .

١° لنفترض ان هناك مقياتيتين متماثلتين موضوعتين ، احدهما عند مركز القرص ، حيث تكون ساكنة تقريباً وتدور حول نفسها ببطء شديد ، والميقاتية الاخرى عند طرف القرص حيث تكون سرعتها كبيرة جداً . وتقدير سرعتي

الميقائيتين هذا هو تقدير المراقب S ؛ وبالنسبة اليه ، تكون الميقائية الثانية متأخرة عن الاولى وفقاً لمبدأ النسبية الخاصة . أما بالنسبة للمراقب S' ، فالميقائيتان ساكنتان ، وتأخر الميقائية التي في طرف القرص ، والذي يعزوه المراقب S الى الحركة ، يعزوه المراقب S' الى حقل الثقالة الذي يعتقد بوجوده على القرص ، وهو حقل يزداد من المركز نحو الطرف : ويستنتج من ذلك ، أنه اذا وضعت ميقائيتان متماثلتان في نقطتين مختلفتين في حقل ثقالة غير منتظم ، فان سيرها يكون مختلفاً بحيث أن الميقائية التي تقع في المنطقة ذات الحقل الأقوى تتأخر عن الميقائية التي توجد في المنطقة ذات الحقل الأضعف .

٢٠ لنفترض أن المراقب S' يقيس نصف قطر قرص ومحيطه بافتراضها كبيرين جداً ، باستعمال متر معياري ؛ ان هذا المتر ، بالنسبة للمراقب S ، ووفقاً لمبدأ النسبية الخاصة ، عندما يجعل على طول المحيط يكون أقصر منه عندما يجعل على طول نصف القطر ، اذ أنه في الحالة الاولى يتحرك في اتجاه طوله بما يحدث فيه تقلصاً (الفقرة ١٨ - ٥) ، بينما يتحرك في الحالة الثانية عمودياً على طوله بما لا يحدث أي أثر . فهذه النتيجة لا يمكن للمراقب S' أن يعزوها الا إلى حقله حقل الثقالة .

١٨ - ١٥ - الفاصلة في النسبية العامة

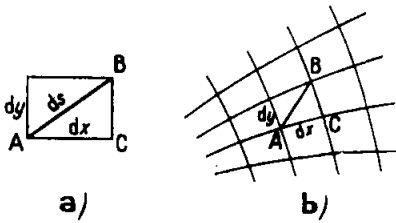
(أ) ان امكانية جعل المكان اقليدياً في منطقة محدودة من الفضاء ، وهي التي درست في الفقرة ١٨ - ١٤ أ ، توحى بمقارنة . عندما نعتبر سطحاً ما ، كرة أو اهليلجاً بجسماً الخ . ، فان الهندسة ذات البعدين لا تكون على هذا السطح مثلها على سطح مستو ؛ ولكن اذا اعتبرنا منطقة صغيرة صغراً

كافياً من هذا السطح ، واتخذنا محاور احداثيات مناسبة ، فالتنا نجد من جديد ان هندسة السطح المستوي صالحة : ذلك لأن للسطح مستويًا بماساً يمكن ان يلبس به السطح على امتداد صغير صغراً كافياً .

افعل غرار ذلك ، يمكننا القول انه عندما يكون هناك حقل ثقالة ، فإنه يكون للمكان - الزمان الحقيقي مكان - زمان اقليدي بماس يلبس به فيما اذا اعتبرنا امتداداً صغيراً صغراً كافياً .

ب) ان المقدار الاساسي في النظرية النسبية العامة ، كما هو الامر في الخاصة ، هو الفاصلة التي تفصل بين تطابقين في المكان والزمان ، اي بين حادثتين . فالعبارة [١٤، ١٨] ، عبارة الفاصلة بين حادثتين متجاورتين تجاوراً لامتناهياً في النسبية الخاصة ، لا تكون صالحة ، وفقاً لما مر بنا فيما تقدم ، الا في مجال من المكان - الزمان صغير صغراً لامتناهياً ومنسوب الى محاور غاليلي .

ولبيان كيفية التعبير عن الفاصلة اللامتناهية في الصغر لمكان غير اقليدي في



الشكل ١٨ - ٨ . احداثيات كارتيزية واحداثيات منحنية . (في b) اقرأ du و dv عوضاً عن dx و dy

جملة احداثيات اياً كانت ، ننتقل على غرار مسألة نظرية السطوح . مجال صغير صغراً لامتناهياً لسطح ما يلبس بالمنطقة المقابلة من المستوى المماس له . في هذا المستوى ، تكون عبارة المسافة ما بين نقطتين متجاورتين تجاوراً لامتناهياً بالاحداثيات الكارتيزية (الشكل ١٨ - ٨) كما يلي :

$$ds^2 = dx^2 + dy^2 \quad [٦٠، ١٨]$$

ولكن هذه الاحداثيات لا يمكن بوجه عام أن تقيد في دراسة هندسة السطح المعطى . ولكي تنطبق ترابيع المقارنة تماماً مع حدود هذا السطح ، ينبغي بوجه عام تكوينه من أمرتين من المنحنيات الكيفية ، حيث يتعين افراد الاسرة بالاعداد $u = 1, 2, \dots$ و $v = 1, 2, \dots$ (الشكل ١٨ - ٨) . وتصبح خيطات التربيع بوجه عام متوازيات أضلاع منحنية ، تختلف اطوال اضلاعها من نقطة لأخرى . وينتج من ذلك ان الاعداد التي تمثل عقد الشبكة لا تكون متناسبة مباشرة مع المسافة التي تفصل بينها . وفي مثل جملة المقارنة هذه ، تُعطى المسافة بين نقطتين متجاورتين تجاوزاً لامتناهما AB في المستوي المماس للسطح عند A بالصيغة التالية :

$$ds^2 = \overline{AC}^2 + \overline{BC}^2 + 2 \overline{AC} \cdot \overline{BC} \cos \theta$$

وينبغي كتابة :

$$BC = \sqrt{g_{22}} dv \quad AC = \sqrt{g_{11}} du$$

حيث يبين المعامل $\sqrt{g_{11}}$ العلاقة بين احداثيات A وإحداثيات C والطول AC ، الخ ...

$$g_{12} = \sqrt{g_{11} \cdot g_{22}} \cos \theta$$

لنضع

فيكون لدينا :

$$ds^2 = g_{11} du^2 + 2g_{12} du dv + g_{22} dv^2 \quad [١٨، ١١]$$

وتعتبر هذه الصيغة عن تعميم دعوى فيثاغورس بالاحداثيات المنحنية .

وتختلف المعاملات g بوجه عام من نقطة الى اخرى على السطح؛ وهي توابع للمقدارين u و v ، إلا في الحالة التي يكون السطح فيها إقليدياً . فاذا عرفت هذه التوابع ومشتقاتها ، فانه يمكن حينئذ البرهان على ان خواص الخطوط المرسومة على السطح يمكن التعبير عنها بصيغة مستقلة عن جملة الاحداثيات

المستعملة . وهذه هي ، بوجه خاص ، حالة الخطوط الجيوديزية ، أي خطوط أقصر مسافة ، التي تقوم بدور شبيه بدور الخط المستقيم بالنسبة الى السطح المستوي .

اذا افترضنا ذلك ، فان الترجمة التحليلية لمبدأ التكافؤ (الفقرة ١٨ - ١٤) في صيغة تطبق على النسبية العامة تتم بصورة ماثلة للتي رأيناها منذ قليل في حالة السطوح . وتعين كل حادثة الآن بأربعة احداثيات أيا كانت x_1, x_2, x_3, x_4 . ويمكن ان تصاغ الفاصلة بين حادثتين متجاورتين متجاوراً لامتناهياً [١٤، ١٨] بصيغة تذكر بالصيغة [٦١، ١٨] ، اي :

$$ds^2 = g_{11}dx_1^2 + g_{22}dx_2^2 + g_{33}dx_3^2 + g_{44}dx_4^2 \quad [٦٢، ١٨]$$

$$+ 2g_{12}dx_1 dx_2 + 2g_{23}dx_2 dx_3 + 2g_{34}dx_3 dx_4 + 2g_{13}dx_1 dx_3$$

$$+ 2g_{14}dx_1 dx_4 + 2g_{24}dx_2 dx_4$$

ان عبارة ds^2 هذه لا تستبق الحكم على خواص الكون ، مثلما ان العبارة [٦١، ١٨] لا تفترض الا كون السطح غير اقليدي . فالخواص الحركية للكون تتميز بعبارات المعاملات المختلفة g_{ik} ($i, k = 1, 2, 3, 4$) وبمشتقاتها بدلالة الاحداثيات ، على غرار خواص سطح ما .

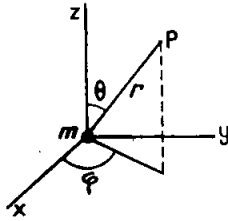
في المكان - الزمان حيث يوجد حقل ثقالة ، لا تتحرك النقطة المادية ، حسب نيوتن ، حوكة مستقيمة ومنتظمة لأنها تخضع لبعض قوى معينة بواسطة تابع وحيد للاحداثيات المكانية وللزمان ، وهو كمون الثقالة . اما وجهة النظر النسبوية فمختلفة : وهي ان قانون حركة النقطة المادية لا يتغير ، وهذه النقطة ترمم دائماً خطأ جيوديزياً ، غير ان وجود المادة او وجود الطاقة الأمران سيان ، يعدل المكان - الزمان الذي لا يعود اقليدياً ، وهذا التعديل هو الذي يجعل النقطة المادية لا تعود تتحرك حركة مستقيمة منتظمة . ونبين

صيغة المعادلات ان المعاملات g_{ik} تقوم بدور شبيه بدور الكمون النيوتني .
لذلك ، سميت المعاملات العشرة g_{ik} في [١٨ ، ٢٢] كمونات الثقالة .
كذلك تؤخذ المعادلة [١٨ ، ١٤ مكرر] ، في النسبية العامة ، للتعبير
عن مبدأ العطالة المعمم . ويتم الحصول ايضاً على حركة نقطة مادية حرة
بكتابة ان الطاقة الضوئية تروم خطأ جيوديزياً ذا طول منعدم .

١٨ - ١٦ . قانون الثقالة

ان كمونات الثقالة العشرة لا يمكن ان تختار اختياراً كيفياً ؛ اذ ينبغي
ان نحقق علاقات معينة تبين كيف يؤثر توزع المادة والطاقة على المكان-الزمان ،
اي انها تعبر عن القانون العام للثقالة .

ولاجساد العلاقات التي نحن بصدها ، نستشهد بالاعتبارات التالية : ينبغي
الا تغيير المعادلات المطلوبة بتغير الاحداثيات ايا كان ؛ وينبغي ان تكون
مماثلة بعض التماثل لمعادلات نظرية نيوتن ، التي تؤلف طبعاً تقريباً أولياً ،
وينبغي ان تكون محققة بكمونات المكان - الزمان الاقليدي في النسبية
الخاصة ، التي تكون قيمها مناسبة عندما نكون
على بعد كبير من أي مادة .



الشكل ١٨ - ٩ . احداثيات
قطبية لدراسة قانون الثقالة

ويعبر عن القانون العام بعشر معادلات تفاضلية
معقدة ، لا يمكن مكاملتها الا في بضع حالات
خاصة . فمثلاً ، عندما يكون حقل الثقالة ناجماً عن
كتلة جاذبة وحيدة m ، نجد ، انه في جملة احداثيات
 ds^2 الكروية في الشكل ١٨ - ٩ ، تكون عبارة
الفاصلة ، على بعد كاف من m ، كما يلي :

$$ds^2 = \frac{dr^2}{1 - \frac{2Gm}{r}} + r^2 (d\theta^2 + \cos^2 \theta d\varphi^2) - \left(1 - \frac{2Gm}{r}\right) c^2 dt^2 \quad [١٣، ١٨]$$

حيث G ثابتة الثقالة (الجزء الاول ، ١٦ - ٢) . وفي نقطة ثابتة P ، يكون لدينا :

$$ds^2 = - \left(1 - \frac{2Gm}{r}\right) c^2 dt^2 \quad [١٤، ١٨]$$

و

$$d\tau^2 = - \frac{ds^2}{c^2} \quad [١٥، ١٨]$$

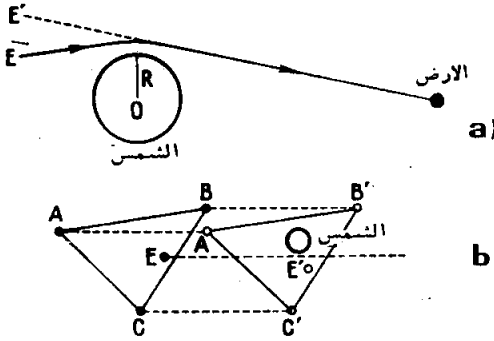
حيث يمثل $d\tau$ فاصلة الزمن الخاص الذي يفصل في المكان المعتبر بين حادثتين متجاورتين متجاورتين متجاورتين متجاورتين .

١٨ - ١٧ . — التحقيقات التجريبية لمبدأ النسبية العام .

سوف نورد تحقيقين مأخوذين في مجال الضوء ، وتحقيقاً في مجال الفلك .

أ) انحراف الاشعة الضوئية . إن الضوء لا ينتشر في حقل الثقالة وفق أشعة مستقيمة . لبيان ذلك ، نعتبر قفص المصعد في الفقرة ١٨ - ١٤ السابق سقوطاً حراً في حقل ثقالة الارض؛ ففي داخل القفص ليس هناك أي حقل ثقالة . فاذا كان المراقب الذي في القفص يرسل شعاعاً ضوئياً موازياً لأرضيته الافقية ، فان هذا الشعاع ، بالنسبة اليه ، يظل في طوله كله موازياً للأرضية ، ولكن بالنسبة لمراقب خارجي ، يكون هناك حقل ثقالة ، وإذا كان الشعاع الضوئي يظل دائماً على نفس البعد من الارضية التي تسقط ، فهذا يعني في الحقيقة أنه يكون منحنيًا نحو الارض ، أي نحو المناطق التي يشتد فيها الحقل .

وفي حالة كتلة جاذبة وحيدة m ، كالشمس مثلاً ، يمكن أن نحسب بدقة



محرك الضوء ، بأن نكتب

أنه يرسم خطأ جيوديزياً ذا

طول منعدم . فالشعاع

الضوئي المار بقرب الشمس

والوارد من نجم E ينحرف

(الشكل ١٨ - ١٠) ،

وإذا وصل هذا الشعاع الى

مراقب على سطح الارض ،

فإن هذا المراقب يرى

النجم في المنحنى E' ، لا في

المنحنى E . وإذا كان R هو أصغر بعد بين الشعاع المار ومركز الشمس ، فإن

الانحراف الكلي بين المنحنى الأولي والمنحنى النهائي يساوي :

$$\alpha = \frac{4 Gm}{c^2 R}$$

فمن أجل نجم يُرى في الجوار المباشر للشمس نجد $\alpha = 1''.74$ باعتبار أن

m كتلة الشمس و R نصف قطرها .

ويمكن تفسير نصف هذا الانحراف بقانون نيوتن نفسه ، فيما إذا اعتبرنا

الطاقة الضوئية ذات ثقل ، وهو ما يقول به مبدأ النسبية الخاصة . ولكن

لا يمكن تفسير النصف الثاني إلا على أساس من الطابع غير الاقليدي للمكان -

الزمان ، كما تقول بذلك النسبية العامة .

فلدينا إذن الوسيلة للحكم بالتجربة بين نظرية نيوتن ونظرية أينشتين . ولكن

لا يمكن اجراء التجربة إلا في حالة كسوف الشمس الكلي ، إذ أن أي تصوير

للنجوم القريبة من طرفها في غير هذه الحالة مستحيل . فقبل الكسوف ، يصور النجم E كما تصور في الوقت نفسه النجوم A , B , G (الشكل ١٨ - ١٠ b) التي تؤلف مثلث مقارنة يتحدد بالنسبة لرؤوسه موضع النجم E ؛ يعاد التصوير في حين الكسوف ، حين تكون النجوم السابقة قد اصبحت في المواضع A' , B' , C' , و E' ، ويحدد من جديد موضع E' بالنسبة إلى رؤوس المثلث التي تكون قد ابتعدت عن طرف الشمس . ويرى بالفعل أن E' أبعد من E عن الشمس ، وبستنتج من ذلك انحراف الشعاع الضوئي . ولكن القيمة الناتجة ، هي صغيرة جداً ، الا ان التجربة ، التي كررت في بضعة كسوفات كلية ، اظهرت انها ترجح نظرية اينشتين على نظرية نيوتن .

ب) تغير طول موجة الخطوط الطيفية . ان اي ذرة تصدر شعاعة تؤلف ميقاتية طبيعية . لنلاحظ ، بواسطة قياسات لطول الموجة ، دور ذرة على سطح الارض ودور ذرة من النوع نفسه واقعة على سطح الشمس . إن لهذه الحادثة مدتها الخاصة نفسها δt المعطاة بالعلاقة [١٨ ، ٦٥] ، في نقطتين من الكون . ولكن مدتها على الارض δt ليست كمدتها $\delta t'$ على الشمس ، لأن ds ليس واحداً وفقاً للعلاقة [١٨ ، ٦٤] . وعليه ، فان حقل الثقالة العائد للأرض مهمل بالنسبة للحقل الذي يسود الشمس ، بحيث يكون لدينا على وجه التقريب :

$$\frac{\delta t}{\delta t'} \simeq \sqrt{1 - \frac{2 G m}{r c^2}} \quad [١٨ ، ٦٦]$$

حيث يعود m و r للشمس .

وبلاحظ أن $\delta t' > \delta t$. اي ان الخط الطيفي الصادر على سطح الشمس ينزاح نحو الاحمر بالنسبة للخط الصادر على سطح الارض . وقد تم التحقق من الصيغة [١٨ ، ٦٦] بصورة مرضية من أجل خطوط اصدار Fe و Mg ومن أجل عناصر امتصاص CN .

ج (انزياح حضيض عطارد

نورد هذه الظاهرة ، على الرغم من انها لاقت الى الضوء بصلة ، وذلك لانها تؤلف التحقيق الاشد وضوحاً للنظرية . ان كوكب عطارد يقع في منطقة من الفضاء حيث يبرز الطابع غير الاقليدي للكون بروزاً كافياً لان يجعل قانون نيوتن غير صالح للتعبير عن كل الامور . فلو ان الشمس كانت هي الكتلة الوحيدة الجاذبة ، اذاً لكان حرك عطارد اهليلجياً . ولكن وجود الكواكب السيارة الاخرى يغير شكل حركه . وينتج من ذلك ، بوجه خاص ، ان الحضيض ، هو النقطة من الحرك شبه الاهليلجي الاكثر قرباً من الشمس ، يدور باطراد حول الشمس بمقدار ٥٧٤ ثانية في كل قرن . ان الميكانيك السماوي يتنبأ بحركة مقدارها ٥٢٤ . وتضيف النظرية النسبية العامة الى ذلك ، دوناً فرضيات تكميلية ، انزياحاً قدره ٤٣ ثانية ، وهو مايساوي تقريبا بقية الانزياح أي ٤٠ .

١٨ - ١٨ . الكون غير محدود ولكنه متناه

اذا سلمنا بأن الكون ذو امتداد لامتناه ، بحيث توجد النجوم في كل الارجاء ، فمن الطبيعي ان نتصور بأن كثافة المادة واحدة وسطياً ايها كان . فلو ان الامر كان كذلك ، واعتبرنا كرة نصف قطرها R ، لكانت نظرية نيوتن تقضي بأن يزداد حقل الثقالة على سطح هذه الكرة ازدياداً لامتناهياً كلما ازداد R : وهذا امر مستحيل .

ويمكن التخلص من هذه الصعوبة بالتسليم بأن الكون مركزاً تتناقص كثافة النجوم بدءاً منه حتى تنعدم على مسافات كبيرة جداً ، ولكننا نقع حينئذ في مشكلة اخرى : فالضوء وكذلك بعض النجوم كالمذنبات ، تبعد في كل لحظة عن المركز دون ان تعود اليه بعد ذلك ، وعليه ينبغي ان تنقص طاقة الكون باستمرار اي ان تنقص مادته .

ويمكن اختبار هذه النتائج اذا سلمنا بأن الكون متناه . وهذا لايتنعم من ان يكون دون حدود . ومن الواضح ان من الصعب ادراك مثل هذا الكون ، ومع ذلك يمكن ادراك امكانه بالاستعانة بأمور مماثلة . فسطح كسطح الكرة هو سطح متناه ولكن ليس له مع ذلك حدود ، فلو انه كانت هناك كائنات تعيش على هذه الكرة دون ان

تستطيع مغادرتها ، وسارت هذه الكائنات على استقامة واحدة الى الامام ، مما يجعل
 محركها دائرة كبيرة ، اذاً لما وجدت حـدأ لعالمها ، ولانتهت بالعودة الى نقطة
 انطلاقها . يمكننا اذن ان نتصور اننا لو سرنا في كوننا ذي الابعاد الثلاثة في نفس
 المنحى على الدوام ، اذاً لامكننا ان ننتهي بالعودة الى نقطة انطلاقنا . وعلى هذا
 ينبغي ان يعود الشعاع الضوئي بعد فترة معينة من الزمن الى النقطة التي
 انطلق منها .

* * *

تمارين

١٨ - أ على محور $z'oz$ عائد لجملة المقارنة S ، توجد في النقاط 0 ، z_1 ، z_2 ، $z_n \dots$ منابع ضوئية عليها ان تصدر بروقاً في اللحظات 0 ، $t_1 = z_1/u$ ، $z_n = z_n/u \dots$

١ - . - ان ابعاد u هي ابعاد السرعة . هل يمكن اختيارها اكبر من سرعة الضوء ؟

٢ - . - اذا كانت المصادر الضوئية متساوية الابعاد ، فماذا يرى مراقب $0'$ ، يكون موجوداً في 0 في اللحظة صفر ومتحرك كاً على oz بسرعة v ؟

١٨ - ب يتجه صاروخ نحو كوكب يبعد عنا ٤ سنوات ضوئية ، بسرعة ثابتة قدرها $v = 0,8 c$. احسب المدة t للرحلة بالنسبة الى مراقب ارضي والمدة t' بالنسبة الى مراقب راكب في الصاروخ .

١٨ - ج يقدر مراقب ثابت بالنسبة الى الارض T بان حادثتين هما متزامنتان ، وهاتان الحادثتان تجري احدهما (١) على الارض ، والثانية (٢) على نجم E يرى على الافق في استقامة محور العالم . احسب الفاصل الزمني $\Delta t'$ الذي يفصل ادراك هاتين الحادثتين اذا كان المراقب يتجه نحو الكوكب بسرعة $v = 5 \text{ Km/h}$.

١٨ - د تتجه دقيقتان P_1 و P_2 نحو بعضها بعضاً بسرعتين $v_1 = 0,990 c$ و $v_2 = -v_1$ (وقد قيست هاتان السرعتان بالنسبة الى نفس جملة المقارنة S) احسب سرعتها النسبية w .

١٨ - هـ احسب السرعة الشعاعية v لسديم بالنسبة الى الارض ، مع العلم بأن الخط H_γ ($\lambda = 4370 \text{ \AA}$) لطيفه مزاح بمقدار 20 \AA نحو الاحمر بالنسبة

الى الخط الذي يصدره منبع أرضي . هل ينبغي اخذ الافعال النسبوية بعين الاعتبار ؟

١٨ - و بين ما هو التعديل الذي يطرأ على القطوع المكافئة لطمس (الجزء ٦ ، ١٧ - ٢٣) عندما يؤخذ بعين الاعتبار التغير النسبي لكتلة الايونات .

١٨ - ز اذا قبلنا بأنه لو لم يكن هنالك امتصاص من قبل جو الارض ، لكان كل سنتيمتر مربع من سطح الارض يتلقى في الثانية قرابة حريرتين ، بشكل طاقة اشعاعية آتية من الشمس ، التي تبعد عن الارض 1.5×10^8 كيلومتراً . احسب الكتلة α التي تفقدها الشمس كل دقيقة بالاشعاع .

١٨ - ح برهن على العلاقة الآتية ، التي هي صحيحة في الميكانيك النسبوي

$$(mv)^2 = \frac{W^2 - U^2}{c^2}$$

بين كمية الحركة mv والطاقة الكلية W والطاقة الداخلية U .

١٨ - ط تؤخذ شحنتان كهربائيتان نقطيتان متساويتان q + وتوضعان في الخلاء ، احدهما في الذروة O لثلاثي وجوه المقارنة S ، والاخرى في نقطة P احداثياتها $x = a$ ، $y = z = 0$.

احسب ، بالرجوع عند الاقتضاء الى الفقرة ١٦-٥ من الجزء ٦ ، القوة F' التي تعمل بين هاتين الشحنتين في جملة مقارنة S' تكون في حالة انزلاق منتظم في استقامة oz بالنسبة الى S ، بالسرعة v .

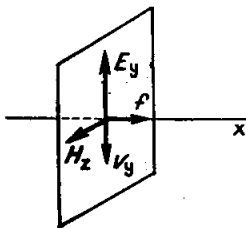
★ ★ ★

الفصل التاسع عشر

تمتات في بعض مظاهر ميكانيك الفوتونات

١٩ - ١ . — ضغط الإشعاع .

(أ) إن النظرية الكهرومغناطيسية (الجزء السابع ، ٩ - ١٠ والجزء الثاني ، ٢٠ - ٥) تبين أن كل سطح كامل الامتصاص ذي مساحة S إذا تعرض إلى إشعاع ما فإن هذا يؤثر عليه بضغط الإشعاع p الذي يقاس بنصف الكثافة الحجمية للطاقة المشعة المنقولة عمودياً على S . والقوى العائدة لهذا الضغط تقوم بدور هو بلا شك دور أساسي في بعض ظواهر الفيزياء الفلكية (توازنات أو حركات المادة في داخل النجوم ، وفي التاج الشمسي ، الخ ...) . أما في شروط التجارب الأرضية فإن p لا يتعدى 10^{-6} إلى 10^{-7} نيوتن/متر مربع ، وقياسه ، الذي يتم بواسطة ميزان القتل (الجزء الأول ، ١٦ - ٢) هو قياس صعب ودقيق ؛ وينبغي التخلص من آثار القياسات الإشعاعية (الجزء الثاني ، ١١ - ١٢ ج) عندما يجري القياس في خلاء شديد .



الشكل ١٩ - ١ .
ضغط الإشعاع

ب (فلنعمل على تفسير وجود هذا الضغط . ولنفترض أن الكهرونات من المادة المستقبلية ، شحنته $(-e)$ ، يقع تحت تأثير حقل كهربائي E_y لموجة مستقطبة استقطاباً مستقيماً وتنتشر وفق Ox (الشكل ١٩ - ١) . فإذا وصل الإلكترون إلى سرعة حدية v_y ، فإن القوة الكهربائية eE_y — التي تؤثر فيه

توازن قوة احتكاك ذات صيغة $k'v_y$. وتكون قيمة الطاقة التي تعطى للالكترونون في خلال واحدة الزمن مساوية :

$$\mathcal{Q} = -ev_y E_y$$

وفي الوقت نفسه ، يؤثر التحريض المغناطيسي $\mu_0 H_z$ للموجة (العمودي على E_y وعلى Ox) على الالكترونون بقوة متجهة وفق Ox ، وهي تساوي ما يلي وفقاً للعلاقة [٢١٤١] .

$$f = -ev_y \mu_0 H_z = -ev_y \frac{E_y}{c}$$

وإذا كان N هو عدد الالكترونات في واحدة المساحة من السطح الذي تسقط عليه الموجة ناظماً ، فإن الجداءين Nf و $N\mathcal{Q}$ يمثلان على التوالي الطاقة وكمية الحركة اللتين تنقلهما الموجة إلى هذه المساحة في واحدة الزمن . ويمكن اعتبار ان الموجة تنقل الطاقة وكمية الحركة معاً . والنسبة بين هاتين الكميتين تساوي :

$$\frac{\mathcal{Q}}{f} = c \quad [١٩١٩]$$

أي تساوي سرعة الضوء .

لقد أجرينا المحاكمة فيما تقدم من أجل موجة مستقطبة استقطاباً مستقيماً . ولكن الآثار تكون بمثابة كيفما كانت حالة استقطاب الموجة .

ج (هناك أثر ذو أهمية خاصة يظهر في الحالة التي تكون فيها الموجة مستقطبة استقطاباً دائرياً . وتبين تجارب اشد دقة من التجارب السابقة أن موجة كهذه اذا استقطبت ناظماً على سطح وسط ماص فانها تكسبه عزماً حركياً موازياً لمنحى الانتشار وتتوقف جهته على جهة الاهتزاز الدائرية .

ويمكن حساب شبيه بالحساب السابق من تعيين عزم كمية الحركة المنقول من قبل

موجة مستقطبة دائرياً . اذا وقع الكترون تحت تأثير القوة eE - العائدة للمتجه E الذي يدور بسرعة زاوية ثابتة ω ، ومن جهة اخرى تحت تأثير قوى الاحتكاك ، فانه يكتسب مره دوران v ثابتة تعطى بالعلاقة $k'v = -eE$ ، ويرسم محيط دائرة نصف قطرها $r = \frac{v}{\omega}$. اما الطاقة التي يكتسبها الالكترتون من الموجة في واحدة الزمن فتساوي :

$$\mathcal{P} = -e E v = -e E \omega r$$

ومن جهة اخرى ، فان عبارة عزم القوة eE - بالنسبة الى محور عمودي على المحيط في مركزه هي :

$$\Gamma = -e E r$$

وهو يمثل عزم كمية الحركة التي يكتسبها الالكترتون من الموجة في واحدة الزمن . وتكون نسبته \mathcal{P} الى Γ مساوية :

$$\frac{\mathcal{P}}{\Gamma} = \frac{-eE\omega r}{-eEr} = \omega \quad [2, 19]$$

١٩ - ٢ . طاقة الفوتون وكمية حركته وعزمه الحركي

أ (إن كل الخواص السابقة التي تدل على أن الموجة تتمتع ، علاوة على الطاقة ، بكمية حركة وعزم حركي ، يمكن تفسيرها بسهولة بأن تنسب هذه المقادير الى الفوتونات .

فطاقة الفوتون تساوي :

$$W = h \nu \quad [3, 19]$$

وإذا كان n يدل على عدد الفوتونات في واحدة الحجم ، فان كثافة الطاقة المشعة تساوي $nh\nu$. وهذه القيمة تساوي ضعف ضغط الاشعاع .

ووفقاً للعلاقة [١، ١٩] ، تساوي كمية حركة الفوتون :

$$p = \frac{h\nu}{c} = \frac{h}{\lambda} \quad [٤٤٤٩]$$

ولما كان الفوتون ينتقل بالسرعة الحدية c في الحلاء ، فان كتلته الخاصة تكون منعدمة (الفقرة ١٨ - ٥ ، ٥) . ويمكن مع ذلك اعتبار أن الفوتون كتلة نسبية تستنتج من العلاقة [٣٦ ، ١٨] ، أي :

$$m = \frac{W}{c^2} = \frac{h\nu}{c^2} \quad [٤٤١٩]$$

ووفقاً للعلاقة [٢ ، ٢٩] ، يكون لفوتون موجة مستقطبة دائرياً عزم حركي طويلته تساوي :

$$g = \frac{h\nu}{\omega} = \frac{h}{2\pi} \quad [٥٤١٩]$$

وهكذا ينسب اسبين للفوتون ، كما ينسب الى الالكترون (الفقرة ١٤ - ١٣) . ويكون المتجه المحوري g موازياً أو موازياً ومعاكساً لاتجاه انتشار الفوتون ، حسباً تكون الموجة العائدة له مستقطبة استقطاباً دائرياً يسارياً أو يمينياً .

(ب) ان مفهوم اسبين الفوتون يمكن أن يفسر بسهولة قواعد الاصطفاء الخاصة باصدار الاشعاع من قبل الذرات الى الكترون او امتصاصه منه . كذلك فان علاقة بور [٣٥ ، ١٤] تترجم انحفاظ الطاقة عند الاصدار او الامتصاص . لنعبر عن انحفاظ العزم الحركي (انظر الجزء الاول ، ١٢ - ١) . ان العدد الكوانتي z يرتبط مع العزم الحركي الكلي للذرة ، وتغيراته تخضع لقاعدة الاصطفاء .

$$\Delta j = 0 , \pm 1 \quad [٥٠١٤]$$

لنكتب أن العزم الحركي للموجة الصادرة (او الممتصة) يساوي ويعاكس
تغير العزم الحركي G للذرة .

$$g = \frac{h}{2\pi} \quad , \quad \Delta G = -\frac{h}{2\pi} \text{ يعطي } \Delta j = 1$$

(اصدار ضوء دائري يساري)

$$g = -\frac{h}{2\pi} \quad , \quad \Delta G = \frac{h}{2\pi} \text{ يعطي } \Delta j = -1$$

(اصدار ضوء دائري عيني)

$$g = 0 \quad \Delta G = 0 \text{ يعطي } \Delta j = 0$$

(اصدار ضوء مستقيم)

ملاحظة . - على الرغم من أن مفهوم الفوتون على هذا النحو يبدو مناسباً
لدراسة عدد من الظواهر الضوئية ، فإن تفسير هذه الظواهر بواسطة انخفاض
الطاقة وكميات الحركة والعزوم الحركية لا يؤلف دليلاً على الطابع الجسيمي
للضوء، ذلك لأن هذا الانخفاض صحيح أيضاً في النظرية الموجية. فضغط الاشعاع
واستقطاب الخطوط الطيفية لزمان مثلاً ، يمكن إدراكها في النظرية
الكهرطيسية الكلاسيكية ، كما وجدنا ذلك (الفقرة ١٩ - ١) والفقرة ١٤
- (١٠ ب) .

١٩ - ٣ . - التفسير الكوانتي لفعل كومتون .

إن المعيار الحقيقي للمظهر الجسيمي لظاهرة ما هو ميزتها أو طابعها المنفصل
الذي أشرنا اليه في الفعل الكهرضوئي (الجزء السادس ، ١٦ - ٢١) . ويفسر
فعل كومتون (الفقرة ١٠ - ١٤) تفسيراً بسيطاً جداً بالنظرية الجسيمية للضوء ،
باعتبار حزمة الاشعة السينية ذات التواتر ν_0 وطول الموجة λ_0 ($\lambda_0 = \frac{c}{\nu_0}$)

مكونة من أسراب من الفوتونات ذات المحارك المستقيمة والمتوازية . لنسلم بأن انتشار الاشعة السينية بفعل ذرة ما يعود الى اصطدام مرن بين فوتون واحد الكترونات الذرة، ولنطبق على هذين الجسمين قوانين الاصطدام المرن (الجزء الاول ، ١٣ - ٧) : أي انحفاظ الطاقة وانحفاظ كمية الحركة . والفرق الوحيد بين فوتون وقذيفة مادية هو ان الفوتون يستمر بعد الاصطدام على الانتشار بالسرعة c (في الخلاء) : ولا يمكن تفسير نقصان الطاقة وكمية الحركة إلا بنقصان التواتر ν_0 ، الذي يتوقف على شروط الاصطدام .

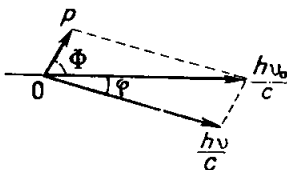
ولاجراء الحساب ، نسلم بأن الالكترونات حرة . ولما كان يمكن للالكترونات أن تتخذ سرعات كبيرة ، فن المناسب التعبير عن طاقتها الحركية وكمية الحركة فيها بواسطة صيغ نسبية (الفقرة ١٨ - ٧) ، أي :

$$W_k = m_0 c^2 \left(\frac{1}{\sqrt{1-\beta^2}} - 1 \right) \quad [٦،١٩]$$

$$P = \frac{m_0 v}{\sqrt{1-\beta^2}} \quad [٧،١٩]$$

حين يلتقي فوتون تواتره ν_0 وكمية حركته $\frac{h\nu_0}{c}$ بالكترون ساكن عند ٠ (الشكل ١٩ - ٢) ، فان مساره ينحرف بزاوية φ ويصبح تواتره مساوياً ν ، ويقذف الالكترون في الوقت نفسه في منحنى Φ بطاقة حركية W_k [٦،١٩] وكمية حركة P [٧،١٩] . ان انحفاظ الطاقة يعطي العلاقة التالية :

$$h\nu_0 = h\nu + m_0 c^2 \left(\frac{1}{\sqrt{1-\beta^2}} - 1 \right) \quad [٨،١٩]$$



اما انحفاظ الدفع فيزودنا بعلاقتين فنجد باسقاط متجهات الشكل ١٩ - ٢ على منحنى الورود :

$$\frac{h\nu_0}{c} - \frac{h\nu}{c} \cos\varphi = \frac{m_0 v}{\sqrt{1-\beta^2}} \cos\Phi \quad [٩،١٩]$$

الشكل ١٩ - ٢ - مخطط انحفاظ كميات الحركة في فعل كومنتن

وفي المنحنى العمودي نجد :

$$\frac{h v}{c} \sin \varphi = \frac{m_0 v}{\sqrt{1-\beta^2}} \sin \Phi \quad [١٠،١٩]$$

ويمكن العلاقات السابقة من حساب v بدلالة φ . لتربع الصيغتين [٩،١٩]

$$\text{و [١٠،١٩] ثم نجمعها فنجد باعتبار ان } \lambda_0 = \frac{c}{v_0} \text{ و } \lambda = \frac{c}{v} :$$

$$\frac{h^2}{\lambda_0^2} + \frac{h^2}{\lambda^2} - \frac{2h^2}{\lambda_0 \lambda} \cos \varphi = \frac{m_0^2 v^2}{1-\beta^2} = \frac{m_0^2 c^2}{1-\beta^2} - m_0^2 c^2$$

وإذا جعلنا في العلاقة [٨،١٩] الحد $\frac{m_0 c^2}{\sqrt{1-\beta^2}}$ وحده في طرف ثم ربعناها ،

فاننا نحصل على :

$$\frac{h^2}{\lambda_0^2} + \frac{h^2}{\lambda^2} - \frac{2h^2}{\lambda_0 \lambda} + 2 m_0 h c \left(\frac{1}{\lambda_0} - \frac{1}{\lambda} \right) + m_0^2 c^2 = \frac{m_0^2 c^2}{1-\beta^2}$$

والمقارنة بين الصيغتين الاخيرتين تعطي :

$$\lambda - \lambda_0 = \Delta \lambda = \frac{h}{m_0 c} (1 - \cos \varphi) = \frac{2h}{m_0 c} \sin^2 \frac{\varphi}{2} \quad [١١،١٩]$$

وهذه الصيغة على وفاق مع النتائج المذكورة (في الفقرة ١٠-١٤) :

فالمقدار $\Delta \lambda$ لا يتوقف لا على طول موجة الاشعة ولا على طبيعة الناثر بل يتوقف على φ ، لأن h و m و c ثوابت عامة . فاذا اخذنا بعين الاعتبار قيمتها وجدنا :

$$\Delta \lambda = 0,0484 \sin^2 \frac{\varphi}{2} (\text{\AA}) \quad [١٢،١٩]$$

فن أجل $\varphi = 0$ يكون $\Delta \lambda = 0$ ؛ ومن أجل $\varphi = \frac{\pi}{2}$ يكون

$$\Delta \lambda = 0,0242 \text{\AA} \quad \text{؛ ومن أجل } \varphi = \pi \text{ يكون } \Delta \lambda \text{ اعظيماً ويساوي } 0,0484 \text{\AA}$$

ان التجربة تحقق هذه الصيغة تمام التحقيق ، كما وجدنا في الفقرة ١٠-١٤ ، بشرط أن يكون تواتر الاشعة الواردة من الكبر بما يكفي ، وان يكون

العنصر الناثر خفيفاً خفصة كافية . وهذان الشرطان يتصلان بالفرضية ، المفترضة في الحساب ، بأن الالكترونات حرة . وقد تبدو هذه الفرضية غير مقبولة لأن الالكترونات تنتمي الى الذرات . ولكن الالكترونات المرتبطة أشد ارتباطاً في العناصر الخفيفة ، من الهيدروجين حتى الاكسجين (وهي الكترونات الطبقة K ، الفقرة ١٤ - ٢٠) تتطلب طاقات لا تزيد عن 210^5 الكترون - فولت (eV) كي تنتزع من الذرة . لذلك ، فان للأشعة السينية التي طول موجتها الوسطي $\lambda_0 = 10 \text{ \AA}$ طاقة $h\nu_0$ من مرتبة 10^5 eV ، تكون طاقة انتزاع الالكترونات بالنسبة اليها مهمة . وليس الامر كذلك بالنسبة للعناصر الثقيلة التي لا تنطبق عليها النظرية البسيطة والصيغ السابقة .

وقد تأيد المظهر الجسيمي لفعل كومتن بما أمكن أن تظهره الكترونات الارتداد بطريقة حجرة ولسن Wilson .

ولنشر ايضاً الى ان نظرية الفوتونات تسمح بتفسير فعل دُبِلر - فيزو تفسيراً سهلاً (الفقرة ١٣ - ٩) .

١٩ - ٤ . — الموجات والفوتونات . التتام .

لقد بينا (الجزء الرابع ، ٢ - ١٢) أن وجهة النظر الموجية في الضوء ووجهة النظر الجسيمية يمكن ان تكونا على وفاق فيما اذا اعتبرنا أن شدة الموجة ، في مكان ولحظة معينين . تدل على الاحتمال بأن يظهر فيها فوتون ، كأن ينتزع الكترونا من ذرة مثلاً .

هذا ويمكن اعتبار أشعة الضوء محارك للفوتونات طالما أن الضوء الهندي صالح للتطبيق . ويشبه الفوتون حينئذ جسم صغير له في كل لحظة موضع وسرعة معينان . ولكن في كل الظواهر التي ينبغي ان يستعاض من اجلها عن الضوء

الهندسي بالضوء الموجي ، تتلائم فكرة الشعاع الضوئي وتتلائم معها فكرة محرك الفوتون .

لنحلل ، في ضوء مفهوم الفوتونات ، تجربة أهداب ينغ (الجزء الرابع ، ١٦ ، ١) الناتجة عن تداخل موجتين ضوئيتين منعرجتين عند شقين متماثلين متوازيين F_1 و F_2 مشقوقين في حاجز E . لقد وجدنا ان النظرية الموجية تمكن من حساب الشدة الضوئية في كل نقطة من نقاط الحاجز E' الواقع فيما بعد E . واذا كان سطح الحاجز E' مغطى بطبقة حساسة ضوئياً ، فانه لا يحدث أي فعل كهروضوئي حيث تكون الشدة المحسوبة منعدمة ، ويكون اصدار الالكترونات على أشده في النقاط التي تكون فيها هذه الشدة عظمى .

ومن المعروف انه اذا سد أحد الشقين ، فان صورة التداخل تختفي ولا تبقى إلا صورة الانعراج ، وحينئذ تستطيع بعض الفوتونات ان تصل الى نقاط على E' ما كانت لتصل اليها لو أن الشقين كانا مكشوفين . فلا يمكن إذن ان تنسب هذه النتيجة الى الافعال المتبادلة للفوتونات المارة من F_1 و F_2 . وفي الحقيقة ، اذا اعيدت التجربة باستعمال ضوء هو من الضعف بحيث أن الفوتونات تصل واحداً واحداً في فواصل زمنية طويلة الى الحاجز E' ، المكون الآن من لوحة تصوير ، فاننا نحصل بمرور الزمن على صورة التداخل السابقة نفسها . فلو أننا احتفظنا بفكرة أن الفوتونات تتبع محارك معينة ، إذاً لأدنى بناء ذلك الى النتيجة التي يصعب قبولها ، وهي أن احد الفوتونات المار من F_1 يستطيع أن يصل الى نقطة معينة P من E' فيما اذا كان الشق F_2 مسدوداً ، ولكنه لا يعود يستطيع ذلك اذا كان F_2 مفتوحاً .

لنسع الى التخلص من هذه العقبة مع بقائنا كذلك أقرب ما يمكن من معطيات التجربة . يمكننا تحديد موضع الفوتون عند P عندما ينتزع الكتروناً من E' ؛ ولو أننا اردنا تعيين نقطة ثابتة من محرك واقعة على أحد الشقين ،

لكان علينا ان نغطي هذين الشقين بطبقة حساسة للضوء ملائمة . ولكن الفعل الكاشف لمرور الفوتون (الفعل الكهروضوئي ، فعل كومتن ...) يغير حينئذ هذا المرور كل التغيير ولا يعود الفوتون يصل الى النقطة P . فموضع الفوتون لا يمكن تحديده الا عندما يؤثر الفوتون في المادة ؛ لذلك ، فان مسألة أن نعرف « أين مر الفوتون قبل ان يصل الى P » هي مسألة ليس لها قيمة ، لأننا لانستطيع ان نجد لها جواباً تجريبياً .

رأينا الآن ان اي جهاز يمكننا من معرفة اي الشقين مر من خلاله الفوتون يبطل ظاهرة التداخل : أي انه بابراره المظهر الجسيمي للضوء ، يخفي منه طابعه الموجي . وهذه النتائج يمكن ان تكون بعيدة المدى وقد عبر عنها بور بصورة عامة بقوله ان الموجة والفوتون هما مظهران متتامان من مظاهر الحقيقة .

١٩ - ٥ . ملاحظات الارتباب

سوف نوجد بضع علاقات كمية بأن نحلل عن كسب المعلومات التي تزودنا بها التجربة عن حالة الفوتون .

أ (لنعتبر اولاً حزمة متوازية من ضوء وحيد اللون تنتشر في الاتجاه Ox وهي من الاتساع بحيث يمكن اهمال ظواهر الانعراج . يمكن النظر الى هذه الحزمة على انها موجة من الفوتونات المتماثلة ، ذات طاقة $W = h\nu$ وسرعة c ، وان دفعها $p_x = \frac{h}{\lambda}$ يتعين تعييناً دقيقاً فيما اذا كان λ كذلك ، اي فيما اذا كانت الموجة وحيدة اللون تماماً ، اي تمتد الى ما لانهاية وفق Ox . ان موضع فوتون على Ox ليس محددأ تماماً . ولتحديد هذا الموضع بدقة ، لتصور اننا وضعنا في طريق الحزمة حاجزاً ينفتح لمدة قصيرة جداً Δt . وبذلك

نقطع قطار امواج طوله $c\Delta t$ ، ويتعين موضع الفوتون بعد الآن بارتياب قدره :

$$\Delta x = c \Delta t \quad [١٣،١٩]$$

ولكن قطار الامواج ليس وحيد اللون . ومن المعروف أن هناك بين Δx والارتياب $\Delta \nu$ ، العلاقة [٢١،٤] التي يمكن كتابتها كما يلي ، علماً بأن

$$v = c \sigma \quad [٣٤،١٩]$$

$$\Delta x \cdot \Delta \nu \simeq c$$

$$\Delta \nu \cdot \Delta t \simeq 1 \quad : [١٣،١٩]$$

أو وفقاً لـ :

$$\Delta W \cdot \Delta t \simeq h \quad [١٥،١٩]$$

ولما كان $p_x = \frac{h\nu}{c}$ ، فانه ينتج من العلاقة [١٤،١٩] ايضاً :

$$\Delta x \cdot \Delta p_x \simeq h \quad [١٦،١٩]$$

ب) لنسع الآن إلى تعيين موضع فوتون في المناحي العمودية على مناحي انتشاره . من أجل ذلك ، لنجعل الحزمة تمر من خلال فتحة مستطيلة بعدها D وفق Oy و D' وفق Oz (الشكل ١٩ - ٣) . فالارتيابان في احداثيي الفوتون y و z هما :

$$\Delta z = D' \quad \Delta y = D \quad [١٧،١٩]$$

واذا جعلنا D أو D' صغيراً

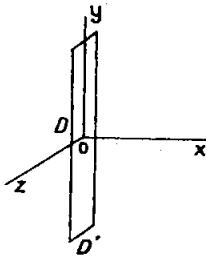
جداً بفرض تحديد احد الاحداثيين

تحديداً دقيقاً ، ظهرت ظواهر

الانعراج . لئز ماذا يحدث وفق

$y'y$ (الشكل ١٩ - ٤) . يمكن

ان ينحرف فوتون عن منحاها الاولى



الشكل ١٩ - ٣ . - انعراج حزمة من الالكترونات بفتحة مستطيلة

بزاوية α وان يتخذ أياً من المناسحي ضمن نصف الزاوية α_1 بحيث أن

$$\sin \alpha_1 = \frac{\lambda}{D} \quad (١١) \text{ (الجزء الرابع ، ١٥-٥) .}$$

وهذا يعني ان الفوتون اكتسب وفق Oy كمية حركة مقدارها :

$$p_y = p \sin \alpha = \frac{h}{\lambda} \sin \alpha \quad [١٨،١٩]$$

ذلك لأن الفوتون المنعرج يحتفظ بكمية الحركة $\frac{h}{\lambda}$ نظراً لان الانعراج لا يغير طول الموجة . ويمثل p_y الارتباب Δp_y الذي يتعين به p بعد الآن ، لاننا نعلم فقط ان α معروفة بارتباب يساوي α_1 على الاقل . وينتج من [١٧،١٩] و [١٨،١٩] ان :

$$\Delta p_y \Delta y \geq h \quad [١٩،١٩]$$

وتؤدي الملاحظة نفسها الى العلاقة

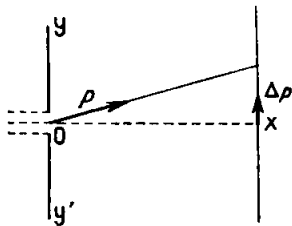
التالية :

$$\Delta p_y \cdot \Delta z \geq h \quad [٢٠،١٩]$$

وتسمى العلاقات [١٥،١٩] ،

[١٦،١٩] ، [١٩،١٩] ، [٢٠،١٩]

علاقات الارتباب . (انظر الفقرة



الشكل ١٩-٤-٠٠ ايجاد
علاقة للارتباب

١٤-٨) وتدل العلاقات الثلاث الاخيرة على انه بالرغم من امكان تعيين موضع الفوتون او كمية حركته بدقة لاتحددها اي نظرية ، فانه لا يمكن قياس هذين المقدارين معاً قياساً دقيقاً . وجداء الارتباب في قيمة الاحداثي المقيس

(١) نهمل النهايات العظمى الثانوية للانعراج ، حيث يكون احتمال وصول فوتون ضئيلاً .

بالارتياح في قيمة مركبة كمية الحركة وفق هذا الاحداثي يساوى h على الاقل .

ان الصيغة [١٥، ١٩] تدل على أن علاقة ترتيب تنال التحديد الآتي: لطاقة ولزمن حادثة . فيمكن مثلاً ، في تجارب التجارب الضوئي (الفقرة ١٤-٦ د) ، ان نبين انه اذا هيئت الذرات بضوء وحيد اللون تماماً ، أي بكلمات (كوانتات) ذات طاقة معروفة بدقة ، فان زمن امتصاص هذه الكمات واصدارها من قبل الذرات يكون غير محدد إطلاقاً . ويسمى المقداران مثل x و p_x أو W و t ، اللذان لجداهما ابعاد h كحد أدنى ، المقدارين المترافقين .

لقد عرضنا في الفقرة ٢ - ١٢ من الجزء الرابع المعنى الاحصائي للموجة الضوئية . فشدة الموجة في نقطة من السطح المضاء تتناسب مع عدد الفوتونات التي تصيب في واحدة الزمن عنصراً من السطح يحيط بتلك النقطة ، او انها تتناسب مع احتمال وصول فوتون الى ذلك العنصر من السطح ، كذلك فان لاستقطاب الضوء استقطاباً مستقيماً معنى إحصائياً . فعندما يحدث الفعل الكهرضوئي بواسطة اشعة سينية مستقطبة استقطاباً مستقيماً ، يتبين لنا بواسطة حجرة ولسن ، ان الالكترونات الناتجة تقذف في كل المناحي حول الشعاع ولكن باحتمال أعظمي في منحنى الحقل الكهربائي وباحتمال منعدم في المنحنى العمودي عليه . وان ملاحظة فوتو الكترون واحد لا تسمح باستنتاج منحنى الحقل الكهربائي ، ولكن دراسة التوزع الاحصائي لهذه الالكترونات تمكن من ذلك .

يمكن النظر الى الشعاع الضوئي المستقطب استقطاباً مستقيماً على انه تراكب شعاعين دائريين ذوي شدة واحدة واتجاهين متعاكسين (الفقرة ١٢ - ٤) . ولما كان كل من الشعاعين الدائريين يمكن اعتباره ناقلاً لفوتونات ، الاسبين فيها مواز أو معاكس لمنحنى الانتشار ، فهذا يؤدي بنا الى التسليم بأن فوتون الضوء المستقطب خطياً هو في حالة يكون الاسبين فيها غير محدد . وفي الحقيقة ، فان

منحى الاهتزازة المستقيمة يتعين بمعرفة فرق الطور بين الاهتزازتين الدائريتين المكونتين له . فالمقدار المرافق للاسبين $g = \pm \frac{h}{2\pi}$ هو زاوية لا يمكن أن يكون معناها الفيزيائي غير زاوية الطور φ للاهتزازة الدائرية المقابلة ، بحيث تكون علاقة الارتباب المقبولة هنا هي التالية :

$$\Delta g \cdot \Delta \varphi \geq h$$

ولما كان لـ g قيمة محددة تماماً ($\frac{h}{e\pi}$ ، الفقرة ١٩ - ٢) فان الطور يفقد كل معنى له .

ملاحظة : ان المحاكات والاستدلالات الدقيقة المعتمدة على مبادئ ميكانيك الكم تؤدي الى علاقات ارتباب شكلها مثل [٣٨ ، ١٤] وفي الطرف الثاني منها $h/4\pi$. وأما المحاكات التي تعمل على أساس ادخال قيم تقريبية مختلفة فانها تؤدي دوماً (مثلاً هو الحال في هذه الفقرة) الى قيم جـداءات ارتباب تساوي على الاقل هذا الحد $h/4\pi$.

تمارين

١٩ - أ نأخذ فوتوناً طول موجته $\lambda = 5000 \text{ \AA}$. عين كتلته m وكمية حركته p . قارن بين هذه الأخيرة وبين الكمية p_{H_2} لجزيء من الهيدروجين بالدرجة العادية (راجع عند الاقتضاء الجزء ٢ ، الفقرة ٣٠ - ٦) .

ما هو طول الموجة λ' لفوتون كتلته تساوي كتلة الالكترتون في حالة السكون ؟ ما هو طول الموجة λ'' لفوتون كمية حركته تساوي كمية حركة الهيدروجين في درجة الحرارة العادية ؟

١٩ - ب ينعكس فوتون تواتره ν ، بصورة ناظمية على مرآة كتلتها m وتنتقل في استقامة عمودية على سطحها بالسرعة v . احسب السرعة ν' للفوتون المنعكس وبين انه اذا كانت v صغيرة ازاء c فاننا نجد الصيغة الكلاسيكية لفعل دوبلر .

١٩ - ج برهن على ان الالكترتون الحر لا يمكنه ان يصدر فوتوناً لأن قانوني انحفاظ الطاقة وكمية الحركة لا يمكن التحقق منها في آن واحد .

١٩ - د منبع ضوئي كتلته M ، يتحرك في الحلاء بسرعة v ($v \ll c$) ، يصدر في الاستقامة المعاكسة لـ \vec{v} ، فوتوناً يلتقاه مراقب ساكن ، بالتواتر ν' . بين ان سويتي الطاقة ، اللتين يحصل بينهما الانتقال المولد للفوتون تفصل بينهما طاقة $h\nu$ ($\nu \neq \nu'$) واننا نجد الصيغة [٤١٣] .

١٩ - هـ ١ . - بين ان كتلة الفوتون الذي له طول موجة كومبتن ،

$$\lambda_0 = \frac{\lambda}{m_0 c}$$

الصيغة (١١،١٩) تساوي الى الكتلة m_0 للالكترونون في حالة السكون .
 ٢ - . عندما تكون للفوتون الكتلة السابقة ، احسب بدلالة الزاوية φ
 الواردة في الشكل ١٩ - ٢ الطاقة الحركية \mathcal{W}_k للالكترونون الارتدادي
 والزاوية Φ .

١٩ - و لقد بينا (الفقرة ١٩ - ٥) ان مفهوم الفوتون لا يتفق مع
 مع تجارب التداخل الا في الحالة التي يمكن فيها تعيين المحرك الذي يسير عليه
 فوتون اخذ بمفرده ، وفي تلك الحالة فقط . وقد يبدو انه اذا استخدم مقياس
 التداخل لميسكلسون (٣-١٣،٤) ربما يمكن تعيين على اي المرآتين قد انعكس
 احد الفوتونات المتصلة باحد قطاري الامواج التي تتداخل ، وذلك بقياس الدفع
 الذي تلقتة المرآة . بين ان هذا التعيين لا ينسجم مع الترابط الطولاني لقطارات
 الامواج هذه .

الفصل العشرون

الليزر Laser

٢٠ - ١ . — فعل الليزر

تعاقبت منذ بضع سنين أبحاث عديدة فيما يختص بتحقيق وتطبيقات المنابع الضوئية الحديثة المسماة ليزر . ويتكون هذا الاسم من الاحرف الاولى للكلمات الانكليزية «Light Amplificator by Stimulated Emission of Radiation» والتي تعني « مضخم الضوء بالاصدار المثار للاشعاع » .

وقبل الليزر (الذي بين مبدأه في عام ١٩٥٨ العالمان تاونس وشولو Townes & Schawlow) أنجز عام ١٩٥٤ تحقيق الميزور (مضخم الامواج القصيرة Microondes بالاصدار المثار للاشعاع) وهذا ما يؤدي أحياناً إلى اعتبار الليزر ميزراً ضوئياً . وإذا سلمنا بأن مجال الضوء يمتد على مجموعة الشعاعات الكهربائية ، فان اسم الليزر يبدو مفضلاً . ثم أن بنية الميزر واستعمالاته تختلف غالباً عن بنية الليزر واستعمالاته ؛ وسنعود الى الحديث عن هذا في الجزء السابع .

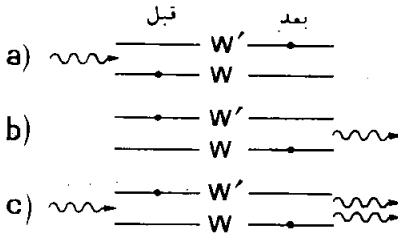
سوف نبين كيف أن تضخيم الضوء يمكن تحقيقه بفضل التوزيع السكاني المعكوس inversion de populations ، وكيف يمكن للمضخمات أن تصبح هزازات ، وكيف ان الضوء الصادر ضوء مترابط الى حد كبير بما يجعله هاماً ومفيداً . ونشير الى أنه في حالة الليزر « ذي البلورات » ، والذي ستحدث عنه قبل غيره

من الليزر ، تستمد الطاقة المشعة من طاقة إشعاع ممتص ، بحيث يكون فعل الليزر حينئذ حالة خاصة من التلاؤم الضوئي ، (الفقرة ١٣-٧) .

٢٠-٢ . تفصيل الضوء بالاصدار المثار

(أ) لنعتبر ذرة أو أيوناً انتقل من الحالة الأساسية (الدنيا) W الى الحالة المهيجة W' (الشكل ٢٠ - ١) ، نتيجة لامتناصه طاقة $W' - W$ بشكل فوتون تواتره $\nu = \frac{W' - W}{h}$ ، (حيث يدل h على ثابتة بلانك) . إن عودة هذه الذرة أو هذا الأيون الى الحالة W ، مصحوبة باصدار فوتون تواتره ν

يمكن أن تتم ، حسباً رأينا في الفقرة



١٤ - ν ، إما تلقائياً وفق قانون

الصدفة (الشكل ٢٠ - ١) وإما

باستثارها بفوتون آخر ν لا تمتصه

بحيث يكون هناك فوتونان ν بدلاً

من فوتون واحد بعد هذا الاصدار

المثار (الذي تنبأ به أينشتين منذ

عام ١٩١٧) . فإذا استطاع كل من

الشكل ٢٠ - ١ . امتصاص (a) ، اصدار

تلقائي (b) ، اصدار مثار (c)

الفوتونين إثارة اصدار آخر ، أمكن الحصول بعد n عملية من هذا الطراز على

تضخيم لعدد الفوتونات الاولى مقداره 2^n ، ويكون أقل قيمة اذا حدث ضياع

بالامتصاص أو لدى اختراق جوانب الوعاء وحسباً تكون الحالة ، يمكن

تحقيق تضخيم مناسب (مستعمل في كثير من الميزرات) ، أو يمكن

الحصول بدءاً من بضعة فوتونات أولية (إشعاع حراري مثلاً) على حالة

مهتزة تصدر اشعاعاً هو الفرق بين الاشعاع الناتج عن التضخيم والاشعاع الذي

يضع^(١) .

ب) ولكن التضخيم لا يكون ممكناً الا اذا كان هناك في الوسط عدد كاف من الذرات في الحالة W' .

وحين يكون هناك توازن حراري ، في درجة الحرارة المطلقة T ، تكون نسبة عدد الذرات N في الحالة W الى عدد الذرات N' في الحالة W' مساوية (الفقرة ١٤ - ٦) :

$$\frac{N}{N'} = \exp \frac{W' - W}{kT} = \exp \frac{h\nu}{kT} \quad [٢٨،١٤]$$

حيث بدل k على ثابت بولتزمان .

إن $h\nu$ في حالة الضوء المرئي هي من مرتبة الالكترون - فولت ، أما kT فتساوي مثلاً $0,025 \text{ eV}$ في درجة الحرارة العادية ؛ لذلك فان N' تكون دائماً أصغر كثيراً من N . وفي خلال فترة زمنية واحدة dt ، تكون نسبة عدد الاصدارات المثارة (dN_2') الى عدد الاصدارات التلقائية (dN_1') ، وفقاً لما وجدناه في الفقرة ١٤ - ٧ ، مساوية :

$$\frac{dN_2'}{dN_1'} = \frac{\lambda^3 u_\nu}{8\pi h}$$

حيث $\lambda = \frac{c}{\nu}$ هو طول الموجة ، و u_ν كثافة الطاقة منسوبة إلى واحدة التواتر .

وفي مجال الضوء يكون λ و u_ν من الضالة بحيث أن هذه النسبة

(١) ان امكانية الاهتزازات المغذاة هذه باستعمال مضخم تشبه تلك التي تستعمل في حالة ثلاثي المساري او الترانزستور (الجزء السابع ، ٥ - ٧) .

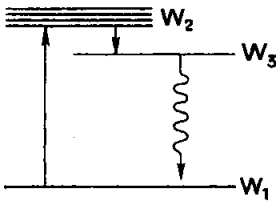
لا تتعدى 10^{-4} بوجه عام : فالإصدار المثار يمكن إهماله أمام الإصدار التلقائي^(١) . إذن ففي حالة التوازن الحراري ، يتعادل هذا الإصدار عملياً مع الامتصاص كله .

وحين يجعل N أكبر من N ، وقتياً على الأقل ، وذلك للسماح بعمل الليزر، فإنه يقال حينئذ أنه يجري توزيع معكوس^(٢) . ويمكن تشبيه هذه العملية بالضخ الذي يزيد من الطاقة الكامنة لكمية من الماء برفعها إلى مستوى أعلى من مستواها الأصلي .

٢٠ - ٣ . الضخ الضوئي

لقد تصور هذا الضخ العالم أ . كستلر A. Kastler في عام ١٩٤٩ (في سياق تجارب على التجاوب المغناطيسي) .

أ (ففي طراز من الليزر ذي ثلاث سويات) وهو طراز كثير الانتشار نسبياً) ، يكون الوسط المفيد بلورة من الياقوت الوردي اللون المكون من الألمين Alumine الذي يحتوي على آثار قليلة من أيونات الكروم Cr^{+++} (٠.٧ ٪ من الوزن الكلي) . ولون هذا الياقوت عندما يضاء بالضوء الأبيض ينتج عن امتصاص الشعاعات الخضراء التي تجعل



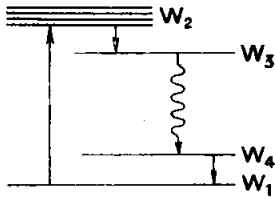
الشكل ٢٠ - ٢ .
ليزر ذو ثلاث سويات

أيونات الكروم تنتقل من الحالة الأساسية w_1 (الشكل ٢٠ - ٢) إلى إحدى (١) يحدث عكس ذلك في ميدان التواترات الراديوية .

(٢) وحينئذ لا يمكن تطبيق العلاقة [٢٨، ١٤] ، إذ لا تكون هناك حالة توازن حراري ؛ وإذا كان لا يمكن تطبيقها ، فإن التوزيع المعكوس ، بسبب أن w أكبر W ، يوافق حينئذ درجة حرارة مطلقة T سالبة . وهذه العبارة الأخيرة ، المستعملة من قبل بعض المؤلفين ، ينبغي اجتنابها لأنها تتناقض مع المبدأ الثاني في الترموديناميك .

حالات سوية تهييج متعددة W_2 . وهكذا باستعمال عصابة امتصاص بدلاً من شعاع بسيطة ، تزداد الطاقة المخزونة . ان الاصدار التلقائي ، مصحوباً بالعودة إلى W_1 ، يعادل عملياً ذلك الامتصاص فيما لو لم تكن هناك سوية متوسطة W_3 ، تكون من أجلها احتمالات الامتصاص والاصدار التلقائي $W_3 - W_1$ أقل كثيراً^(١) ، ولكنها قادرة عن طريق تبادل طاقة غير مشعة (الميجان الحراري) على « أنسر » قسم من الذرات المنقولة الى السوية W_3 . إن الحزن الذي يتحقق في W_3 على هذا النحو يمكن من اصدار منار $W_3 - W_1$ ، أي يمكن من فعل الليزر ؛ ويكون طول الموجة التي تصدر على هذا الشكل وفي الحالة المعتمدة مساوياً 6943 \AA في الدرجة 300° K . وهذه الموجة محددة بدقة كبيرة (كالسويتين W_2 و W_3) ، وذلك بفضل تركيز الكروم الضئيل في البلورة (١٦ - ٦) .

ونلاحظ أنه للحصول في السوية W_3 (شبه الفارغة بالاصل) على عدداً كبير من العدد



الشكل ٢٠ - ٣ . ليزر ذو أربع سويات

في السوية W_1 ؛ ينبغي أن ينقص العدد الاخير بأكثر من النصف ، ولا يستتب فعل الليزر هنا اذن إلا عندما تتعدى الطاقة الممتصة عتبة معينة .

ب) في ليزر ذي أربع سويات ، يستتب الانتقال المنار بين سوية W_3 (الشكل ٢٠ - ٣) يتوصل اليها كما في الحالة السابقة ، وبين سوية W_4 متوسطة بين W_3 و W_1 ، مملوءة قليلاً على

الدوام لأنها تتفرغ بسرعة نحو W_1 . وبذلك تنقص عتبة استتباب فعل الليزر نقصاناً كبيراً .

(١) ان السوية W_3 ، من اجل ايونات الكروم ، هي في الحقيقة شعاعتان متراحتان جداً ، ولكن الاصدار المناري من أجل شعاع واحدة .

٢٠ - ٤ - استعمال مجاز

(أ) ان للفوتونات المحرّضة نفس منحنى الانتشار واتجاهه اللذين للفوتونات التي تثير اصدارها . ولكي يكون عدد الاثار المكنة كبيراً كبيراً كافياً ، ينبغي ان يدوم مسير الفوتونات في الوسط المحرّض وقتاً طويلاً بما فيه الكفاية ، وهو ما يمكن تحقيقه بانعكاسات متعاقبة على الجوانب . وهكذا لجيء الى احداث اثنين من هذه الانعكاسات برآتين مستويتين متوازيتين (او بمجـاز مكافئ لذلك) ، كما هو الامر في مقياس التداخل لبيرو وفابري (الجزء الرابع ، ١٣ - ٥) ، وتجعل إحدى المرآتين أشد ما يمكن ان تكون عكساً ، بينما تجعل الاخرى شفافة بعض الشيء حتى تسمح بمرور الحزمة التي يراد استعمالها . وينبغي انقاص امتصاص المرآتين الى أدنى حد ممكن (من أجل تواتر الاصدار ν) ؛ ويتم تحقيق المرآتين عموماً باستعمال طبقات من الاغشية الرقيقة التداخلية (الجزء الرابع ، ١٣ - ١٣) .

(ب) ان هذا الجهاز يذكر بالمجاوبات الصوتية (الجزء الثالث ، ٨ - ١٣) وبالتجاويف المجاوبة المستعملة في تقنية الامواج القصيرة (الجزء السابع ، ٩ - ١١) . فتحدث أمواج مستقرة بين المرآتين ، اللتين ينبغي أن تكون المسافة l الفاصلة بينهما مساوية عدداً صحيحاً k من نصف طول الموجة ^(١) .

ولكن إذا كان يمكن أن يساوي k واحداً أو آحاداً من أجل التواترات الصوتية ، فانه من أجل التواترات الضوئية يكون في حدود 10° الى 10^6 . لذلك ليس من الضروري (ولا من الممكن) ضبط k بدلالة λ : فالامواج التي تستقر وفق الناظم على المرآتين (أو وفق مناح تميل عليه ميلاً خفيفاً بما

(١) بتقريب يساوي حداً اضافياً فيها اذا كان هناك تغير في الطور لدى الانعكاس .

يزيد في l عن طريق التمكين أيضاً من حصول عدد كبير من الانعكاسات (يمكنها أن تكون في عدة اشكال (قيم مختلفة للعدد k) متقاربة ، بحيث أن أطوالها الموجية $\lambda = \frac{2l}{k}$ تقع ضمن العرض الطيفي للضوء الذي يمكن أن يصدر بزوال التهييج المثار .

٢٠ - ٥ . — الترابط الزماني والترابط المكاني

أ (لقد دُرست أسباب عرض الخطوط الطيفية $\Delta\lambda$ في الفقرة ١٣ - ١٠ . إن الاصدار المثار ميزة خاصة مفيدة ، تلك هي أن الموجة الصادرة تكون على اتفاق في الطول مع الموجة التي يثيرها (بينما لا يكون هناك أي علاقة طور معينة بين الامواج التي تصدر تلقائياً و كيفما اتفق عن الذرات المهتجة) . فقطارات الامواج الحاصلة بفعل الليزر هي أطول بكثير من قطارات الامواج الصادرة عن منابع الضوء الاخرى ، وهي تكاد تشبه في هذا الخصوص قطارات الامواج التي تصدرها المزازات الراديو كهربائية (الجزء السابع ، ١٠ - ٨) . إن النسبة $\frac{\lambda}{\Delta\lambda}$ ، التي تقيس رتبة التداخل العظمى التي يمكن ملاحظتها (الفقرة ٤ - ١٦) ، يمكن ان تبلغ قيمتها ١٠ في الليزر ذي الياقوت ، ويمكن أن تصل حتى ١٢١٠ في الليزر الغازي (الفقرة ٢٠ - ٨) ، بينما هي لاتساوي الا نحو ٥×١٠ من اجل الشعاع الخضراء لنظير الزئبق ١٩٨ ، وهي الشعاع التي كانت تعد د دقيقة ، جداً . فضاء الليزر يتمتع اذن بتوابط طولي كبير ، يسمى أيضاً ترابطاً زمانياً (وهذه الصفة تترجم عن مدة دوام قطارات الامواج) .

ب (ولضوء الليزر أيضاً ترابط مكاني (أو عرضي) كبير ، وهو ما يعني أن النقاط التي تقع على مسافة معينة d (بضع مليمترات) بعضها عن بعض ،

وعمودياً على المنحى الانتشار ، تكون متففة في الطور ويمكنها ان تولد ظواهر التداخل ، بخلاف ما يحدث في حالة المنابع الاخرى (الجزء الرابع ، الشكل ١٦ - ٧) .

يخرج إذن من الليزر في المنحى العمودي على المرآتين في طرفيه ، موجة مستوية مترابطة ، تكاد تحتزل فتحتها الزاوية أحياناً الى القيمة الصغرى التي تفرضها ظواهر الانعراج (الجزء الرابع ، ١٥ - ٧) ، وهي $\alpha \simeq \frac{\lambda}{d} \simeq 1.0^{-3} \text{rad}$. مثلاً. إن هذا التوجيه ذو قيمة كبيرة في مختلف التطبيقات (الفقرة ٢٠-١٠ ب) .
يوضع على منفذ الخروج في الليزر الغازي شقاًينغ ، المسافة بينها مليمتر ، فتتكون الاهداب على شاشة تجعل على بعد ما من الشقين .

٢٠-٦ . — الاستطاعة ، المردود .

أ) إن الاستطاعة الوسطى التي يزود بها ليزر ما ، والتي تختلف باختلاف نمطه ، لا تستعاد بشكل إشعاع مثار إلا بمرود ضئيل جداً (باستثناء حالة ليزر أنصاف النواقل ، الفقرة ٢٠ - ٩) .

لنضرب مثلاً على ذلك ليزراً ذا ثلاث سويات : إن الفوتونات المثيرة ذات التواتر $\frac{W_2 - W_1}{h}$ لا تنقل إلا جزءاً من الطاقة المقدمة لتأمين الاثارة ؛ زد على ذلك ، أنها لا تعطي الفوتونات المثارة إلا كسراً من طاقتها يساوي $\frac{W_3 - W_1}{h}$ ، ولا تتكاثر هذه الفوتونات المثارة الا اذا كان ما أثارها هو نفسه موجهاً توجيهاً مناسباً .

ولما كانت الطاقة « الضائعة » متمصها جوانب الليزر أو مادته ، فإنه يلجأ غالباً الى إجراء العملية على دفعات تخبناً للتسخين المفرط . فمثلاً يقدم كل ثانية

بضعة آلاف الجولات من برك ضوئي مهيج ، ولا نحصل من ذلك إلا على أقل من ١٠ جول في الشعاع المترابطة ، في شكل عدد معين من الاصدارات المتعاقبة ، في خلال زمن كلي من مرتبة 10^{-4} ثانية باستطاعة (آنية) ، يمكن أن تصل الى بضعة آلاف واط .

(ب) لقد أمكن تحقيق اندفاعات هائلة (حتى 10^8 واط ، في خلال زمن من مرتبة 10^{-9} ثانية !) وذلك بحجب احدى المرآتين حتى يخترن عدد كبير جداً من الذرات المهيجة التي تثار فجأة . ويمكن تركيز هذه الاستطاعة ، كما سوف نرى ، على حجم صغير جداً وتحدث فيه آثاراً ذات قيمة كبيرة جداً .

ولكن يمكن أيضاً (باستعمال ليزر غازي ، وليزر ذري ياقوت مبرد بالآزوت المائع) تأمين عمل متواصل ، باستطاعة مهيجة قريبة من كيلو واط ، والحصول على بضعة ميلي واطات من الاشعاع المترابط . وقد أمكن الحصول في فرنسا حديثاً (١٩٦٨) على استطاعة صادرة بلغت قيمتها واطاً على طول موجة قريب من (١٠) ميكرون ، وذلك باستهلاك قدره بضعة كيلو واطات فقط .

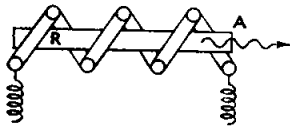
٢٠ - ٧ . الليزران الصلب (غير ذات أنصاف النواقل)

(أ) ان أول نوع تم تحقيقه من الليزران (Maiman ، ١٩٦٠) يعمل ببلورة من الياقوت الوردى R ، وفق النمط ذي السويات الثلاث والموصوف في الفقرة ٢٠ - ٣ (الشكل ٢٠ - ٤) . ويتم التهييج بانفراغ يحدث في أنبوب مملوء بغاز الكزنيون $xénon$ وملوي على شكل حلزون حول الياقوت ويبلغ طول قضيب الياقوت بضعة سنتيمترات ، وينتهي طرفاه بوجهين (قطر كل منها بضعة مليمتترات) مصقولين ومستويين ومتوازيين ومغطيين بطبقات عاكسة أشد العكس (غير أن شدة النفوذ في أحدهما A تبلغ بضعة اجزاء

من الالف) . ولكن لا يمكن تحقيق ترابط مكافي يمتد إلى بضعة مليمترات إلا باستعمال بلورة ذات تجانس ضوئي فائق .

وفي الأنماط الاحداث من ذلك ، يسمى لأن يركز ضوء التهييج على الليزر على نحو أفضل (وذلك باستعمال مرآة اسطوانية ذات مقطع اهليلجي مثلاً) ؛ كذلك أمكن تحسين المردود بتبريد الجهاز (مما ينجم عنه تغير خفيف في طول الموجة الصادرة : فهو يتغير من 6943 \AA في الدرجة 300°K الى 6934 \AA في الآزوت المائع) .

ب) وقد أمكن تحقيق ليزرات ذات أربع سويات باستعمال بعض أنواع الياقوت الأحمر (وهو أغنى بالكروم من الياقوت الوردي) ،



الشكل ٢٠ - ٤ -
مخطط ليزر من الياقوت

وباستعمال بلورات الفلورين Ca F_2 التي تحتوي على أيونات الاورانيوم U^{+++} ، الخ . وتستعمل كذلك بلورات من تنغستات الكلسيوم VO_4Ca ، كما تستعمل أيضاً (بازدياد مستمر) اسطوانات من الزجاج -

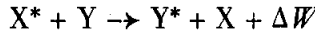
التي يمكن أن تكون ذات ابعاد كبيرة وتكون مع ذلك متجانسة ضوئياً وممتلئة المناحي - « منشطة » بالنيوديم Nd^{+++} Néodyme (ضخ بالخطين الاصفرين لقوس زئبقي مثلاً ، واطدار مانتحت الأحمر 10.6 ميكرون) . وقد جربت بلورات اخرى .

٢٠ - ٨ - الليزرات الغازية

أ) تتميز الغازات على البلورات بأنها خالية من عيوب البنية ، وهي تسمح بتحقيق أفضل للسطحين العاكسين الطرفين ، وكذلك بضبط المسافة بينها اذا

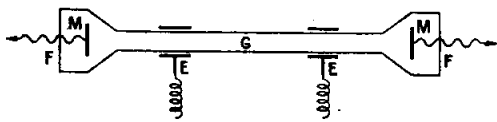
دعت الحاجة ،ويمكن أن تتعين سوياتها الطاقة بدقة أكبر منها في حالة الجوامد .
ولهذه الأسباب المختلفة ، يمكن ان يؤمن ترابط الضوء الصادر على نحو أفضل ؛
وبالمقابل ، فان ضالة كثافتها كذرات فعالة تعمل على الحد من الاستطاعة القابلة
للاستعمال . كذلك فان وجود الخطوط الطيفية لا أعصاب الامتصاص ، يمنع
من جهة أخرى حدوث تهيج شديد بالضغط الضوئي . ومع ذلك طبقت هذه
الطريقة في حالة بخار السيزيوم المهيّج بمصباح الهليوم ، بالاستفادة من التطابق
المؤاتي بين خط امتصاص Cs (λ ٣٨٨٨ Å) وخط اصدار He: ويحدث الاصدار
المترايط على ٧,١٨ ميكرون .

(ب) ولكن الليزرزات الغازية تكاد تستعمل دائماً انتقال الطاقة بالاصطدامات
بين الذرات X المهيّجة بانفراغ كهربائي وبين الذرات Y المخصصة لتوليد
الاصدار المثار ، وفق المخطط التالي :



حيث تدل الاشارة * على ذرة مهيّجة ؛ أما الطاقة المنطلقة ΔW فتتحول الى
ازدياد في الطاقة الحرارية . ويزداد احتمال مثل هذا الانتقال كلما كانت طاقتنا
نحريض X و Y أكثر تقارباً .

وفي أحد الليزرزات الأكثر انتشاراً ، يستعمل خليط من الهليوم (تحت
ضغط p من مرتبة مليمترو من الزئبق) ومن النيون (تحت ضغط يساوى ١٠٠ مم



الشكل ٢٠-٥ . مخطط مبسط لليزر غازي

زئبق تقريباً) ، في أنبوب

كالأنبوب الممثل تخطيطياً

في الشكل ٢٠ - ٥

فالانفراغ (الذي يتم مثلاً

بتواتر عال بين المسيرين F خارج الأنبوب) يهيّج في حالة شبه مستقرة عدداً
كبيراً من ذرات الهليوم ، التي تحدث اصطداماتها مع ذرات النيون بين الذرات

الآخيرة . أما المرآتان M الضئيلتا الشفافية والتي يمكن أن تكون المسافة بينها من مرتبة المتر ، فتؤلفان المجاوب بيرو - فابري . ويخرج الاشعاع المثار ، الذي يقع في منطقة الأحمر وما تحت الأحمر القريب ، من المنفذ F ^(١) .

٢٠ - ٩ . — الليزر ذات أنصاف النواقل .

عندما يمر تيار في ثنائي المساري ذي وصلة من زرنيخ الغاليوم مثلاً، (الجزء السادس ، ٢٠ - ٤) ، في الاتجاه المباشر $p \rightarrow n$ ، فإن احتلال « الثقوب » من قبل الالكترونات يولد انطلاق طاقة ، يمكن ان تظهر في شكل إشعاع مثار . إن هذا التحول المباشر للكهرباء الى ضوء لا يتم إلا فيما بعد عتبة معينة للتيار ؛ ويمكن أن تصل الاستطاعة المشعة ، التي تقع بوجه عام فيما تحت الأحمر ، الى ٦ واطات في اصدار متواصل ، وأكثر من ذلك في حالة الاندفاعات . وأبعاد ثنائيات المساري هذه من مرتبة أعشار المليمتر؛ وينتشر الضوء في مستوي الوصلة . إن الترابط والتوجيه خاصة هما أقل جودة في هذه الحالة منها في الحالات المدروسة فيما تقدم ، ولكن تكيف الحزمة الصادرة في التواتر العالي يكون سهلاً نسبياً (انظر ما بعد هذا) . ويمكن أن يتجاوز المردود ٥٠٪ ، وهذا هو سبب الاهتمام الذي يحظى به هذا النمط الجديد من الليزر .

٢٠ - ١٠ . — تطبيقات الليزر .

إن هذه التطبيقات عديدة ومهمة جداً .

(١) يمكن ان توضع المرآتان خارج المنفذين ، اذا كان هذان المنفذان مستويين تمام الاستواء ، وأن تكون كل منهما مؤلفة من ثلاث مرايا متعامدة فيما بينها (الجزء الرابع ، ٤ - ٤ د) ، أو أن تكونا كرويتين عوضاً عن أن تكونا مستويتين ، أو ان يستعمل الورود البروستري (الفقرة ٨ - ٢) .

(أ) إن ضيق العرض الطيفي لاشعاعات الليزرات الغازية يجعلها جليّة الفائدة في تجارب التداخل وعلم المقاييس : وقد امكن رؤية أهداف التداخل من أجل فروق في المسير تتجاوز مئة متر ، وقد مكنت رادارات ضوئية (الجزء السابع ، ١٠ - ٢٢) من تحديد مواضع أجسام بعيدة جداً بخطأ من مرتبة السنتيمترات .

ويمكن ان يولد بين الشعاعين ν_1 و ν_2 الصادرين من ليزرين خفقتاناً^(١) (الجزء الثالث ، ٣-٣) يتكون تواتره $\nu = |\nu_1 - \nu_2|$ في حدود بضعة آلاف هرتز ويمكن قياسه باسقاط الشعاعين على مستقبل كهروضوئي واحد . ويتعين تواتر الليزر ، من بين العوامل الاخرى ، بالطول l ، طول التجويف المجاوب . ويمكن قياس تغير l بدلالة تغير تواتر الخفقتان ، وذلك بالمقارنة بين التواترين ν_1 و ν_2 أولاً يجعل الليزرين متوازيين فيما بينهما وموازيين لسرعة انتقال الارض ، ثم بادارة أحدهما بمقدار 90° درجة . ونتحقق بذلك من الصيغة [١٨ ، ١٩] ونجد أن سرعة الضوء ثابتة بدقة مقدارها 10^{-12} - 10^{-13} م/ثانية) .

(ب) استخدمت الخاصة التوجيهية في حزم الليزرات في الارسال الى مسافة بعيدة جداً ، ما بين الارض والاقمار ، كما استخدمت حتى في « اضاءة » القمر . وينقص التباعد ، الذي هو اصلاً ضئيل جداً (بضع دقائق زاوية) ، وفقاً لما تدل عليه علاقة لاغرانج - هاملولتز (الجزء الرابع ، ٧ - ٣) ، بنسبة تتناسب عكساً مع نسبة الابعاد العرضية ، وذلك يجعل الحزمة تمر من خلال نظارة لاهحرقة مقبولة .

(١) لم تُجرَ مثل هذه التجربة سابقاً من اجل الامواج الكهرومغناطيسية الا في مجال التواترات الراديوية (الجزء السابع ، ١٠ - ١٢ ج) .

ج) ان تواتر الليزر ، الذي هو اكبر بكثير من تواتر الامواج الراديو كهربائية ، ينبغي أن يمكن من نقل رسائل عديدة جداً على حزمة واحدة بواسطة تكييف السعة (الجزء السابع ، ١٠ - ٢) .

د) ان الاجل القصير جداً لومضات الليزرات يصلح للتصوير الفائق السرعة . ومن جهة اخرى اذا ركزنا طاقة اندفاعات الليزر الياقوتي على حجم صغير جداً (من مرتبة مكرون مكعب) بواسطة جملة ضوئية ذات بعد محرق قصير ، فانه يمكن ان نولد تسخينات كبيرة تسمح باحداث ثقب في الماس او في صفحة فولاذية ، وبتأمين التحامات دقيقة او خراطة دقيقة . اما الآثار الحيوية (البيولوجية) (تغيرات موضعية جداً في نوى الخلايا) والآثار الطبية (الجراحة الدقيقة ، معالجة انفصال الشبكية) فهي لازالت قيد الدراسة .

لنشر ايضاً الى امكان الحصول على اطياف الانتثار لرامان Raman (الفقرة ١٥-١٥) على نحو اسهل منه في حالة الاضواء الاقل شدة، واكتشاف اطياف منها جديدة .

٢٠- ١١ . — الضوء غير الخطي

ان التدفقات الطاقية التي من مرتبة ١٠^{١٦} واط / سنتيمتر مربع تقابلها حقول كهروستاتيكية هائلة (١٠^٩ فولت / سنتيمتر من اجل المركبة الكهربائية E^(١)) ، شبيهة بحقول باطن الذرة ؛ وهي تظهر في الغاز نتيجة لتأينات تتبعها شراارات (الجزء السادس ، ١٧ - ١٥) . ولا يخضع تأثيرها على الضوء

(١) يمكن حسابها بواسطة الصيغة [١٨٠٩] في الجزء السابع .

إن سلم الشعاعات التي يمكن الحصول عليها من الليزرات ، والذي كان في البداية محدوداً تحديداً ضيقاً بما فيه الكفاية في مانتحت الأحمر وفي منطقة الأحمر بالانتقالات الطاقية الصالحة للاستعمال ، قد امتد الآن امتداداً كبيراً بفعل امان وبأفعال الضوء غير اعطلي . ولا ريب في أنه سوف تنتج عن ذلك دراسات نظرية ونتائج عملية جديدة .

محمد باقر و سید ابوالحسن

https://archive.org/details/@hassan_ibrahem

نماذج

٢٠ - أ - يصدر جهاز ليزر ذو He-Ne ، خطأ طول موجته 6328 \AA بعرض قدره $\Delta\nu = 10^8 \text{ Hz}$ (مقدر بالتواترات) واستطاعة قدرها $P = 1 \text{ mW}$.
١ - قدر العدد N للفوتونات الصادرة في الثانية والطول l لقطار من الامواج .

٢ - إذا كانت الحزمة الخارجة من الليزر يبلغ قطرها 1 mm ، فكيف تكون درجة الحرارة المطلقة T لجسم اسود اذا كان يصدر نفس العدد من الفوتونات بسطح مساو وفي نفس الفاصلة من التواترات ؟
نذكر بالصيغة [٢٠، ٢٢] في الجزء ٢ التي تعطي المعان الطاقي الطيفي للجسم الاسود :

$$L\lambda^* = 2 hc^2 \lambda^{-5} \left(\exp \frac{hc}{k \lambda T} - 1 \right)^{-1}$$

ثابتة بلانك $h = 6,63 \cdot 10^{-34} \text{ J.s}$ ، ثابتة بولتزمان : $h = 1,38 \cdot 10^{-23} \text{ Jdg}^{-1}$
٢٠ - ب - اذا هيج ليزر ذو ياقوت تهيجاً مناسباً ، استطاع ان يصدر دفعات مضئة عظيمة ، طول موجتها $\lambda = 6935,9 \text{ \AA}$. ونقبل بأن كل دفعة يمكن ان تشبه بقطار امواج مستوية وحيدة اللون مستقطبة استقطاباً مستقيماً بسعة ثابتة ، مدته $\tau = 0,1$ ملي ثانية ، ينقل طاقة قدرها $W = 0,3 \text{ joule}$ والمقطع الاسامي للحزمة دائري بقطر قدره $D = 5 \text{ mm}$. تنتشر الدفعات في الهواء . يوضع على طريق الحزمة عدسة مقربة L ، مصححة تصحيحاً جيداً بالنسبة الى انواع الزيغ ، بعدها المحرق $F = 5 \text{ cm}$ وذات قطر كاف بحيث لا تحجب شيئاً من الحزمة ؛ توضع كذلك شفرة حلالة R من الفولاذ نغنها $0,1 \text{ mm}$ في مستوى محرق الحبال للعدسة L ، درجة حرارتها الابتدائية هي 15° C .

١ - احسب نصف القطر r لبقعة الانعراج المركزية . يقبل بأن هذه البقعة تتلقى ٧٥٪ من الطاقة المحتواة في دفعة (مع اخذ عامل نفوذ العدسة بعين الاعتبار) .

٢ - ان عامل الامتصاص (بالنسبة الى هذه الشدة) للصفحة R يساوي ٠.١ . وتحول هذه الطاقة الممتصة الى حرارة وتفتتو بشكل متائل المناحي ابتداءً من البقعة المركزية ، في زمن كبير نسبياً بالمقارنة مع زمن الدفعة الواحدة .

ماهي كمية الحرارة Q_1 التي ينبغي تقديمها لايصال نصف كرة من الفولاذ الى الانصهار اذا كان نصف قطرها ٠.١ مم ؟ قارن هذه القيمة بكمية الحرارة Q التي تأتي بها الدفعة الواحدة . ماذا تستنتج من ذلك ؟

الكتلة الحجمية للفولاذ 7.83 g/cm^3

الحرارة الكتلية للفولاذ 0.11 cal/g

درجة حرارة انصهار الفولاذ 1525°C

حرارة انصهار الفولاذ 10 cal/g

٢٠ - ج يصدر ليزر L موجة مستوية طول موجتها 6943 \AA في الاستقامة OF . وتتحدد هذه الموجة بسطح الخروج وهو دائرة قطرها $D = 3 \text{ mm}$ ، وبنتيجة حوادث الانعراج تصبح الحزمة الضوئية مخروطية قليلاً بنصف زاوية رأسية قدرها α صغيرة جداً (لا يؤخذ بعين الاعتبار سوى الدائرة المركزية لشكل الانعراج) .

١ - احسب اللعان الطاق L^* المتوسط لليزر ، مع العلم بأن التدفق الطاق المتوسط الذي يصدره يساوي $\Phi = 400 \text{ W}$.

- ٢ . - تتلقى الحزمة الضوئية على عدسة بعدها المحرق $f = 2,0 \text{ cm}$.
احسب نصف القطر r للبقعة التي تتألف في مستوى محرق الحبال .
احسب الكثافة الحجمية للطاقة الإشعاعية w في هذا المكان (يؤخذ
من أجل تقديرها عنصر من الحجم اسطوانتي تؤلف البقعة المذكورة مقطعا
أساسيا له) .
- ٣ . - استنتج من ذلك قيمة الحقل الكهربائي E في F .

اجوبة التمارين الواردة

في نهايات الفصول

الارقام الواردة بين المعترضات هي ارقام الفقرات التي تعود اليها
هذه التمارين .

الفصل ٢

أ - (١-٢) سرعة الطور $v = c/n$ وفقاً لـ [٣,٢]

$$\frac{u}{v} = 1 + \frac{\lambda_0}{n} \frac{dn}{d\lambda_0} = 1 - 0,067$$

بينما تعطي التجربة

$$\frac{1,64}{1,75} = 1 - \frac{11}{175} = 1 - 0,063$$

ب - (٢-٢) حسباً تكون الارض في T_2 أو في T_1 (الشكل ١-٢) فإنها
تقترب أو تبتعد عن المشتري ، بأكثر سرعة نسبية ، قاطعة مسافة x بحيث
يكون :

$$\Delta T = \frac{x}{c} = \frac{1,75}{365} \cdot 2 \pi \cdot \frac{1000}{2} = 15 \text{ s}$$

ج - (٥-٢)

$$x = 16 \pi \frac{a}{b+l} N \frac{l^2}{c} = 13,55 \text{ mm} \quad 1$$

$$\frac{dc}{c} = \frac{dx}{x} + \frac{da}{a} + \frac{d(b+l)}{b+l} + \frac{dN}{N} + 2 \frac{dl}{l} = 22,7 \cdot 10^{-4} \quad 2$$

$$dc \simeq 680 \text{ Km/s}$$

$$\frac{\delta}{\lambda} = \frac{8 \pi N l D}{\lambda c} = 6,75 \quad \text{د - (٥-٢)}$$

$$\Delta p = \frac{2 \omega l}{c \lambda_0} (N^2 - 1) = 0,64 \quad \text{هـ - (١١-٢)}$$

الفصل ٣

$$\text{أ - (٥-٣)}$$

١. - لتكن r زاوية الانكسار في الفلنت

$$N = n \frac{\sin A}{\sin i} = 1,6928$$

٢. عند الدخول في الفلنت ، تتغير r بالمقدار dr بحيث ان :

$$\sin i \cdot dN = \sin A \, dn + n \cos A \, dr$$

وبعد الانعكاس ، عند الخروج من المنشور ، تصبح r :

$$r' = A - dr \quad \text{بحيث ان}$$

$$N \cos i \, di + \sin i \, dN = \sin A \, dn - n \cos A \, dr$$

$$N \, di = \frac{\epsilon}{f} \quad \text{مع}$$

ومنه

$$dN = \frac{N}{n} \, dn - \frac{\epsilon}{2f} \cot i = - 98.10^{-4}$$

$$N = 1,6830 \quad \text{و}$$

$$u = \sqrt{n_1^2 - \sin^2 \alpha} = 1,5133 [1,4,3] \cdot 10^{-1} \quad \text{ب - (٦-٣)}$$

$$d \alpha = \frac{2n}{\sin 2\alpha} \, dn = 3,1 \, 10^{-4} \, \text{rad} \simeq 1'$$

$$d\theta = \frac{1}{12.10^{-4}} \frac{dn}{n-1} \simeq \frac{1^\circ}{6} \quad \text{٢.}$$

ج - (٣ - ٦) ١. $N - N'$ ينبغي ان تكونا اكبر من n ،
بفرض α صغيرة ، $\beta \simeq \alpha/N = 1^\circ 8'$

$$n = N \sin \delta = 1,5413 \text{ و } \delta = \pi - 2\varphi + \beta = 61^\circ 8'$$

٢. اذا ازدادت الزاوية θ لـ J 1 مع الناظم على CD بمقدار ε ،
فان δ وبالتيجة β تزدادان بـ

$$d\beta = \frac{n \cos \theta}{N \cos \delta} \varepsilon$$

$$d\alpha = \frac{N \cos \beta}{\cos \alpha} d\beta \simeq Nd\beta \simeq n\varepsilon = 1'32''$$

د - (٣ - ٧) يكون الانحراف هو نفسه فيما لو كان بين L و α صفحة
رقبة من الماء متوازية الوجهين .

$$\theta \simeq \frac{x}{R} \text{ و } \left(\frac{N}{e} - 1 \right) \theta \simeq \left(\frac{\nu}{e} - 1 \right) A$$

ومنه

$$x \simeq AR \frac{\nu - e}{N - e}$$

، $x_0 = 0$ ، بما يمكن من تحديد مبدأ السينات ،

$$n = e + (e - 1) \frac{x_2}{x_1} \text{ ومنه } \frac{x_2}{x_1} = \frac{n - e}{1 - e}$$

٨ - (٣ - ١٠) اذا كانت n_1 هي القرينة الاولى و n_2 القرينة
النهائية للهواء (في الدرجة 15°) .

$$n_1 - n_2 = 5 \frac{\lambda}{l} = 1,338 \cdot 5 \cdot 10^{-5}$$

$$n_1 - 1 = \frac{(n_1 - n_2) p}{\Delta p} = 2,765 \cdot 10^{-4}$$

$$n_0 - 1 = (n_1 - 1) \frac{273 + \theta}{273} = 2,917 \cdot 10^{-4}$$

فاذا اعملنا الارتيابات الحاصلة على l و Δp و θ ينتج :

$$\Delta n = \frac{n - 1}{50} \simeq 6 \cdot 10^{-6}$$

الفصل الرابع

أ - (٢-٤) . - عند الخروج من L_1 ، تكون الاهتزازة بصورة عامة اهليلجية ومركتها وفقاً للخطين المعتدلين مما :

$$x_1 = \frac{a_0}{\sqrt{2}} \sin \omega t$$

$$x_2 = \frac{a_0}{\sqrt{2}} \sin (\omega t - \varphi)$$

$$\varphi = \frac{2 \pi \delta}{\lambda}$$

حيث

وعند الخروج من P_1 تكون الاهتزازة (مستقيمة)

$$s = \frac{a_0}{2} [\sin \omega t + \sin (\omega t - \varphi)] = a_0 \cos \frac{\varphi}{2} \sin \left(\omega t - \frac{\varphi}{2} \right)$$

$$a_0 = 1$$

ومنه اذا ابدلنا

$$a_1 = \cos \frac{\varphi}{2}$$

$$a_3 = \cos \frac{\varphi}{2} \cdot \cos \varphi \cdot \cos 2\varphi \quad , \quad a_2 = \cos \frac{\varphi}{2} \cdot \cos \varphi \quad . \quad ٢$$

$$a_4 = \cos \frac{\varphi}{2} \cdot \cos \varphi \cdot \cos 2\varphi \cdot \cos 4\varphi = \frac{\sin 16\varphi/2}{16 \sin (\varphi/2)}$$

(راجع الجزء ٤ ، الفقرة ١٦ - ٣)

تحصل النهايات العظمى الرئيسية للشدة من اجل $\varphi = 2k\pi$ (حيث k هو عدد صحيح) و يوجد بين كل نهايتين عظميين متتاليتين ١٥ نهاية صغرى معدومة تقابل $\varphi = l\pi/8$ (حيث l هي صحيحة وغير مثل لـ ١٦) و يوجد بينها نهايات عظمى ثانوية . ومن بين هذه النهايات العظمى الثانوية ، تلك التي هي اقرب ما يكون الى النهايات الرئيسية ، تقابل تقريباً $\sin 8\varphi = 1$ ، ومنه $\sin \frac{\varphi}{2} \simeq \frac{\pi}{16}$ فقيمتها التقريبية هي :

$$\left(\frac{1}{\pi} \right)^2 \simeq 0,1$$

٣ . $\Delta\lambda$ هي مقابلة لـ :

$$\varphi = \frac{2\pi}{\lambda} (n_x - n_y) e = 100\pi \quad \text{و} \quad \Delta\varphi = \frac{\pi}{4}$$

ومنه

$$\Delta\lambda = \lambda \frac{\Delta\varphi}{\varphi} = 13,5 \text{ \AA}$$

$$B = 90^\circ - 0,1 (6 - 4) \quad \text{ب}$$

$$٢ . - \text{التبديد هو تبديد موشور زاويته } \varphi = 62^\circ$$

$$\alpha = \arcsin (n_2 \sin \varphi_2) - \arcsin (n_1 \sin \varphi_1) = 6^\circ 2' 35''$$

$$\theta = 3^\circ 27' \quad \sin \theta = \lambda \frac{N}{L} = 0,06 \quad (\gamma - ٤) \text{ ج}$$

ان المناقشة الواردة في الفقرة ١٦ - ٣ من الجزء ٤ تؤدي الى :

$$2 \Delta \theta = \frac{2 \lambda}{L} = 2,4 \cdot 10^{-5} \text{ rd} \quad \text{ومنه} \quad 2\pi \frac{L}{N} \frac{\Delta \theta}{\lambda} = \frac{2\pi}{N}$$

$$R = k N = 5000$$

اذا كان الشق موازياً لخطوط الشبكة ، فان $\alpha/f \leq \Delta \theta$ يقتضي

$$a < a_m \quad \text{و} \quad a_m = 12 \cdot 10^{-4} \text{ cm}$$

$$D = 2 \cdot 10^{-5} \text{ m} \quad \text{و} \quad \sin \theta_1 = n_1 \sin \varphi \pm \frac{\lambda_1}{D} \quad (\gamma - ٤) \text{ د}$$

ومنه

$$\theta_1 = \begin{cases} 32^\circ 12' \\ 46^\circ 54' \end{cases}$$

$$\theta_2 = \begin{cases} 52^\circ 12' \\ 48^\circ 36' \end{cases} \quad \text{ومنه} \quad \sin \theta_2 = n_2 \sin \varphi \pm \frac{\lambda}{D} \quad .$$

٢ ان الانحراف $\delta = (n - 1) \varphi = 9,0 \cdot 10^{-3} \text{ rad}$ يجعل من الضروري

$$\Delta \lambda = \pm D \sin \delta = \pm 18 \text{ nm} \quad \text{عمل تصحيح}$$

$$R_2 \simeq e \frac{\Delta n}{\Delta \lambda} = 7580 \quad \text{و} \quad R_1 = \frac{L}{D} = 20000 \quad (\gamma - ٤) - \text{ هـ}$$

$$D = \frac{1}{n} \text{ مع} \quad \sin i = \frac{k \lambda_1}{D} \quad (\lambda - ٤) - \text{ و}$$

$$\sin i = 0,48703, \quad i \simeq 29^\circ 8' 45''$$

$$f = \frac{\epsilon}{di} ; \quad d \lambda = 2 \frac{D}{k} \cos i \quad \text{و} \quad R = k n L \quad \gamma$$

ومنه

$$f = 4,76 \text{ m}$$

$$x = \varphi \frac{k}{2D \cos i} (\lambda_2 - \lambda_1) = 1,44 \text{ mm} \quad \text{ج} \quad ١٠ - ٤$$

$$e = \varepsilon \frac{\varphi}{f} = 1,05 \cdot 10^{-2} \text{ mm}$$

$$\varphi = 2\pi e \frac{d\lambda}{\lambda^2} = \pi \frac{P}{R} = \frac{1 - \rho}{\sqrt{\rho}} \quad \text{ج} \quad ١٠ - ٤$$

ومنه

$$R = \pi P \frac{\sqrt{\rho}}{1 - \rho}$$

$$\rho = 1470, R = \frac{14900}{0,34} = 43800 \quad \text{ج} \quad ١٣ - ٤$$

$$e = \frac{P\lambda}{2} = 0,5 \text{ mm}$$

$$D = 2 \cdot 10^{-6} \text{ m}, \delta^2 - 2\alpha\delta = 2k\lambda/D \quad \text{ج} \quad ١٣ - ٤$$

$$x_1 = L\delta_1 = 15,7 \text{ mm} \quad k = 1 \quad \text{وذلك يعطى من اجل}$$

$$x_2 = 20,8 \text{ mm} \quad 2$$

$$x_3 = 24,7 \text{ mm} \quad 3$$

$$dx_2 = \frac{2kL}{D} \frac{d\lambda}{2(\delta_2 - \alpha)} = 0,112 \text{ mm} \quad \text{ج} \quad ١٣ - ٤$$

$$d\alpha = \frac{dx_2}{L} \frac{\delta_2 - \alpha}{\alpha} = 6,65 \cdot 10^{-4} \text{ rd} \quad \text{ج} \quad ١٣ - ٤$$

ومنه

$$a_m = \frac{l}{2} d\alpha = 0,13, \text{ mm}$$

ط - (١٤ - ٤) البعد المحرق ل : L يساري :

$$f_1 \approx \frac{R}{2(n_1 - 1)} = 50 \text{ cm} : \lambda_1 \text{ من اجل طول الموجة}$$

$$f_2 \approx 22,7 \text{ cm} \quad \lambda_2 \quad \text{ومن د}$$

والاشعة التي طول موجتها λ تخرج من L موازية للمحور ، والتي طول موجتها λ_2 تتجمع على بعد من L :

$$\frac{\overline{ES} \times f_2}{\overline{ES} - f_2} \approx 42 \text{ cm} = \overline{EF}$$

$$\Delta \lambda = 20 \times 0,2 = 4 \text{ \AA} \quad \text{ي - (١٦ - ٤)}$$

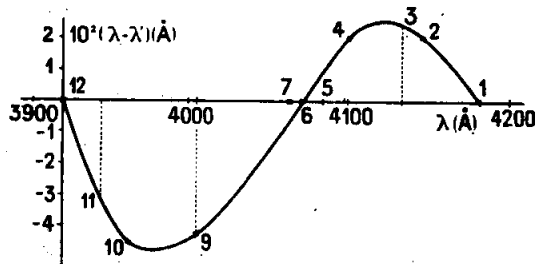
$$\tau = \frac{L}{c} = 2,1 \cdot 10^{-12} \text{ s} , \quad L = \frac{\lambda^2}{\Delta \lambda} = 6,25 \cdot 10^{-4} \text{ m}$$

ك - (١٨ - ٤)

$$c = 1,165 \cdot 10^9 \quad b = -700292 \quad a = 2527,98 (\text{\AA})^2$$

$$\lambda_8 = 4071,76 \text{\AA} \quad \lambda_3 = 4,132,04 \text{\AA} \quad \text{٢}$$

$$\lambda_{12} = 3922,90 \text{\AA} \quad \lambda_9 = 4005,29 \text{\AA}$$



الفصل ٥

$$\frac{L_1}{L_2} = \frac{1}{\pi x^2} \frac{S}{d^2} = 0,80 \quad \text{أ - (٢-٥)}$$

ب - (٢-٥) التدفق الداخل في الماء : $\Phi = \tau s \cos i \times \pi \alpha^2 L$
والخزعة المنكسرة ، بزاوية قيمتها المتوسطة r ، تقطع في لوحة عمودية
على الاشعة ، على البعد l ، سطحاً اهليلجياً محورها $2a'$ و $2a''$ ، وسطحه
 $\sigma' = \pi a' a''$.

وفي مستوي الورد يرى a' من O ضمن زاوية قدرها :

$$\alpha' = \frac{\alpha \cos i}{n \cos r}$$

وفي المستوي العمودي ، يرى a'' ضمن زاوية

$$\alpha'' = a/n$$

والسطح المقطع على Σ هو

$$\sigma = \frac{\sigma' h^2}{\cos r}$$

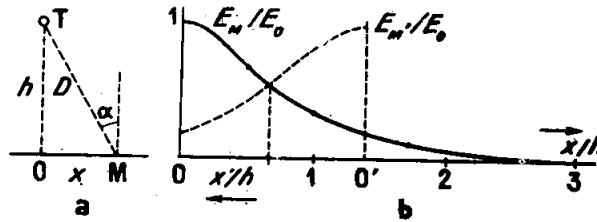
$$E = \frac{\Phi}{\sigma} = \frac{n^2 \tau s L \cos^4 r}{h^2} \quad \text{ومنه}$$

ج - (٣-٥) ١ . - الاستنارة في O (الشكل a)

$$E_0 = 2 L \frac{d}{h} \int_0^{\pi/2} \cos \theta d\theta = 2 \frac{Ld}{h} = 21,3 Lx$$

$$x = h \operatorname{tg} \alpha \quad \text{و} \quad E_M = E_0 \cos^3 \alpha \quad \text{في } M$$

3	$\sqrt{3} = 1,732$	1	$1/\sqrt{3} = 0,577$	0	x/h
$1/\sqrt{10}$	1/2	$\sqrt{2}/2$	$\sqrt{3}/2$	1	$\cos \alpha$
0,031	0,125	0,353	0,650	1	E_M/E_0



٢. - نرمم المنحني $E_M/E_0 = f(x/h)$ ، وعلى الورق الشفاف المنحني المماثل $\frac{E_{M'}}{E} = f\left(\frac{x}{h}\right)$ ولنضعها مثلما يدل الشكل b ، وبزلق x' على طول ox يمكن إيجاد وضع o' الذي من أجله يحقق $E_M + E_{M'}$ الشرط المفروض . ومن ذلك ينتج تقريباً $a = 0,7$ ، $h = 105 \text{ cm}$

$$E = \frac{I \sin 4 \alpha_1}{d^2 \sin 4 \alpha_2} = 25,6 Lx \quad \text{د - (٥-٥)}$$

إذا افترضنا الارتباطات على I و d مهمة يكون معنا :

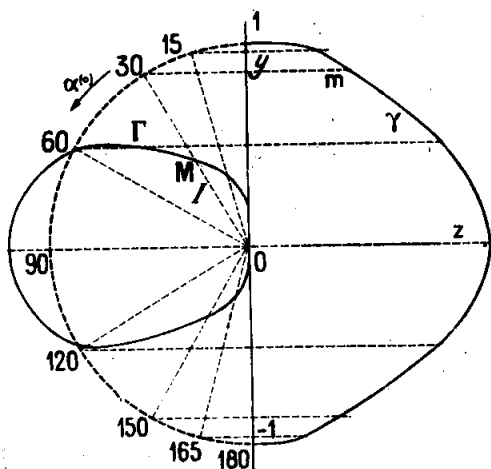
$$\frac{dE}{E} = 4 d\alpha \left(\frac{1}{\tan \alpha_1} + \frac{1}{\tan \alpha_2} \right) \approx 2\% \quad dE \approx 0,5 Lx$$

$$I_h = \frac{\Phi_1}{4\pi} \left(\frac{d-x}{f} \right)^2 = 120 \text{ cd} \quad \text{أ - (٩-٥)}$$

180	165	150	120	90	60	30	15	0	$\alpha (\text{dg})$	٢
8,0	28,1	40,5	96	120	96	48	37,8	23,9	$I (\text{cd})$	

ومنه المنحني Γ (مقياسه ٠,٢٥ مم لكل cd) .

$$d\Phi = I 2\pi \sin \alpha d\alpha , \quad \Phi = 2\pi \int_{\alpha=0}^{\alpha=\pi} I d(\cos \alpha)$$



الذي يحدده مع محور الـ y يعطي $\Phi/2\pi$ (بمقياس ١٦ لومن/سم^٢) فنجد $\Phi \approx 1100 \text{ lm}$.

$$F = \frac{F_0}{h} \int_0^h \exp(-2K \frac{b}{k} x) dx$$

$$\tau = \frac{1 - \exp(-2Kb)}{2Kb}$$

ز - (٥ - ١٩) ان الاخيلة المتشكلة على P لها دوماً نفس السطح ، واستنارتها هي في التجارب الـ ٤ الاولى متناسبة مع $L\omega$ ، حيث $\omega = \pi\alpha^2/4$ هي الزاوية المجسمة للعزم المفيدة ، وأما في الخامسة فهي متناسبة مع $E + L\omega$.

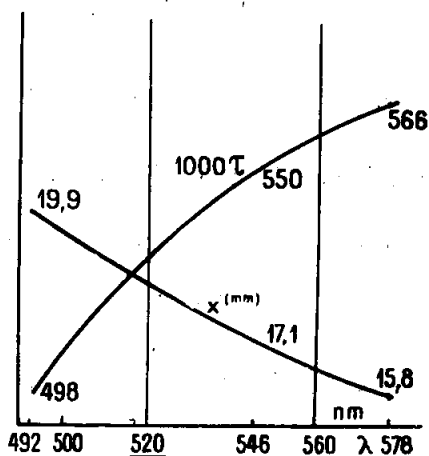
وبدل المنحنى $\Delta = f(x)$ الذي يكاد يكون مستقيماً على أنه بدون S ،
تقابل الكثافة 1,036 إلى قيمة α'' من α بحيث أن $\log \alpha'' = 0,388$
ومنه $\alpha'' = 2^{0,44}$.

$$\pi \frac{\alpha'^2}{4} L + E = \frac{\pi \alpha'^2}{4} L$$

ومنه

$$\frac{E}{L} = \frac{\pi}{4} (\alpha'^2 - \alpha^2) \quad \alpha = 1,2 \cdot 10^{-3} \text{ بالراديان}$$

$$r = \frac{\alpha_1}{\alpha_2} \frac{\tau_2}{\tau_1} \frac{\Delta \lambda_2}{\Delta \lambda_1} \frac{L_2^*}{L_1^*} \quad \text{ج - (٢٠-٥)}$$



واذا قدرنا بالتكامل الداخلي (التوسط) قيم α و τ و $\frac{\Delta \lambda}{\Delta x}$ نجد :

$$r = \frac{225}{115} \frac{529}{558} \frac{18}{27} \frac{71,6}{100} = 0,9$$

ط - (٢٣-٥) ١ - يمثل بـ [PQ] الزاوية التي يؤلفها مع Ox مستقيم
ما PQ :

$$[LI] = 211^\circ \quad \text{ومنه} \quad [AL] = \frac{[LH] + [LI]}{2}$$

$$[JD] = \frac{[JL] + [JK]}{2} = 20^\circ$$

$$n = \sin \frac{A + \Delta}{2} / \sin \frac{A}{2} \quad ٢$$

$$\Delta = [LH] - [IL] = 50^\circ \quad n = 1,638 \ 30 \quad \text{مع}$$

ومنه

$$\lambda_0 = 461,93 \text{ nm}$$

$$dn = \frac{\cos \frac{A + \Delta}{2}}{2 \sin(A/2)} 1,03 \ d\Delta = 10^{-4} \quad \text{ومنه} \quad d\Delta = \frac{0,10}{556} \quad ٣$$

$$d\lambda' = 2d\lambda \quad ; \quad |d\lambda| = \frac{(\lambda - 213)^2}{12,12} dn \simeq 0,5 \text{ nm} \quad \text{و}$$

٤ يتلقى F' الجلمة المجموعة للإشعاعات التي اختزفت O

نفرض $p = - (kJ + JL) = - 740 \text{ cm}$ ، فخيال L الذي تعطيه M_3 تكون فاصلته $p' = 556 + 2f$ مع

$$p' = - \frac{p \times 556}{556 + p} = - 2236 \text{ cm}$$

ومنه

$$f = - 840 \text{ cm}$$

الفصل ٦

$$R = C_0 = B = 1 \quad [٩,٦] \quad \text{وفقاً للصيغة} \quad (١١ - ٦) \quad \text{أ -}$$

فاذا وضعنا هذه القيم في $[١١,٦]$ حصلنا على :

$$X = Y = Z = 5,651$$

$$z = 0,20 \quad y = 0,60 \quad x = 0,20 \quad \text{ب -} \quad (١٤ - ٦) \quad ١ -$$

$$z' = 0,40 \quad y' = 0,20 \quad x' = 0,40$$

$$\frac{1/3 - y'}{x' - 1/3} = 2 \quad , \quad \frac{y - 1/3}{1/3 - x} = \frac{26,66}{13,33} = 2 \quad - ٢.$$

$$\frac{d}{d'} = 3,46 \text{ ومنه } \frac{Y'}{Y} \frac{d^2}{d'^2} = \frac{M}{W} \frac{W}{M'} = 2 \quad - ٣.$$

ج (٦ - ١٤) اذا كانت M هي النقطة الممثلة للون المدروس ،
فالمستقيم WM يقطع Σ في النقطة D التي احداثياتها $x_d = 0,045$ ، $y_d = 0,295$ ،
بحيث يكون $\lambda_d = 490 \text{ nm}$

ومنه ، وفقاً لـ [١٧٠٦]

$$p = \frac{y_d}{y} \frac{y - 1/3}{y_d - 1/3} = 0,45$$

د - (٦ - ١٥) تقع النقطة $M_2 (x_2, y_2)$ على المستقيم المار من $M_1 (x_1, y_1)$
و $W (1/3), (1/3)$ ومنه

$$y_2 = y_1 + \frac{(x_2 - x_1) (1 - 3 y_1)}{1 - 3 x_1} = 0,3558$$

ويمكن الحصول على هذه النتيجة بصورة تقريبية بواسطة المخطط المرافق
لنطوق التمرين b - 6 . فبالنسبة للضوء W :

$$Y = Y_1 + Y_2 = L_1 + L_2 \quad \text{و} \quad X = X_1 + X_2$$

هما متساويان

$$\frac{x_1}{y_1} L_1 + \frac{x_2}{y_1} L_2 = L_1 + L_2$$

ومنه

$$L_2 = L_1 \frac{(x_1/y_1) - 1}{1 - (x_2/y_2)} = 903 \text{ cd/m}^2$$

واذا حسبنا مثلما جرى في المسألة b - 6 نجد

$$p_2 = 0,55 \quad \text{و} \quad \lambda_2 = 599 \text{ nm}$$

٥ - (١٧-٦) إذا بدلنا في الصيغ [٢١,٦] ، τ بـ β والتكاملات بالمجموعات العائدة الى فواصل ٣٧٥ الى ٤٢٥ ، ٤٢٥ الى ٤٧٥ ، الخ (nm) نجد بالقيم النسبية

$$\begin{array}{lll} Z = 7,716 & , & Y = 69,49 \quad X = 115,72 \\ z = 0,040 & & y = 0,360 \quad x = 0,600 \end{array} \quad \text{ومنه}$$

الفصل ٧

أ - (١-٧) الامواج المنتشرة وفقاً لـ Ox :

١ - دائرة يسارية

٢ - مستقيمة على $\frac{3\pi}{4}$ من oy

٣ - اهليلجية يسارية ، محورها الكبير على $\frac{3\pi}{4}$ من oy

٤ - اهليلجية يمينية ، محورها الكبير على $\pi/4$ من oy

ب - (٣-٧) ١ - ان الأهداب هي ذوات التباين الاعظم عندما يكون P موازياً الى احد الخطين المعتدلين ، وتختفي عندما يكون P على $\pi/4$ من هذين (لأنه يحدث عندئذ تركيب للاهتزازتين الدائرتين D و G اللتين لا يمكن ان تعدلا بعضهما) .

٢ - لا يكون هنالك اهداب ، ولكن الاهتزازة المستقيمة تدور بدلالة الفاصلة .

٣ - نفس الاهداب التي تحصل بالضوء الطبيعي .

٤ - تبادل الاهداب المضيئة والمظلمة ، بالنسبة الى الحالة السابقة .

$$\text{ج - (٤-٧)} \quad \frac{\Delta E}{E} = \frac{\sin^2(\epsilon + \Delta\alpha) - \sin^2(\epsilon - \Delta\alpha)}{\sin^2 \epsilon} \simeq 4 \frac{\Delta\alpha}{\epsilon}$$

ومنه

$$\Delta\alpha \simeq 0^{\circ},015$$

د - (٧ - ٥ - د) إن الاهتزازة الدائرية الاصلية ، التي هي ببنية مثلاً، تصبح دائرية يسارية عندما تلاحظ بعد الانعكاس . وينبغي تدوير المحلل المستقيم بمقدار $\pi/2$ بالنسبة الى الصفيحة ربع الموجية المرتبطة به .

الفصل ٨

أ - (٨ - ٥) وفقاً لـ [١٧ ، ٨] يكون عاملاً النفوذ (أو التوصيل) τ و τ' قبل وضع الطبقة ذات القرينة n وبعدها :

$$\tau' = 16 \frac{n}{(1+n)^2} \frac{nN}{(1+N)^2} \quad \text{و} \quad \tau = \frac{4N}{(1+N)^2}$$

$$\sqrt{\frac{\tau' - \tau}{4n}} = \frac{(N-n)(n-1)}{(1+n)(1+N)(n+N)} > 0 \quad \text{ومنه :}$$

ب - (٨ - ٦) من أجل $i = \pi/4$ ، يكون $\sin(i-r) = \cos(i+r)$

$$\sin(i+r) = \cos(i-r)$$

و

ومنه ، وفقاً لـ [٢٥ ، ٨] و [٢٢ ، ٨]

$$\sqrt{\rho'} = \frac{\sin^2(i-r)}{\sin^2(i+r)} = \rho''$$

$$n \cos \theta \simeq N [\sin l + (r-l) \cos l] \quad \text{ج - (٨ - ٦)}$$

ومنه

$$\text{tg } l = 1,664 \quad \text{مع} \quad l - r = \theta^2/2 \text{ tg } l$$

وفقاً لـ [٢٢ ، ٨]

$$1 - \frac{E}{E_0} \simeq 4\theta \text{tg } l \quad \text{ومنه} \quad \sqrt{\frac{E}{E_0}} = \frac{\cos(\theta+r)}{\cos(\theta-r)}$$

$$\theta \simeq \frac{1}{80 \operatorname{tg} l}, \quad 1 - \frac{E}{E_0} = \frac{5}{100} \quad \text{من أجل } \tau$$

ومنه

$$\Delta l \simeq \frac{\theta^2}{2} \operatorname{tg} l = 4.6 \cdot 10^{-5} \text{ rd} \quad (\text{أي } 10^{-5} \text{ تقريباً})$$

$$\Delta l \simeq 0.4 \cdot 10^{-5} \quad \Delta n = N \cos l \quad \text{و}$$

$$\varphi = 60^\circ, \quad \operatorname{tg} \frac{\varphi}{2} = \frac{1}{\sqrt{3}}, \quad i = \frac{\pi}{2} - \frac{\varphi}{2} \quad (\text{أ-أ}) - \text{د}$$

أ- (أ-أ) ان الاهتزازة المنعكسة على الوجه الثاني تهتز عمودياً على مستوى الورد ، مثل الاهتزازة المنعكسة على وجه الدخول ، وتخترق هذا الوجه من جديد بدون تغير في الاتجاه .

$$\tau = (1 - \rho) \frac{\operatorname{tg} r}{\operatorname{tg} i} \quad \text{و- (أ-أ)} \quad \text{وفقاً لـ } [20, 8] \text{ يكون}$$

$$\tau' = \frac{\cot i}{\operatorname{tg} i} = \frac{1}{n^2} \quad \text{وفي الورد البروستري } \rho' = 0 \text{ و}$$

$$r = \frac{\pi}{2} - i = 36^\circ 53' \text{ منه } i = \operatorname{arc} \operatorname{tg} n = 53^\circ 8' \quad (\text{أ-أ}) - \text{ز}$$

ان زاوية الورد على الزجاج هي

$$i' = \operatorname{arc} \operatorname{tg} \frac{n'}{n} = 48^\circ 22'$$

$$\theta = i' - r = 11^\circ 29' \quad \text{ومنه}$$

ج- (أ-١٠) الضوء البارز طبيعي . ليكن ρ و τ عاملي الانعكاس والنفوذ لكل وجه . ولنأخذ كوحدة لنا ، شدة الحزمة الواردة ، فتكون شدة الحزمة الخارجة بعد ان اخترقت المنشور مرة واحدة هي τ^2 ، وشدة الحزمة التي طرأ عليها انعكاسان داخلان هي $\tau^2 \rho^2$. ومنه النفوذ الكلي :

$$T = \tau^2 (1 + \rho^2 + \rho^4 + \dots) = \frac{\tau^2}{1 - \rho^2} = \frac{\tau}{1 + \rho}$$

ووفقاً لـ [١٧، ٨] يكون

$$T = \frac{2n}{n^2 + 1} = \frac{12}{13} \quad \tau \text{ فيستنتج ان } = \frac{4n^2}{(n+1)^2}$$

ط - (٨ - ١٠ - ب) تعادل الجملة صفيحة نصف موجية . الاهتزازة الخارجة مستقيمة وعمودية على الاهتزازة الواردة .

ي - (٨ - ١٠ - ب) من $\alpha = i_0 - r$ و $\cos \alpha = n \sin r$ نستنتج

$$\operatorname{tg} \alpha = \frac{n \sin i_0 - 1}{n \cos i_0}$$

ومنه $\hat{A} = 161^\circ 22'$ و $\alpha = 14^\circ 19'$

ك - (٨ - ١١)

$$z_1 = \frac{\lambda_0}{2\pi} \frac{1}{\sqrt{\frac{\sin^2 i}{n^2} - 1}} = 0,23 \mu m \quad [44, 8] \text{ من } 1$$

$$\frac{I_2}{I_0} = \exp\left(-\frac{2z}{z_1}\right) = \exp(-8700) = 10^{-3770} \quad 2$$

ل - (٨ - ١٣) يؤدي استعمال الصيغتين $[48, 8]$ و $[49, 8]$ الى

$$\varphi = 167^\circ,8 \quad \text{و} \quad \rho = 0,37$$

الفصل ٩

أ - (٩ - ٢) $n^2 = A + B/\lambda^2$. تعطي القيم المتطرفة لـ λ و n :

$$A = 2,483_4 \quad \text{و} \quad B = 5,817_3 \cdot 10^8$$

وتعطي الصيغة الموضوعه هكذا ، من اجل $\lambda = 5892 \text{ \AA}$

في حين أن القيمة المعطاة في نص المسألة هي $n^2 = 2,650_9$

$$n^2 = 2,650_4$$

ب - (٩ - ٥) تكتب الصيغة [١٨,٩] هنا

$$n^2 - 1 = \frac{K}{\omega_i^2 - \omega^2}$$

وبحذف K بين المعادلتين اللتين تعطيهما المعطيات ، نجد

$$\omega_i = 2,15.10^{16} \text{ rd/s}$$

ومنه

$$\lambda_i = 885 \text{ Å}$$

ج - (٩ - ٦) تكتب الصيغة [٥٦,٩] هنا :

$$\frac{n^2 - 1}{n^3 + 2} = \frac{n_0 \rho}{M} \frac{e^2 f}{3 \epsilon_0 m_e} \frac{1}{\omega_i^2 - \omega^2}$$

ومعنا القيم الآتية $f = 4$ ، n_0 هو عدد افوكادرو ، m_e كتلة الإلكترون و e شحنته :

$$\omega_i = 2 \pi \frac{c}{\lambda_i} = 1,76.10^{16} \text{ rd/s}$$

ونجد :

$$\frac{n^2 - 1}{n^3 + 2} = \frac{96.10^{28}}{3.1.10^{32} - \omega^2}$$

ويعطي ذلك :

$$0 \quad 2 \quad 1 \quad 0,7 \quad 0,5 \quad 0,3 \quad 0,1 = \lambda (\mu)$$

$$1,022 \quad 1,025 \quad 1,033 \quad 1,039 \quad 1,053 \quad 1,070 \quad 1,116 = n$$

$$v - c \simeq 3 \text{ Km/s} \text{ ومنه } v = \frac{c}{n} \simeq c(1 + 10^{-5}) \quad \text{د - (٨ - ٩)}$$

$$u = cn = c(1 - 10^{-5}) \text{ تعطي } u = v - \lambda \frac{dv}{d\lambda} \quad [٣٦٢]$$

$$\text{وفاً لـ [٣٦٤٩] - ٨ - (٩ - ١١)}$$

$$\frac{n_2^2 - 1}{n_2^2 + 2} = \frac{n_1^2 - 1}{n_1^2 + 2} \frac{\rho_2}{\rho_1} = 6,98 \cdot 10^{-2}$$

$$\text{ومنه } n_2 = 1,06$$

$$\text{و - (٩ - ١١) نسبة عددي الجزيئات في وحدة الحجم في الدرجتين}$$

$$n_{100}/n_0 = 273/373 = 0,731 \quad \text{١٠٠° وصفر هي}$$

$$p_0 = 0 \text{ ومنه } \frac{(\epsilon_r - 1)_{100}}{(\epsilon_r - 1)_0} = 0,722 \quad \text{فمن أجل } \text{CO}_2$$

$$\text{ومن أجل } \text{NH}_3 \text{ يعطي حساب هذه النسبة}$$

$$p_0 = 4,7 \cdot 10^{-30} \text{ C.m}$$

الفصل ١٠

$$\text{أ - (١٠ - ٢) } I = 0 \text{ في الحالات الثلاث}$$

ب - (١٠ - ٤) نعتبر الضوء الطبيعي مؤلفاً من مركبتين مستقيمتين مترابطتين، لهما نفس السعة (الفقرة ٧ - ١) ولتكونا V_1 في مستوى الانتثار و V_2 عمودية على V_1 . ان العزوم الكهربائية المتحيزة في الجزيئات المتماثلة المناحي هي موازية لـ V_1 و V_2 ومستقلة عن بعضها بعضاً. والثانية تولد اشعاعاً منتزاً مستقلاً عن x (الصيغة [٣، ١٠] التي يكون فيها $\theta = \pi/2$) والاولى تولد اشعاعاً مساوياً للاول بعد ضربه به :

$$\sin^2 \theta = \cos^2 \alpha$$

وفي الجملة فان المركبة الطبيعية هي متناسبة مع $2 \cos^2 \alpha$ والمركبة المستقطبة متناسبة مع $1 - \cos^2 \alpha$ (راجع الشكل ١٠ - ٦) ومنه

$$x = \frac{1}{2} \operatorname{tg}^2 \alpha$$

ج - (١٠ - ٦) . . . ليكن $\Phi_0 = SE$ و $dv = dx \, dS$

$$d\Phi = - S R E \, dx \int_0^\pi (1 + \cos^2 \alpha) 2 \pi \sin \alpha \, d\alpha$$

$$= - \frac{16}{3} \pi \Phi R \, dx$$

ولما كان $\frac{d\Phi}{\Phi} = - 2 K \, dx$ فان $\frac{K}{R} = \frac{8}{3} \pi$

٢ - $L = R E y$

و $2 K = 10^{-3} \text{ cm}^{-1}$ ومنه $L = 0,60 E$

$$L' = \frac{E}{\pi} \cos \frac{\pi}{4} = 0,225 E$$

د - (١٠ - ٨) يستنتج من [٢١، ١٠]

$$\mathcal{N} = \frac{M}{\rho} \frac{\pi^2}{2 R \lambda^4} (n^2 - 1)^2 = 6,7.10^{26}$$

هـ - (١٠ - ٩) يعطى [١٣، ١٠]

$$\mathcal{N} = \frac{8 \pi^2 (n^2 - 1)^2 M}{6 K \rho \lambda^4}$$

حيث M هي الكتلة المولية وتساوي ٢٩ بالنسبة الى الهواء ويعطى منطوق المسألة $2 K = 5,6.10^{-5} \text{ m}^{-1}$ ومنه

$$\mathcal{N} = 6,5.10^{26}$$

و- (١٠-٨ و ١٠) ان الصيغة [١٧،١٠] التي تبدل فيها N بـ $\partial \epsilon_p / M$ تمكنتنا عند تشبيه $C Cl_4$ بغاز كامل ، من أن نحسب

$$\mathcal{R}_1 = 1,35 \text{ m}^{-1} \simeq 5 \mathcal{R}$$

ز- (١٠-١١) ينتج من [٣٠،١٠]

$$\varphi = \frac{\pi}{2} \quad \text{و} \quad c_1 = \frac{c}{n} \quad \text{و} \quad \frac{\Delta \lambda}{\lambda} = \frac{2v \sin(\varphi/2)}{c_1}$$

$$v_1 \simeq 18000 \text{ m/s} \quad \text{ومنه} \quad \frac{\Delta \lambda_1}{\lambda_1} = \frac{0,52}{2536}$$

$$v_2 \simeq 11000 \text{ m/s} \quad \text{ومنه} \quad \frac{\Delta \lambda_2}{\lambda_2} = \frac{0,32}{2536}$$

الفصل ١١

١- (١١-٨) ينبغي ان يكون محور الصفيحة على ٥٠° من المقطعين الاصلين للمقطب .

نفرض

$$\Delta n = n_0 - n_e$$

فمن أجل

$$\Delta \lambda = 6 \text{ \AA}$$

يكون

$$d(\Delta n) = - \frac{24}{17} 10^{-5}$$

يحصل الانطفاء من اجل $\lambda = 5890 \text{ \AA}$ اذا كان $\lambda = (k+1/2) \lambda$ $e(\Delta n)_\lambda =$ صحيح k .

ونحصل النهاية العظمى من أجل $\lambda' = \lambda + d\lambda$ إذا $e(\Delta n)\lambda' = k\lambda'$ ومنه

$$2 e \left[\frac{(\Delta n)\lambda}{\lambda} - \frac{(\Delta n)\lambda'}{\lambda'} \right] = 1$$

ولكن

$$d\left(\frac{\Delta n}{\lambda}\right) = \frac{1}{\lambda} d(\Delta n) - \frac{\Delta n}{\lambda^2} d\lambda$$

فنستنتج من ذلك $e = 1,56 \text{ mm}$

ملاحظة : أ) ان الارتياب في المعطيات (ولا سيما في $d\lambda$) لا يسمح بحساب e بدقة .

ب) ان الطريقة (التي طبقت فعلاً) لاتوافق إلا أجل $d\lambda > 0$

ب - (١١ - ٩) . في الحالة الاولى ينفذ الشعاع الشاذ. لتكن I و I_e الشدتين : قبل وضع L وبعد وضعها :

$$\frac{I_e}{I} = \text{tg}^2\left(\frac{\pi}{\varphi} - \alpha_e\right) = 0,738$$

وبحسب [١٧، ٨] ، اذا لم يكن ثمة امتصاص ، فان عامل النفوذ يكون

$$\tau_0 = \frac{4^{\frac{1}{2}} n_e}{(n_e + 1)^2} = 0,942$$

من اجل كل وجه ل L .

تعطي العلاقة $I_e = I \tau_0^2 \exp(-2 K_e x)$: $2 K_e = 0,184 \text{ mm}^{-1}$ وفي الحالة الثانية يعطي حساب مماثل :

$$2 K_0 = 1,40 \text{ mm}^{-1}$$

$$x' \geq 5,7 \text{ mm} \quad \text{و منه} \quad \exp (K_0 - K_e) x' \geq 1000 \quad ٢$$

ج - (١١ - ١١)

$$١. \text{ - . ليكن } dn = n_0 - n_e = 0,5 \frac{\lambda}{e} = 3.10^{-5}$$

من العلاقة

$$n = \sin \frac{\varphi + \delta}{2} / \sin \frac{\varphi}{2}$$

$$dn = \frac{d\delta}{2} \sqrt{\frac{1}{\sin^2(\varphi/2)} - n^2} \quad \text{نستخرج :}$$

$$\text{و منه : } d\delta = 4,54.10^{-5} \text{ rd} \quad \text{و} \quad fd\delta = 23 \mu\text{m}$$

٢. - ان المواشير ذات الانكسار المضعف محاطة بمواشير قرينتها n .والانحراف δ في موشور هو بالنسبة الى شاع ساذ بحيث ان :

$$\frac{n_0}{n} = \sin \frac{\varphi + \delta}{2} / \sin \frac{\varphi}{2}$$

و منه (بما ان δ صغيرة)

$$\frac{n_0 - n_e}{2} = \frac{d\delta}{2} \cot \frac{\varphi}{2}$$

يوجد موشوران مضعفا الانكسار يخترق كل منها ثلاث مرات ، وعند

الخروج من الموشور الاخير الذي قرينته n ينضرب الانقراج بـ n . ومنه :

$$\varepsilon = 12 (n_0 - n_e) \operatorname{tg} \frac{\varphi}{2} = 3,6.10^{-4} \text{ rd}$$

د - (١١ - ١٢) نرسم بـ ω لنبض الصفيحة ؛ فعلى بعد x من 0

يكون المطال :

$$s = S \sin \frac{\pi x}{2l} \cos \omega t$$

والضغط

$$p = E \frac{ds}{dx} = P \cos \frac{\pi x}{2l} \cos \omega t$$

$$P = \frac{\pi ES}{2l} = 11,8 \text{ kg/mm}^2 \quad \text{مع}$$

نرمز بـ δ لفرق المسير :

$$\frac{\delta}{\lambda} = \frac{11,8}{21,5} \cos \frac{\pi x}{2l} = 2,81 \cos \frac{\pi x}{2l}$$

وتقابل الاهداب :

B	N	B	N	B	N	
5/2	2	3/2	1	1/2	0	$= \delta / \lambda$
7,5	12,4	16,0	19,3	22,1	25	$x \text{ (cm)}$

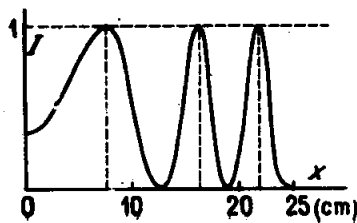
من أجل

$$\frac{\delta}{\lambda} = 2,81 \quad \text{مع} \quad I = \sin^2 \frac{\pi \delta}{\lambda} \quad x = 0$$

$$\frac{dI}{dx} = 0 \quad \text{و} \quad I = 0,32$$

ومنه المنحني

$$I = f(x)$$



٨- (١١ - ١٦) وفقاً للصيغة [١٣٤٧] يكون :

$$\frac{b}{a} = 0,13 \text{ و } \varphi = 2 \pi Cl \left(\frac{V}{e} \right)^2 = 15^\circ \text{ و } \frac{b}{a} = \operatorname{tg} \frac{\varphi}{2}$$

الفصل ١٢

أ- (١٢ - ٢) $\alpha = Cl$ ، $\varepsilon = A / \sqrt{F}$ (ثابتان C و A)

$$F = F_0 \exp (- 2 KL)$$

ومنه

$$\left(B \text{ ثابتة} \right) \quad \frac{\varepsilon}{\alpha} = B \frac{\exp (Kl)}{l}$$

الحد الأدنى من أجل $l K \exp (Kl) - \exp (Kl) = 0$ ومنه $l = 1/K$

ب- (١٢ - ٣) الحالة الأولى : ان الدورانين الناجمين عن α يتعادلان :

$$\theta_1 = 0$$

الحالة الثانية : ان اختراق q مرتين يعادل اختراق صفيحة نصف موجية ،

$$\theta_2 = \frac{\pi}{2}$$

الحالة الثالثة : بالنسبة الى الملاحظ الكائن في A تكون الدورانات (في اتجاه اليسار) .

بعد الاختراق الأول لـ Q : $\alpha_1 = \alpha_0 e = 32,55 \text{ dg}$

بعد الاختراق المضاعف لـ q : $\frac{\pi}{2} - \alpha_1$

بعد الاختراق الثاني لـ Q : $\theta = \frac{\pi}{2} - 2 \alpha_1 = 24,9 \text{ dg}$

ج- (١٢ - ٣) يلاحظ هذب مركزي اسود ، يثبت في مكانه بواسطة انتقال قدره :

$$x_1 = - \frac{\alpha_1}{2 \alpha_0 \operatorname{tg} \varphi} = - 1,90 \text{ mm}$$

تفسير الإشارة - :

ينبغي تنقيط المؤشر G نحو اليمين للتعويض عن دوران يساري .

$$n_D - n_G = \frac{\alpha \lambda}{\pi e} = 2,3 \cdot 10^{-5} [3,12] \quad (12-1)$$

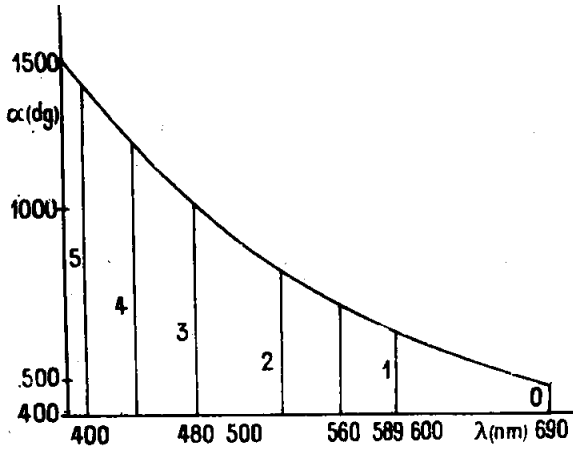
$$\sin i = n \sin \frac{\varphi}{2} \quad \text{مع} \quad \varepsilon = 2 \frac{n_D - n_G}{n_0} \operatorname{tg} i$$

$$\varepsilon = 1,3 \cdot 10^{-4} \text{ rd} \simeq 26''$$

٨- (12-5) نرسم بـ θ زاوية A مع P ، $\alpha = \alpha_0 e$ الدوران ،

فيكون :

690	589	560	480	400 = λ (nm)
471	651	723	990	1515 = α (dg)



١- . - يحصل انطفاء من أجل $\alpha = \theta + (2k + 1) \times 90^\circ$ (حيث k هو

عدد صحيح) وخاصة من أجل $\alpha_0 = 471^\circ$ ، إذاً يحصل أيضاً من أجل

$\alpha = \alpha_0 + p \times 180^\circ$ (حيث p عدد صحيح) ، ومنه هـ تقلبات إضافية

($\alpha = 651, 831, 1011, 1191, 1371$ درجة) يمكن المخطط الوارد من تعيين امكنتها .

٢. - تطفأ بالتدريج الاشعاعات التي تكون α بالنسبة اليها اكبر فأكبر ، والكوارتز يميني .

$$\text{و- (١٢-٦ ب) } \frac{b}{a} = \frac{\sqrt{\tau_G} - \sqrt{\tau_D}}{\sqrt{\tau_G} + \sqrt{\tau_D}} = 0.033 \quad \text{١. -}$$

والدوران في الجهة التي يكون فيها الامتصاص هو الأضعف = أي يساري .

$$\text{٢. - [٣٤١٢] } n_D - n_G = -\frac{\lambda}{e} \frac{\alpha}{\pi} = -78.10^{-6}$$

$$\text{ز- (١٢-٧) } \quad \text{١. - تعطى [٩٤١٢]}$$

$$\tau_1 = \frac{[\alpha] - [\alpha_2]}{[\alpha_1] - [\alpha_2]} = \frac{MA_2}{A_1A_2} = \frac{H'A'_2}{A'_1A'_1}$$

٢. - تدل العلاقة السابقة على أنه في جميع المزايع المعمولة من نفس الجسمين الصافين ، فان المستقيمت مثل MM' تمر من نقطة تلاقي $A_1A'_1$ و $A_2A'_2$ ؛ وهذه النقطة هي التي تقاطع فيها MM' ، NN' ، PP' الخ (ولكن معرفتها لا تكفي لتعيين قوة الدوران للمركبتين المشتركين .

٣. - نأخذ خليطاً من مادتين متعاكستين ضوئياً ، فبالنسبة الى طول

الموجة λ

$$[\alpha] = [\alpha_1] \tau - [\alpha_2] (1-\tau) = (2\tau - 1) [\alpha_1]$$

تتغير مع τ .

وبالنسبة الى طول موجة آخر λ'

$$[\alpha'] = (2\pi - 1) [\alpha_1']$$

$$\frac{[\alpha]}{[\alpha']} = \frac{[\alpha_1]}{[\alpha_1']} \quad \text{ومنه}$$

إن هذه النسبة يمكن أن تميز النوع الكيميائي المدروس (يلاحظ مع ذلك ان القيمة λ^0/λ^2 هي نفسها في جميع الاجسام التي تحقق قانون التبدد . ([١٢، ٤])

ج - (١٢ - ١٥) $\alpha = \rho B l$ و $B = \mu_0 n I$ ، $\mu_0 = 4\pi \cdot 10^{-7} \text{Wb/A.m}$ ومنه

$$I = \frac{\alpha}{\mu_0 N I l} = 61,4 \text{A}$$

واذا عكسنا التيار ، تتغير جهة الدوران .

ط - (١٢ - ١٥) من أجل مسير ds وفقاً للمحور يكون

$$d\alpha = \rho \mu_0 H ds$$

نستنتج من الصيغة [١٧، ٩] في الجزء ٦ : $\int H ds = NI$ (على طول خط مغلق من الحل) .
ومنه :

$$\alpha = \rho \mu_0 NI$$

ي - (١٢ - ١٦ و ١٢ - ٤) بوحدات مترابطة :

$$(n_D - n_G) = \frac{\rho B \lambda}{\pi} = 24 \cdot 10^{-6}$$

الفصل ١٣

أ - (١٣ - ٤) $T = \frac{2}{3k} eV$ ، حيث k هي ثابتة بولتزمان و e

شحنة الالكترون . فحصل على القيم الآتية :

Na من اجل 16300°K و Li من اجل 14300°K

ب - (١٣ - ٦) اذا كان L_{λ} لمعان الجسم الاسود في الدرجة T° بالنسبة الى طول الموجة λ ، فان A' يتلقى ويمتص ، في وحدة السطح ، $\pi \alpha_{\lambda} L_{\lambda}$ ، و B' يتلقى πL_{λ} ويمتص $\pi \alpha_{\lambda} L_{\lambda}$ و I يبقى ساكناً .

ج - (١٣ - ٦) في درجة حرارة اللهب ، ومن اجل طول الموجة λ (غير مذكور في الرموز) ليكن L اللعان الطاقي للجسم ، و $l(x)$ لمعان ثخن x من اللهب ، و adx عامل الامتصاص في الثخن dx . فعندما يزيد x ، يزداد l :

$$dl = L \alpha dx - l \alpha dx$$

$$\ln \left(1 - \frac{1}{2} \right) = - \alpha x ، l = 0 ، x = 0 \text{ من اجل}$$

وعندما يزداد x الى ما لا نهاية يتجه l نحو L .

د - (١٣ - ٨) يتألف الضوء الملاحظ من اهتزازتين عددهما الموجيان

$$d\sigma \pm \sigma ، \text{ و } [3, 13] \text{ cm}^{-1} ، d\sigma = 0,934$$

تحتفي حلقات نيوتن من اجل

$$2e = \frac{k}{\sigma - d\sigma} = \frac{k + \frac{1}{2}}{\sigma + d\sigma} = \frac{1}{4d\sigma}$$

ومنه

$$e = 1,33 \text{ mm}$$

$$v = \frac{c \Delta \nu}{2\nu} = 360 \text{ km/h} \quad \text{ـ (١٣ - ٩)}$$

$$v = c \frac{\lambda_2 - \lambda_1}{\lambda_1} = 363 \text{ km/s} \quad \text{ـ (١٣ - ٩)}$$

ز - (١٣ - ١٠) عندما تتغير x بمقدار dx ، تتغير I بمقدار dI و N بمقدار dN ، بحيث يكون : $\frac{dI}{I} = \frac{dN}{N}$ او $\frac{dt}{\tau} = -2Kv dt$ باعتبار v هي السرعة المحسوبة في التمرين (١٣ - و) ومنه

$$\tau = \frac{1}{2Kv} = 2,0 \cdot 10^{-8} \text{ s}$$

ووفقاً لـ [١٣، ٦] يكون نصف العرض الطيفي :

$$\Delta \lambda = \frac{\lambda^2}{2c\tau} = 2 \cdot 10^{-14} \text{ m} = 0,2 \text{ m \AA}$$

الفصل ١٤

أ - (١٤ - ٣)

$$\lambda_0 = \frac{1}{T_0} = 2299 \text{ \AA} \text{ و } T_0 = \frac{eV_i}{he} = 43487 \text{ cm}^{-1} \text{ - ١. ٠}$$

$$T_1 = T_0 - \frac{e}{hc} V_1 = 28567 \text{ cm}^{-1} \text{ - ٢. ٠}$$

ولكن اذا كانت V_1 ليست معروفة الا بتقريب او ارباب قدره $\pm 0,005 V$ فان الارتياب في T_1 يكون في حدود 4000 cm^{-1} ، بينما ان الطرائق ذات الكشف الدوراني (الاستروبوسكوبية) يمكن ان تعطي دقة في حدود بضعة cm^{-1} .

$$\lambda_1 = \frac{1}{T_0 - T_1} = 6710 \text{ \AA}$$

ب - (١٤ - ٤) ينتج من [١٤، ١٠]

$$\frac{1}{\lambda R} = \frac{1}{n^2} - \frac{1}{(n+1)^2} \simeq \frac{2}{n^3}$$

ج - (١٤ - ٤) تعطي الصيغة [١٤، ١٤] من اجل طاقات المناسيب

(او السويات) المتابعة :

$$\begin{array}{ccccccc} & & & & & & n \\ & & & & & 1 & 2 & 3 & 4 \\ W \text{ (eV)} & 13,60 & - & 3,40 & - & 1,51 & - & 0,85 \end{array}$$

يمكن للالكترونات ذات الـ $12,5 \text{ eV}$ ان تثير الذرة حتى السوية ٣ . ومنها بواسطة ازالة الاثارة ، الانتقالات : $3 \rightarrow 2$ و $3 \rightarrow 1$ و $2 \rightarrow 1$ ، التي تعطي بالترتيب الخطوط الطيفية $(H\alpha)$ 6563 \AA و 1026 \AA و 1216 \AA (خطان اولان للاميان) اما الالكترونات ذوات الـ 14 eV ، وهي طاقة اعلى من طاقة التأين ، فانها يمكن من اصدار كامل طيف الهيدروجين .

$$\text{د - (١٤ - ٥) ينتج من [١٥,١٤]}$$

$$F_c = \frac{e^2}{4 \pi \epsilon_0 r^2} = 0,82 \cdot 10^{-7} \text{ N}$$

$$F_g = G \frac{m_H m_e}{r^2} \text{ و } G = 6,7 \cdot 10^{-11}$$

$$m_e = \frac{m_H}{1836} \quad m_H = 1,67 \cdot 10^{-27} \text{ Kg}$$

$$F_g = 3,6 \cdot 10^{-47} \text{ N} \quad \text{مهمله ازاء } F_c$$

$$\text{ه - (١٤ - ٥) ان قوة كولون (الصيغة [١٥,١٤] هي هنا}$$

$$F' = - \frac{A'}{r^2} \text{ مع } A' = Z A \text{ (} Z = 2 \text{)}$$

$$\text{و اذا استبدلنا الصيغة [١٤,١٤] بـ [١٣,١٤]}$$

$$W'_n = - Z^2 W_n \text{ نجد [٢٢,١٤]}$$

ومنها بين العددين الموجبين σ و σ' للهيدروجين وللhelium العلاقة $\sigma' = 4 \sigma$. وطول الموجة المطلوب هو ربع طول موجة الخط $2 \rightarrow 1$ للهيدروجين أي

. 304 A°

و- (١٤ - ٥ - ٥) اذا كان σ_D و σ_H العددين الموجبين للخطين المبحوثين .

$$\Delta\sigma = \sigma_D - \sigma_H = \left(\frac{1}{4} - \frac{1}{9} \right) (\mathcal{R}_D - \mathcal{R}_H) = \frac{5}{36} \Delta\mathcal{R}$$

$$\left| \frac{\Delta\lambda}{\lambda} \right| = \left| \frac{\Delta\sigma}{\sigma} \right| = \frac{\Delta\mathcal{R}}{\mathcal{R}} = \frac{1}{2} \frac{1}{1836}$$

ومنه :

$$V_D - V_H = \frac{hc}{e} \Delta\mathcal{R} = 37.10^{-4} V , \quad \Delta\lambda = 1,8 A^\circ$$

ز- (١٤ - ١٤ و ٧ - ١٤) ينتج من [٣١ ، ١٤] و [٣٦ ، ١٣]

$$N = \theta \frac{dN}{dt} = 10^9$$

ج- (١٤ - ٧) اذا كان N' عدد الذرات الهاضجة ، فان العدد $N' - N$ للذرات غير الهاضجة يختلف قليلاً عن N ، لذلك ينتج من [٢٨ ، ١٤] .

$$N' = N \exp \left(- \frac{hc}{kT\lambda} \right)$$

وتعطي [٣١ ، ١٤] و [٣٦ ، ١٤]

$$nN = \frac{dN'}{dt} = \frac{N'}{\theta}$$

ومنه

$$\theta = \frac{1}{n} \exp \left(- \frac{hc}{kT\lambda} \right) \simeq 3.10^{-9} s$$

ط - (١٤ - ٩) ينتج من قاعدة الاصطفاء [١١، ١٤] أن T_1 هي حد P .

ي - (١٤ - ١٢) ان السويات لا تتضاعف ، وأما السوية $2P$ فتضاعف وينتج من ذلك ل λ_2 نفس التضاعف (في العدد الموجي) الذي ل λ_1 :

$$d\lambda_2 = d\lambda_1 \left(\frac{\lambda_2}{\lambda_1} \right)^2 = 0,224 \text{ \AA}$$

$$\lambda = \frac{hc}{eV} = 1,53 \text{ \AA} \quad \text{ك - (١٤ - ٢٠)}$$

ل - (١٤ - ٢١) [٦٩، ١٤] تعطينا طاقة السويات ؛ والطاقة V_e ينبغي أن تكون مساوية لطاقة الطبقة K . ومن أجل هذه يعطي القانون التقريبي [٦٣، ١٤]

$$V = \frac{hc}{e} R (Z-1)^2 \text{ ، ومنه } c=1$$

$$V = 10,6 \text{ KV} : \text{Cu} \text{ فنجد بالنسبة الى}$$

$$V = 22,6 \text{ KV} : \text{Mo} \text{ والى}$$

الفصل ١٥

$$\text{أ - (١٥ - ٤) عزم عطالة الجزيء } I = \mu r_0^2 \text{ ، مع}$$

$$\mathcal{N} = 6.10^{26} \text{ (M.K.S)} \quad \text{و} \quad \frac{1}{\mu} = \left(\frac{1}{Cl} + \frac{1}{H} \right) \mathcal{N}$$

$$\text{ومنه } I = 14,25.10^{-47} \text{ Kg/m}^2$$

ومن [١٧، ١٥]

$$\lambda_{01} = \frac{c}{\nu_{01}} = \frac{4 \pi^2 c I}{h} = 0,75 \text{ mm}$$

$$\lambda_{23} = \frac{\lambda_{01}}{3} = 0,25 \text{ mm} \text{ و } \lambda_{12} = \frac{\lambda_{01}}{2} = 0,37 \text{ mm}$$

$$k = 1,38.10^{-23} \text{ J. dg}^{-1} \text{ و } W = \frac{3}{4} kT \quad \text{ب - (١٥ - ٤)}$$

ومنه مع اخذ [١٧،١٥] بعين الاعتبار

$$T = \frac{2k}{3} \cdot \frac{4\pi^2 I}{h^2} = 110 \text{ }^\circ\text{K}$$

$$\text{ج - (١٥ - ٥) ينتج من [٢٨،١٥]}$$

$$\Delta W_v = \frac{3}{2} h \frac{\sigma}{c}$$

ومن [١٧،١٥]

$$\Delta W_r = \frac{h^2}{8\pi^2 I}$$

$$\frac{\Delta W_v}{\Delta W_r} = \frac{79,3.18^{-21}}{0,812.10^{-21}} = 97 \quad \text{وبستتج من ذلك}$$

$$\text{د (١٥ - ٥) ينتج من [٢٥،١٥] } \frac{\sigma}{\sigma'} = \sqrt{\frac{\mu'}{\mu}} \quad \text{باعتبار } \mu \text{ و } \mu'$$

الكتلتين المختزلتين للجزيئين

$$\frac{\mu}{\mu'} = \frac{35}{2} \times \frac{35 + 37}{35 \times 37} = \frac{36}{37}$$

ومنه

$$\sigma - \sigma' = 41,2 \text{ cm}^{-1} \text{ و } \sigma' = \frac{6 \times 2940,8}{\sqrt{37}} = 2899,6 \text{ cm}^{-1}$$

$$v = \sqrt{\frac{2e}{m}} V_1 = 4,16.10^{10} \text{ J} \quad \text{هـ (١٥ - ٨)}$$

$$T = \frac{2eV_1}{3k} \simeq 20000 \text{ K}$$

الفصل ١٦

أ- (١٦-٣) لما كانت $2 K/c$ ثابتة (مع أخذ العلم بالترتيب

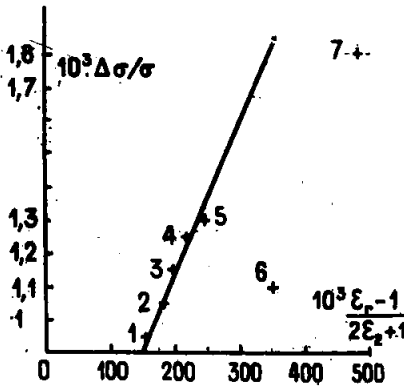
$$K' = \frac{K}{c} = 90 \text{ m}^2/\text{K cal molécule} \quad \text{في (c) فانه يمكن أن نكتب}$$

ب- (١٦-٣)

المذيب : C_2H_4O $C_4H_{10}O$ CS_2 C_7H_6 CCl_4 C_6H_{12} C_6H_{14}

$$10^3 \frac{\epsilon_r - 1}{2\epsilon_r + 1} : 186 \quad 204 \quad 223 \quad 238 \quad 260 \quad 345 \quad 469$$

نقطة المنحني : ١ ٢ ٣ ٤ ٥ ٦ ٧



وفقاً لما تبينه النقطتان ٧ و ٦ .

ان النظرية لا تعود صحيحة من اجل المذيبات القطبية الحاوية على الاكسجين (والتي يمكن أن يشكل معها الاستون صلات بواسطة الهيدروجين) .

ج- (١٦-٥) ابتداءً من

المعطيات ذوات الارقام ١ ، ٥ ، ٩ ، نجد :

$$n^2 = 2,330 - \frac{30631 \lambda^2}{(62,3)^2 - \lambda^2}$$

$$\alpha t = \frac{1}{n} - \frac{1}{n_0} \quad \text{د- (١٦-٧)}$$

$$n^2 = \frac{n_0^2}{2} \quad , \quad t = \tau \quad \text{من أجل}$$

ومنه :

$$\tau = \sqrt{\frac{A}{I_0 \alpha}} (\sqrt{2} - 1)$$

الفصل ١٧

أ - (١٧ - ٦) نصف قطر الشمس $R = 109 \times \frac{4 \cdot 10^7}{2\pi} \text{ m}$

وعلى حافة الشمس فوق خط الاستواء ، تكون السرعة (الشعاعية)

$$v = \frac{2\pi R}{27 \times 86400} = 1871 \text{ m/s}$$

$$\Delta \lambda = \frac{\lambda v}{c} = 3,74 \cdot 10^{-2} \text{ A}$$

وفي نقطة ترى من مركز الشمس على البعد r تكون السرعة الشعاعية والانتقال هما :

$$\frac{r}{R} \Delta \lambda \quad \text{و} \quad \frac{r}{R} v$$

إذا فالخطوط الطيفية تكون مائلة بزاوية α (راديان) بحيث ان

$$\alpha = 0,074 \text{ rd} \simeq 4^\circ, \quad \frac{0,25 \alpha}{2,97} = \frac{3,74 \cdot 10^{-2}}{6}$$

ب - (١٧ - ٧) ينتج من [٢٠١٧]

$$\log \left(\frac{D}{d} \right)^2 = \frac{2}{5} (M - m)$$

$$D = 700 \text{ mm}$$

ومنه

ج - (١٧ - ٨) لما كانت الكترونيات الغاز المتأين حرة ، فان الصيغة

[١٨٠١٢] تصبح

$$n^2 \pm 1 = \frac{Ne^2}{\epsilon_0 m \omega [\omega \mp (eB/m)]}$$

وبنتج من [٢٠،١٢] و [١٩،١٢] و [١٧،١٢] مع

$$n \approx 1 \text{ و } \lambda = \frac{2\pi c}{\omega}$$

$$\alpha = \frac{e^3 NBL}{2 \epsilon_0 e m^2 \omega^2} \simeq 3 \text{ rd}$$

د - (١٧ - ٩) من الفقرة ٤ - ١٦ في الجزء ٥ : $p = \frac{\lambda}{2 \Delta \lambda}$

ولكن $\bar{u} = 0,92 \sqrt{\frac{3RT}{M}}$ (الجزء ٢ ، الفقرة ١٢ - ٥) السرعة المتوسطة للغاز

$$\bar{u} = \frac{c}{p} \text{ (الفقرة ١٣ - ١ : ب) } 2 \Delta \lambda \simeq \lambda \frac{\bar{u}}{c}$$

$$T = \frac{M}{3R} \frac{c^2}{(0,92p)^2} = 4,2.10^4 \text{ K}$$

أ - (١٧ - ١٠) $R = \frac{E + (L \pi \alpha^2/4)}{L \pi \alpha^2/4} = \frac{4E}{L \pi \alpha^2} + 1 : ١$

$$\frac{E}{L} = \frac{\pi \alpha^2 (R - 1)}{4} = 3,0.10^{-3} \text{ ومنه}$$

٢ . - من [٢٠،١٧] $2,12 + 14,3 = -2,5 \log E$ (بالوكس) E

$$E = 2,7.10^{-7} \text{ Lx} \text{ ومنه}$$

$$L = 9,0.10^{-5} \text{ cd/m}^2$$

الفصل ١٨

أ - (١٨ - ٤) ١ . - نعم : ان هذه المنابع هي مستقلة عن بعضها

بعضاً ، ويمكن بصورة خاصة ان نكتب : $t_1 = t_2 = \dots = t_n = 0$.
 ٢ - ينتج من [١١، ١٨] ان O' الذي يرى في اللحظة صفر البرق الصادر من O ، يرى البرق الصادر من z_1 في اللحظة :

$$t'_1 = \alpha \left(t_1 - \frac{v}{c^2} z_1 \right) = \frac{\alpha z_1}{c^2 u} (c^2 - u v)$$

والصادر من z_2 في اللحظة t'_1 ، الخ ...

اذا كان $uv = c^2$ ، فان جميع البروق تُرى في لحظة واحدة من قبل O' ؛
 واذا كان $uv < c^2$ فانه يراها كمرقب في O ، بتواتر مختلف ، واذا كان $uv > c^2$ ، فان البروق تكون قد شوهدت في الماضي ابتداء من الطرف الموجب لـ oz وينتهي تتابعها في اللحظة صفر .

$$\text{ب - (١٨ - ٥) } \quad t = 4,0,8 = 5 \text{ (سنوات) ،}$$

$$t' = t \sqrt{1 - (v^2/c^2)} = 3 \text{ (سنوات) }$$

ج - (١٨ - ٥) ان الحوادث التي يراها المراقب الساكن في آن واحد ($\Delta t = 0$) تبدو منفصلة بفواصل زمني قدره $\Delta t'$ يعطى بالعلاقة [١٨، ١٨] اذا كان المراقب يتنقل في الاستقامة z . ولما كان $v \ll c$ ، فان

$$\Delta t' \simeq - \frac{v}{c} \cdot \frac{\Delta z}{c}$$

$$\frac{v}{c} = 4,63.10^{-9} \text{ و } \frac{\Delta z}{c} = 8,76.10^9 \text{ مع}$$

$$\Delta t' \simeq 40 \text{ ساعة}$$

د - (١٨ - ٥) ان الصيغة [٢٠، ١٨] تكتب وفقاً للدلالات الرمزية
 لنطوق المسألة :

$$v_2 = \frac{v_2 + w}{1 + (v_2 w/c^2)} = \frac{w - v_1}{1 - (u_1 w/c^2)}$$

ومنه

$$\frac{w}{c} = \frac{2 v_1}{1 + u_1^2/c^2} = 0,99995$$

٥- (١٨-٦) إذا كانت v قيمة التواتر على الارض ، و v' التواتر

الظاهري ، و v سرعة الابتعاد عن السديم . فانه ينتج من [٢٥،١٨]

$$v' = \frac{v}{\sqrt{1-\beta^2}} \left(1 - \frac{v}{c}\right)$$

ومنه ، اذا اهلنا β^2

$$v = c \frac{v - v'}{v} = \frac{20}{4340} c = 1380 \text{ Km/s } (> 0)$$

وان التقريب الذي 'عمل جائز لأن $\beta^2 \simeq 2,1.10^{-5}$

$$\text{و - (١٨-٧) بدلاً من } \frac{y^2}{x} = \frac{1}{2} \frac{q l^2}{m_0} \frac{B^2}{E} \text{ نكتب } A$$

(الصيغة [١٧،١٨] من الجزء ٦) فتكتب معادلة منحنى طمس

$$u = \frac{E}{B} \frac{y}{x} \text{ و } \beta = \frac{u}{c} \text{ مع } \frac{y^2}{x} = A \sqrt{1-\beta^2}$$

نستنتج من ذلك

$$\frac{y^2}{A^2} = x^2 - \frac{1}{c^2} \frac{E^2}{B^2} y^2$$

وهي معادلة منحنى من الدرجة الرابعة ، معادلة مستقيمة المماس له في المبدأ:

$$(y = 0 \text{ بدلاً من } 0) \quad y = c \frac{B}{E} x$$

ز - (١٨ - ٨) الطاقة التي تشعها الشمس في الدقيقة :

$$W/t = 2 \times 4,18 \times 4 \pi \times (15)^2 \cdot 10^{24} = 23,5 \cdot 10^{27} \text{ J/mn}$$

$$x = \frac{W}{t c^2} = 26 \cdot 10^{10} \text{ Kg/mn} \quad \text{ومنها}$$

ج - (١٨ - ٨) ينتج من [٣٣،١٨] ، [٣٤،١٨] ، [٢٨،١٨]

$$\frac{W^2 - U^2}{c^2} = (m^2 - m_0^2) c^2 = m^2 c^2 \left[1 - \left(1 - \frac{v^2}{c^2} \right) \right] = m^2 v^2$$

ط - (١٨ - ١١) في الجملة S' ، تكون مركبات الحقلين في P هي ،
وفقاً لـ : [٤٥،١٨] و [٤٦،١٨]

$$E'_y = E'_z = 0 \quad ، \quad E'_x = \frac{1}{\sqrt{1-\beta^2}} \frac{q}{a^2}$$

$$B'_y = -\mu_0 \epsilon_0 \frac{v}{\sqrt{1-\beta^2}} \frac{q}{a^2} \quad ، \quad B'_x = B'_z = 0$$

$$\vec{F}' = q \vec{E}' + q (\vec{v} \wedge \vec{B}')$$

$$F'_x = F'_y = 0$$

$$F'_z = \frac{q^2}{a^2 \sqrt{1-\beta^2}} (1 - \mu_0 \epsilon_0 v^2) = F_z \sqrt{1-\beta^2}$$

الفصل ١٩

أ - (١٩ - ٢)

$$p = \frac{h}{\lambda} = 1,3 \cdot 10^{-27} \text{ Kg.m.s}^{-1} \quad ، \quad m = \frac{h}{\lambda c} = 4,4 \cdot 10^{-36} \text{ Kg}$$

$$P_{H_2} = m v_m = 0,92 \sqrt{3 k T_m} = 5 \cdot 10^{-24} \text{ Kg.m.s}^{-1} \text{ في } 300 \text{ }^\circ\text{K}$$

$$\lambda'' = \frac{h}{p_{II}} = 1,3 \text{ \AA} \quad \lambda' = \frac{h}{m_0 c} = 0,024 \text{ \AA}$$

ب - (١٩ - ٢) نحسب v موجبة عندما نهرب المرآة امام الصدمة ؛
وليكن Δv تغيرها اثناء الصدمة . فن :

$$\frac{h}{c} (v + v') = M \Delta v$$

$$h (v - v') = \frac{M}{2} [(v + \Delta v)^2 - v^2] \simeq M v \Delta v \quad \text{و}$$

$$v' \simeq v \left(1 - 2 \frac{v}{c}\right) \quad \text{ومنه} \quad \frac{v - v'}{v + v'} = \frac{v}{c} \quad \text{نستخرج :}$$

ج - (١٩ - ٣) فلتكن v و v' مرعتي الالكترون (ذوي الكتلة m)
قبل اصدار الفوتون γ وبعده :

$$\frac{1}{2} m (v - v'^2) = h \gamma \quad \text{و} \quad m (v - v') = \frac{h \gamma}{c}$$

يفترض ذلك ان $v + v' = 2c$ ، وذلك مستحيل .

د - (١٩ - ٣) تتغير v اثناء الاصدار بـ

$$\Delta v = \frac{h \gamma}{Mc}$$

وتتغير الطاقة الحركية للمنبع بـ :

$$\Delta W_k \simeq M v \Delta v = \frac{h \gamma v}{c}$$

$$v' = v \left(1 - \frac{v}{c}\right) \quad \text{ومنه} \quad h \gamma = h \gamma' + \frac{h \gamma v}{c}$$

$$١ - (١٩ - ٣)$$

$$١ - . \quad m = \frac{h}{c \lambda} = m_0$$

$$٢ - . \quad \text{تعطي العلاقة [١١، ١٩] هنا}$$

$$\frac{\lambda}{\lambda_0} = \frac{v_0}{v} = 2 - \cos \varphi$$

$$W_k = h (v_0 - v) = h v_0 \frac{1 - \cos \varphi}{2 - \cos \varphi}$$

يستنتج من [٩، ١٩] و [١٠، ١٩] (بفرض φ و Φ من اشارتين متعاكستين)

$$\left| \operatorname{tg} \Phi \right| = \left| \frac{\sin \varphi}{(\nu_0/\nu) - \cos \varphi} \right| = \left| \frac{1}{2 \operatorname{tg} (\varphi/2)} \right|$$

و - (١٩ - ٥) لكي يكون هنالك ترابط ، ينبغي للارتباب Δx في وضع المرآتين ان يكون اصغر بكثير من طول الموجة λ . ومنه ارتباب في الدفع

$$\Delta p \simeq \frac{h}{\Delta x} \gg \frac{h}{\lambda}$$

هو كمية حركة الفوتون : وتلك تجربة غير ممكنة التحقيق .

الفصل ٢٠

$$١ - (٢٠ - ٥) \quad N = \frac{\mathcal{E} \lambda}{hc} = 3,2.10^{15}$$

$$[٢٢، ٤] \quad \lambda = \frac{\lambda^2}{\Delta \lambda} = \frac{c}{\Delta \nu} = 3.15^5 \text{ m}$$

٢ - . الاصدارية الطاقية في وحدة فاصلة طول الموجة

$$M_{\lambda}^* = \frac{\mathcal{E}}{\Sigma \Delta \lambda} \quad [٤١,٥]$$

$$\Sigma = \frac{\pi}{4} \cdot 10^{-6} \text{ m}^2 \quad \text{مع}$$

$$\Delta \lambda = \frac{\lambda^2}{c} \Delta \nu = 13,3 \cdot 10^{-19} \text{ m} \quad \text{و}$$

ومنه وفقاً لـ [٤٧,٥]

$$L_{\lambda}^* = \frac{M_{\lambda}^*}{\pi} = 3 \cdot 10^{21} \text{ W m}^{-3} \text{ sd}^{-1}$$

$$\exp\left(\frac{hc}{\lambda T}\right) - 1 = \frac{2 \lambda c^2 \lambda^{-5}}{L_{\lambda}^*} \quad \text{ومن}$$

$$T = 5,85 \cdot 10^9 \text{ K} \quad \text{يستنتج}$$

ب - (٢٠ - ١٠) ١ - يستنتج من الصيغة [١٢,١٥] من الجزء ٤

$$\rho = f \frac{1,22 \lambda}{D} = 8,5 \cdot 10^{-4} \text{ cm}$$

٢ -

$$Q_1 = \frac{2}{3} \pi \cdot 10^{-6} \times 7,83 (1510 \times 0,11 + 10) \times 4,18 \simeq 1,2 \cdot 10^{-2} \text{ J}$$

$$Q = 0,75 \times 0,3 \times 0,1 = 2,25 \cdot 10^{-2} \text{ J}$$

نختار الصفحة منذ اول صدمة .

ج - (٢٠ - ١١)

$$\alpha \simeq 1,22 \frac{\lambda}{D} = 2,83 \cdot 10^{-4} \text{ rd} \quad \text{١ -}$$

$$L^* = \frac{4\mathcal{E}}{\pi^2 D^2 \alpha^2} = 2,26.10^{14} \text{ W.m}^{-2} \text{ rd}^{-1}$$

— ٢ .

$$W = \frac{\mathcal{E}}{\pi r^2 c} = 1,33.10^4 \text{ W/m}^2 \text{ و } r = f\alpha = 5,66 \mu \text{ m}$$

ومنه (الصيغة [١٧،٩] في الجزء الرابع

$$E = \sqrt{\frac{w}{\epsilon_0}} = 3,9.10^7 \text{ V/m}$$



اللوحات

تفسير أشكال اللوحات^(١) من ١ إلى ١٠

اللوحة I

الشكل ٦ - ١ . - تأثير التباين المتواقت (بحجب الحلقة الصفراء أو الزرقاء التي تحيط بها ، يلاحظ أن الدوائر الحمراء من الشكل ٦ - ١ - أ متماثلة ، وكذلك الدوائر الخضراء من الشكل ٦ - ١ - ب) .
الشكل ٦ - ١١ . - مظهر الرقاع في الشكل ٦ - ١٠ ، المنظمة لاعطاء اللون الأبيض بالتركييب الجمعي من الأحمر والأخضر والأزرق - البنفسجي .
الشكل ٦ - ١٤ . - اعادة نشر لوحة من « أطلس الدكتور بولاك D. Polack لفحص رؤية الألوان » فالدلتونيون من نموذج دالتون لا يميزون سوى الحرف D ، والذين من زمرة ناجل Nagel لا يميزون سوى الحرف N .

اللوحة II

الشكل ٦ - ٢٢ . - ان الانتاج الملون للشكل ١٧ - ه يحصل عليه بتنضيد تغيرات من لون ماجنتا Magentas (أ) واصفر (ب) و Cyan (ج) .
والشكل ٦ - ٢٢ (د) ينتج من تنضيد (أ) و (ب) ؛ و ٦ - ٢٢ (هـ) ينتج من تنضيد (ب) و (ج) .
الشكل ١٧ - هـ . - الطيف الشمسي ، خطوط فراونهوفر Fraunhofer .

اللوحة III

الشكل ١٠ - ١١ . - صورة شمسية من خلال ضبابية خفيفة .
أ (ضوء مرئي ، ب) ضوء تحت الأحمر .

اللوحة IV

الشكل ١٠ - ١٣ . - طيف الزئبق (P) الملاحظ :
a (مباشرة ، b) بالانتثار في الهواء (مدة العرض مزيدة جداً) .

(١) الحرفان (N) او (P) يشيران بالترتيب الى رسوم سالب او موجب .

- الشكل ١٠ - ١٤ . مقارنة الشدات المنتثرة في H_2 ، في الهواء وفي CO_2 .
 الشكل ١١ - ٢٧ أ - مثال للخطوط المتساوية الميل .
 الشكل ١١ - ٢٧ ب - مثال للخطوط المتساوية الميل .
 الشكل ١٢ - ١٨ . شكل التداخل للكوارتز (صفيحة مستوية متوازية
 ناظمية على المحور الضوئي في الضوء المتقارب) بين نيكولين متصالبين .

اللوحة V

- الشكل ١٣ - ٤ . طيف الهيدروجين (انقراغ مكثفة (N)) .
 الشكل ١٣ - ٥ . طيف الهيدروجين (تبيج معتدل) (N) .
 الشكل ١٣ - ٦ . طيف الآزوت (تبيج معتدل) (N) .
 الشكل ١٣ - ٧ . طيف الآزوت (تبيج شديد) (N) .
 الشكل ١٣ - ٨ . طيف المغنيزيوم (N) .
 أ) قوس بين مسريين من المعدن ، ب) شرارات بين مسريين من المعدن ، ج) شريط
 من المعدن في لهب .
 الشكل ١٣ - ١٠ . طيف امتصاص NO_2 (N) .
 الشكل ١٣ - ١٨ . ابضاح مفعول زئبق دون مقياس للطيف (P) .
 الشكل ١٣ - ٢٤ . تحليل الخط H_α للهيدروجين بفعل ستارك (N) .
 الشكل ١٤ - ٣ . طيف الاصدار للهيدروجين (H_α) ولالديتوريوم (D) .

اللوحة VI

- الشكل ١١ - ١٨ . تلونية بلورة من ملح الاوروبيوم (N) .
 الشكل ١٤ - ٤ . طيف اصدار الصوديوم : السلسلة الاصلية المسيطرة (N) .
 الشكل ١٤ - ٥ . طيف اصدار الصوديوم : سلسلة صيغة $S =$ ، سلسلة
 منتشرة $d =$ (N) .
 الشكل ١٤ - ٦ . طيف امتصاص الصوديوم (N) .
 الشكل ١٤ - ٨ . طيف اصدار الزئبق في المرئي وما فوق البنفسجي (N) .
 الشكل ١٦ - ١٢ . طيف الامتصاص لكأور الأوروبيوم (P) .

اللوحة VII

- الشكل ١٤ - ٢٩ . مزدوجات من السلسلة الضيقة (S) ومن السلسلة المنتثرة
 (d) للبروتاسيوم (N) .

- الشكل ١٤ - ٣٠ . - بعد المزدوجات عن الخط الاول من السلسلة الاساسية
 • للقلويات (P)
 الشكل ١٤ - ٣٨ . - ثلاثية من السلاسل الضيقة (S) والمنتشرة (d) من
 النوتياء (N)
 الشكل ١٤ - ٥٢ . - بنية مفرطة الدقة للخط 2537 \AA للزئبق (حلقات فابري
 وبير)
 أ (مجموعة المركبات (الحروف المقابلة للتي في الشكل ١٤ - ٥٤)
 ب (بعد عزل احدى المركبات .
 الشكل ١٤ - ٦٢ . - البحث عن الكاديوم في نموذج من التوتياء بطيف
 الاصدار (P)
 1, 2, 3 = خطوط الكاديوم .

VIII اللوحة

- الشكل ١٤ - ٥٨ . - الانقطاع K لامتنصاص النحاس (N) ؛ بدل عليه السهم .
 الشكل ١٤ - ٦٠ . - الطيف X للتنغستين (N)
 الشكل ١٥ - ٣ . - طيف رامان لـ CCl_4 (N)
 الشكل ١٥ - ٦ . - طيف رامان HCl (الخط المثير هو 2536 \AA ، خط رامان
 مشار اليه بالحرف R ، خطوط الدوران مشار اليها بخطوط قائمة (N)
 الشكل ١٥ - ١٠ . - طيف الامتنصاص لجزيء اليود I_2
 الشكل ١٥ - ٢٥ . - طيف الامتنصاص الالكتروني للجزيء CO (N)

IX اللوحة

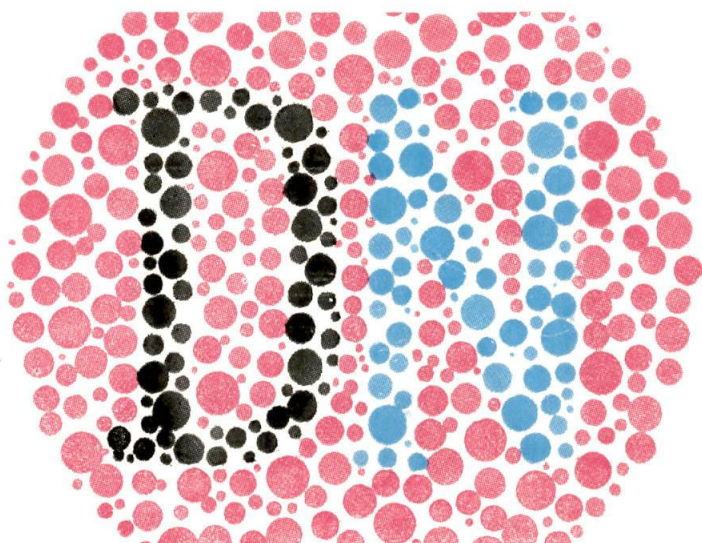
- الشكل ١٥ - ٧ . - طيف الاصدار لـ CN في البنفسجي وما فوق البنفسجي
 القريب (قدرة الفصل تزداد من a الى c (N)
 الشكل ١٥ - ١٦ . - طيف رامان لدوران الجزيء O_2 (N)
 الشكل ١٦ - ٢ - ٠ (N)
 أ (طيف الدوران النهائي لـ C_6H_6 الغازي ،
 ب (طيف السائل ،
 ج (طيف البلورة .
 الشكل ١٦ - ١٩ . - طيف اقارة البنزين

- ب (بخار ،
ج (جامد في الدرجة 0°C ،
د (جامد في الدرجة 180°C - مبيج بالضوء α) لقوس الزئبق (N) .

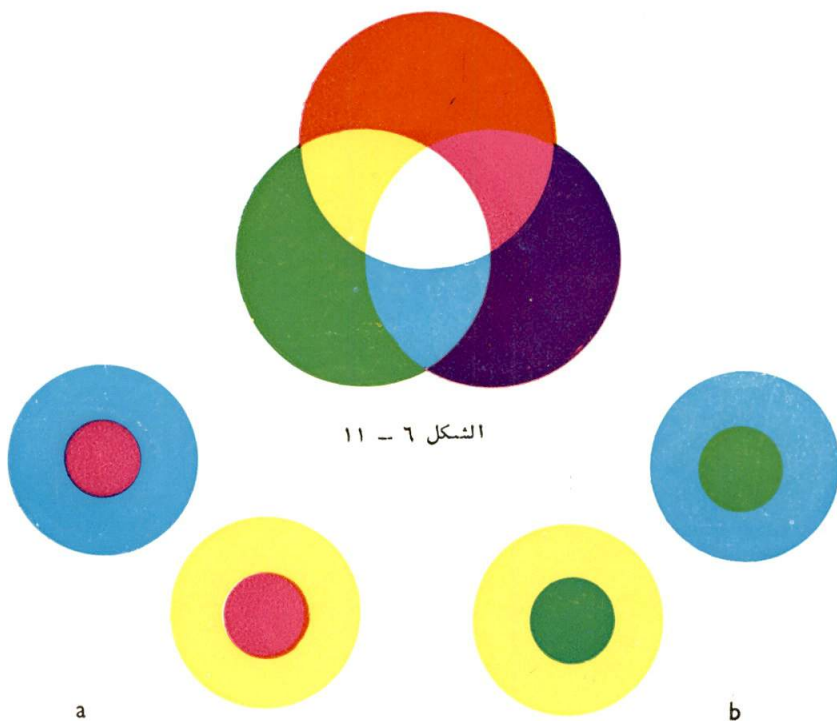
اللوحة X

- الشكل ١٦ - ١١ - طيف رامان لبلورة من الكسيت (N) .
الشكل ١٦ - ٥ - طيف امتصاص بخار الريديوم الممزوج بالارغون الغازي
بضغط متزايد من 1 الى 1000 Kg/cm^2 (P) .
الشكل ١٧ - ٤ - الطيوف الشمسية التي يحصل عليها في ارتفاعات مختلفة (N)
الشكل ١٧ - ٨ - الناذج الهامة للطيوف النجمية (N) .
الشكل ١٧ - ١٠ - السديم الحلقي للنسر الواقع (P) .
الشكل ١٧ - ١١ - طيف السديم الحلقي للنسر الواقع (كاشف للطيف ذو شق
واسع (N) .
الشكل ١٧ - ١٢ - طيفا الضومين الواردين من الطرفين الشرقي والغربي للشمس.

اللوحة I



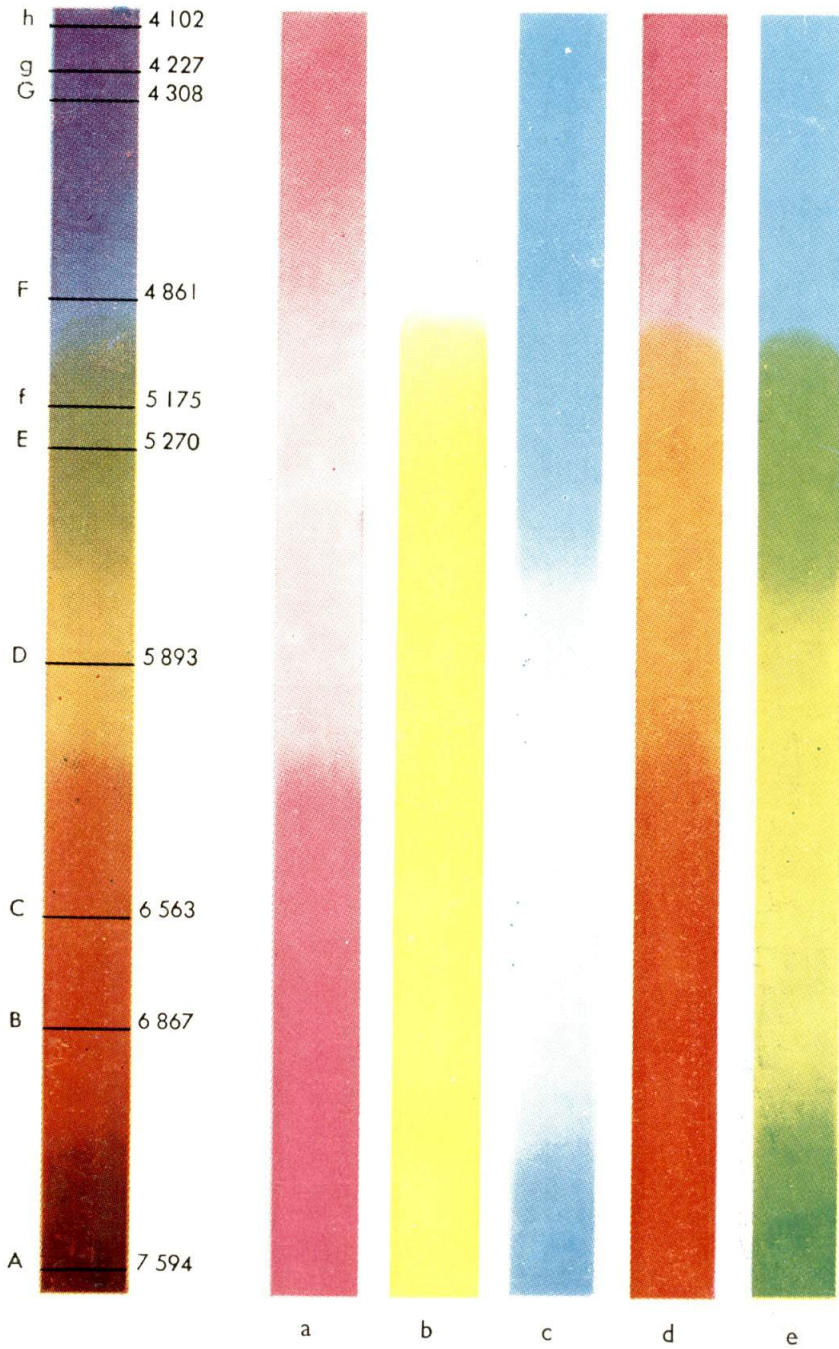
الشكل ٦ - ١٤



الشكل ٦ - ١١

الشكل ٦ - ١

اللوحة II



III اللوحة

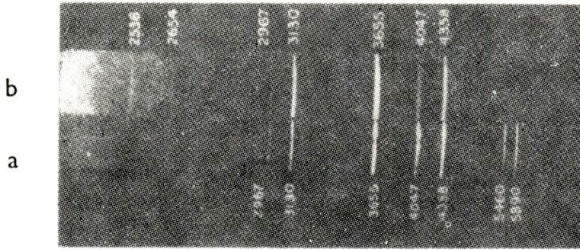


الشكل ١٠ - ١١ أ

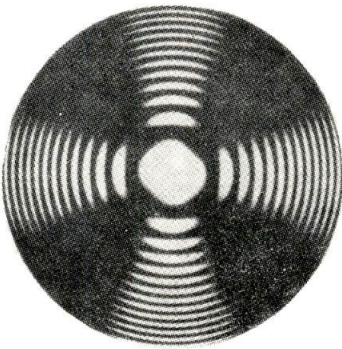


الشكل ١٠ - ١١ ب

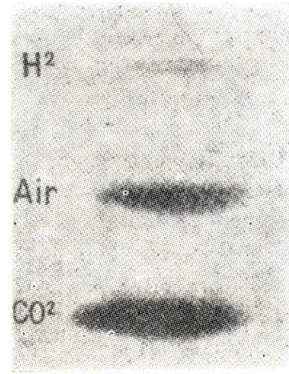
الوحدة IV



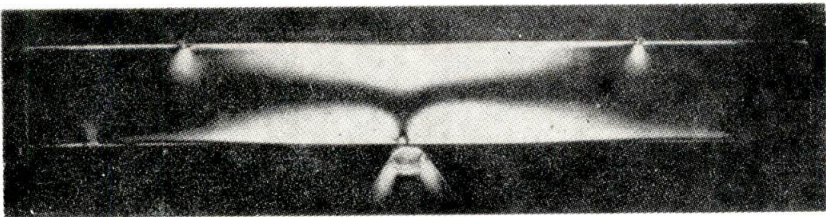
الشكل ١٠ - ١٣



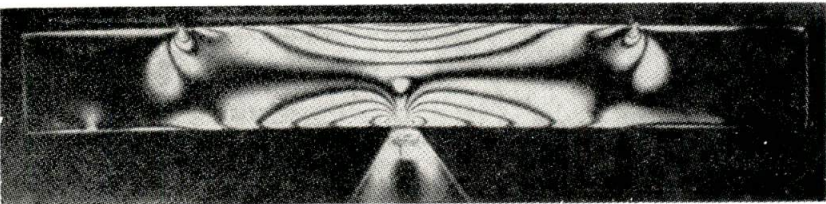
الشكل ١٢ - ١٨



الشكل ١٠ - ١٤

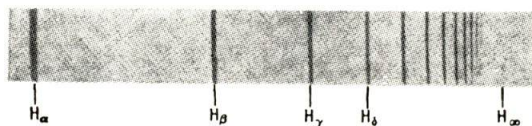


الشكل ٢٧ - ١١

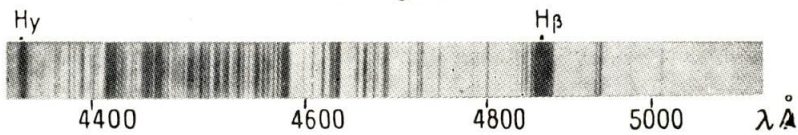


الشكل ٢٧ - ١١ ب

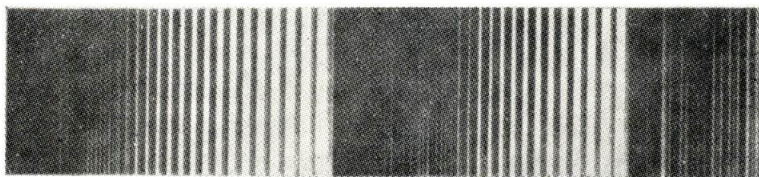
اللوحة V



الشكل ١٣ - ٤



الشكل ١٣ - ٥



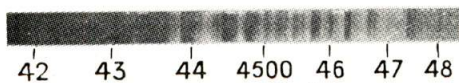
الشكل ١٣ - ٦



الشكل ١٣ - ٧



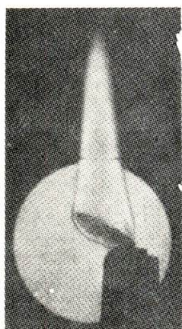
الشكل ١٣ - ٨



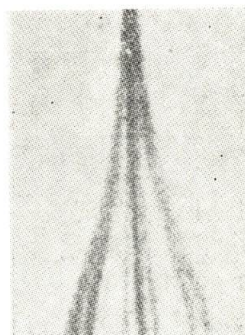
الشكل ١٣ - ١٠



الشكل ١٤ - ٣

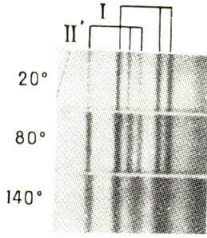


الشكل ١٣ - ١٨

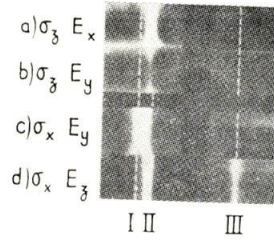


الشكل ١٣ - ٢٤

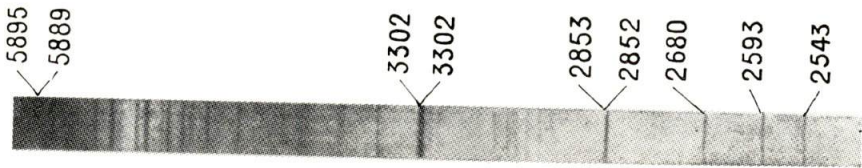
اللوحة VI



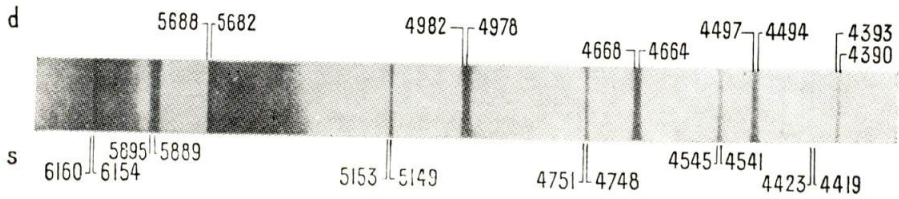
الشكل ١٦ - ١٢



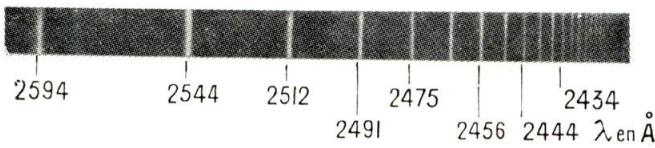
الشكل ١١ - ١٨



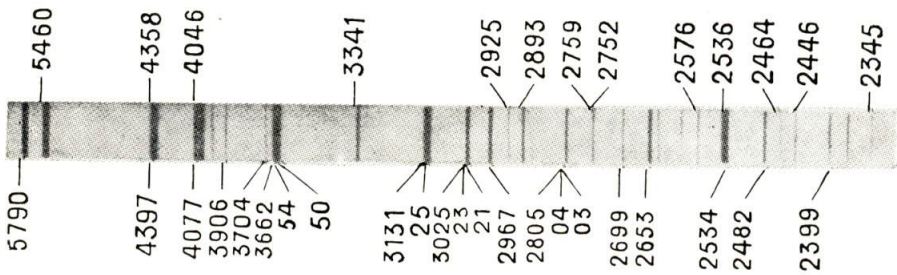
الشكل ١٤ - ٤



الشكل ١٤ - ٥

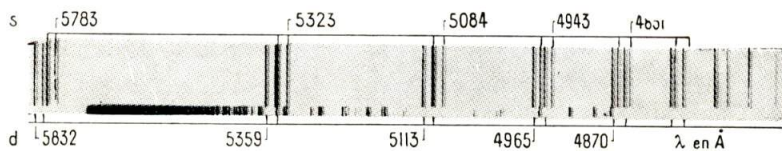


الشكل ١٤ - ٦

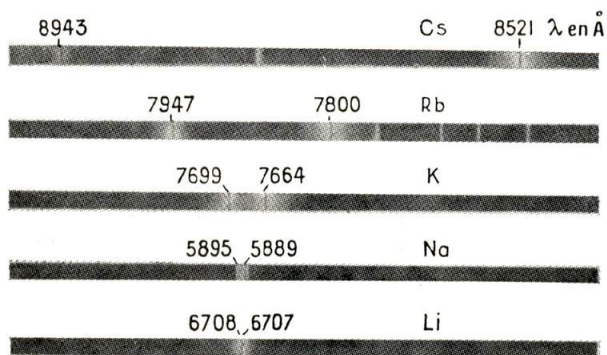


الشكل ١٤ - ٨

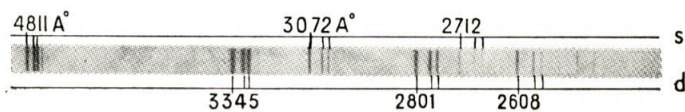
VII اللوحة



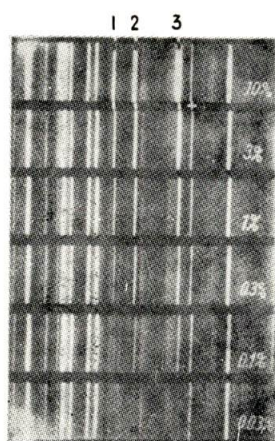
الشكل ١٤ - ٢٩



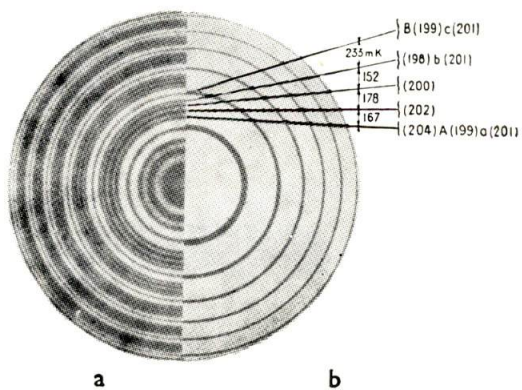
الشكل ١٤ - ٣٠



الشكل ١٤ - ٣٨

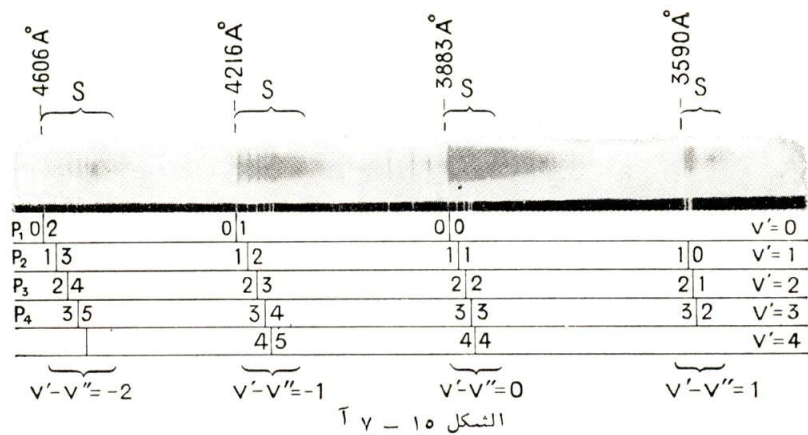


الشكل ١٤ - ٦٢

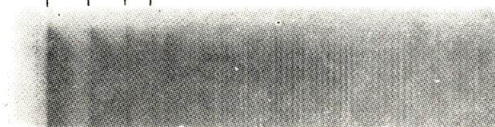


الشكل ١٤ - ٥٢

اللوحة IX



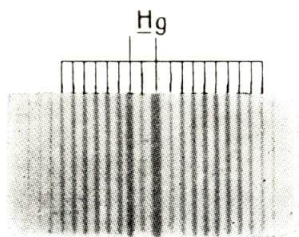
$\lambda_{en} \text{ Å}$
 3872 3861
 3883 3854



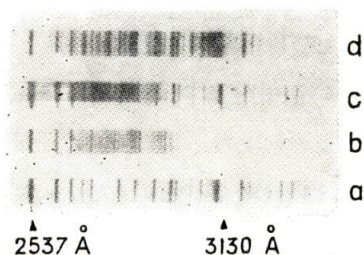
الشكل ١٥ - γ ب



الشكل ١٥ - γ ج



الشكل ١٥ - ١٦



الشكل ١٦ - ١٩



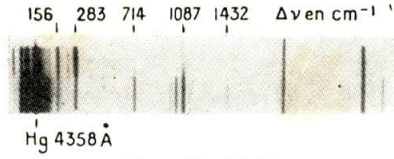
$Hg \text{ 4347 Å}$ $Hg \text{ 4358 Å}$
 الشكل ١٦ - ٢ $\bar{\gamma}$



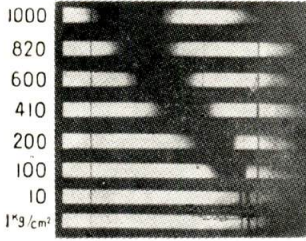
الشكل ١٦ - ٢ ب



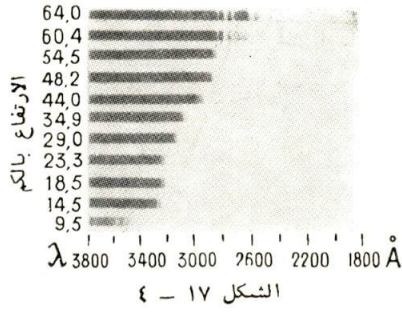
اللوحة X



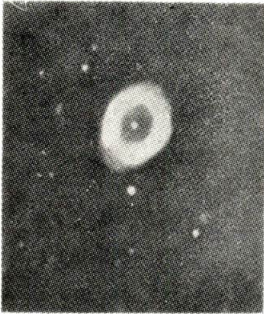
الشكل ١٦ - ١١



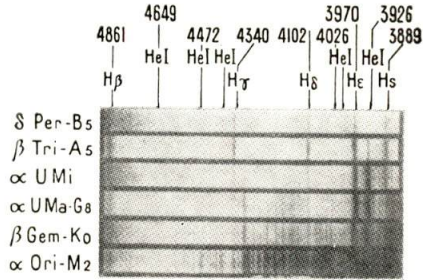
الشكل ١٦ - ٥



الشكل ١٧ - ٤



الشكل ١٧ - ١٠

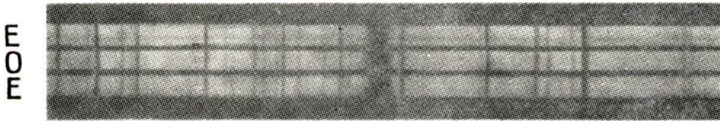


الشكل ١٧ - ٨



[O⁺] H_ε H_δ H_γ He⁺ H_β [O⁺⁺]

الشكل ١٧ - ١١



H_α

الشكل ١٧ - ١٢

المصطلحات العلمية

ملاحظة : تشير الارقام الي الفصول والفقرات لمراجعتها . أما فيما يتعلق بجميع الاجهزة أو التجارب أو القوانين أو الدعاوي ، المعروفة باسم عالم فيبحث عن اسم هذ العالم . مثلاً : فيزو (تجربة) .

— A —

ABBE (Réfractomètre d')	3-6	آبه (مقياس الانكسار ل)
Aberration des étoiles	2-3, 2-11, 18-6	زيبغ النجوم
ABRAHAM et LEMOINE (Expérience de)	11-16	ابراهيم ولوموان (تجربة)
Absorption	1-4, 15-12	امتصاص
— apparente	10-6	— ظاهري
— Atmospherique	17-3	— جو
— dipolaire électrique	4-15	— ثنائي الاقطاب الكهربائي
— dipolaire magnétique	4-15	— — — المغناطيسي
Activeurs	16-7	منشطات
Activité optique	12-1	فعالية ضوئية
AIRY (Expérience d')	2-11	ايري (تجربة)
— (Tache d')	4-4	— (بقعة)
AMICI (prisme d')	4-6	اميسي (منشور)
Analyse spectrale qualitative,		تحليل طيفي نوعي (كيمي)
— — quantitative	14-23	— — كمي
Analyseur circulaire	7-5	محلل دائري

Analyseur à pénombre	7-4	محلل ذو الظليل
— à 4 plages	7-6	— رباعي الرقاع
Anharmonicité	15-6	لا توافقية
Anisotropie optique	11-1	لا تماثل المناحي الضوئي
Année · lumière	2-2	سنة ضوئية
Antipodes optiques	12-3	الضدان الضوئيان
Arc électrique	13-2	قوس كهربائية
Arcs en ciel	17-2	أقواس قزح
ASKLASON (Expérience d')	2-7	اسكلاسون (تجربة)
Aassociations moléculaires	16-2	تجمعات جزيئية
Atlas de couleurs	6-1	اطلس الالوان
Atome d'helium	14-15	ذرة الهليوم
— d'hydrogène, hydrogéoïde	14-1	— الهيدروجين ، شبه الهيدروجين
— de sodium	14-2	— الصوديوم
AUGER (effet)	14-21	أوجع (فعل)
Aurore polaire	17-3	فجر قطبي
Autocollimateur (Spectroscope)	4-6,4-8	مجمع ذاتي (مطياف)
AVOGADRO (Nombre d')	10-9	افوغادرو (عدد)

— B —

BABINET (Compensateur de)	7-5	بابينه (مكافيء)
— (Goniomètre de)	8-1	— (مقياس الزوايا)
— (Théorème de)	10-6	— (دعوى)
BALMER (Formule de)	14-1	بالمر (صيغة)

BALMER (Série de)	13-8, 14-6	بالمير (سلسلة)
Banc photométrique	5-7	منضدة القياسات الضوئية
Bande d'absorption	9-1, 13-1, 15-2	عصابة امتصاص
— d'énergie d'un électron métallique	16-6	— طاقة الكترون معدني
— de Conduction	9-16	— توصيل
BECQUEREL (phosphoroscope de)	13-7	— بكريل (كاشف الفسفرة)
BEER (Loi de)	16-3	بير (قانون)
BERGSTRAND (dispositif de)	2-6	بيرغسترواند (جهاز)
BIOT (Loi de)	12-5, 12-7	بيو (قانون)
Biquartz	12-3	ثنائي الكوارتز
Biréfringence	11-5	انكسار مضاعف
— artificielle	11-10	— صناعي
— circulaire	12-4	— دائري
— — magnétique	12-16	— — مغناطيسي
— par compression	11-11	— بالضغط
— dynamique	11-14	— تحريكي
— électrique	11-16	— كهربائي
— elliptique	12-8	— اهليلجي
— par étirement	11-11	— بالشد (بالمط)
— magnétique	11-19	— مغناطيسي
— par orientation	11-17	— بالتوجيه
BOHR (Théorie de)	14-4	بور (نظرية)
Bolomètre	5-18	بولومتر
BRADLEY	2-3	برادلي

Branche acoustique	16-5	فرع صوتي
— optique	16-5	— ضوئي
— (d'un spectre)	15-2,15-8	— (طيف)
BRAVAIS (Compensateur)	7-3,7-5	برافي (مكافيء)
BREWSTER (Angle de)	8-2	بروستر (زاوية)
— (Formule de)	10-9	— صيغة
BRILLOUIN (Doublet de)	10-11	بريلوان (ثنائية)
BRIOT (Formule de)	9-2	بريو (صيغة)
BROCA-PELLIN (Prisme de)	4-6	بروكا-بللان (موشور)
Brouillard	10-6	ضباب
BENSEN (Photomètre de)	5-5	بنزن (مقياس الضوء لـ)

— C —

Candela	5-8	كانديلا (قنديلة)
CAUCHY (Formule de)	9-2	كوشي (صيغة)
Célérité (de la lumière)	2-1	سرعة (الضوء)
Cellule photoélectrique	5-20	خلية كهروضوئية
Centre de luminescence	16-7	مركز تألؤ
Champ dépolarisant	9-6	حقل مزيل للاستقطاب
— électromagnétique	18-9	— كهرومغناطيسي
— de gravitation	18-13	— الثقالة
Changement de longueur d'onde	16-17	تغير طول الموجة
Charge électrique	18-10	شحنة كهربائية
CHAULNES (Méthode du Duc de)	3-5	شولن (طريقة الدوق دو)
Chemin Optique	1-4	طريق (مسار) ضوئي

Chimiluminescence	13-1,17-11	تألق كيميائي
Chlorophylles	17-12	مخضروبات
Chocs désactivants	14-6	صدّات مزيلة للنشاط
— de deuxième espèce	14-6	— من النوع الثاني
CHRISTIANSEN (Expérience de)	9-13	كريستيانسن (تجربة)
Chromophore	15-12	حامل اللون
Chromosphère	17-6	الكرة اللونية
Ciel nocturne	17-10	ضياء السماء الليلي
Classification stellaire	17-8	تصنيف النجوم
CLAUSIUS-MOSSOTTI (Relation de)	9-6	كلوزيوس موسوتي (علاقة)
Coefficient d'absorption	1-4,5-11	عامل الامتصاص
— — apparente	5-12	— — الظاهري
— — massique	14-20	— — الكتلي
— — principal	11-9	— — الاصيلي
— — spécifique	16-3	— — النوعي
— — totale	5-12	— — الكلبي
— de finesse	4-9	— الدقة
Cœur de l'atome	14-9	قلب الذرة
Cohérence spatiale	20-5	التوابط المكاني
— temporelle	20-5	— الزمني
Collisions	13-10	اصطدامات
Comètes	17-6	مذنبات
Compensateurs	3-10,12-5	مكافئات

Complémentarité	19-4	تتام
Composition des vitesses	18-5	تركيب السرعات
COMPTON (Effet)	10-7,10-14,19-3	كمتن (فعل)
Conductivité électrique	1-4,8-13	ناقلية نوعية كهربائية
Constante d'amortissement	1-6	ثابتة التخماد
— d'écran	14-21	— الحائل
— optiques	8-15	ثوابت ضوئية
— de temps	13-7	— الزمن
Constringence	3-3	الحصر
Contraste simultané, successif	6-3	تباين متزامن ، متتالي
CURNU (Prisme de)	12-4	كورنو (موشور)
Corps orthotropes	5-12	اجسام موحدة المعان
— noir	5-8	جسم اسود
COTTON (Effet)	12-6	كوتون (فعل)
COTTON et MOUTON (Phénomène)	11-19	كوتون وموتون (ظاهرة)
Couches électroniques	1-7	طبقات الكترونية
— du passage	8-1	— العبور
Couleurs principales	11-9	ألوان أصلية
— du spectre	6-4	— الطيف
COULOMB (Force de)	18-11	كولون (قوة)
Couplage	14-13,14-15	التزاوج
— JJ.	14-16	— JJ.
— LS.	14-15	— LS.
Courbe de noircissement	5-9	منحنى الاسوداد
— de répartition spectrale	5-14	— التوزيع الطيفي

Cristal courbé	4-13	بلورة منحنية
— tournant	4-13	— دوار
Cristaux	10-11	بلورات
— optiquement actifs	12-8, 12-11	— فعالة ضوئياً
Cyanine	9-1	سيانين

— D —

Daltonisme	6-3	دلتونية
DEBYE et SCHERRER (Méthode de)	4-13	دوباي وشِرَر (طريقة)
Dégénérescence	14-8	انحلال
Degré de polarisation	7-7, 8-4, 8-7	درجة الاستقطاب
— saccharimétrique	12-7	— سكرية
Demi-largeur de raie spectrale	9-12	نصف عرض الخط الطيفي
Densité optique	5-19	كثافة ضوئية
Densitomètres	5-19	مقاييس الكثافة الضوئية
Dépolarisation de la lumière diffusée	11-2	زوال استقطاب الضوء المنتثر
DESLANDERS (Formule de)	15-2, 15-8	ديلاندر (صيغة)
Déviation des rayons dans un champ de gravitation	18-17	انحوايف الاشعة في حقل ثقلي
Diathermie	17-13	الانفاذ الحراري
Dichroïsme	6-18, 11-9	التلون
— circulaire	12-6	— الدائري
— circulaire magnétique	12-6	— — المغناطيسي
Diffuseur parfait	5-12	ناثر كامل (مشتت)
Diffusion atomosphérique	17-3	انتثار جوي (تشتت)

Diffusion moléculaire de la lumière	1-4, 10-7, 13-7	انتشار جزيئي للضوء
— des rayons X	10-13	— الأشعة السينية
Dilatation du temps	18-5	تمدد الزمن
Dipôle sinusoïdal	10-4	ذو القطبين الجيبي
Discontinuités d'absorption	14-20	انقطاعات الامتصاص
Dispersion	4-4	تبدد
— anormale, normale	9-1, 9-12	— شاذ ، نظامي
— de la biréfringence	11-8	— الانكسار المضاعف
— de réfraction	9-1	— الانكسار
— rotatoire	12-2, 12-5	— دوراني
— — magnétique	12-15	— — مغناطيسي
Dissymétrie moléculaire	12-9	لا تناظر جزيئي
DOPPLER (Effet)	10-11, 13-9, 17-9, 18-6, 19-3	دُبلر (فعل)
Doses erythémales	17-13	جرعات (حمامية) طفحية
— en roentgens	17-13	— بالروتجن
Doublets	14-22	ثنائيات
DRUD (Formule de)	12-5	درود (صيغة)
Durée de vie moyenne	14-7	الاجل المتوسط للحياة

— E —

EBERT-FASTIE (Montage d')	4-8	ابرت - فاستي (تركيبية)
Eclairagisme	17-14	الانارة (تقنية)
Eclairement	5-2	استنارة
Eclairs	17-4	بروق
Eclat Stellaire	17-7	سطوع نجمي

Ecrans diffusants	5-5	حواجز نافذة
Effet d'écran	14-9	فعل الحاجز
— photoélectrique	14-9	— كهروضوئي
Efficacité lumineuse	5-2	فعالية ضوئية
— relative	5-15	— نسبية
Electroluminescence	13-1, 16-7	تألق كهربائي
Electron opique	14-9	الكترون ضوئي
— de valance	1-7, 14-9	— تكافئي
— volts	1-7	— فولت
Ellipsoïde de polarisabilité	11-1	اهليج الاستقطابية الجسم
Emission stimulée	20-2	الاصدار المنار
Emittance	5-2	الاصدارية
Emulsion photographique	4-3	مستحلب تصويري (لوحة حساسة)
Energie cinétique	18-7	طاقة حركية
— de dissociation	15-5	— التفريق
— d'excitation	15-8	— التهيج
— d'ionisation	14-6	— التأين
— potentielle	15-5	الطاقة الكامنة
— — électronique	16-6	— — الالكترونية
— résiduelle	15-5	— المتبقية
— de vibration	15-5	طاقة الاهتزاز
Equation d'onde	1-3	معادلة الموجة
Etalon d'intensité lumineuse	5-8	معيان الشدة الضوئية
Erythème	17-13	طفح (حماما)

Espace de temps	18-4	المكان الزماني
Etalon primaire de longueurs d'onde	4-19	المعيار الاولي لأطوال الموجه
Etat condensé	16-1	حالة مكثفة
— stationnaires	14-4	— مستقرة
Etendue de faisceau	5-2	امتداد الحزمة
Ether	2-12	اثير
Etincelle	13-2	شرارة
Etoile filantes	17-4	الشهب
— variables	17-7	— المتغيرة
Excitation par chocs	13-4	التهييج بالصدمة
Excitons	16-6	اكسيتون
Extinction	1-4, 10-6	انطفاء

— F —

FABRY et PEROT	4-10, 4-18	فابري وبيرو
Facteur d'absorption	5-11	عامل الامتصاص
— de contraste	5-19	— التباين
— de dépolarisation	11-1	— زوال الاستقطاب
— de luminance	5-12, 5-22	— اللمعان
— de réflexion	5-11, 5-22, 8-1, 8-3, 8-4, 9-13	— الانعكاس
— de transmission	5-11, 5-22, 8-3	— النفوذ
Fantomes	4-8	اشباح
FERY (Prisme de)	4-12	فيري (موشور)
Filtre	5-4	مرشحة

Filtre neutre	9-19	مرشحة معتدلة
FIZEAU 2-4		فيزو
FIZEAU (Experience)	2-11,18-6	فيزو (تجربة)
Fluorescence	13-17,16-7	فلورة
— sensibilisée	15-11	— محسسة
Flux d'énergie	1-1, 5-22	تدفق الطاقة
— lumineux	5-2	— ضوئي
— monochromatique	5-14	— وحيد اللون
— spectral	5-14	— طيفي
Forces de valence	15-10	— قوى التكافؤ
Formules de dispersion	9-2	صيغ التبدد
FORTRAT (Parabole de)	15-2	فورترا (قطع مكافئ)
FOUCAULT (Expérience de)	2-5,2-10	فوكو (تجربة)
FOURIER (Série de)	4-17	فورييه (سلسلة)
— (Transformée de)	4-10	— (متحولة)
FRANCK et CONDON (hypotèse de)	15-8,15-11	فرانك وكوندون (فرضية)
Franges de superposition	4-19	اهداب الانطباق
FRAUNHOFER (Raies de)	14-23,17-6	فراونهوفر (خطوط)
Fréquence	1-1	تواتر
FRESNEL (Formle de)	8-6,7-7	فرينل (صيغة)
(parallélépipède de)	8-10	— (متوازي المستطيلات)
FROOME (Expérience de)	2-8	فروم (تجربة)
— G —		
Galaxie extérieure	17-8	مجرة خارجية

GALILEE (Référentiels de)	18-2	غاليله (جملتا المقارنة)
— (Transformation de)	18-2	— (تحويلة)
GATES (polarimètre de)	7-4	غيتس (مقياس الاستقطاب)
GEISSLER (Tube de)	13-2	غيسلر (انبوب)
Géodimètre	2-6	مقياس الارض
GLOBAL	1-8	غلوبار
GOLAY (Récepteur de)	4-3	غولي (مستقبل)
Goniomètre	3-4	مقياس الزوايا
Gradation de la lumière	5-4	تدرج الضوء
Grandeurs conjuguées	19-5	مقادير مترافقة
— énergétiques	5-17	— طاقة
GRASSMANN (Lois de)	6-2	كراسمان (قانون)
Gravitation	18-16	جاذبية - ثقالة
Guide d'onde	4-15	دليل الموجة
Gyrateurs	12-17	مدورات

— H —

Halos	17-2	هالات
HARTLEY (Bande de)	17-3	هرتلي (عصابة)
HERTZ (Dipole de)	1-6,10-8	هرتز (ثنائي الاقطاب ل)
— (Oscillateur de)	1-5	— هزاز
Hertzien	9-10	هرتزي
HURTER et DRIFFIELD (Courbes de)	5-19	هرتر ودريفييلد (منحنيات)
HUYGHENS (Construction d')	8-14	هويغنز (انشاء)

— I —

Immersion homogène	3-8,4-2	غمس متجانس
Incandescence	1-2,13-1,13-6	توهج
Incidence brewstérienne	8-2,8-8	الورود البروستري
— principale	8-12,8-15	— الاصيلي
Indicatrices de diffusion	5-12	أدلة الانتثار
Indice complexe	1-4	قربنة عقدية
— de couleur	17-7	— لونية
— d'extinction	1-4	— الانطفاء
— principaux des cristaux	11-4	— الاصلية للبلورات
— de réfraction	1-4	— الانكسار
— — absolu	3-1	— — المطلقة
— — complexe	8.13	— — العقدية
— — relatif	3-1	— — النسبية
Induction par déplacement	18-11	التحريض بالانتقال
Inertie de l'énergie	18-8	عطالة الطاقة
Infrarouge	9-9,15-2	ما تحت الاحمر
Intensité lumineuse	5-2	شدة ضوئية
— d'oscillateur	0-14	— المهتز (الهزاة)
— des raies d'absorption	15-4	— خطوط الامتصاص
Interaction spin orbite	14-13	فعل متبادل بين الاسيين والمدار
— vibration-rotation	15-6	— الاهتزاز والدوران
Invariant de réfraction	9-11	لا متحول الانكسار
Inverses optiques	12-3	الضدان الضوئيان

— J —

JAMIN (Miroirs de) 3-10 جامان (مرآة)

— K —

KERR (Cellule de) 11-16 كير (خلية)

— (constante de) 11-16 — (ثابتة)

— (effet) 2-6 — (فعل)

KIRCHHOFF (Loi de) 12-16,13-6 كرشوف (قانون)

— (Règle qualitative) 13-6 — (قاعدة وصفية)

Krypton 4-19 كريبتون

KUHN (Modele de) 12-13 كون (نموذج)

— L —

Lame $\frac{1}{4}$ d'onde 7-5 صفيحة ربع موجية

— $\frac{1}{2}$ onde 7-4 — $\frac{1}{4}$ موجية

Laser 20-1 ليزر

LANDÉ (Factur de) 14-13,14-16 لاندé (عامل)

Largeur des raies spectrales 4-16,13-10 عرض الخطوط الطيفية

LARMOR (Précession de) 14-13 لارمور (تقهر - مبادرة)

Liaisons par l'hydrogène 16-2 الربط بالهدروجين

Lignes isochromatique 11-12 الخطوط المتماثلة اللون

— isoclines 11-12 — متساوية الميل

— d'univers 18-4 — الكونية

LIPPICH (Analyseur de) 7-4 ليبش (محلل)

Liquides anisotropes 11-6 موانع غير متماثلة المناحي

LITTROW (Montage de) 4-8 تركيبة لتروف

LLOYD (Miroir de)	8-2	مرآة (لويد)
LORENTZ Transformation cinématique de)	18-4	لورنتز (تحويلة حركية)
— (Forces de)	18-11	— (قوى)
— LORENZ (Relation de)	9-6	— لورنتز (علاقة)
— FITZGERALD (Contraction de)	2-12, 18-3, 18-5	— فيتزجيرالد (تقلص)
Loupe dichroscopique	11-9	مكبسة كاشفة لتعدد اللون
Lumen	5-3	لومن
Lumière blanche	4-17, 6-4	ضوء ابيض
— cendrée	17-6	— رمادي
— complexe	1-1, 6-4	— مركب
— crépusculaire	17-3	— غسقي
— hétérochromes	5-1	— مختلف الالوان
— monochromatique	1-1, 6-4	— وحيد اللون
— partiellement polarisée	7-7	— مستقطب جزئياً
— pourpres	6-4	— ارجواني
— simples	1-1, 6-4	— بسيط
— solaire	17-6	— شمسي
— zodiacale	17-3	— بروجي
Luminance	5-3, 5-2	لمعان
Luminancemètre	5-10	مقياس اللمعان (مللماع)
Luminescence	1-2, 13-1	تألؤ
Luminosité	4-11	نورانية ، نالتق .
LUMMER et BRODHUN (Cube de)	5-5	لومر وبرودهان (مكعب)

Luxmètre	5-10	مقياس الاستنارة (منوار)
LYOT (Filtre à polarisation de)	4-2, 17-6	ليوت (مرشحة استقطابية)
— (Coronographe de)	17-6	— مصورة التاج

— M —

Macromolécules	10-12, 11-14	الجزيئات الجهرية
Magnétude	17-7	العِظَم
MALUS (Loi de)	5-4, 7-4	مالوس (قانون)
Masse (Relativité de la)	18-7	الكتلة (نسبة)
MAXWELL (Equation de)	18-9	مكسويل (معادلة)
— (Relation de)	9-3	— (علاقة)
Mécanique quantique	1-5	ميكانيك كمي
MENDELIEFF (Classification de)	1-7	ماندلييف (تصنيف)
Méthode d'isolement focal	4-14	طريقة العزل المحرق
— du miroir tournant	2-5	— المرآة الدائرة
— d'ombres	3-11	— الظلال
— de papillotment	5-13	— الرجفان
— des rayons restants	4-14	— الاشعة الباقية (المتخلفة)
— de la roue dntée	2-4	— الدولاب المسنن
Mètre étalon	4-19	المتر المعياري
MICHELSON (Interféromètre de)	3-10, 4-10, 4-19	ميشكسون (مقياس التداخل)
— (Mesure de c par)	2-5, 2-10	— (طريقة قياس c من قبل)
— et MORLEY (Expérience de)	2-12, 18-2	— ومورلي (تجربة)
Microphotomètre	5-19	مقياس الضوء الدقيق

Milieux condensés	10-10	الامساط المكثفة
Minimum de déviation	3-4	الانحراف الاصغر
Modèle vectoriel d'atome	14-15, 14-16	النموذج المتجه الذرة
Molécule diatomique	15-3	الجزء الثنائي الذرة
— linéaire	15-10	— الخطي
Moment cinétique	14-8	العزم الحركي
MOSELEY (Loi de)	14-20, 14-21, 14-23	موزلي (قانون)
Triplets	14-12, 14-14	عديدات الخطوط ^١
Multiplicité	14-13	تعدد الخطوط

— N —

Nébuleuses	17-8	سدم
Nitomètres	5-10	مقاييس النبت
Niveaux électroniques	1-7, 14-6	سويات الكترونية
— d'énergie d'un électron liés dans un cristal	16-6	— طاقة الكترون مرتبطة في بلورة
— excités	14-6	— مهيجة
Nombre d'ondes	1-1	عدد الموجات
— quantique	10-6, 14-17	— كمي
— — azymutal	14-8	— — سمتي
— — effectif	14-9	— — فعلي
— — interne	14-13	— — داخلي
— — magnétique	14-10	— — مغناطيسي
— — principal	14-8	— — اصلي
— — de spin	14-13	— — من السبين

Nova	17-7	نجم جديد (نوبا)
Numéro atomique	1-7	الرقم الذري

— O —

Observateur normal moyen	5-15	الناظر الوسطي سليم البصر
Œil	4-2	عين
Ondes évanescentes	8-11	موجات متلاشية
— d'excitation	16-6	— التهييج
— hertziennes	8-11, 8-15	— هرتزية
— planes	1-3	— مستوية
— stationnaires	2-8	— مستقرة
Optique non linéaire	20-11	بصريات غير خطية
Oscillateurs harmoniques amortis	9-12	هزازات توافقية مخمدة
Ozone	17-3	أوزون

— P —

Parallaxe	17-7	اختلاف المنظر
Parsec	17-7	بارسك
PAULI (principe de)	14-15, 14-21	باولي (مبدأ)
Périhélie de Mercure	18-17	نقطة الرأس لعطارد
Perméabilité relative	1-4	نفوذية نسبية
Phase cholestérique	12-12	طور كولوسترولي
Phosphorescence	13-7, 16-7	فصفرة
Phot	5-3	فوت
Photochimie	17-12	الكيمياء الضوئية
Photoconduction	5-20	ناقلية ضوئية

Photoélasticimétrie	11-12	قياس المرونة ضوئياً
Photoluminescence	13-7,16-7	تألق ضوئي
Photomètres physiques	5-21	مقاييس الضوء الفيزيائية
— sans écran diffusant	5-7	— دون حواجز فائقة
Photométrie hétérochrome	5-13,5-21	قياس الضوء المختلف الالوان
— homochrome	5-1,5-21	— — المتجانس اللون
— photographique	5-19	— — بالتصوير
Photomultiplicateurs	5-20	مضاعفات ضوئية
Photon	1-5,4-17,19-2	فوتون
Photopile	5-20	ركام ضوئي
Photosphère	17-6	كرة ضوئي
Photosynthèse	17-12	تخليق ضوئي
Pile de glace	8-9	الواح منضدة
— photovoltaïque	5-20	— نضد فوتوفولتائي
PLANCK (Loi de)	14-7	بلانك (قانون)
Pléochroïsme	11-9	المتعدد الالوان التلون
— artificiel	11-15	— — الاصطناعي
POGSON (Formule)	17-7	بوغسون (صيغة)
Polarisabilité	9-4,11-1,11-2	استقطابية
Polarisation	9-3	استقطاب
— atomique	9-11	— ذري
— diélectrique	9-11	— كهربائي
— dipolaire	9-11	— ثنائي الاقطاب
— électronique	9-11	— الكتروني

— par réflexion	8-8	— بالانعكاس
— par réfraction	8-9	— بالانكسار
— rotatoire	7-4, 12-1	— دوراني
— rotatoire magnétique	12-14	— — مغناطيسي
Polariscope	8-9	كاشف الاستقطاب
Polariseur circulaire	7-3	مقطب دائري
Polaroïds	11-15	الواح مقطبة
Pompage optique	20-3	الضخ الضوئي
Pouvoir dispersif	4-4	قوة التبديد
— de résolution	4-4, 4-11	— الفصل
— rotatoire magnétique	12-15	— الدوران المغناطيسي
— — des mélanges	12-7	— — المزائج
— — naturel	12-A	— — الطبيعي
— — spécifique	12-2	— — النوعي
Pression de radiation	19-1	ضغط الشعاعة
PRESTON (Règle)	14-11	برستون (قاعدة)
Principes colorimétriques	6-2	مبادئ القياسات اللونية
— de combinaison	14-3	— الاتحاد
— de correspondance	14-4, 14-5	— التقابل
— d'équivalence	18-14	— التكافؤ
— d'indetermination	14-8	— عدم التعيين
— d'inertie généralisé	18-15	— العطالة المعمم
— de relativité restreinte	18-2	— النسبية الخاصة
Prisme	8-1	موشور

Prisme objectif	17-8	موشور جسمي
Probabilité d'absorption	14-7	احتمال الامتصاص
— d'émission	14-7	— الاصدار
Progressions	15-2	متواليات
Propagation d'un signal	2-1	انتشار الاشارة
PULFRICH (Réfractomètre)	3-6	بولفريك (مقياس الانكسار)
PURKINJE (Phénomène)	5-15	بور كينه (ظاهرة)

— Q —

Quanta	1-7	كم
Quantification dans l'espace	14-10	تكسيم في الفراغ
Quantité d'éclairement	5-2	كمية الاستنارة
— de lumière	5-2	— كمية الضوء

— R —

Racémique	12-12	متعادل ضوئياً (راسمية)
Racémisation	12-12	رزم
Radiations	1-1	شعاعات
— hertziennes	1-9	— هرتزية
— infrarouge	1-8	— تحت الحمراء
— simples visibles	1-1	— بسيطة مرئية
— Ultraviolettes	1-10	— فوق البنفسجية
Radiométrie	5-1	قياس الاشعاع
Raie d'absorption	9-1, 9-12	خط الامتصاص
— d'arc	13-3	— القوس
— chromosphériques	17-6	— خطوط كرة اللون

Raie d'étincelle	13-3	خط الشرارة
— de résonance	14-6	— الطنين (التجلوب)
— spontanément renversées	13-6	— منقلبة تلقائياً
— telluriques	17-9	— ارضية
RAMAN (Effet)	10-7,13-7,15-2	رامان (فعل)
— spectre	15-1,15-4,15-5	— طيف
Rapport de diffusion	11-2	نسبة الانتثار
— giromagnétique	14-13	— دوراني مغناطيسي
RAYLEIGH (Formule de)	4-4,10-8	ريللي (صيغة)
— Rapport de	10-4,10-10,10-12,10-13	— (نسبة)
— (Réfractomètre de)	3-10,9-1	— مقياس الانكسار لـ
Rayonnement calorifique	1-8	اشعاع حراري
— dipolaire magnétique	1-6	— ثنائي الاقطاب المغناطيسي
— purement thermique	1-2	— حراري محض
Rayons cosmiques	1-11	اشعة كونية
— infrarouges	1-1	— تحت الحمراء
— Restants	9-13	— الباقية
— Ultraviolet	1-1	— فوق البنفسجية
— X	1-1,1-11	— سينية
Récepteurs photoélectriques	4-3	مستقبلات كهروضوئية
— pneumatiques	5-18	— ضغطية
— thermiques	4-3	— حرارية
Réciprocité	5-19	تقابل

Recuit	11-13	معاد الاحماء
Réflexion	1-4	انعكاس
— métallique	8-12	— معدني
— — sélective	9-13	— — اصطفاي
— totale	3-6, 8-3, 8-10, 9-8	— كلي
— vitreuse	8-1	— زجاجي
Réfraction	1-4	انكسار
— atmosphérique	17-1	— جوي
— molaire	9-11	— جزئي
— spécifique	9-11	— نوعي
Réfractomètre demi-boule	3-6	مقياس الانكسار نصف الكروي
— différentiel	3-7	— — التفاضلي
— à prisme plongeur	3-7	— — ذو المنشور الغاطس
Réfractométrie	3-1	قياس قرائن الانكسار
Règles de sélections	14-3, 14-17, 15-8	قواعد الاصطفاء
Relation d'incertitude	14-8, 19-5	علاقة الارتباب
Relativité générale	18-B	النسبية العامة
— restreinte	18-A	— الخاصة
— de la simultanéité	18-5	— التزامنية
Rendement de la fluorescence	13-7	مرورود الفلورة
— photochimique	17-12	— كيميائي ضوئي
Renversement des raies	13-6	انقلاب الخطوط
Réseau	4-7, 4-17	شبكة
— concaves	4-8	— مقعرة

Réseau échelle	4-8	شبكة سلمية
— à échelons	4-9	— درجية
— tangent	4-13	— مماسة
Résonance électrique, magnétique	4-15	تجاوب كهربائي ، مغناطيسي
— optique	13-7,14-6	— ضوئي
— paramagnétique électronique	16-6	— مغناطيسي مساير الكتروني
Résonateurs moléculaires	9-7	متجاوبات جزيئية
RITCHIE (photomètre de)	5-5	ريتشي (مقياس الضوء لـ)
ROCHON (Prisme de)	7-7	روشون (موشور)
RÖMER (Mesures de)	2-2	رومر (قياسات)
Rotateurs sphériques, symétriques	15-10	مدورات كروية تناظرية
RUSSEL-HERTZSPRUNG		روسيل هرتز برونغ (مخطط)
(Diagramme)	17-8	
— — SAUNDERS (Couplage de)	14-15,14-16	سندرز (تزاوج) تقارن
RYDBERG (Constante de)	14-1,14-5,14-18,14-19	ريدبرغ (ثابتة)
— S —		
Saccharimètres	12-5	مقاييس السكر
Satellites de Jupiter	2-2	توابع المشتري
Scintillations	17-1	ومضات ، وميض ، ومضة
Section efficace de diffusion	10-6	مقطع فعال للانتثار
SELLMEIFR (Formule)	9-5,12-5	سليفير (صيغة)
Semi-conducteurs	9-20	انصاف النواقل
Sensibilité spectrale	5-19	حساسية طيفية

Séquences	15-2	تعاقيات
Série diffuse	14-2	سلسلة مغبشة
— étroite	14-2	— واضحة
— fondamentale	14-2	— اساسية
— principale	14-2	— أصلية
Signaux électromagnétiques	2-7	اشارات كهريطيسية
SILBERSTEIN (Théorie de)	11-4, 11-17, 15-4	سيلبر شتاين (نظرية)
Simultanéité	18-3	ترامن
SOLEIL (Compensateur)	12-5	سولي (مكافيء)
Solution	10-12	محلوله
Sources de lumière	17-14	منبع ضوئي
— orthotrope	5-2	مستقيم المناحي
— tare	5-6	عباري
Spectre	1-1	طيف
— d'absorption	13-5	— الامتصاص
— — continu	14-6	— — المتصل
— — électronique des cristaux	16-6	— — الالكتروني للبلورات
— de bandes	1-1	— العصاب
— cannelé	4-18, 12-1	— مقلم (مخطط)
— continu	15-8	— متصل
— corpusculaires	4-13	— الصوت الجسمية
— des cristaux	16-4	— البلورات
— croisés	9-1	— متصالبة

Spectre de diffusion	15-1	طيف الانتثار
— électroniques	15-10	— الكترونية
— électroniques des molécules diatomiques	15-8	— الكترونية للجزيئات الثنائية الذرة
— d'émission	13-3	— الاصدار
— d'émission continu	14-6,15-8	— الاصدار المتصل
— de flamme	13-3	— اللهب
— de fluorescence	15-11	— الفلورة
— des liquides	16-2	— السوائل
— des molécules polyatomiques	15-10	— الجزيئات المتعددة الذرات
— principaux	11-9	— الاصلية
— de raies	1-1	— الخطوط
— de rayons X	14-19	— الاشعة السينية
— de rotation	16-4	— الدوران
— de rotation pure	15-4	— الدوران الصرف
— des solutions	16-3	— المحاليل
— de vibration des cristaux	16-5	— اهتزاز البلورات
— — rotation	15-5,15-7,15-10	— — الدوران
Spectro-héliographe	17-6	مصور الطيف الشمسي
Spectro-photomètres pour l'infrarouge	5-26	مقاييس الضوء الطيفية لما تحت الاحمر
— photoélectriques	5-25	— كهروضوئية
— visuels	5-24	— ابصارية
Spectro-photométrie	5-1,5-2 25-26,14-23	قياس ضوئي للطيف

Spectro photographique	5-23	قياس تصويري
Spectroscope à prisme	4-4	المطياف ذو المنشور
— à réseaux	4-8	— ذو للشبكة
Spectroscopie stellaire	17-8	علم الطيف النجمية
Sphères intégrantes	5-9	الكرات المتكاملة
Spin de l'électron	14-13	اسبين الالكترون
— nucléaire	14-18	— نووي
— du photon	19-2	— الفوتون
STARK (Effet)	13-8,13-10,14-9,14-11,14-16,15-9	ستارك (فعل)
Stéréochimie	12-10	كيمياء مجسمة
STERN et GERLACH (Expérience)	14-13	شتيرن وغير لاش (تجربة)
STOKES (Loi de)	15-11	ستوكس (قانون)
Strioscopie	3-11	الكشف بطريقة الخطوط
Structure hyperfine	14-18	بنية مفردة الدقة
— stratifiée	11-7	— منضدة
Surface d'onde du quartz	12-8	سطح موجة الكوارتز
— polie	8-1	— صقل
Synchronisation	9-4	توافق
Système de bandes	15-2	جملة عصابات
Symétrie des milieux optique- ment actifs	12-9	تناظر الاوساط الفعالة ضوئياً
— T —		
TALBOT (Disque de)	5-4	تالبو (قرص)
— principales	11-12	تواترات اصلية

Termes Spectraux	14-3	حدود طيفية
Tête photométrique	5-7	رأس مقياس الضوء
Thermocouples	5-18	مزدوجات حرارية
Thermoluminescence	13-1	تألق حراري
THOMSON (J.J) (Formule)	10-13	طومسون (J.J.) (صيغة)
Train d'ondes	4-16	قطار موجات
Transitions énergétiques	14-6	تحولات طاقة
Trempe	11-13	اسقاء
Triboluminescence	13-1	تألق بالاحتكاك
Trichroïsme	11-9	تلون ثلاثي
Trivarience visuelle	6-1	التغير الثلاثي البصري
Turbulence atmosferique	17-1	اضطرابات جوية
TYNDALL (Effet de)	10-1	تندال (فعل)

— U —

ULBRICHT-BLONDEL	(مقياس لومن)	اولبريخت - بلوندل
(Lumenmètre d')	5-9	
Ultrahertzien	15-2	ما فوق الهرتزبة
Ultramicroscope	8-11,10-2	ما فوق المجهر
Ultraviolet	4-12,9-9	ما فوق البنفسجي
Unités photométriques	5-3	واحدات ضوئية قياسية
Univers	18-4,18-18	الكون
— en expansion	17-9	— في حالة الاتساع

— V —

Vecteur lumineux	1-3	متجهة ضوئية
------------------	-----	-------------

VERDET (Constante de)	12-15	فردى (ثابتة)
Vibration elleptique	7-6, 8-2, 8-12, 12-6	اهتزازة ناقصية (اهليلجية)
— fondamentales	15-10	— اساسية
— principales	2-2	— اصلية
Vibration sinusoidale exponen- tiellement amortie	1-6	حبيبة متخامدة أسيا
Visible	9-9	مرئى
Vision diurne	5-15	الرؤية النهارية
— scotopique	5-15	— الليلية
Vitamine D	17-13	فيتامين د
Vitesse de groupe	2-1, 8-15	سرعة المجموعة
— de phase	2-1, 8-15	— الطور
— radiales	17-9	— القطرية (الشعاعية)
— W —		
WOLLASTER (Experieuce de)	8-2, 8-4, 8-12	فينر (تجربة)
WOLLASTON (Prisme de)	11-9	فولاستون (منشور)
— X —		
ZEEMAN (Effet de)	12-16, 13-8, 14-6, 15-9, 17-6, 19-2	زين (فعل)
— (— anormal)	14-12, 14-13	— (— شاذ)
— (— normal)	13-8, 14-11	— (— نظامى)

* * *

مكتبة يوسف اللبش

مصطلحات الكتاب العلمية

مرتبة حسب أحرف الهجاء العربية في اليمين
ومقابلها بالفرنسية في اليسار
وبالانكليزية في الوسط

— أ —

Ether	Ether	أثير
Corps orthotropes	Orthotropic bodies	أجسام موحدة للمعان
Probabilité	Probability	احتمال
		— اختلاف المنظر
Parallaxe	Parallax	(انطباق المواضع الظاهري)
Indicatrices de diffusion	Indicators of diffusion	أدلة الانتثار
Durée de vie moyenne	Duration of mean life	الأجل المتوسط
Spin de l'électron	Spin of electron	اسبين الإلكترون
Extrapolation	Extrapolation	استقراء خارجي (تبسُّط)
Interpolation	Interpolation	استقراء داخلي (نحشية)
Polarisation	Polarization	استقطاب
Polarisabilité	Polarizability	استقطابية
Eclairement	Illumination	استنارة
Trempe	Tempering	إسقاء
Signal électromagnétique	Electromagnetic signal	إشارة كهربية
Fantomes	Phantoms, ghosts	أشباح

Rayonnement Calorific	Calorific radiation	إشعاع حراري
— purement thermique	Purely	إشعاع حراري محض
Rayons restants	Residual rays	أشعة باقية (متخلقة)
— X	X rays	أشعة سينية
Rayons cosmiques	Cosmic rays	أشعة كونية
Emission stimulé	Stimulous Emission	إصدار مثار
Emittance	Emittance	الإصدارية
Collision	Collision	اصطدام
Turbulence atmosphérique	Atmospheric turbulence	اضطرابات جوية
Atlas de Couleurs	Atlas of colours	أطلس الألوان
Exciton	Exciton	إكسيتون
Electron de valence	Valence electron	الالكترونون تكافئي
— Optique	Optical electron	الالكترونون ضوئي
— Volt	Electron-Volt	الالكترونون - فولت
Couleurs principales	Principal colours	ألوان أصلية
Polaroïdes	Polaroids	الواح مقطبة (بولارويد)
Pile de glace	Pile of glass plates	الواح منضدة
Etendue de faisceau	Etension of beam	امتداد الحزمة
Adsorption	Adsorption	امتزاز
Absorption	Absorption	امتصاص
— atmosphérique	Atmospheric —	— جوي
— apparent	Apparent —	— ظاهري
Diffusion	Diffusion	امتثار

Deviation	Deviation	انحراف
Dégénérescence	Degenerescence	انحلال
Semi conducteurs	Semi-conductors	أنصاف النواقل
Extinction	Extinction	انطفاء
Réflexion	Reflection	انعكاس
— selective	Selective —	— اصطفاي
— vitreuse	Vitrous —	— زجاجي
— totale	Total —	— كلي
— métallique	Metallic —	— معدني
Diathermie	Diathermy	إنفاذ حراري
Clivage	Cleavage	انقسام (تصفح)
Désactivation	Disactivation	انقاص (تخفيض) النشاط
Discontinuités	Discontinuities	انقطاعات
Renversement des raies	Reversibility of lines	انقلاب الخطوط
Biréfringence	Birefringence	انكسار مضاعف
	Double refraction	
— artificielle	Artificial —	— — صناعي
— circulaire	Circular —	— — دائري
— par compression	— By compression	— — بالضغط
— elliptique	Elliptic —	— — إهليجي
— par étirement	— by stretching	— — بالشد
— par orientation	— by orientation	— — بالتوجيه
Vibration fondamentale	Fundamental vibration	اهتزازة أساسية

— principale	— Principal	— أصلية
— amortie	— Damped	— متخامدة
Franges de superposition	Fringes of superposition	اهدااب الانضمام
Ellipsoïde	Ellipsoid	إهليلج مجسم
Milieux condensés	Condensed media	أوساط مكثفة
— ب —		
Optique non linéaire	non linear optics	بصريات غير خطية
Cristal tournant	turning Cristal	بلورة دوارة
Cristal courbé	Curved cristal	بلورة منحنية
structure hyperfine	Hyperfine structure	بنية مفرطة الدقة
— stratifiée	—	بنية منضدة
— ت —		
Fonction de position	Function of position	تابع الموقع
Notation	Notation	تأشير أو ترقيم
Contraste simultané	Simultaneous contraste	تباين متزامن
Dispersion	Dispersion	تبدد
— rotatoire	Rotatory —	— دوراني
Complémentarité	Complementarity	تتام
Resonance	Resonance	تجاوب
Associations moléculaires	Molecular associations	تجمعات جزيئية
Induction	Induction	تحريرض
Analyse spectral	Spectral analysis	تحليل طيفي

Recuit	Aunealing	تخمية
Transformation cinématique	Cinematic transformation	تحويل حركية
Amortissement	Damping	تخامد
Photosynthèse	Photosynthesis	تخليق ضوئي
Gradation de la lumière	Gradation of light	تدرج الضوء
Flux	Flux	تدفق
Cohérence spatiale	spatial coherence	ترابط مكاني
— temporelle	Temporal —	— زماني
Fluctuations	Fluctuations	تراوحات
Composition des vitesses	Composition of velocities	تركيب السرعات
Montage de	Mounting	تركية
Simultanéité	Simultaneity	ترامن
Couplage	Coupling	تراوج
Classification stellaire	Stellar classification	تصنيف النجوم
Séquences	Sequences	تعاقيات
Multiplication de raies	Multiplication of lines	تعدد الخطوط
Trivariance visuelle	Visual trivariance	التغير الثلاثي البصري
Phosphorescence	Phosphorescence	تقصفر
Fluorescence	Fluorescence	تفلور
Réciprocité	Reciprocity	تقابل
Correspondance (principe de)	Correspondance	التقابل (مبدأ)

Contraction	Contraction	تقلص
précession	Precession	تقهقر (مبادرة)
Principe d'équivalence	Equivalence principle	التكافؤ (مبدأ)
Quantification dans l'espace	Quantification in space	تكيم في الفراغ
Modulation	Modulation	تكيف
Luminescence	Luminescence	تألؤ
Trichroisme	Trichroism	تلون ثلاثي
Dichroisme	Dichroism	- ثنائي
Pléochroisme	Pleochroism	- متعدد
Symetrie	Symetry	تناظر
Excitation par chocs	Excitation by choc	تهيج بالصدم
Satellites de Jupiter	Satellites of Jupiter	توابع المشترى
Fréquence	Frequency	تواتر
Synchronisation	Synchronisation	توافق
Tension	Tension	توتر
Incadescence	Incadescence	توهج

- ث -

Diatomique	Diatomic	ثنائي الذرة
Dipolaire, Dipôle	Dipole	ثنائي الأقطاب (ذو القطبين)
Doublets	Doublets	ثنائيات
Triplet	Triplet	ثلاثية الخطوط

Tirode	Triod	ثلاثي المساري
- ج -		
Doses erythemales	Erythermal doses	جرعات مُحمّية (طفحية)
Macromolécule	Macromolecule	جزيء جبري
Molaire	Molar	جزيئي
Système de bandes	Band's system	جملة عصابات
Atmosphérique	Atmospheric	جوي
- ح -		
Chromophore	Chromophor	حامل اللون
Ecran	Screen	حائل
Etat condensé	Condensed state	حالة مكثفة
— stationnaire	Stationary state	— مستقرة
Terme spectral	Spectral term	حد طيفي
Thermique	Thermic	حراري
Sensibilité spectrale	Spectral sensibility	حساسية طيفية
Constringence	Constringence	الحصر
Champs	Field	حقول
- خ -		
Raie d'absorption	Line of absorption	خط الامتصاص
Raies Chromosphérique	Chromospherical lines	خطوط كرة اللون
— telluriques	Telluric lines	— أرضية
Fond	background	خلفية

Cellule photoélectrique	Photoelectric cell	خلية كهروضوئية
— photoémisive	Photoemissive cell	— ضوئية إصدارية
Maille	Mesh	خبيطة

— د —

Circulaire	Circular	دائري
Degré de polarisation	Degree of polarization	درجة الاستقطاب
Theorème	Theorem	دعوى
Daltonisme	Daltonism	دلتونية
Guide d'onde	Wave guide	دليل الموجة
Indicatrice de diffusion	Indicator of diffusion	دليل الانتشار
Rotation pure	pure rotation	دوران صرف
Rotatoire	Rotatory	دوراني

— ذ —

Atome	Atom	ذرة
-------	------	-----

— ر —

Tête photométrique	Photometric head	رأس مقياس الضوء
Racémique	Racemic	راسمية (معتدلة ضوئياً)
Liaisons par l'hydrogène	Linking by hydrogen	الربط بالهيدروجين
Papillotement (Méthode de)	Method of flickering	الرجفان (طريقة)
Numéro atomique	Atomic number	الرقم الذري
Photopiles	Photopile	ركام ضوئي

Roentgen	Roentgen	رنتغن
Vision diurne	Diurnal vision	رؤية نهارية
— scotopique	Scotopic	— ليلية

- ز -

Vitreuse (réflexion)	Vitrous Reflection	زجاجي (انعكاس)
Temp de relaxation	Time of relaxation	زمن الارتخاء
Dépolarisation	Dipolarization	زوال الاستقطاب
Aberration	Aberration	زيف

- س -

Nébuleuse	Nebula	سدم
Vitesse de phase	Phase velocity	سرعة الطور
Vitesse radiale	Radial velocity	السرعة الشعاعية (القطرية)
Vitesse de groupe	Group velocity	سرعة المجموعة
Célérité de la lumière	Velocity of light	سرعة الضوء
Surface d'onde de quartz	Wave surface of quartz	سطح موجة الكوارتز
Eclat stellaire	Stellar glare	سطوع نجمي
(Degré) saccharimétrique	Saccharimetric Degree	سكرية (درجة)
Serie de Balmer	Balmer's series	سلسلة بلمر
(Réseau) échelette	Echelet (grating)	سلمية (شبكة)
Permittivité	Permittivity	مماحية
Année-lumière	Light year	سنة ضوئية
Niveaux d'énergie	Energy levels	سويات الطاقة

- ش -

(Dispersion) anormale	Anomalous dispersion	شاذ (تبدد)
Réseau de diffraction	Diffraction grating	شبكة الانعراج
— échelle	Echelet —	— سلمية
— à échelons	Echelon —	— درجية
— tangent	Tangent	— مماسية
Charge électrique	Electric charge	شحنة كهربائية
Intensité lumineuse	Luminous intensity	شدة ضوئية
Etincelle	Spark	شرارة
(Lumière) solaire	Solar light	شمسي (ضوء)
Radiations infrarouges	Infrared radiations	شعاعات تحت الحمراء
— ultraviolettes	Ultraviolet —	— فوق البنفسجية
Etoiles filantes	Shooting stars	شهب

- ص، ض، ط، ظ -

Chocs désactivants		صددمات مزيلة للنشاط
Lame $\frac{1}{4}$ d'onde	$\frac{1}{4}$ Wave plate	صفحة ربع موجية
Formules de dispersion	Dispersion formulae	صيغ التبدد
Pression de radiation	Radiation pressure	ضغط الشعاع
Antipodes optiques (invevses)	Optical antipodes	الضدان الضوئيان
Lumière zodiacale	Zodiacal light	ضوء بروجي
Lumière hétérochromes	Heterochromous light	ضوء مختلف الألوان

Lumière crépusculaire	Crepuscular light	ضوء غسقي
Ciel nocturne	Nocturnal light	ضياء السماء الليلي
Energie potentielle	Potential energy	طاقة كامنة
Chemin optique	Optical path	طريق (مسار) ضوئي
Energie cinétique	Kinetic energy	طاقة حركية
Couches électroniques	Electronic layers	طبقات الكترونية
Méthode d'isolement foéal	Focal isolation	طريقة العزل الحرقي
Phase	Phase	طور
Spectre	Spectrum	طيف
Virtuel	Virtual	ظاهري
Ombre	Shadow	ظل

- ع - غ -

Facteur	Factor	عامل
Opacité	Opacity	عتمة
Nombre d'ondes	Waves number	عدد الموجات
Multiplets	Multiplets	عديدات الخطوط
Largeur des raies spectrales	Width of Spectral rays	عرض الخطوط الطيفية
Moment cinétique	Kinetic moment	عزم حركي
Bande d'absorption	Absorption band	عصابة امتصاص
Relation d'incertitude	Relation of uncertainty	علاقة الارتياب
Oeil	Eye	عين
Immersion homogène	Homogenous immersion	غمس متجانس

- ف -

Intervalle	Interval	فاصلة
Aurore polaire	Aurora borealis	فجر قطبي
Spatial	Spatial	فراغي
Branche acoustique	Acoustic branche	فرع صوتي
Phosphorescence	Phosphorescence	فصفرة
Espace	Space	فضاء
Optiquement actif	Optically active	فعال ضوئياً
Activité optique	Optical activity	فعالية ضوئية
Action	Action	فعل
Effet d'écran	Screen effect	فعل الحاجز
— photoélectrique	Photoelectric effect	فعل كهروضوئي
Fluorescence	Fluorescence	فلورة

- ق -

Coeur de l'atome	Heart of atom	قلب الذرة
Train d'ondes	Train of waves	قطار موجات
Règles de selection	Selection rules	قواعد الاصطفاء

- ك -

Polariscope	Polariscop	كاشف الاستقطاب
Densité volumétrique	Volumetric density	كتلة حجمية
Densité optique	Optical density	كثافة ضوئية
Sphères intégrantes	Integrating spheres	كرات مكاملة

Quantum	Quantum	كم
Quantique	Quantic	كمي
Quantité d'éclairement	Illumination quantity	كمية الاستنارة
Quantité de lumière	Quantity of light	كمية الضوء
Electrostatique	Electrotatic	كهرباء اكد
Thermoélectrique	Thermoelctric	كهرباء حراري
Electrolyte	Electrolite	كهرباء حل
Piezoelectrique	Piezo-electric	كهرباء ضغطي
Photoélectrique	Photoelectric	كهرباء ضوئي
Electromagnétique	Electromagnetic	كهرباء طيسي
Electrochimique	Electro chemical	كهرباء كيميائي
Dielectrique	Dielectric	كهرباء نافذ
Univers	Universe	كون

- ل -

Dissymétrie moleculaire	Molecular dissymetry	لا تناظر جزئي
-------------------------	----------------------	---------------

- م -

Ultraviolet	Ultraviolet	ما فوق البنفسجي
Ultramicroscope	Ultrami crosco	ما فوق المجهر
Ultra hertzien	Ultra-Hertzian	ما فوق الهرتزبة
Principes Colorimétriques	Colorimetric principles	مبادئ القياسات اللونية
Principe d'incertitude	Uncertainty principle	مبدأ عدم التعيين
Vecteur lumineux	Light vector	متجهة ضوئية

Isocline	Isocline	متساوية الميل
Resonateurs moléculaires	Molecular Resonators	متجاوبات جزيئية
Homochrome	Homochromatic	متجانس اللون
Continu	Continuous	متصل
Croisé	Crossed	متصالب
Racémique	Racemic	متعاادل ضوئياً
Progression	Progression	متوالية
Autocollimateur	Self collimator	مجمع ذاتي
Analyseur	Analyser	محلل
Solution	Solution	محلول
Hétérochrome	Heterochromatic	مختلف الألوان
Gyrateurs	Gyrators	مدورات
Soluté	Solved	مذاب
Miroir	Mirror	مرآة
Visible	Visible	مرئي
Rendement de fluores- cenc	Efficiency of fluorescence	مردود الفلورة
Filtre	Filter	مرشحة
Centre de luminescence	Luminescence Center	مركز تلالؤ
Thermocouple	Thermocouple	مزدوجة حرارية
Parcoure libre	Free path	مسار حر
Chemin Optique	Optical path	مسار ضوئي
Emulsion photographique	Photographic Emulsion	مستحلب تصويري

Récepteur photoélectrique	Photo-electric receptor	مستقبل كهروضوئي
Stationnaire	Stationary	مستقر
Partiellement polarisé	Partially Polarized	مستقطب جزئياً
Orthotrope	Orthotrope	مستقيم الناحي
Plan	Plane	مستوي
Plan reticulaire	Reticular plane	مستوي شبكي
Spectro-héliographe	Spectro heliograph	مصور طيف الشمس
Antireflechissant	Antireflective	مضاد للعكس
Photomultiplicateur	Photomultiplier	مضاعف ضوئي
Recuit	Tempered	معاد الاحماء
Equation d'onde	Equation of Wave	معادلة الموجة
Réflexion métallique	Metallical reflection	معدي (انعكاس)
Etalon	Etalon	معيار
Etalon d'intenrité lumineuse	Etalon of luminous intensity	معيار الشدة الضوئية
Magnetique	Magnetic	مغناطيسي
Diffus	Diffused	مغش
Anticathode	Target	مقابل المهبط
Grandeurs conjuguées	Conjugate quantities	مقادير مترافقة
Concave	Concave	مقعر
Polariseur circulaire	Circular polarizer	مقطب دائري
Cannelé	Grooved	مقلم - مخطط
Goniomètre	Goniometer	مقياس الزوايا

Géodimetre	Geodimeter	مقياس الأرض
Saccharimètre	Saccharimeter	مقياس السكر
Luxmètre	Luxmeter	مقياس الاستتارة
Spectrophotometre pour l'infraouge	Infrared spectrophotometer	مقياس الضوء الطيفي لما تحت الاحمر
Luminancimètre	Luminancemeter	مقياس اللعان
Densitomètrie	Densitometer	مقياس الكثافة الضوئية
Compensateur	Compensator	مكافئة
Loupe	Magnifier	مكبرة
Loupe dichrosopique	Dichroscopic magnifier	مكبرة كاشفة للتلون
Source de lumière	Source of light	منبع ضوئي
Source-tare	Standart source	منبع عياري
Courbe de noircissement	Blackening curve	منحني الاسوداد
Activeur —	Activator	منشط
Stratifié —	Stratified	منضد
Banc Photométrique	Photometric bench	منضدة القياسات الضوئية
Spontanément renversed	Spontaneously renverset	منقلب تلقائياً
Excité —	Excited	مهييج
Monochromateur	Monochromater	موحد اللون
Prisme	Prism	موشور

— ن —

Diffuseur parfait	Ideal Diffuser	فانر كامل
-------------------	----------------	-----------

Conductivité électrique	Electrical conductivity	ناقلية نوعية كهربائية
Pulsation	Pulse	نبض
Novae	Nova	نجم جديد
Rapport de diffusion	Diffusion ratio	نسبة الانتثار
Relativité restreinte	Restricted Relativity	النسبية خاصة
Relativité généralisée	General Relativity	النسبية العامة
Pile photovoltaïque	Photovoltaic Pile	نضد فوتو فولتاكي
Perméabilité relative	Relativistic Permeability	نفوذية نسبية
Périhélie	Perihelion	نقطة الرأس
Modèle vectoriel d'atome	Vectorial model of atom	نموذج متجه للذرة

- و -

Unité photométrique	Photometric unit	وحدة ضوئية قياسية
Monochromatique	Monochromatic	وحيد اللون
Scintillation	Twinkle	ومضية - وميض

- ه -

Halo	Halo	هالة
Agitation thermique	Thermal agitation	هيجان حراري

★ ★ ★

محتويات الكتاب

الطيف الذرات والجزيئات والبلورات

الفصل الثالث عشر - مفاهيم عامة عن اطياف الاصدار والامتصاص

الصفحة

٥	١-١٣ . النماذج المختلفة للأطياف
٩	٢-١٣ . اصدار الضوء من قبل الغازات او الابخرة المهيجة كهربائياً
١١	٣-١٣ . طيوف الاصدار المختلفة لنفس المادة
١٣	٤-١٣ . تفسير التهييج بالصدمات
١٦	٥-١٣ . انتاج اطياف الامتصاص
١٨	٦-١٣ . قانون كيرشوف وقاعدته
٢٢	٧-١٣ . التهييج الضوئي . الفلورة والفصفرة
٢٨	٨-١٣ . تحليل الخطوط الطيفية
٣٤	٩-١٣ . انتقال الخطوط الطيفية
٣٥	١٠-١٣ . اسباب عرض الخطوط
٤٠	ممارين

الفصل الرابع عشر - الاطياف الذرية

٤٢	١-١٤ . اطياف ذرة المدهروجين والذرات او الايونات المشابهة للهروجين
٤٦	٢-١٤ . طيف ذرة الصوديوم
٥٠	٣-١٤ . الحدود الطيفية . مبدأ التركيب

الصفحة

- ٥٣ . ٤-١٤ نظرية بور في الاطياف الذرية
- ٥٦ . ٥-١٤ تطبيقات نظرية بور على ذرات اشباه الهيدروجين
- ٦٢ . ٦-١٤ التحولات الطاقة العائدة الى خطوط الاصدار والامتصاص
- ٧-١٤ . العلاقات العامة بين الاصدار والامتصاص في نظرية الكم
- ٦٨ صيغة بلانك
- ٧١ . ٨-١٤ الميكانيك الذري والأقذار المكتملة . مبدأ الارتباب
- ٨٩ . ٩-١٤ تفسير طيف العناصر القلوية
- ٨١ . ١٠-١٤ التكيم في الفراغ
- ٨٤ . ١١-١٤ تفسير فعل زيمان وفعل ستارك
- ٨٩ . ١٢-١٤ البنية ذات المتعددات لخطوط العناصر القلوية
- ٩١ . ١٣-١٤ اسبن الالكترون . ترقيم الحدود الطيفية للعناصر القلوية
- ٩٧ . ١٤-١٤ الذرات ذوات الالكترونات الضوئية المتعددة
- ٩٩ . ١٥-١٤ النموذج الشعاعي للذرة . تفسير طيف الهليوم
- ١٠٥ . ١٦-١٤ تطبيقات اخرى للنموذج المتجهي للذرة
- ١٠٩ . ١٧-١٤ خلاصة قواعد مصطلحات الكشف الطيفي
- ١١١ . ١٨-١٤ البنية الشديدة الدقة للخطوط الطيفية . وخواص النوى الذرية
- ١١٤ . ١٩-١٤ طيف الاشعة السينية (الاصدار)
- ١١٩ . ٢٠-١٤ اطياف الاشعة السينية (امتصاص)
- ١٢٠ . ٢١-١٤ نظرية الاصدار والامتصاص للأشعة السينية
- ١٢٥ . ٢٢-١٤ البنية الثنائية لاطياف الاشعة السينية
- ١٣٠ تمارين

الفصل الخامس عشر - الطيوف الجزيئية

- ١٣٣ . ١-١٥ الخواص العامة للطيوف الجزيئية

١٣٦	٢-١٥ . طيوف الجزيئات الثنائية الذوات
١٤٤	٣-١٥ . مستويات الطاقة لجزيء ثنائي الذرات
١٤٧	٤-١٥ . طيوف الدوران المحض . الامتصاص والانتثار
١٥٤	٥-١٥ . أطيايف الاهتزاز والدوران . الامتصاص والانتثار
	٦-١٥ . تعقد أطيايف الامتصاص والدوران للاتوافقية . الأفعال
١٦٣	المتبادلة بين الاهتزاز والدوران
١٦٤	٧-١٥ . نتائج دراسة أطيايف الاهتزاز الدوراني
١٦٦	٨-١٥ . الأطيايف الألكترونية للجزيئات الثنائية الذرات
١٧٨	٩-١٥ . الانتقالات الألكترونية الضعيفة الطاقة
١٧٩	١٠-١٥ . أطيايف الجزيئات المتعددة الذرات
١٨٧	١١-١٥ . أطيايف التفلور
١٩١	١٢-١٥ . تطبيقات الأطيايف الجزيئية
١٩٢	تمارين

الفصل السادس عشر - أطيايف الاجسام في الحالة المكثفة

١٩٤	١-١٦ . اعتبارات عامة
١٩٥	٢-١٦ . أطيايف السوائل
١٩٧	٣-١٦ . أطيايف المحاليل
٢٠٠	٤-١٦ . أطيايف البلورات . أطيايف الدوران
٢٠٢	٥-١٦ . طيف اهتزاز البلورات
٢٠٩	٦-١٦ . أطيايف الامتصاص الألكترونية في البلورات
٢١٣	٧-١٦ . التلاؤف الفوتوني للجوامد
٢١٨	تمارين

متمات مختلفة

الفصل السابع عشر - الضوء في الجيوفيزياء والكيمياء والبيولوجيا

أ - بصريات الجو وما تحت البحر

٢٢٣	١-١٧ . الانكسار الجوي
٣٢٤	٢-١٧ . قوس قزح - الهالة
٢٢٦	٣-١٧ . الامتصاص والانتثار الجويان
٢٢٩	٤-١٧ . الاشعاعات ذات المنشأ الجوي
٢٣٠	٥-١٧ . الضوء في البحر

ب - قياسات الشدة الضوئية وقياسات الشدة

الطيفية الفلكية

٢٣١	٦-١٧ . ضوء الشمس
١٣٦	٧-١٧ . قياس شدة ضوء النجوم
٢٤٠	٨-١٧ . الدراسة الطيفية للنجوم
٢٤٥	٩-١٧ . السرعات الشعاعية
٢٤٧	١٠-١٧ . ضياء السماء الليلية

ج - الضوء في الكيمياء وفي البيوفيزياء

٢٤٨	١١-١٧ . الضياء والحياة
٢٤٩	١٢-١٧ . الكيمياء - التخليق الضوئي
٢٥٣	١٣-١٧ . الافعال البيولوجية الاخرى للشعاعات
٢٥٦	١٤-١٧ . مبادئ تقنية الاقارة
٢٦١	مبارين

الفصل الثامن عشر - معارف أولية في مبدأ النسبية ونتائجها

أ - النسبية الخاصة

- ٢٦٣ . ١-١٨ . علم الحركة الكلاسيكي ونحويل غاليلي
- ٢٦٥ . ٢-١٨ . مبدأ النسبية الخاصة
- ٢٦٧ . ٣-١٨ . التزامن وقياس الزمن
- ٢٧١ . ٤-١٨ . حركية النسبية . نحويل لورنتز
- ٢٧٦ . ٥-١٨ . النتائج المباشرة لتحويلات لورنتز
- ٢٨٠ . ٦-١٨ . التفسير النسبي للآثار الضوئية للحركة
- ٢٨٤ . ٧-١٨ . ديناميك النسبية
- ٢٨٨ . ٨-١٨ . عطالة الطاقة
- ٢٩٠ . ٩-١٨ . نسبة الحقل الكهربائي
- ٢٩٤ . ١٠-١٨ . عدم تغير الشحنة الكهربائية
- ٢٩٦ . ١١-١٨ . بعض نتائج نحويل لورنتز الالكتروديناميكية

ب - النسبية العامة

- ٢٩٩ . ١٢-١٨ . الحركات المتسارعة
- ٣٠٠ . ١٣-١٨ . التكافؤ بين آثار حقل ثقالة وحركة متسارعة
- ٣٠٢ . ١٤-١٨ . مبدأ التكافؤ
- ٣٠٤ . ١٥-١٨ . الفاصلة في النسبية العامة
- ٣٠٨ . ١٦-١٨ . قانون الثقالة
- ٣٠٩ . ١٧-١٨ . التحقيقات التجريبية لمبدأ النسبية العام
- ٣١٢ . ١٨-١٨ . الكون غير محدود ولكنه متناه

الفصل التاسع عشر

تتمت في بعض مظاهر ميكانيك الفوتونات

- ٣١٦ . ١-١٩ . ضغط الاشعاع
- ٣١٨ . ٢-١٩ . طاقة الفوتون وكمية حركته وعزمه الحركي
- ٣٢٠ . ٣-١٩ . التفسير الكوانتي لفعل كمثن
- ٣٢٣ . ٤-١٩ . الموجات والفوتونات . التتام
- ٣٢٥ . ٥-١٩ . علاقات الارتياح
- ٣٣٠ . مبارين

الفصل العشرون - الليزر

- ٣٣٢ . ١-٢٠ . فعل الليزر
- ٣٣٣ . ٢-٢٠ . تضخيم الضوء بالاصدار المتار
- ٣٣٥ . ٣-٢٠ . الضخ الضوئي
- ٣٣٧ . ٤-٢٠ . استعمال مجاوب
- ٣٣٨ . ٥-٢٠ . الترابط الزماني والترابط المكاني
- ٣٣٩ . ٦-٢٠ . الاستطاعة ، المردود
- ٣٤٠ . ٧-٢٠ . الليزرات الصلبة (غير ذات أنصاف التواقل) .
- ٣٤١ . ٨-٢٠ . الليزرات الغازية
- ٣٤٣ . ٩-٢٠ . الليزرات ذات أنصاف التواقل
- ٣٤٣ . ١٠-٢٠ . تطبيقات الليزر

* * *

أجوبة التمارين الواردة في الكتاب الأول وفي الكتاب الثاني ٣٥٠

تفسير الأشكال الواردة في اللوحات من ١ إلى ١٠ ٣٩٥

المصطلحات العلمية ٤٠١

هنا يوسف اللبوشي

★ ★ ★

متاح للتحميل ضمن مجموعة كبيرة من المطبوعات من صفحة

مكتبتي الخاصة

على موقع ارشيف الانترنت

الرابط

https://archive.org/details/@hassan_ibrahem

هنا يوسف اللواتي

١٩٧٥ / ١١ / ١٥٠٠

متاح للتحميل ضمن مجموعة كبيرة من المطبوعات من صفحة

مكتبي الخاصة

على موقع ارشيف الانترنت

الرابط

https://archive.org/details/@hassan_ibrahem

عبد يوسف اللواتي

P. FLEURY et J. P. MATHIEU

PHYSIQUE
GENERALE ET EXPERIMENTALE

LUMIERE

عبد يوسف اللواتي

Tome II



Publications du Conseil Supérieur des Sciences